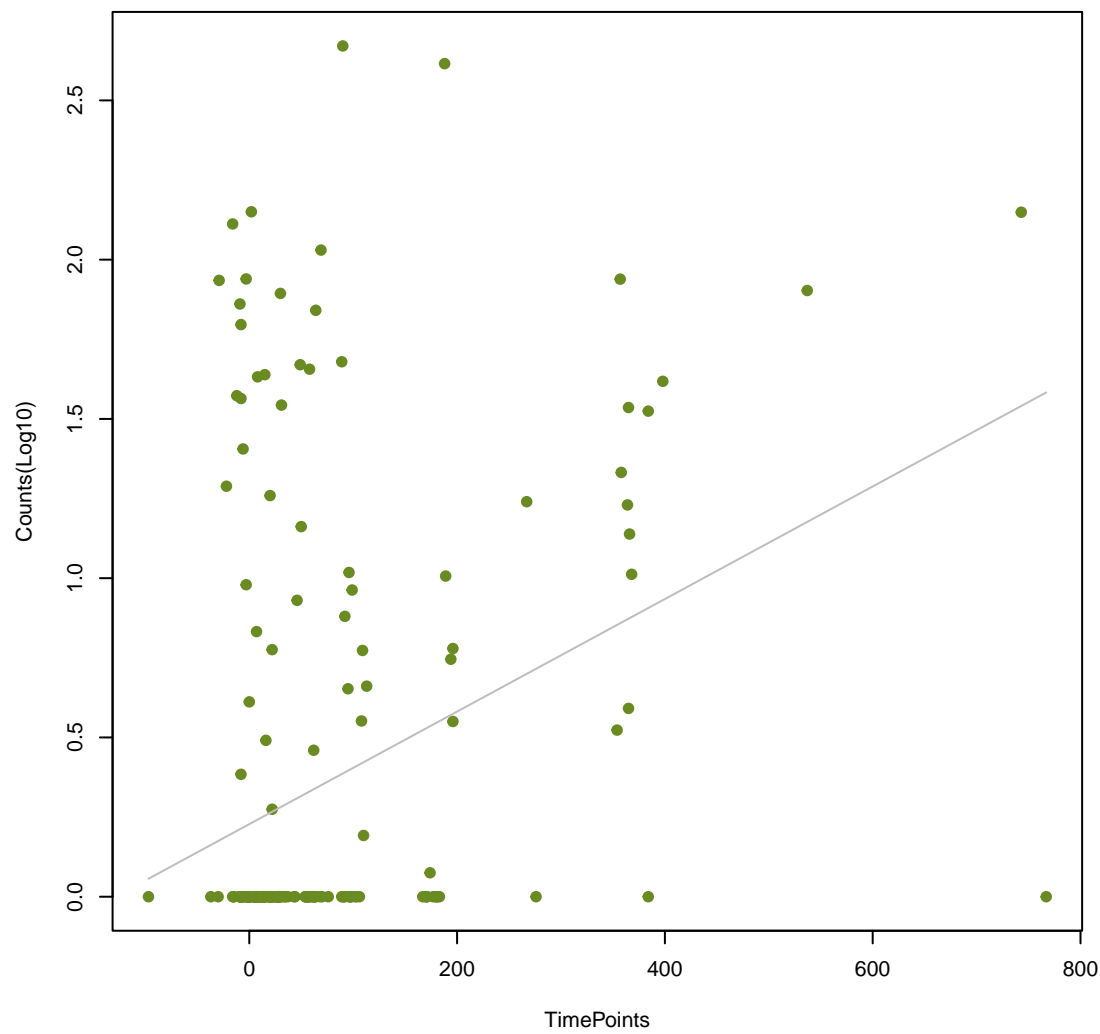
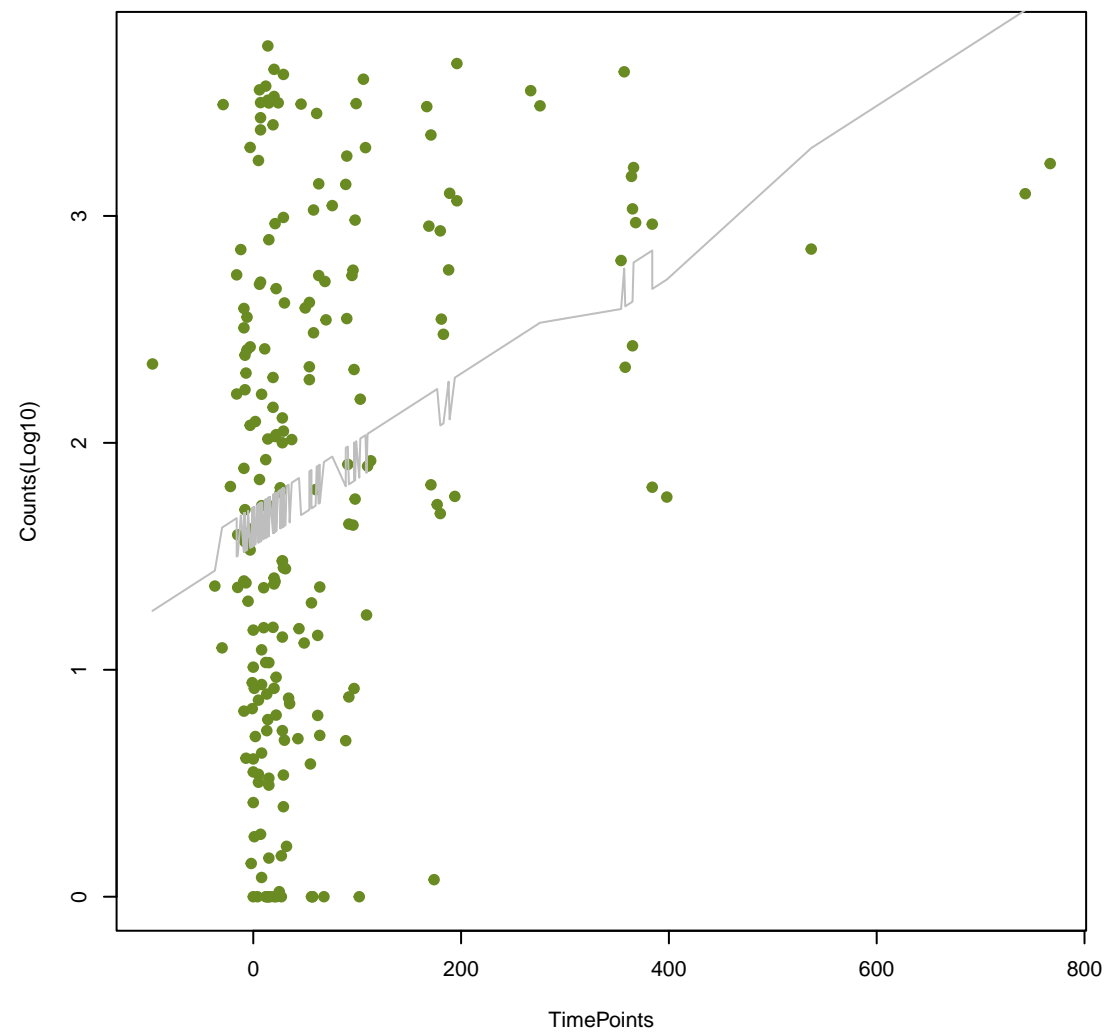


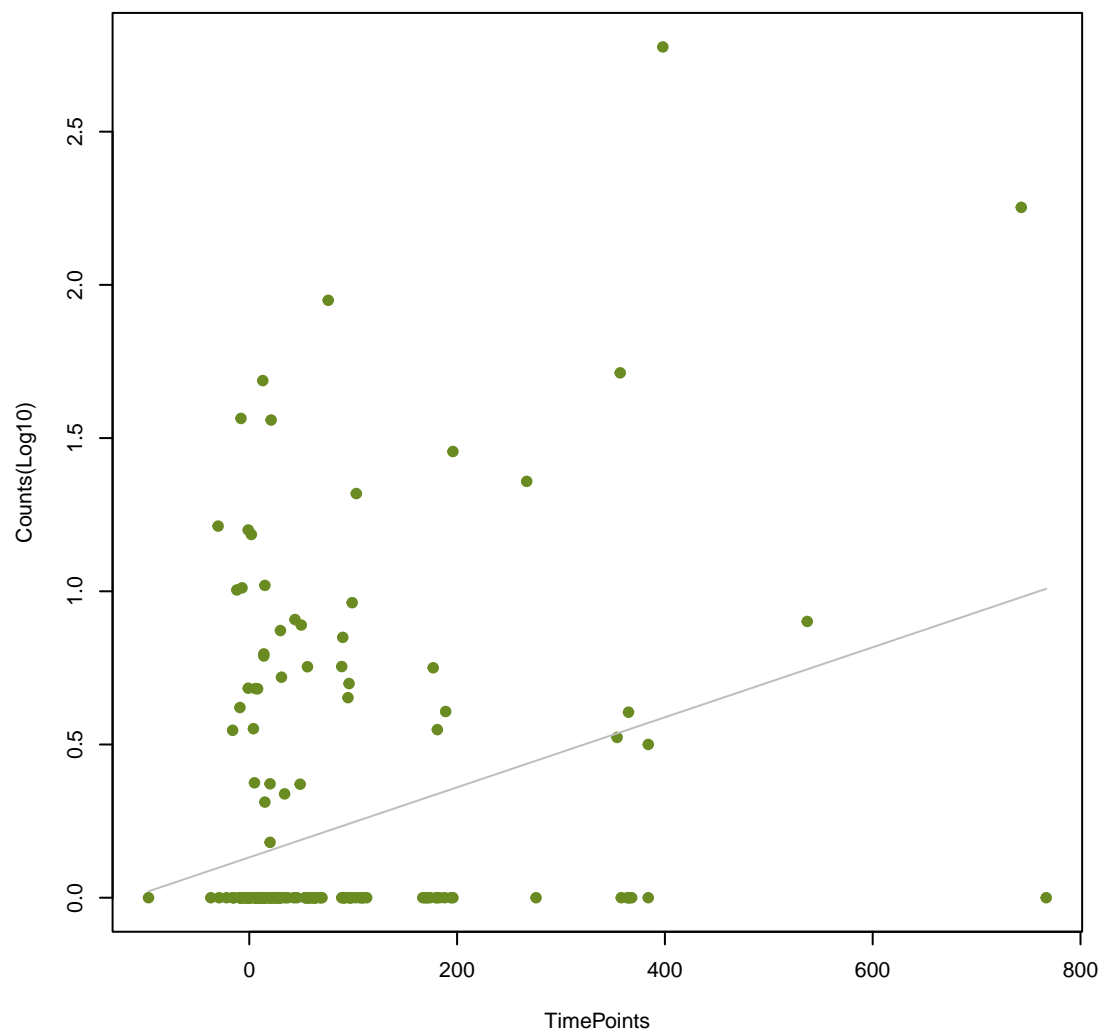
APH(2'')-IVa
ANOVA $P=1.65e-06$, adj. ANOVA- $P=0.000344$



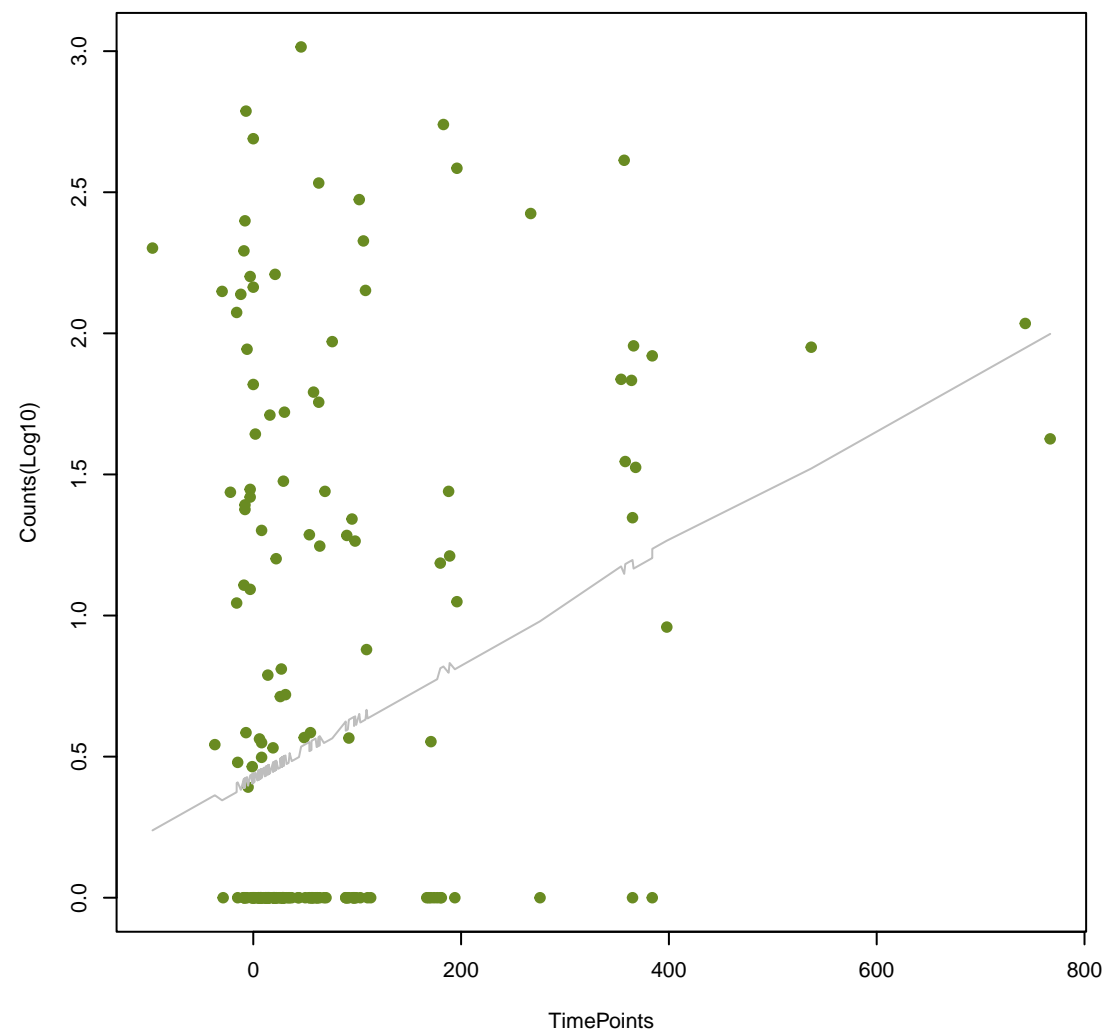
APH(3')-IIIa
ANOVA $P=2.3e-06$, adj. ANOVA- $P=0.000344$



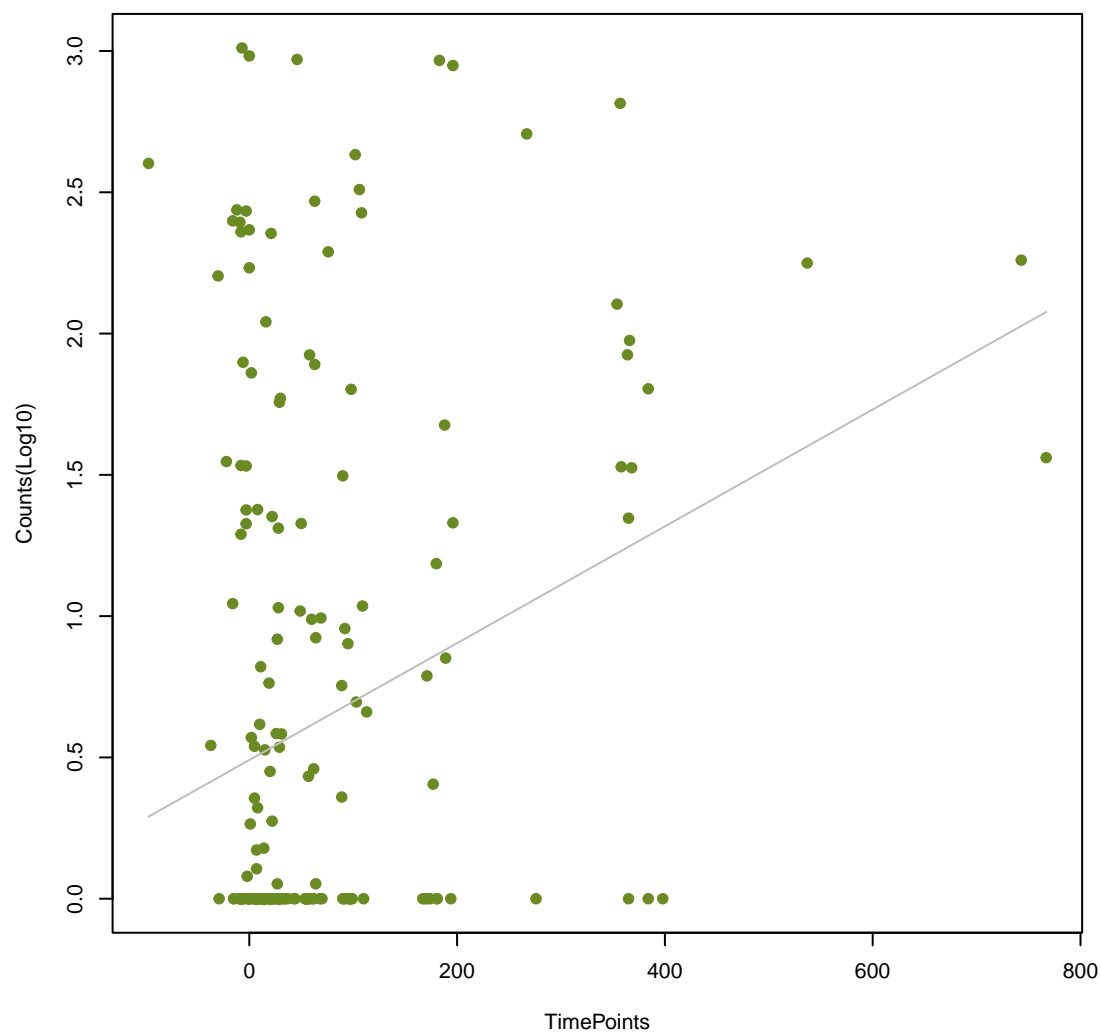
Spyo_Erma_MLSb
ANOVA $P=1.47e-05$, adj. ANOVA- $P=0.00136$



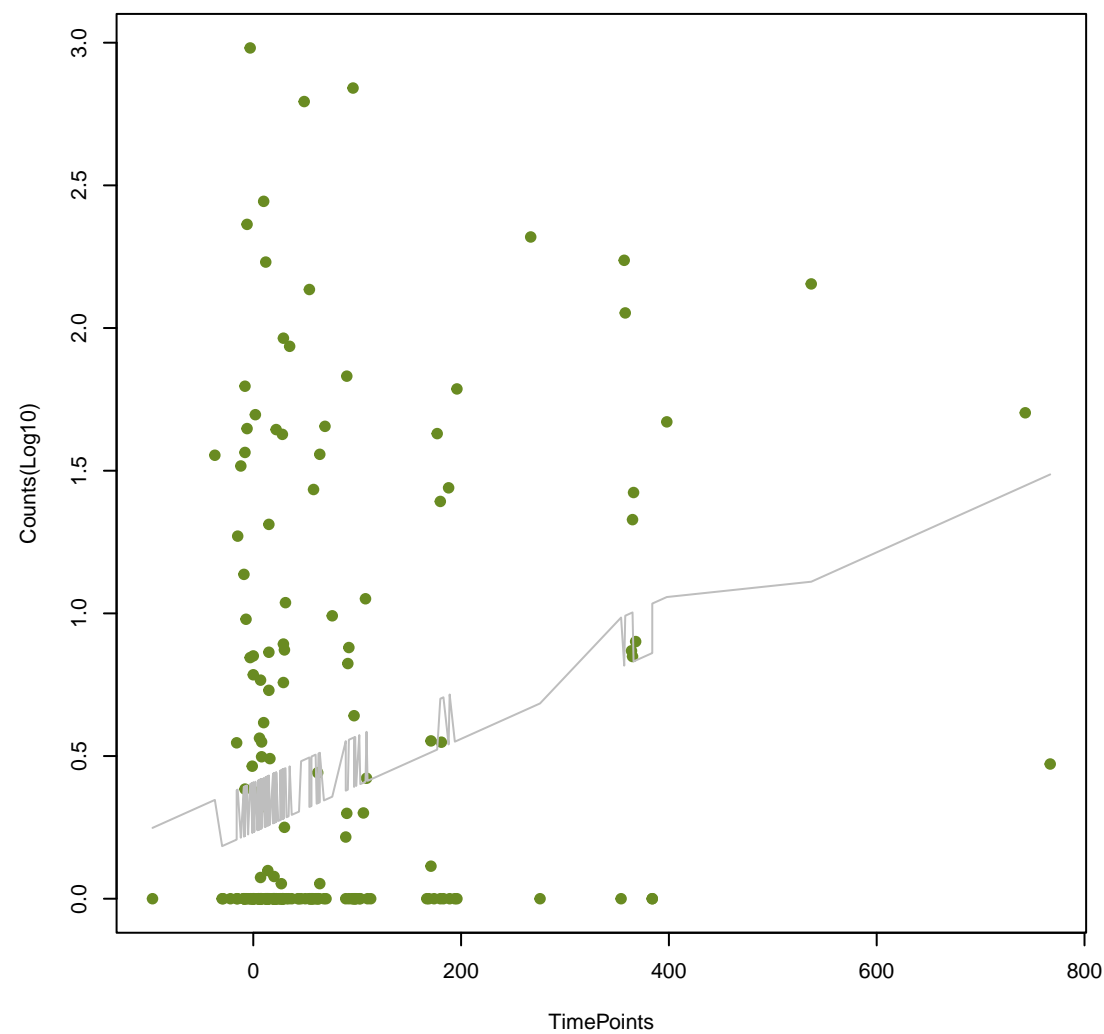
AAC(6')-Im
ANOVA $P=1.81e-05$, adj. ANOVA- $P=0.00136$

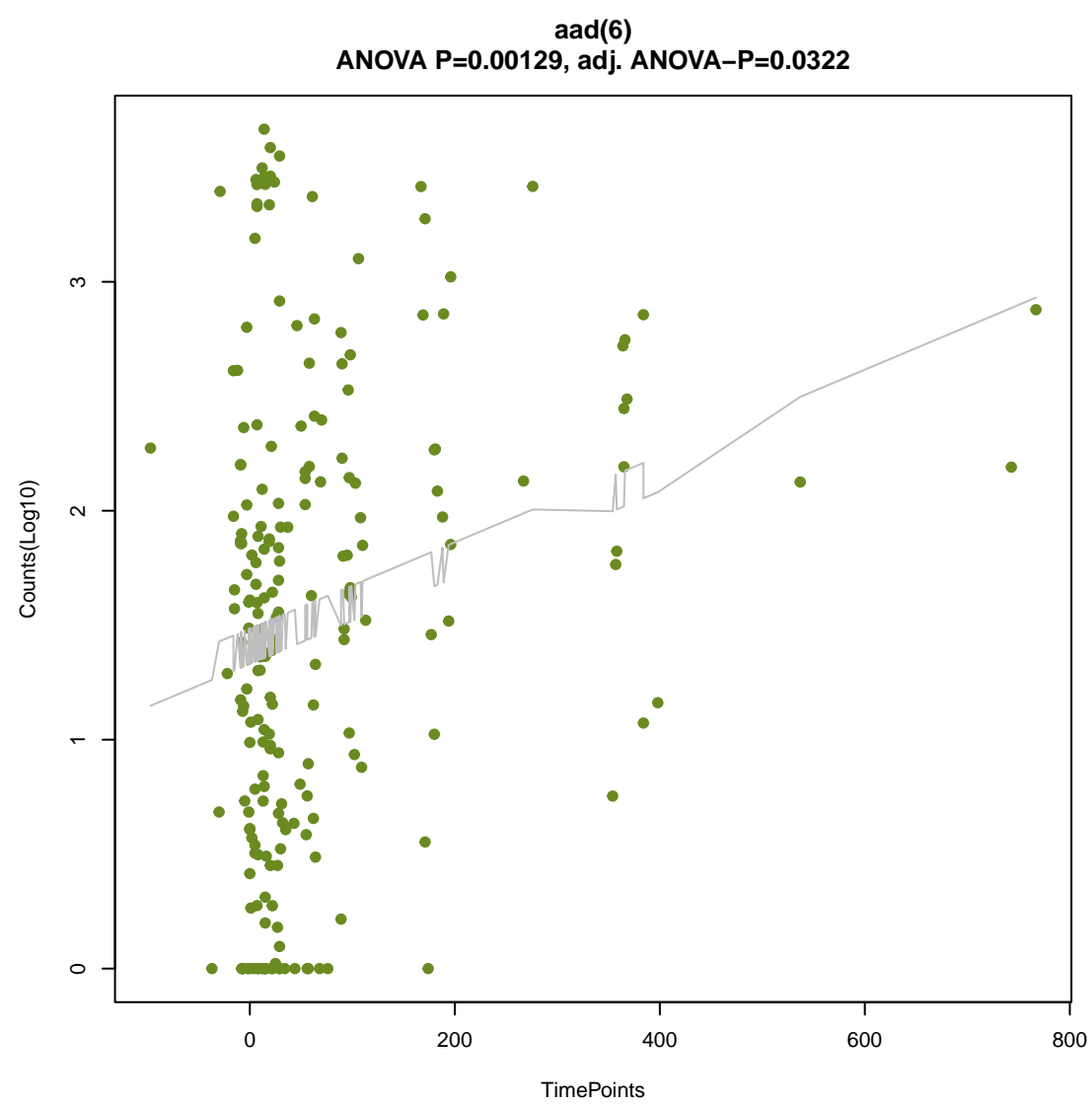
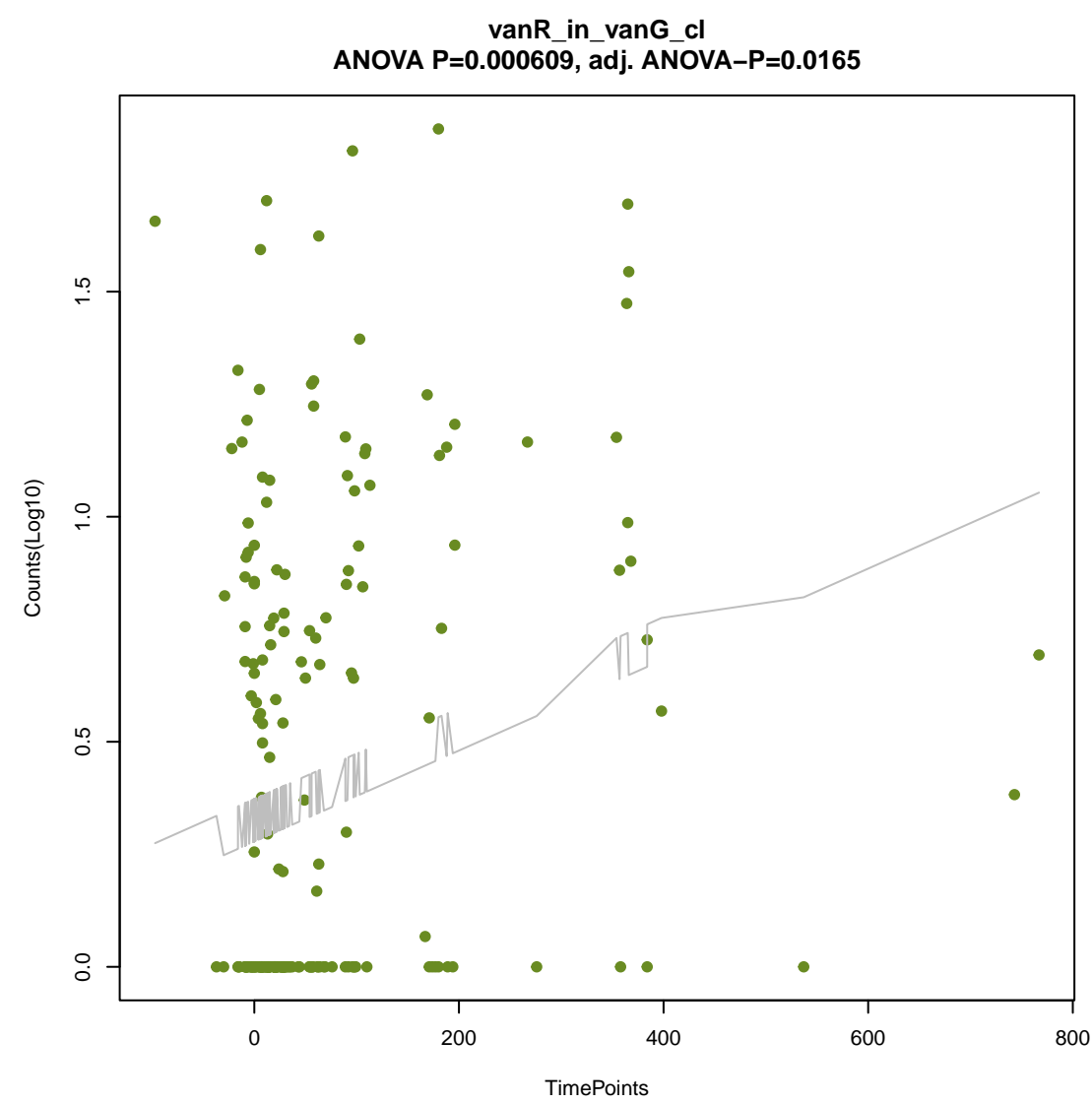
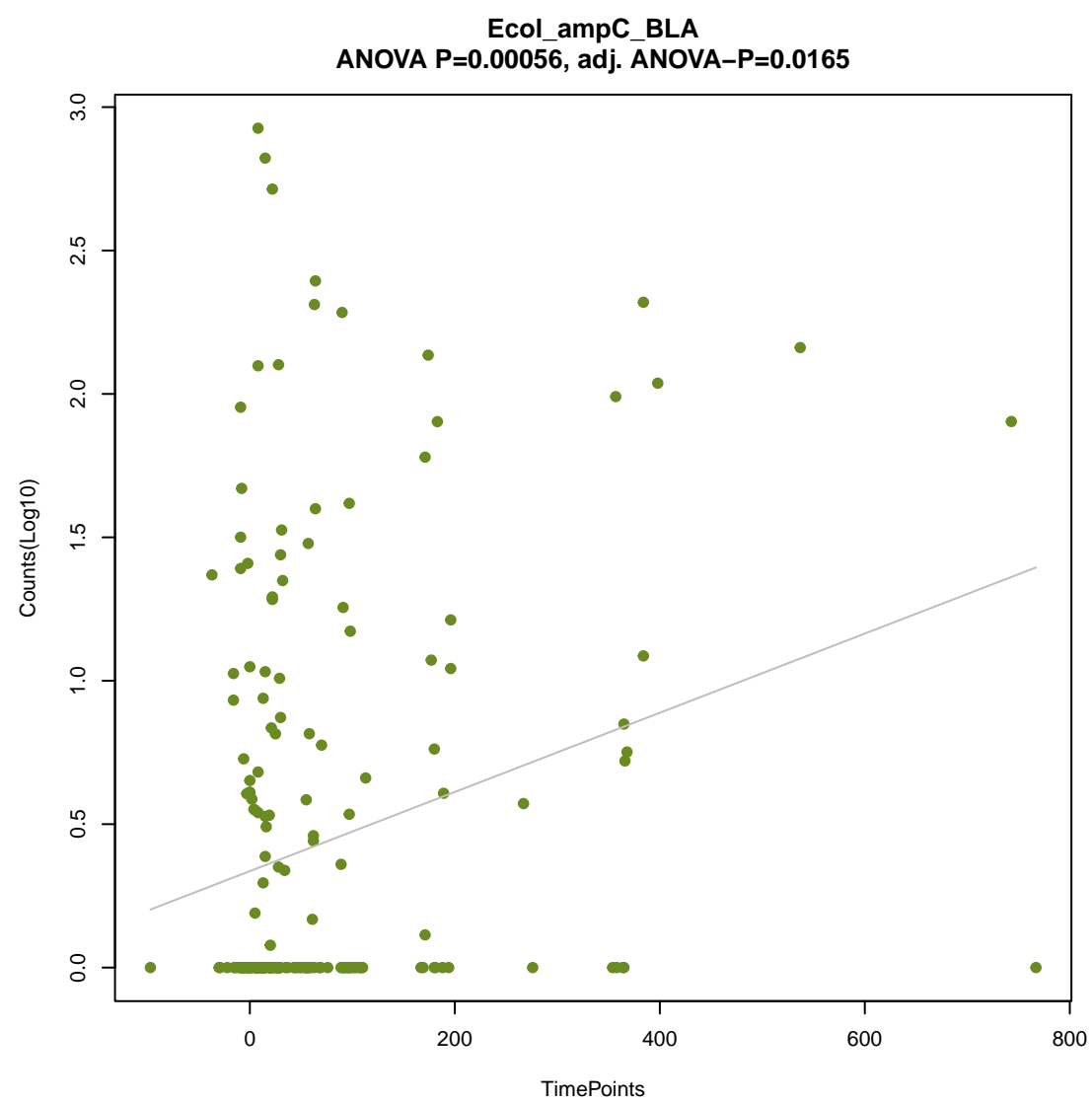
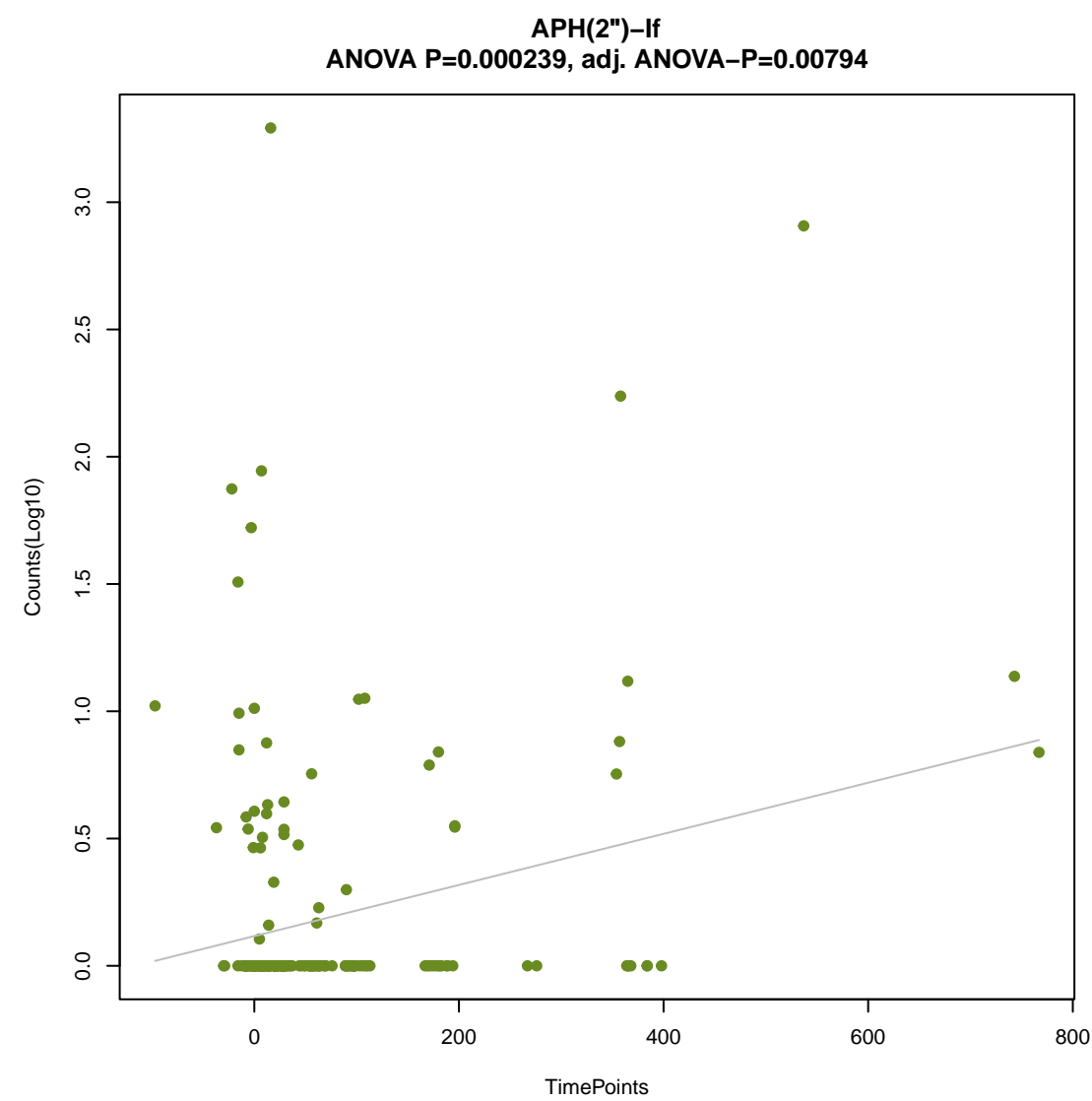
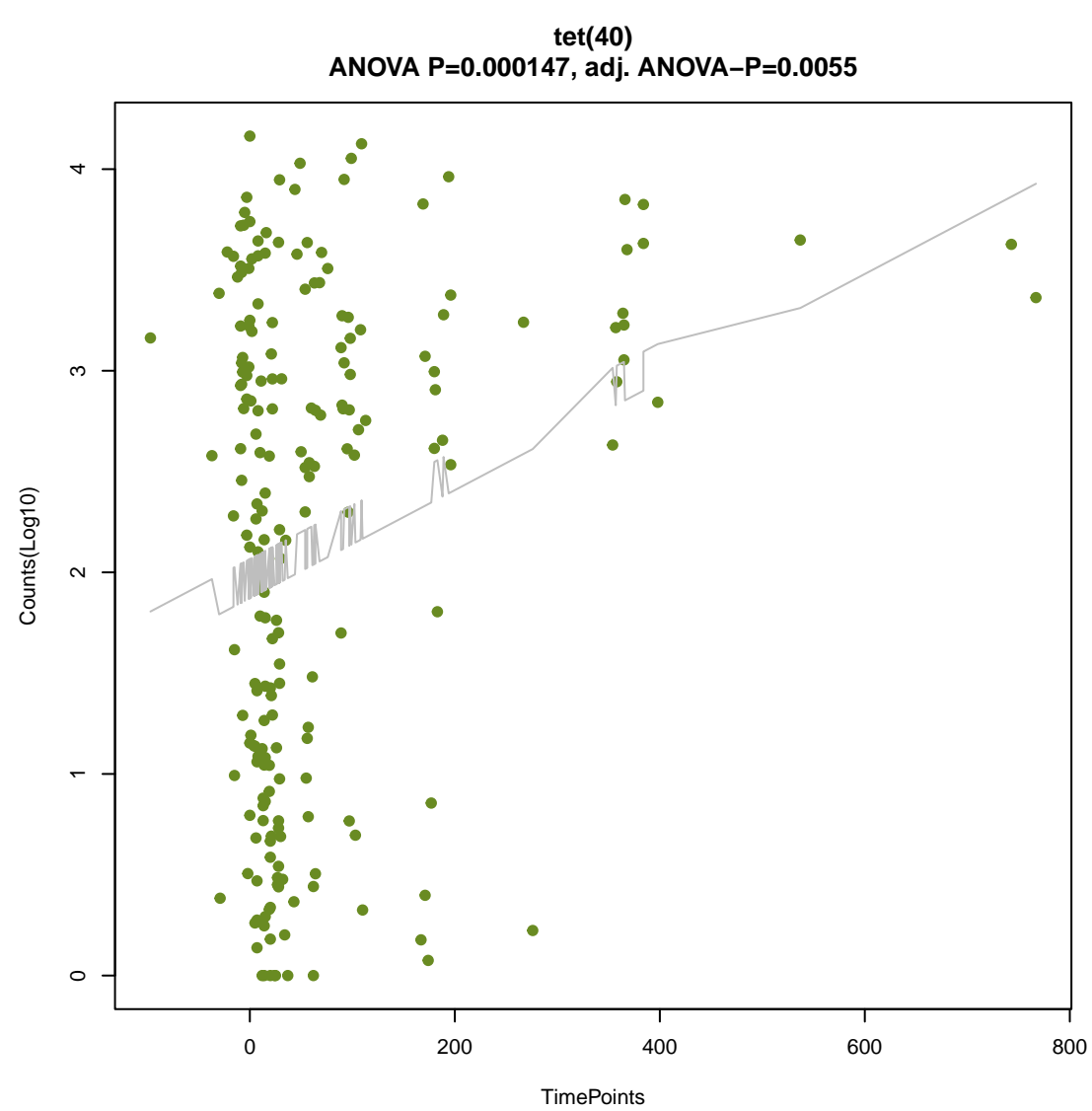
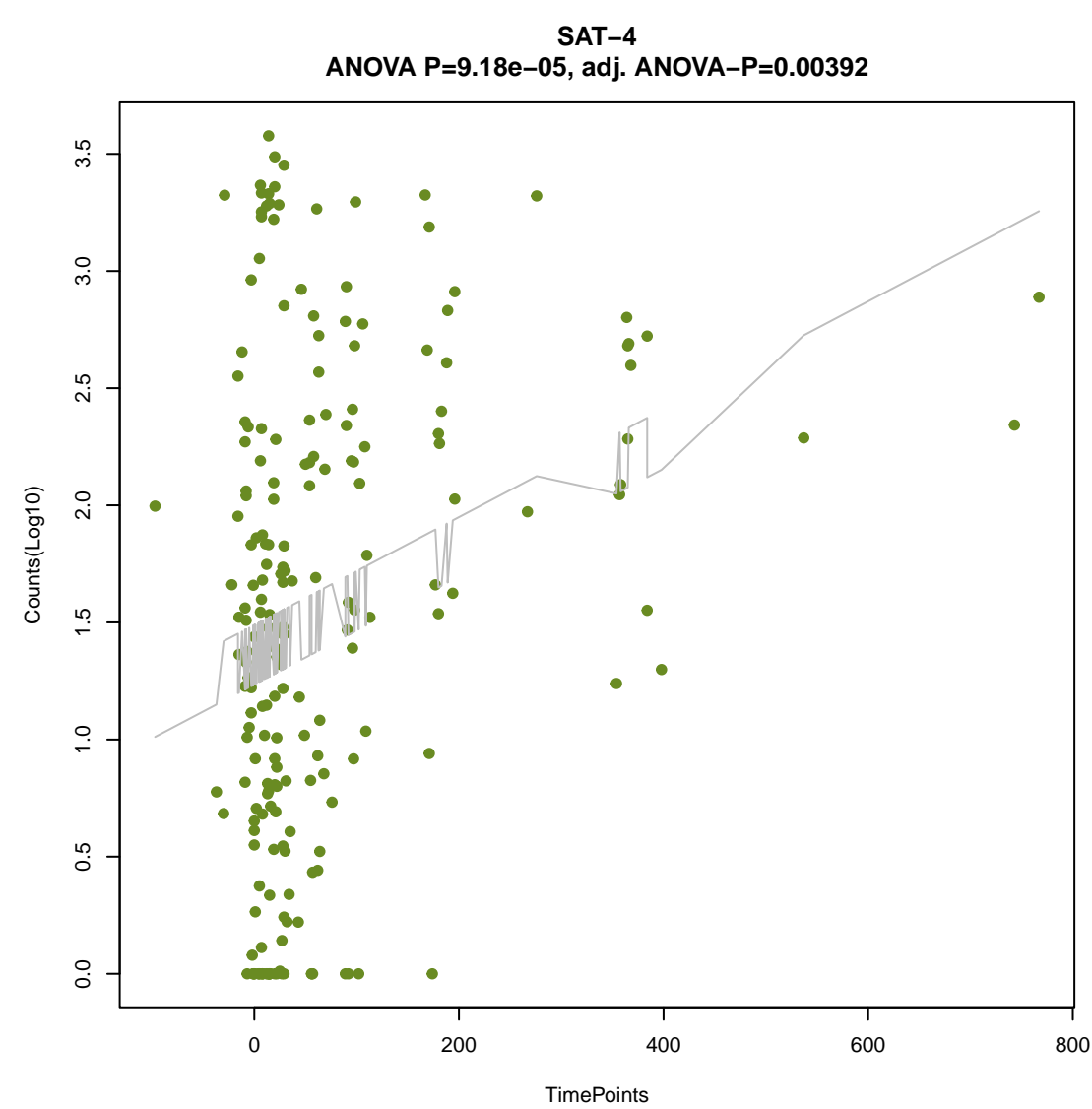


APH(2'')-IIa
ANOVA $P=6.03e-05$, adj. ANOVA- $P=0.00317$

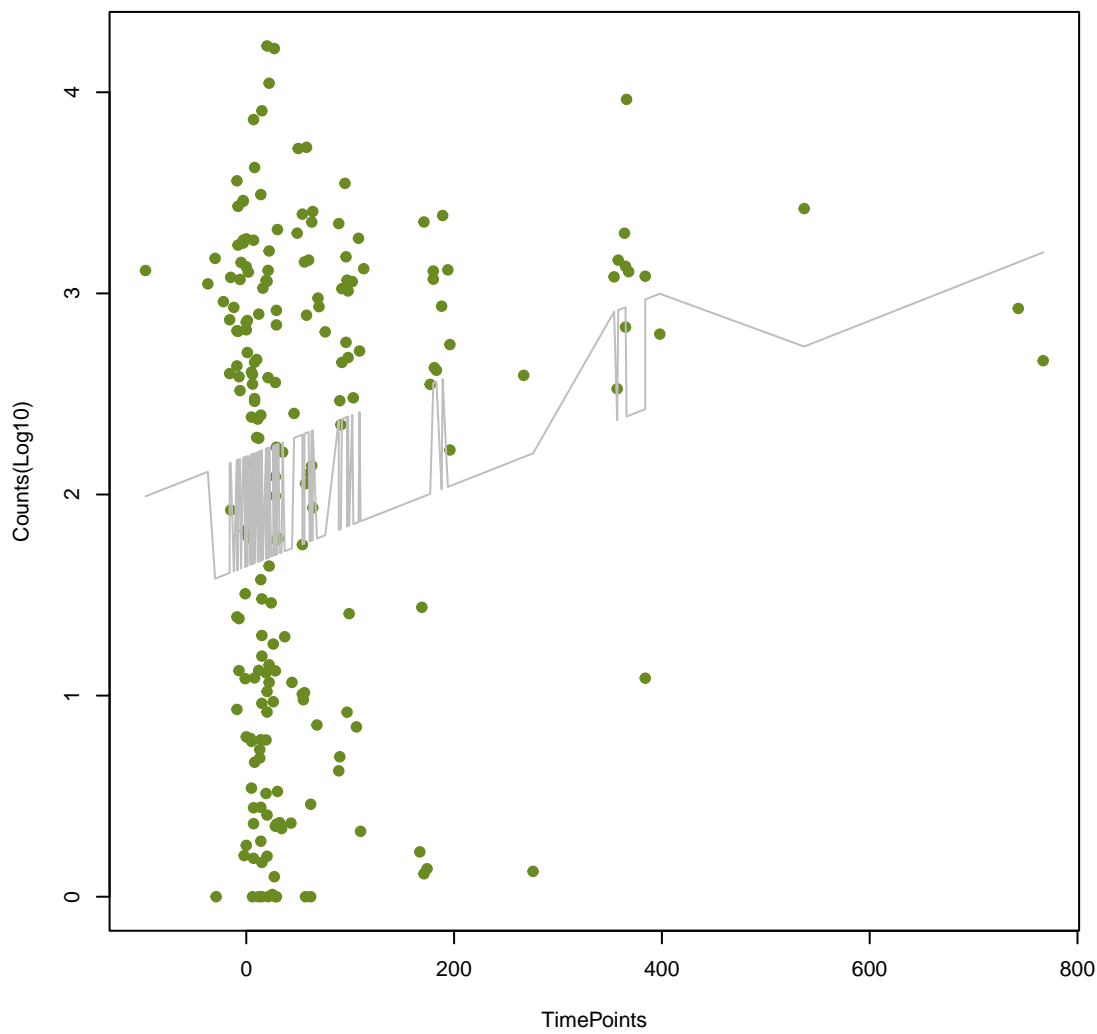


Erm(52)
ANOVA $P=6.35e-05$, adj. ANOVA- $P=0.00317$

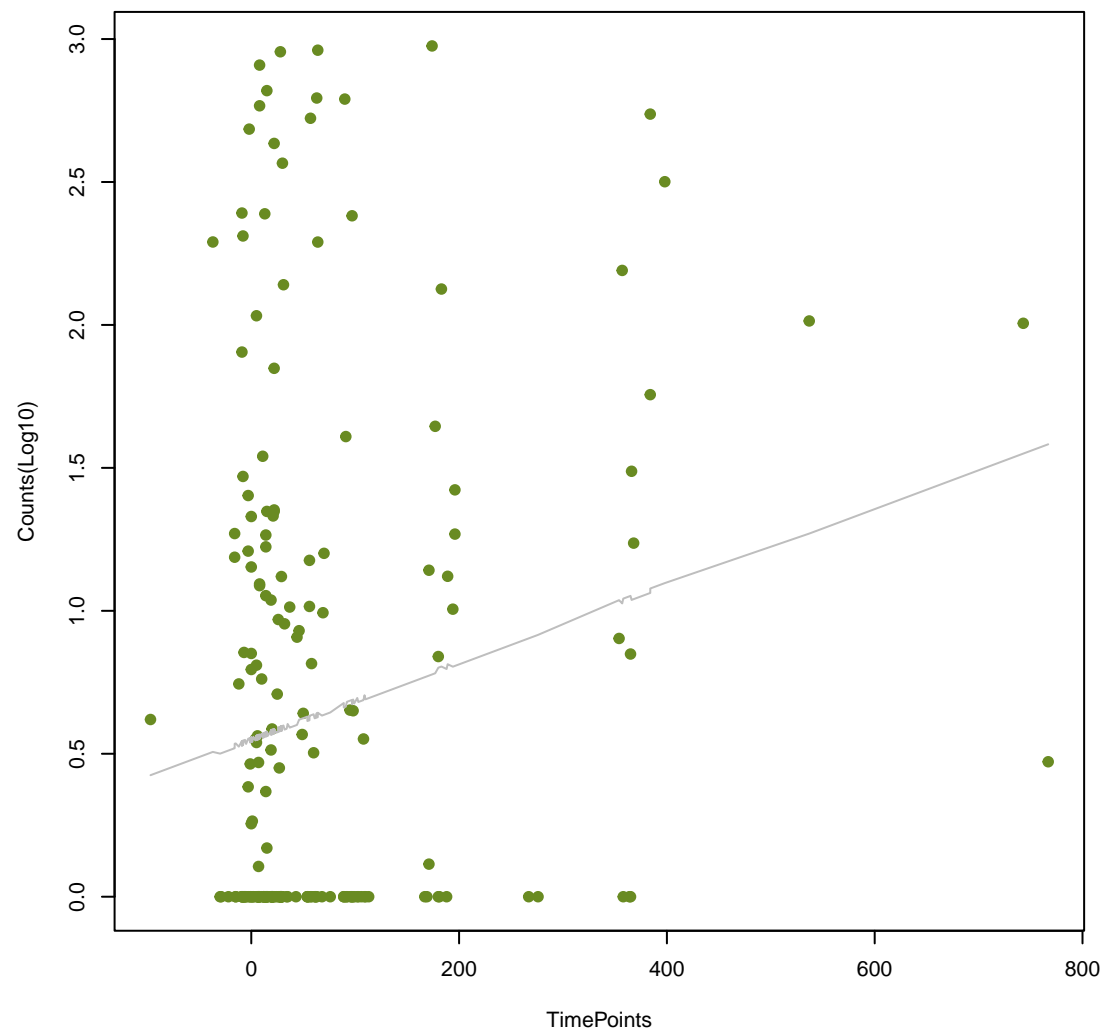




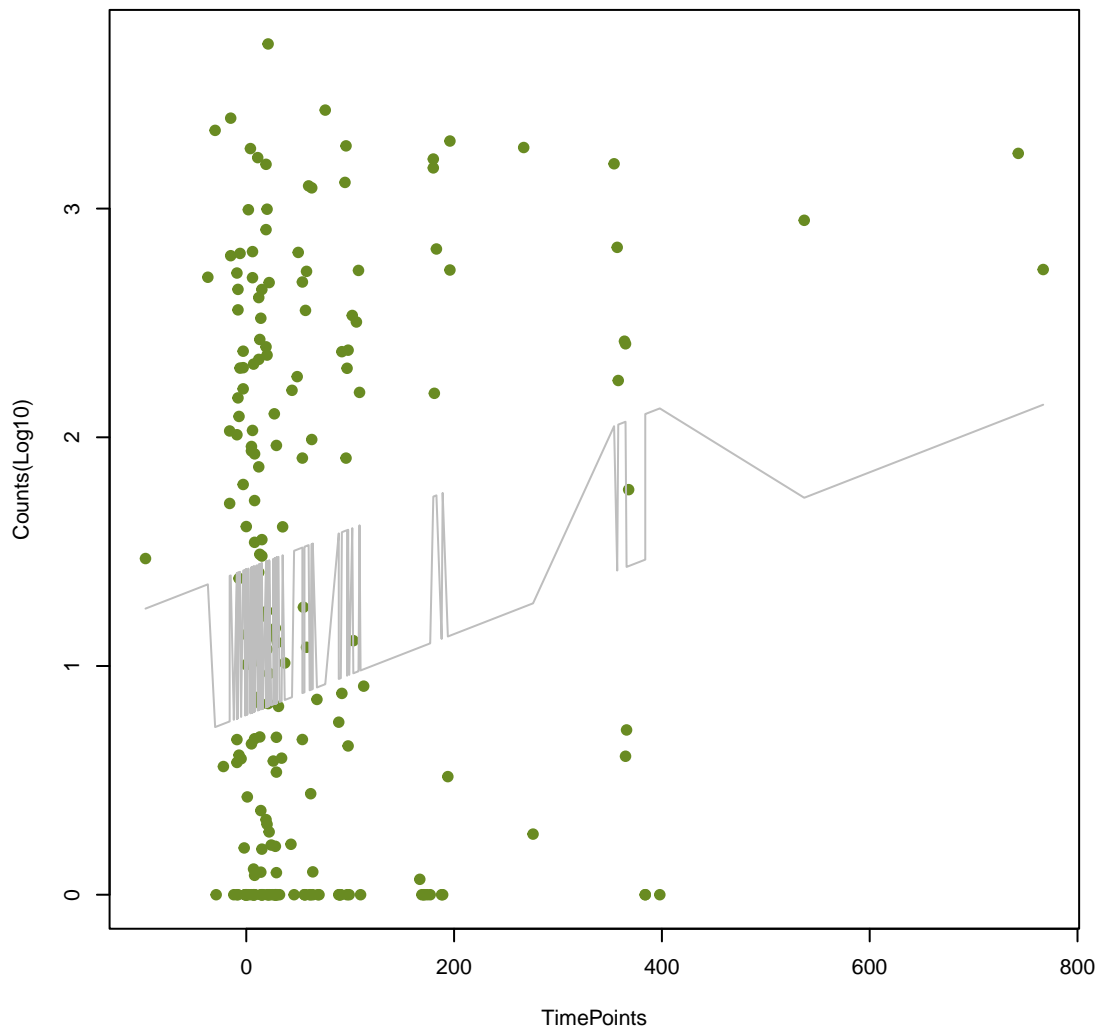
tet32
ANOVA P=0.00217, adj. ANOVA-P=0.0499



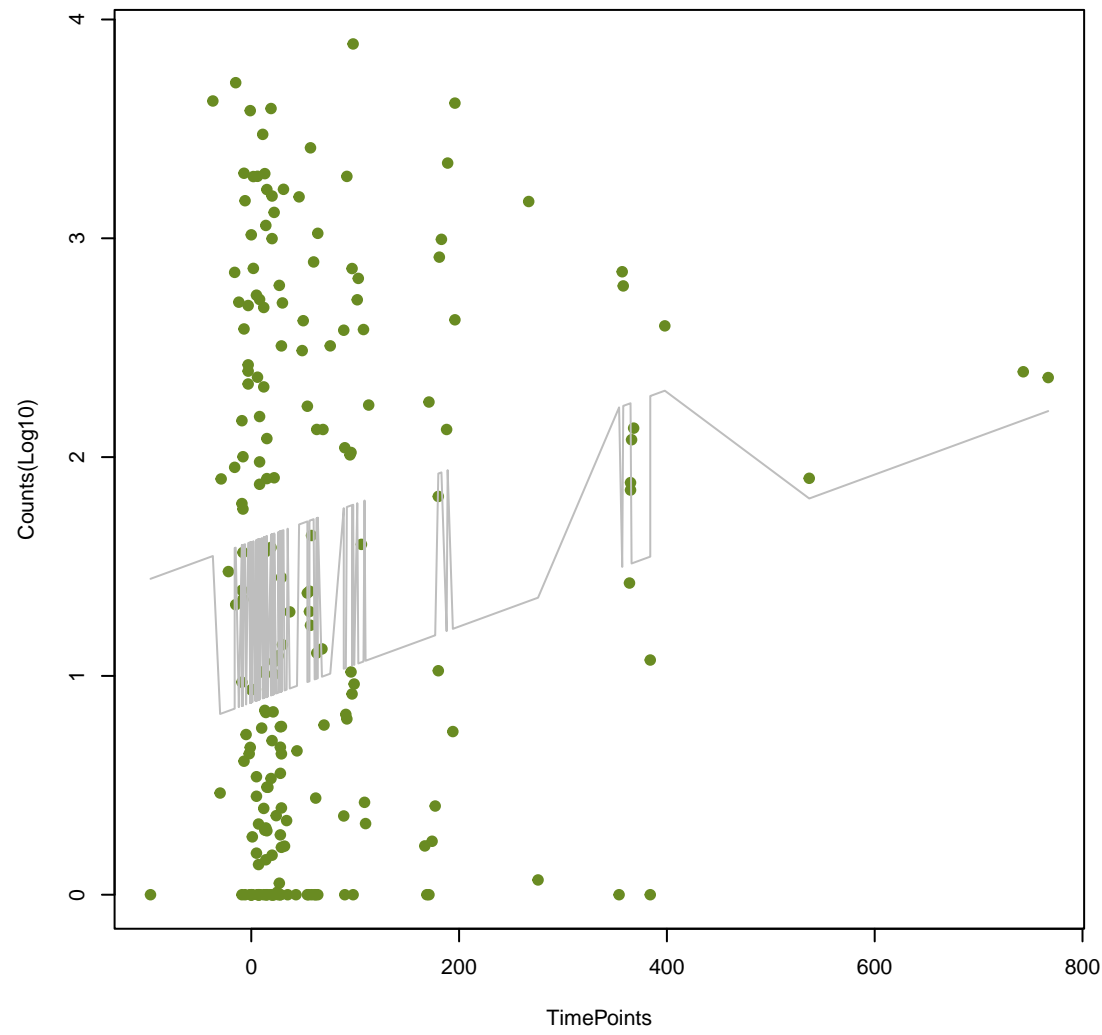
Ecol_ampC1_BLA
ANOVA P=0.00696, adj. ANOVA-P=0.135



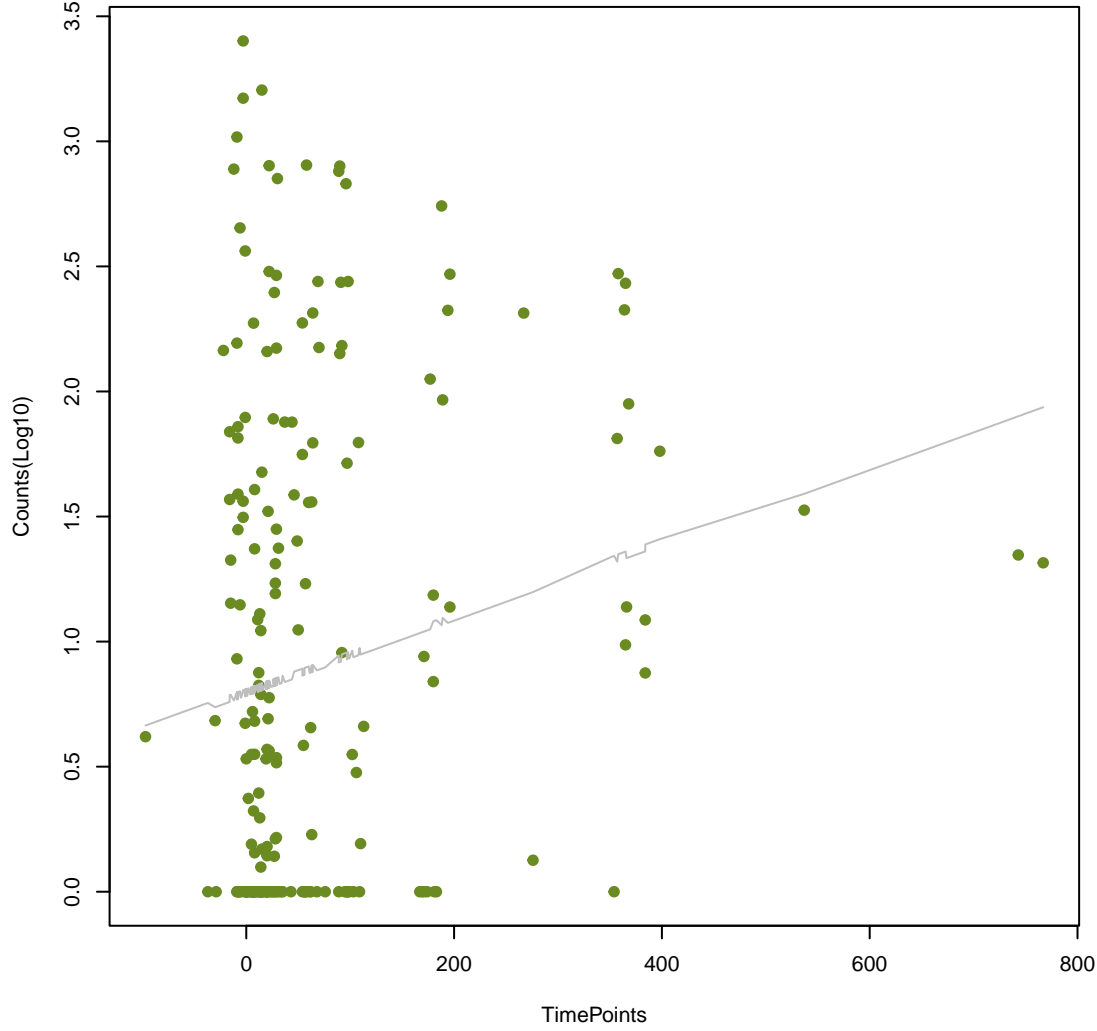
CblA-1
ANOVA P=0.00696, adj. ANOVA-P=0.135



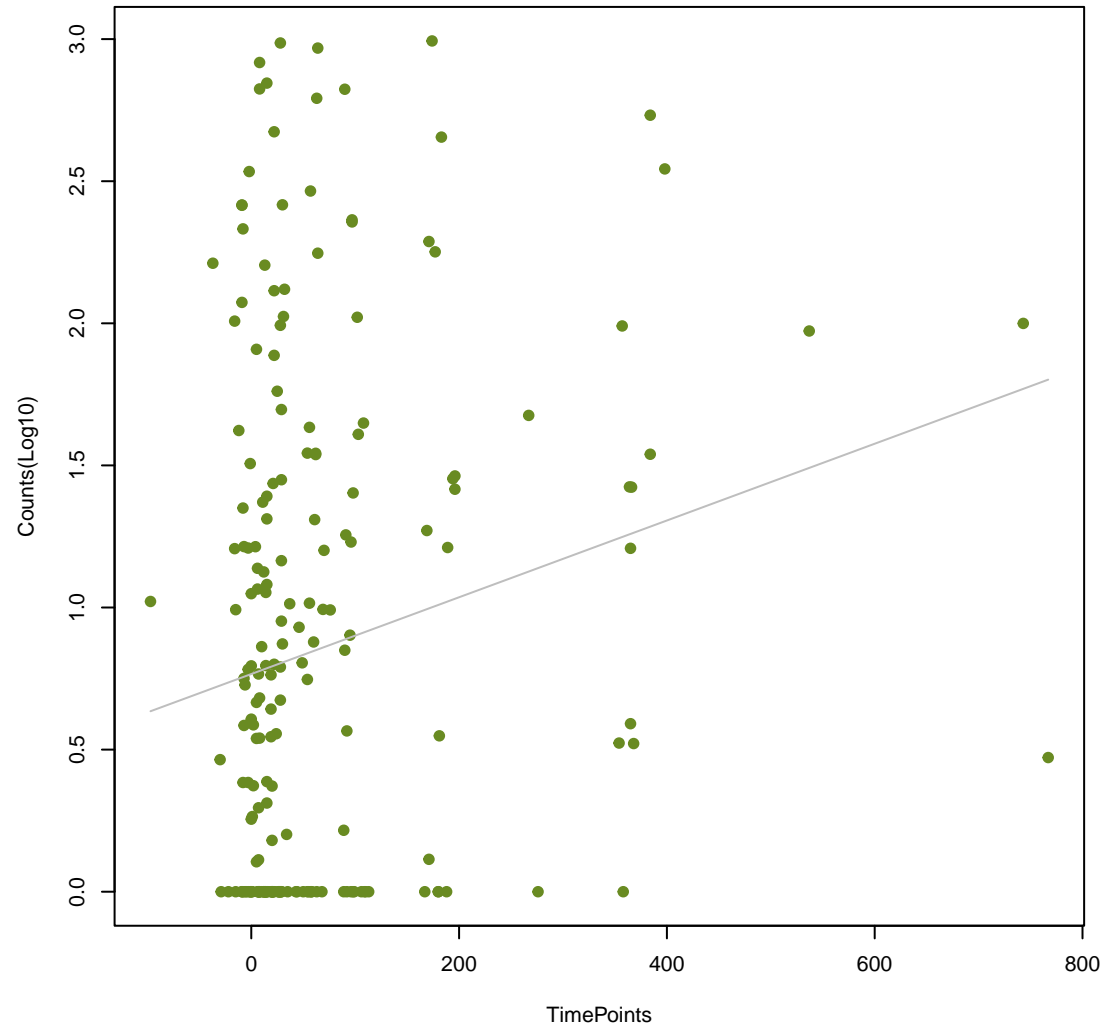
ErmG
ANOVA P=0.00757, adj. ANOVA-P=0.135

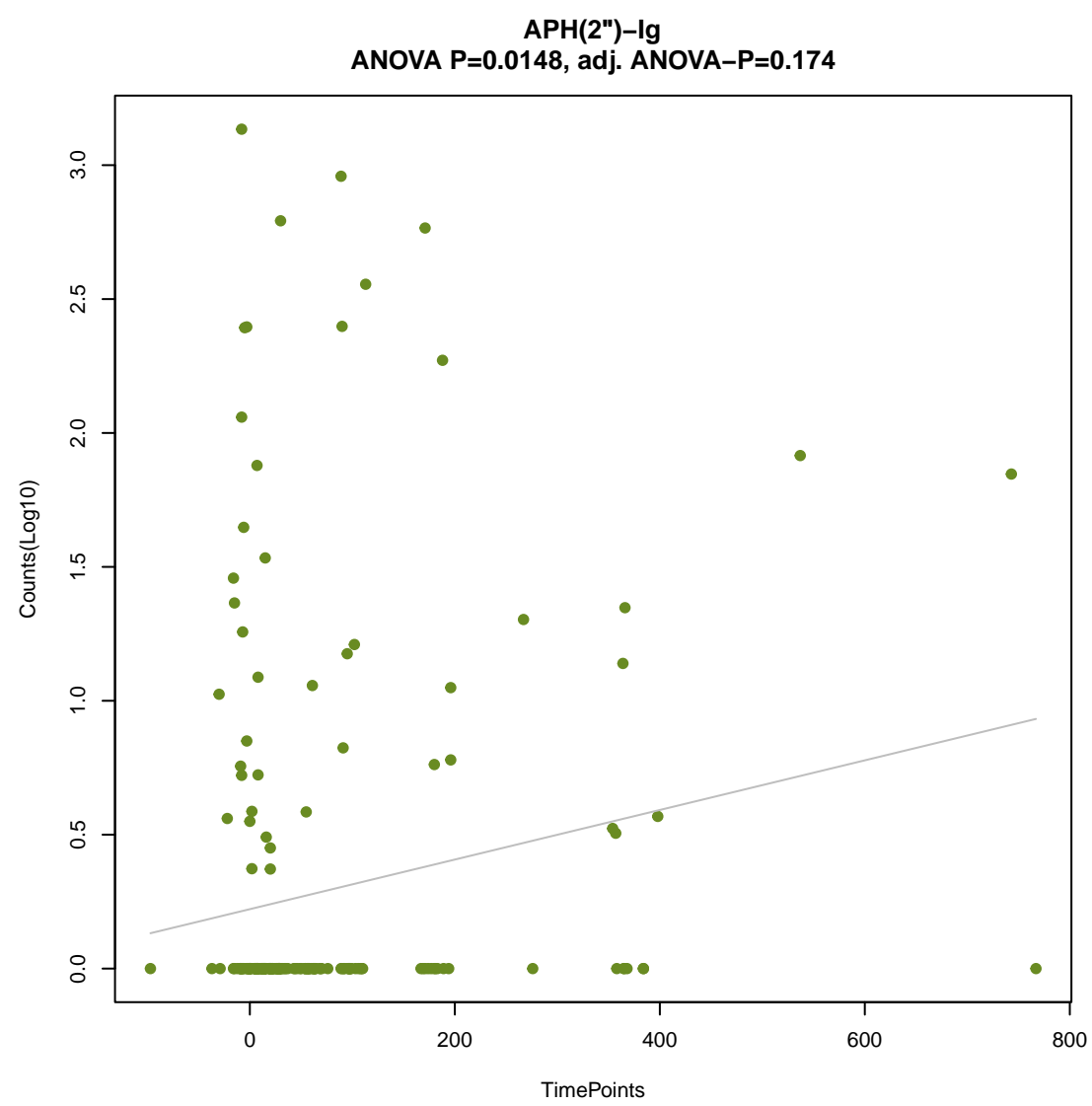
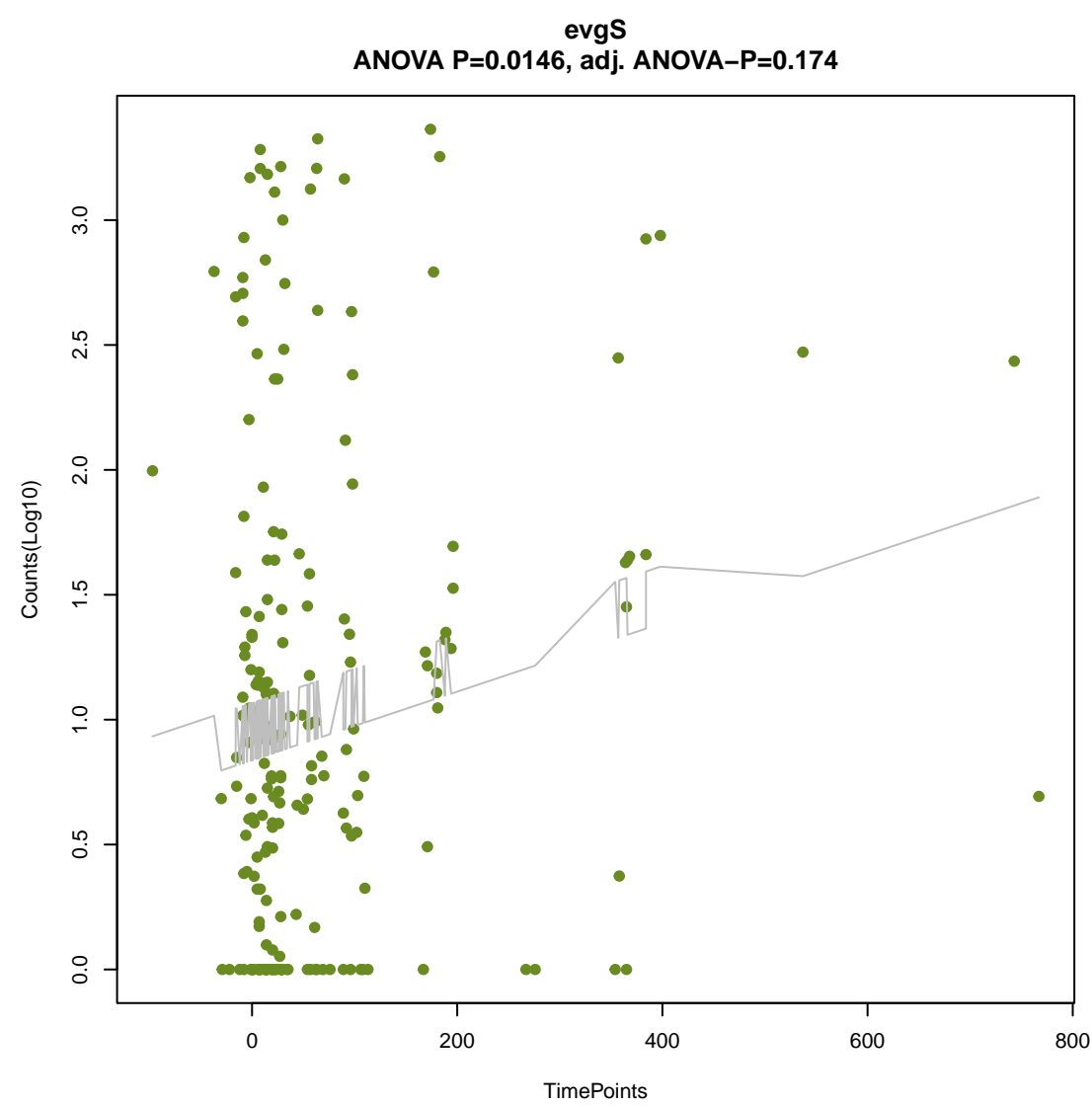
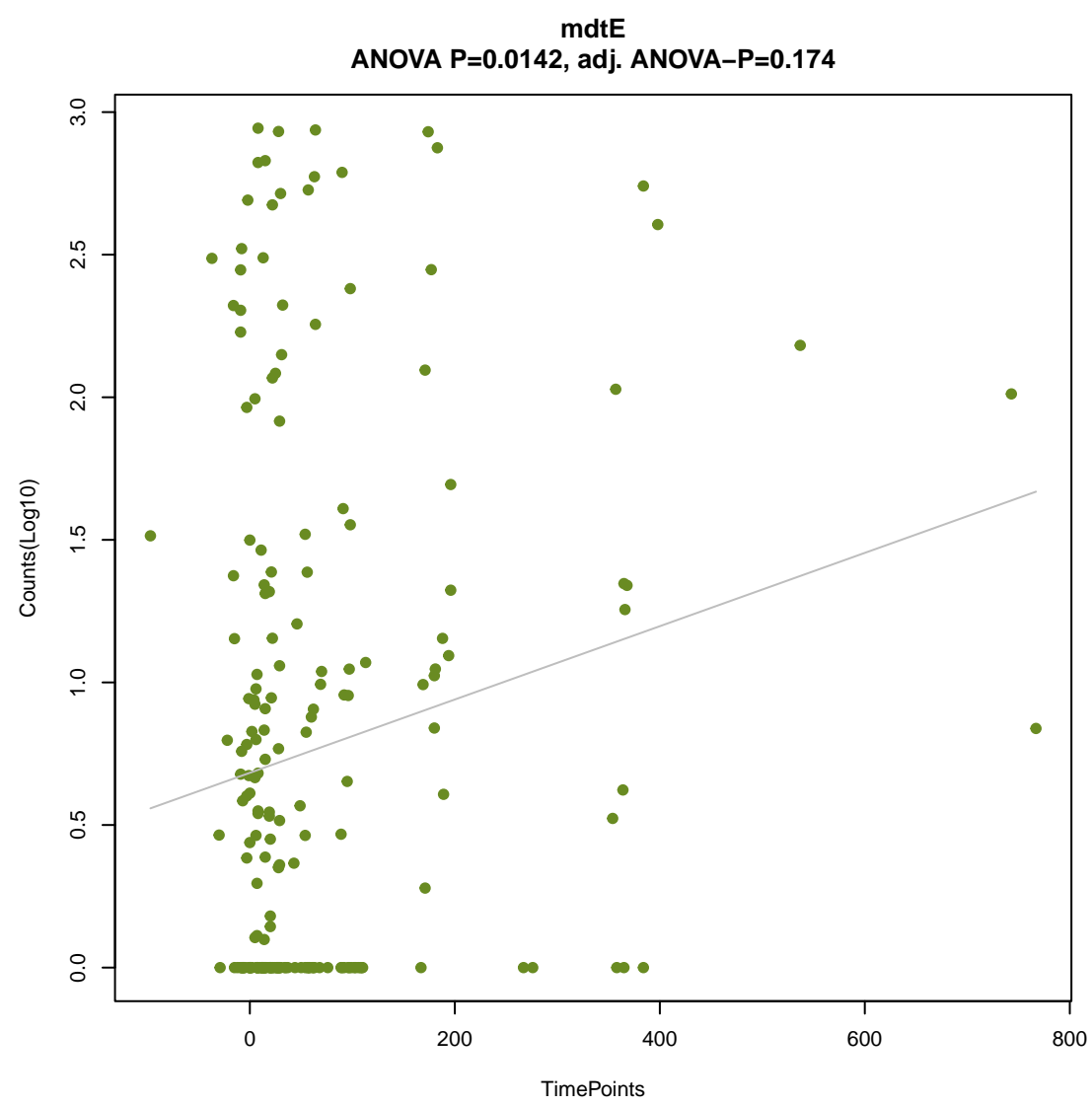
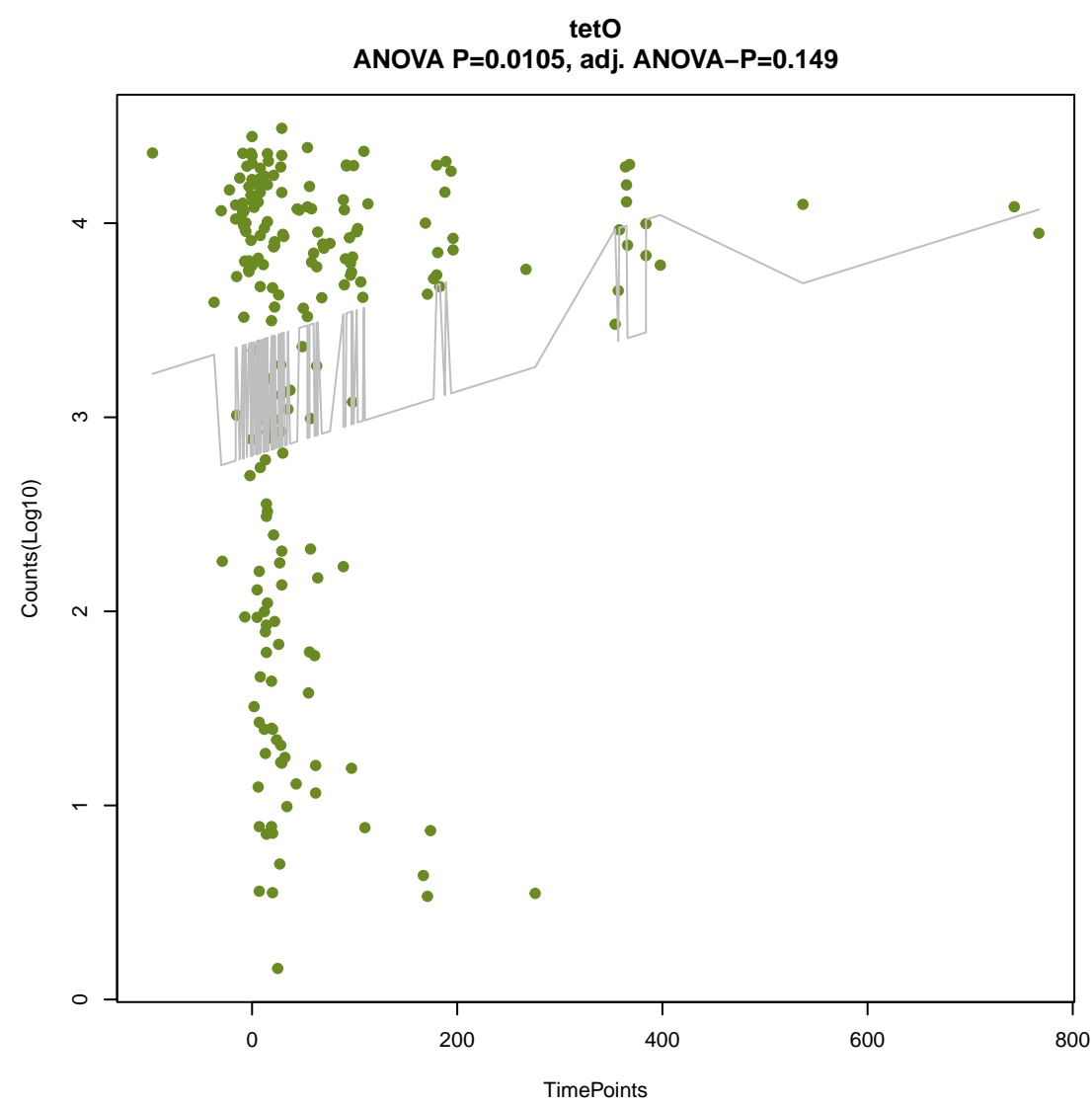
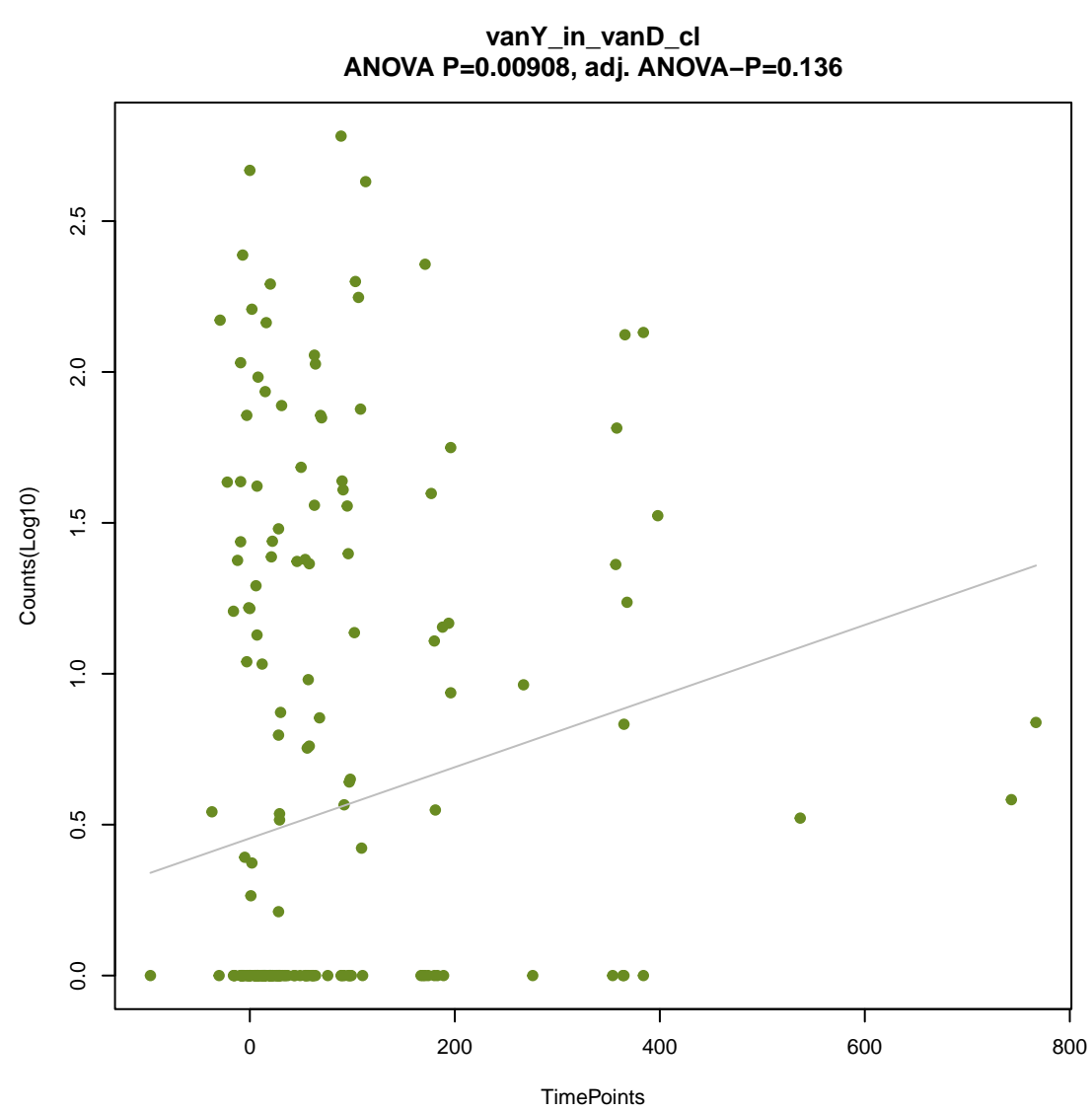
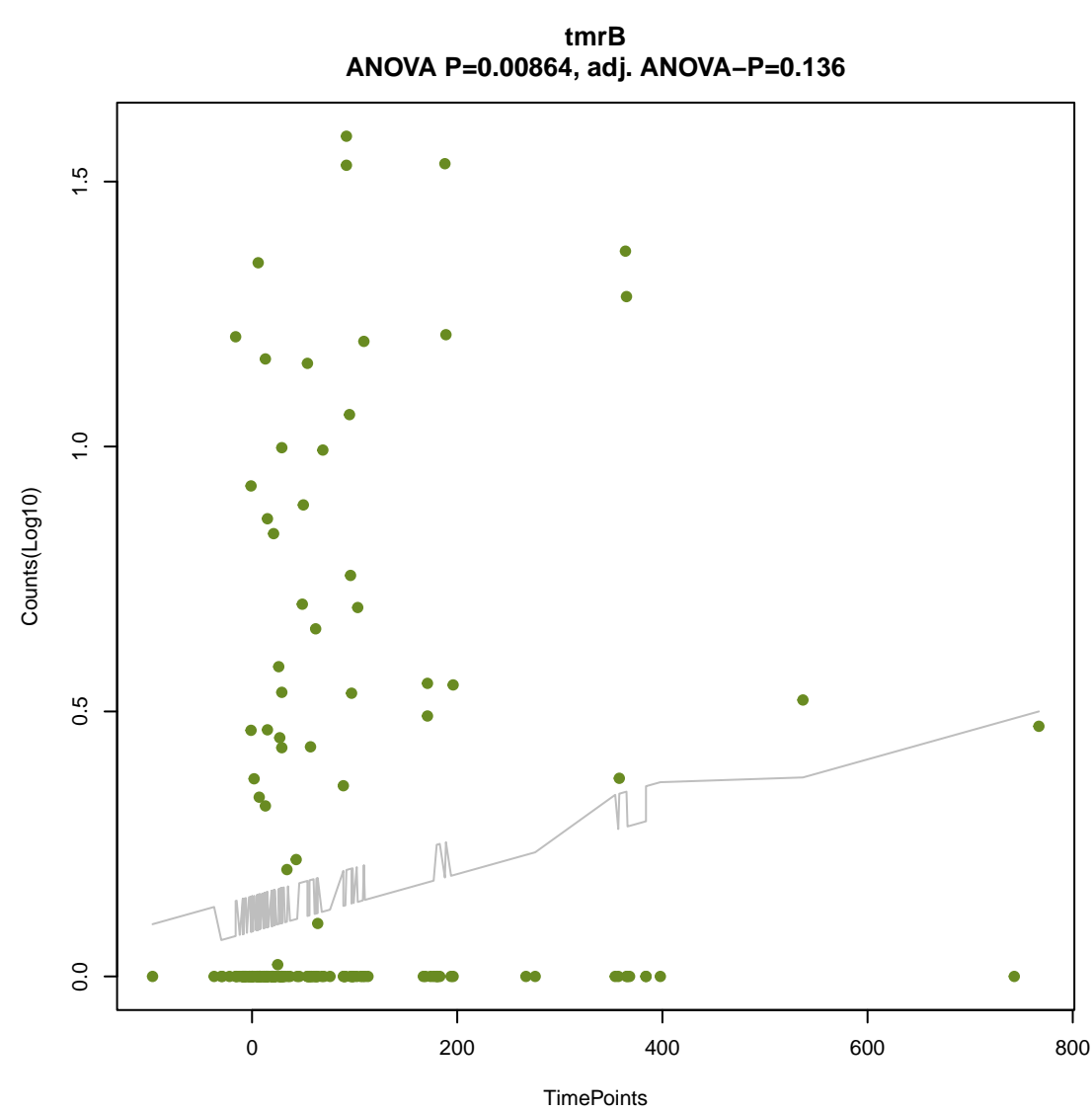


tet(44)
ANOVA P=0.00769, adj. ANOVA-P=0.135

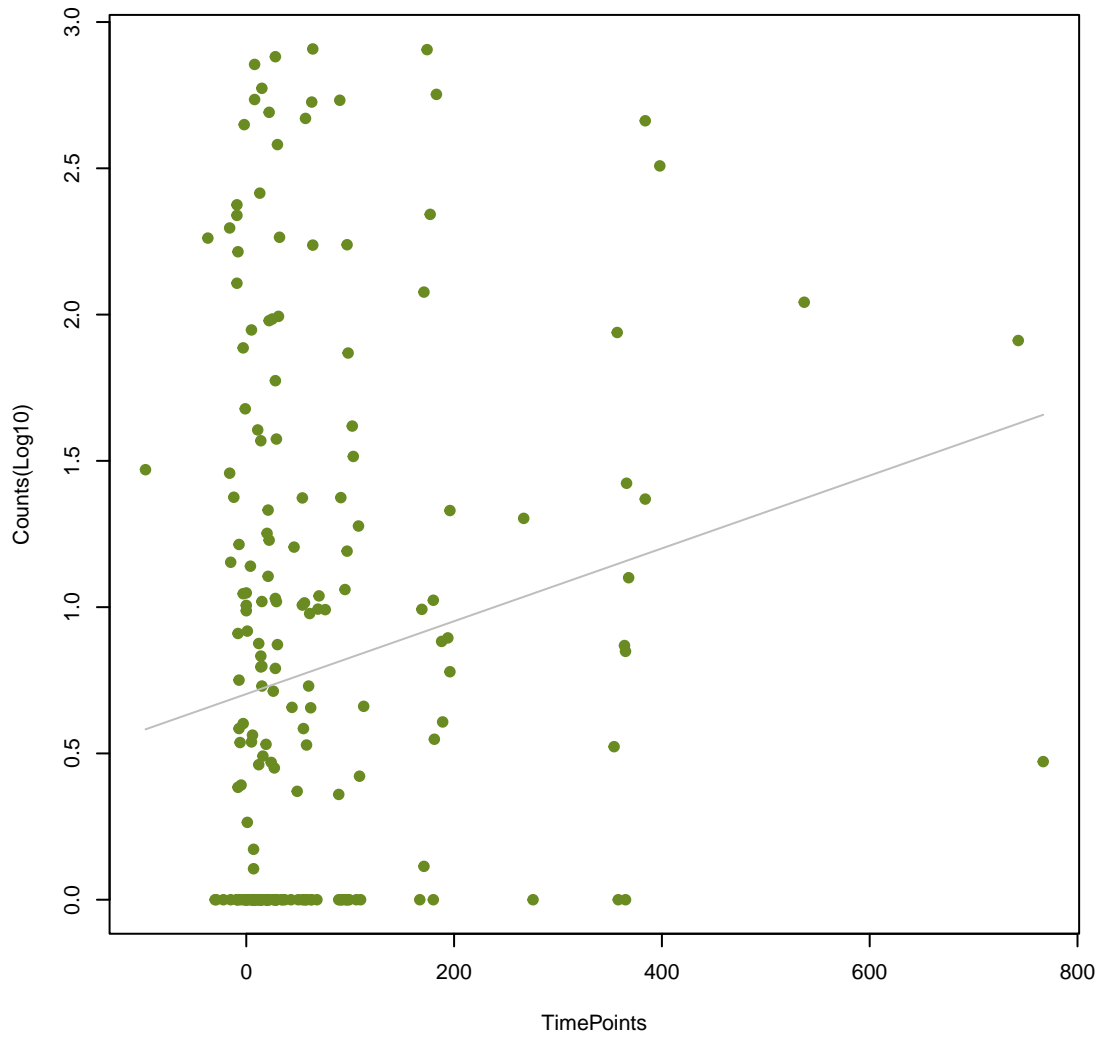


baeS
ANOVA P=0.00856, adj. ANOVA-P=0.136

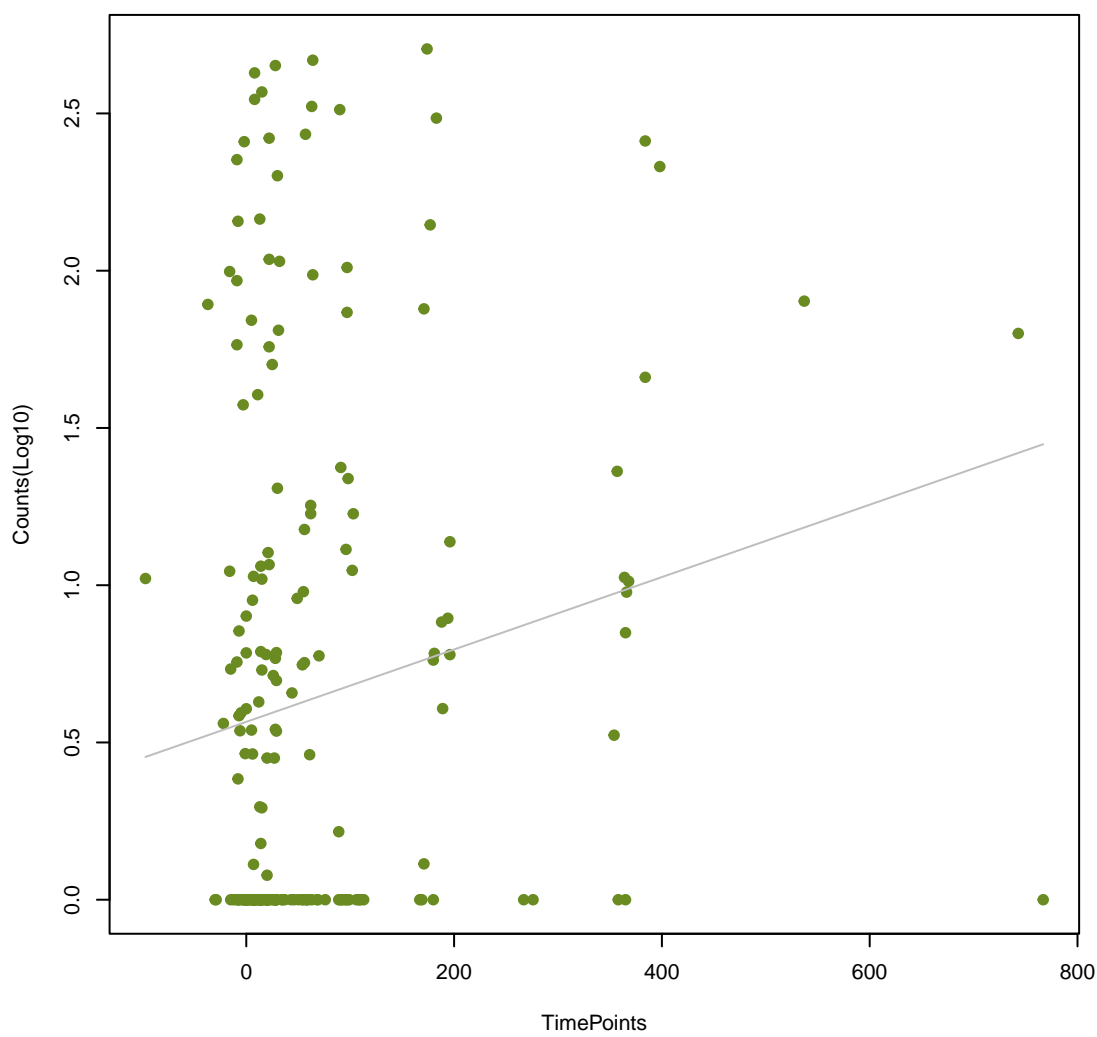




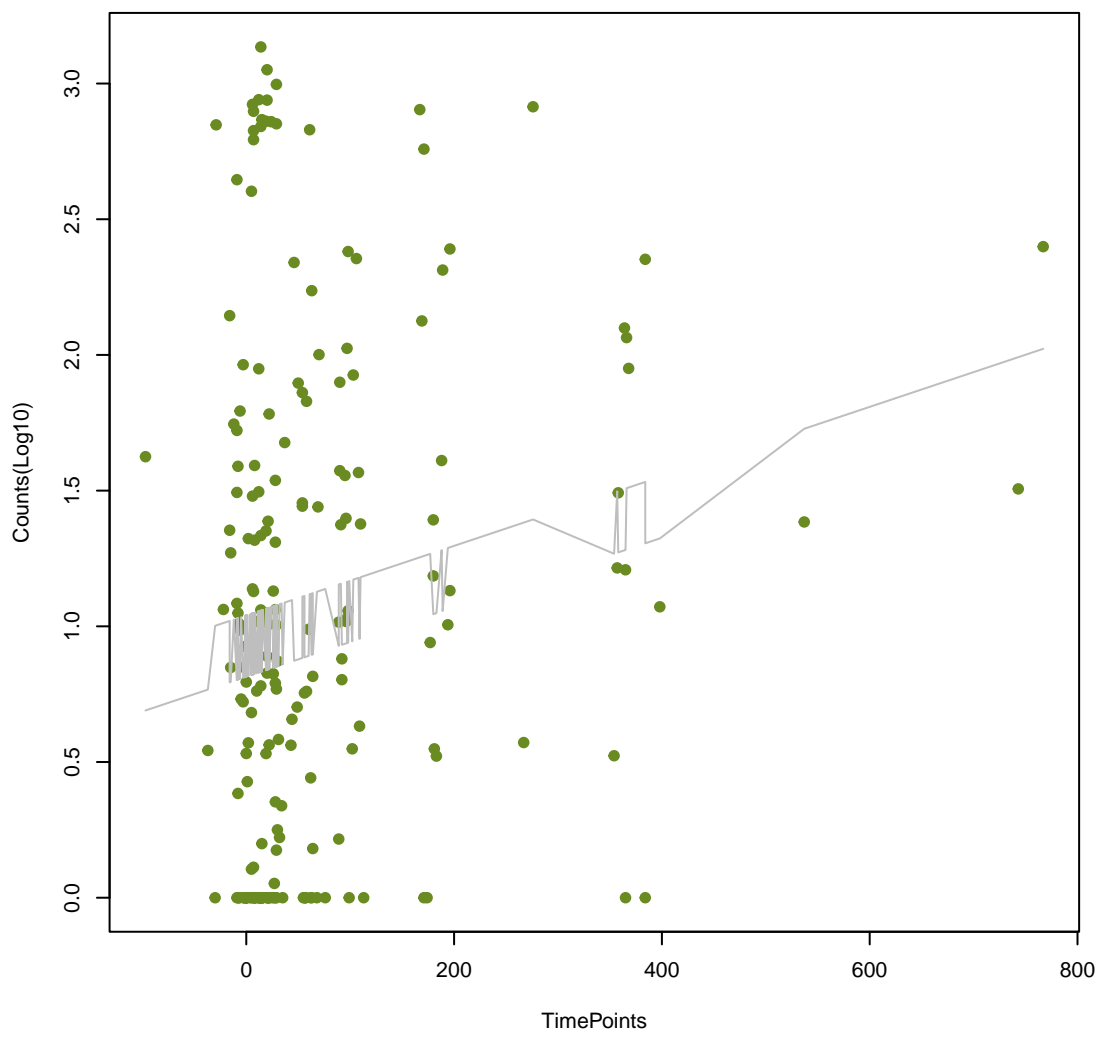
Ecol_ampH_BLA
ANOVA P=0.015, adj. ANOVA-P=0.174



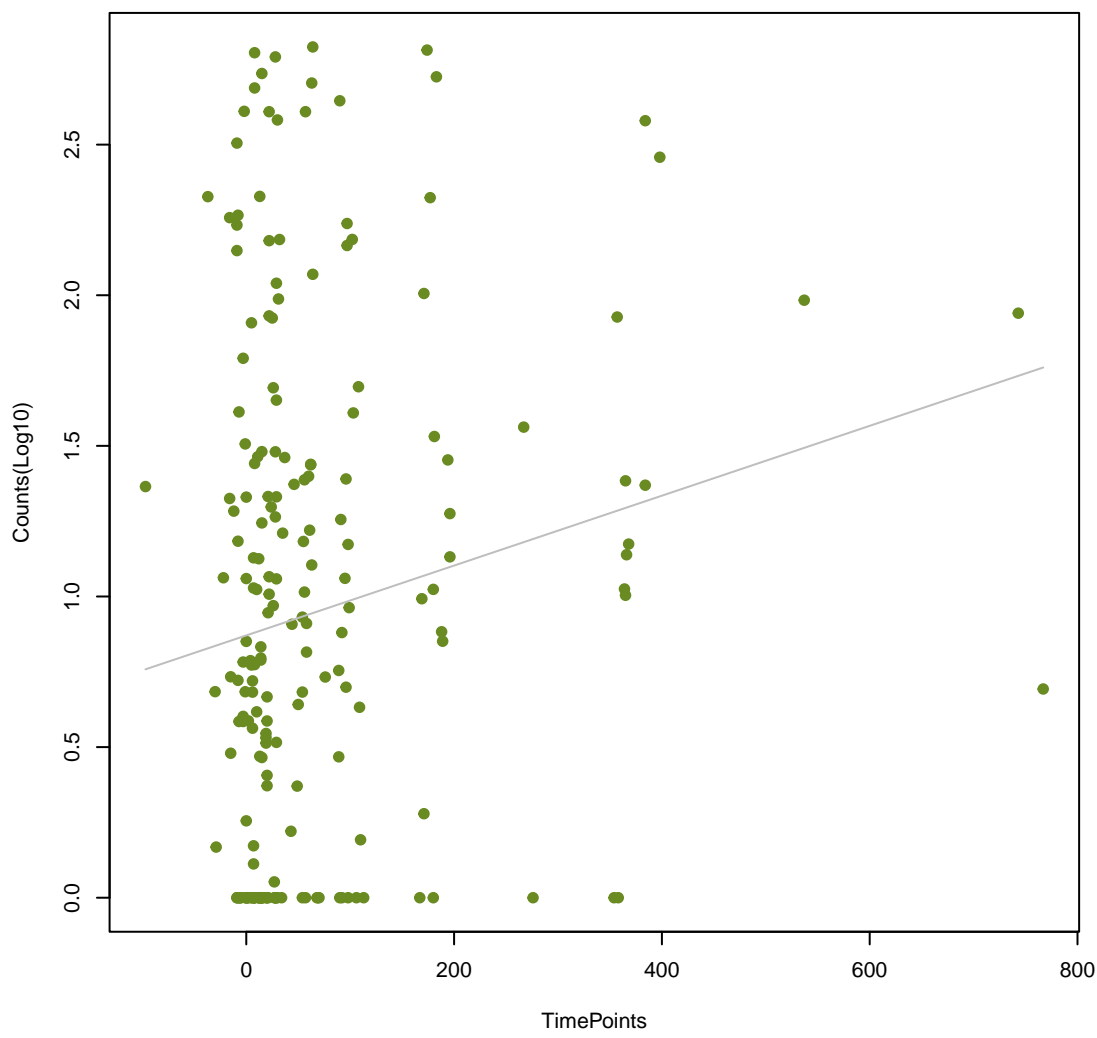
baeR
ANOVA P=0.0151, adj. ANOVA-P=0.174



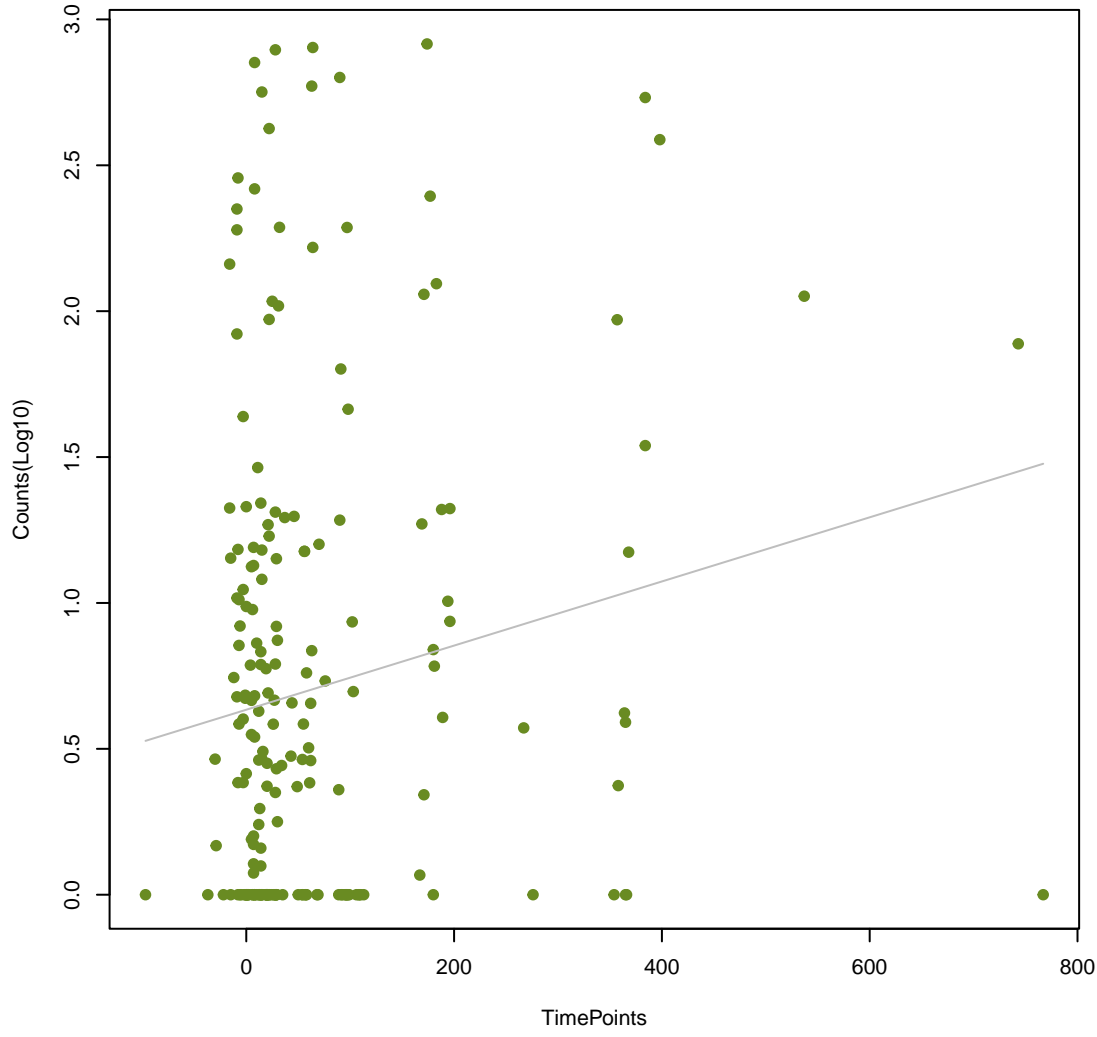
ANT(6)-la
ANOVA P=0.0167, adj. ANOVA-P=0.182



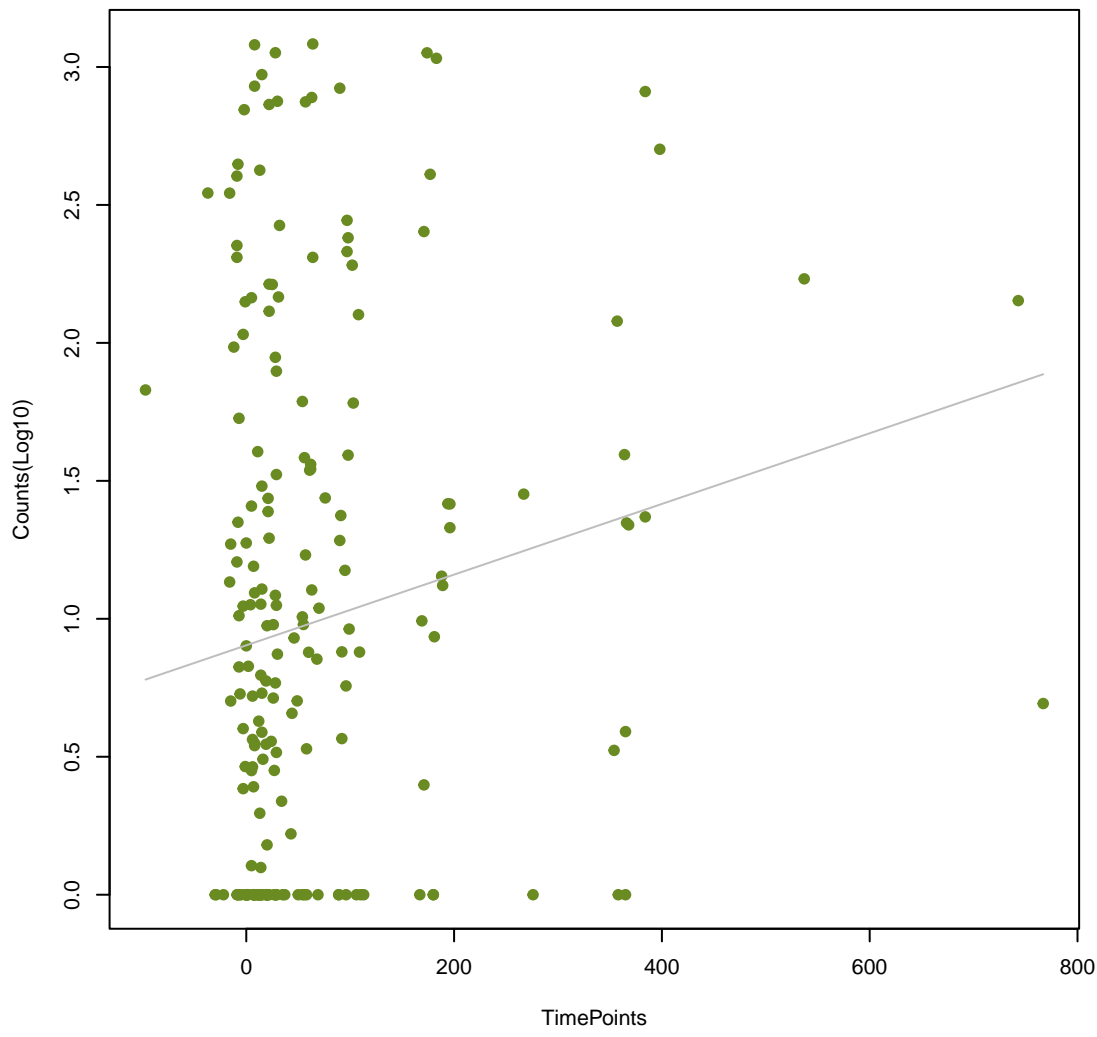
bacA
ANOVA P=0.017, adj. ANOVA-P=0.182



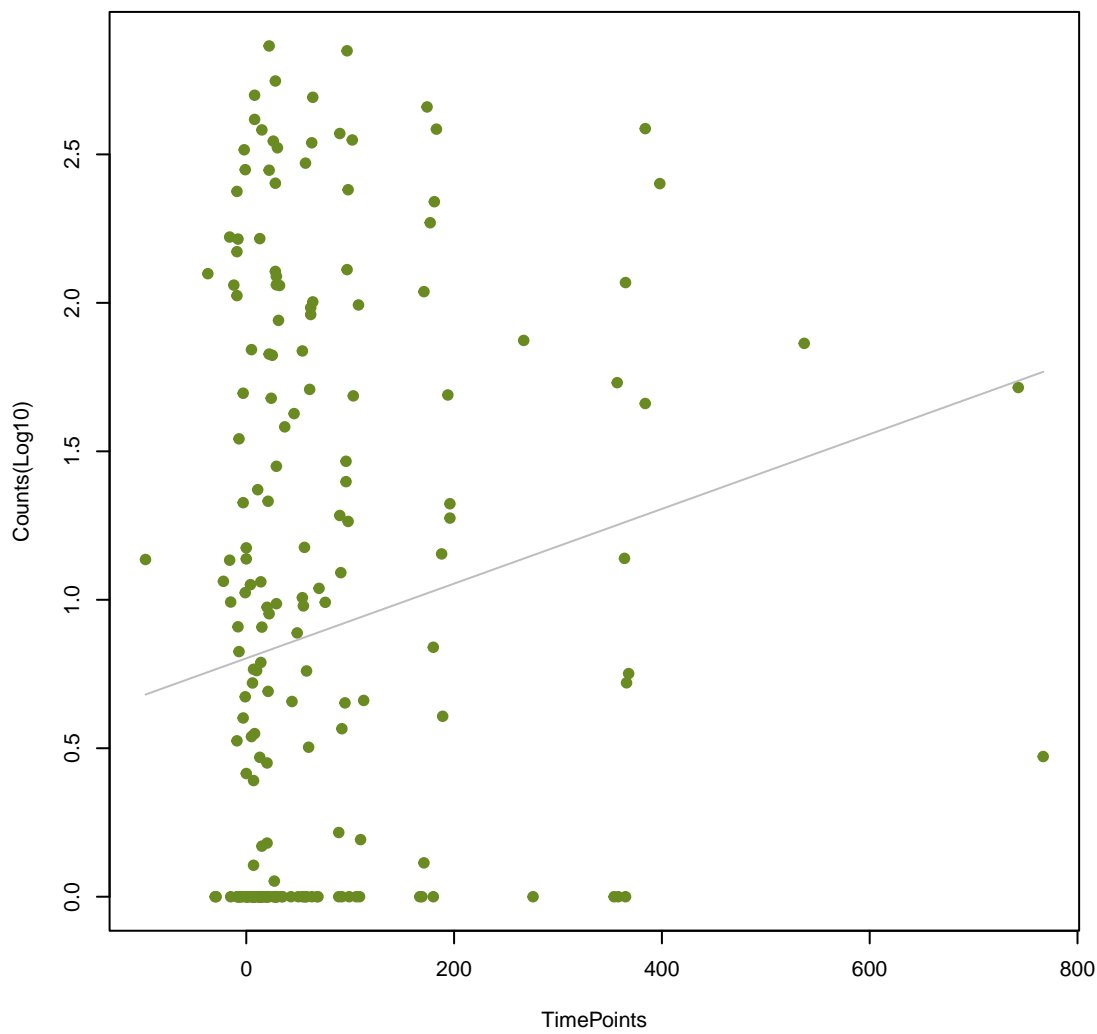
mdtM
ANOVA P=0.0188, adj. ANOVA-P=0.183



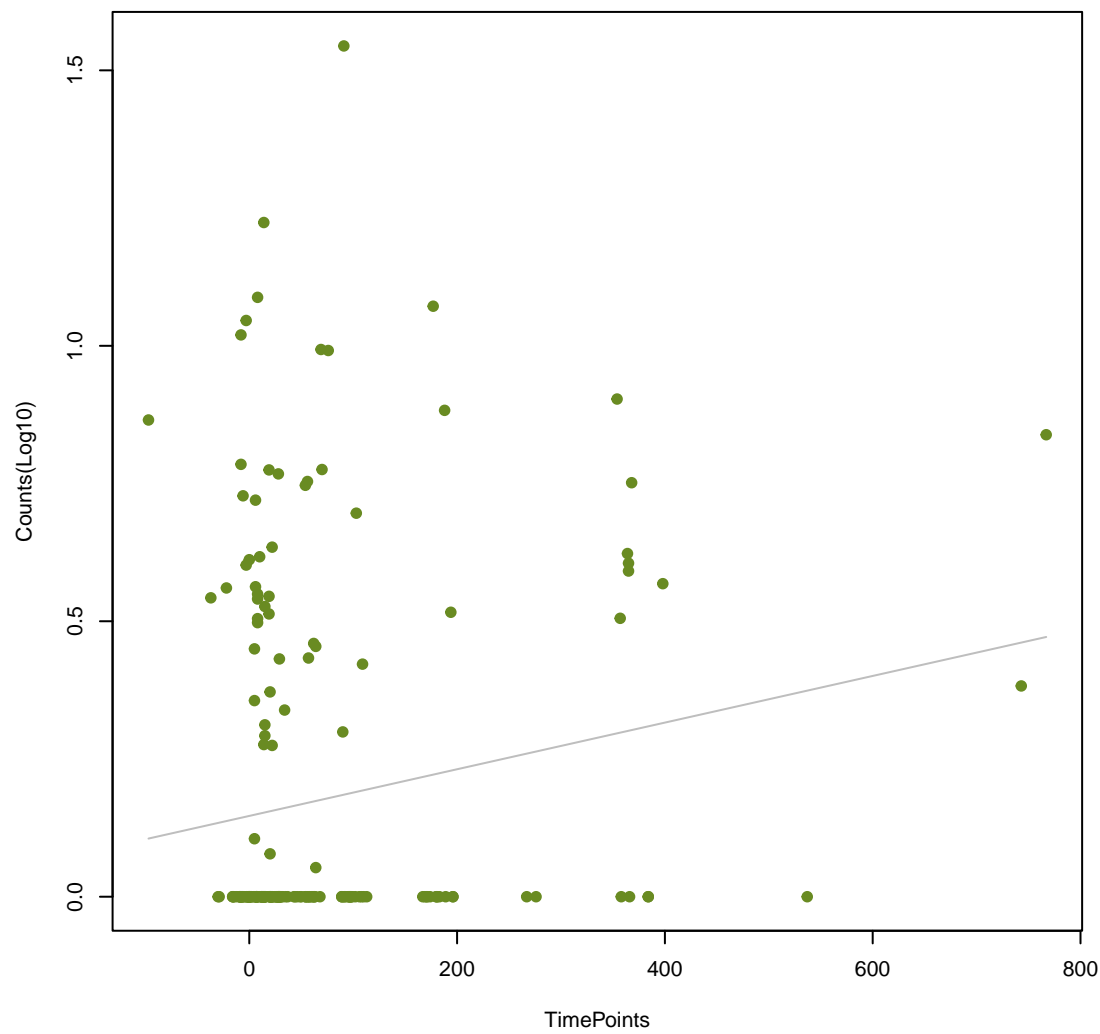
cpxA
ANOVA P=0.0195, adj. ANOVA-P=0.183



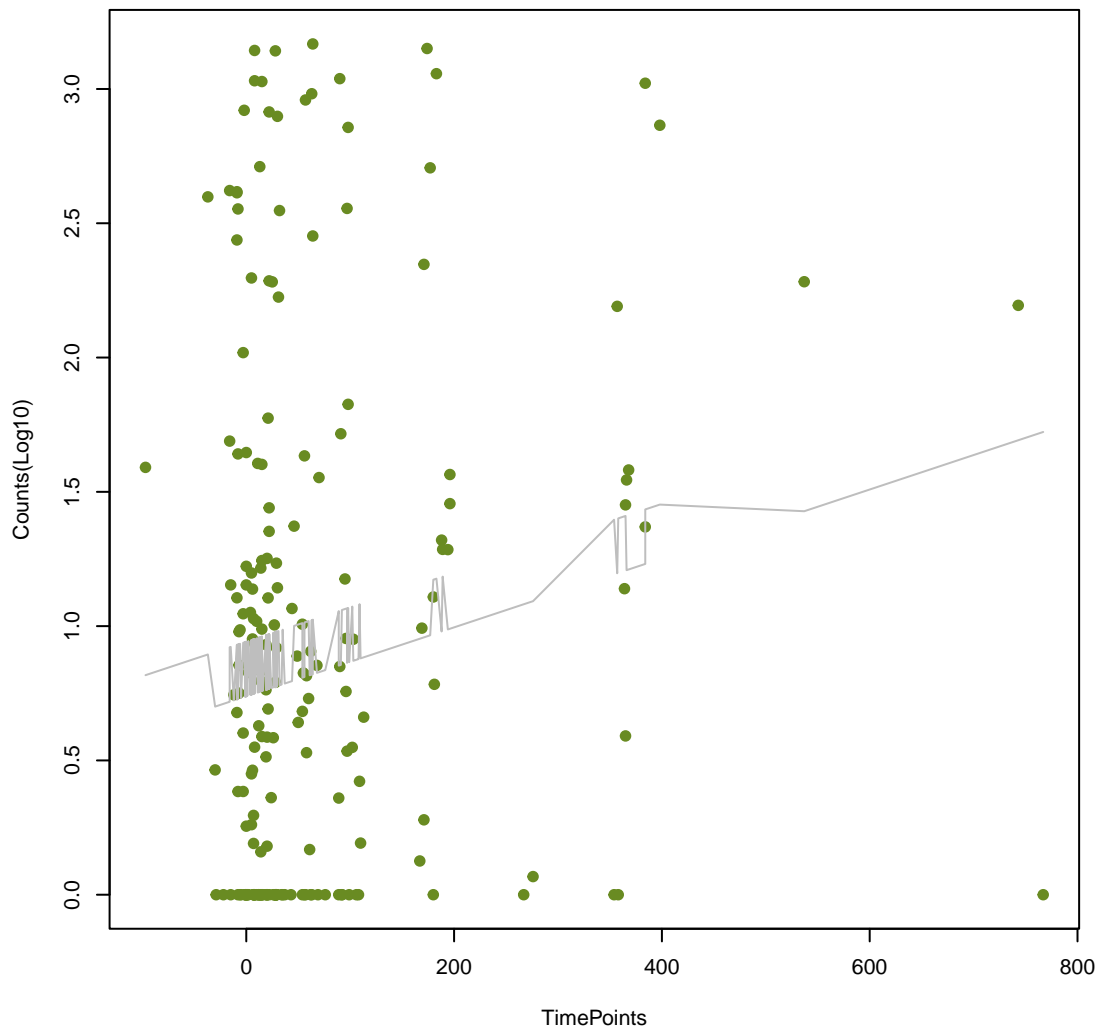
CRP
ANOVA P=0.0201, adj. ANOVA-P=0.183



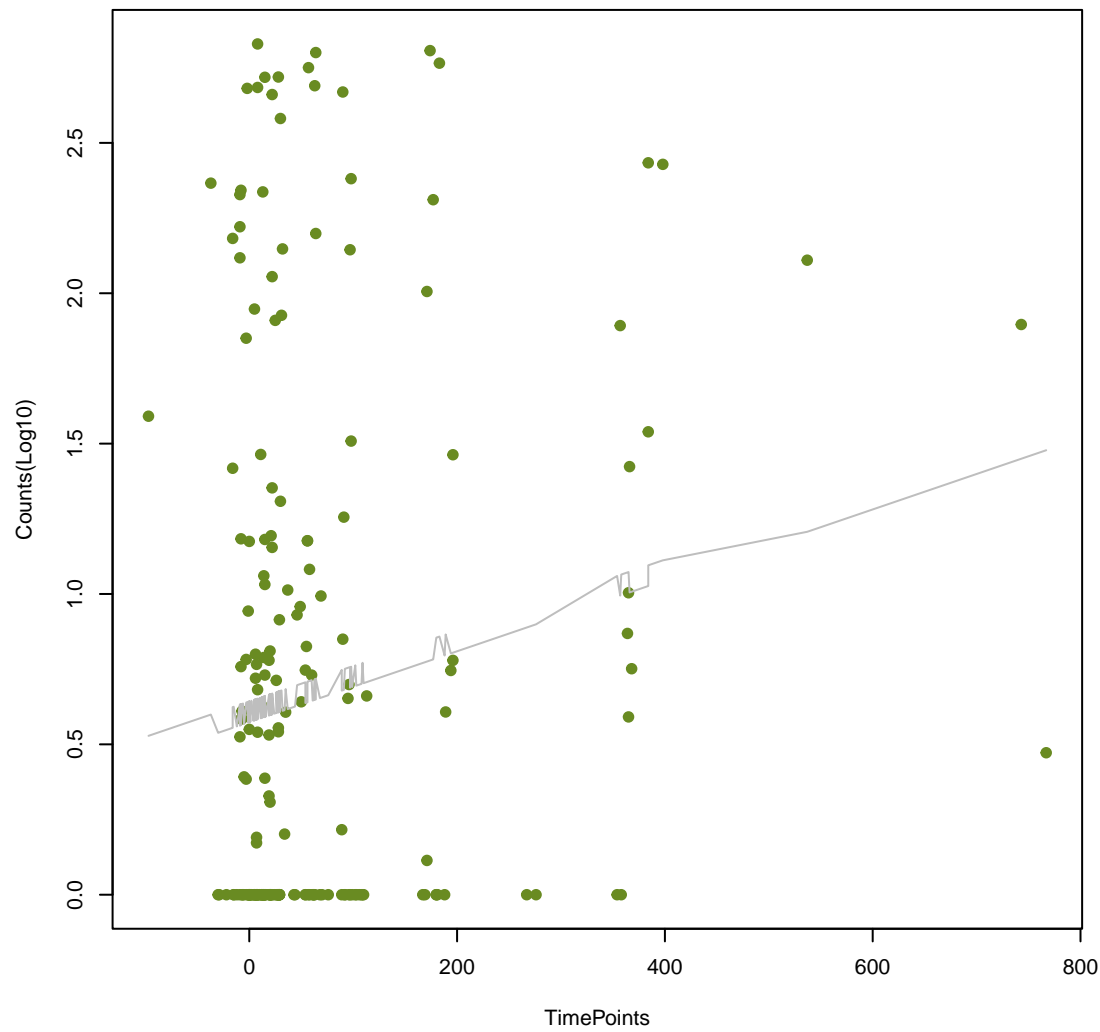
KPC-9
ANOVA P=0.0207, adj. ANOVA-P=0.183



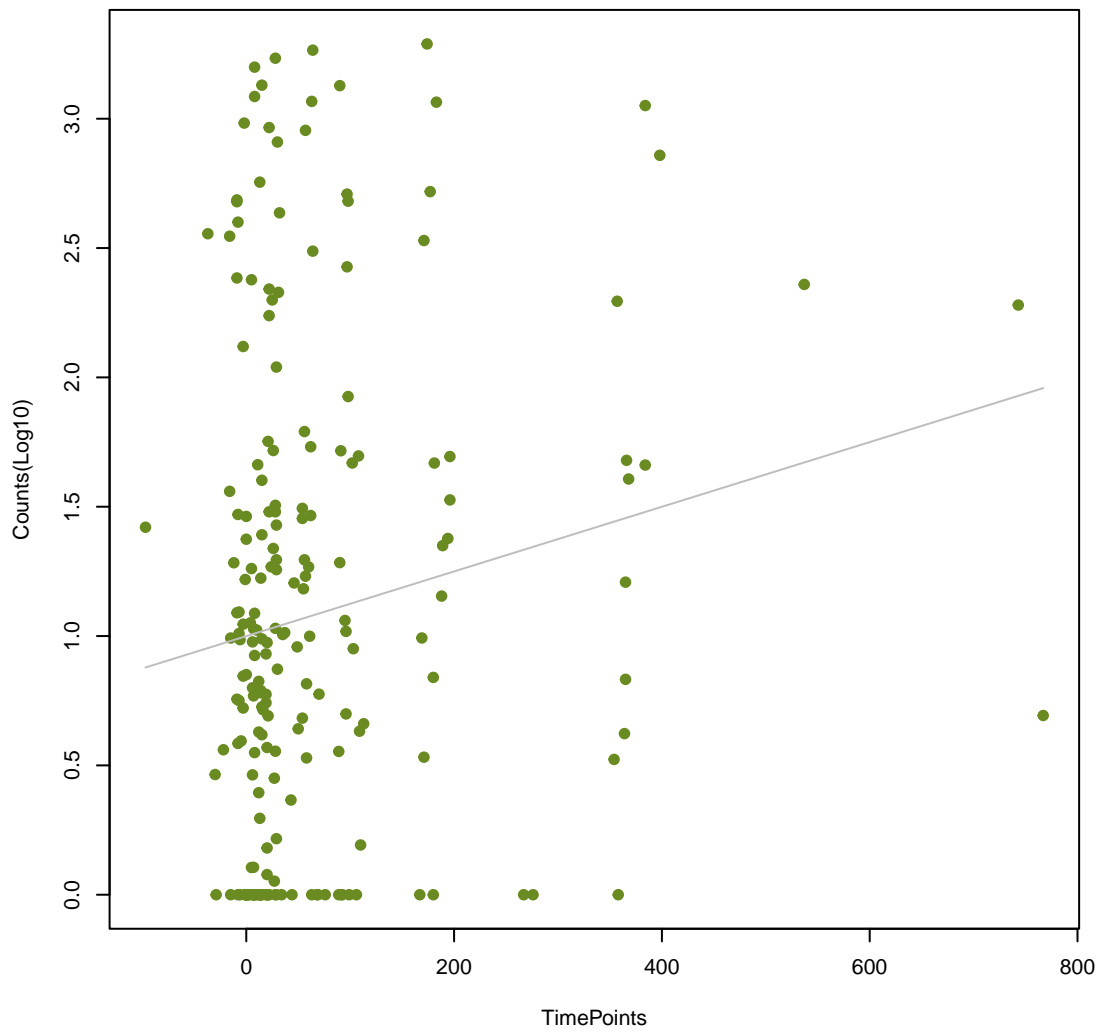
mdtO
ANOVA P=0.0208, adj. ANOVA-P=0.183



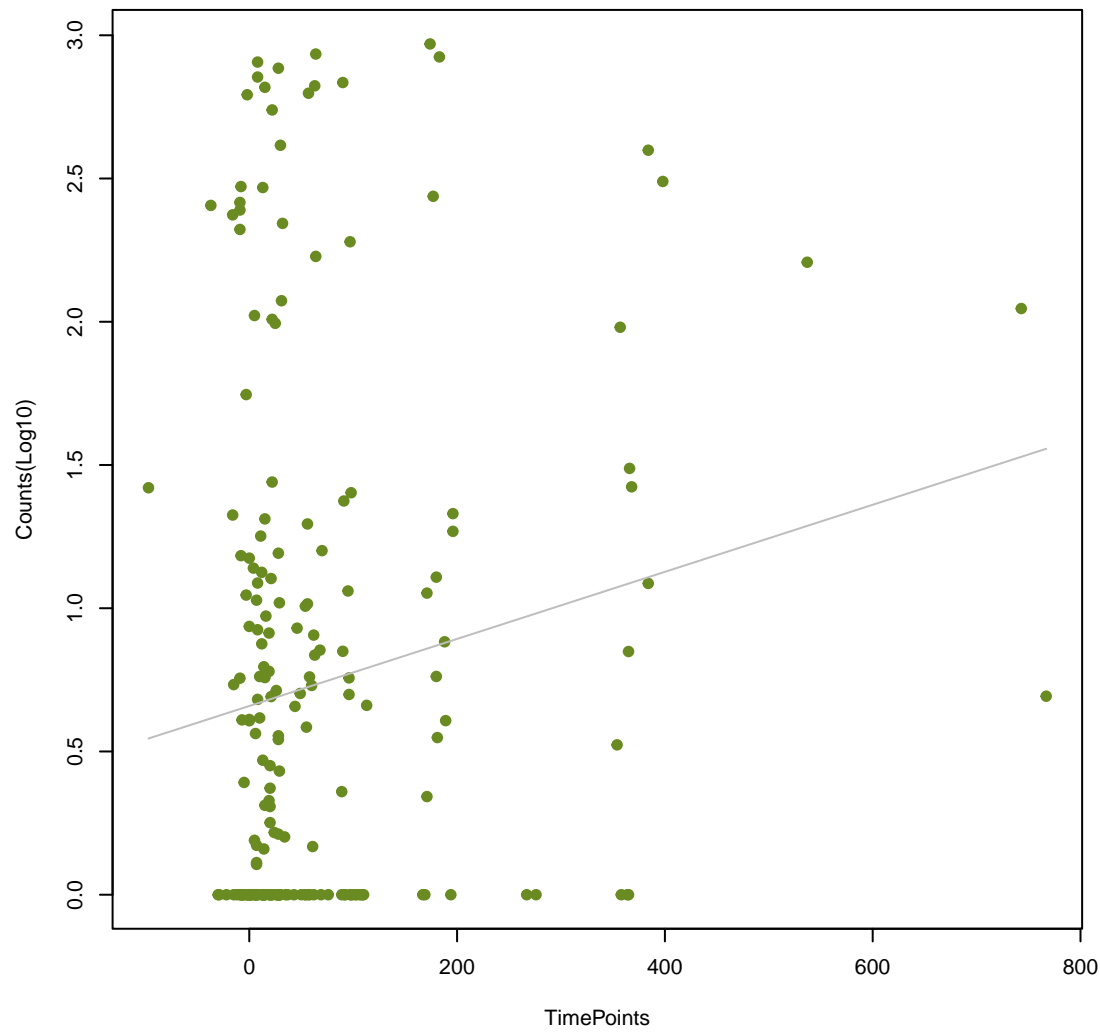
gadX
ANOVA P=0.0208, adj. ANOVA-P=0.183



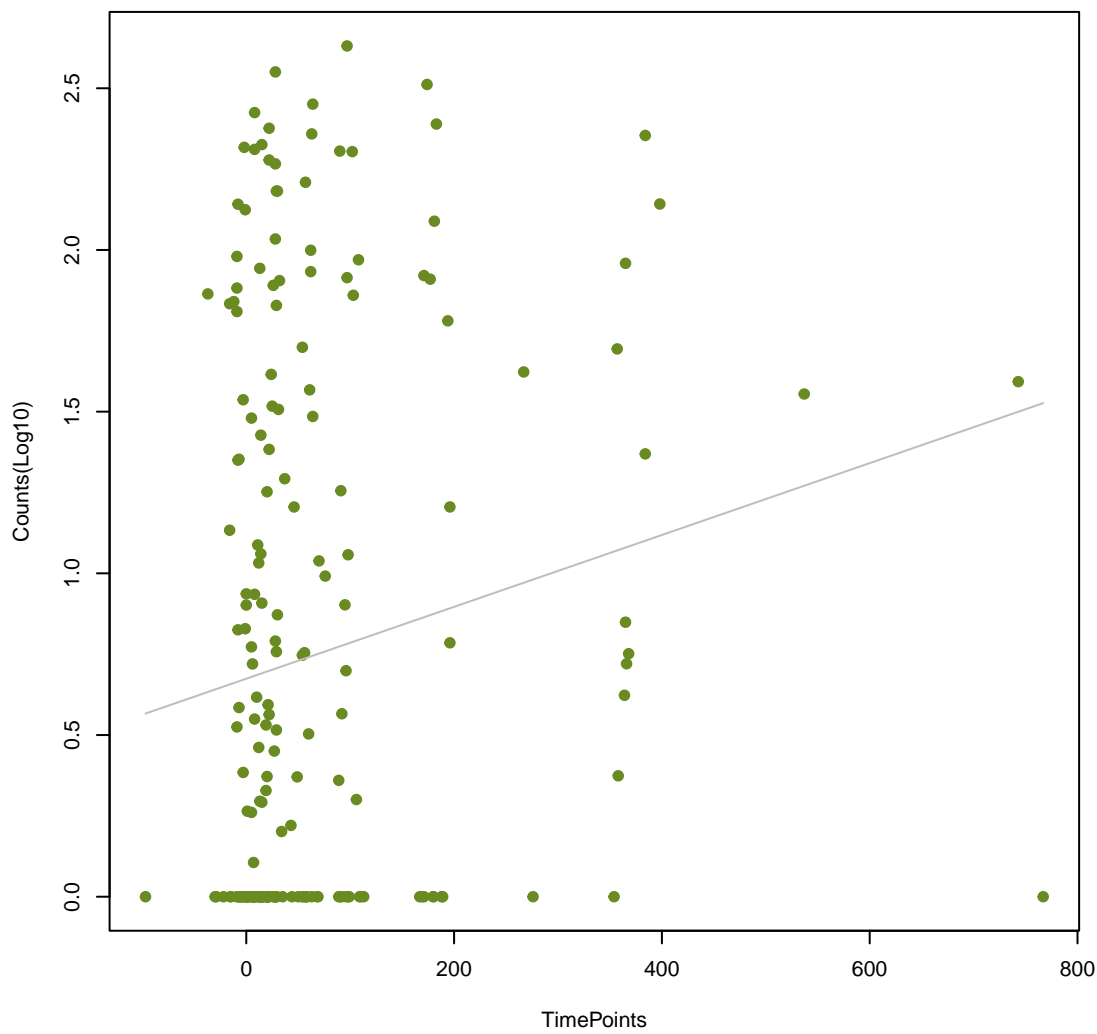
mdtB
ANOVA P=0.0226, adj. ANOVA-P=0.189



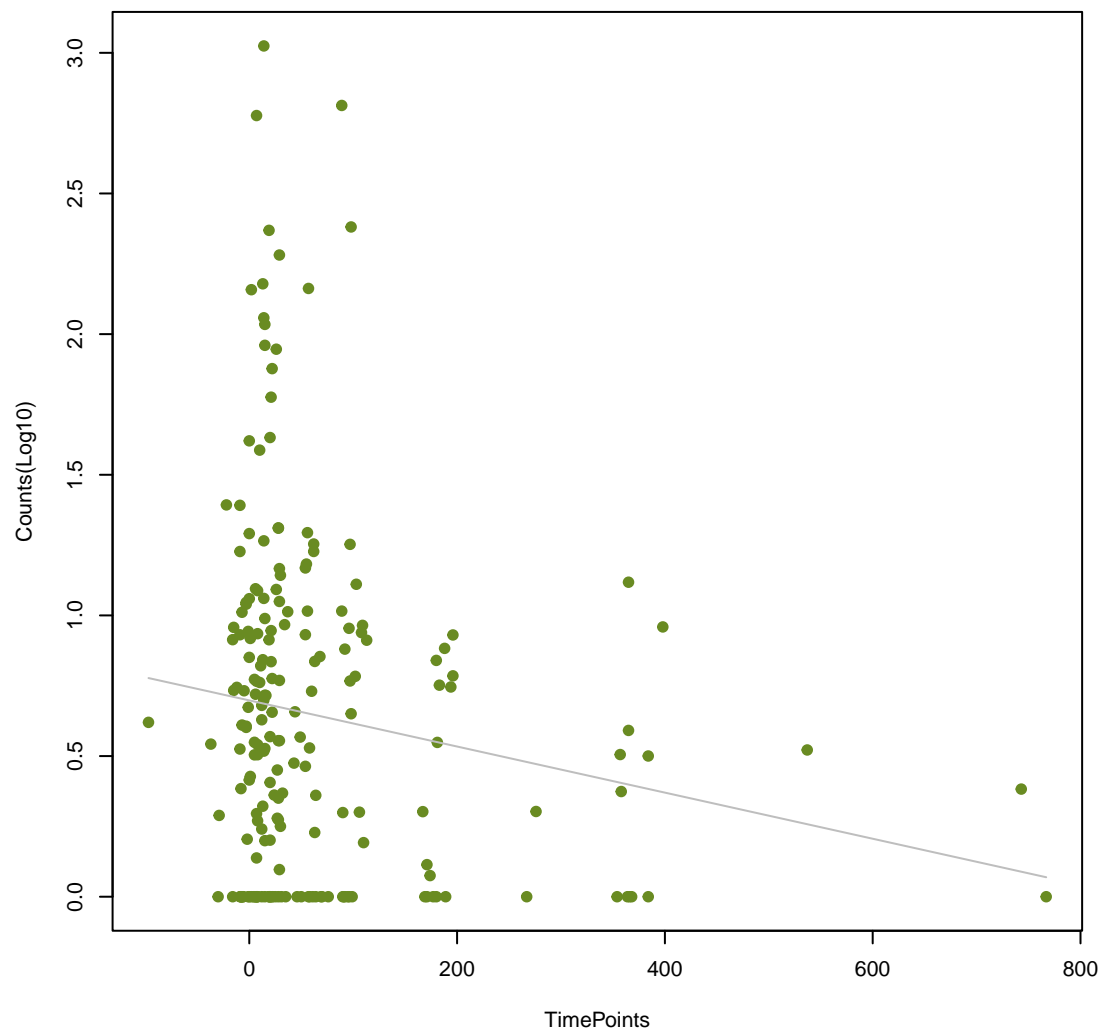
emrY
ANOVA P=0.0228, adj. ANOVA-P=0.189



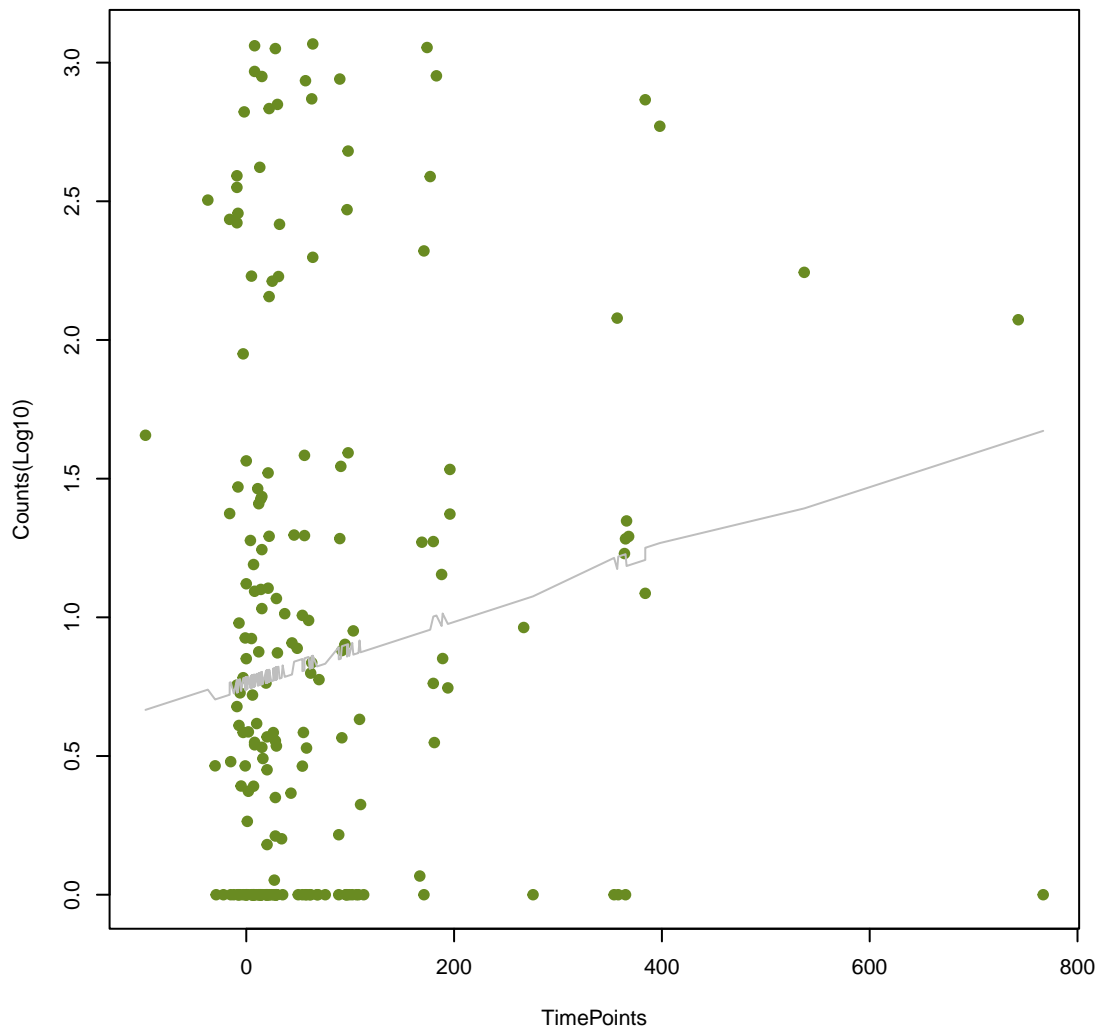
H-NS
ANOVA P=0.0236, adj. ANOVA-P=0.189



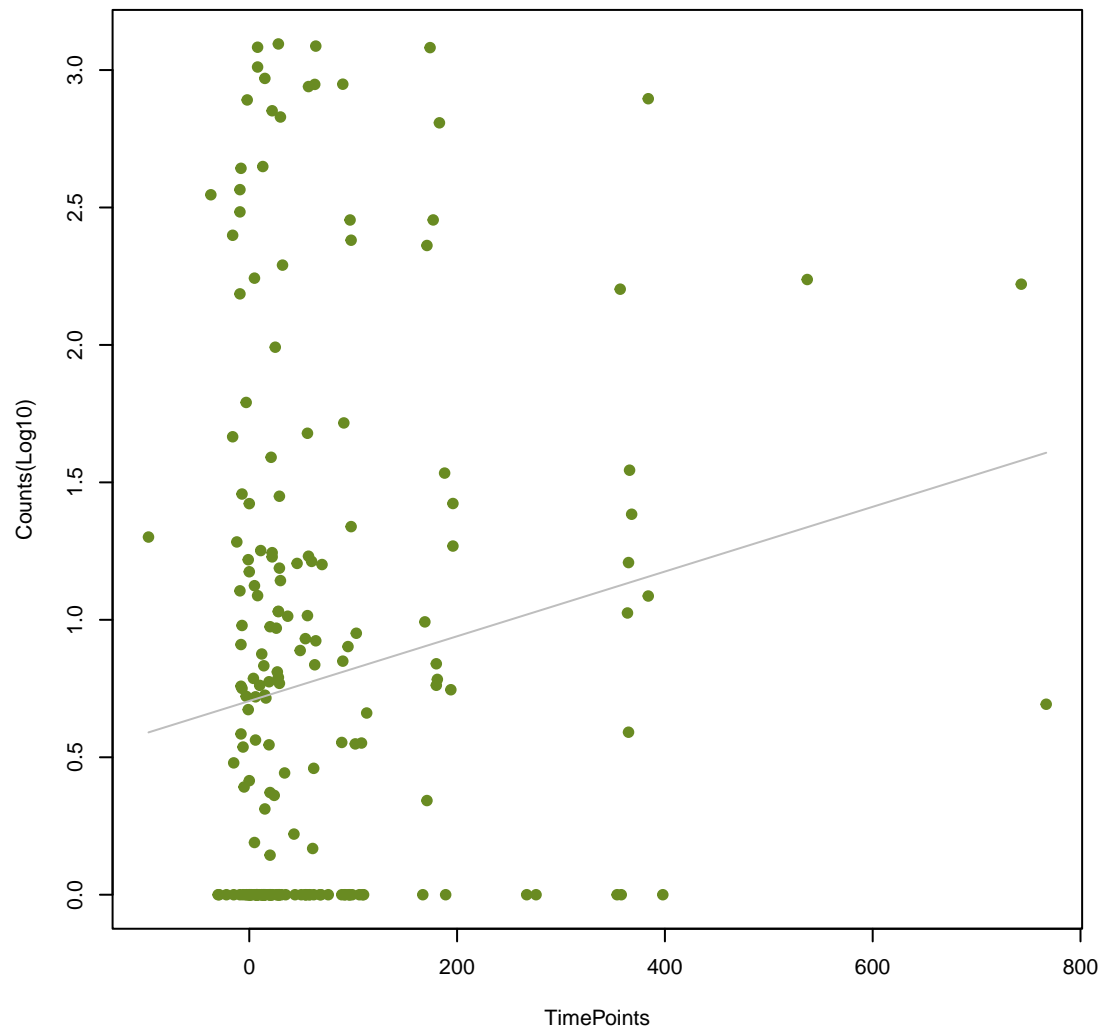
dfrB5
ANOVA P=0.024, adj. ANOVA-P=0.189



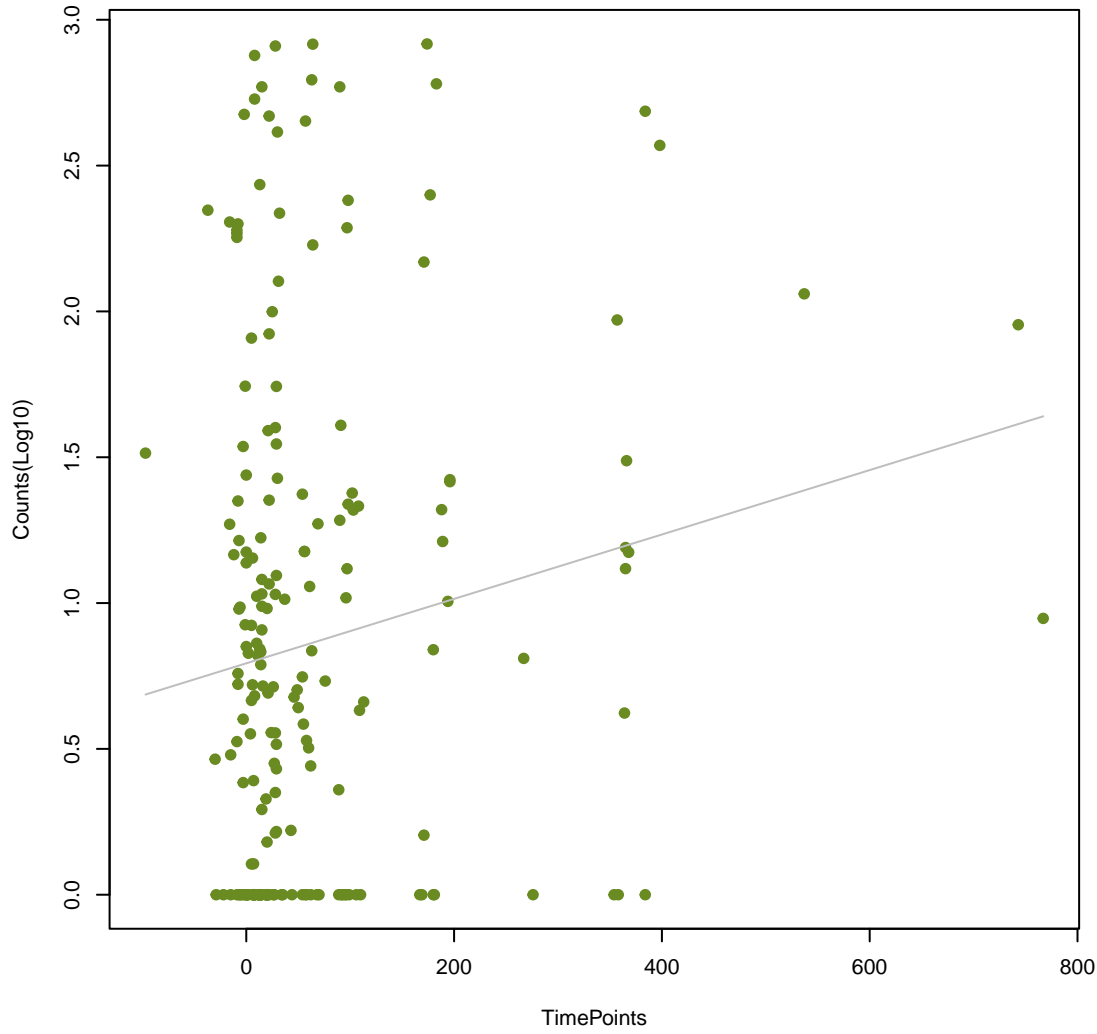
mdtP
ANOVA P=0.0261, adj. ANOVA-P=0.2



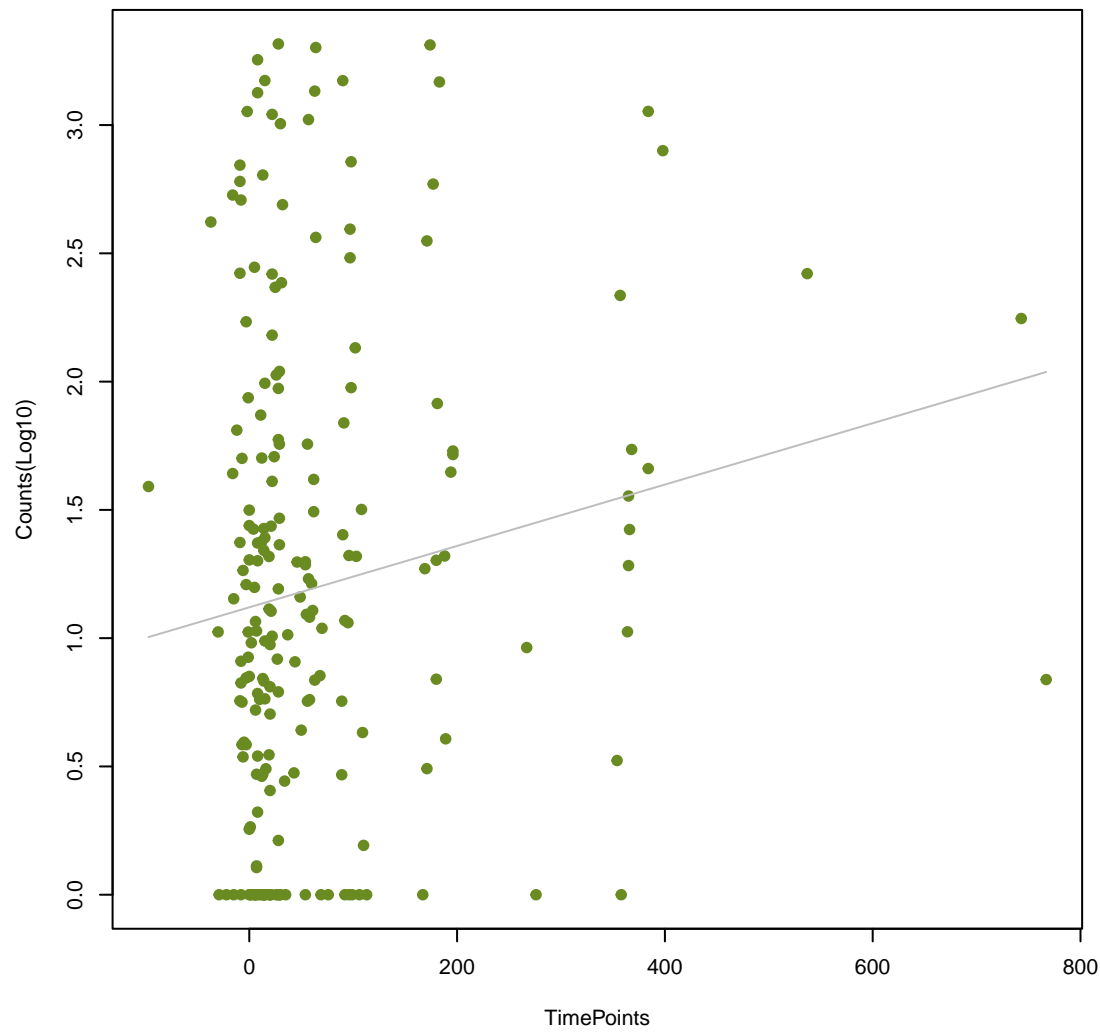
eptA
ANOVA P=0.0279, adj. ANOVA-P=0.203



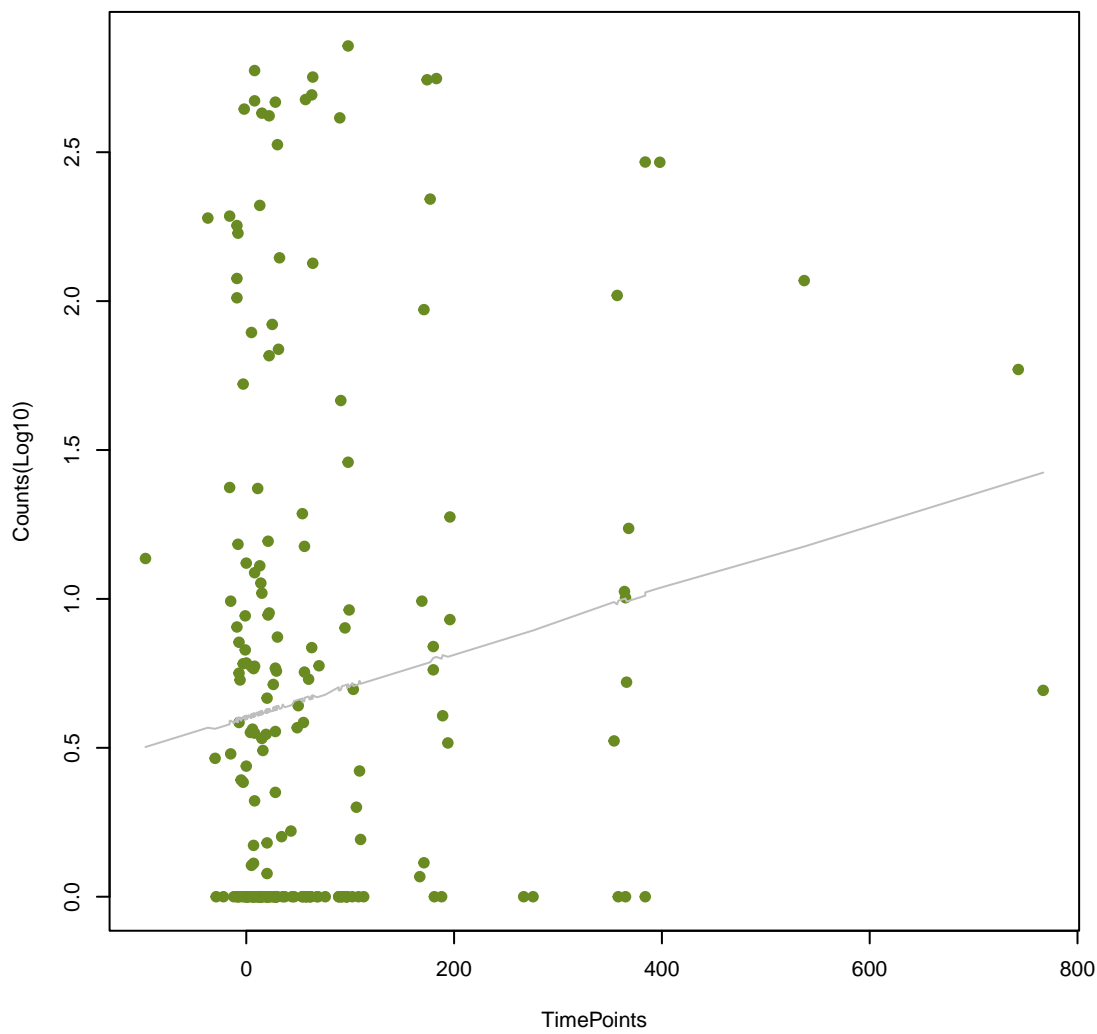
Ecol_acrA
ANOVA P=0.028, adj. ANOVA-P=0.203



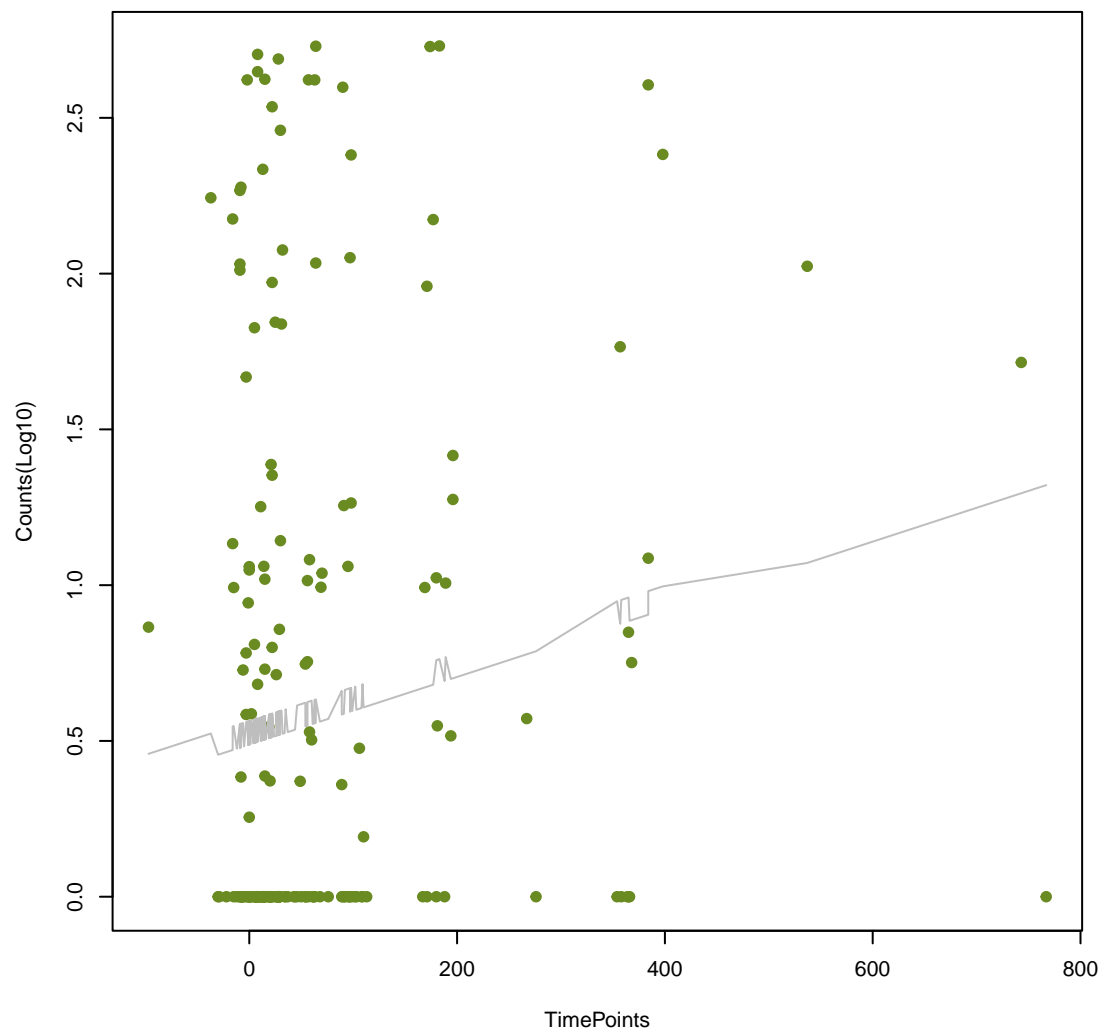
acrD
ANOVA P=0.0289, adj. ANOVA-P=0.203



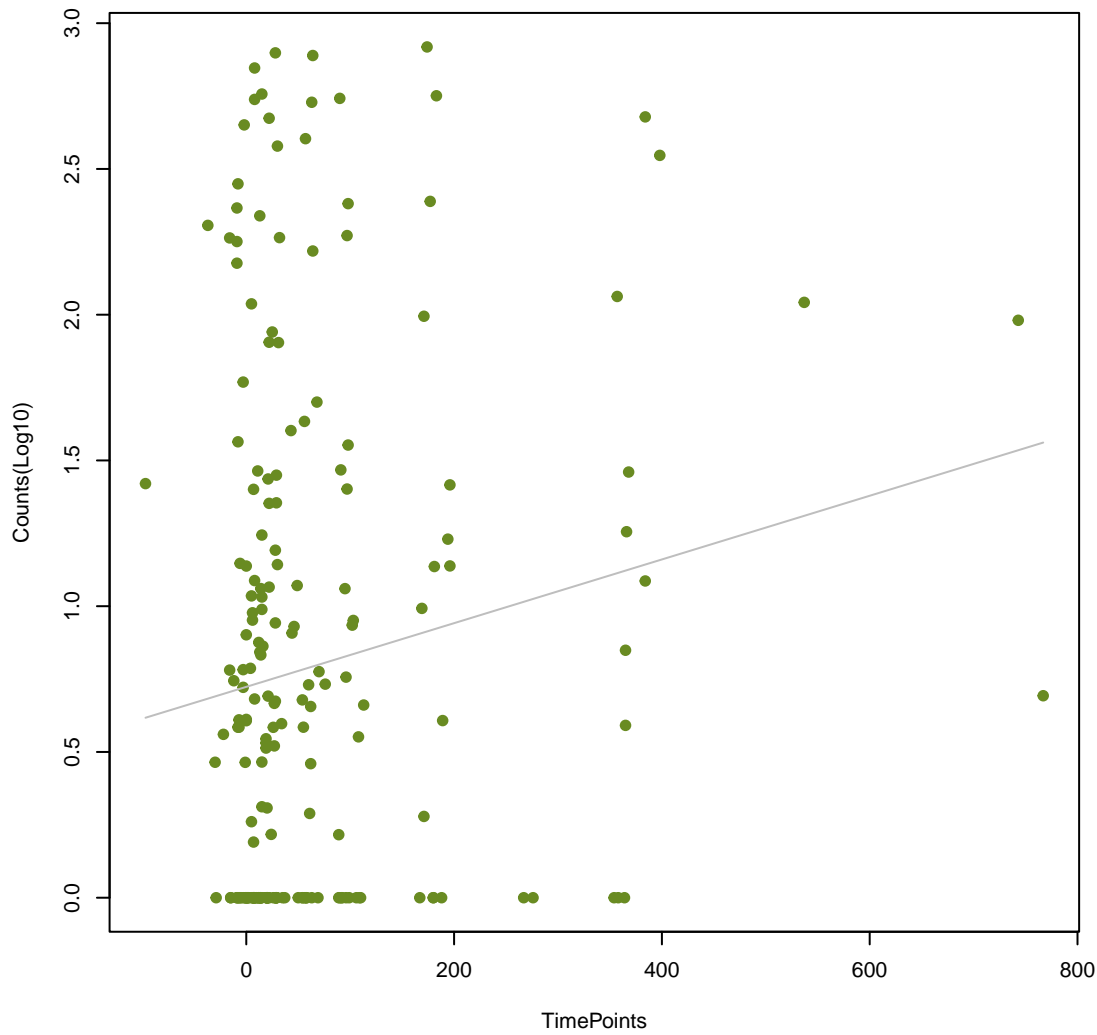
gadW
ANOVA P=0.0291, adj. ANOVA-P=0.203



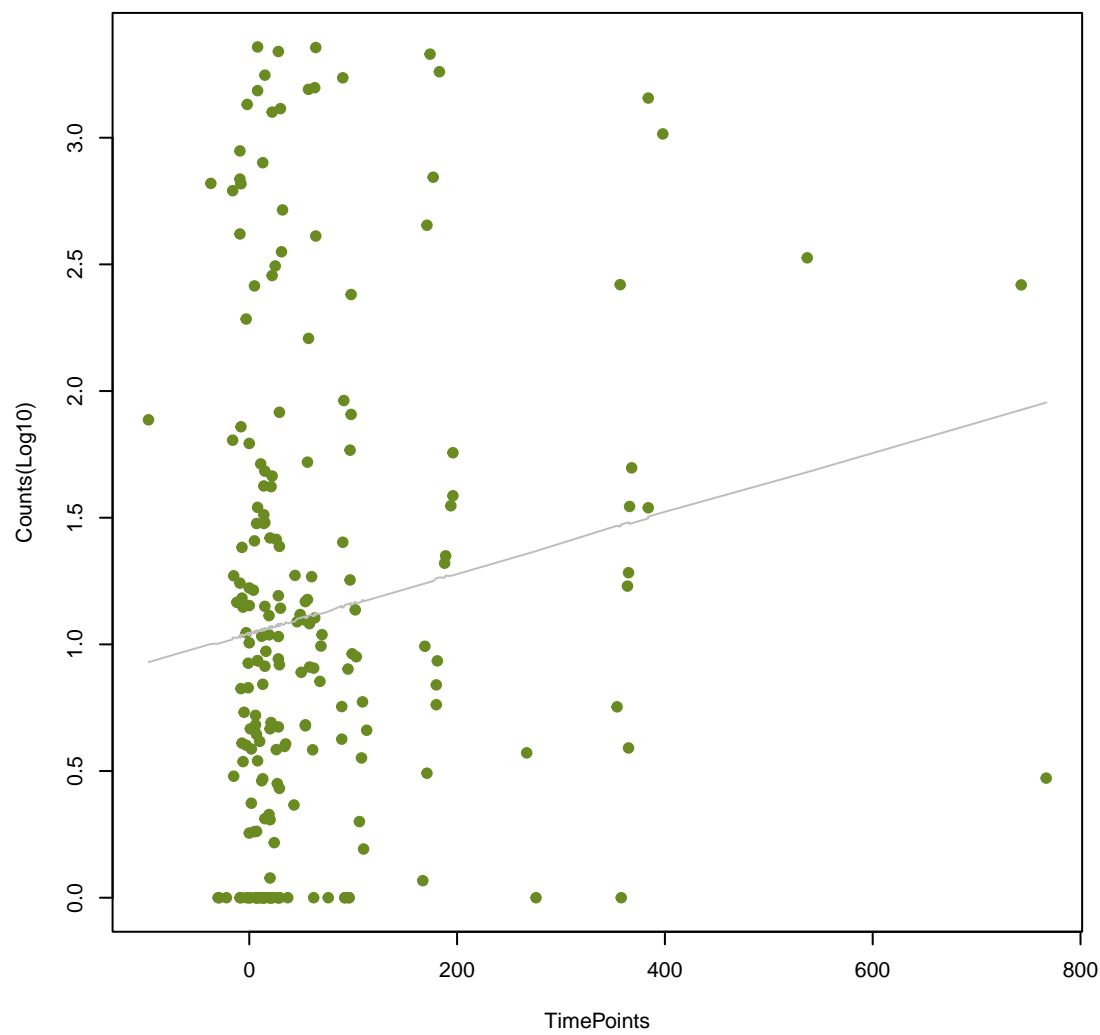
AcrS
ANOVA P=0.0304, adj. ANOVA-P=0.207



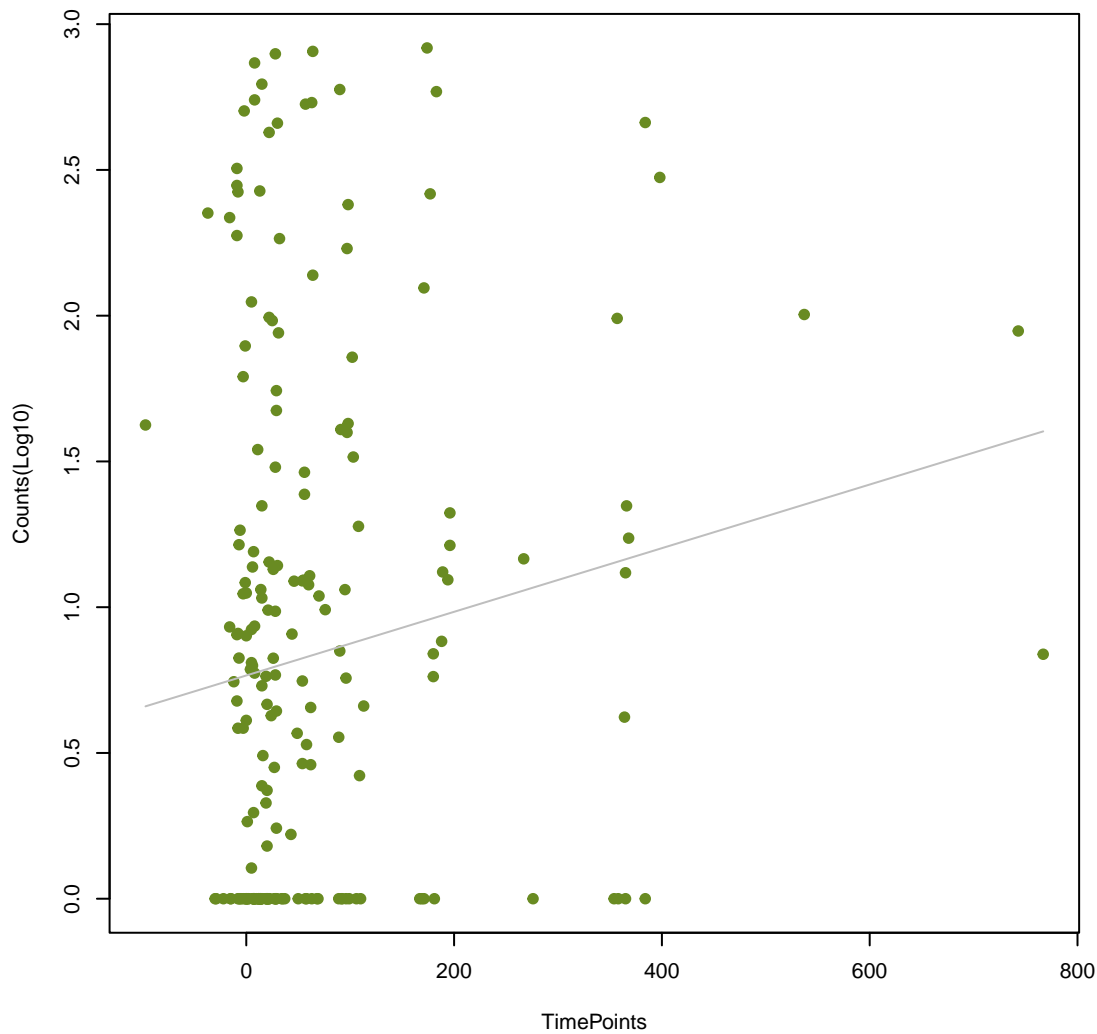
Ecol_mdfA
ANOVA P=0.0317, adj. ANOVA-P=0.207



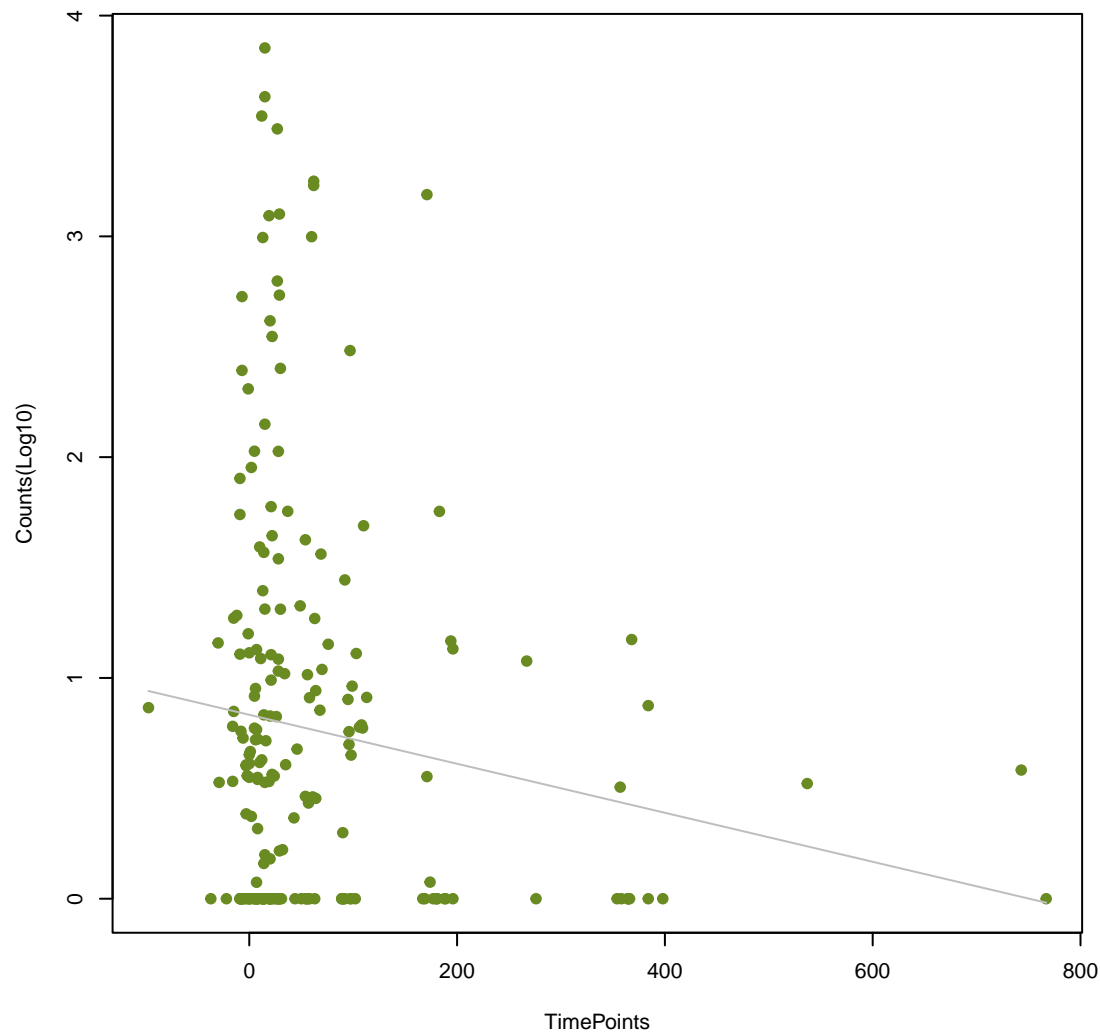
mdtF
ANOVA P=0.0318, adj. ANOVA-P=0.207



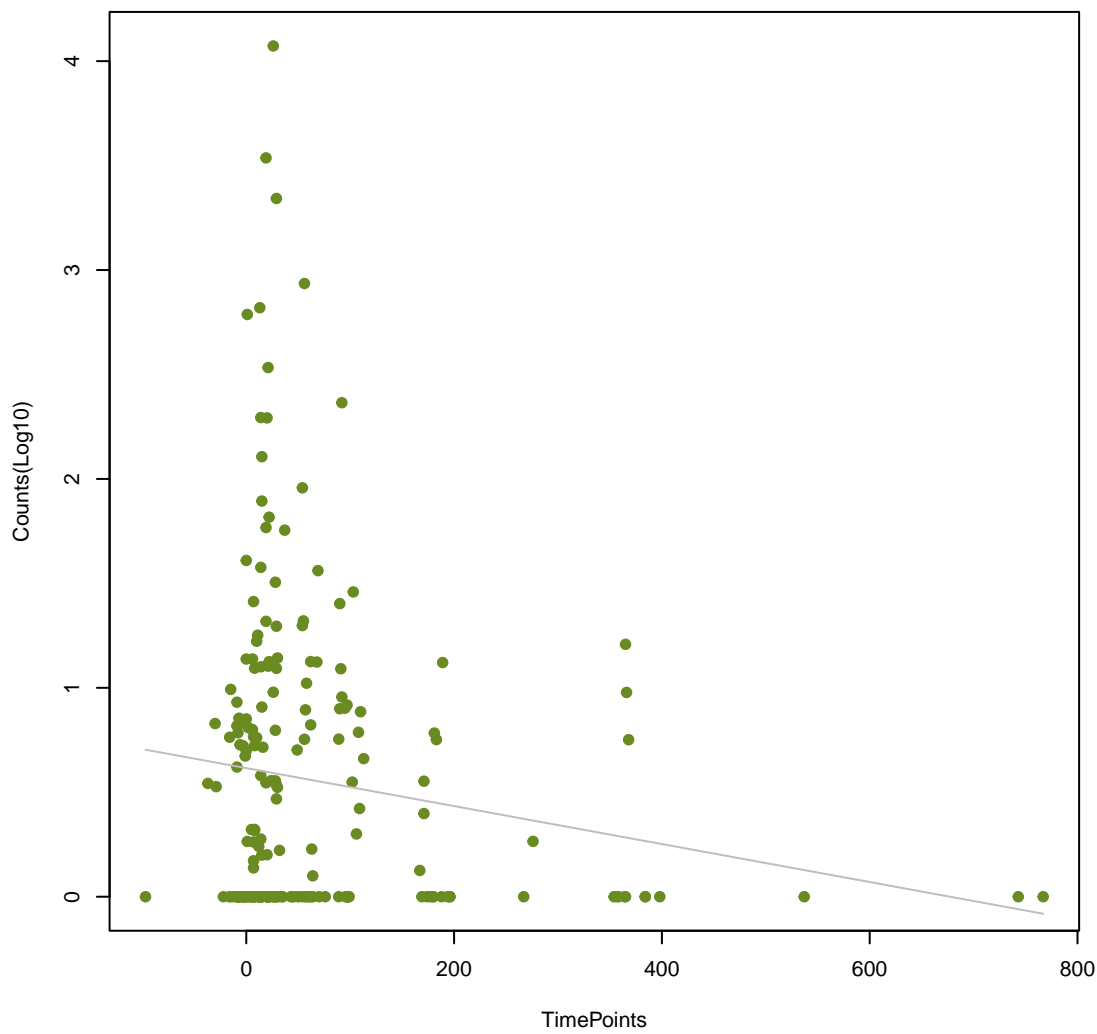
emrA
ANOVA P=0.0339, adj. ANOVA-P=0.216



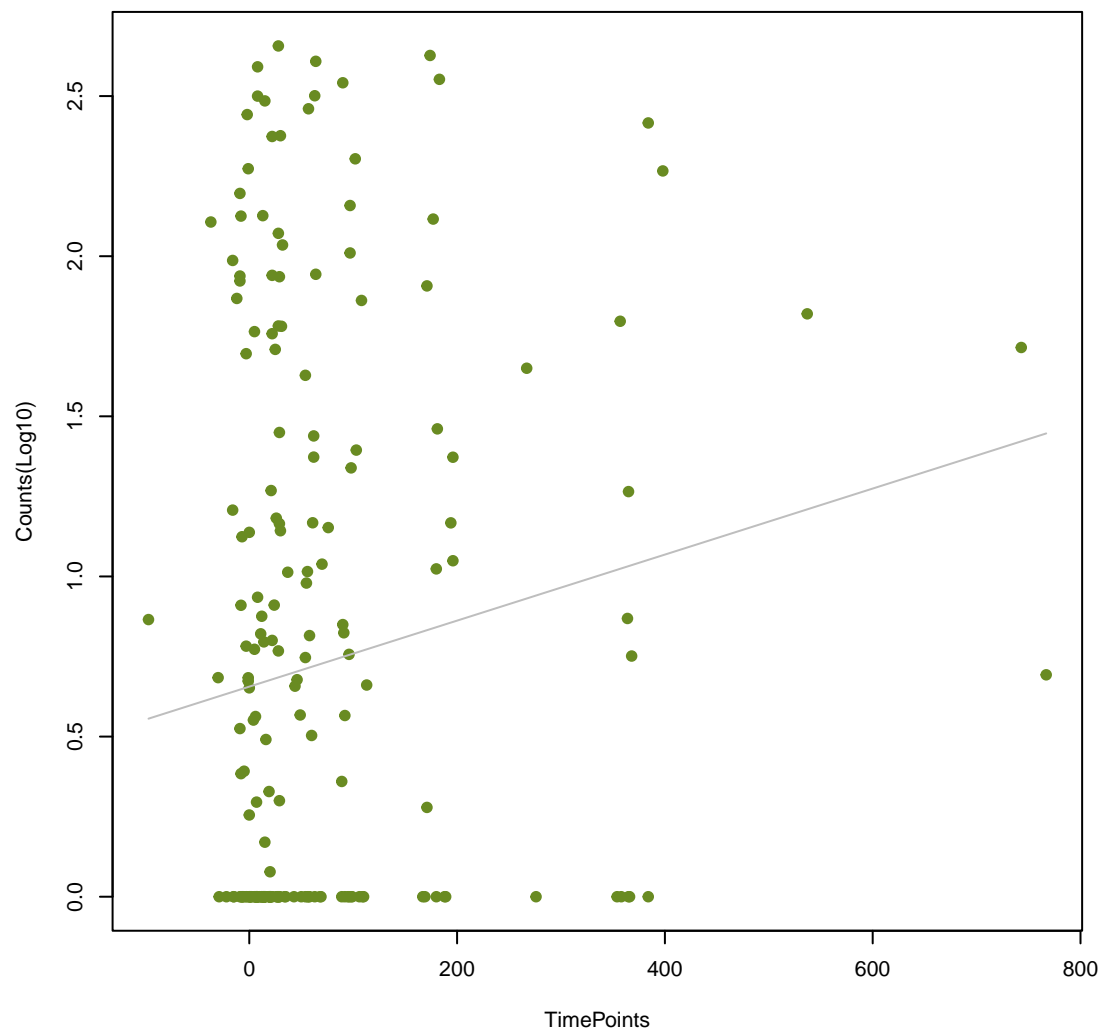
efrB
ANOVA P=0.0359, adj. ANOVA-P=0.219



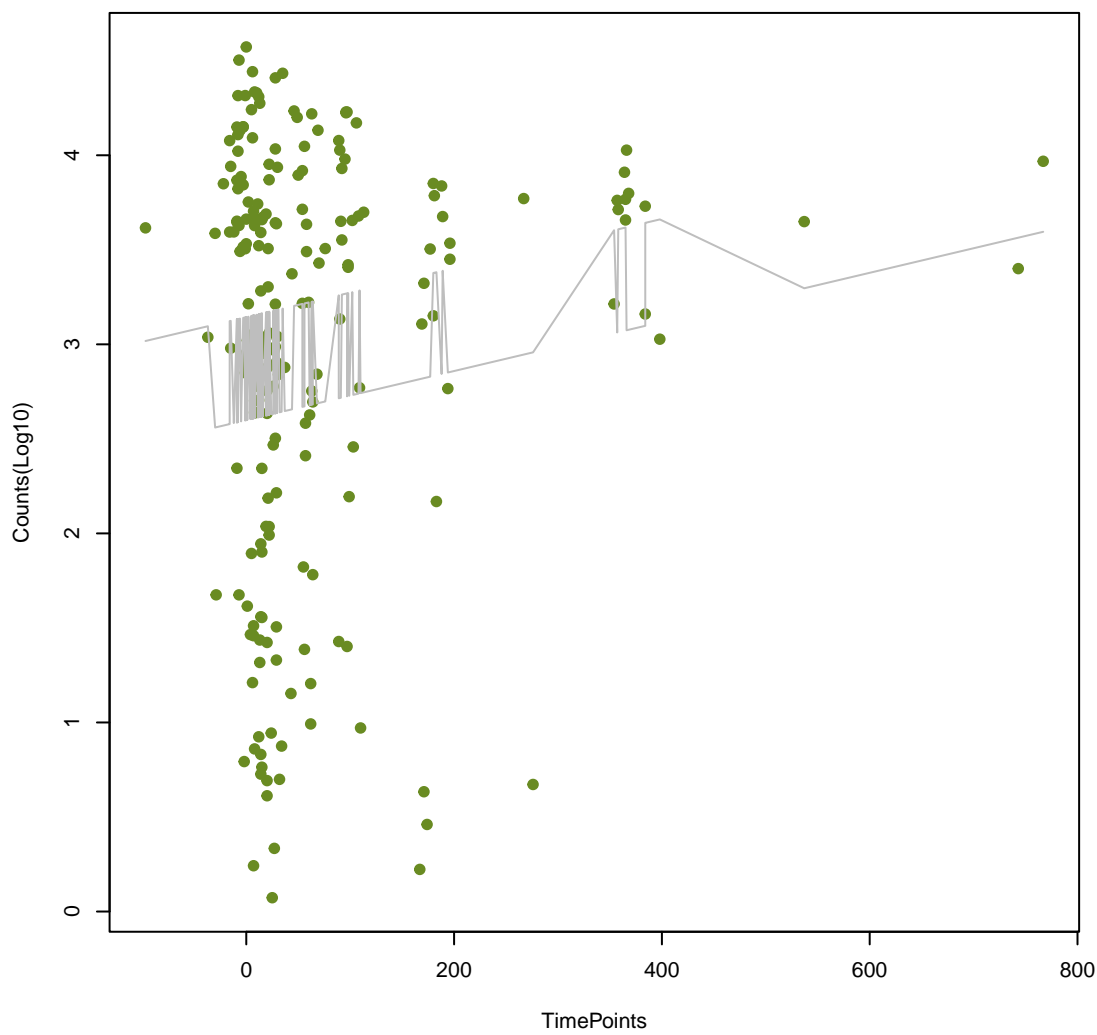
tetA(60)
ANOVA P=0.0361, adj. ANOVA-P=0.219



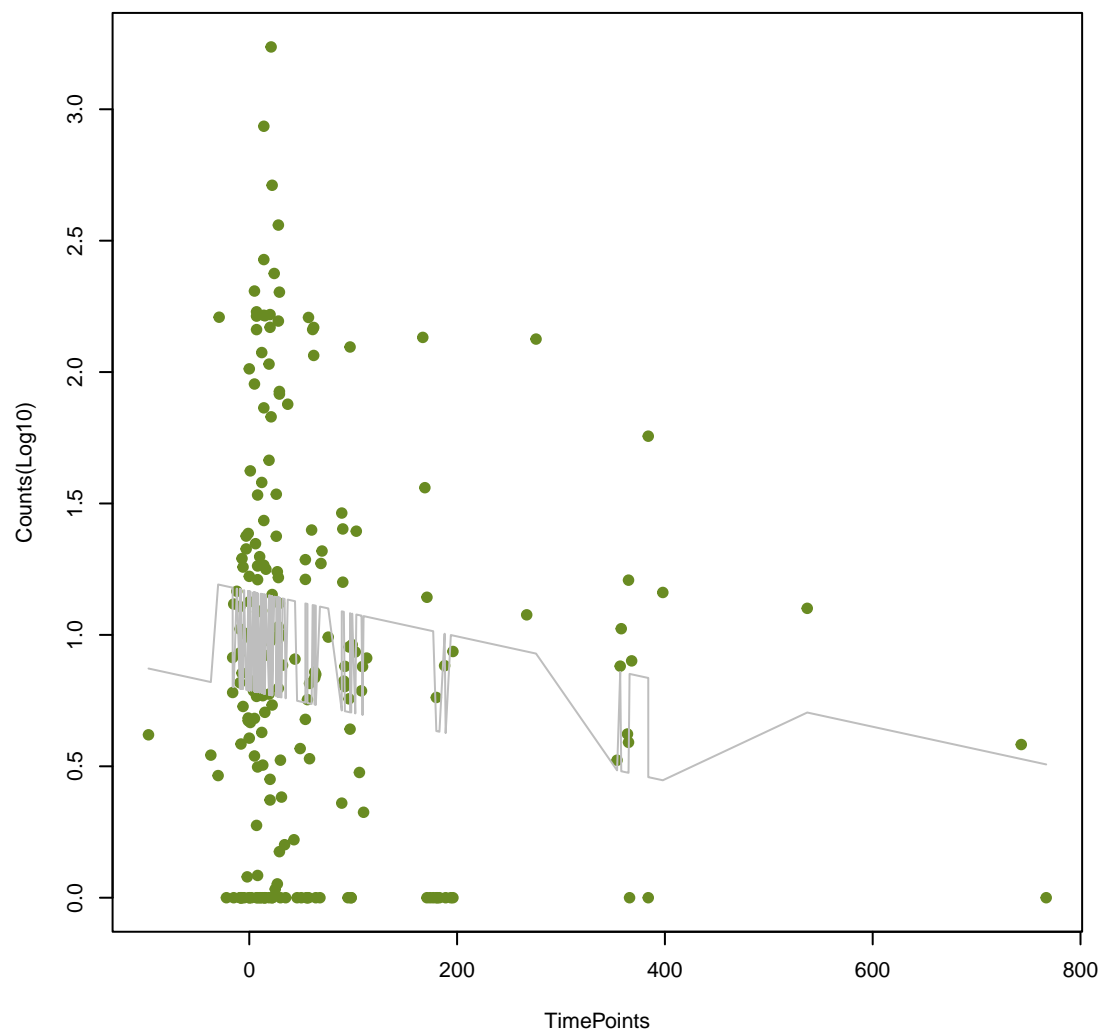
emrR
ANOVA P=0.0375, adj. ANOVA-P=0.219



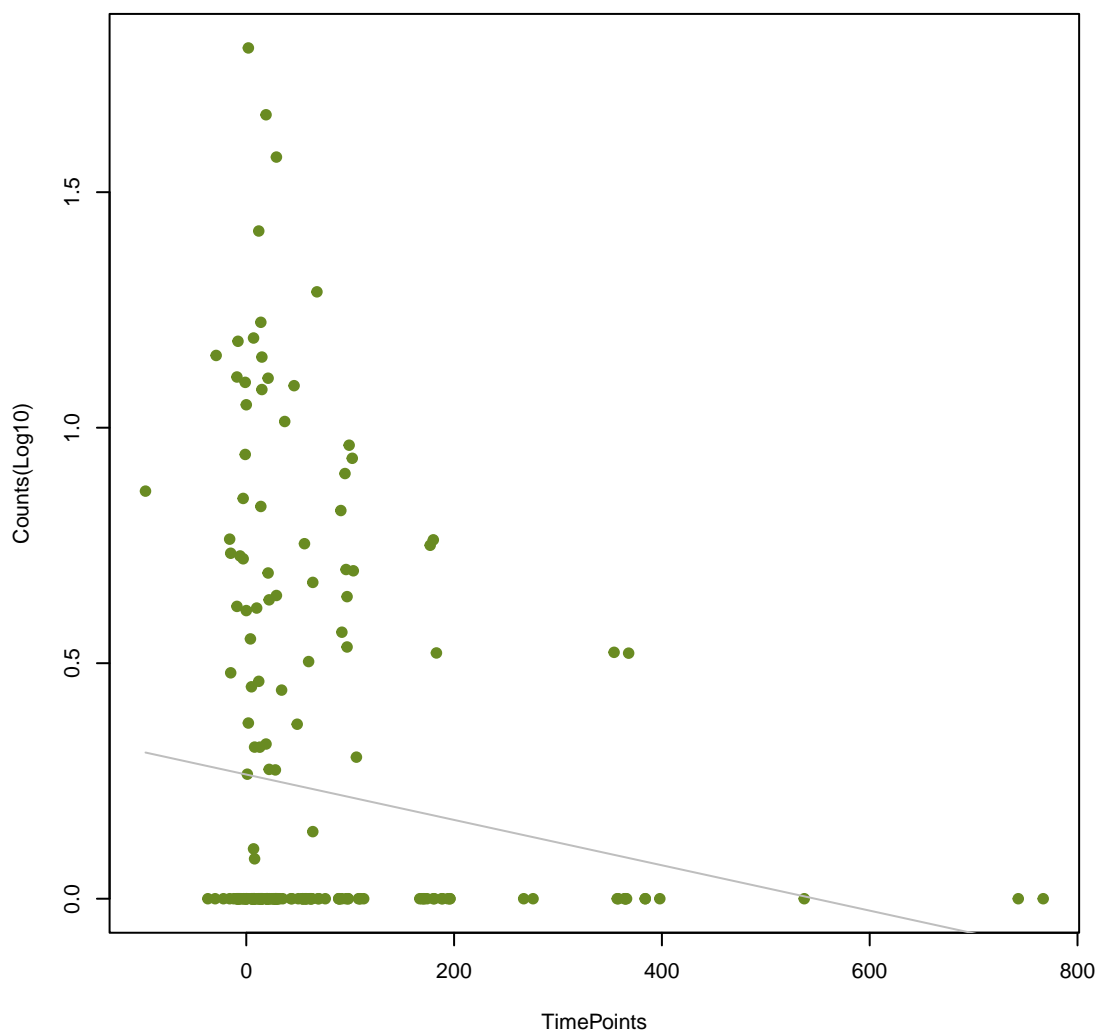
tetW
ANOVA P=0.0379, adj. ANOVA-P=0.219



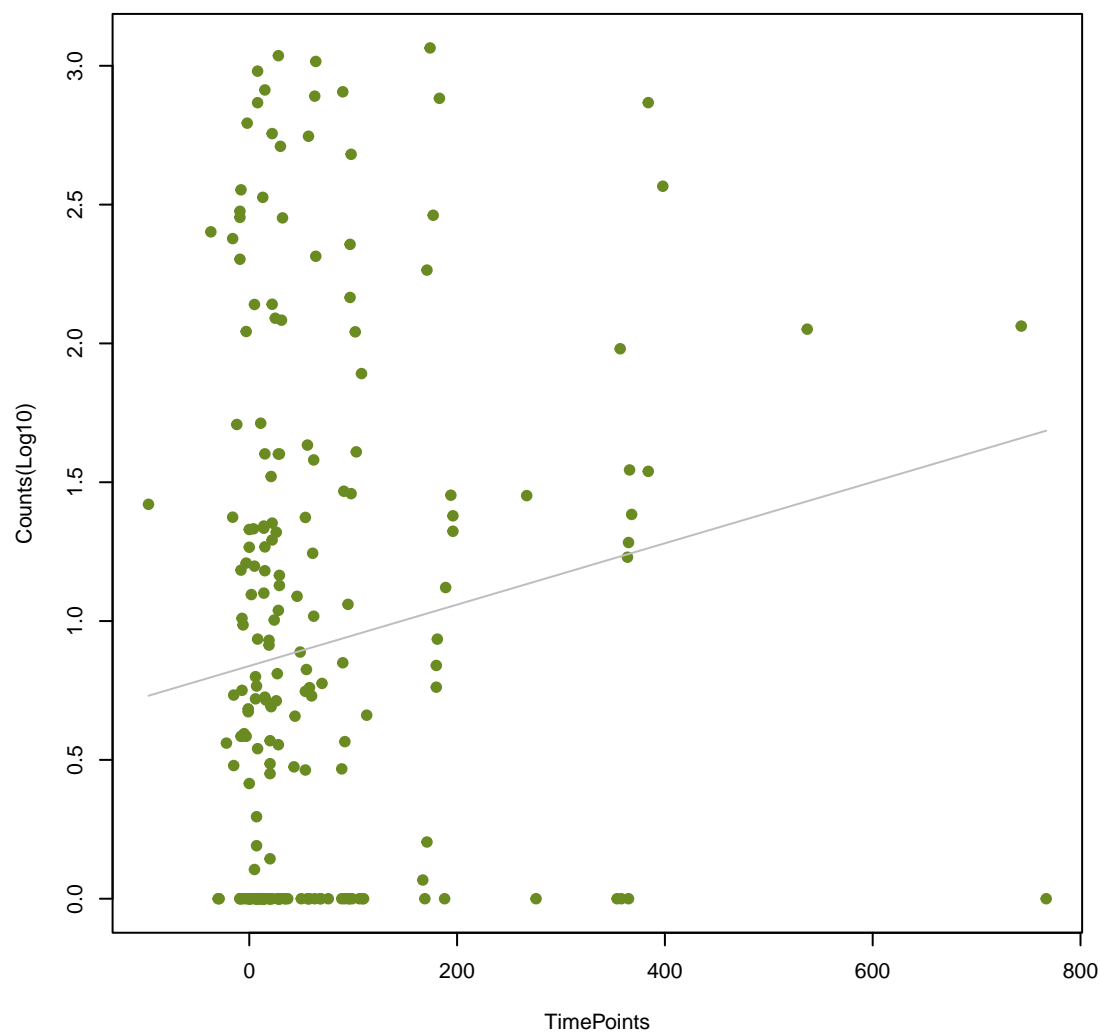
poxA
ANOVA P=0.0396, adj. ANOVA-P=0.219



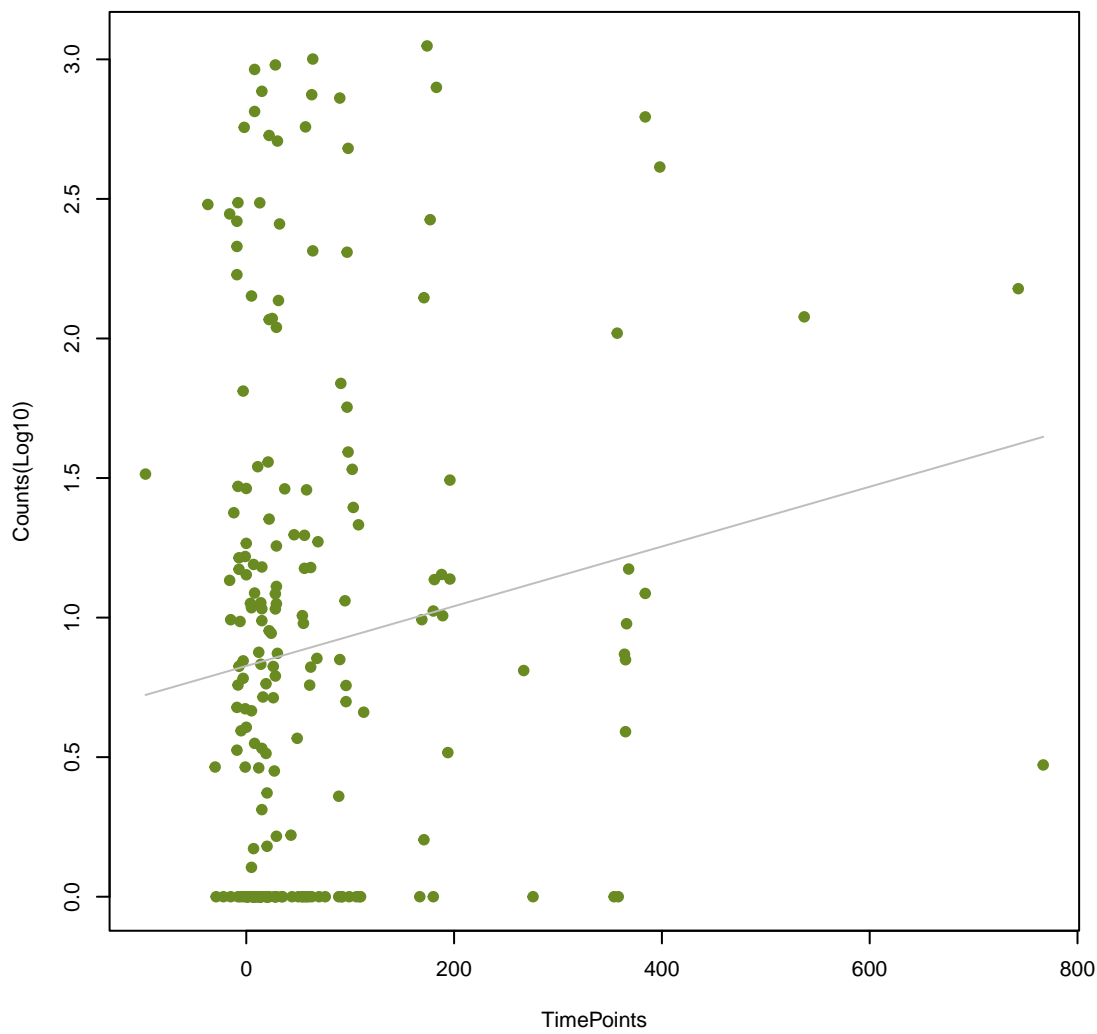
CDD-2
ANOVA P=0.0398, adj. ANOVA-P=0.219



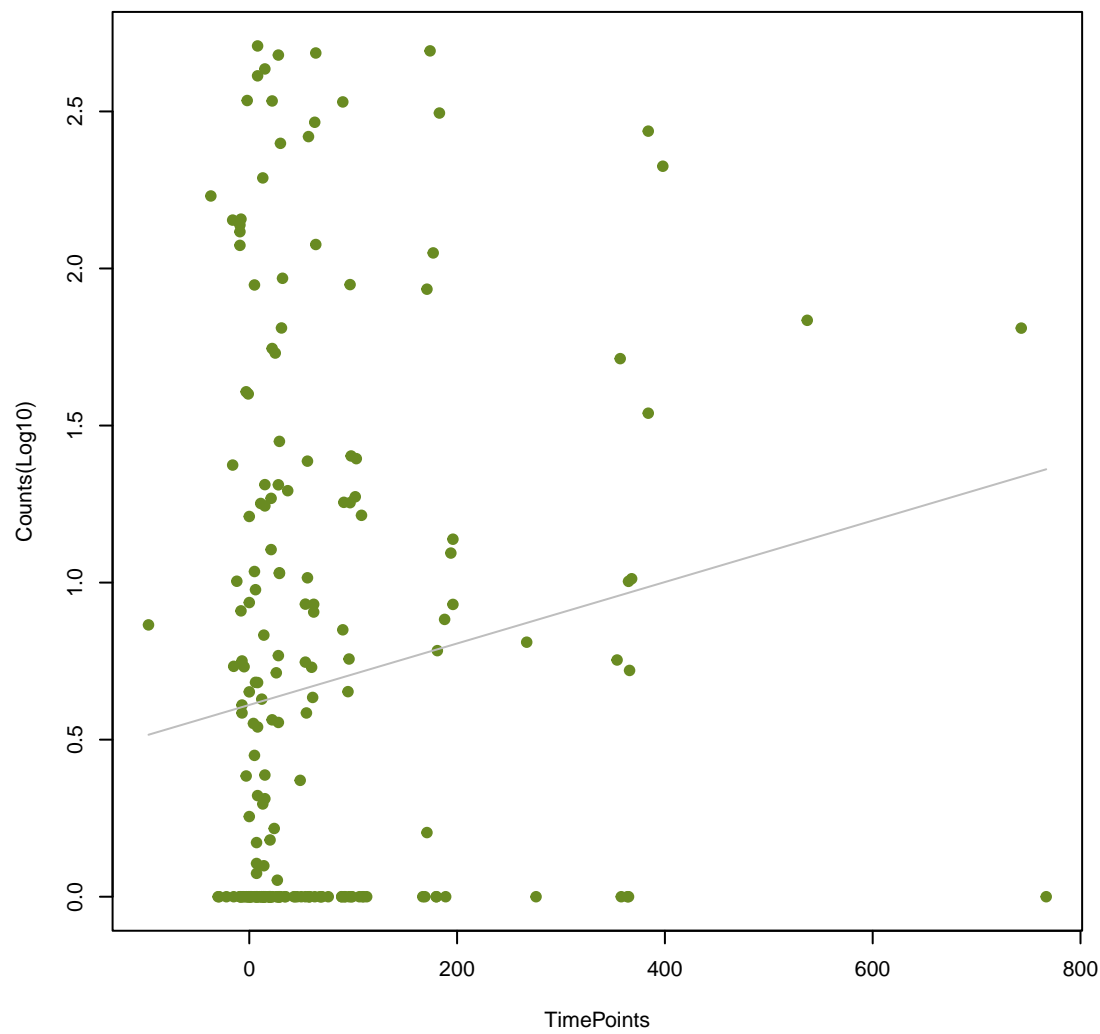
msbA
ANOVA P=0.04, adj. ANOVA-P=0.219



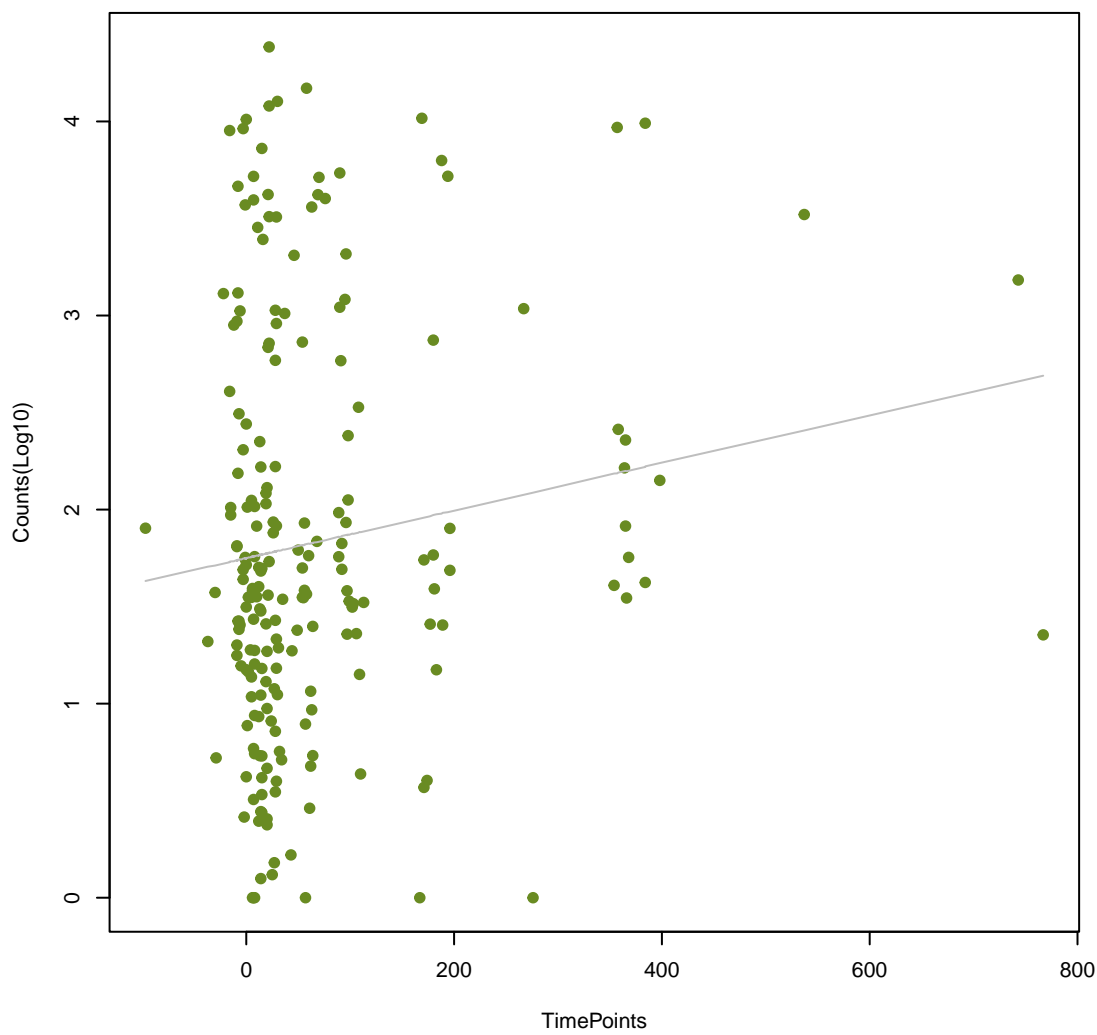
Yojl
ANOVA P=0.0402, adj. ANOVA-P=0.219



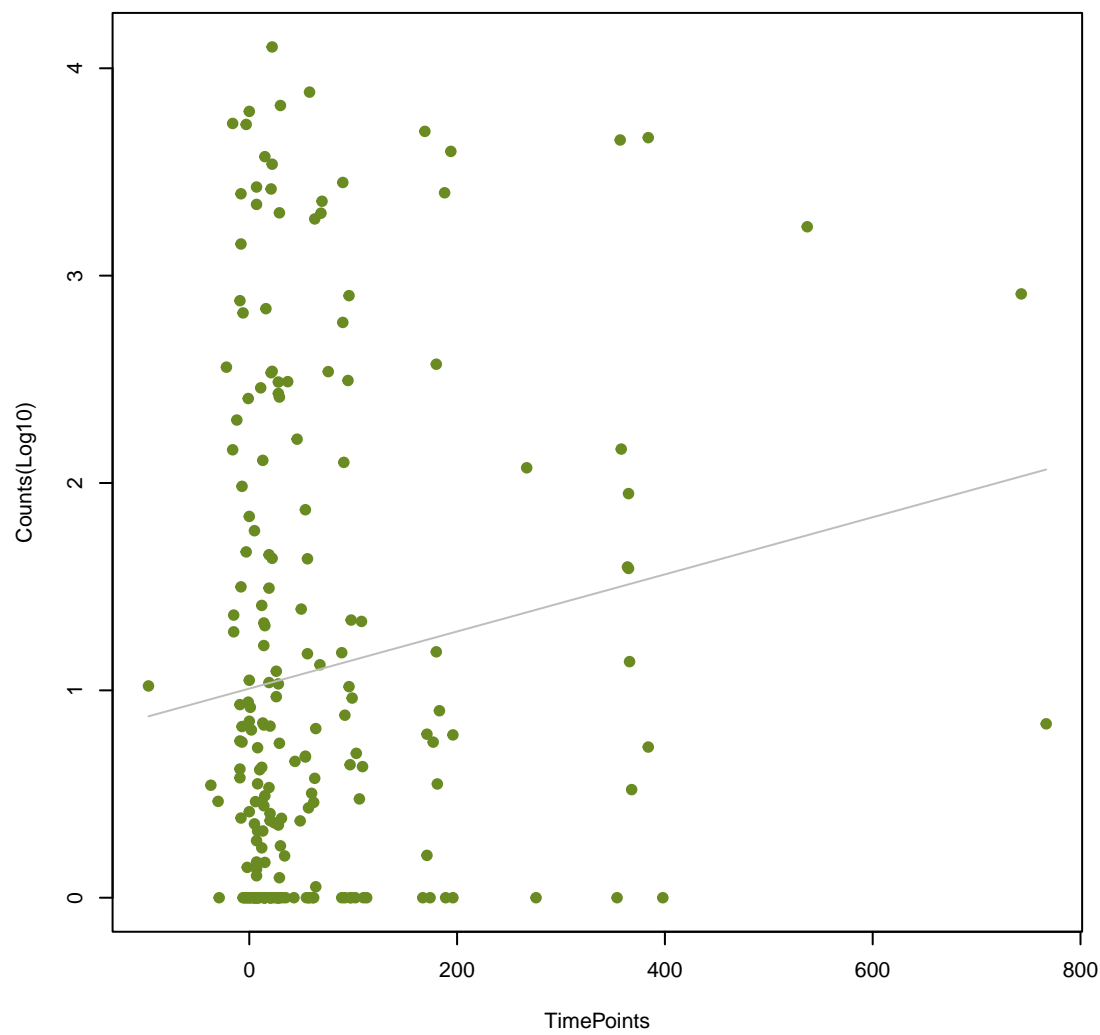
kdpE
ANOVA P=0.0415, adj. ANOVA-P=0.222



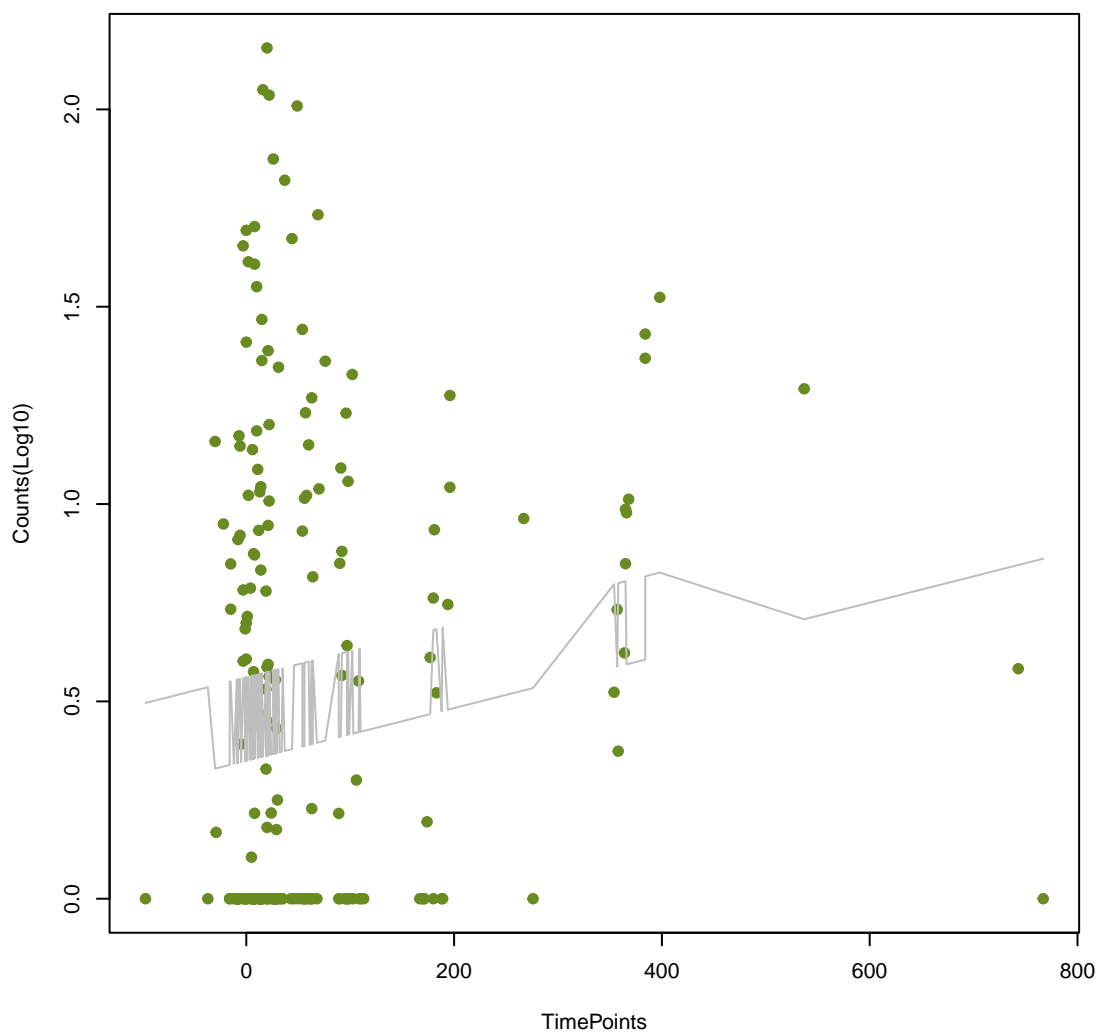
Bado_rpoB_RIF
ANOVA P=0.0448, adj. ANOVA-P=0.232



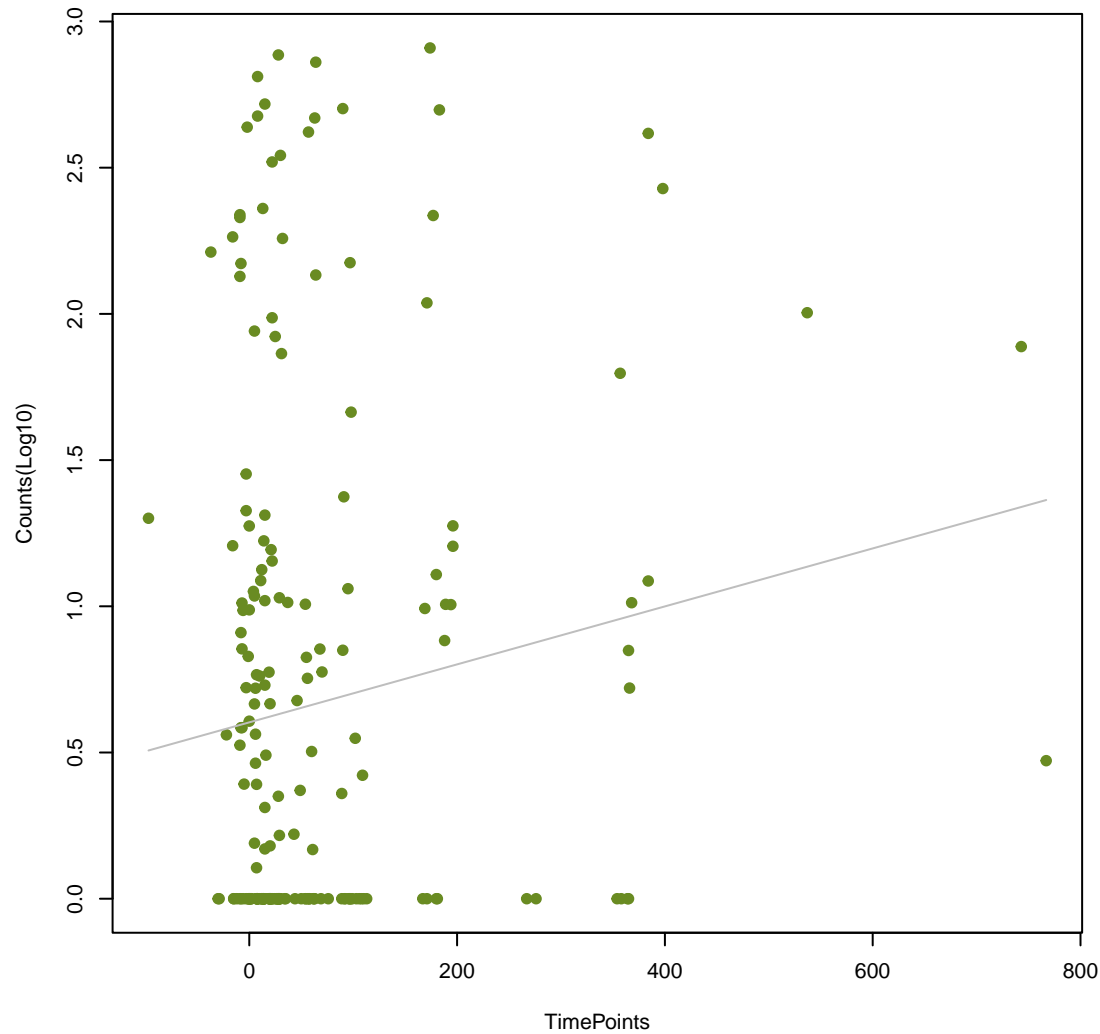
Bbif_ileS_MUP
ANOVA P=0.045, adj. ANOVA-P=0.232



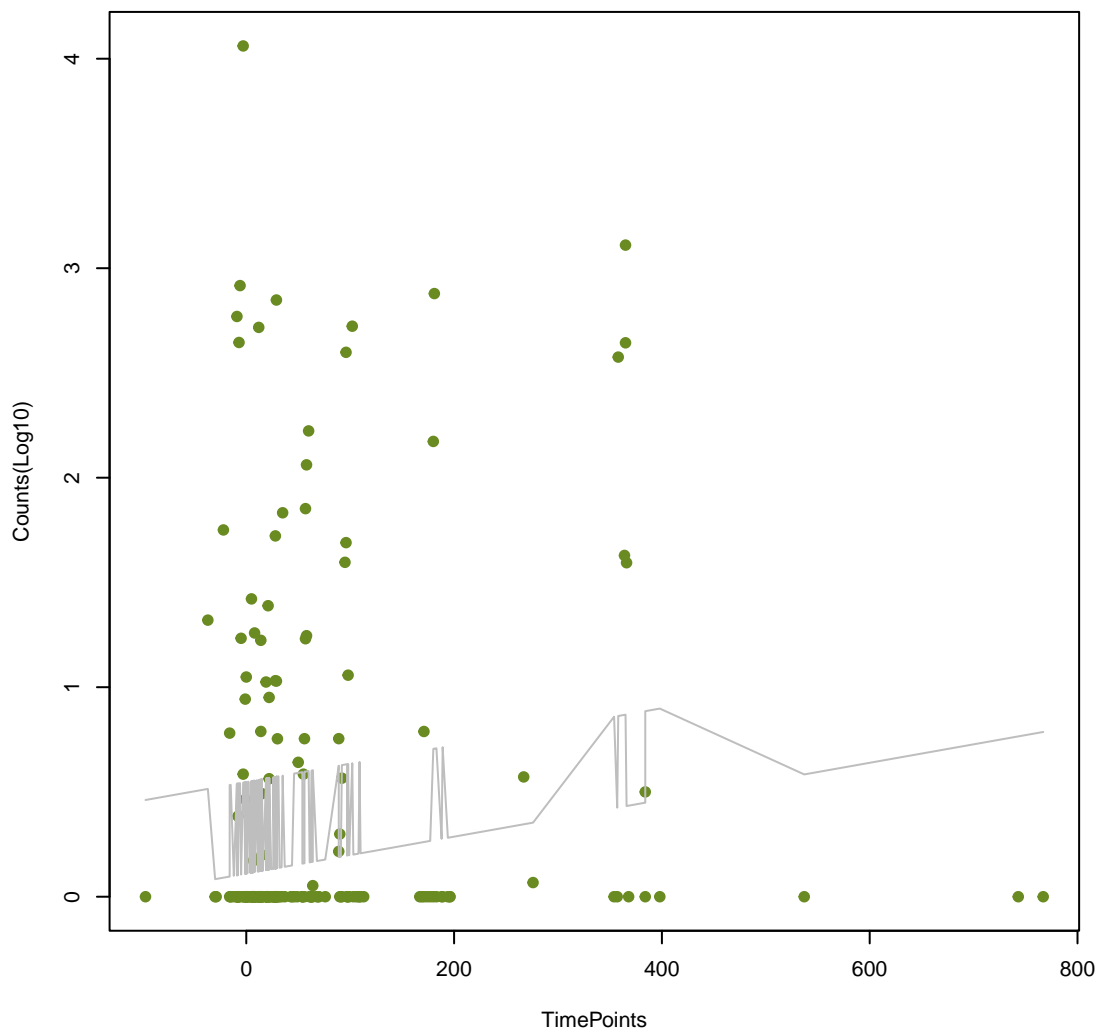
ErmX
ANOVA P=0.0472, adj. ANOVA-P=0.234



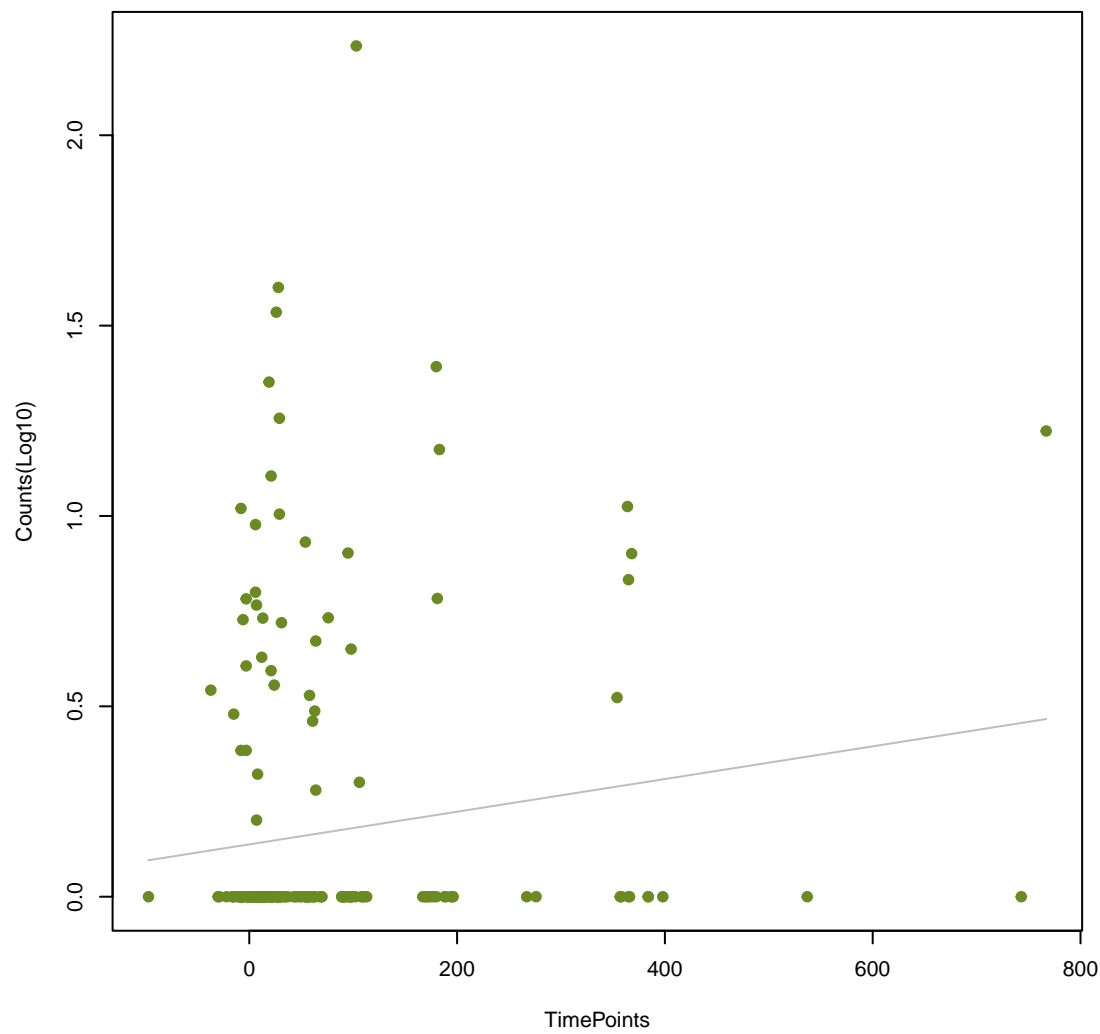
mdtG
ANOVA P=0.0485, adj. ANOVA-P=0.234



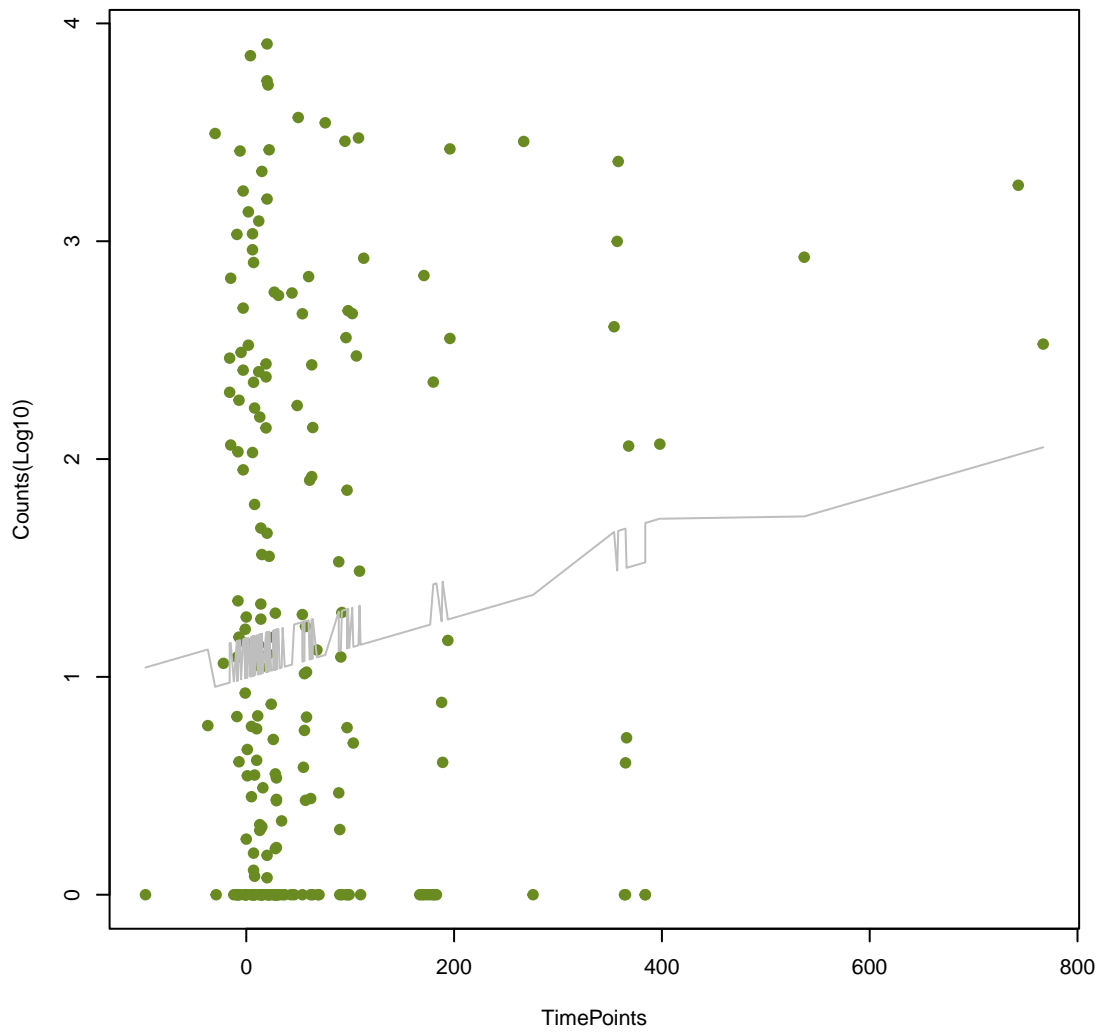
Ccol_ACT_CHL
ANOVA P=0.0487, adj. ANOVA-P=0.234



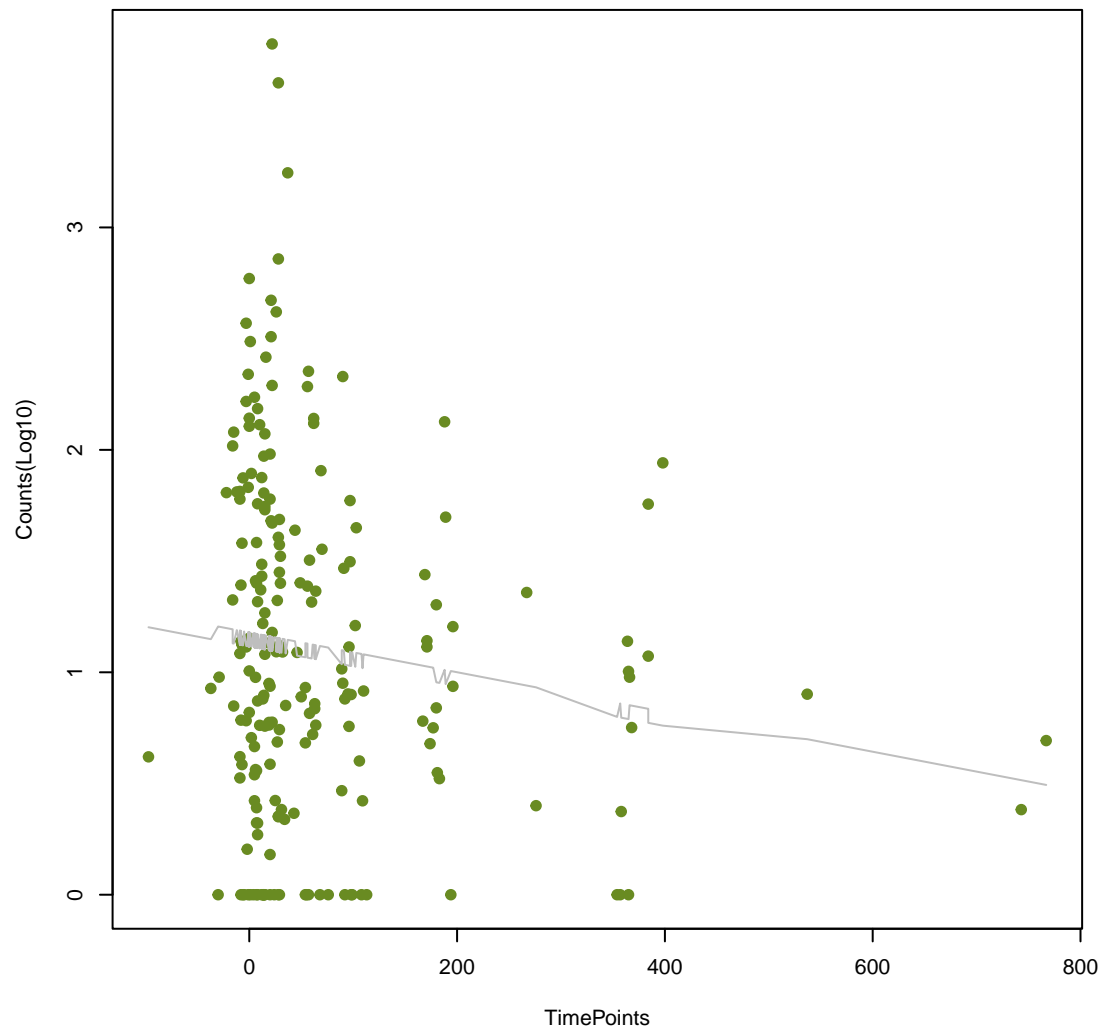
QnrB54
ANOVA P=0.0494, adj. ANOVA-P=0.234



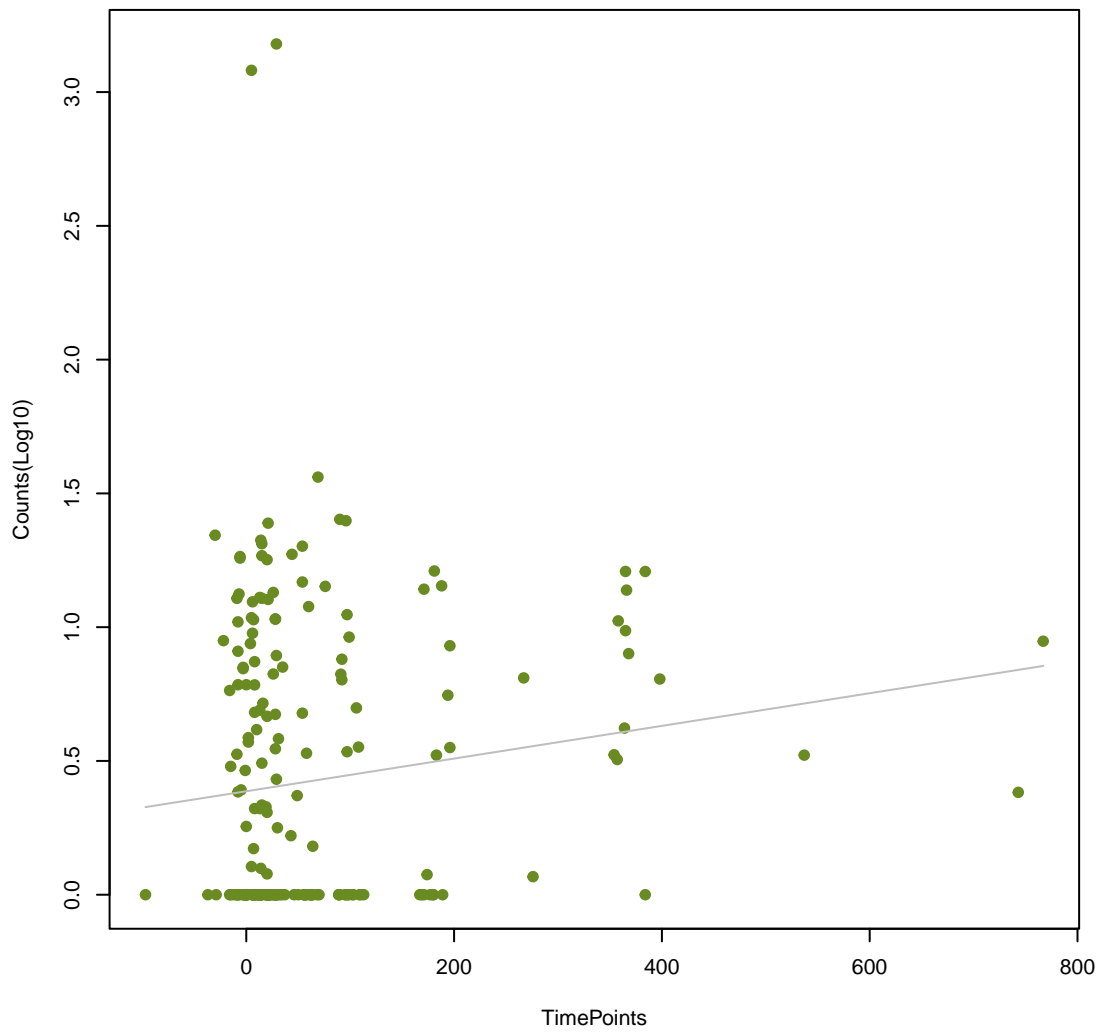
aadS
ANOVA P=0.0498, adj. ANOVA-P=0.234



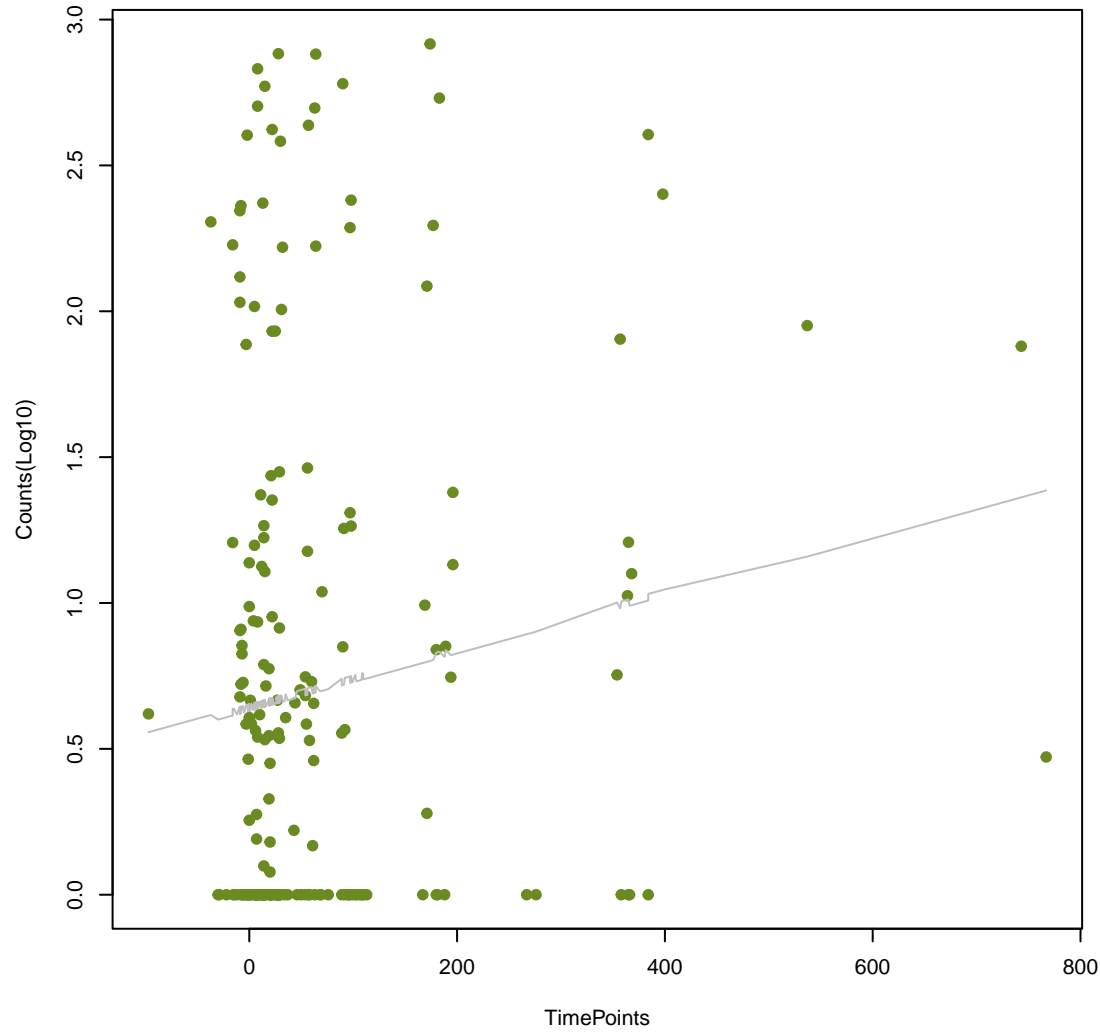
ImrD
ANOVA P=0.0503, adj. ANOVA-P=0.234



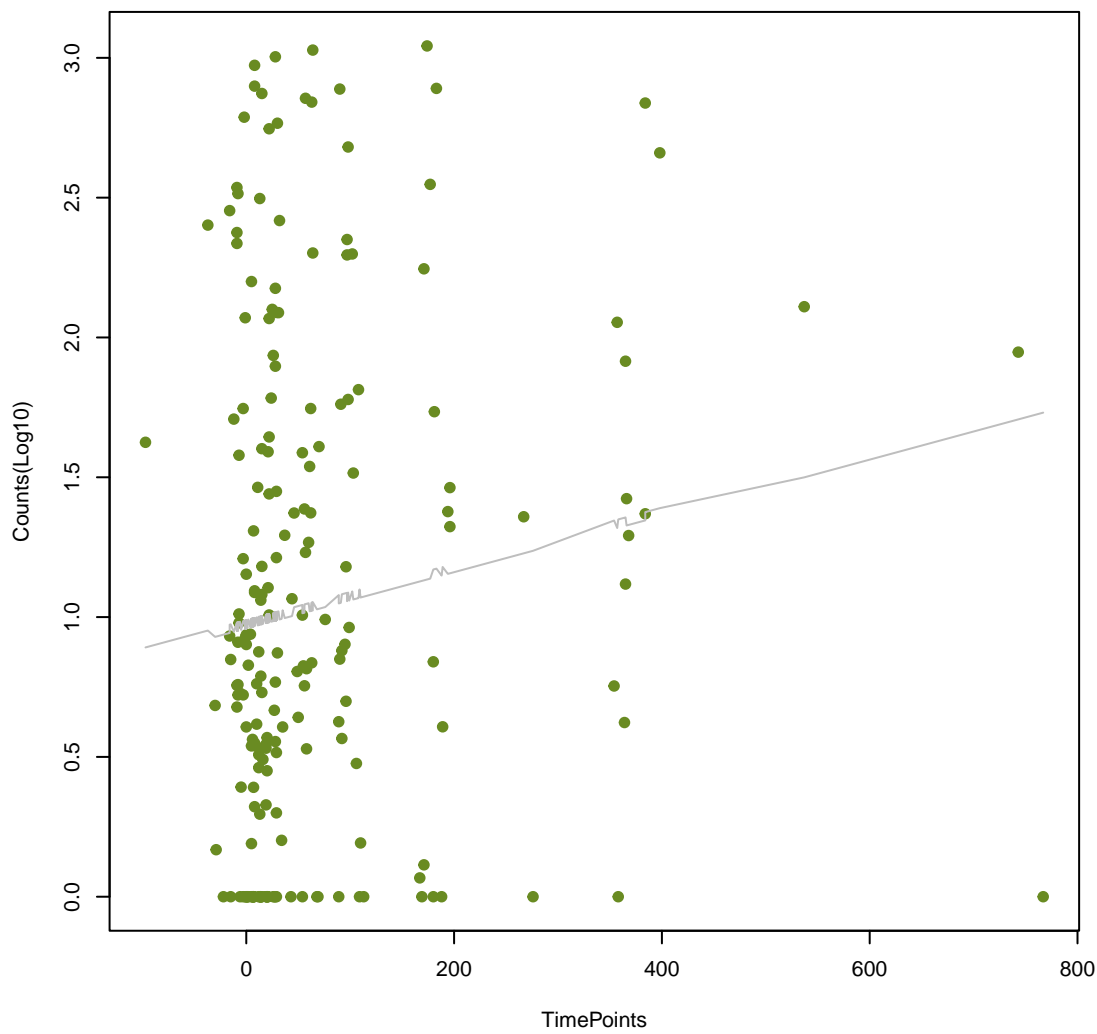
MexI
ANOVA P=0.0516, adj. ANOVA-P=0.234



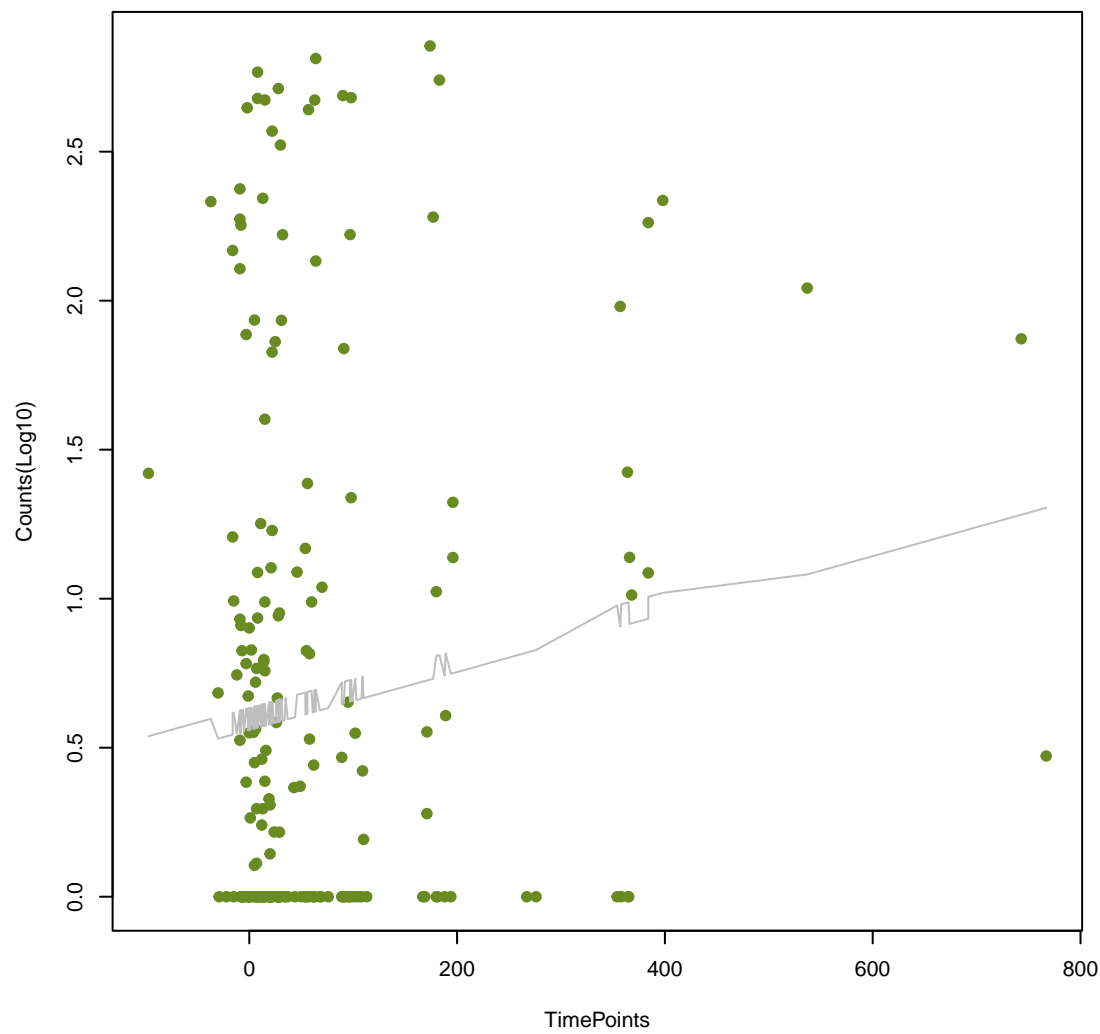
mdtA
ANOVA P=0.0522, adj. ANOVA-P=0.234



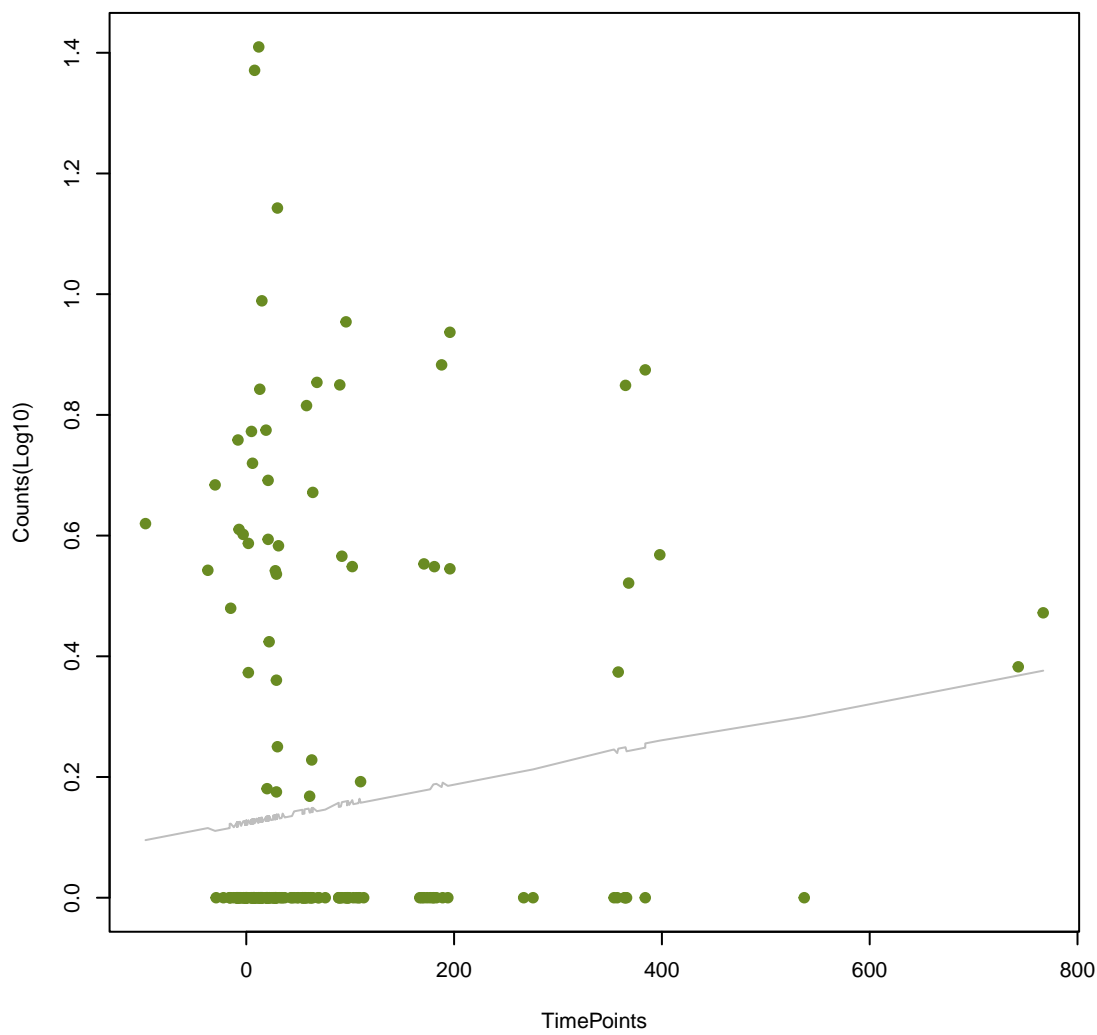
emrB
ANOVA P=0.0525, adj. ANOVA-P=0.234



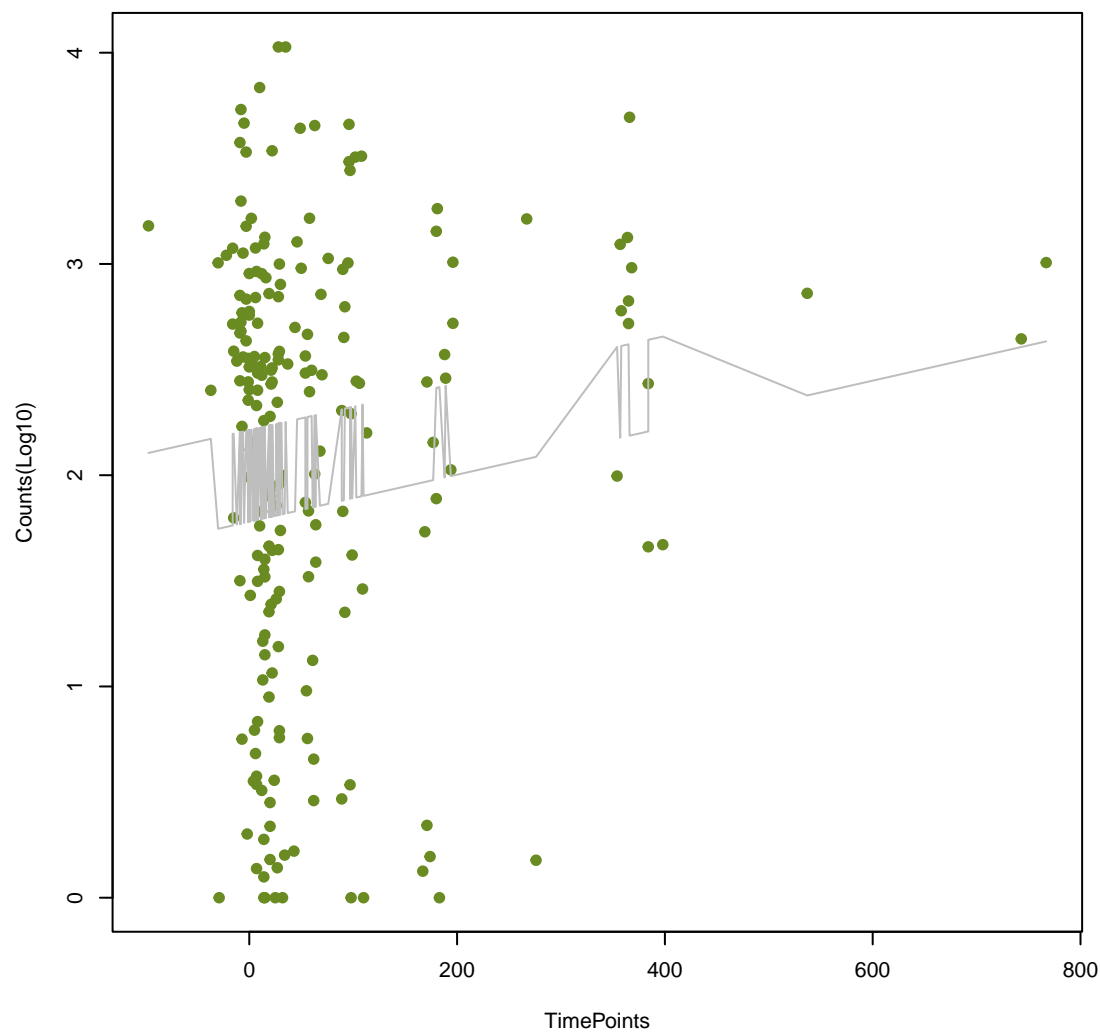
emrK
ANOVA P=0.0542, adj. ANOVA-P=0.238



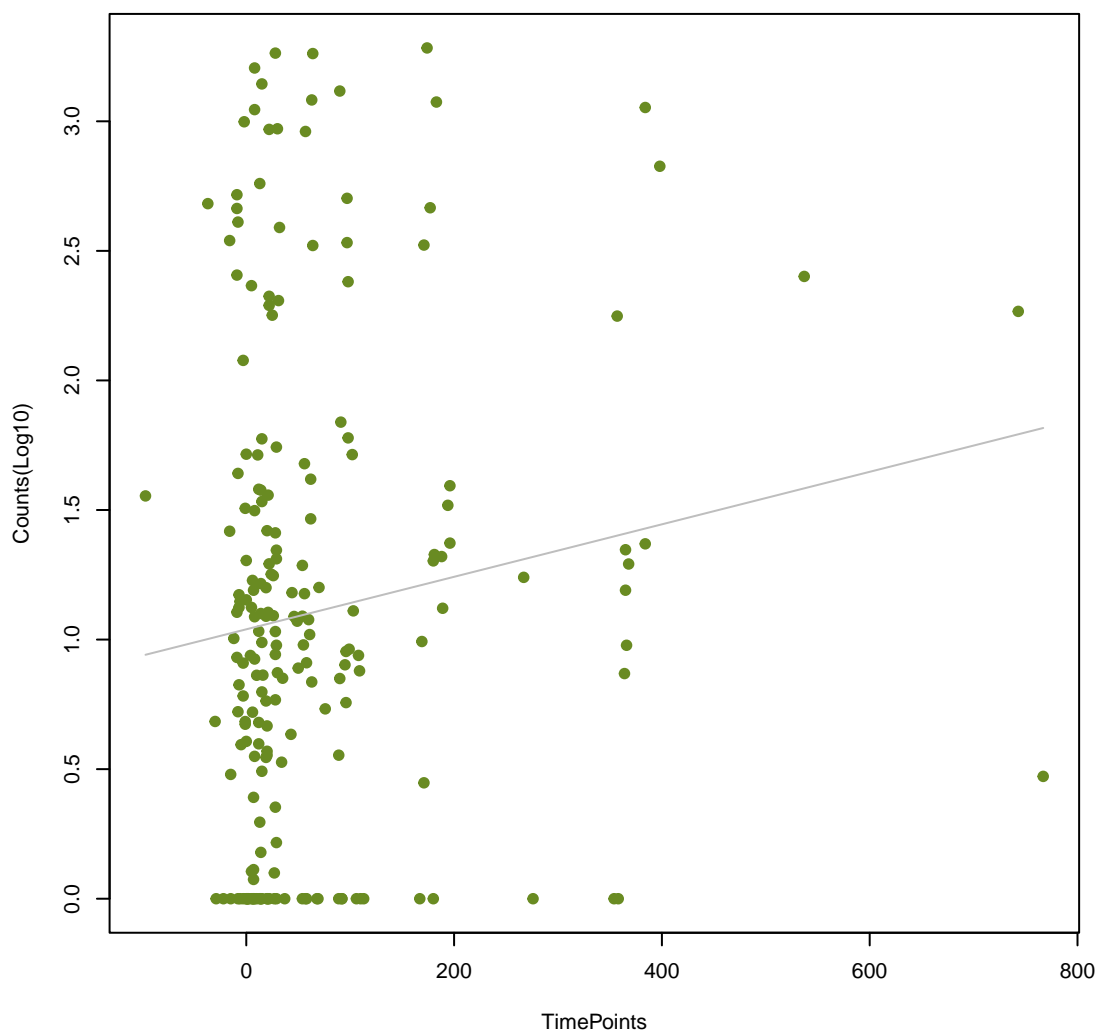
mecD
ANOVA P=0.0549, adj. ANOVA-P=0.238



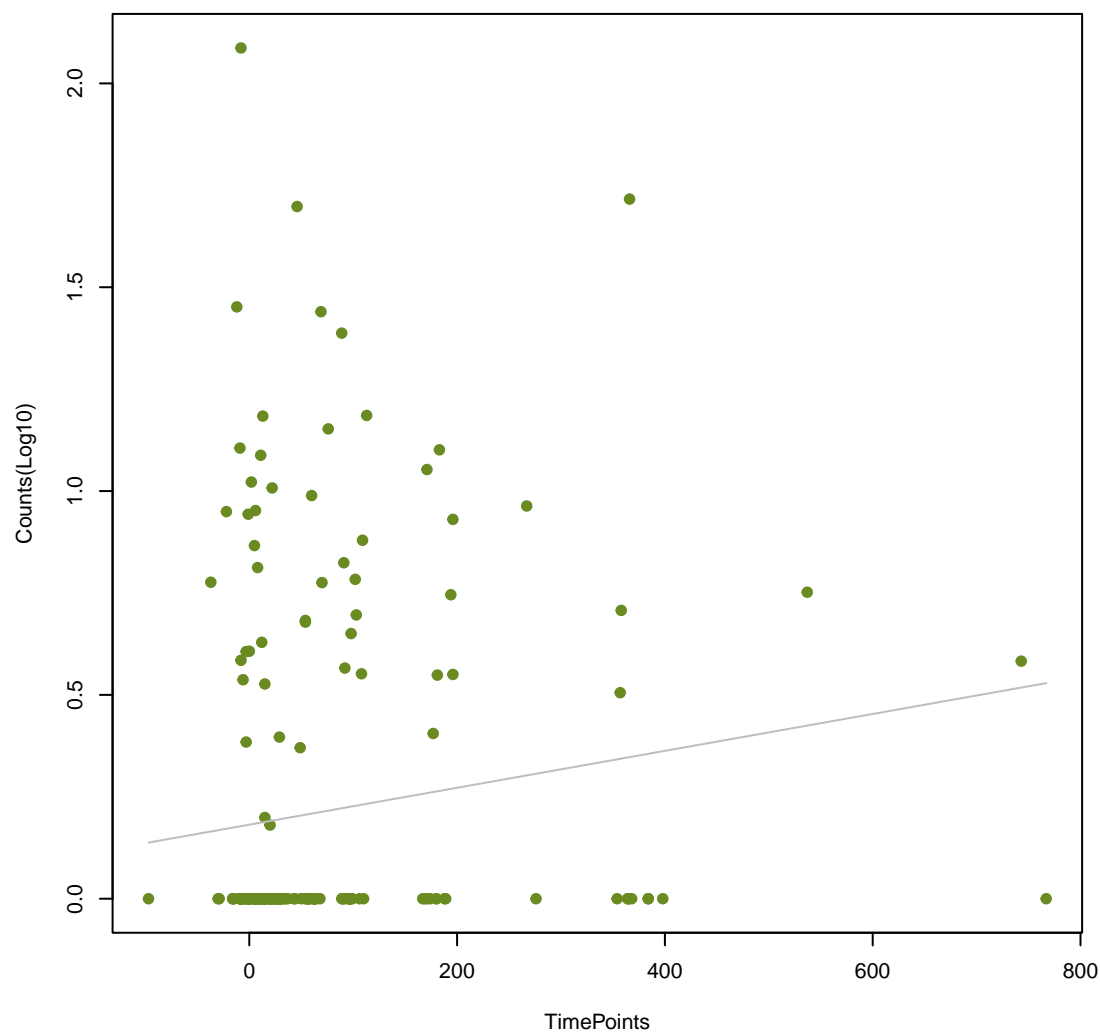
tet(W/N/W)
ANOVA P=0.0578, adj. ANOVA-P=0.243



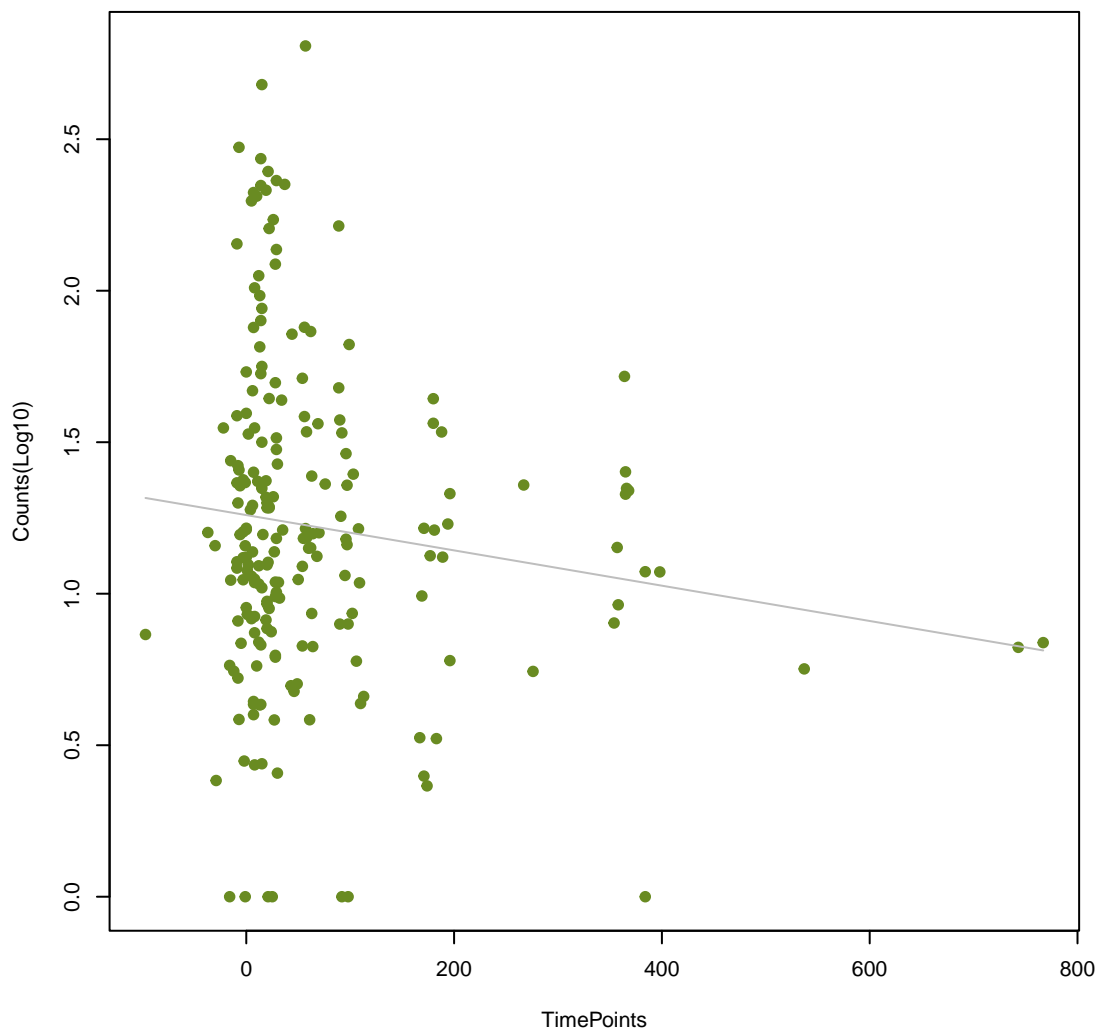
mdtC
ANOVA P=0.0587, adj. ANOVA-P=0.243



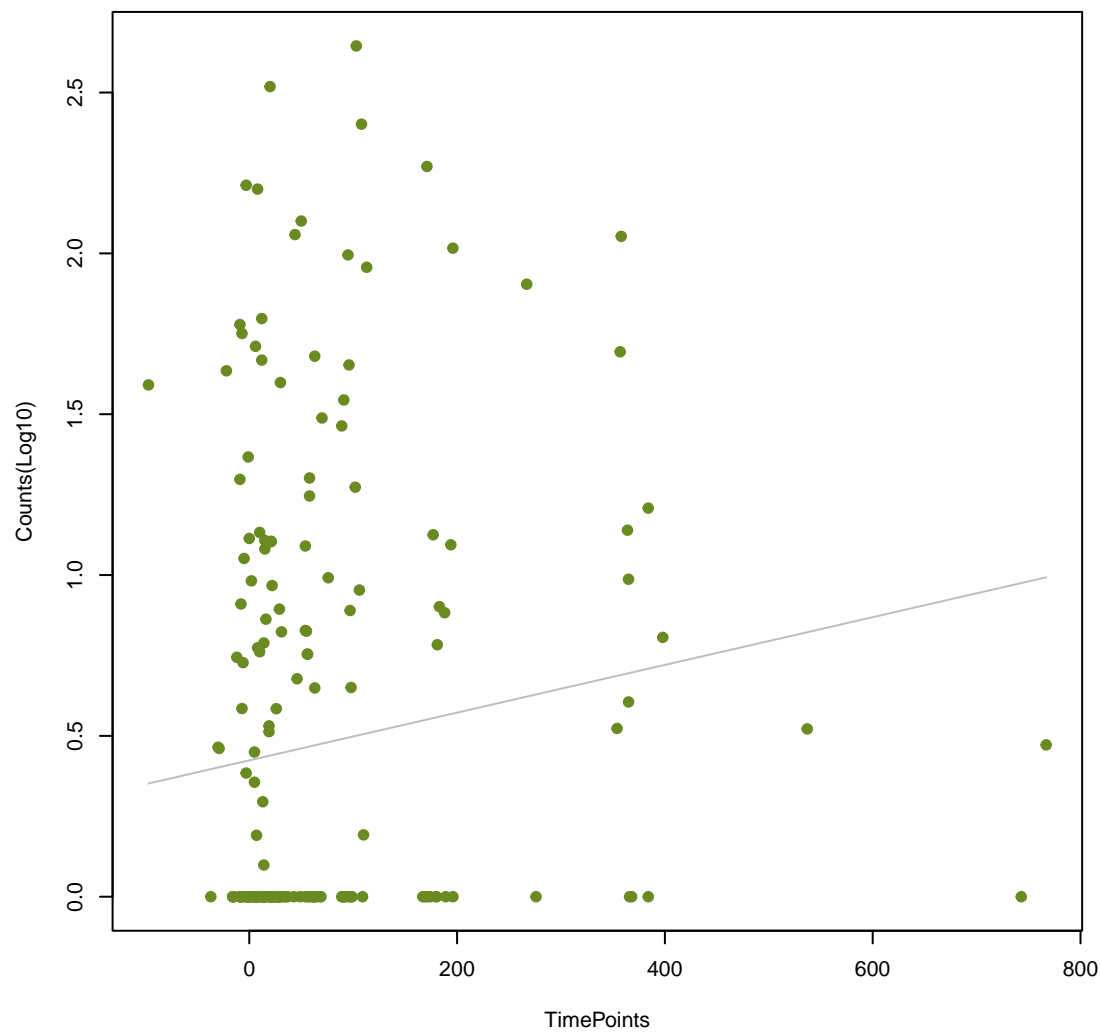
macA
ANOVA P=0.0591, adj. ANOVA-P=0.243



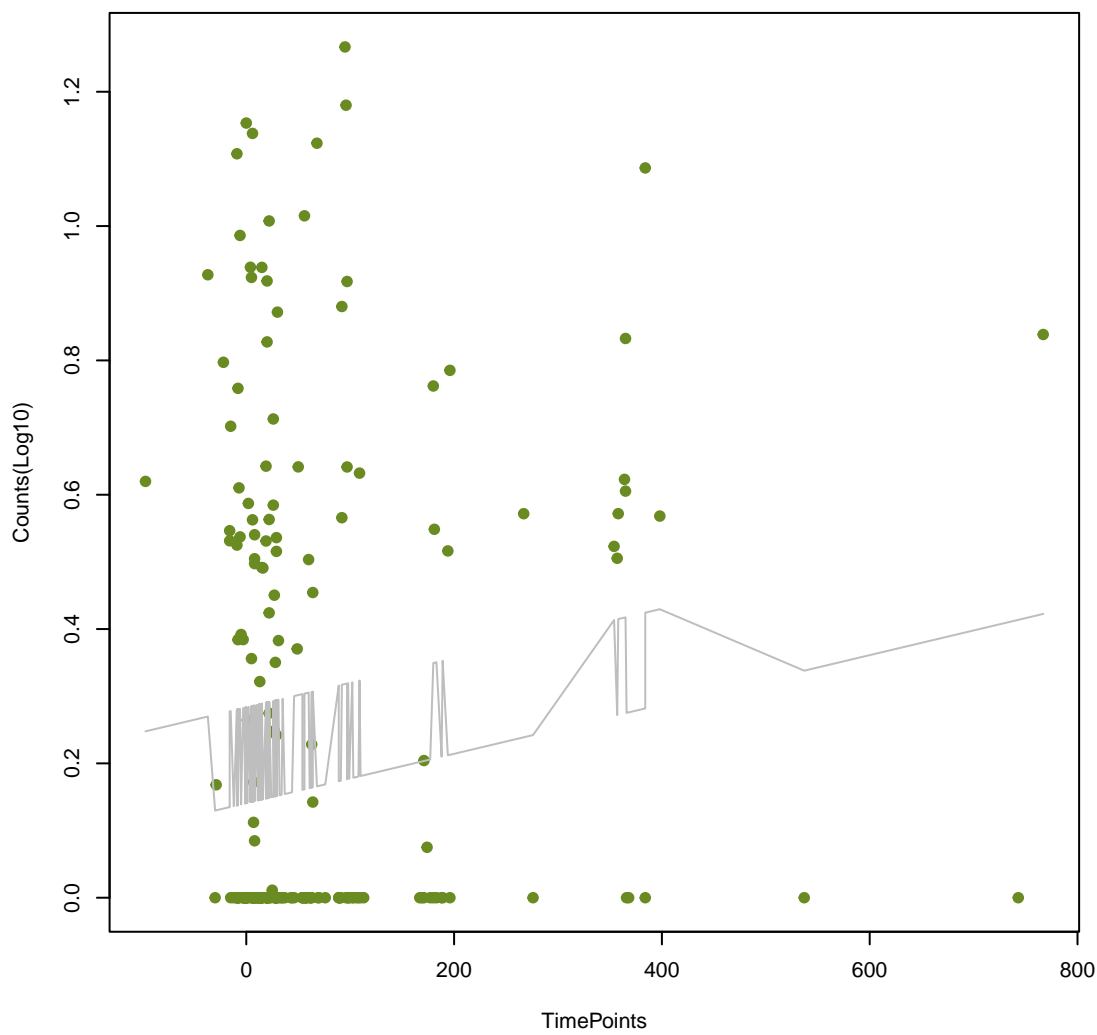
YajC
ANOVA P=0.0592, adj. ANOVA-P=0.243



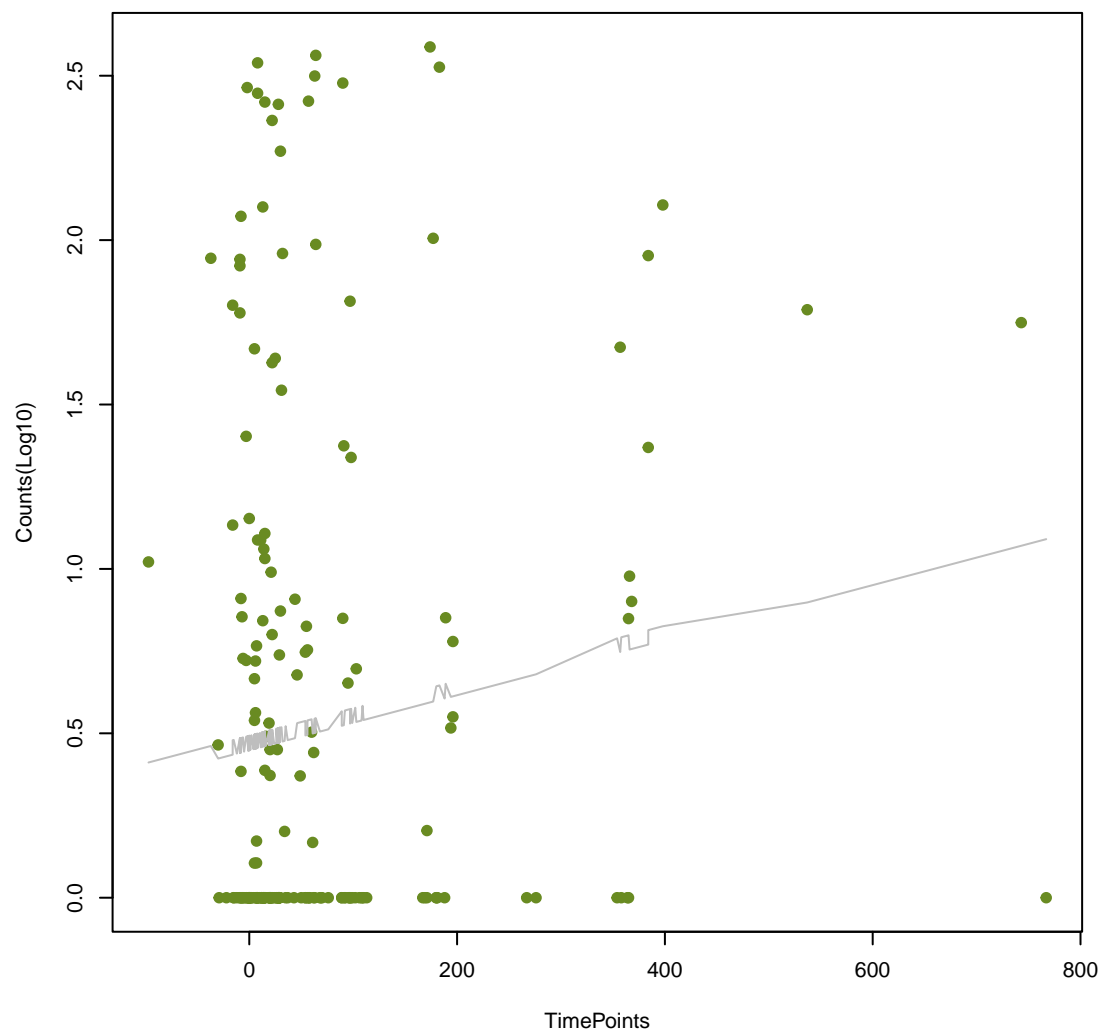
vanH_in_vanD_cl
ANOVA P=0.0612, adj. ANOVA-P=0.247



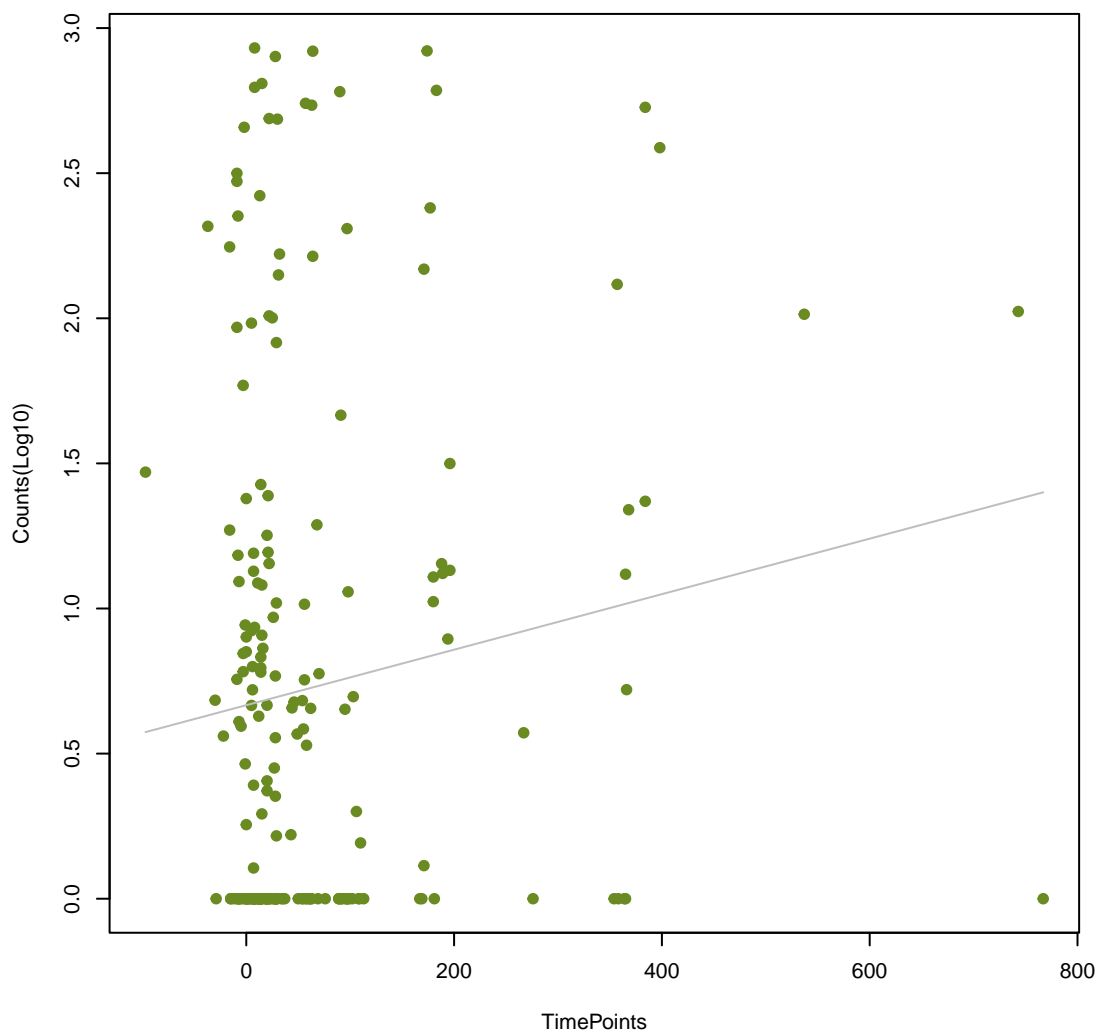
QnrS6
ANOVA P=0.0625, adj. ANOVA-P=0.248



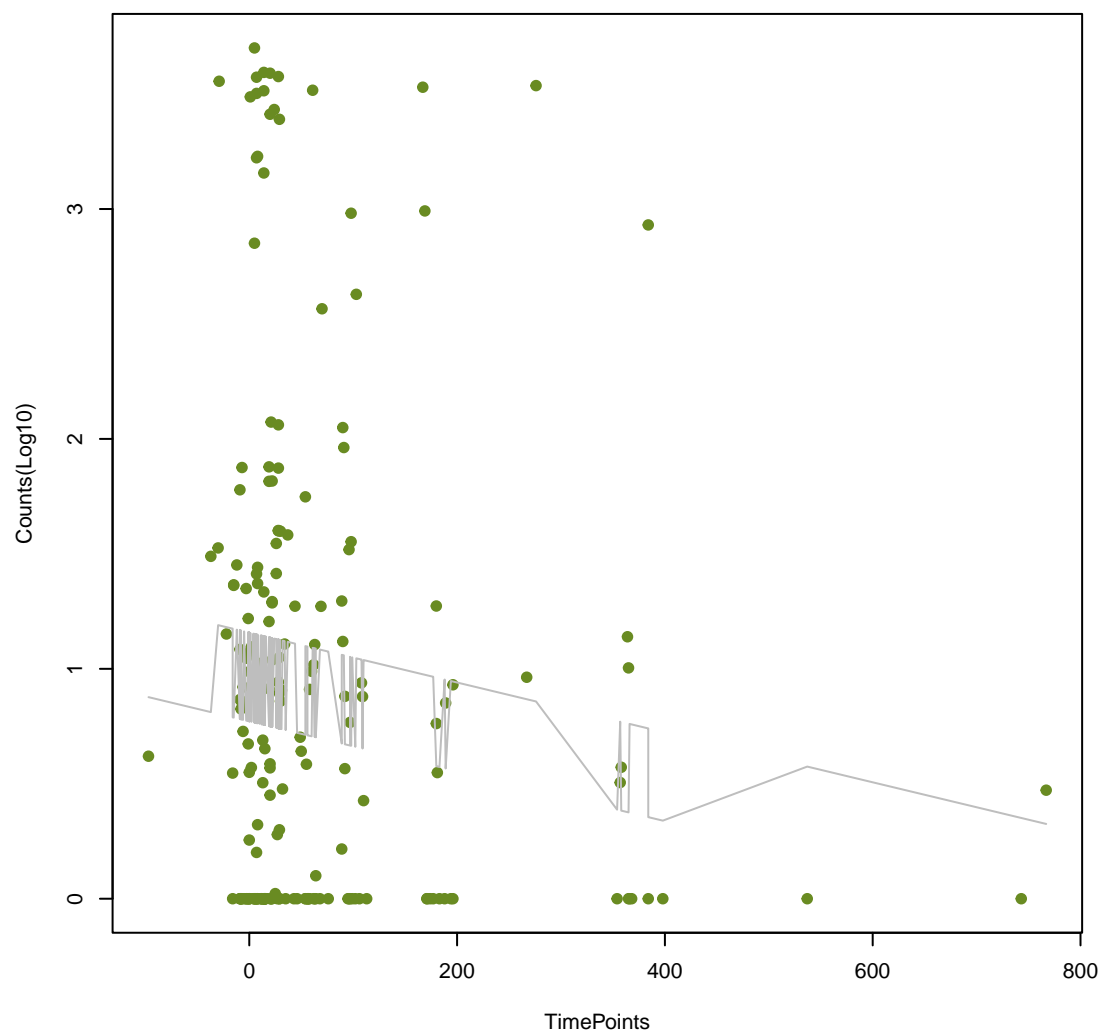
evgA
ANOVA P=0.0632, adj. ANOVA-P=0.248



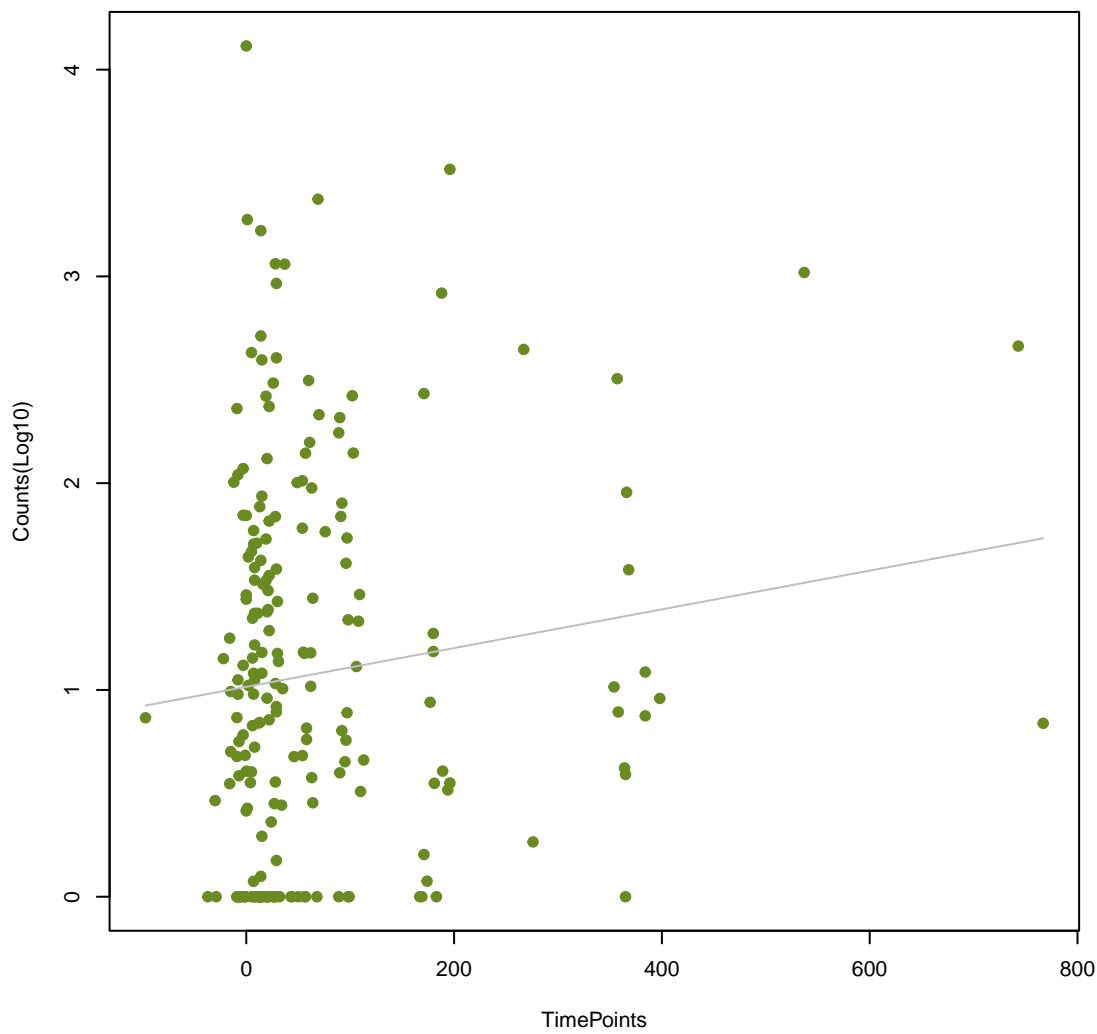
mdtN
ANOVA P=0.0658, adj. ANOVA-P=0.255



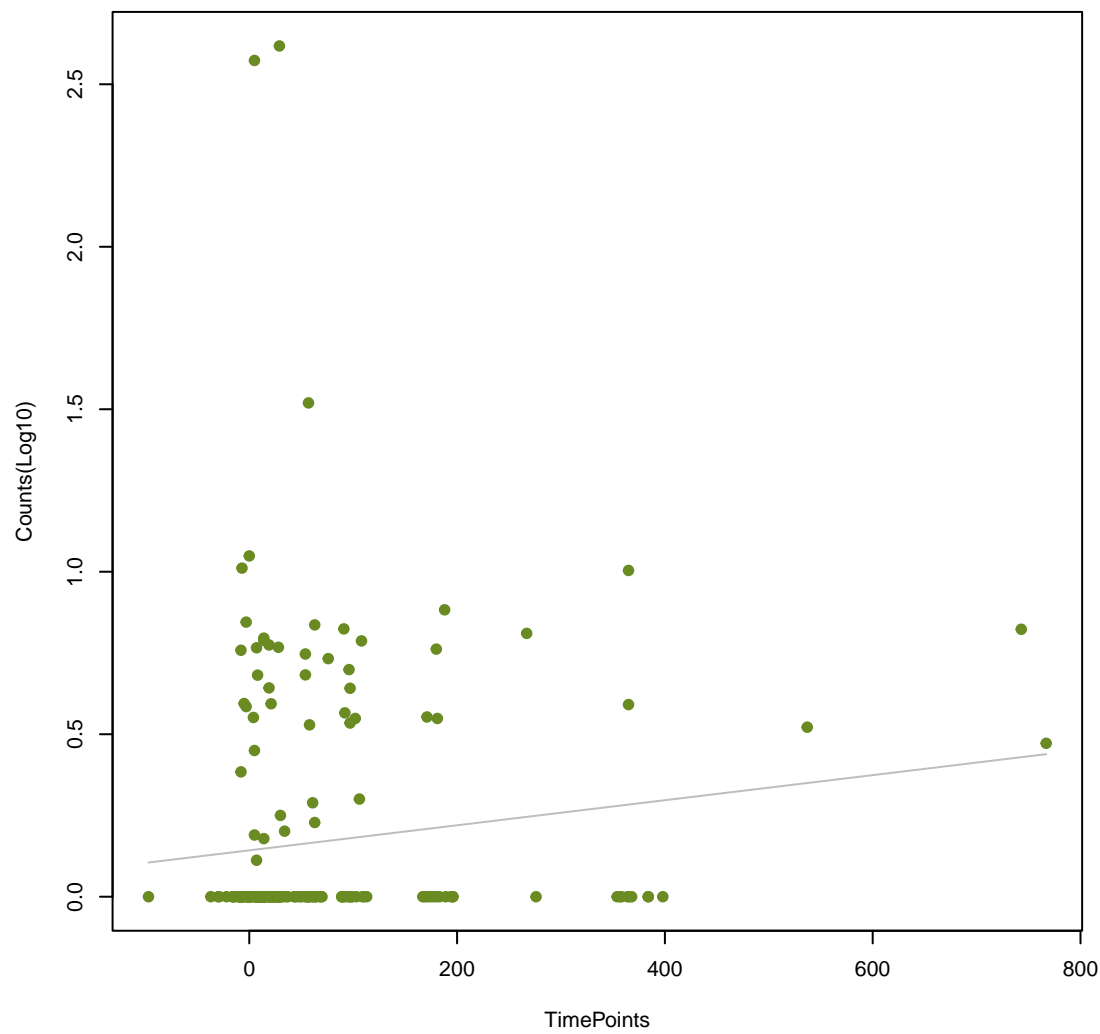
vanH_in_vanA_cl
ANOVA P=0.0737, adj. ANOVA-P=0.283



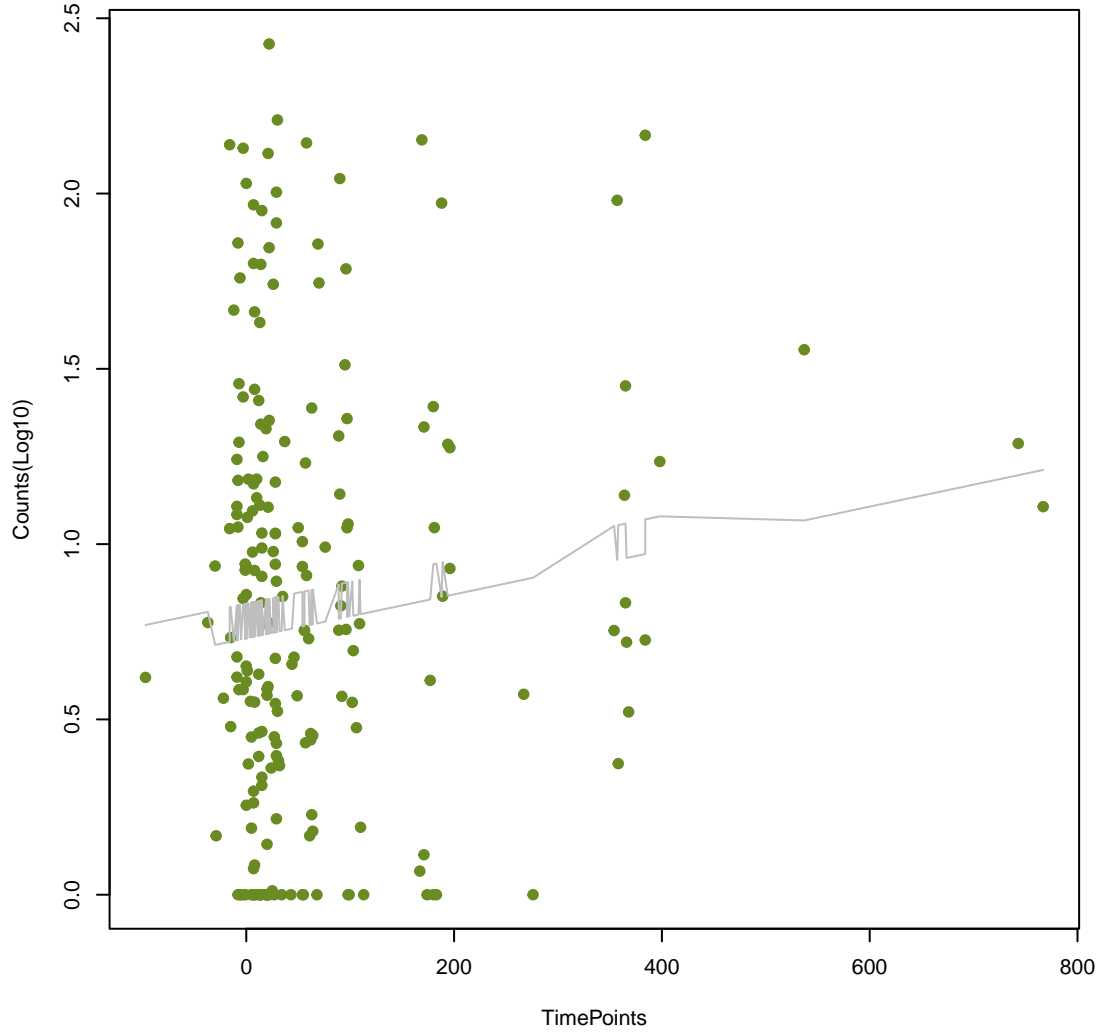
IsaC
ANOVA P=0.0785, adj. ANOVA-P=0.295



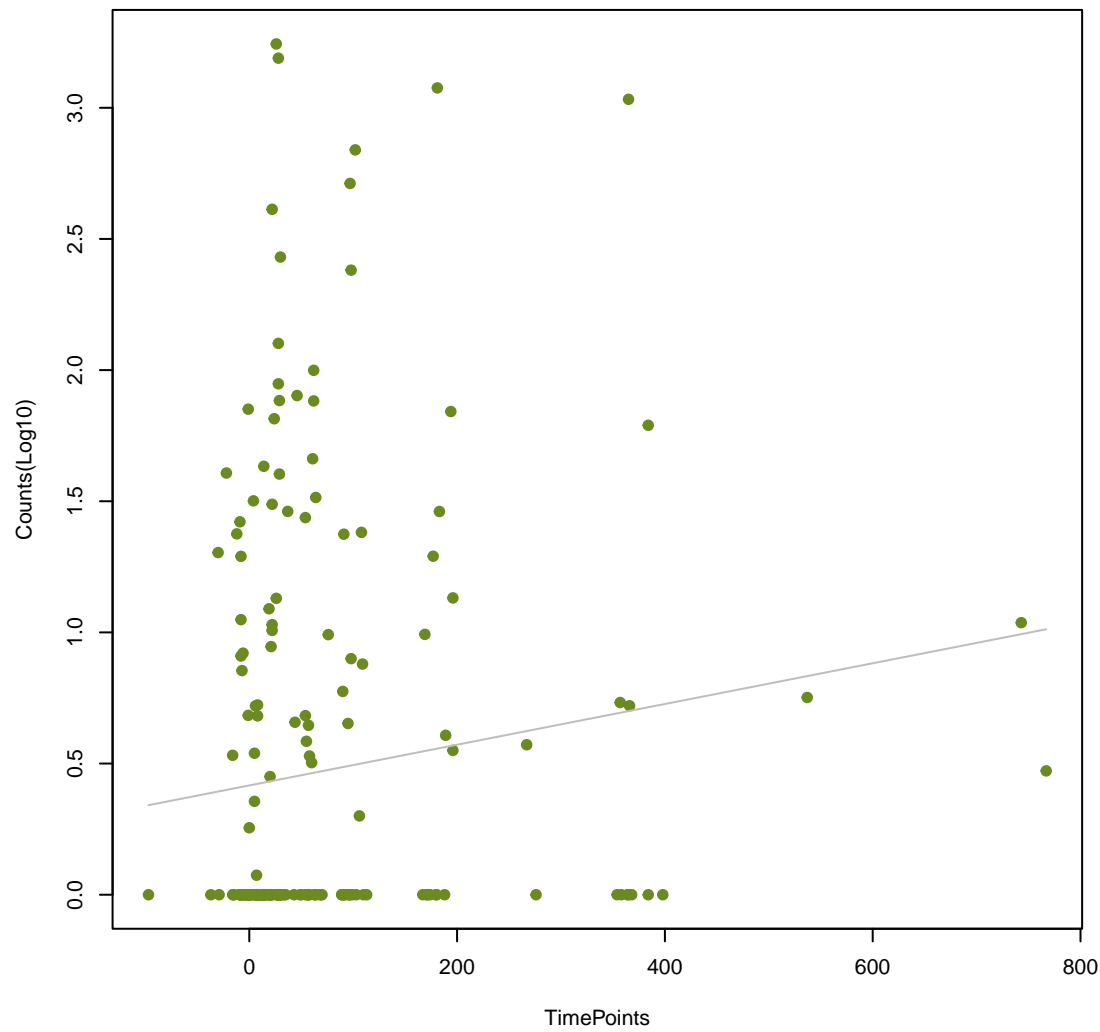
APH(3')-IIb
ANOVA P=0.0788, adj. ANOVA-P=0.295



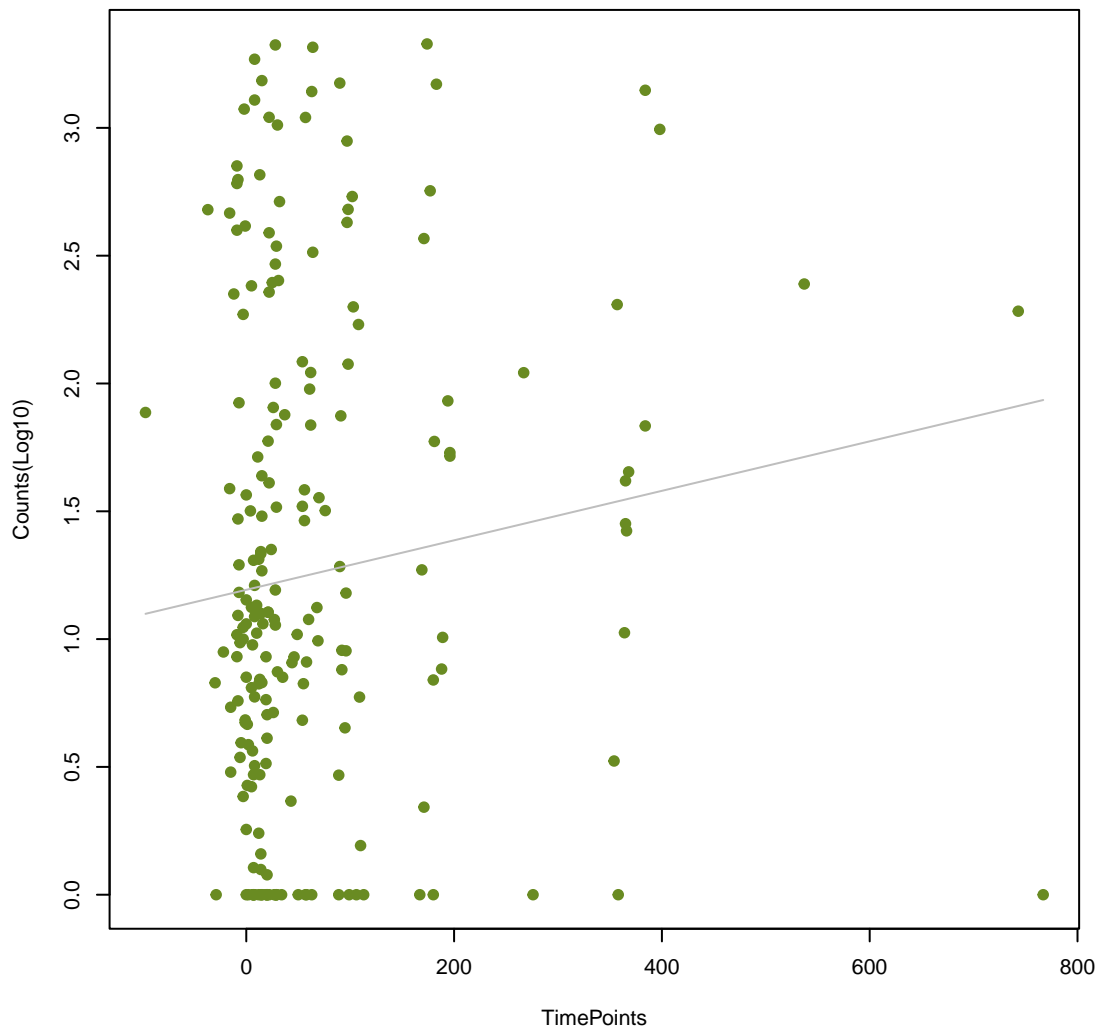
rpoB2
ANOVA P=0.0801, adj. ANOVA-P=0.296



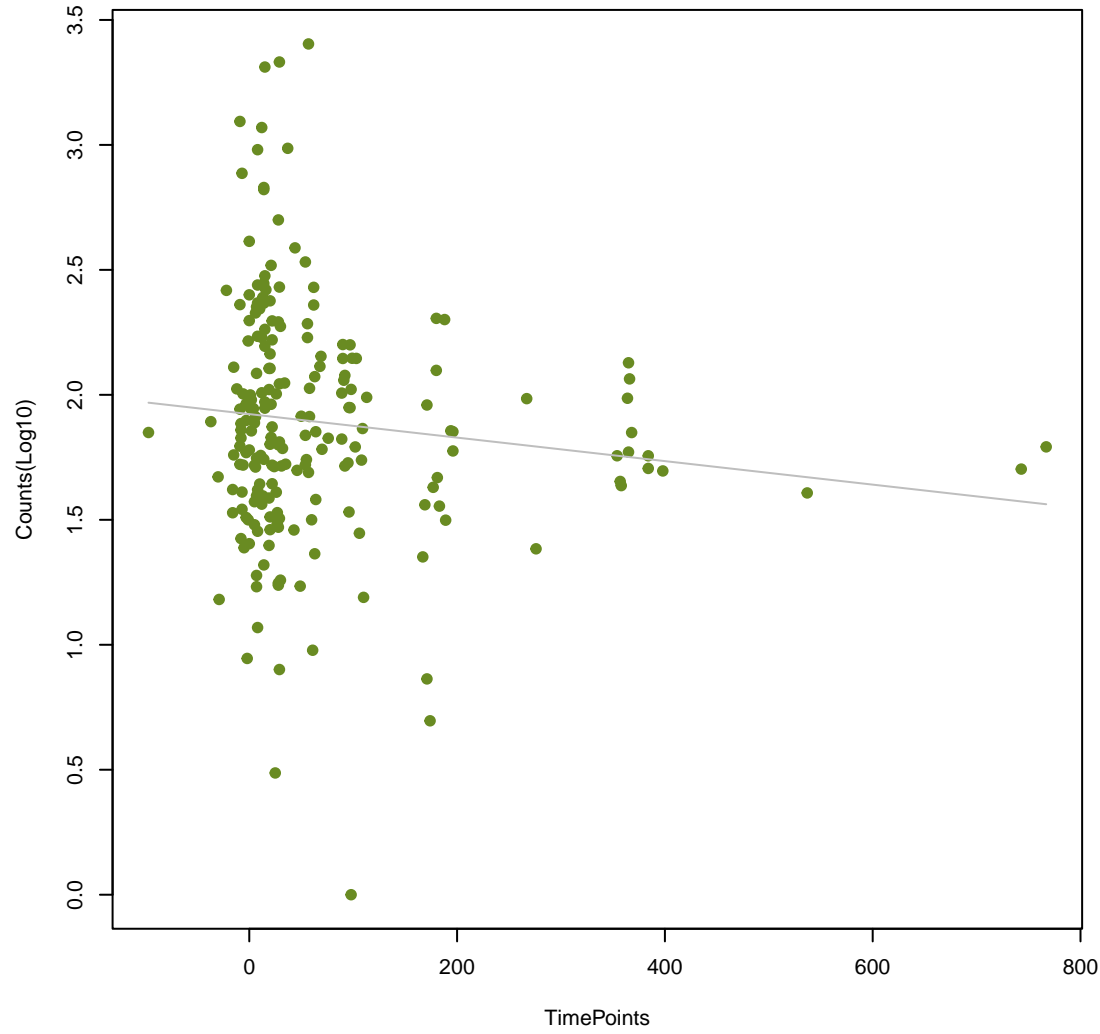
oqxA
ANOVA P=0.0812, adj. ANOVA-P=0.296



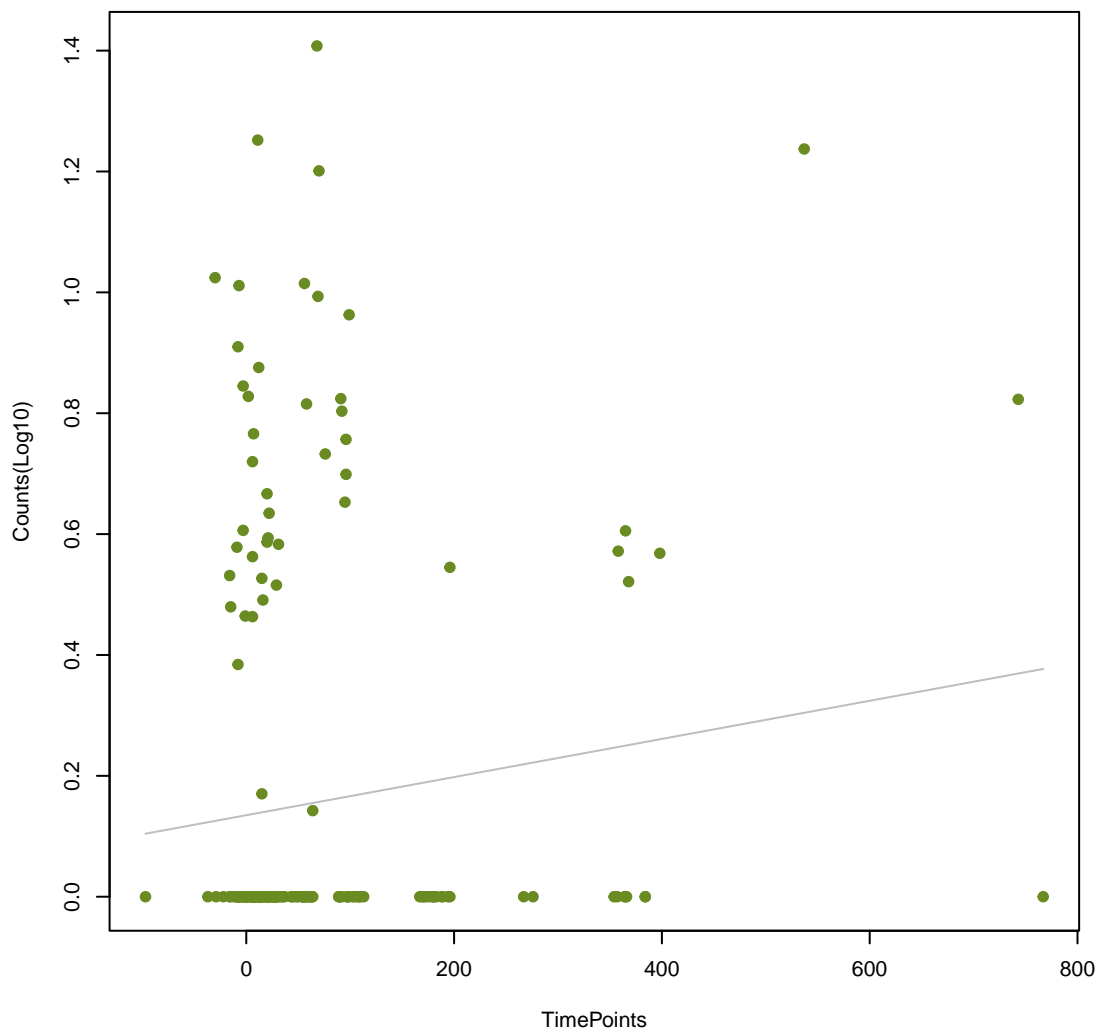
acrB
ANOVA P=0.0865, adj. ANOVA-P=0.308



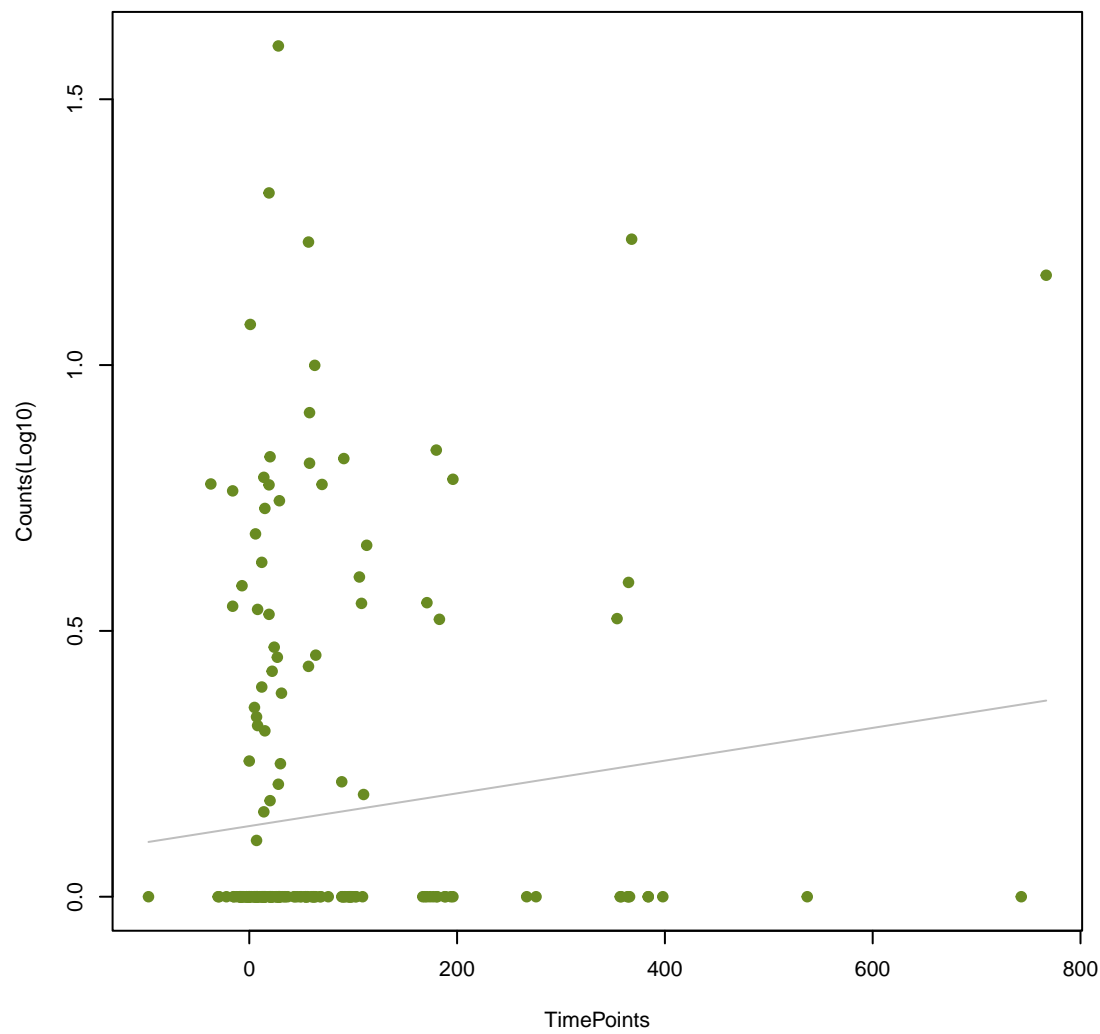
qacL
ANOVA P=0.0866, adj. ANOVA-P=0.308



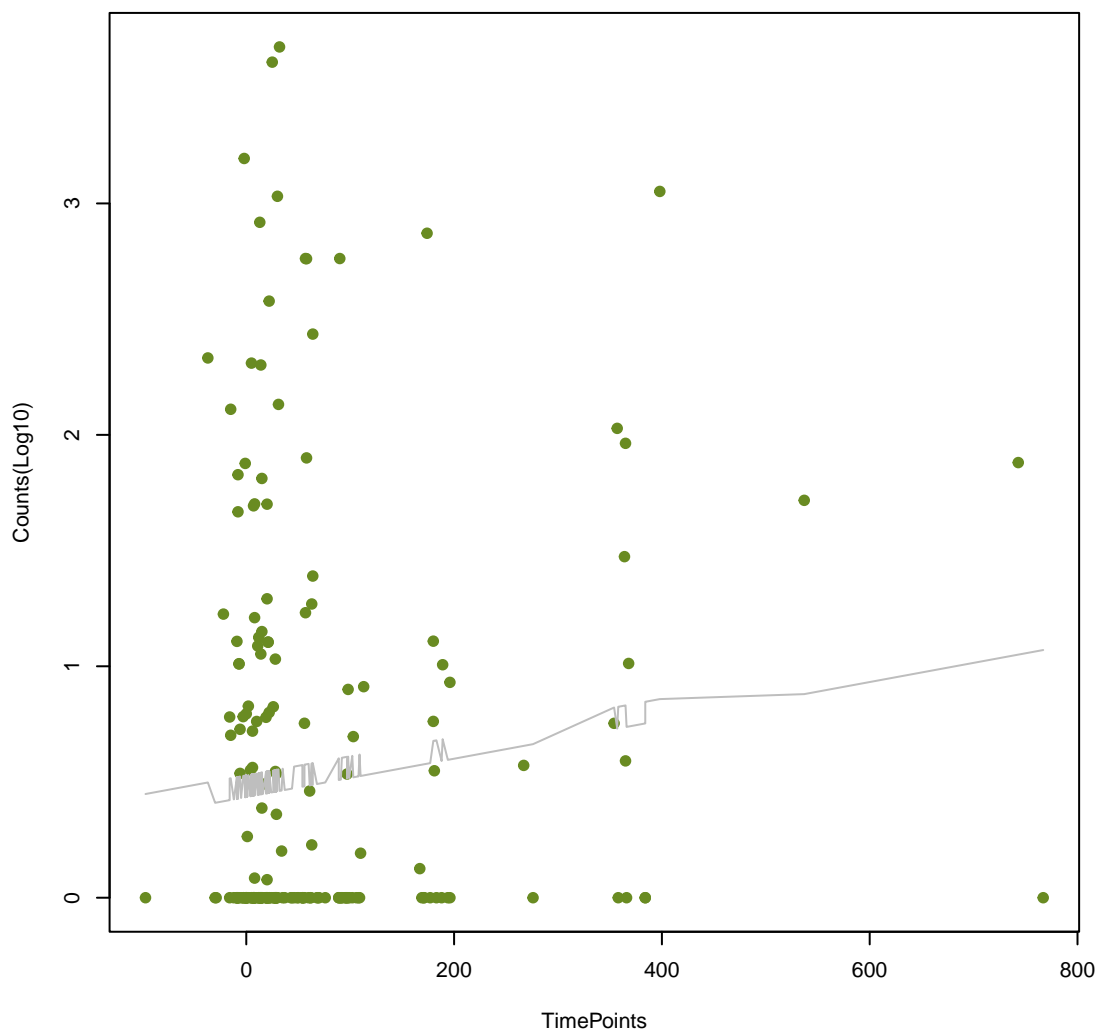
tet(H)
ANOVA P=0.0902, adj. ANOVA-P=0.316



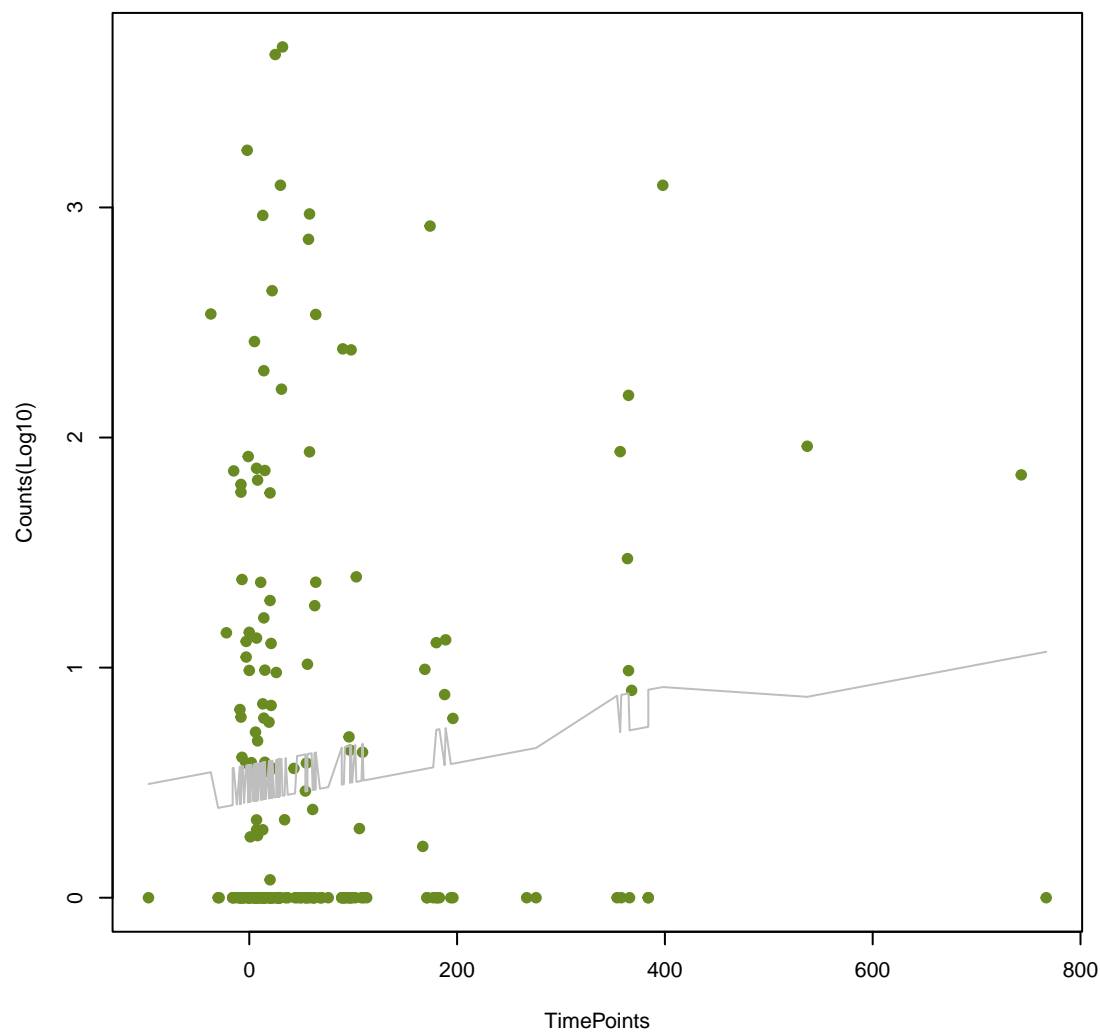
CARB-42
ANOVA P=0.0908, adj. ANOVA-P=0.316



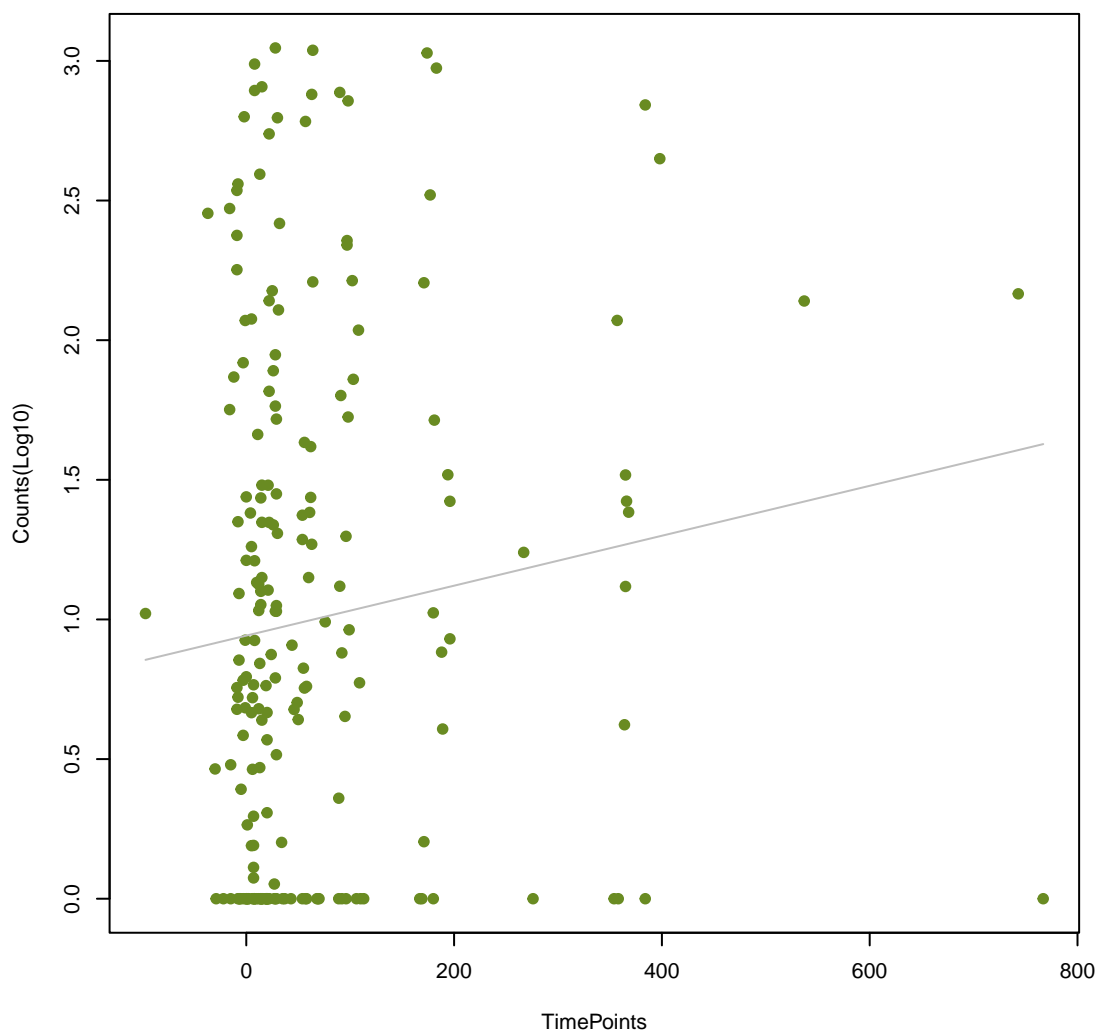
APH(3'')-Ib
ANOVA P=0.095, adj. ANOVA-P=0.324



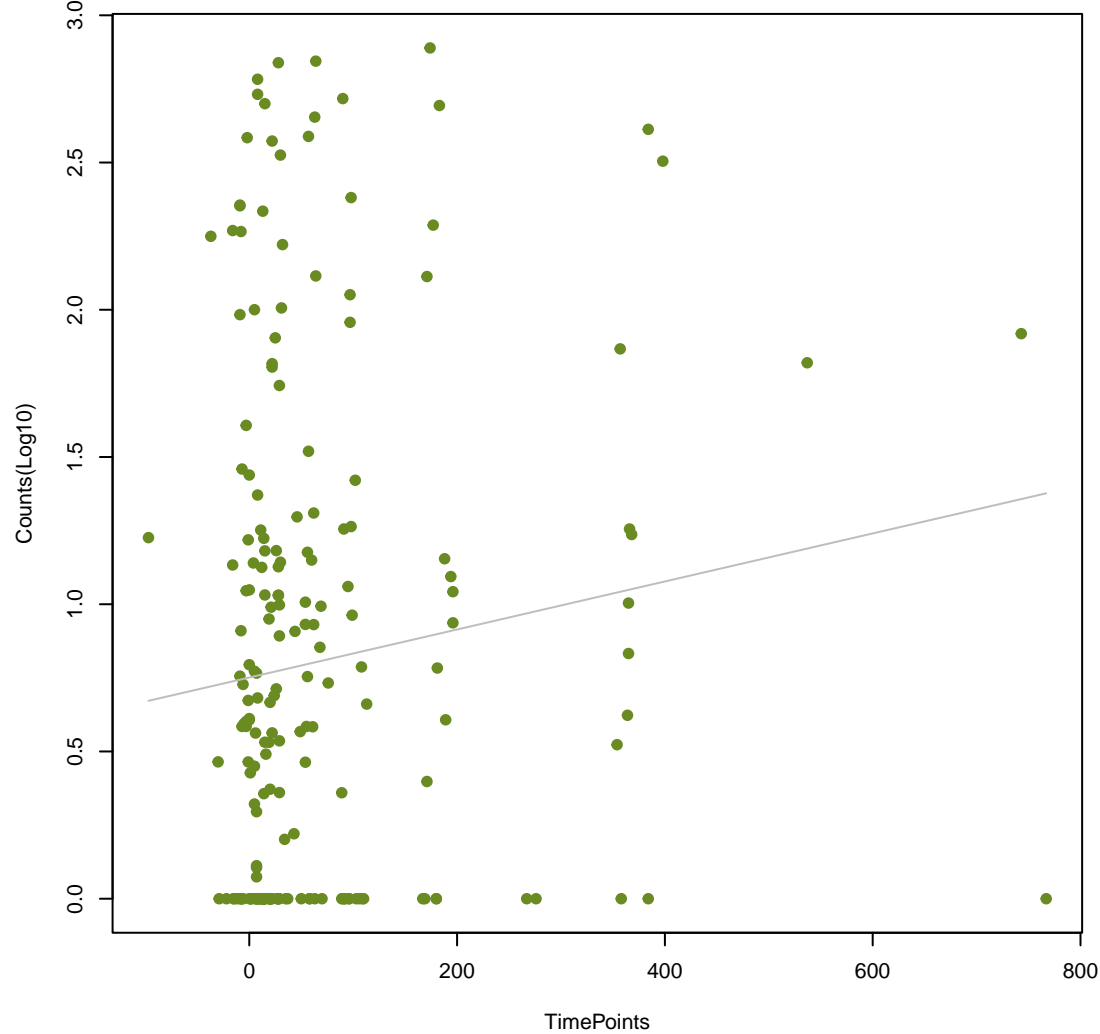
APH(6)-Id
ANOVA P=0.0954, adj. ANOVA-P=0.324



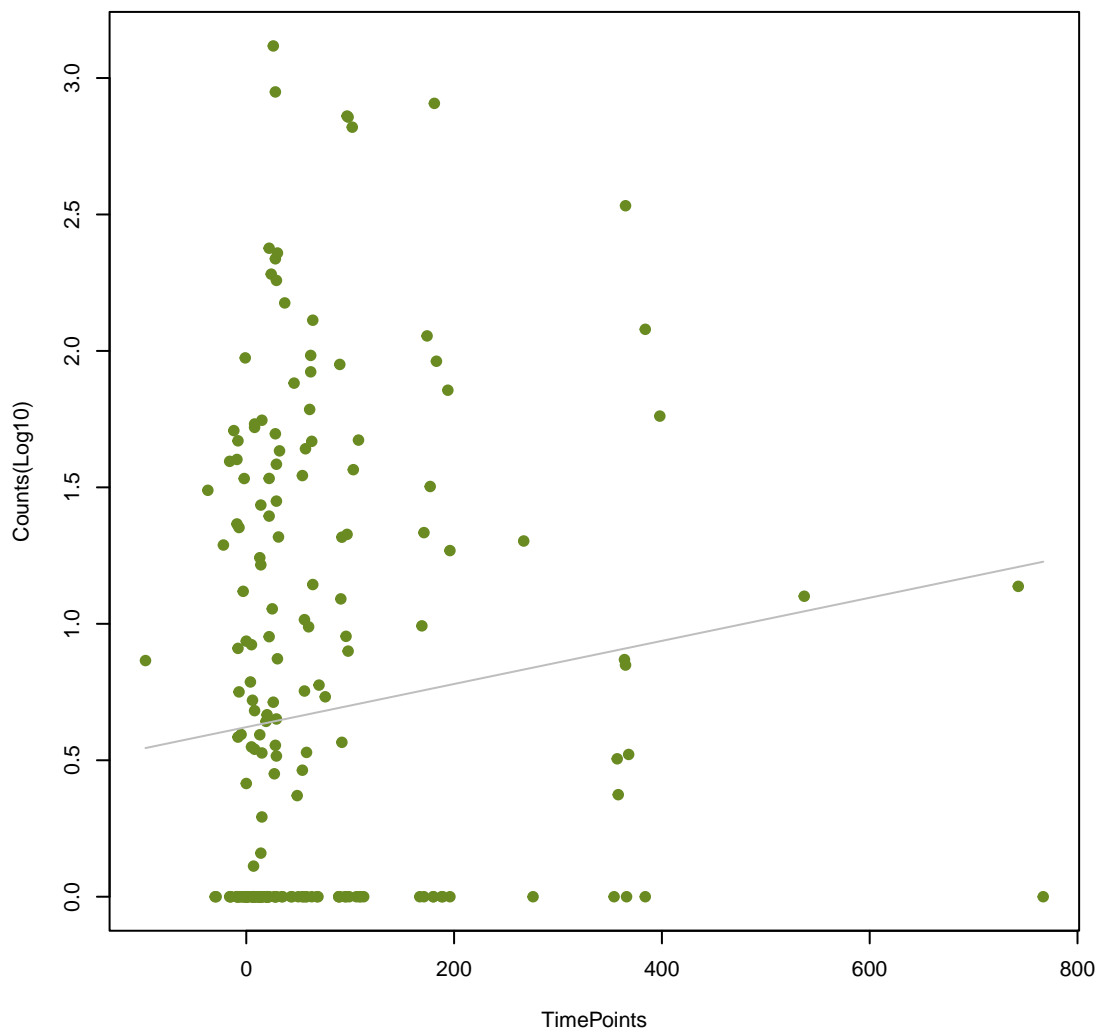
ToIC
ANOVA P=0.0972, adj. ANOVA-P=0.324



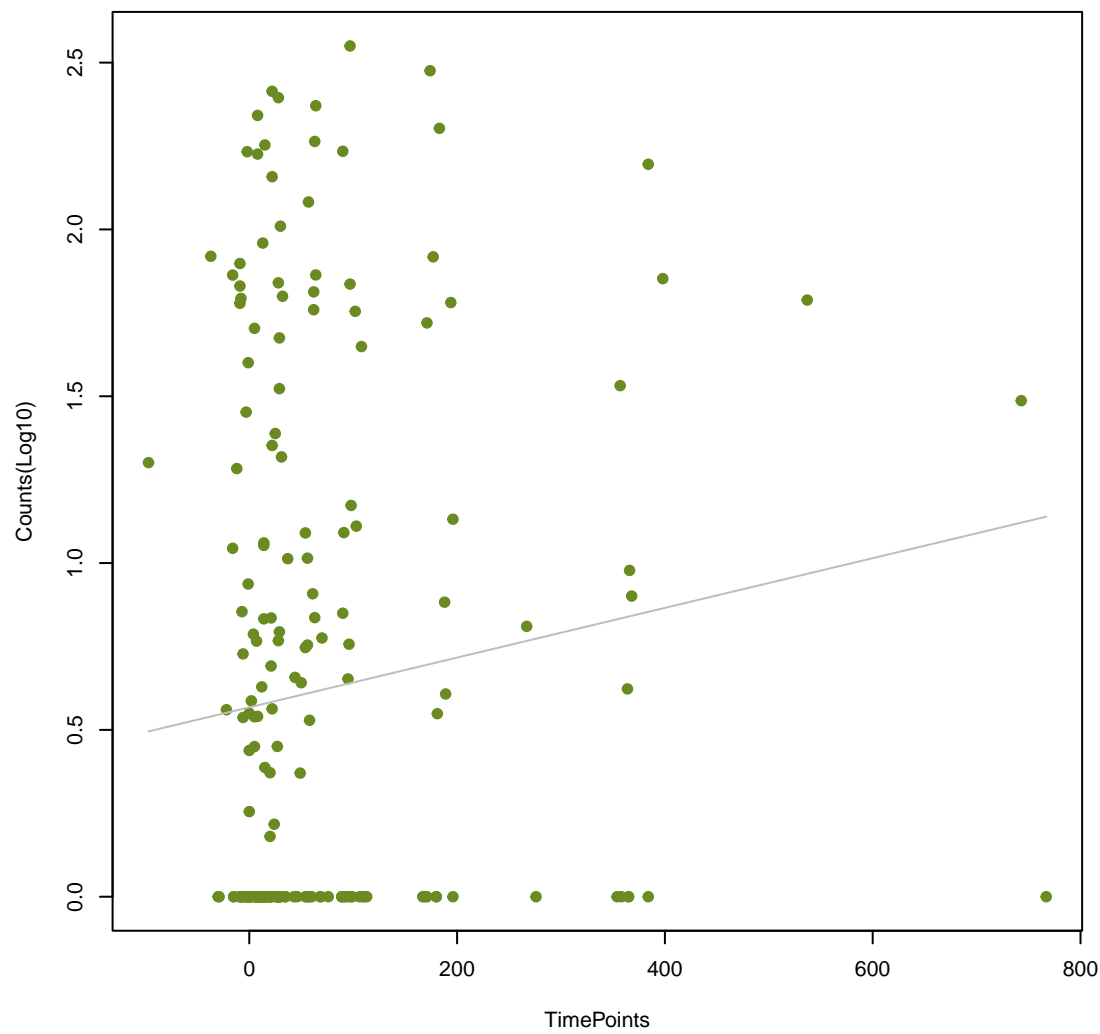
mdtH
ANOVA P=0.0982, adj. ANOVA-P=0.324



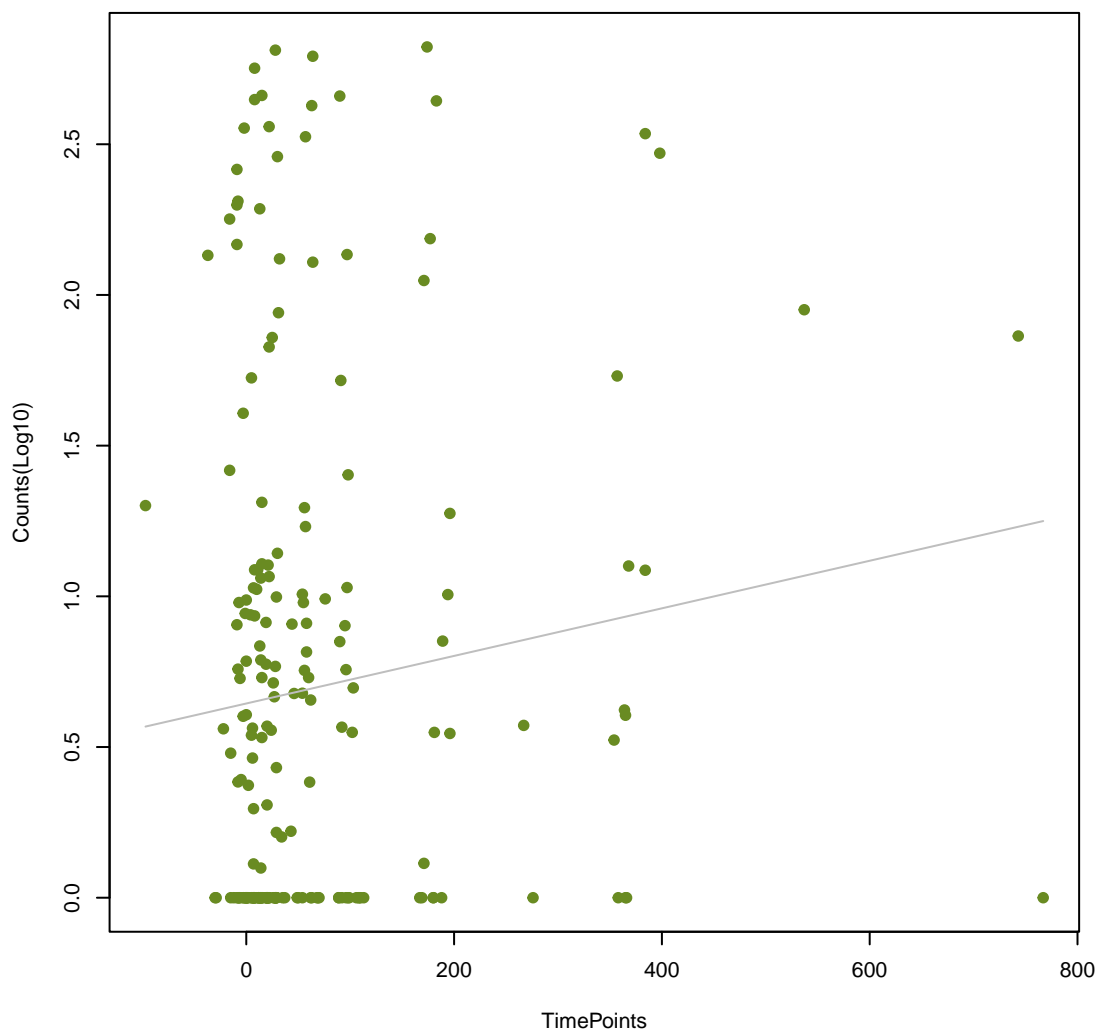
OmpA
ANOVA P=0.0986, adj. ANOVA-P=0.324



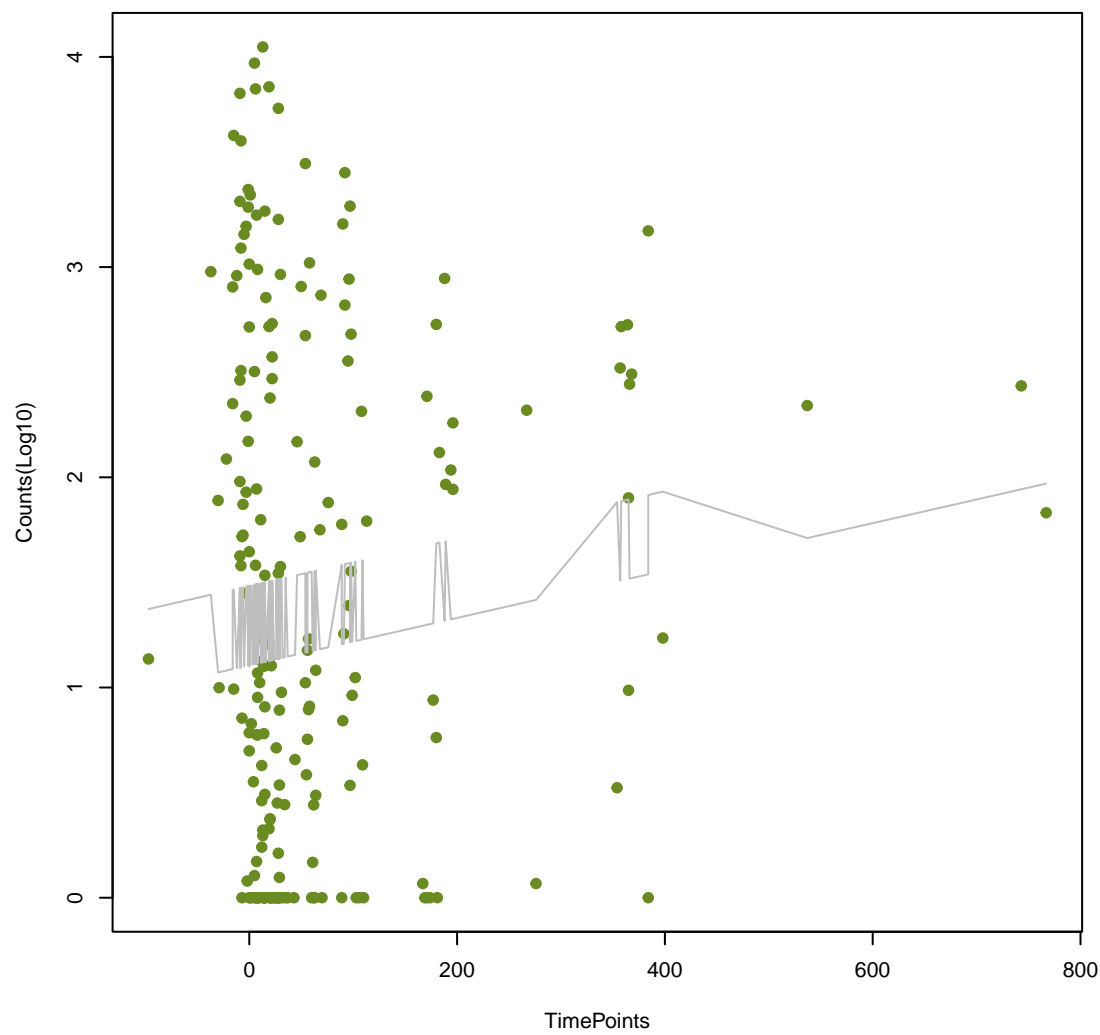
marA
ANOVA P=0.1, adj. ANOVA-P=0.325



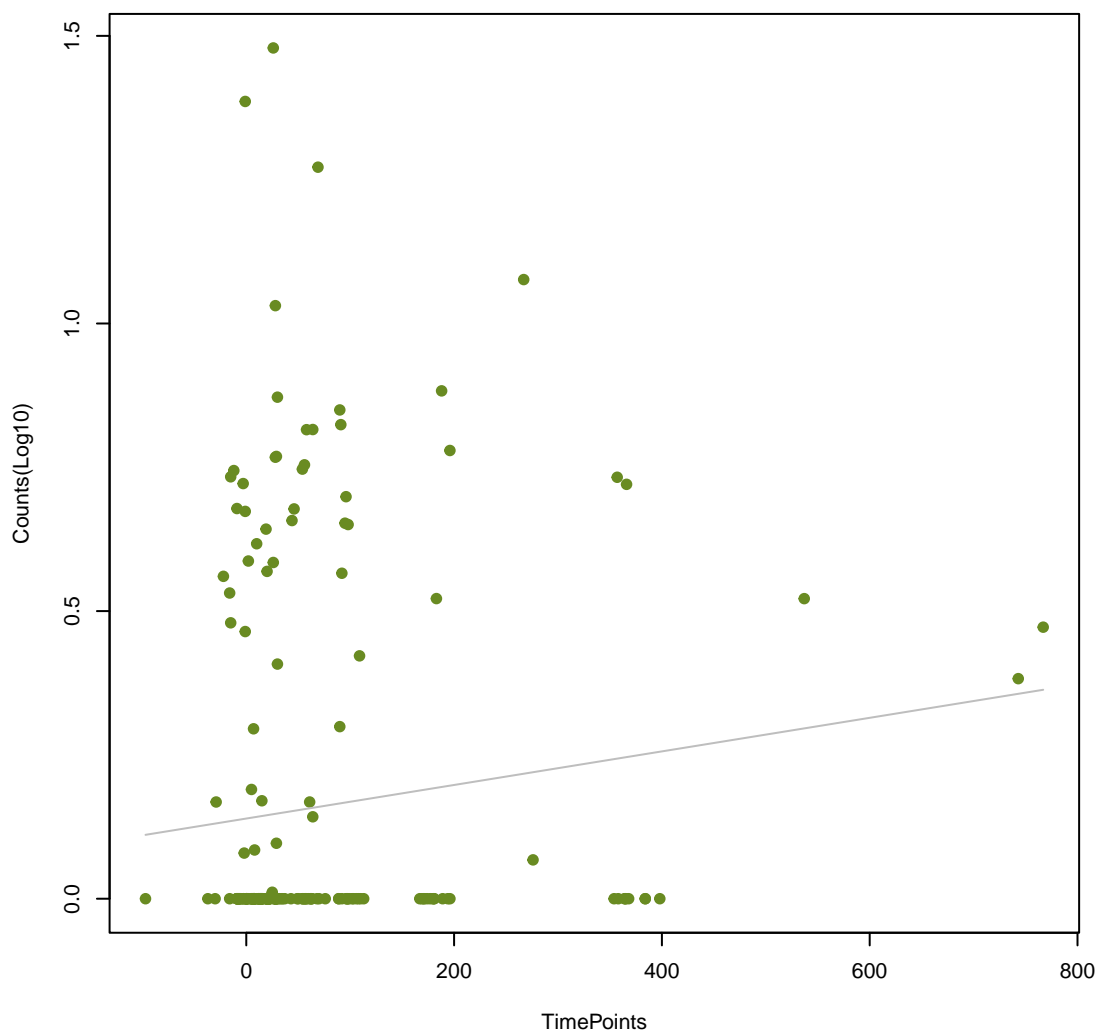
PmrF
ANOVA P=0.105, adj. ANOVA-P=0.334



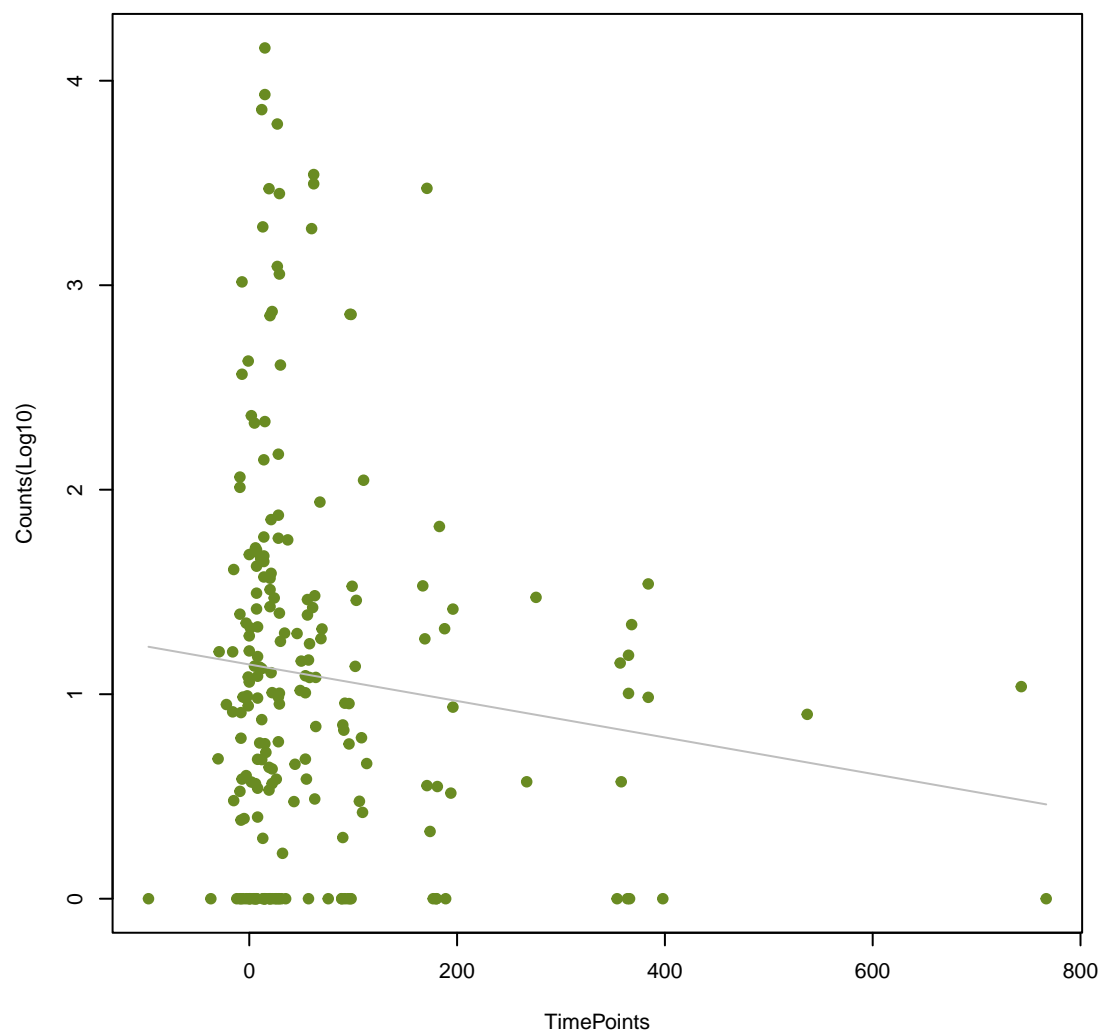
InuC
ANOVA P=0.106, adj. ANOVA-P=0.334



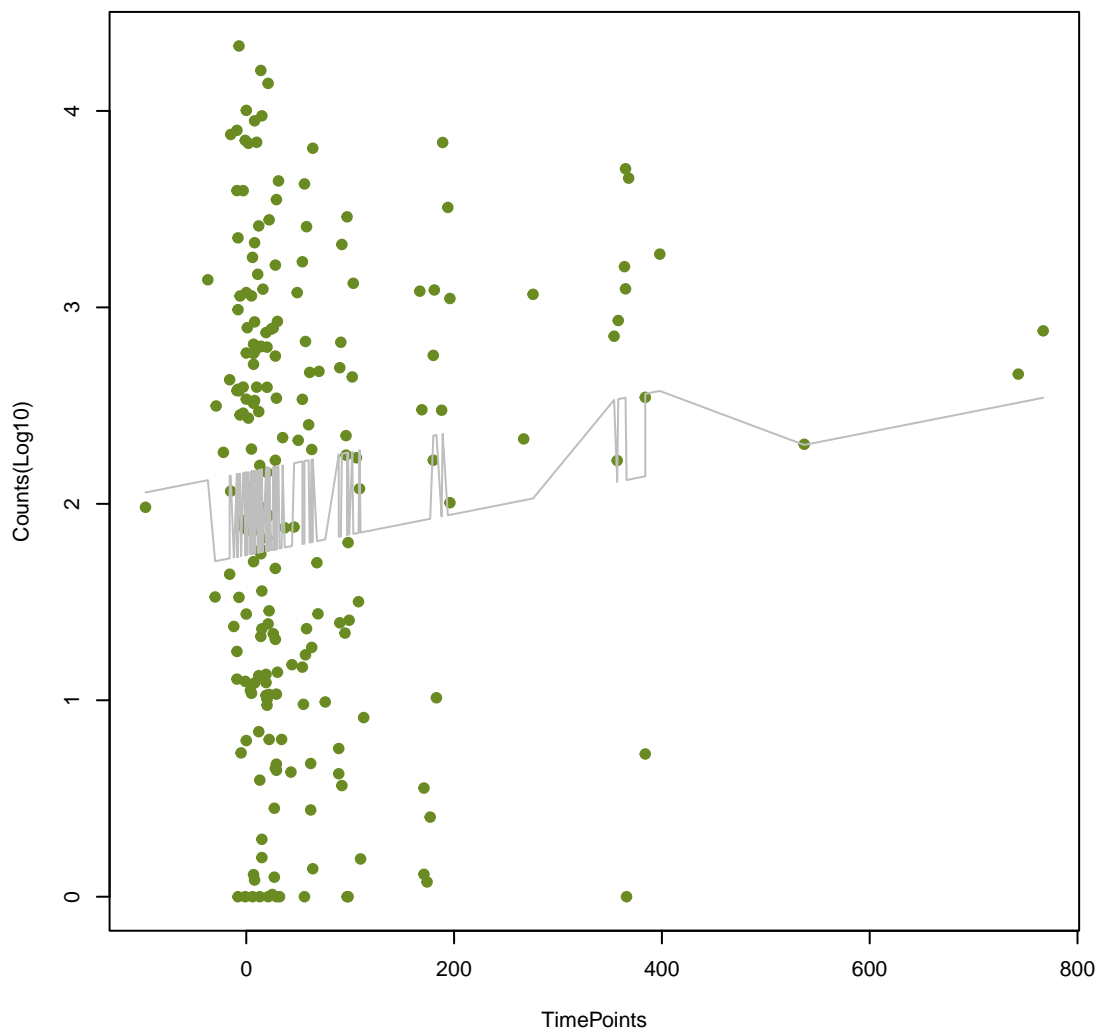
RSA-2
ANOVA P=0.107, adj. ANOVA-P=0.334



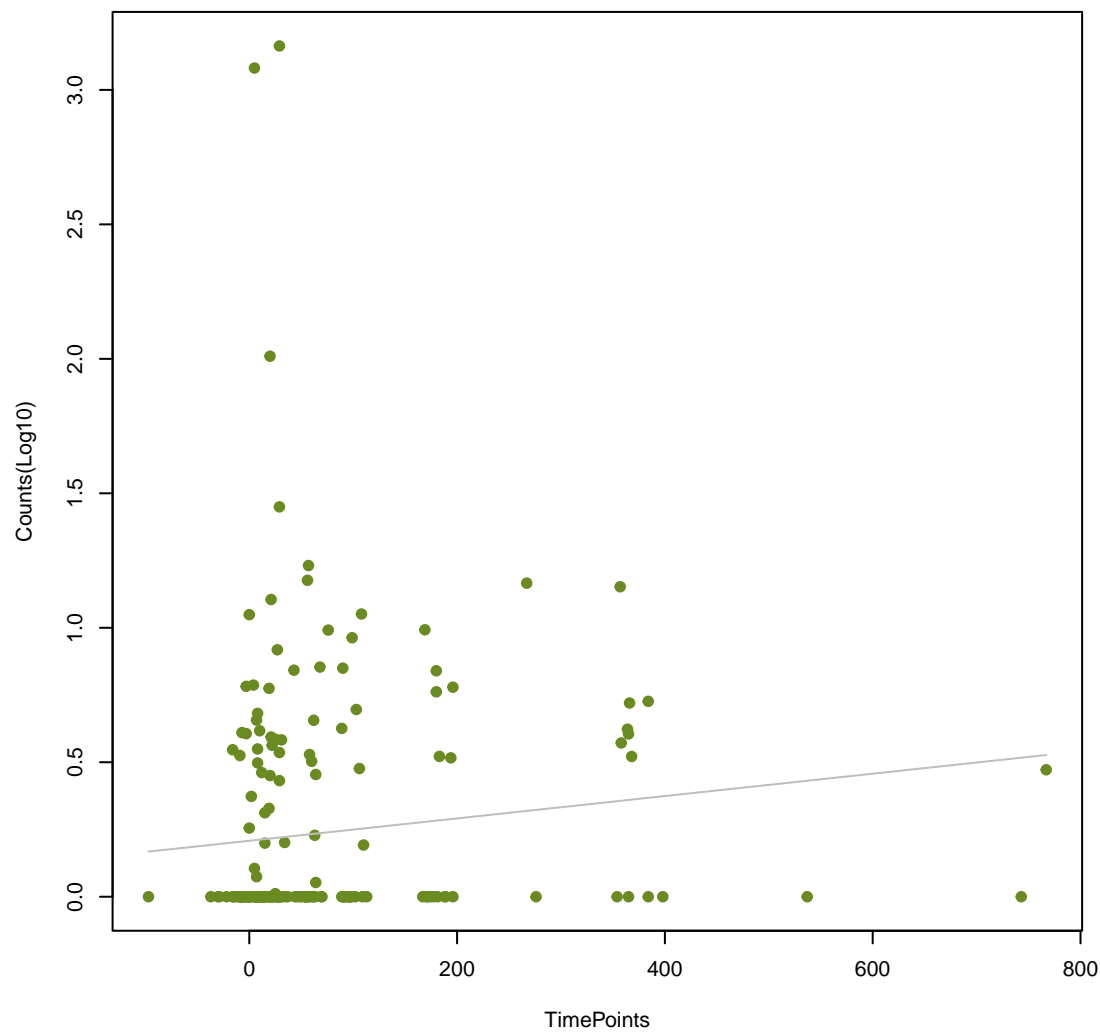
efrA
ANOVA P=0.107, adj. ANOVA-P=0.334



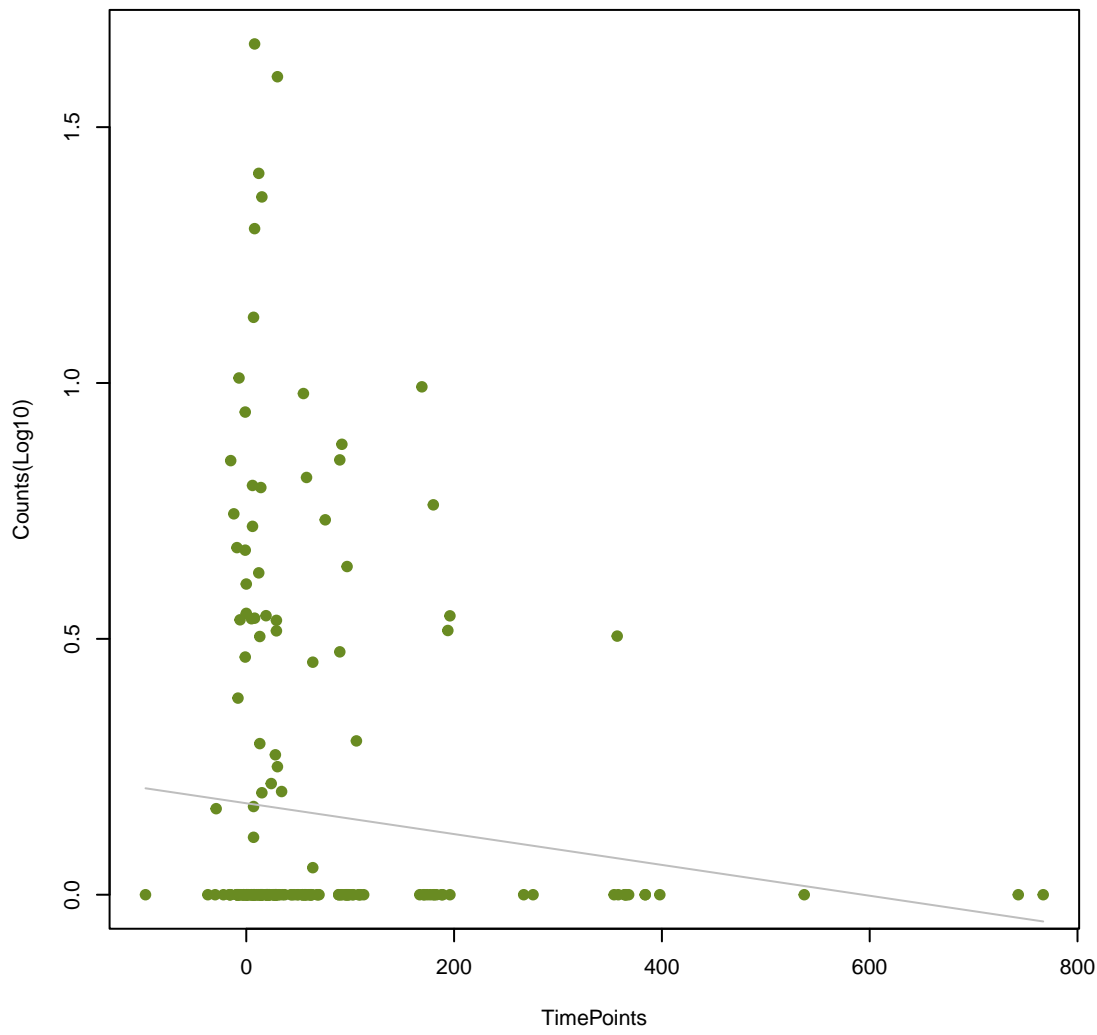
dfrF
ANOVA P=0.111, adj. ANOVA-P=0.341



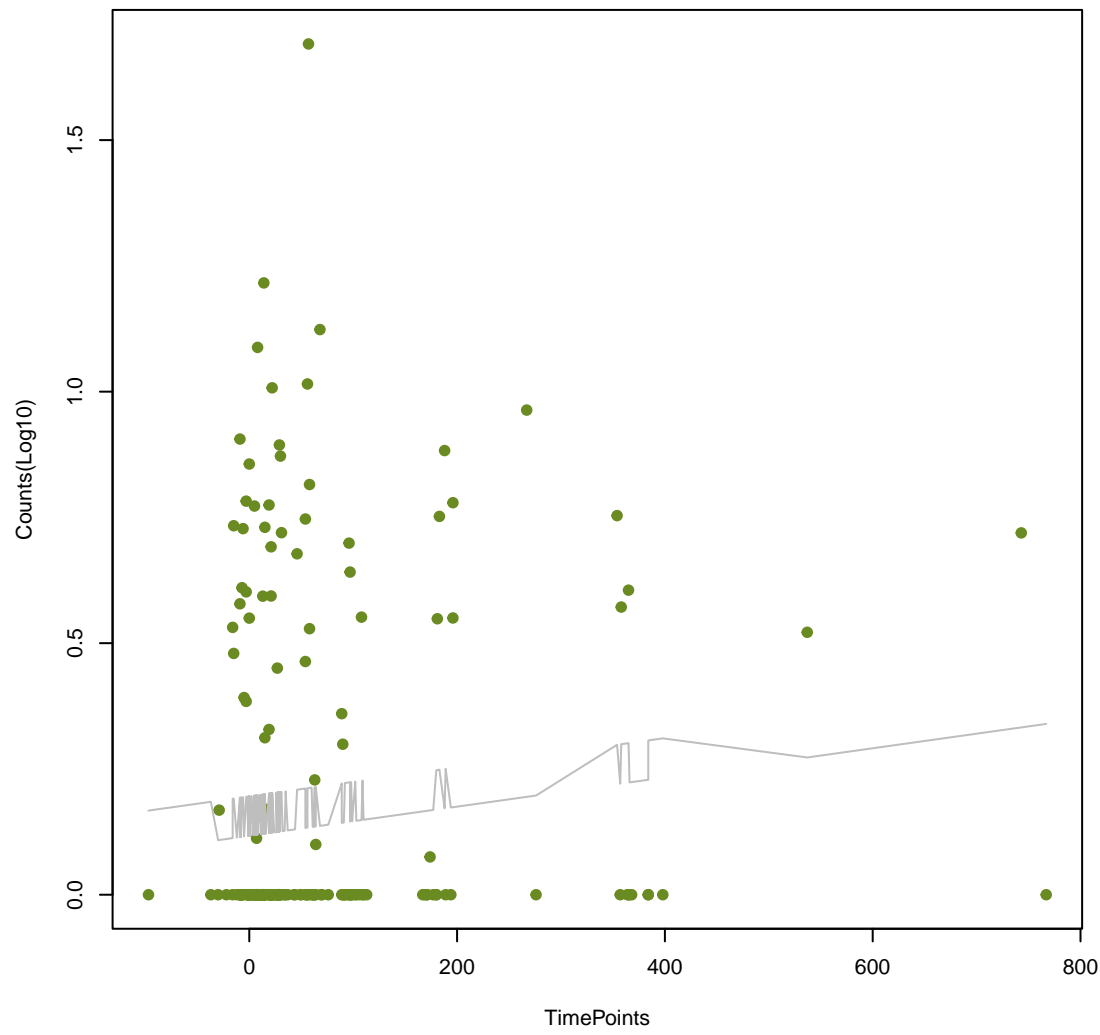
MexK
ANOVA P=0.118, adj. ANOVA-P=0.359



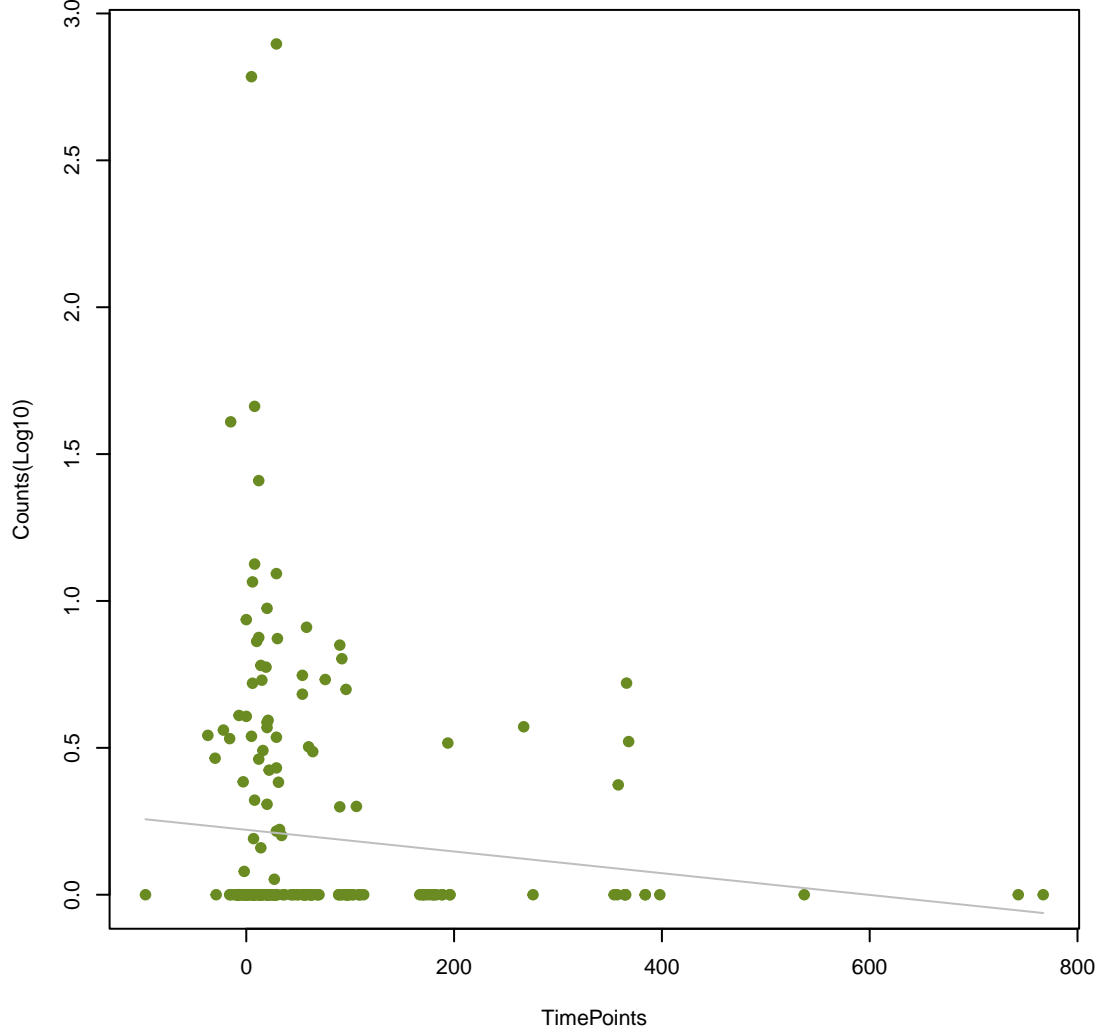
vanR_in_vanF_cl
ANOVA P=0.122, adj. ANOVA-P=0.367



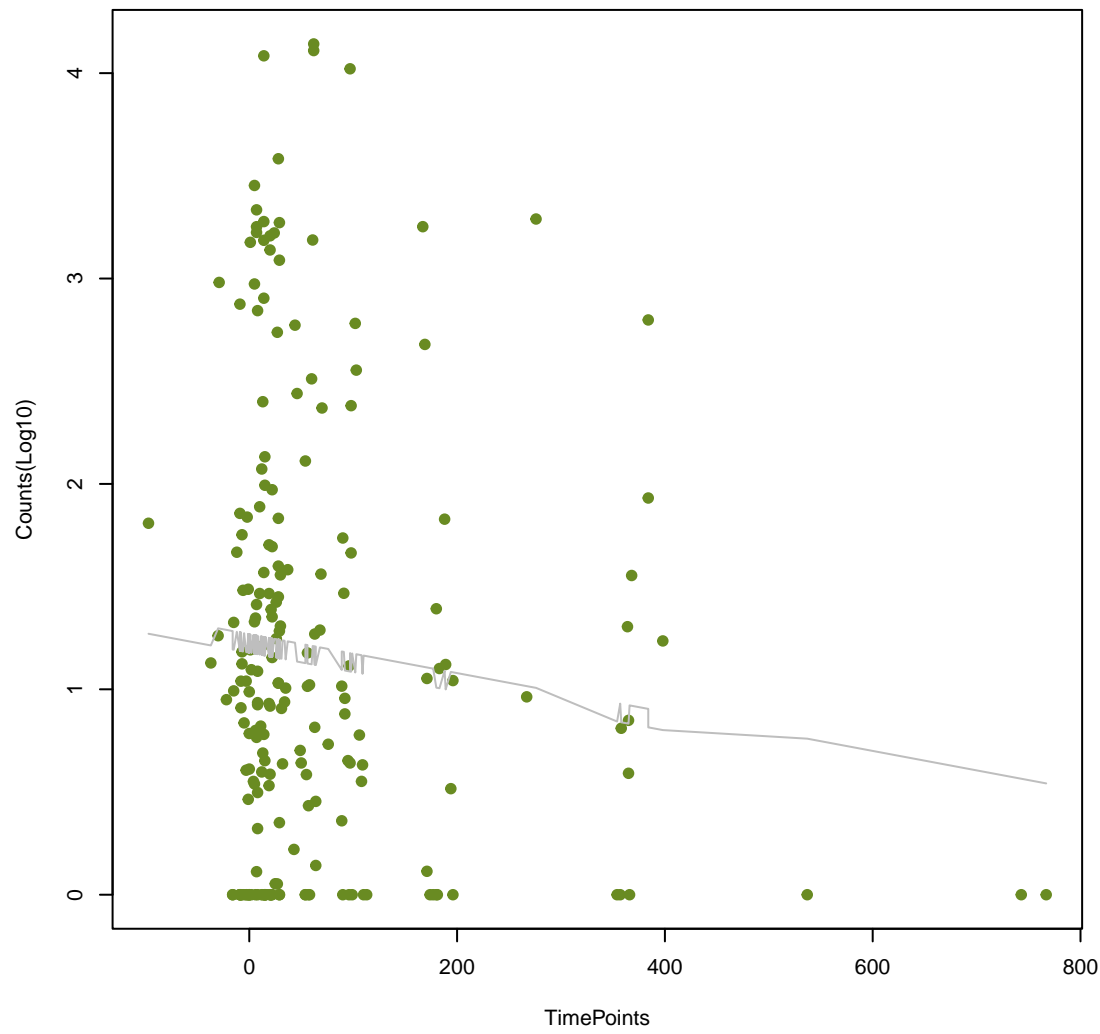
mecC
ANOVA P=0.125, adj. ANOVA-P=0.374



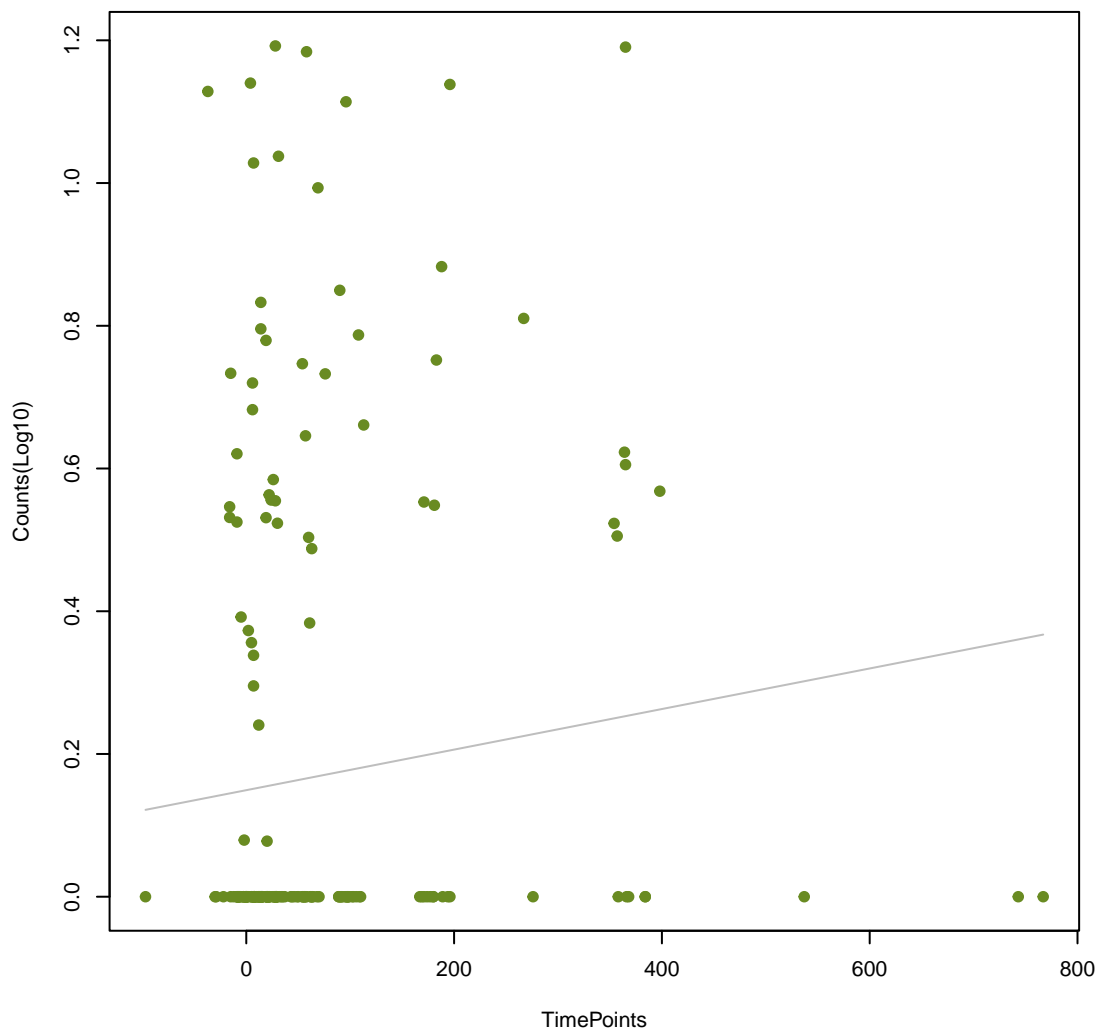
basS
ANOVA P=0.129, adj. ANOVA-P=0.376



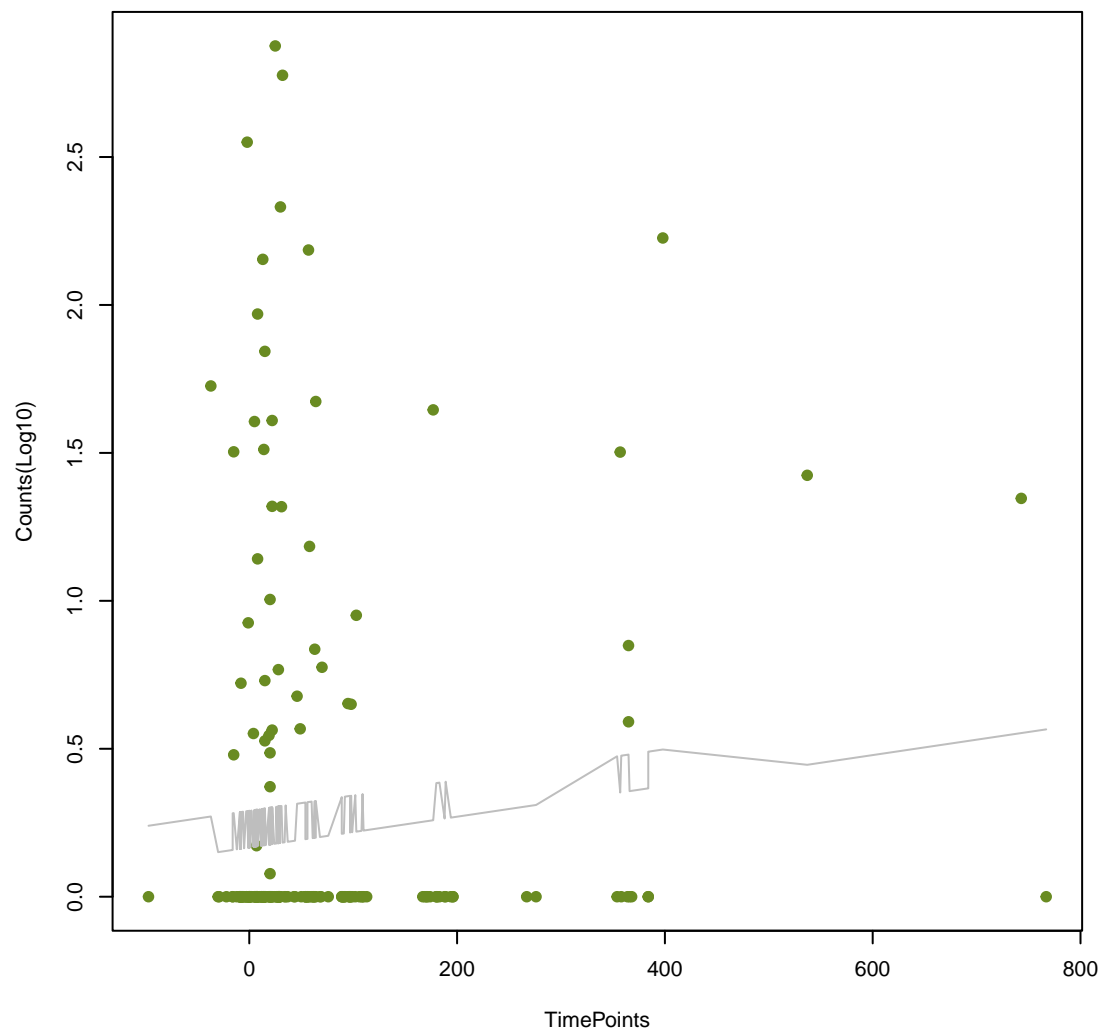
msrC
ANOVA P=0.129, adj. ANOVA-P=0.376



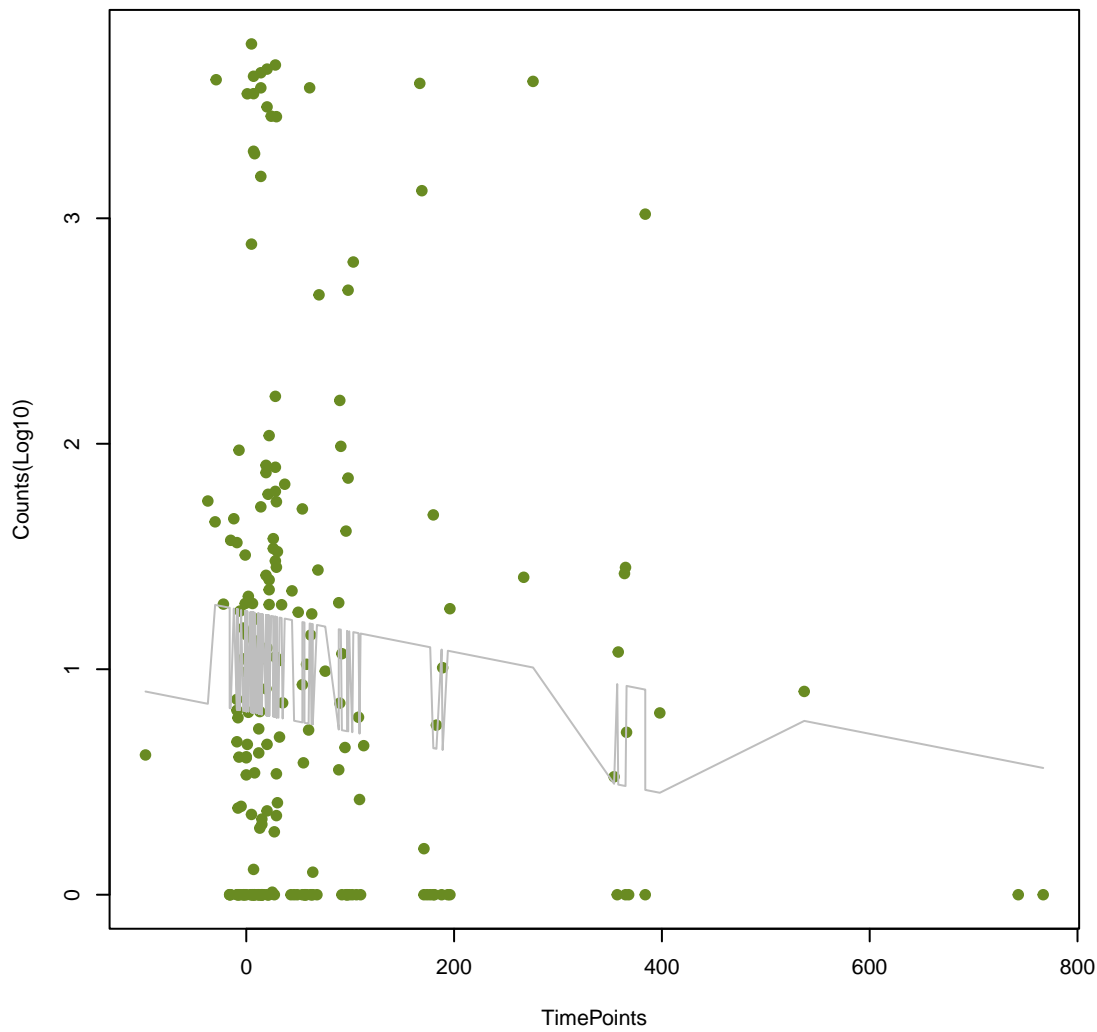
kamB
ANOVA P=0.129, adj. ANOVA-P=0.376



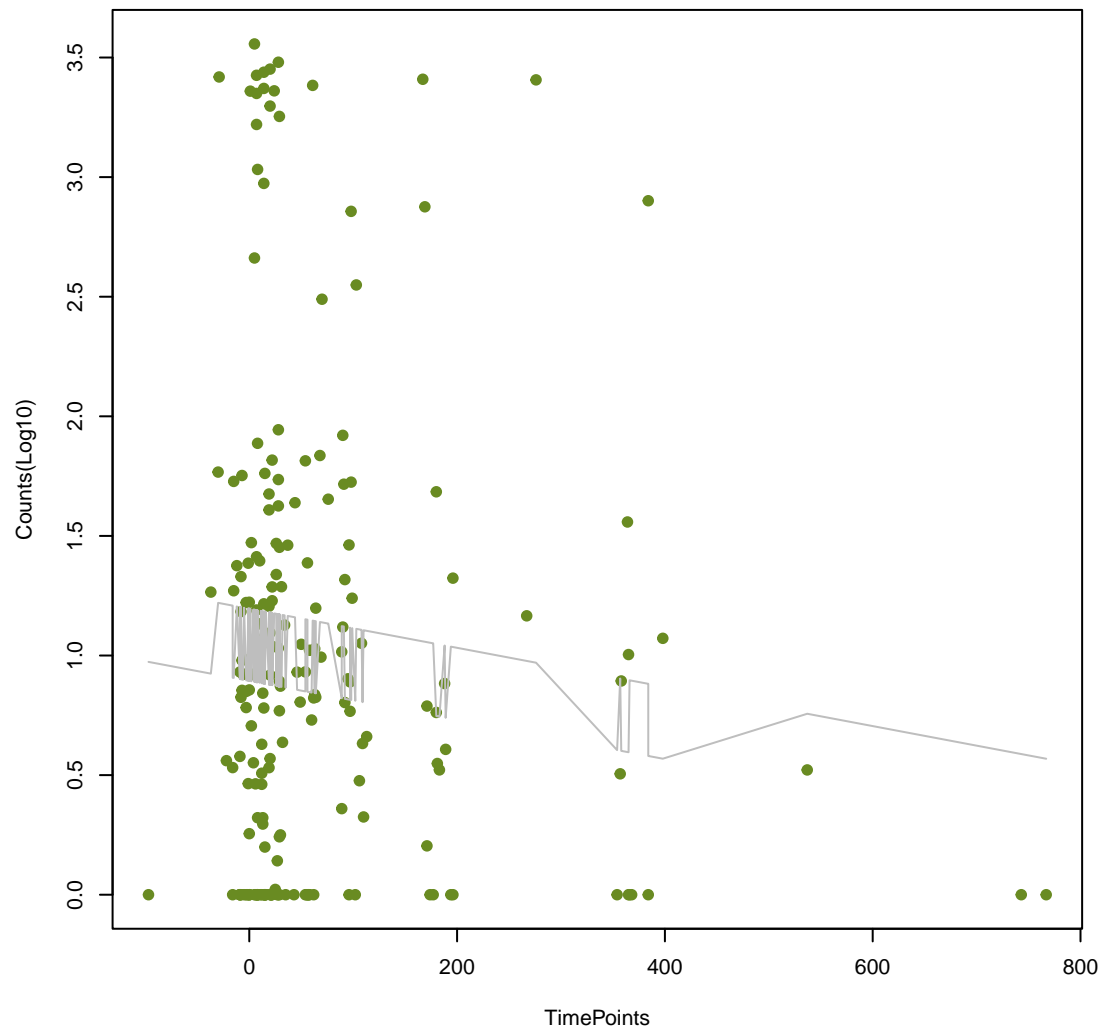
TEM-126
ANOVA P=0.135, adj. ANOVA-P=0.388



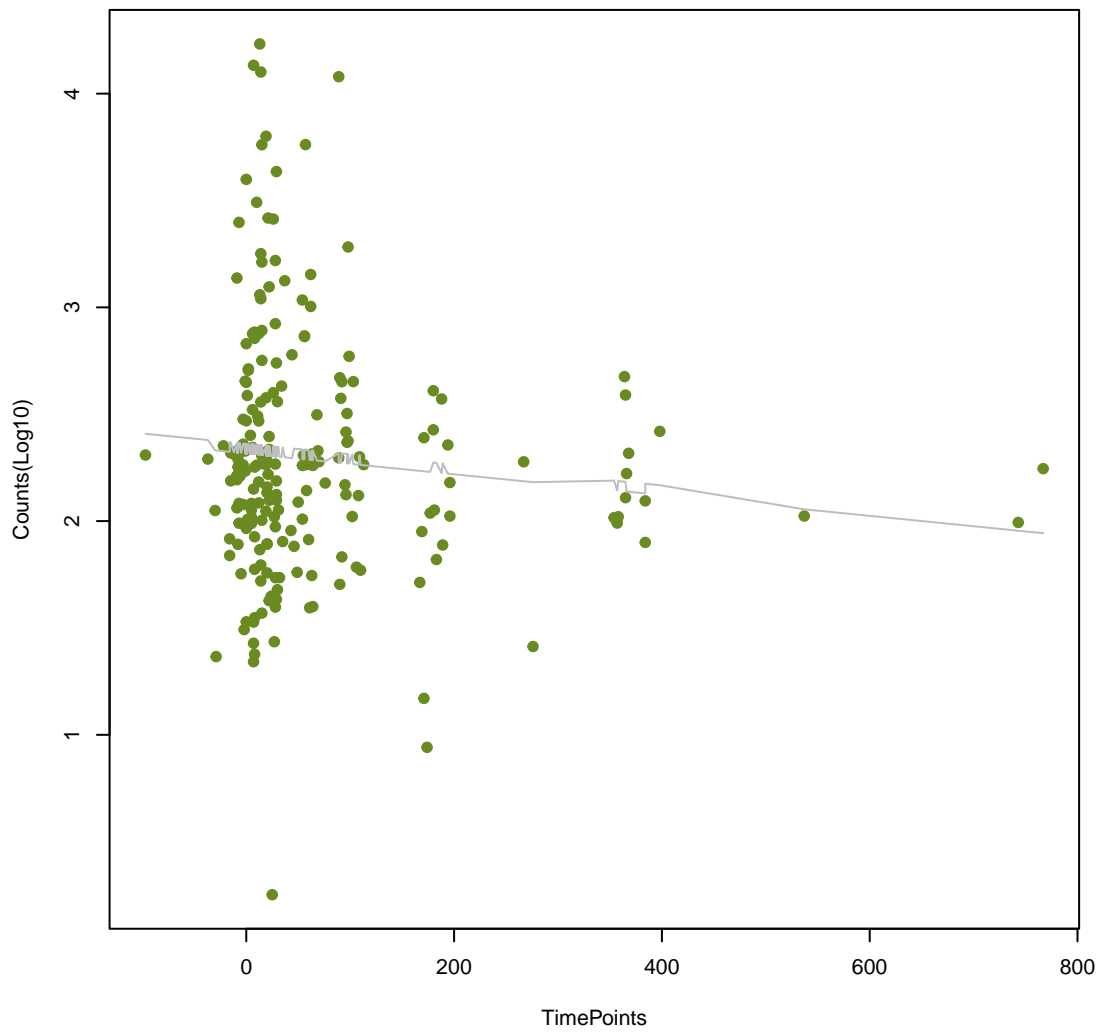
vanS_in_vanA_cl
ANOVA P=0.137, adj. ANOVA-P=0.391



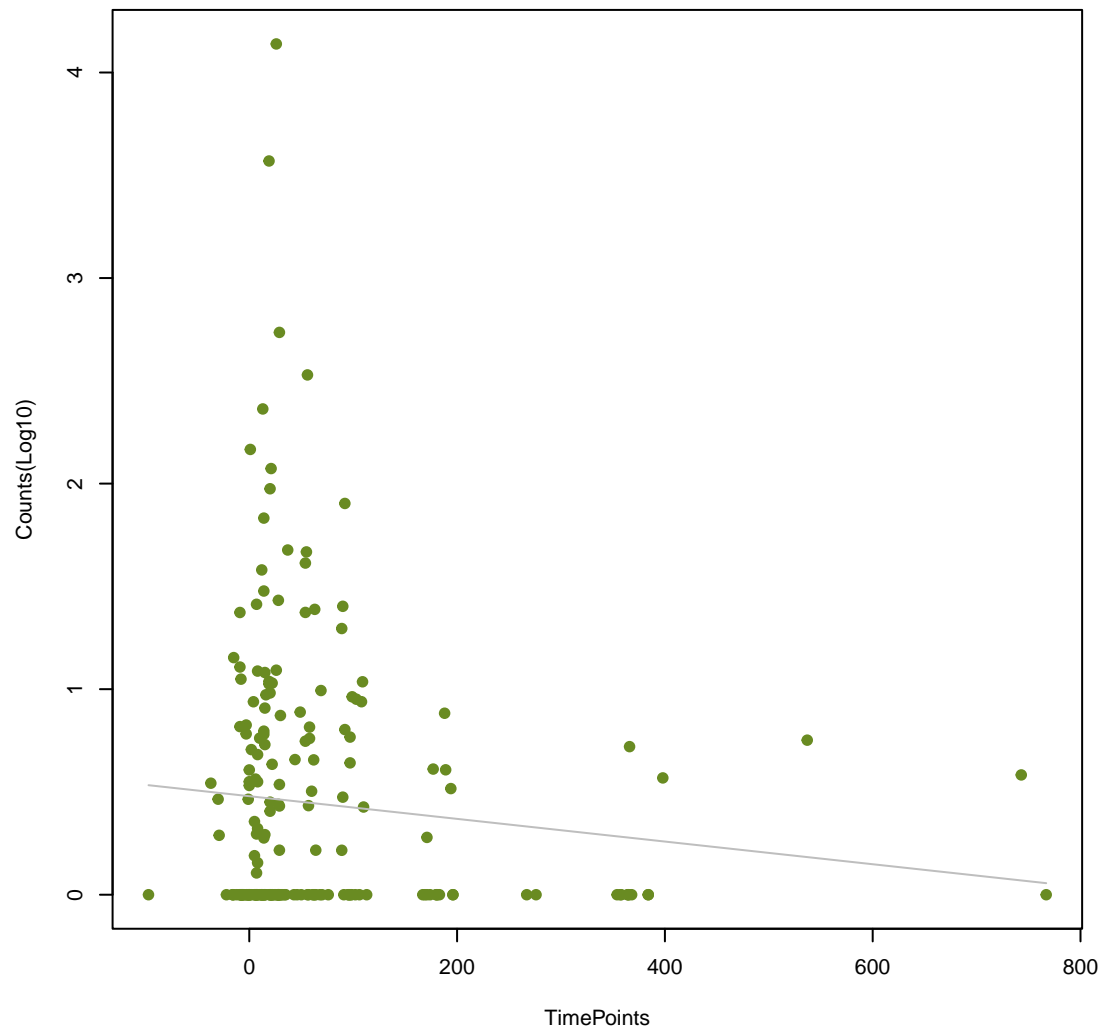
vanR_in_vanA_cl
ANOVA P=0.147, adj. ANOVA-P=0.415



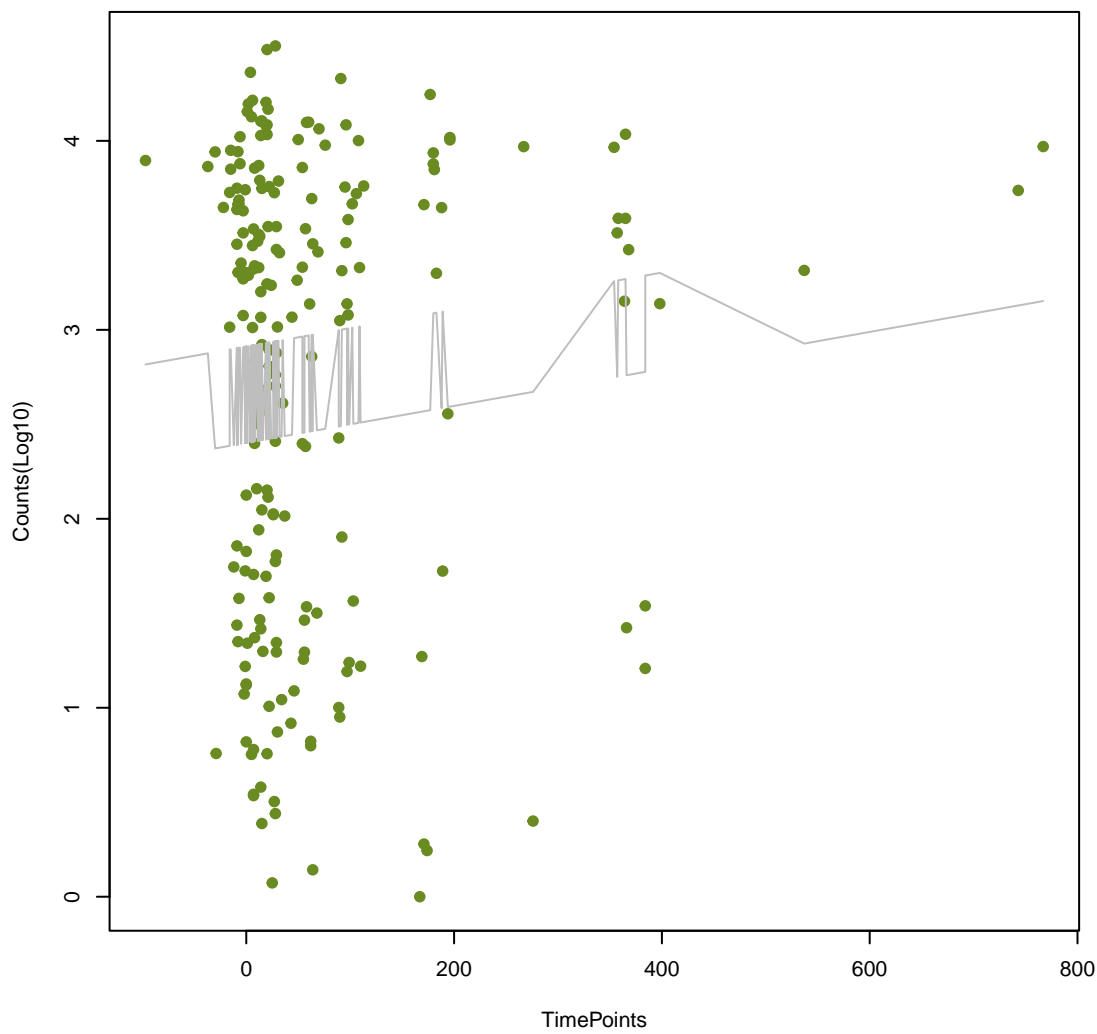
BRP(MBL)
ANOVA P=0.151, adj. ANOVA-P=0.421



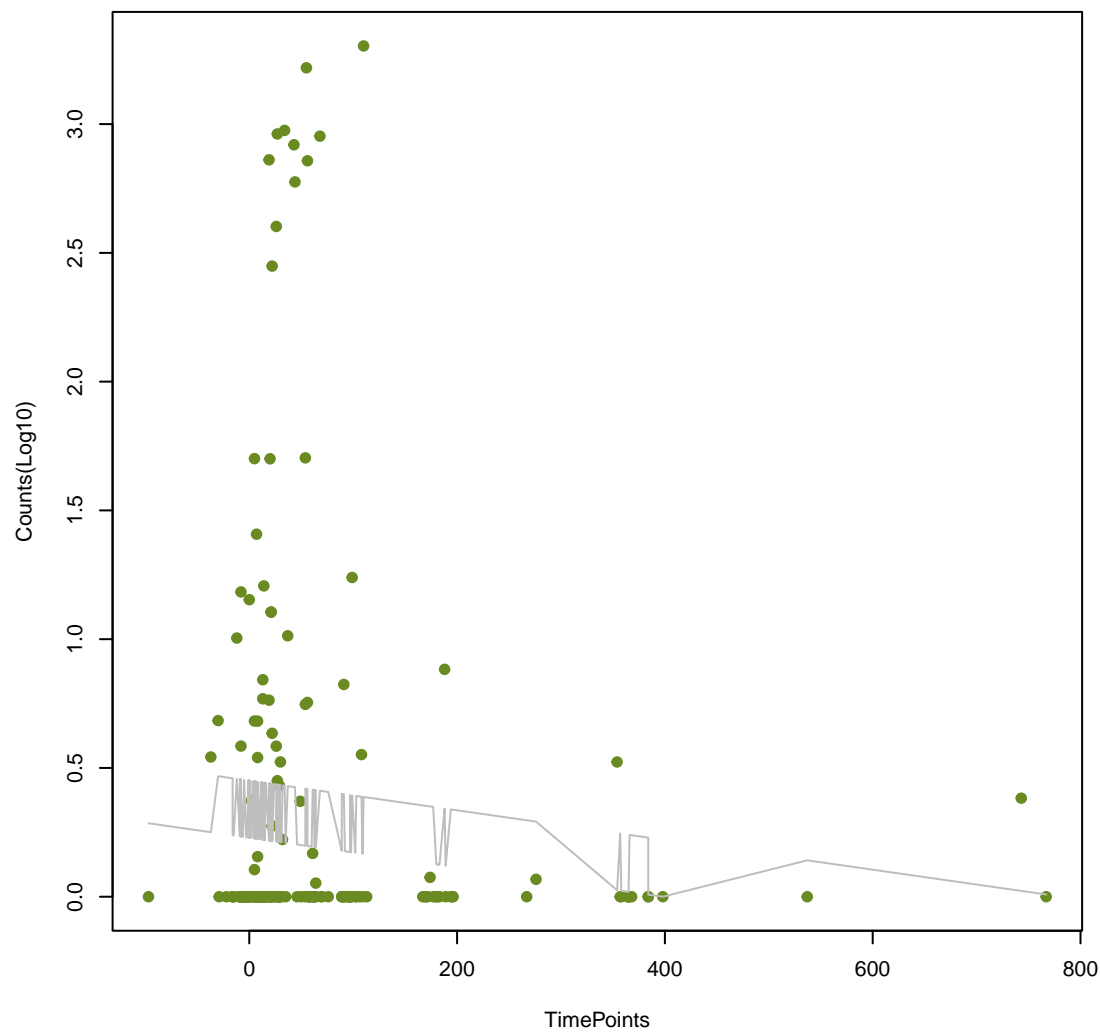
tetB(60)
ANOVA P=0.154, adj. ANOVA-P=0.425



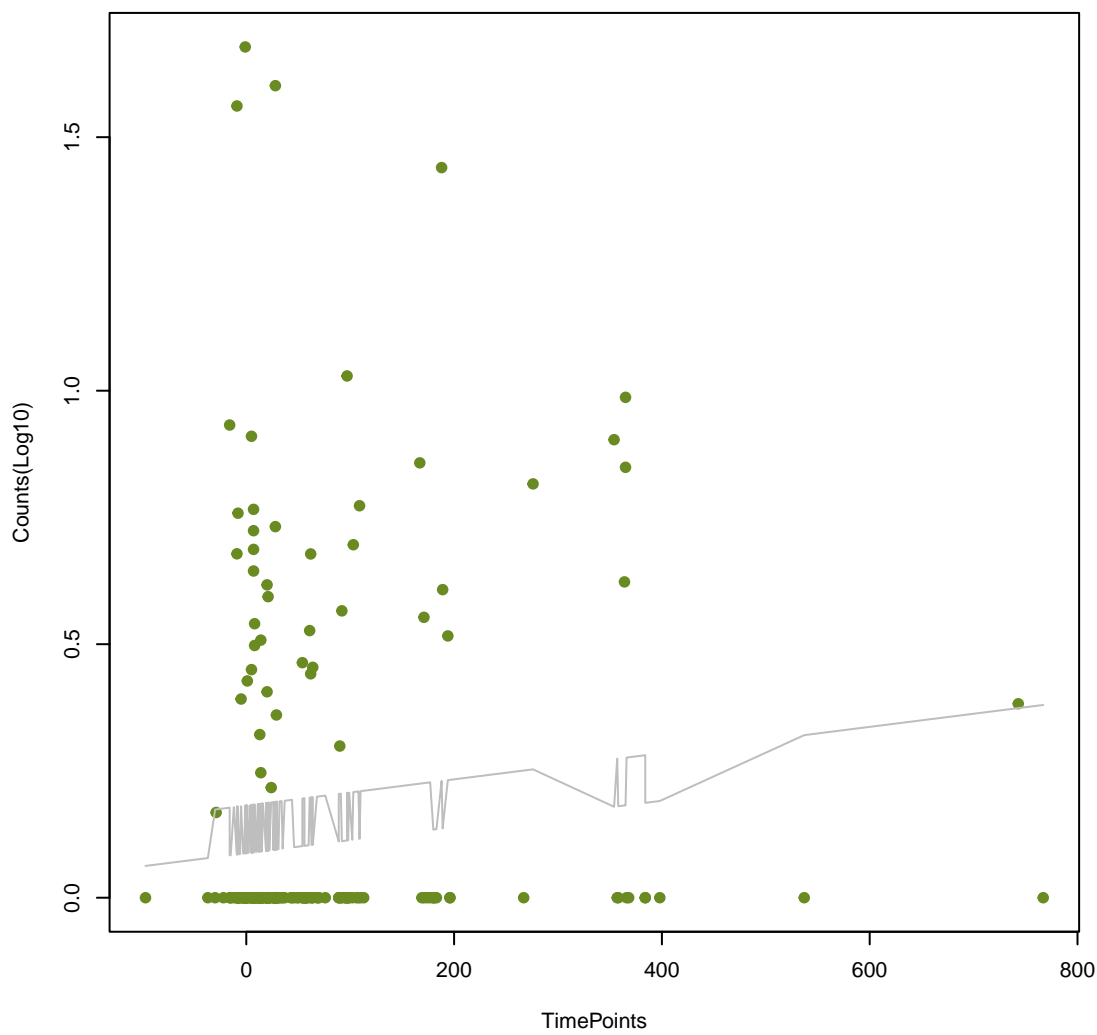
tetQ
ANOVA P=0.155, adj. ANOVA-P=0.425



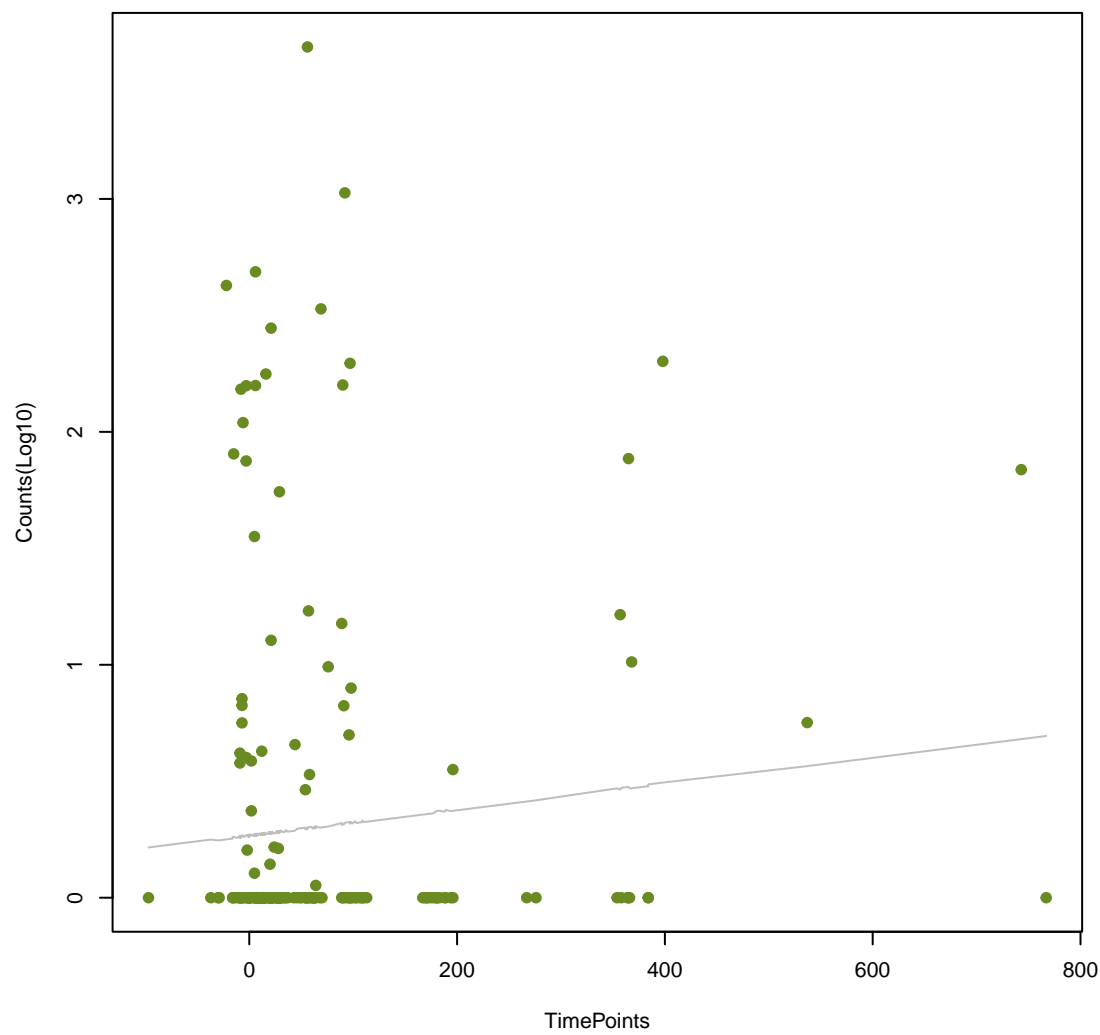
ANT(4')-Ib
ANOVA P=0.157, adj. ANOVA-P=0.427



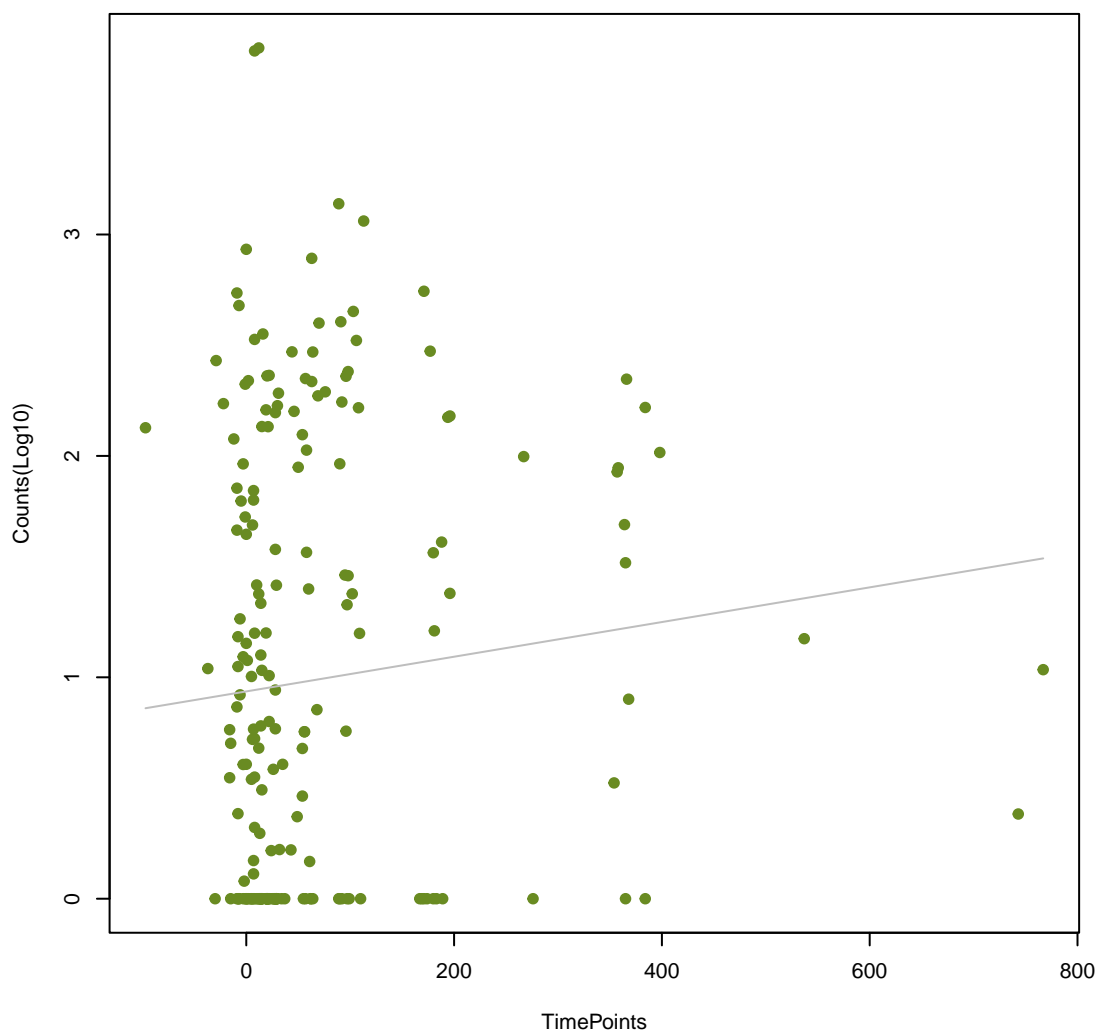
PDC-56
ANOVA P=0.168, adj. ANOVA-P=0.449



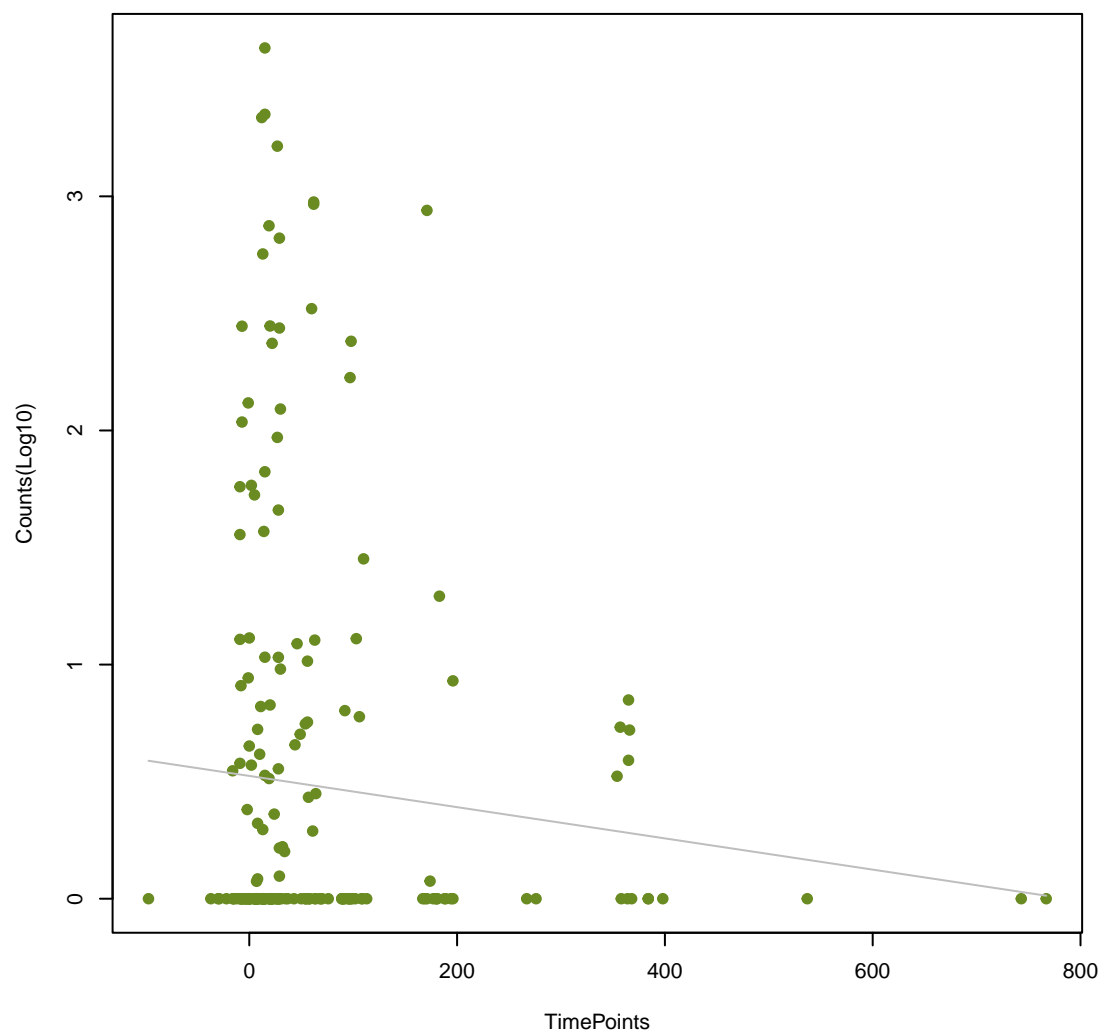
catS
ANOVA P=0.168, adj. ANOVA-P=0.449



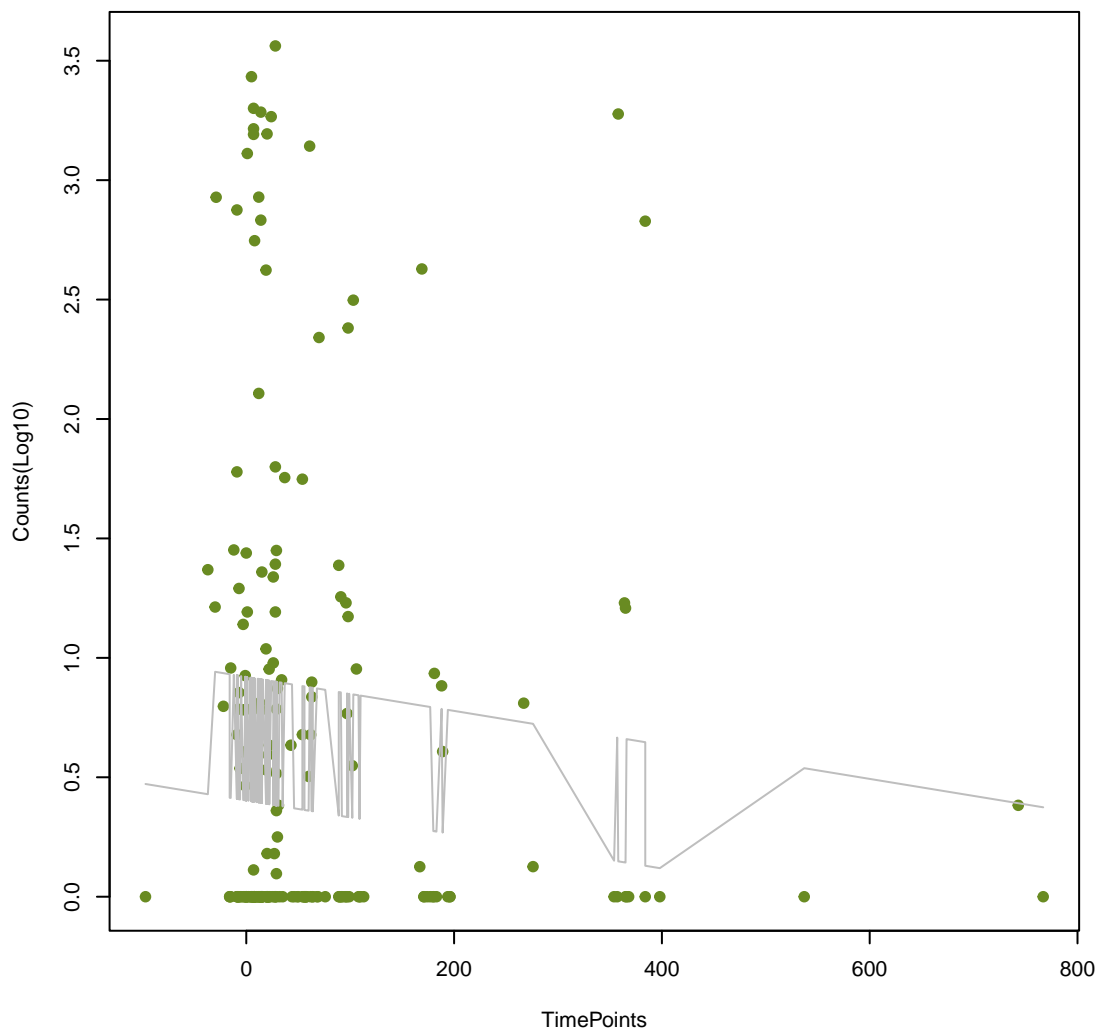
vanR_in_vanD_cl
ANOVA P=0.177, adj. ANOVA-P=0.468



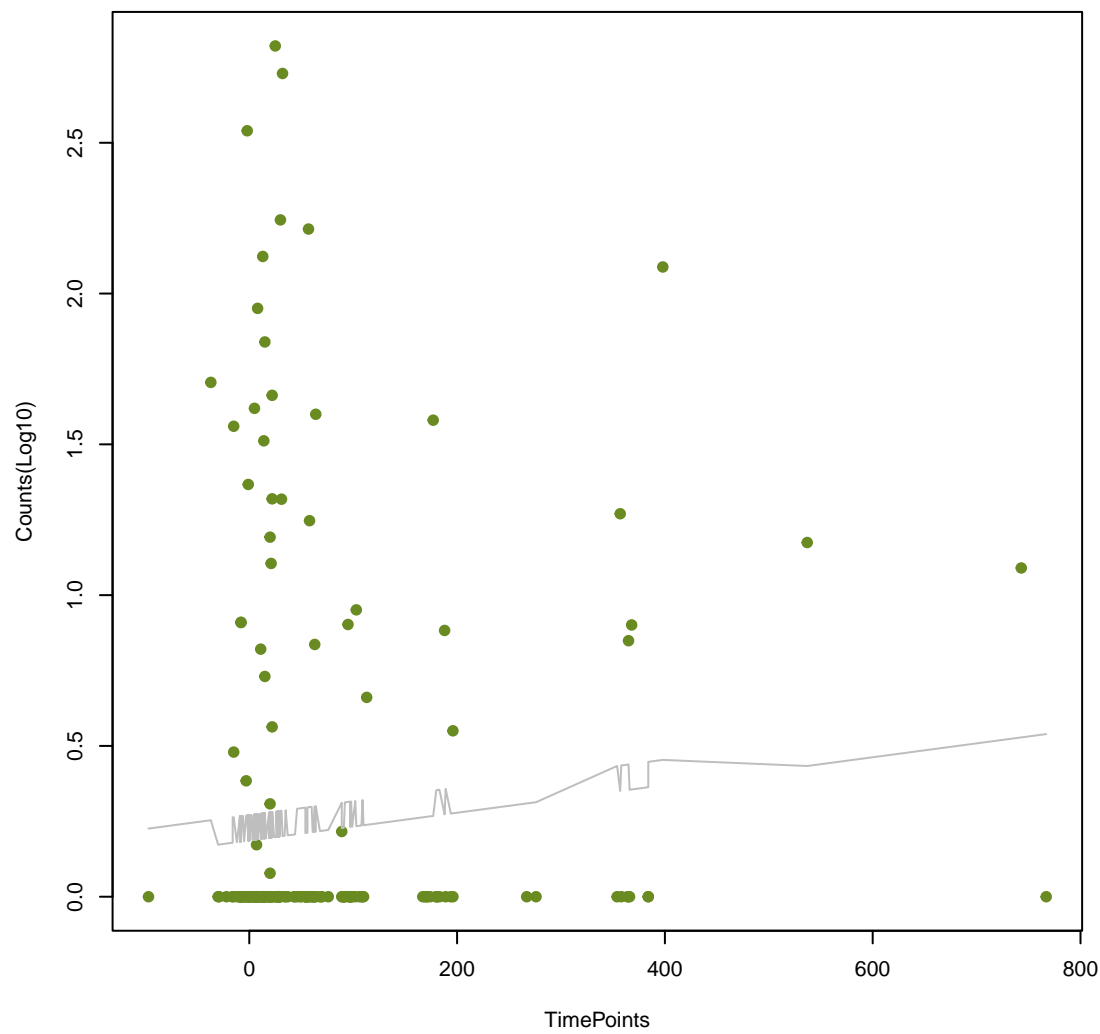
dfrE
ANOVA P=0.179, adj. ANOVA-P=0.469



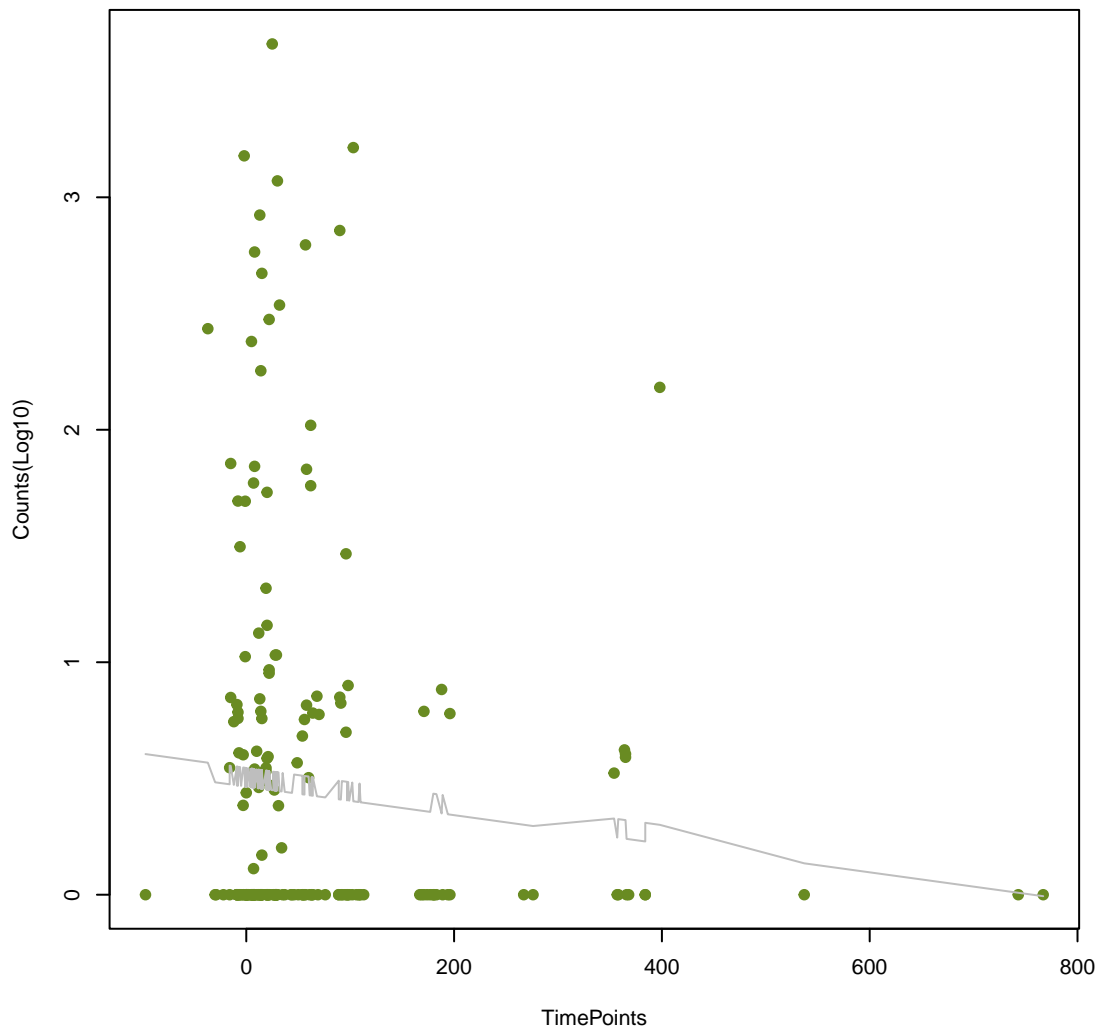
tet(L)
ANOVA P=0.184, adj. ANOVA-P=0.471



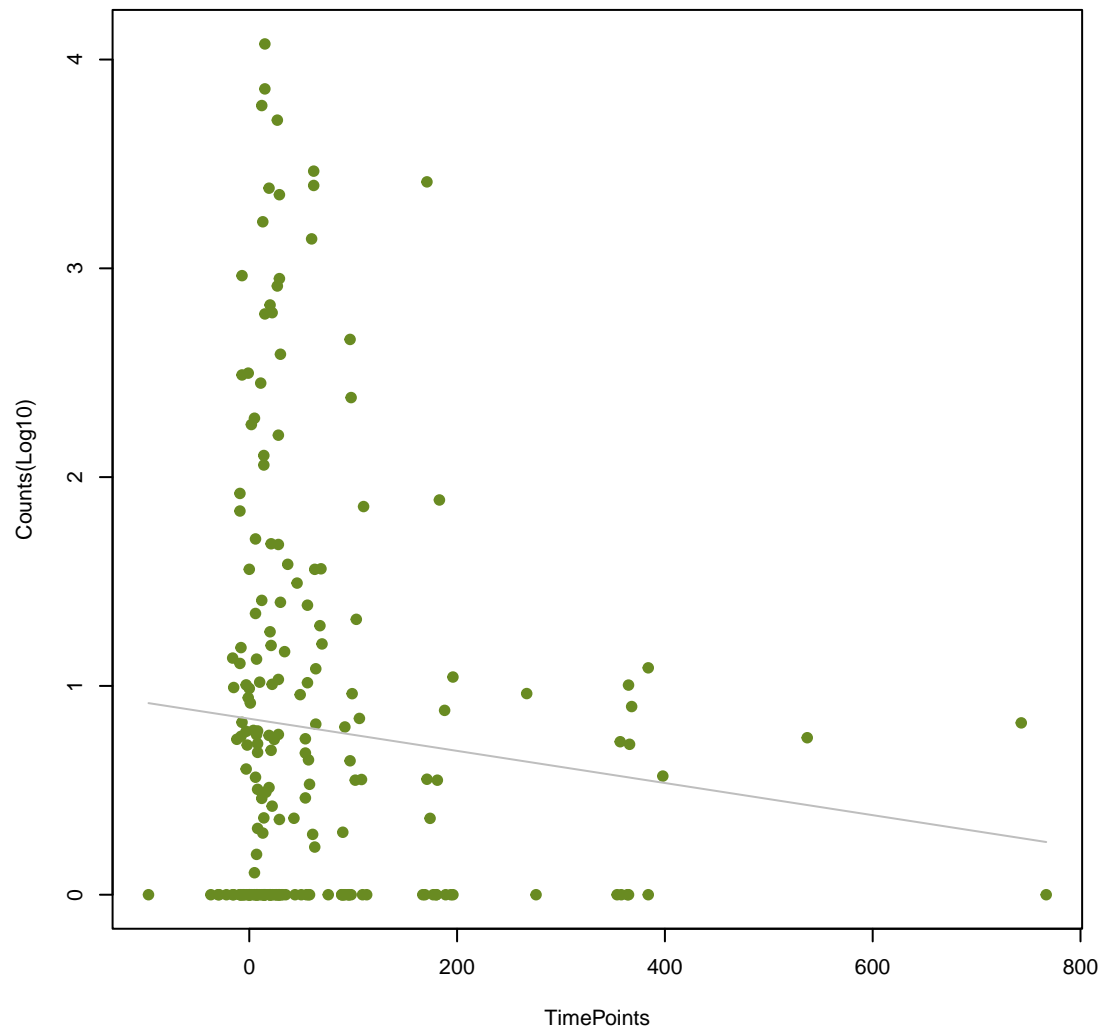
TEM-194
ANOVA P=0.185, adj. ANOVA-P=0.471



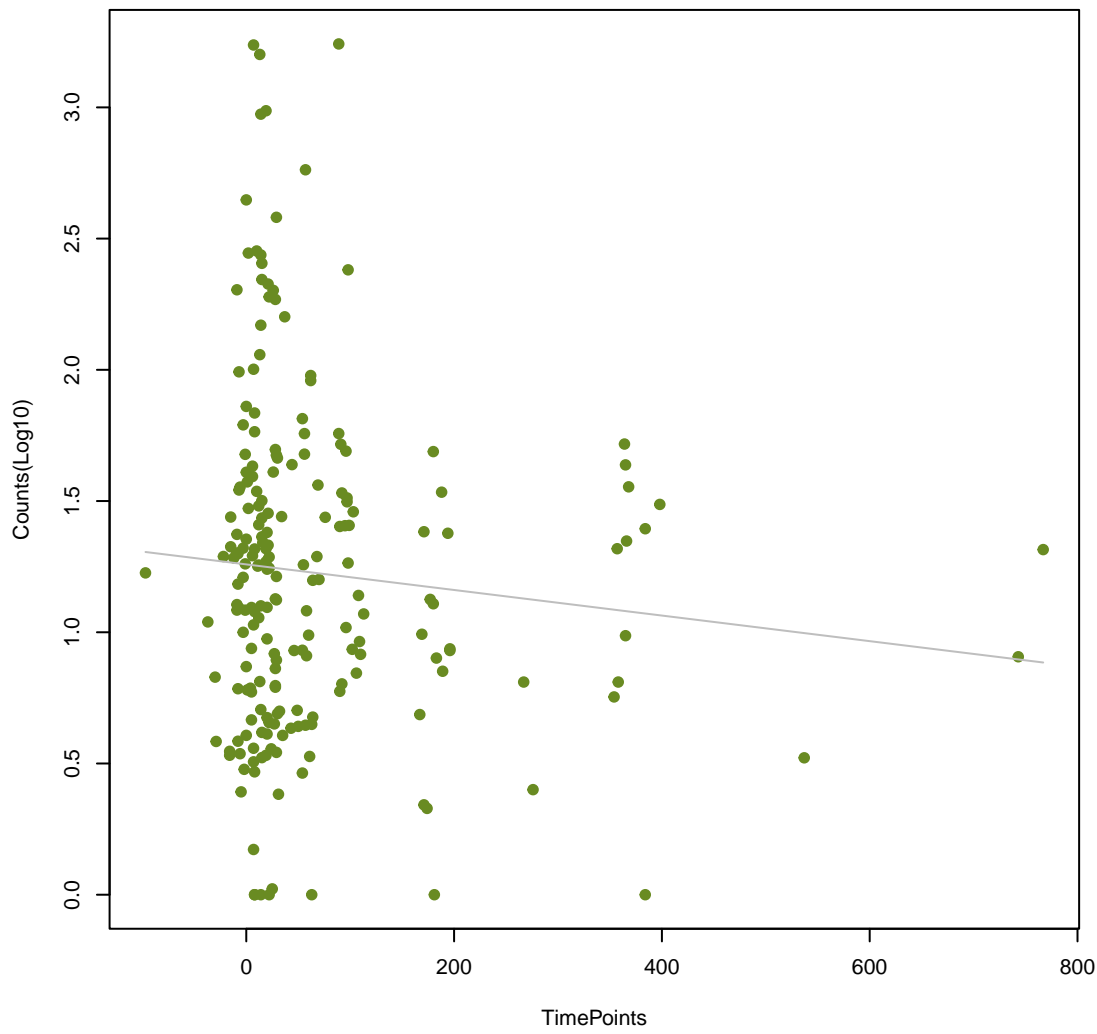
sul1
ANOVA P=0.185, adj. ANOVA-P=0.471



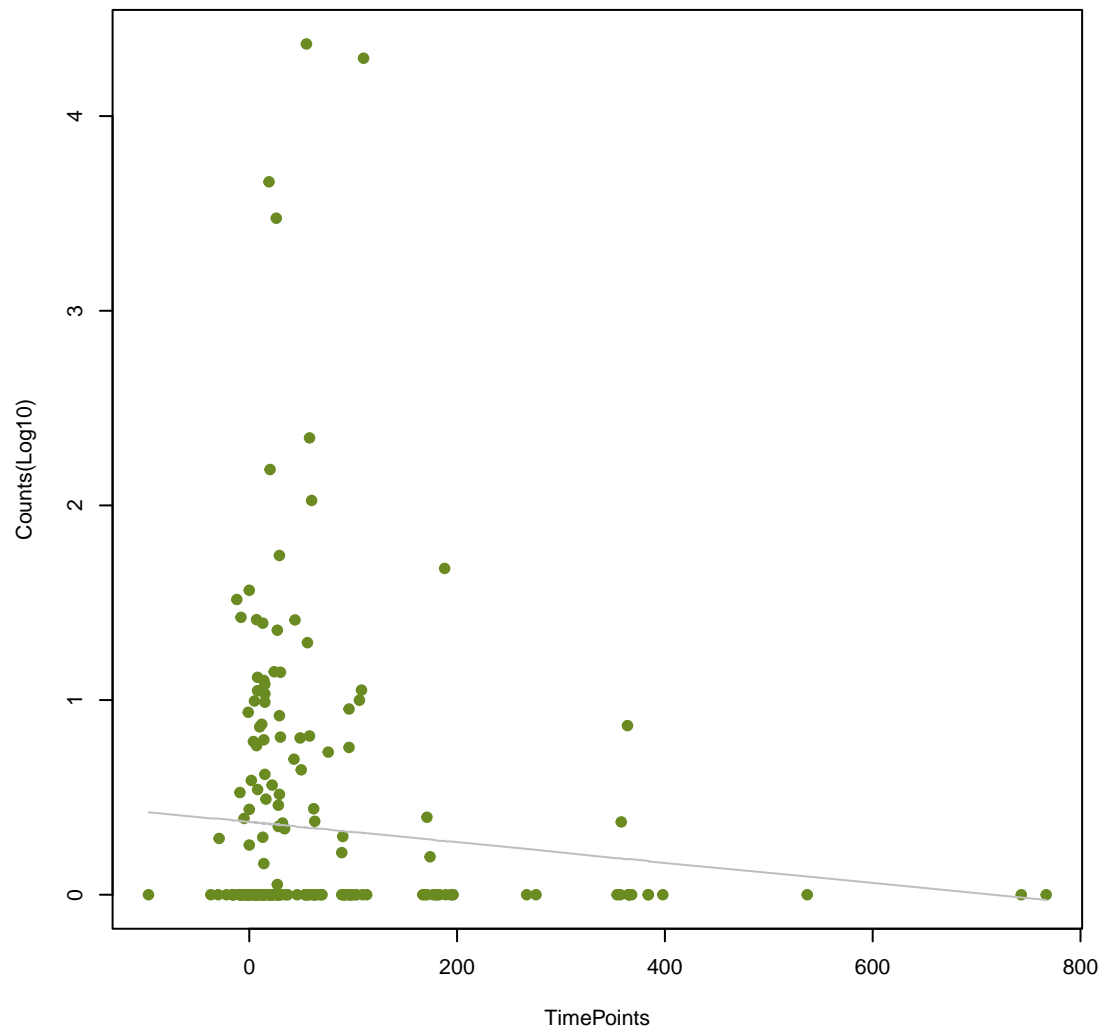
IsaA
ANOVA P=0.186, adj. ANOVA-P=0.471



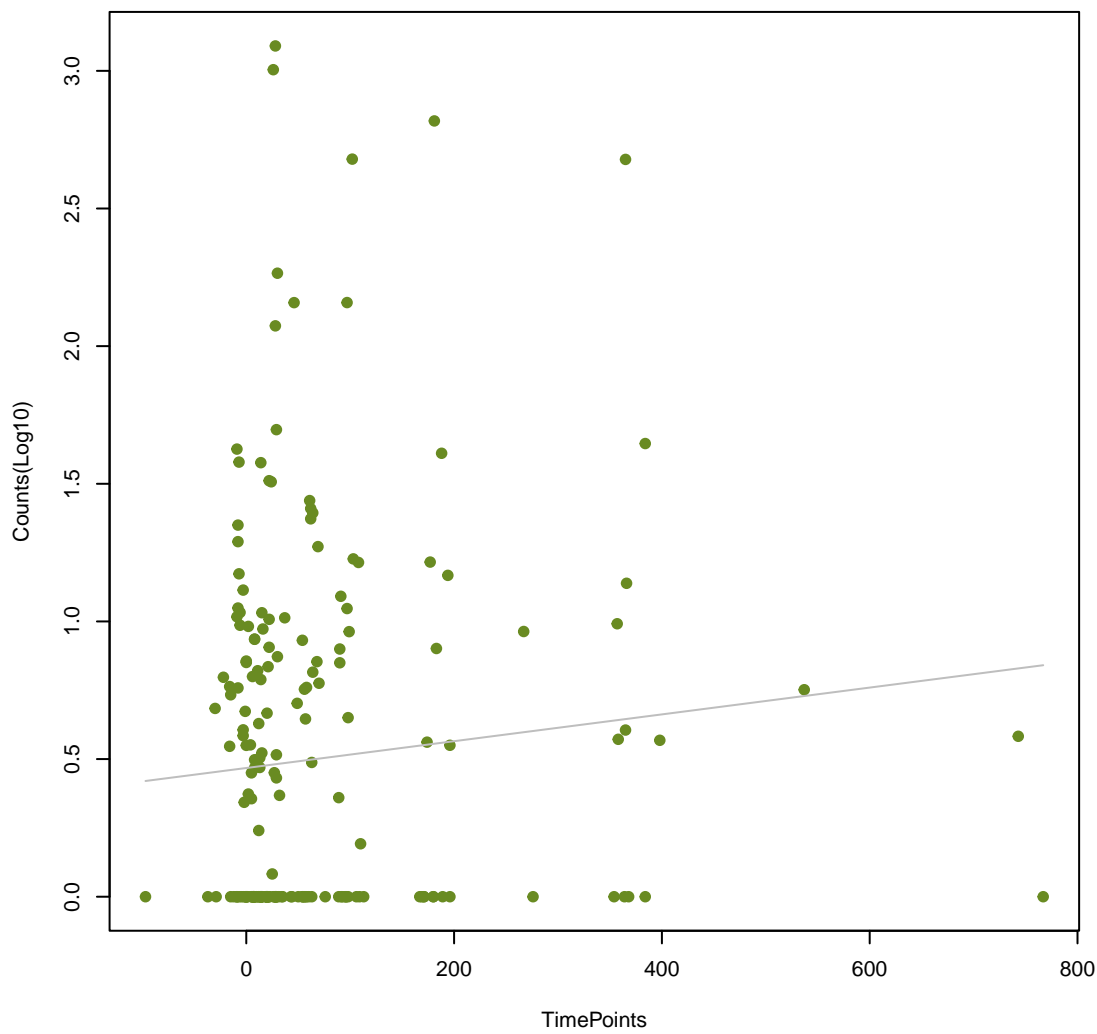
dfrB3
ANOVA P=0.19, adj. ANOVA-P=0.477



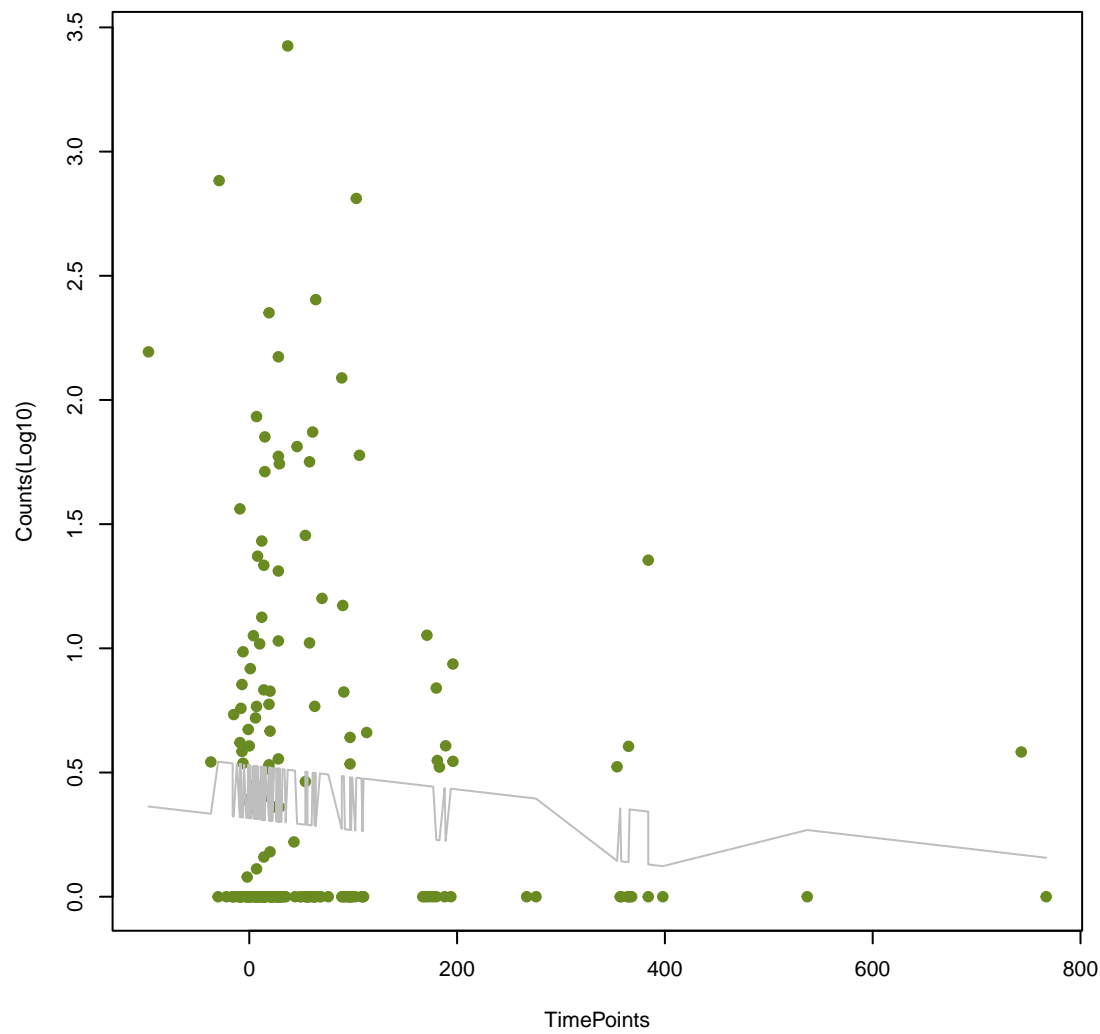
tet(K)
ANOVA P=0.197, adj. ANOVA-P=0.491



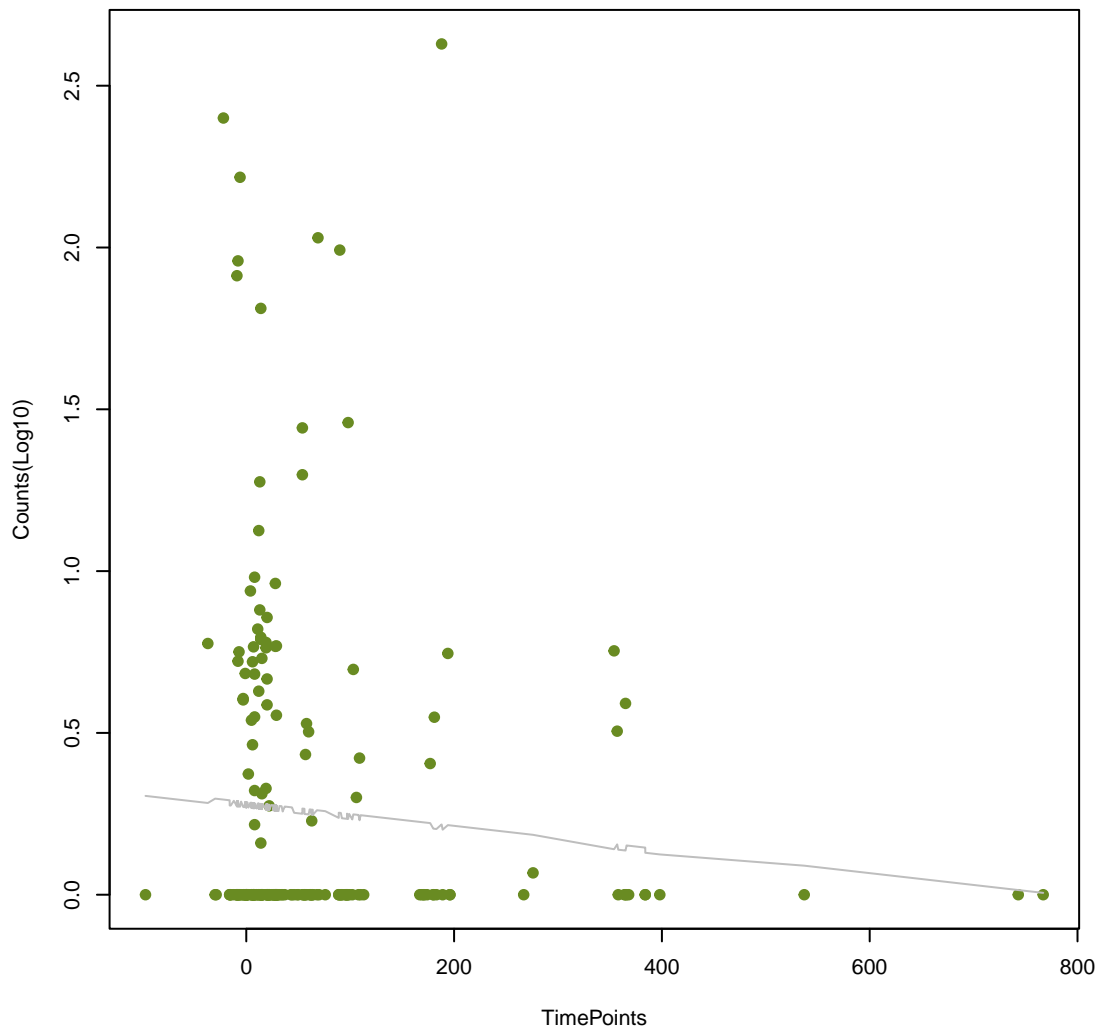
Kpne_OmpK37
ANOVA P=0.203, adj. ANOVA-P=0.498



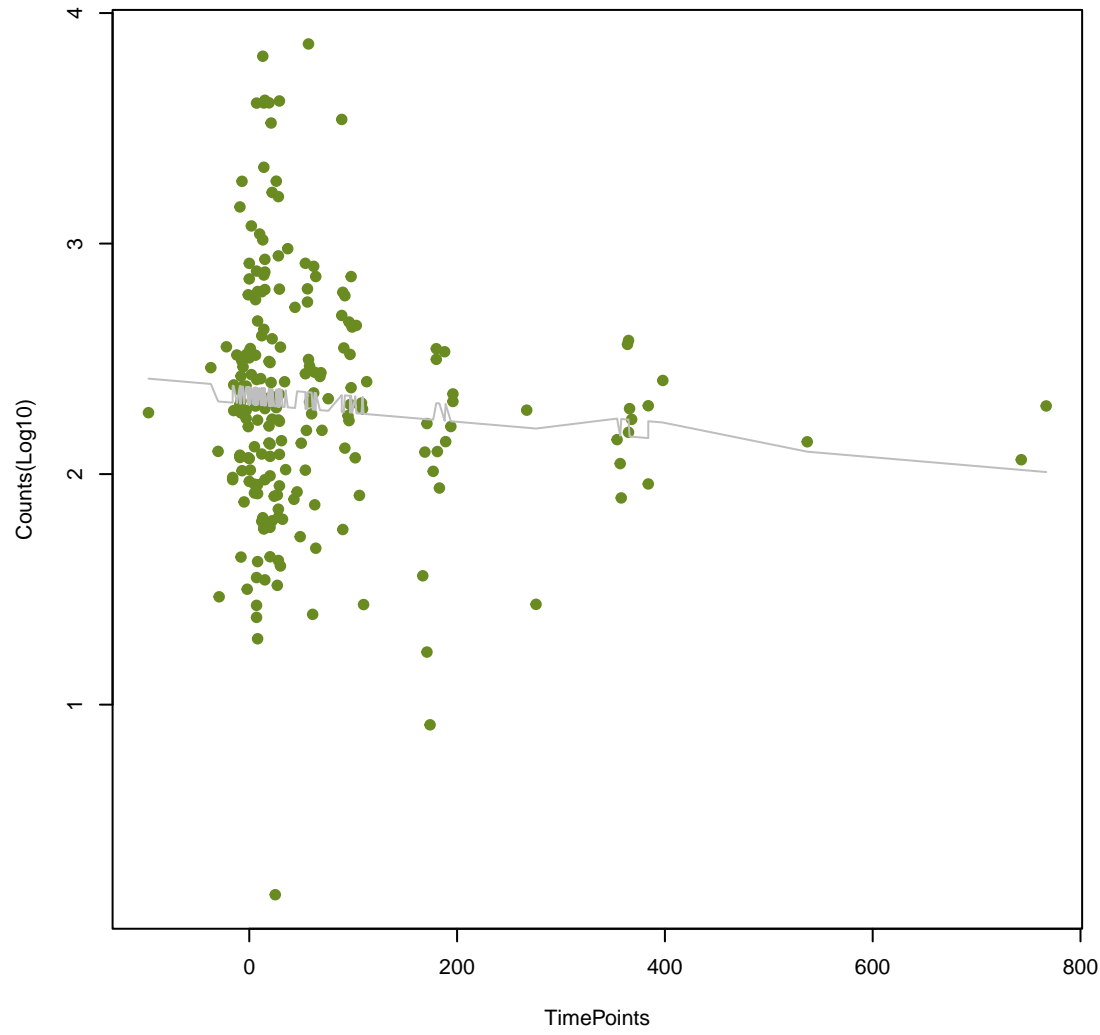
vanS_in_vanC_cl
ANOVA P=0.203, adj. ANOVA-P=0.498



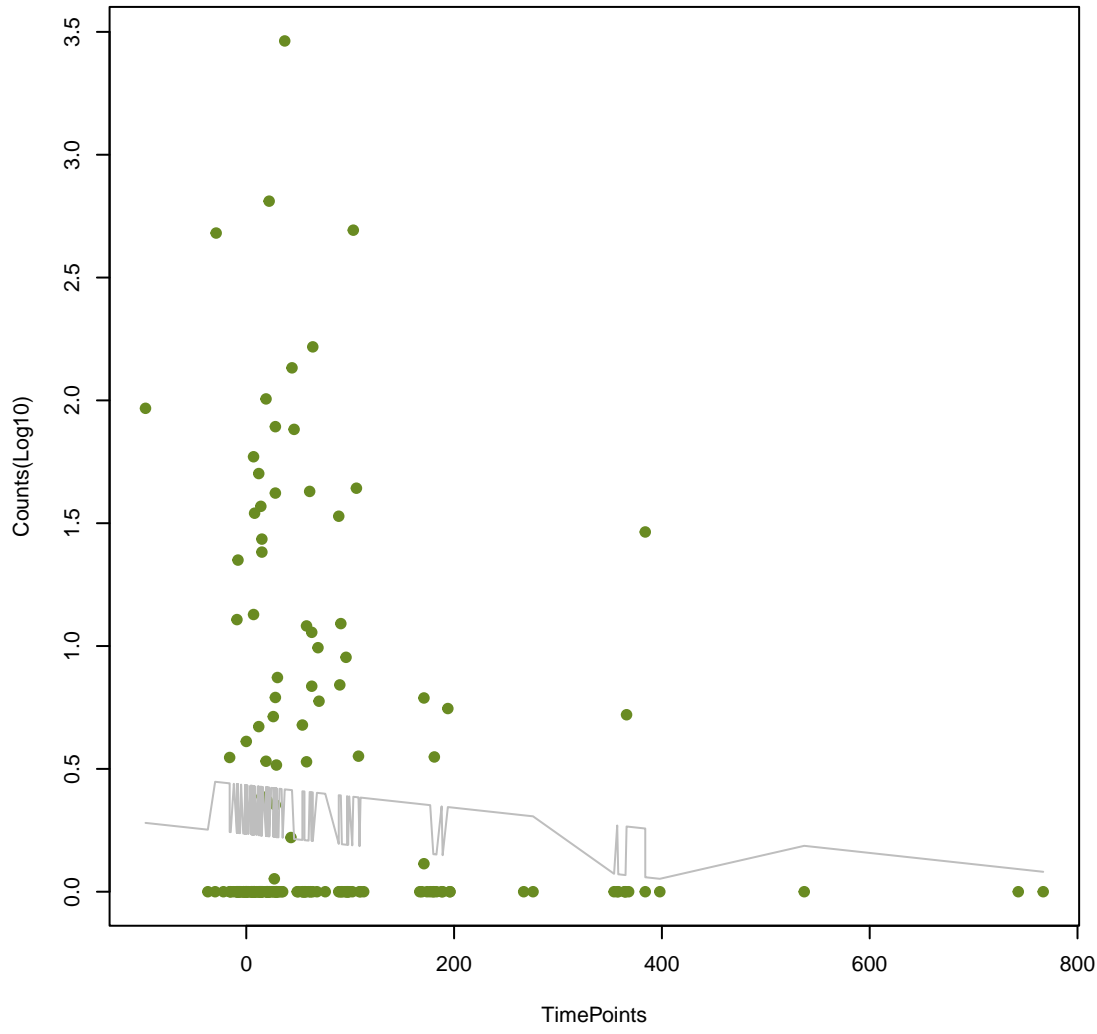
cepA
ANOVA P=0.207, adj. ANOVA-P=0.503



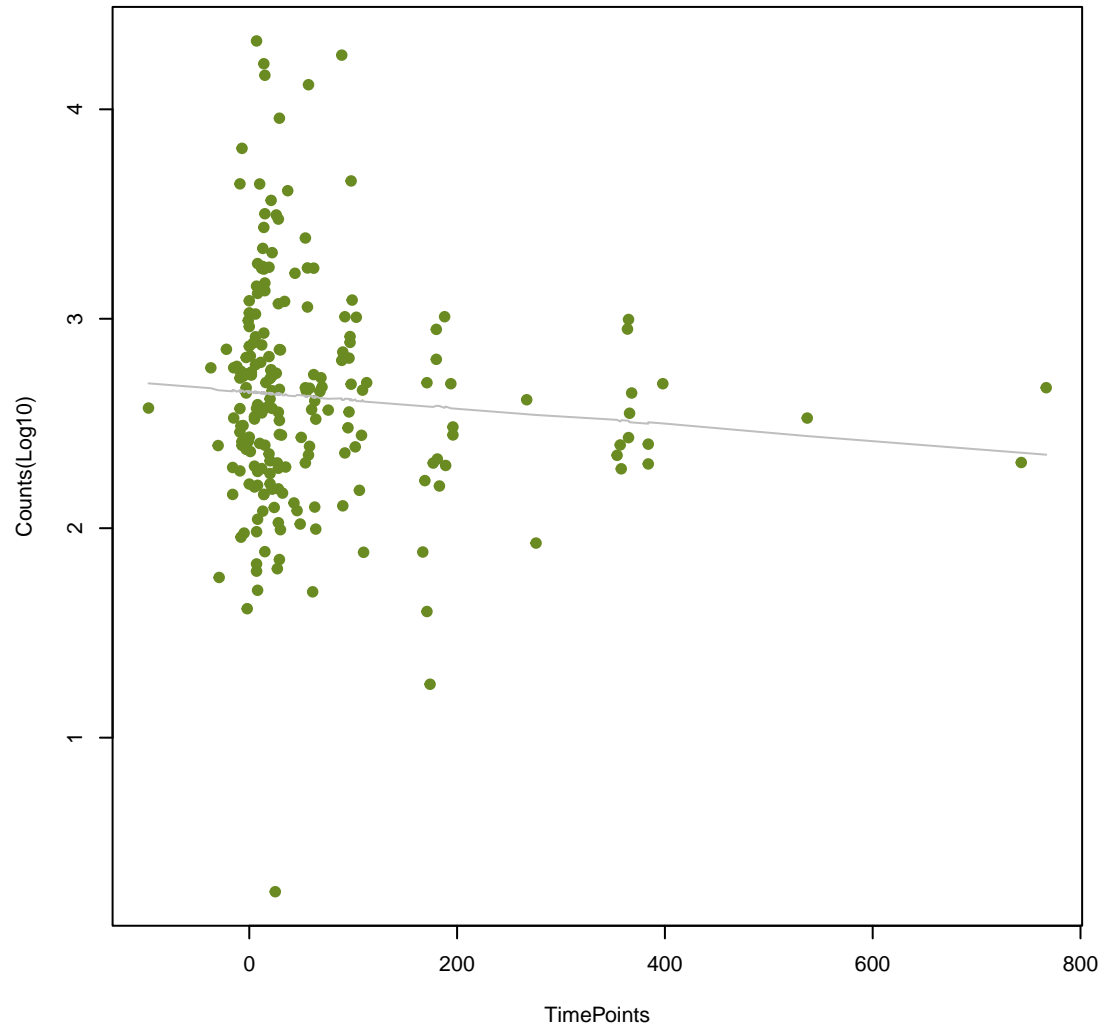
ArmR
ANOVA P=0.209, adj. ANOVA-P=0.503



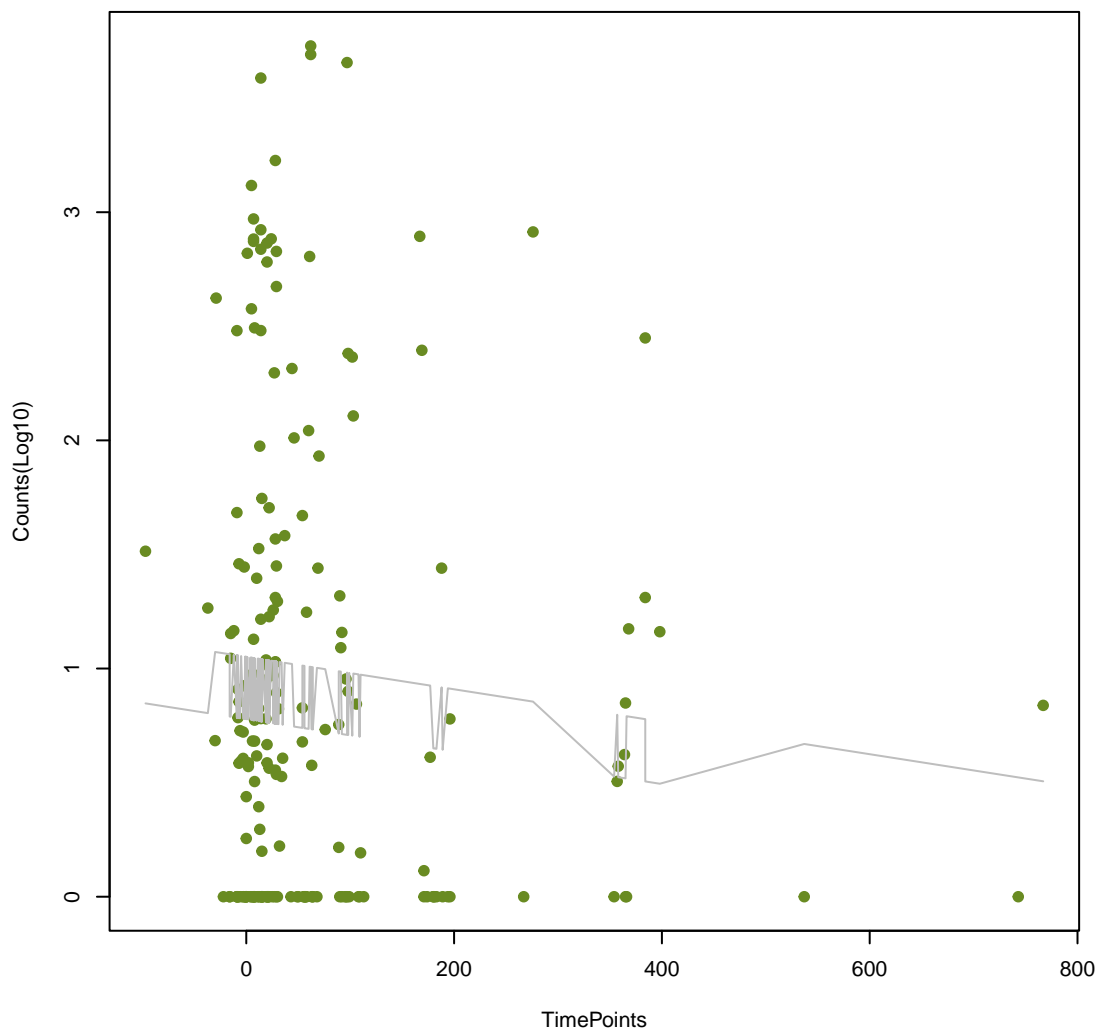
vanR_in_vanC_cl
ANOVA P=0.213, adj. ANOVA-P=0.503



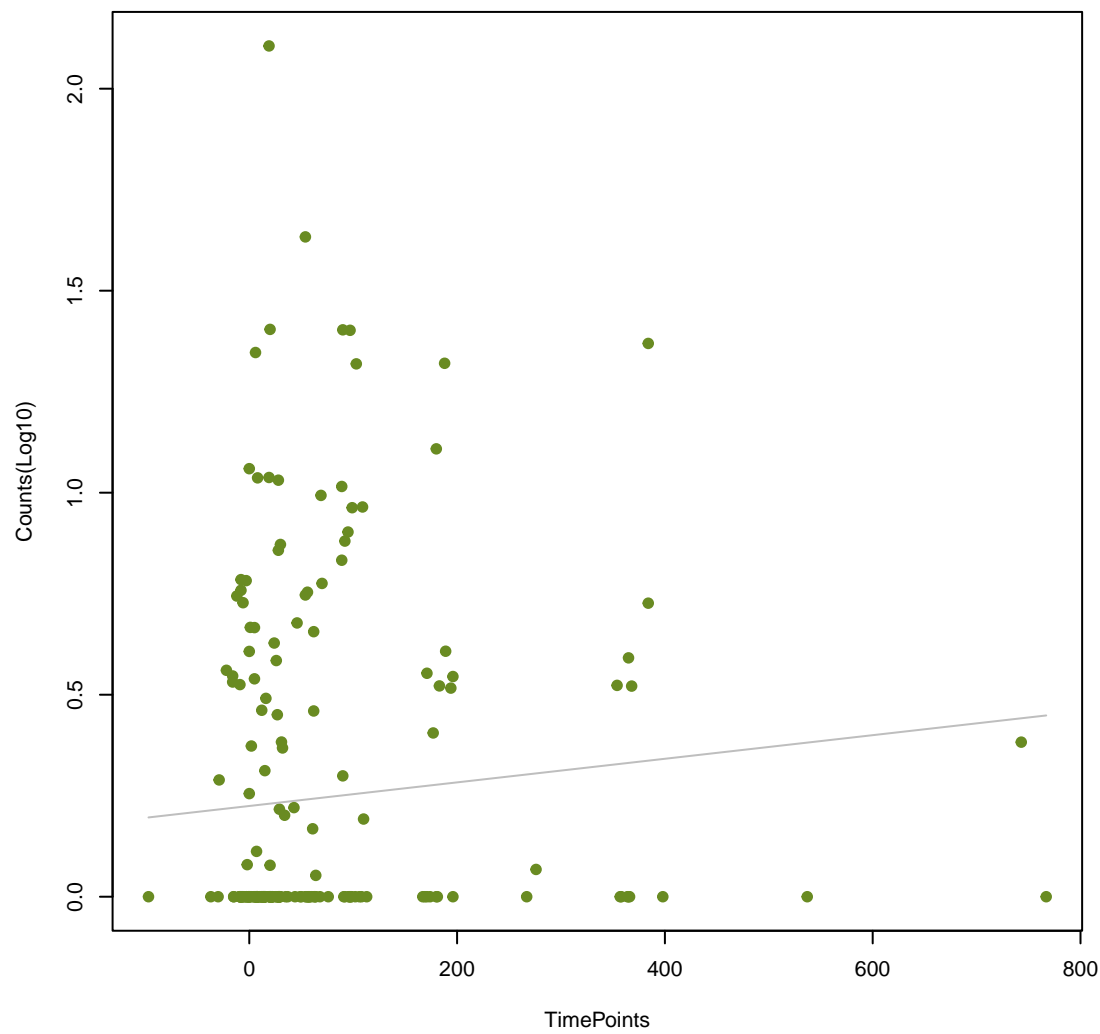
RbpA
ANOVA P=0.216, adj. ANOVA-P=0.503



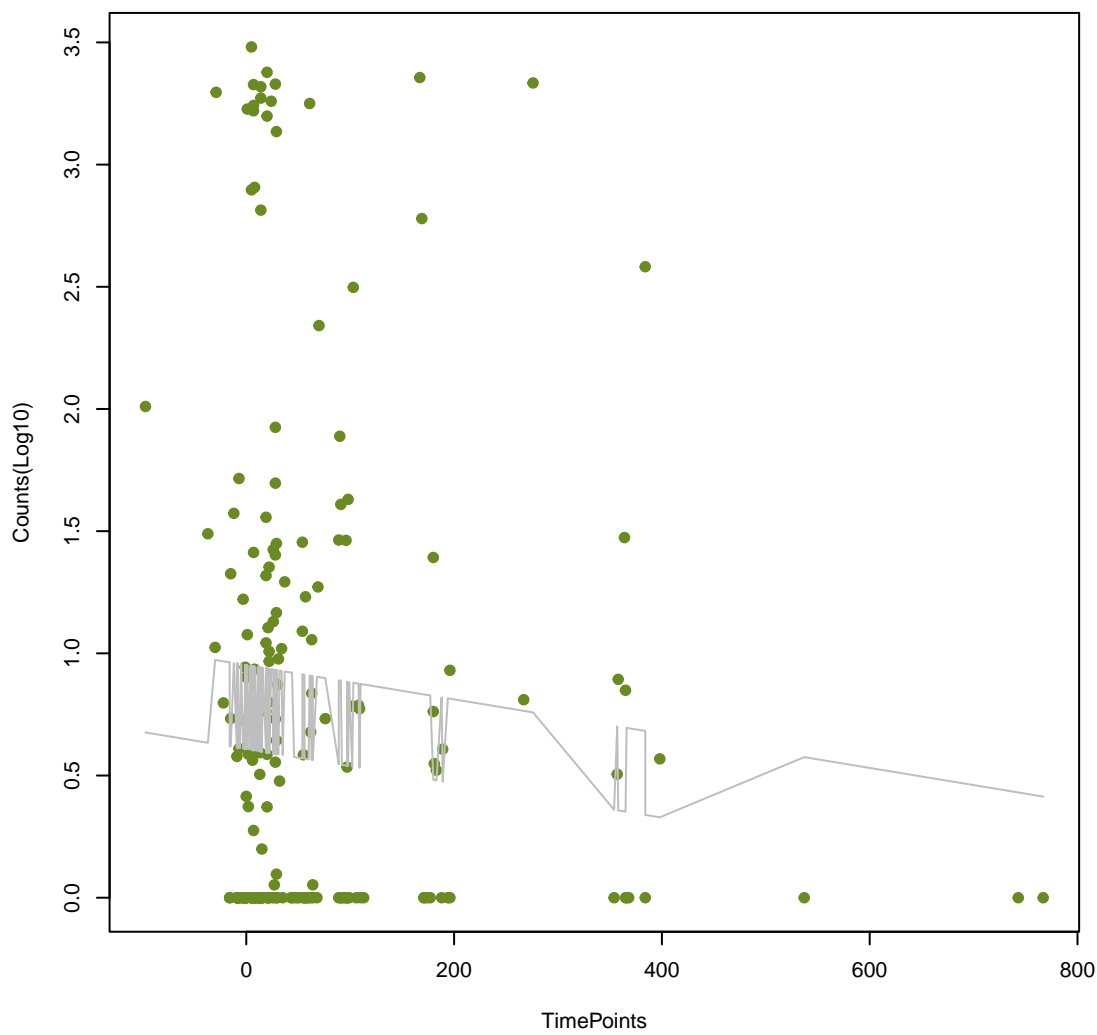
AAC(6')-li
ANOVA P=0.216, adj. ANOVA-P=0.503



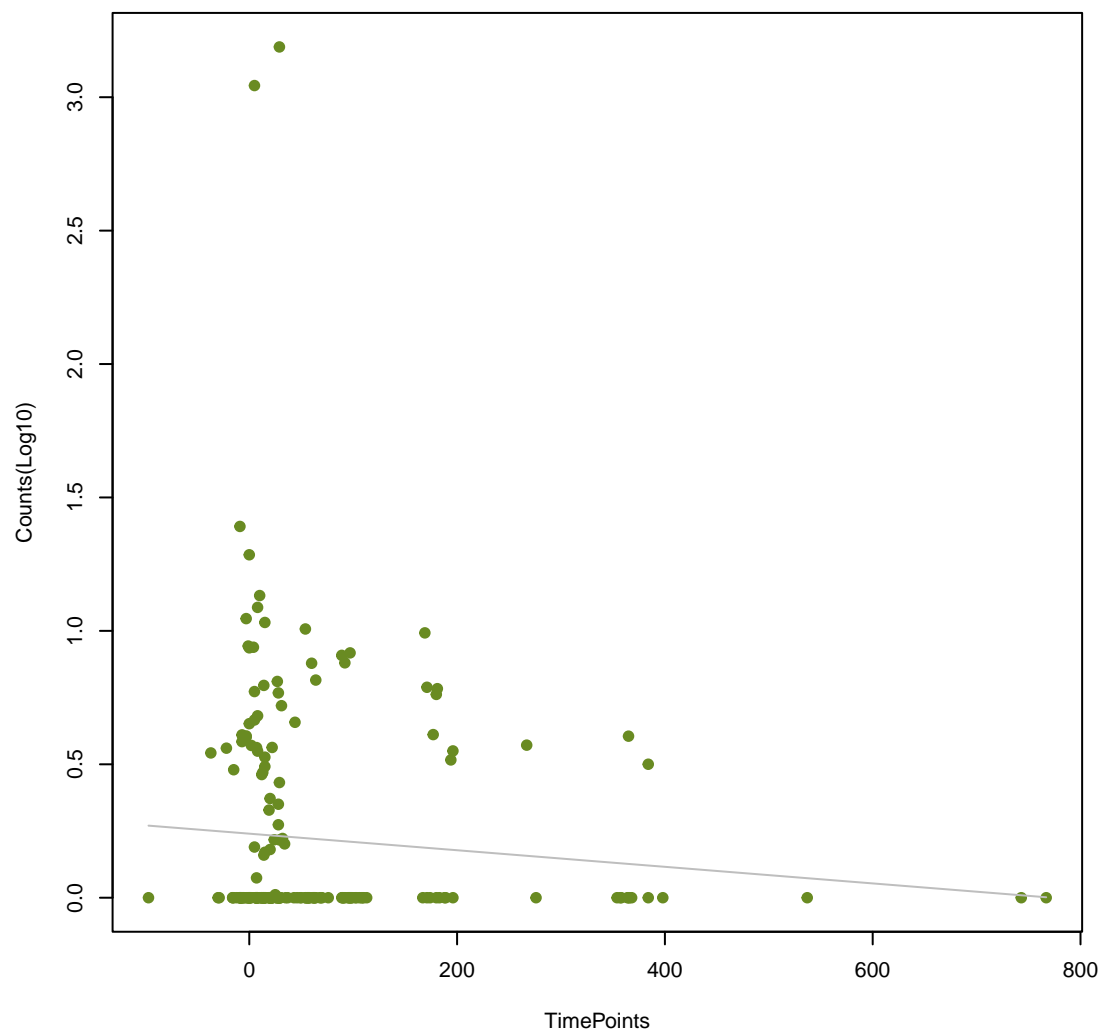
smeB
ANOVA P=0.218, adj. ANOVA-P=0.503



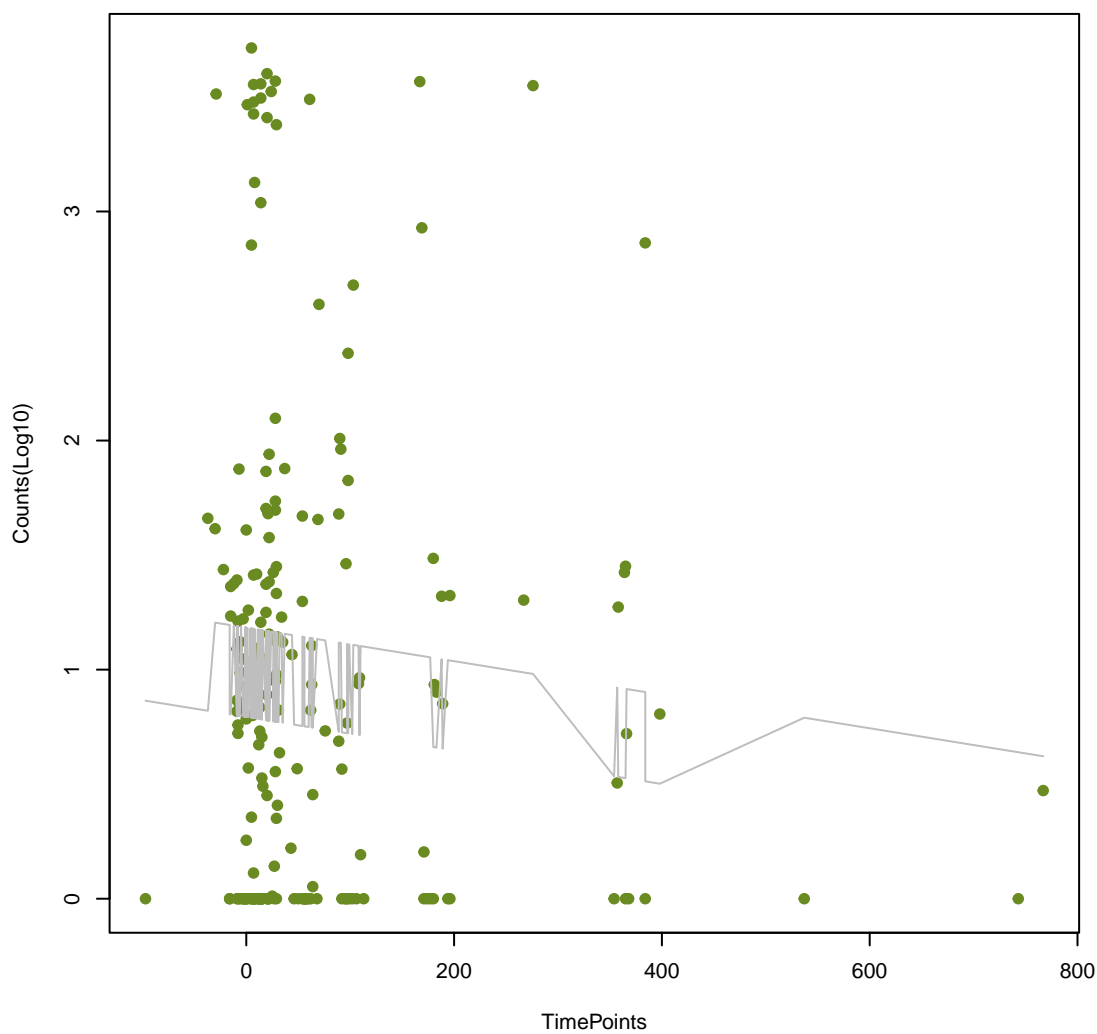
vanZ_in_vanA_cl
ANOVA P=0.22, adj. ANOVA-P=0.503



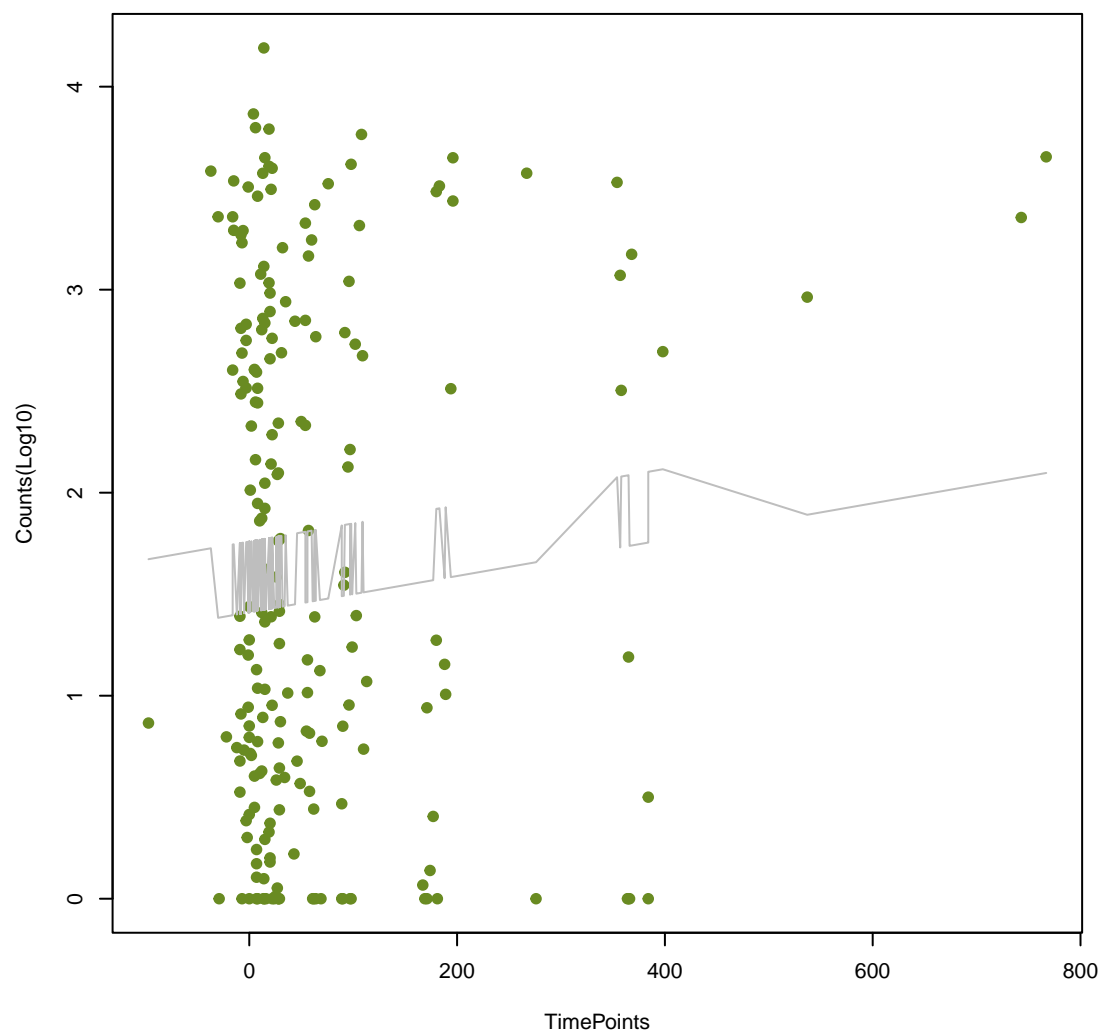
mexN
ANOVA P=0.221, adj. ANOVA-P=0.503



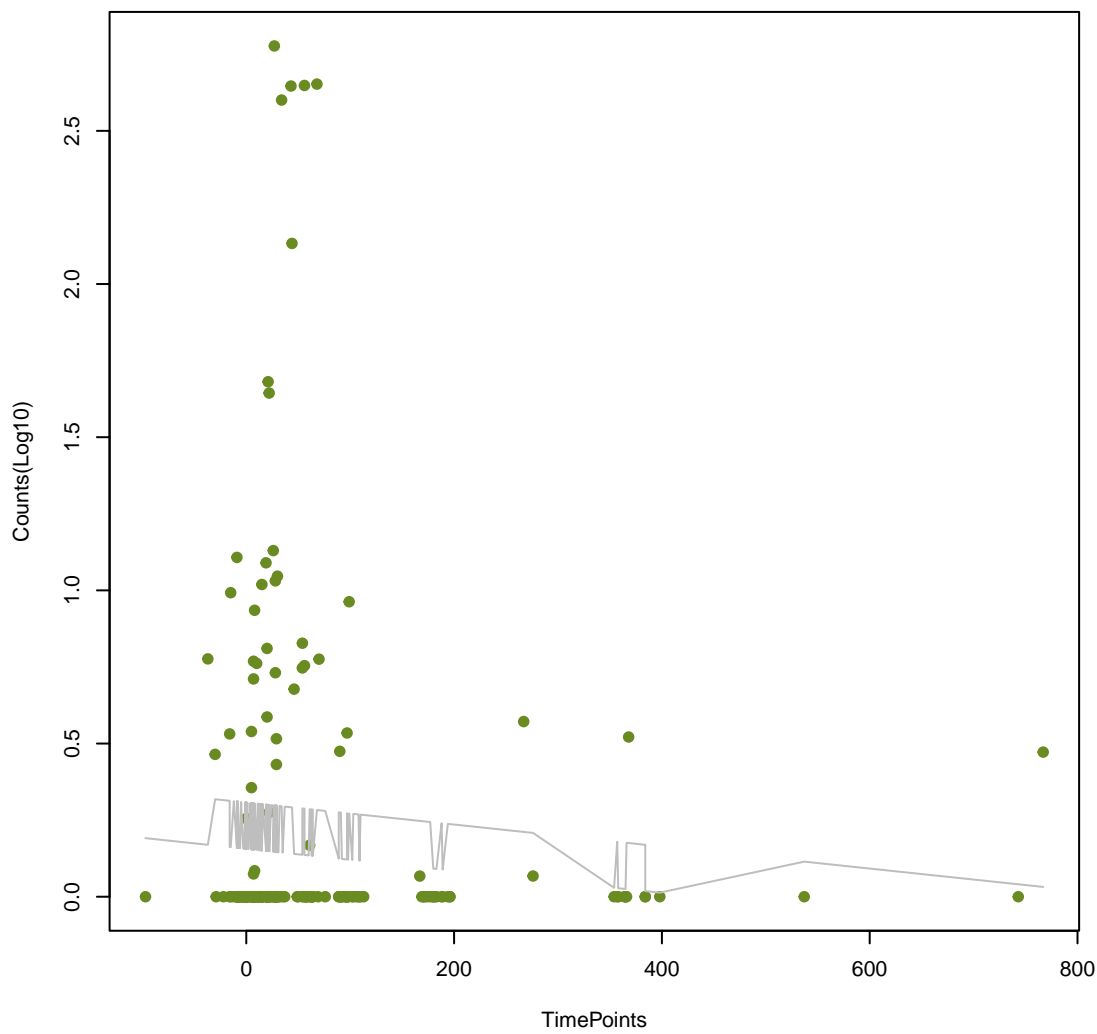
vanY_in_vanA_cl
ANOVA P=0.222, adj. ANOVA-P=0.503



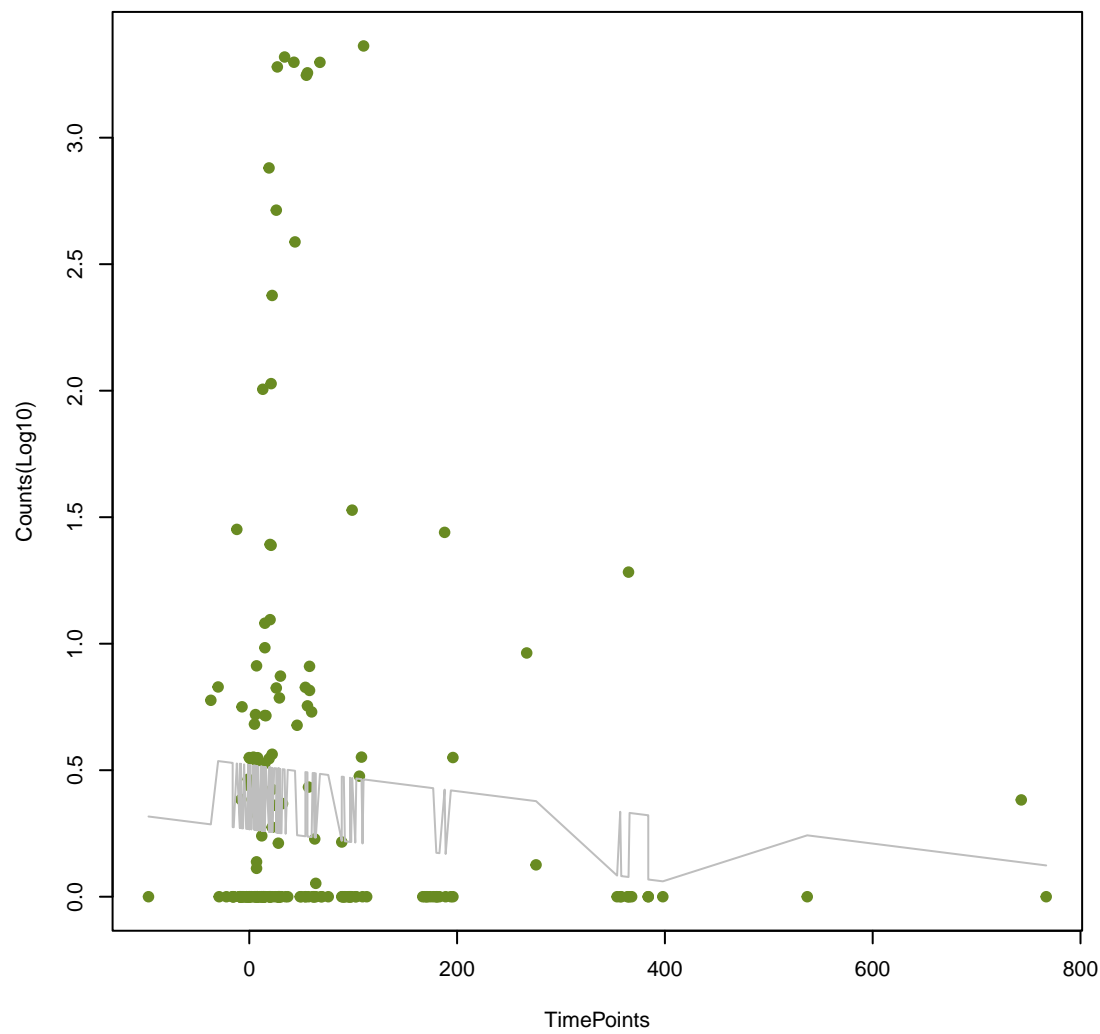
Mef(En2)
ANOVA P=0.222, adj. ANOVA-P=0.503



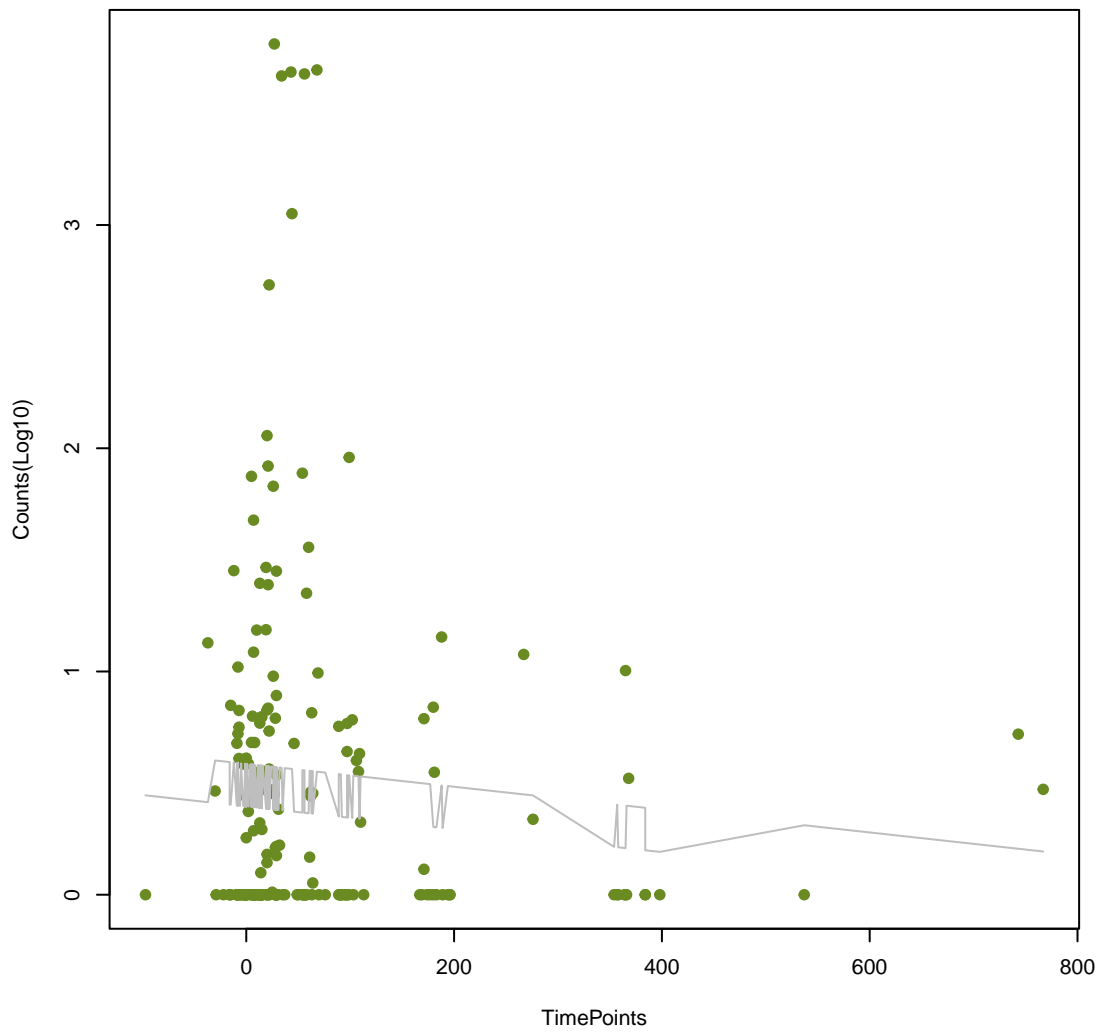
qacB
ANOVA P=0.229, adj. ANOVA-P=0.512



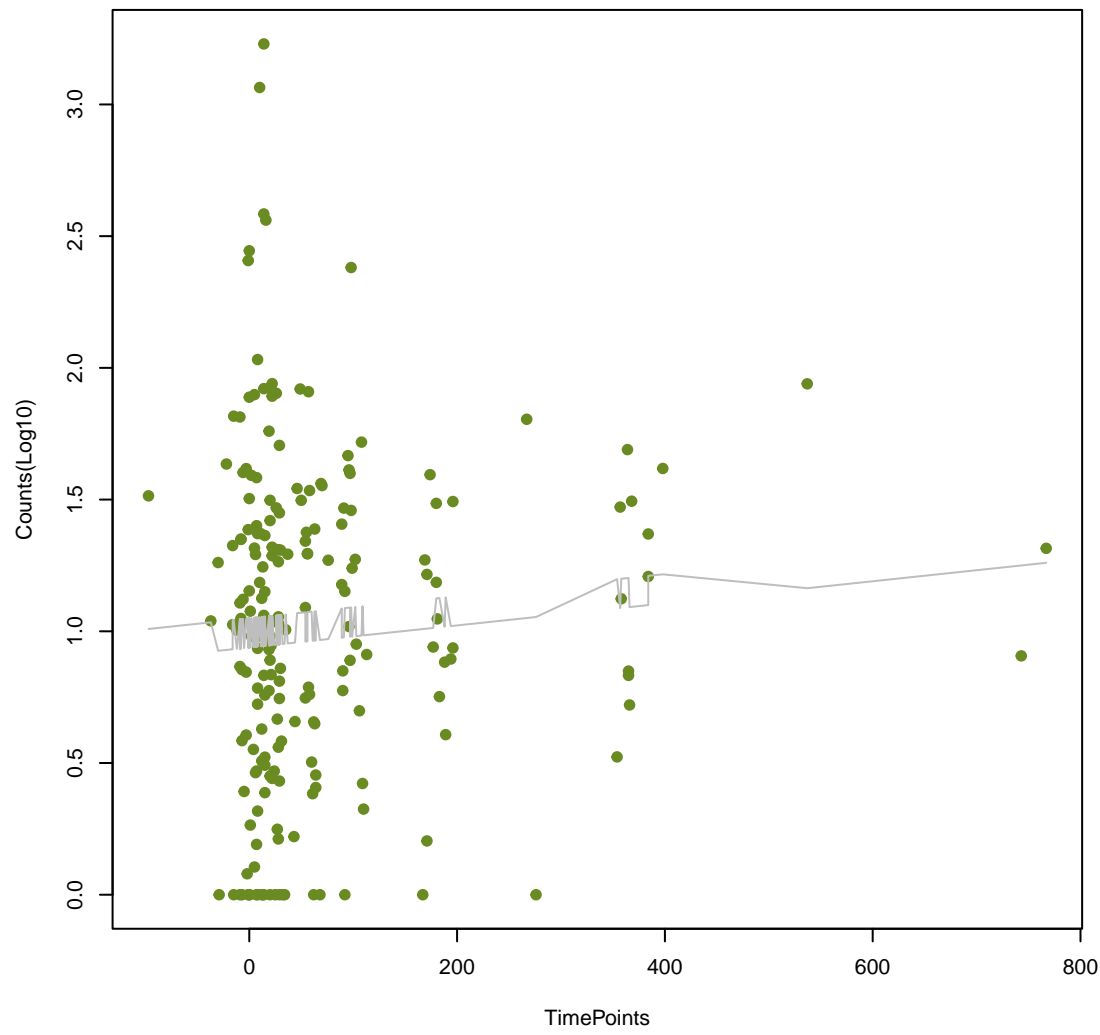
mecR1
ANOVA P=0.23, adj. ANOVA-P=0.512



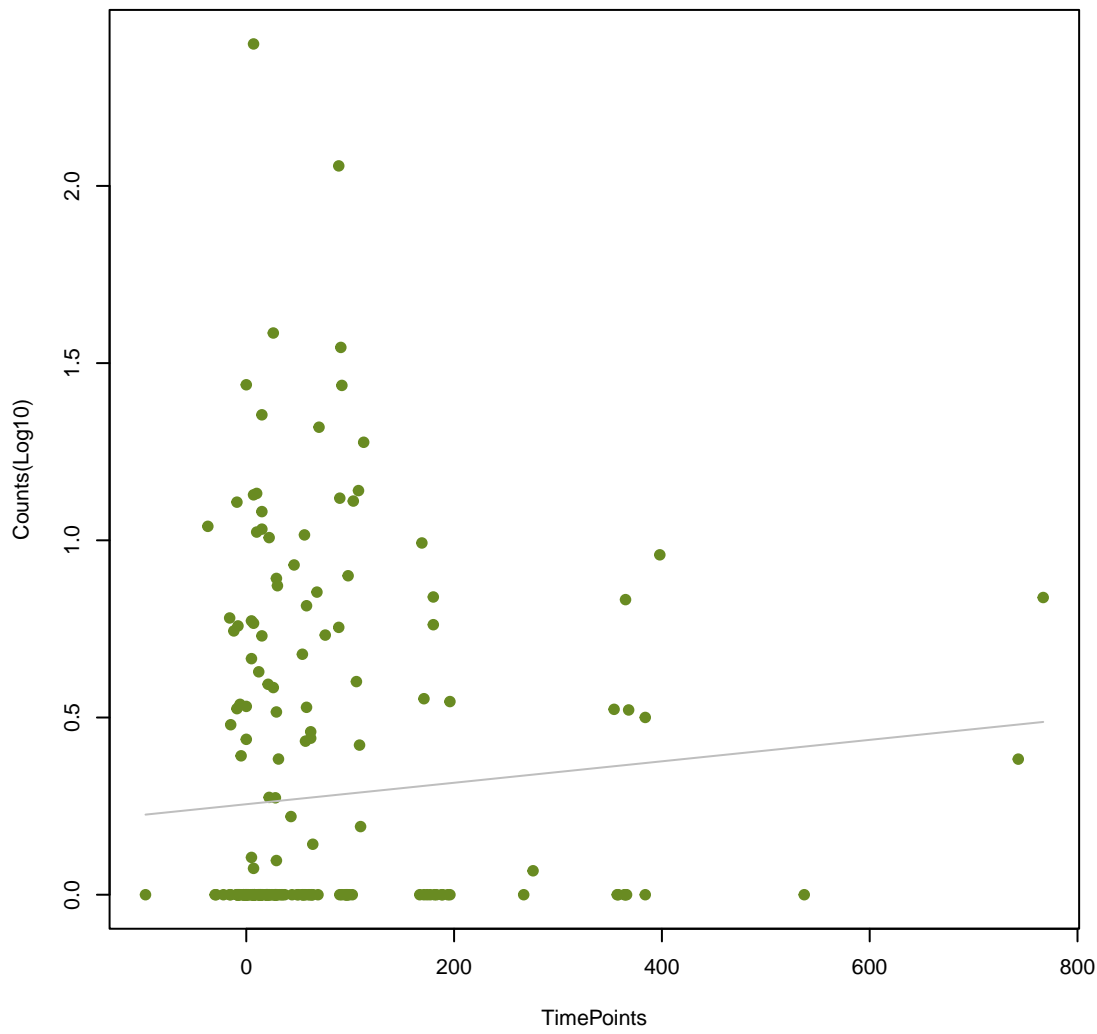
qacA
ANOVA P=0.236, adj. ANOVA-P=0.523



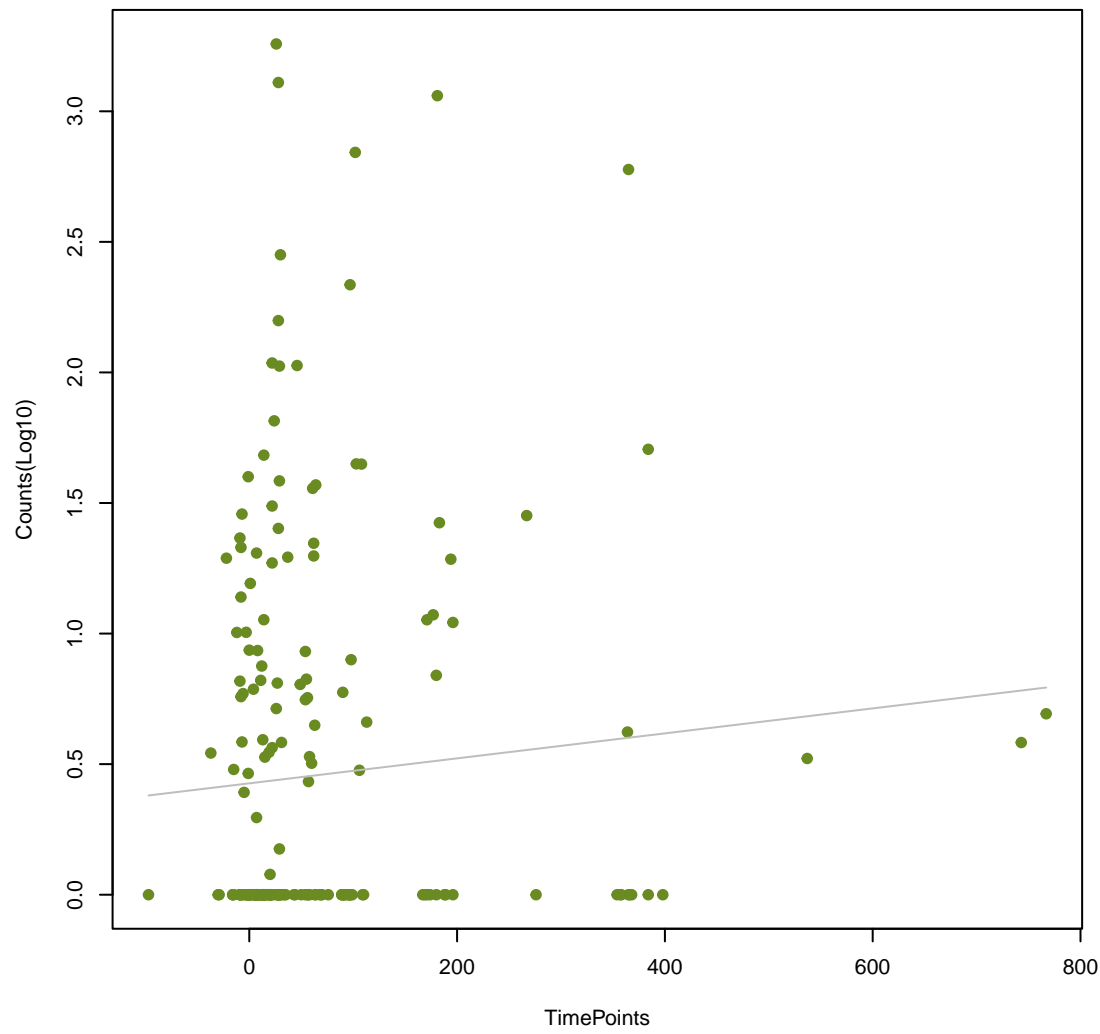
mefH
ANOVA P=0.248, adj. ANOVA-P=0.542



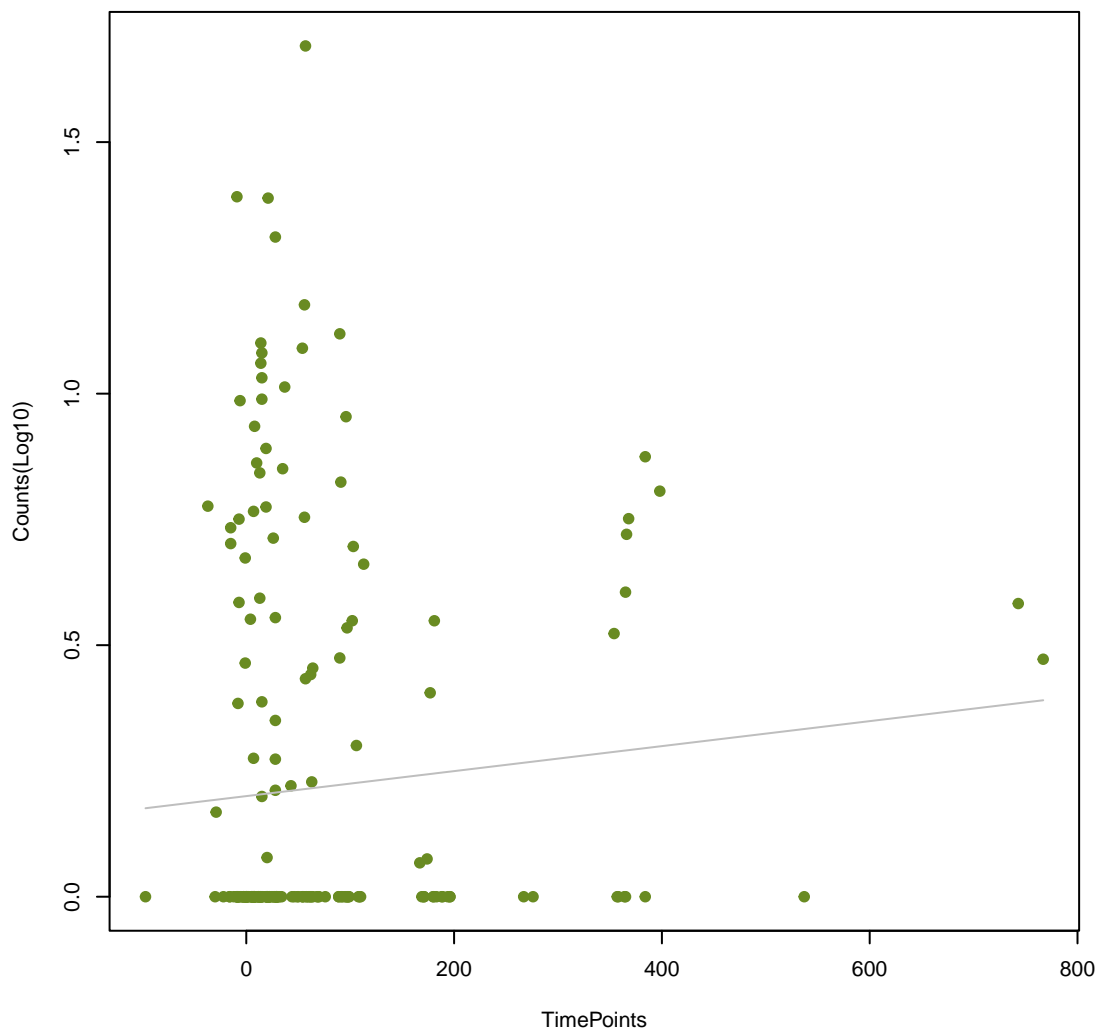
rphA
ANOVA P=0.25, adj. ANOVA-P=0.542



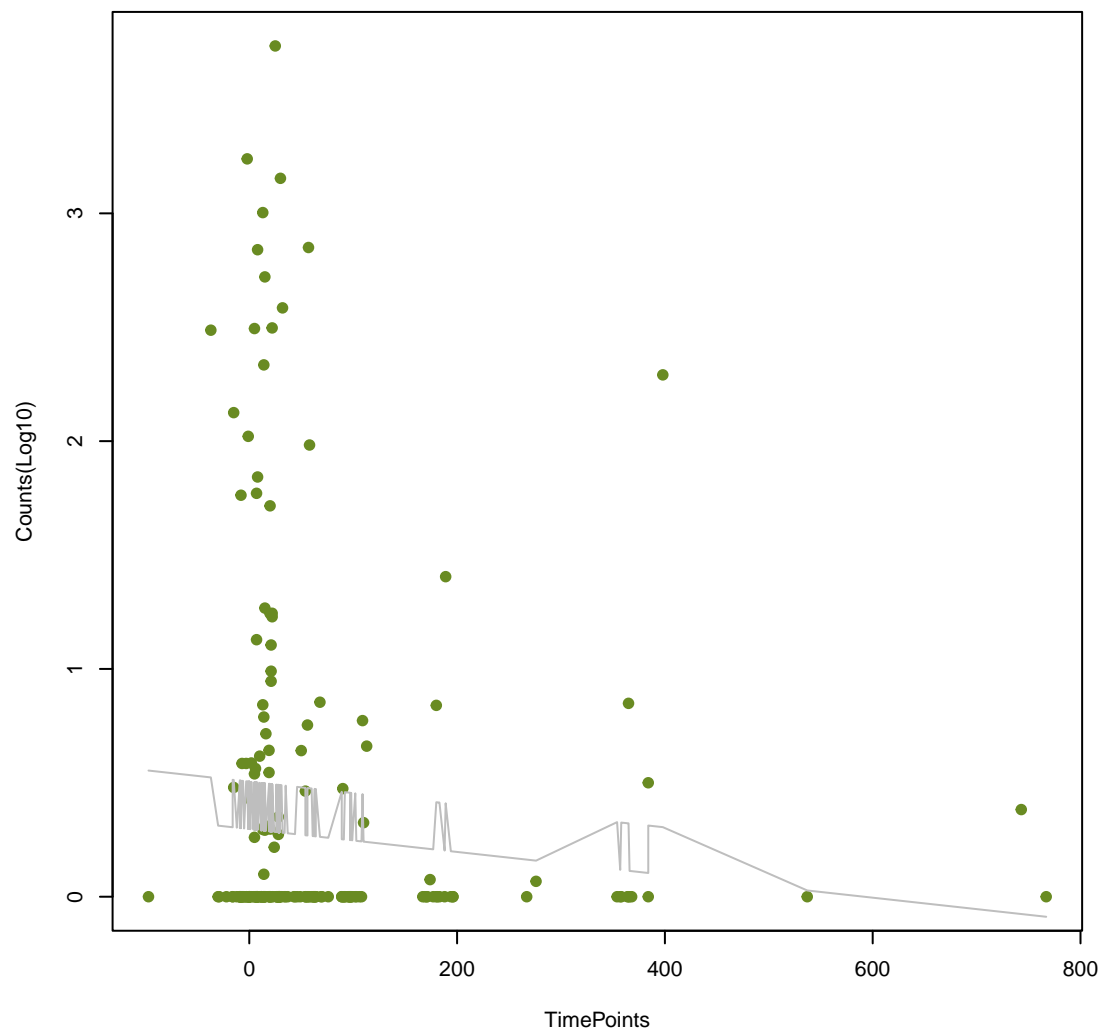
Kpne_acrA
ANOVA P=0.251, adj. ANOVA-P=0.542



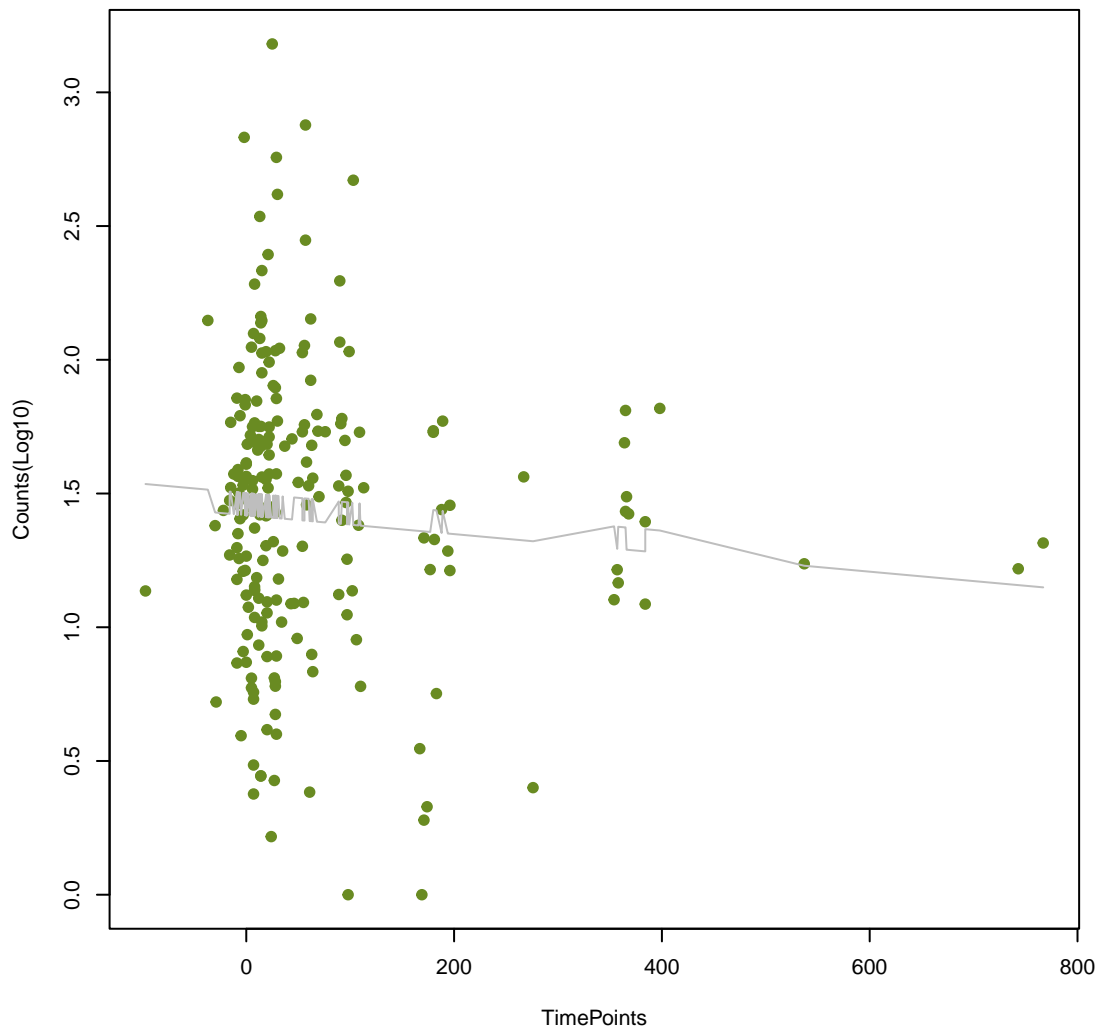
OKP-B-12
ANOVA P=0.252, adj. ANOVA-P=0.542



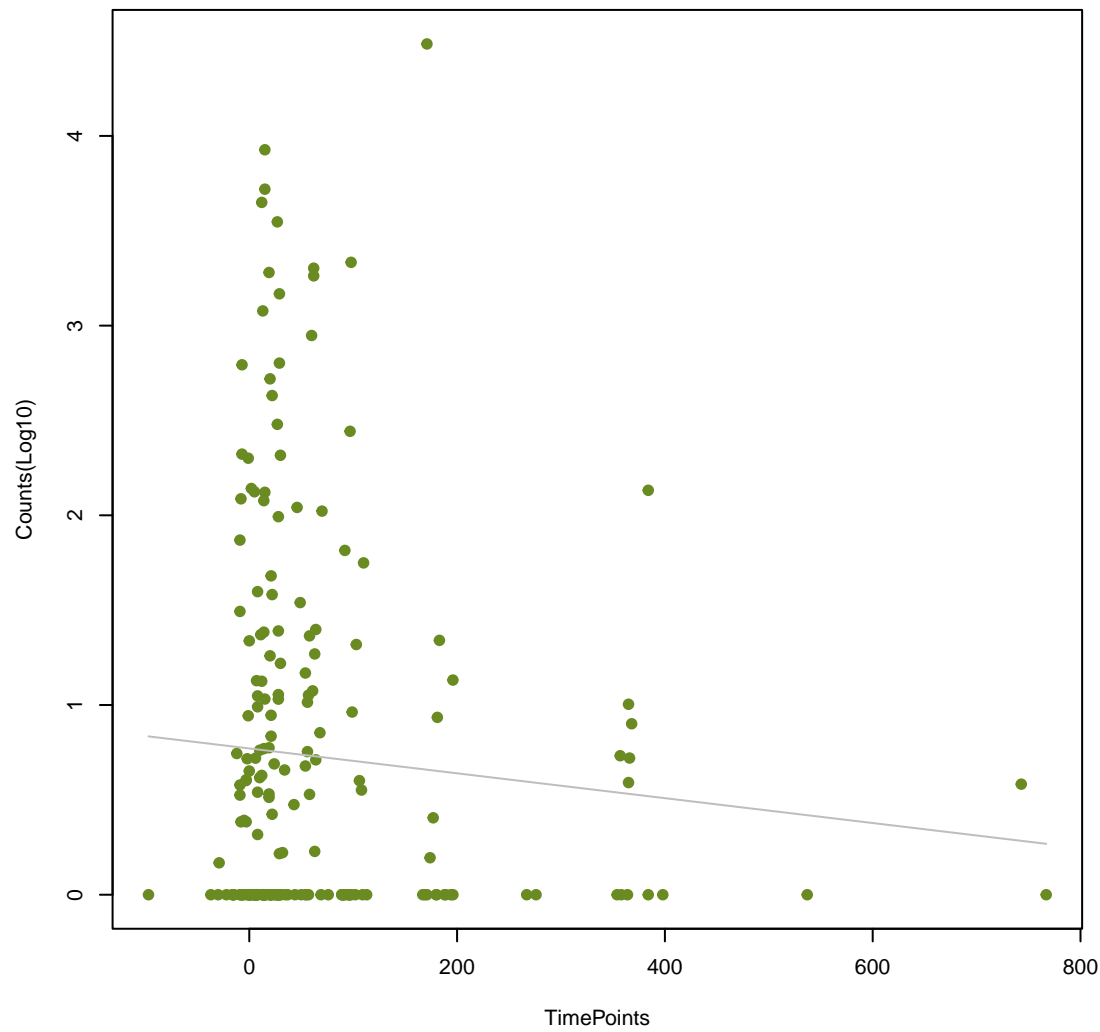
mphA
ANOVA P=0.256, adj. ANOVA-P=0.544



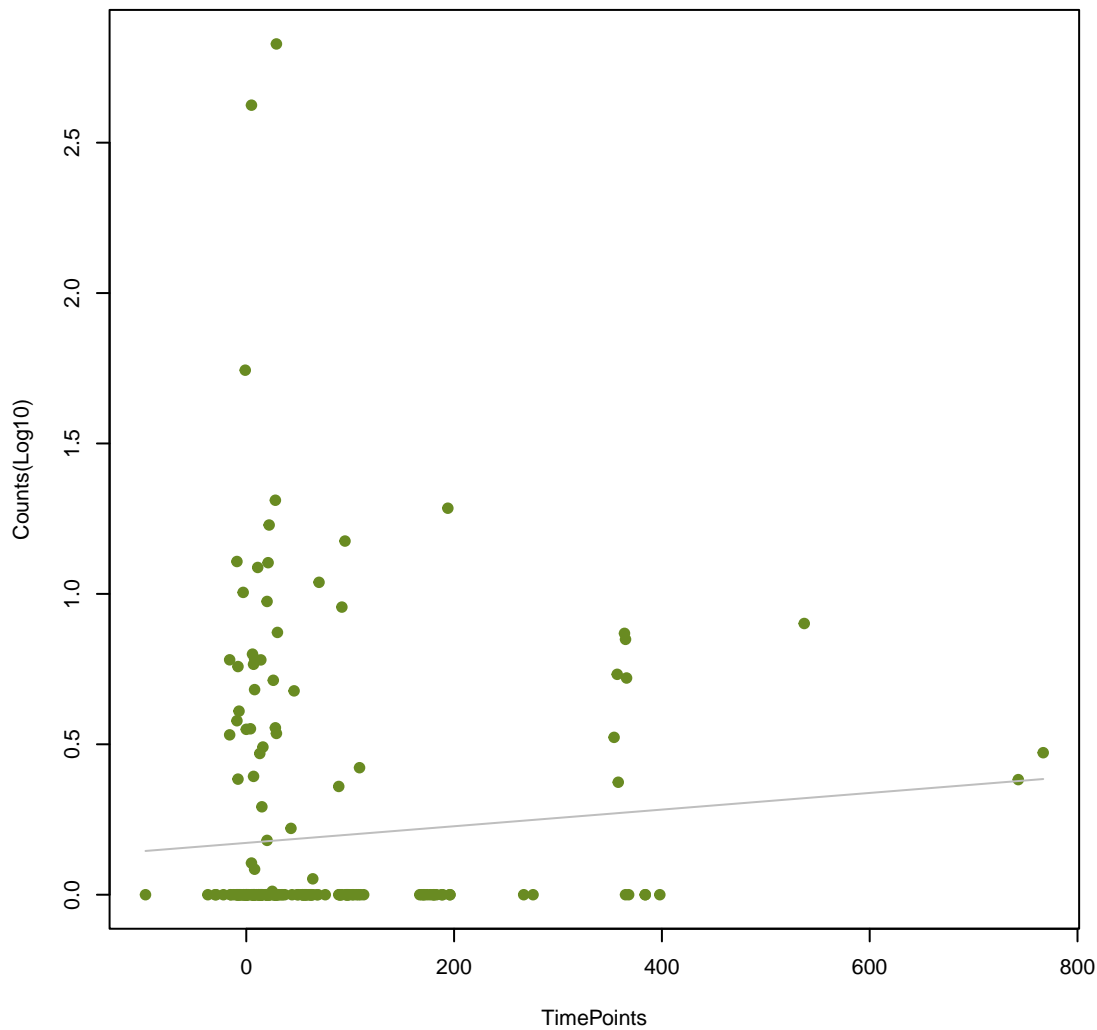
qacEdelta1
ANOVA P=0.257, adj. ANOVA-P=0.544



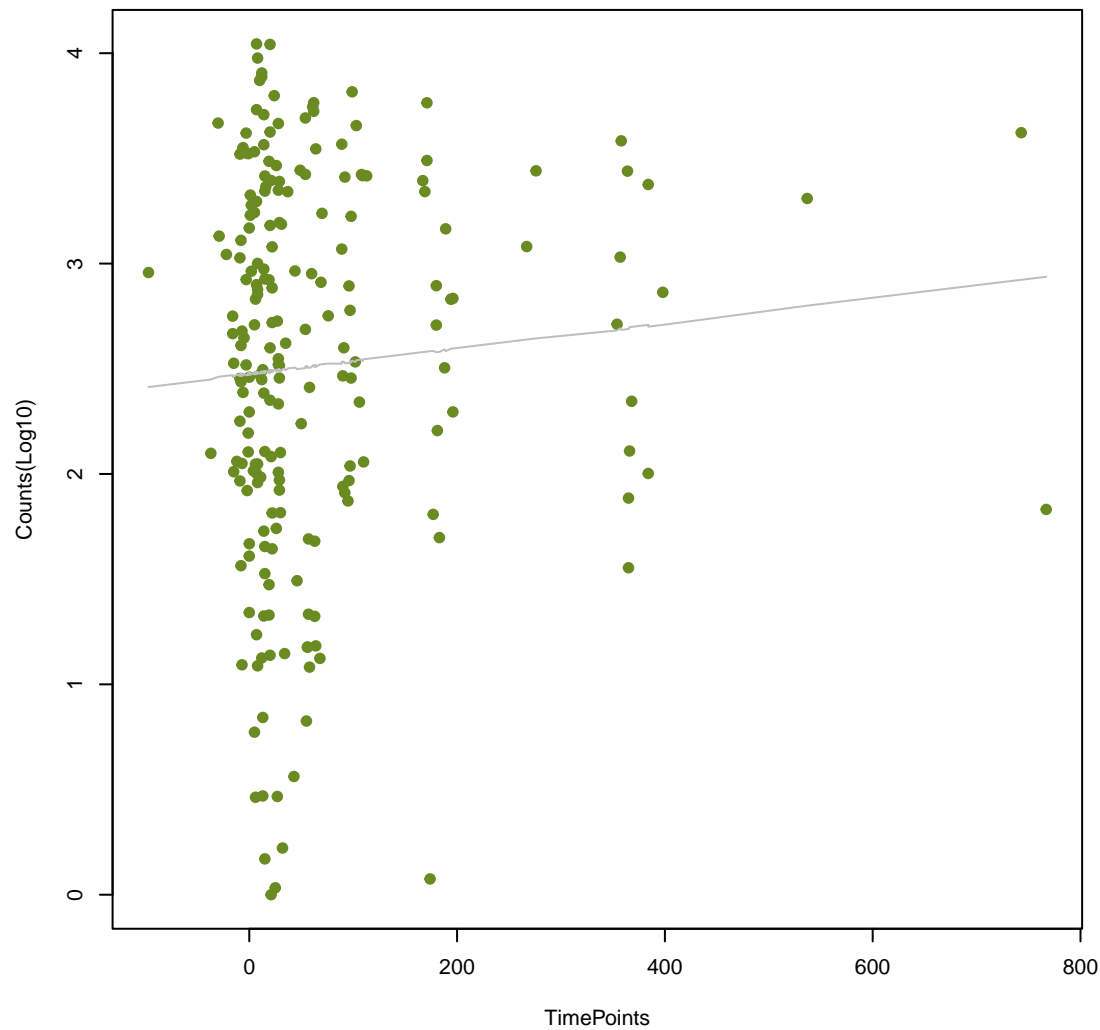
emeA
ANOVA P=0.258, adj. ANOVA-P=0.544



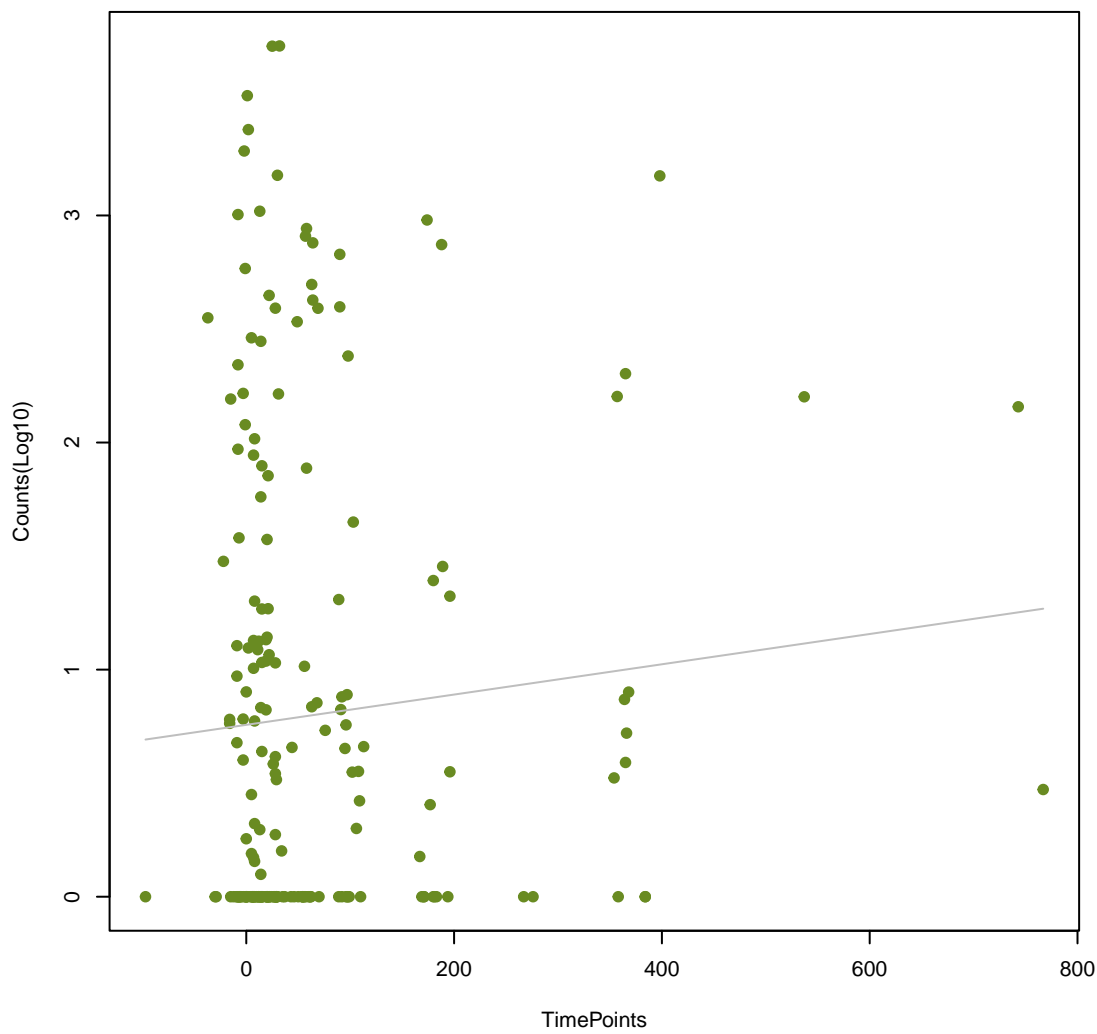
ParS
ANOVA P=0.26, adj. ANOVA-P=0.544



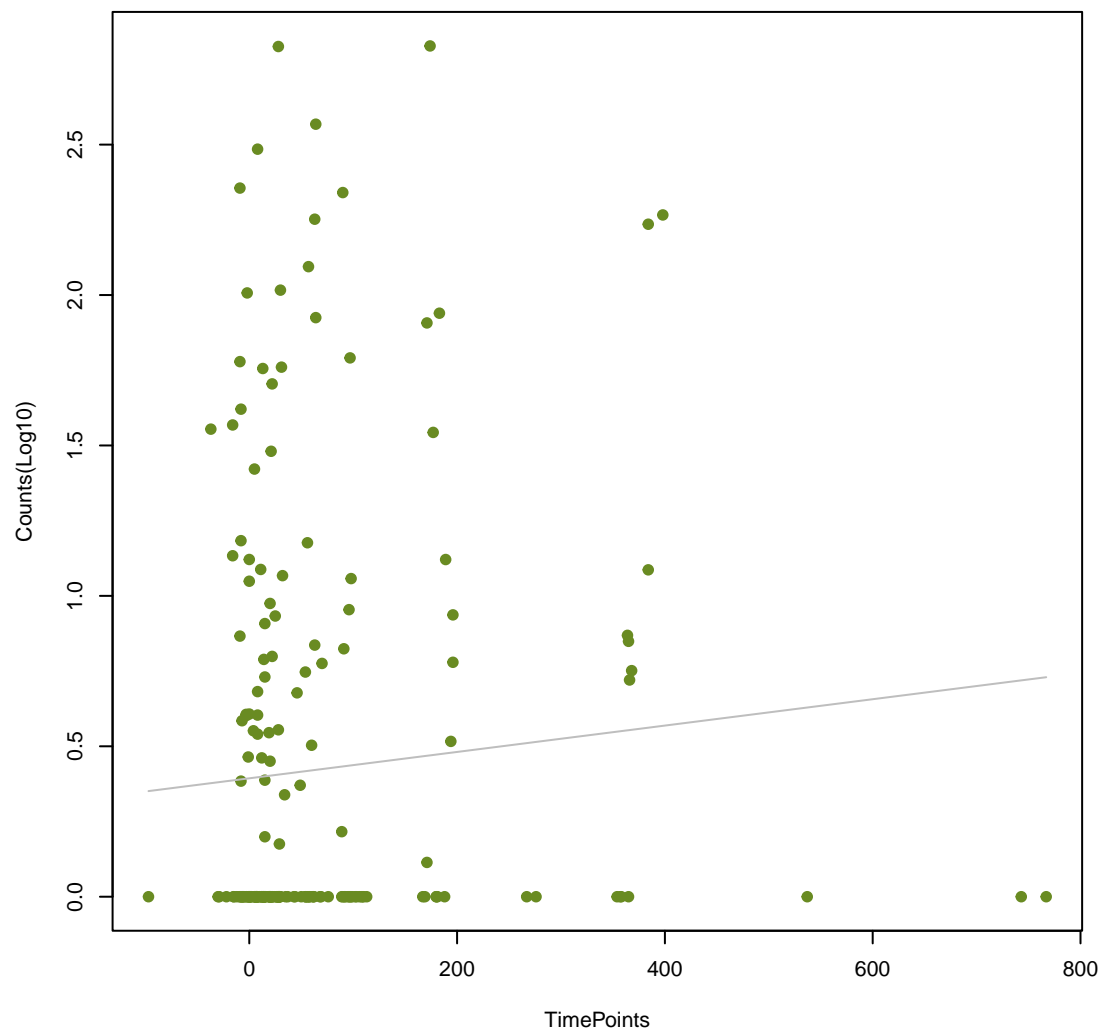
tetM
ANOVA P=0.263, adj. ANOVA-P=0.546



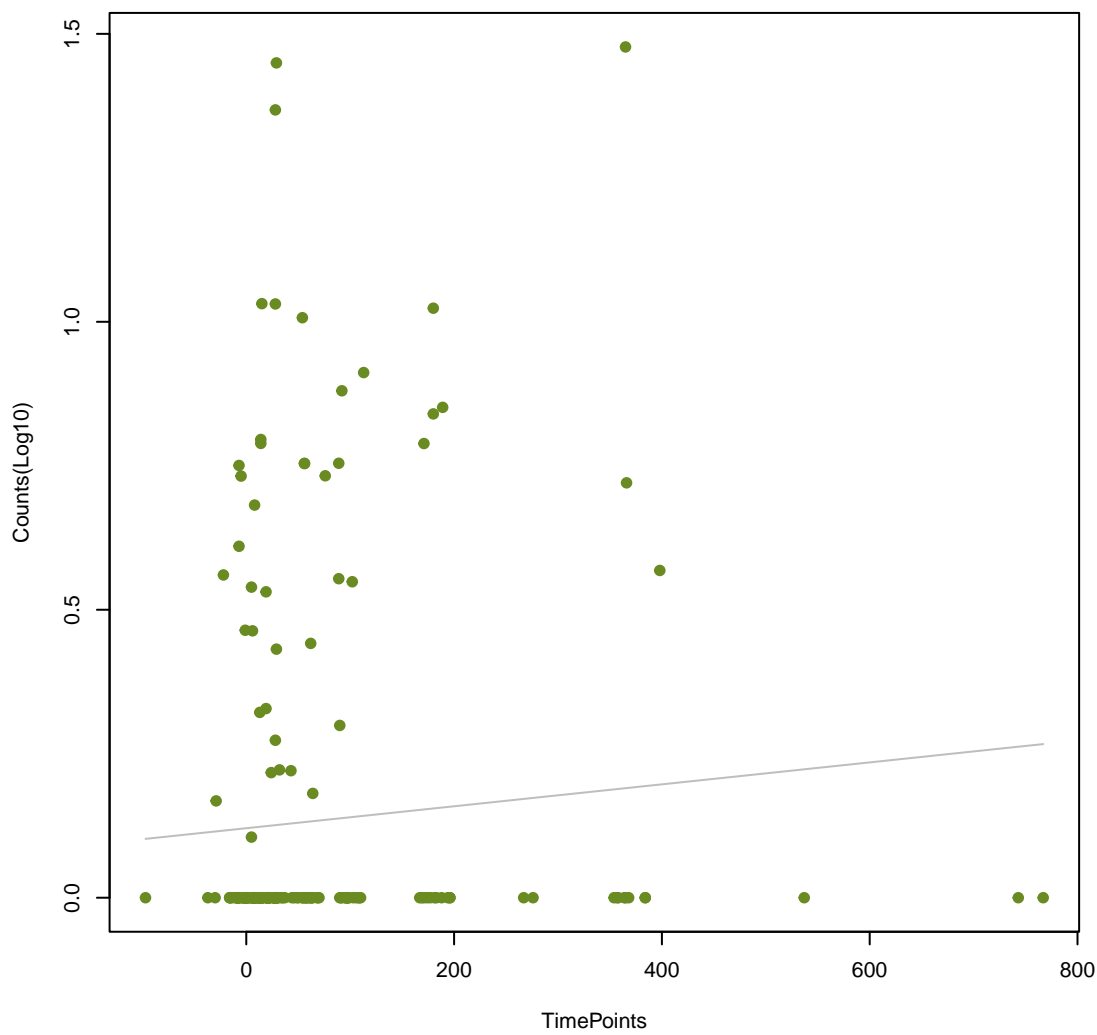
sul2
ANOVA P=0.265, adj. ANOVA-P=0.546



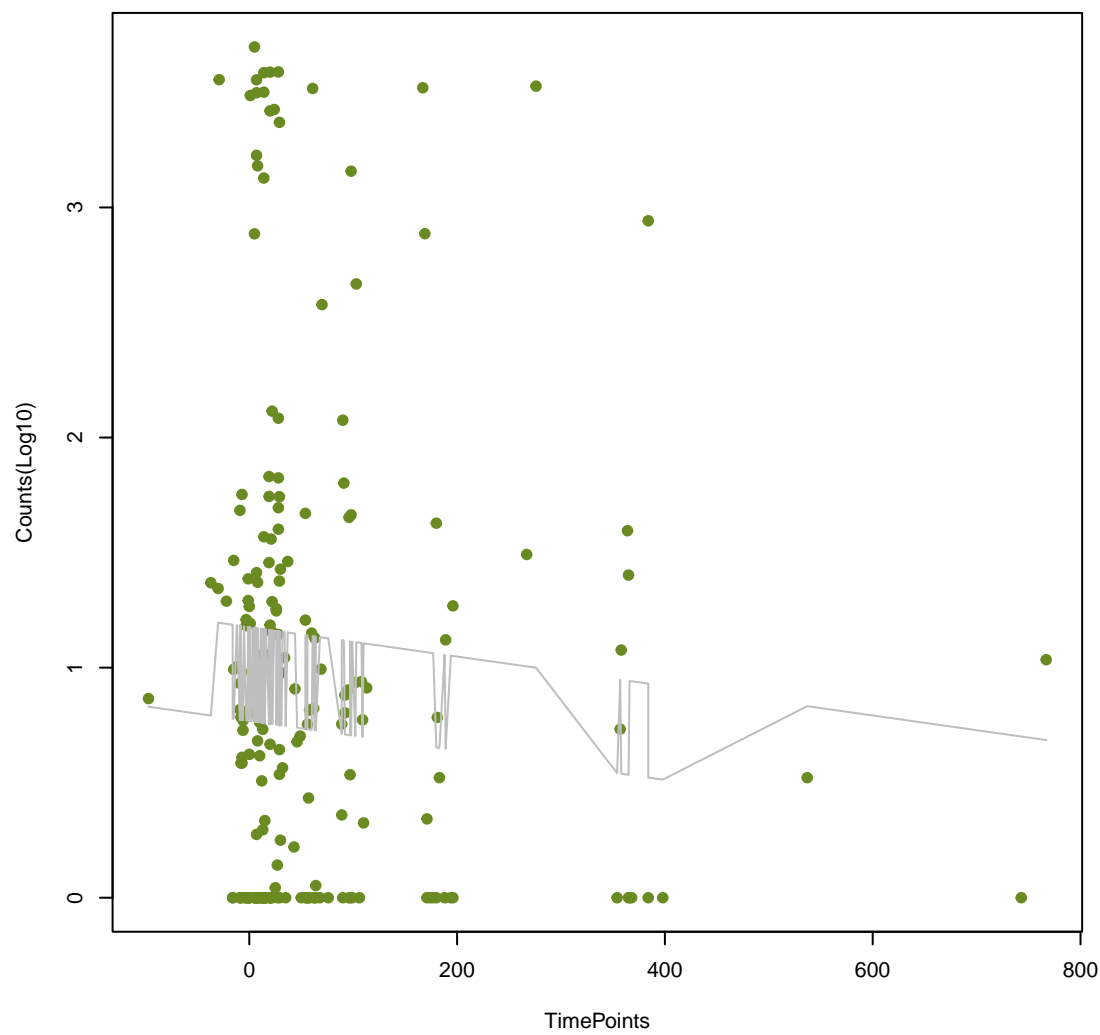
EC-13
ANOVA P=0.278, adj. ANOVA-P=0.569



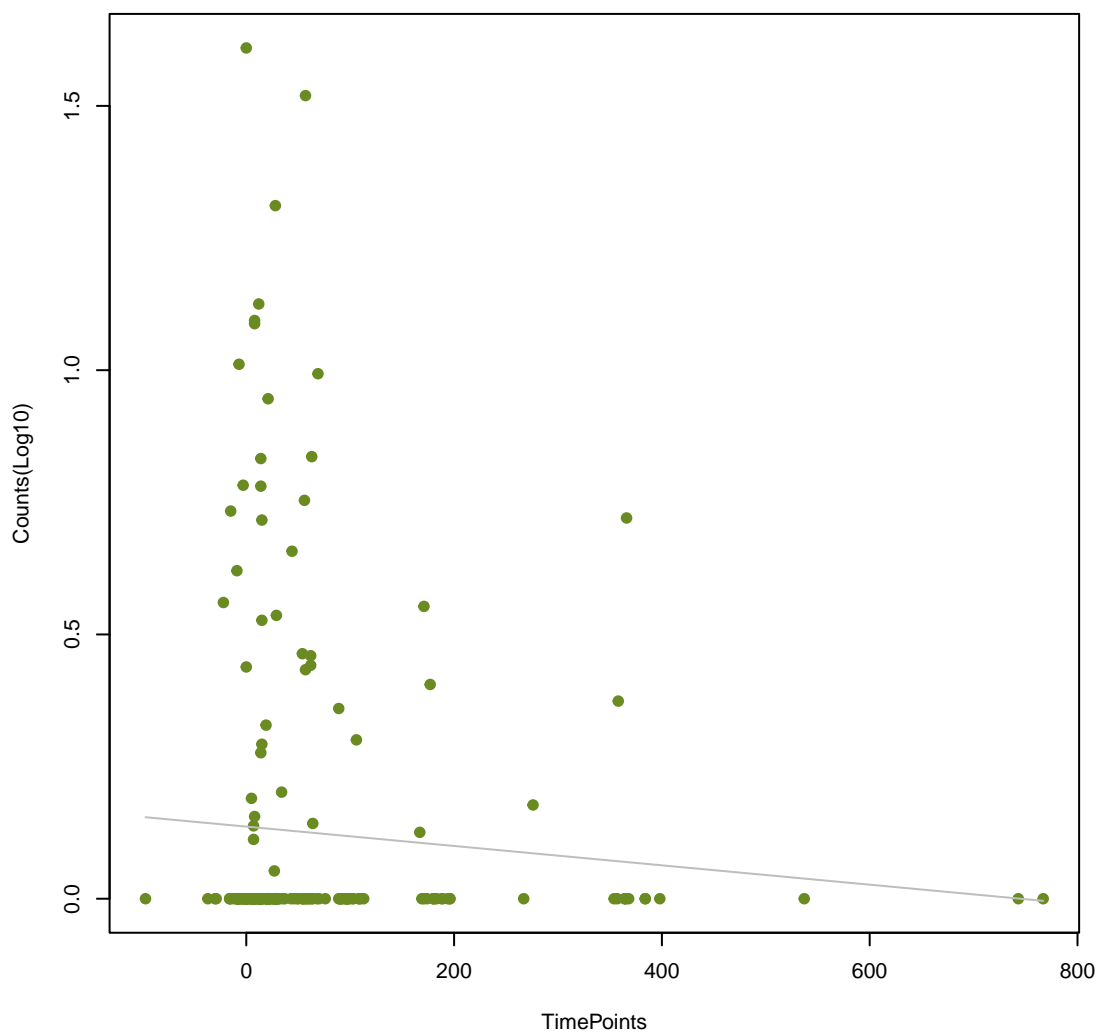
LEN-14
ANOVA P=0.282, adj. ANOVA-P=0.573



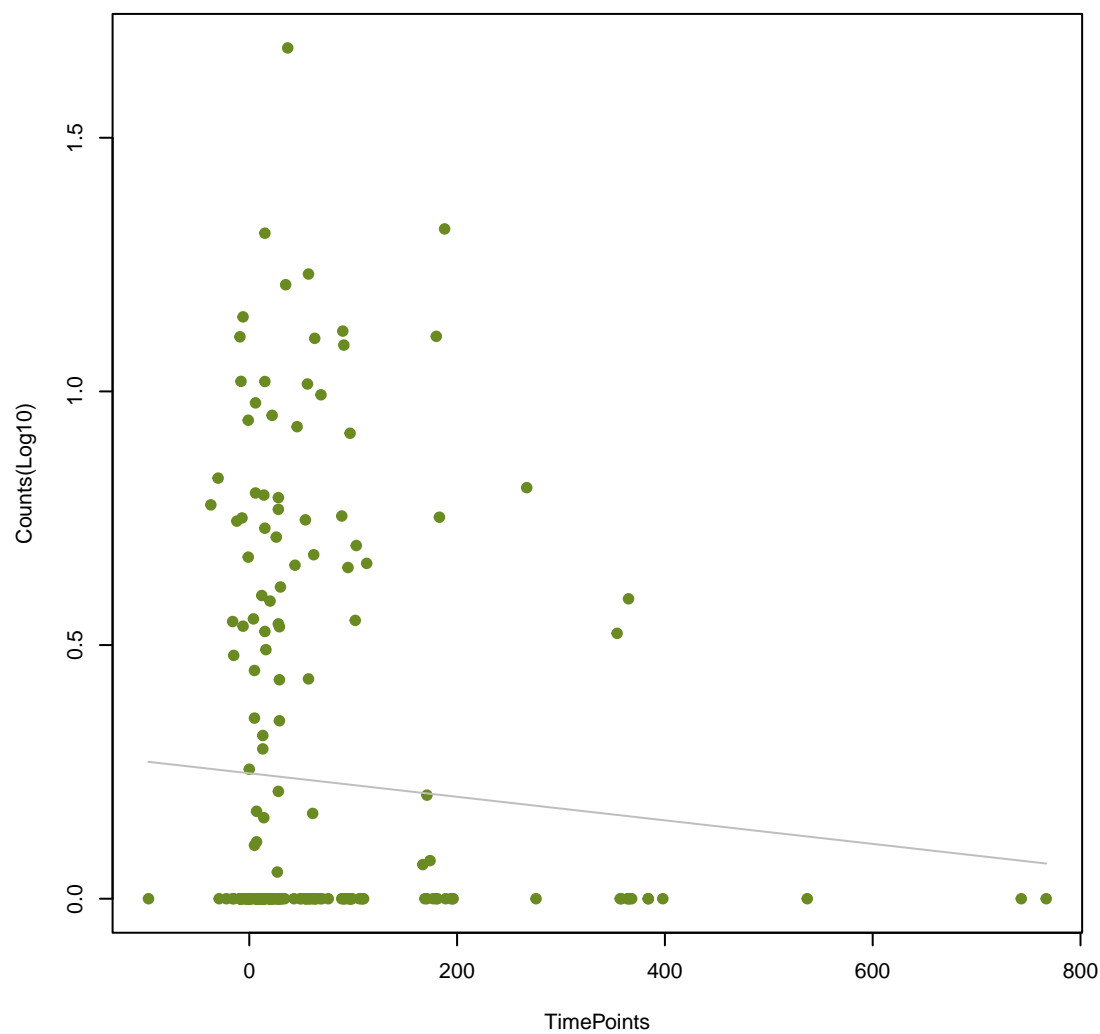
vanA
ANOVA P=0.285, adj. ANOVA-P=0.576

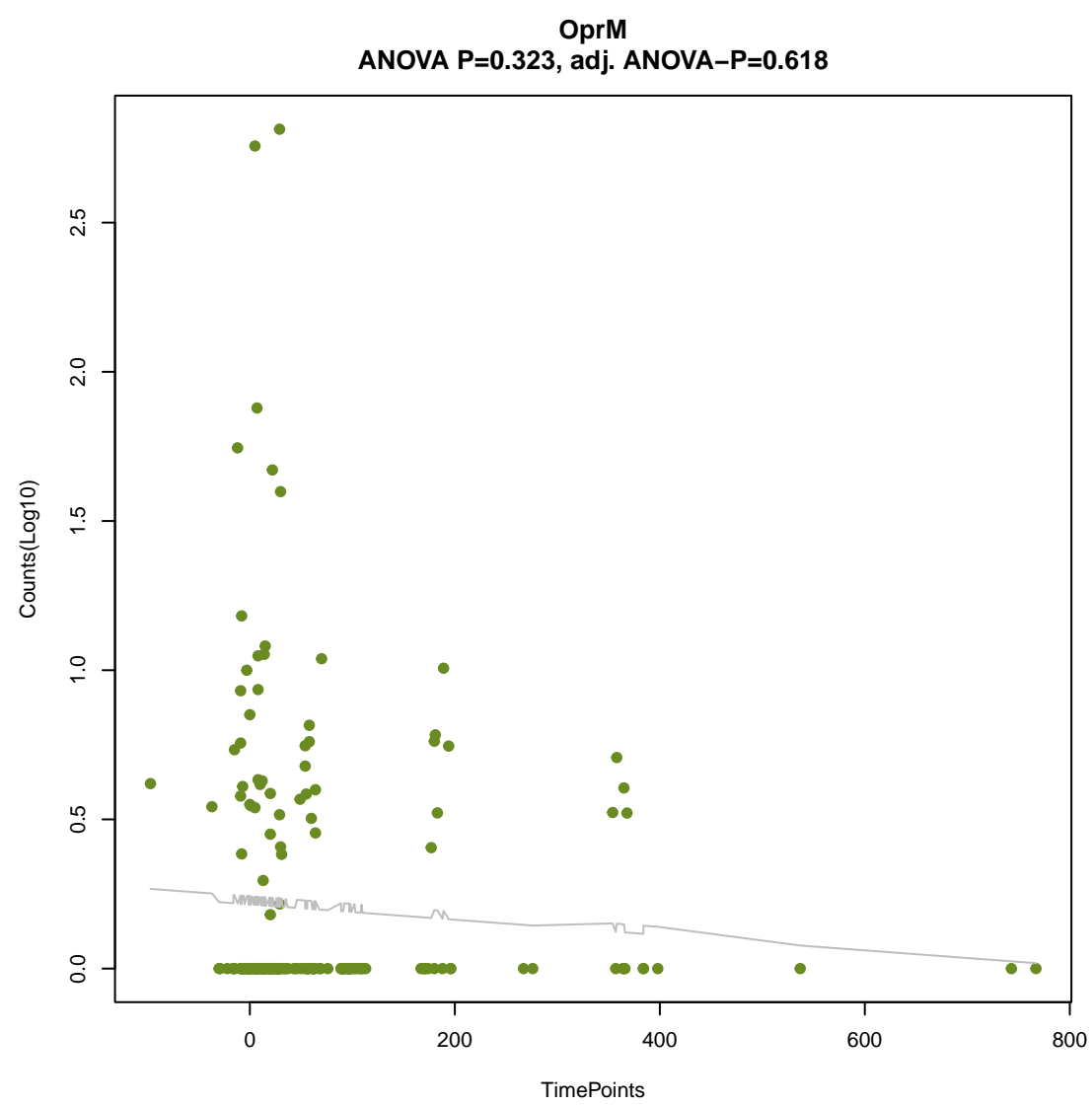
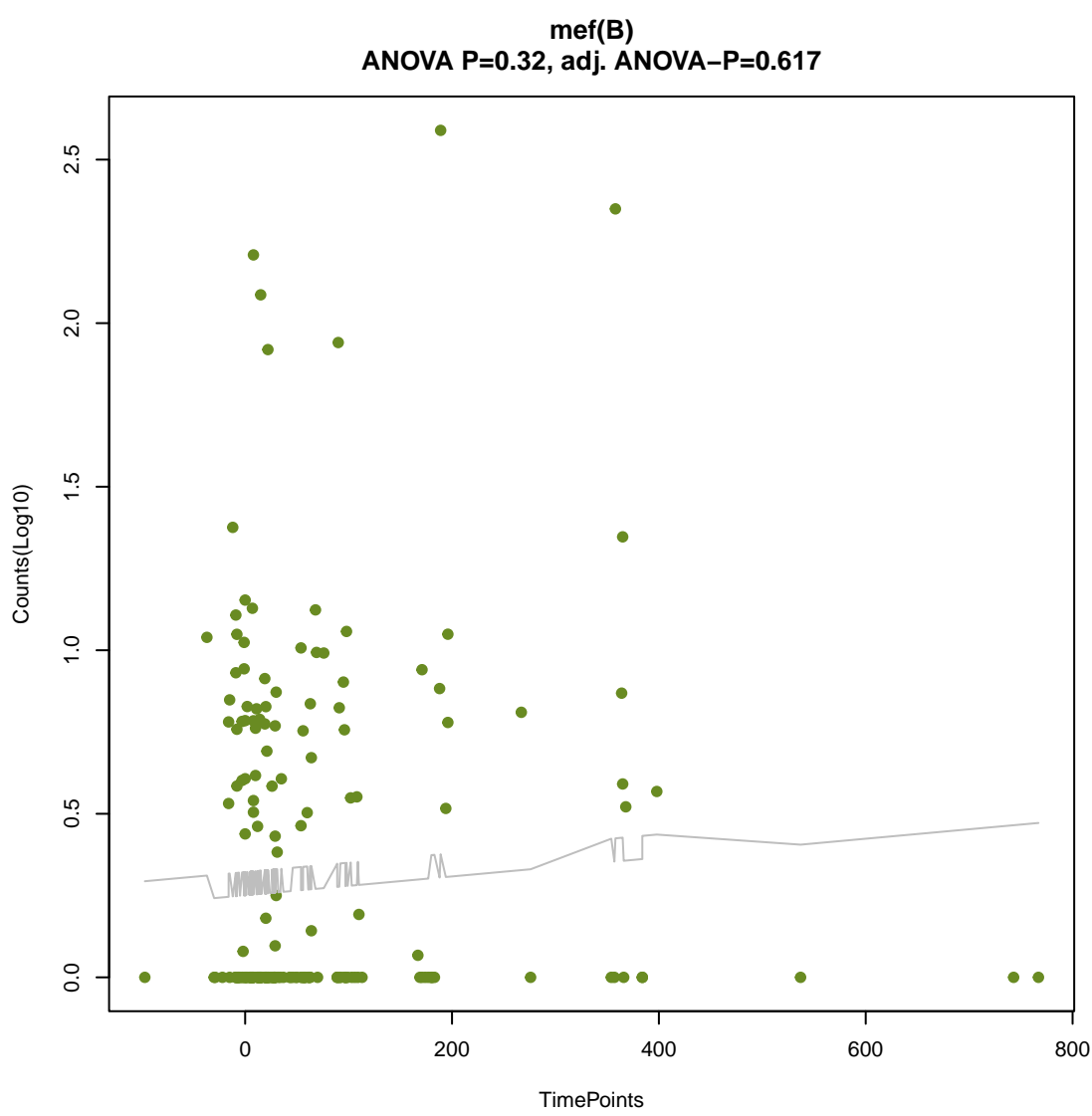
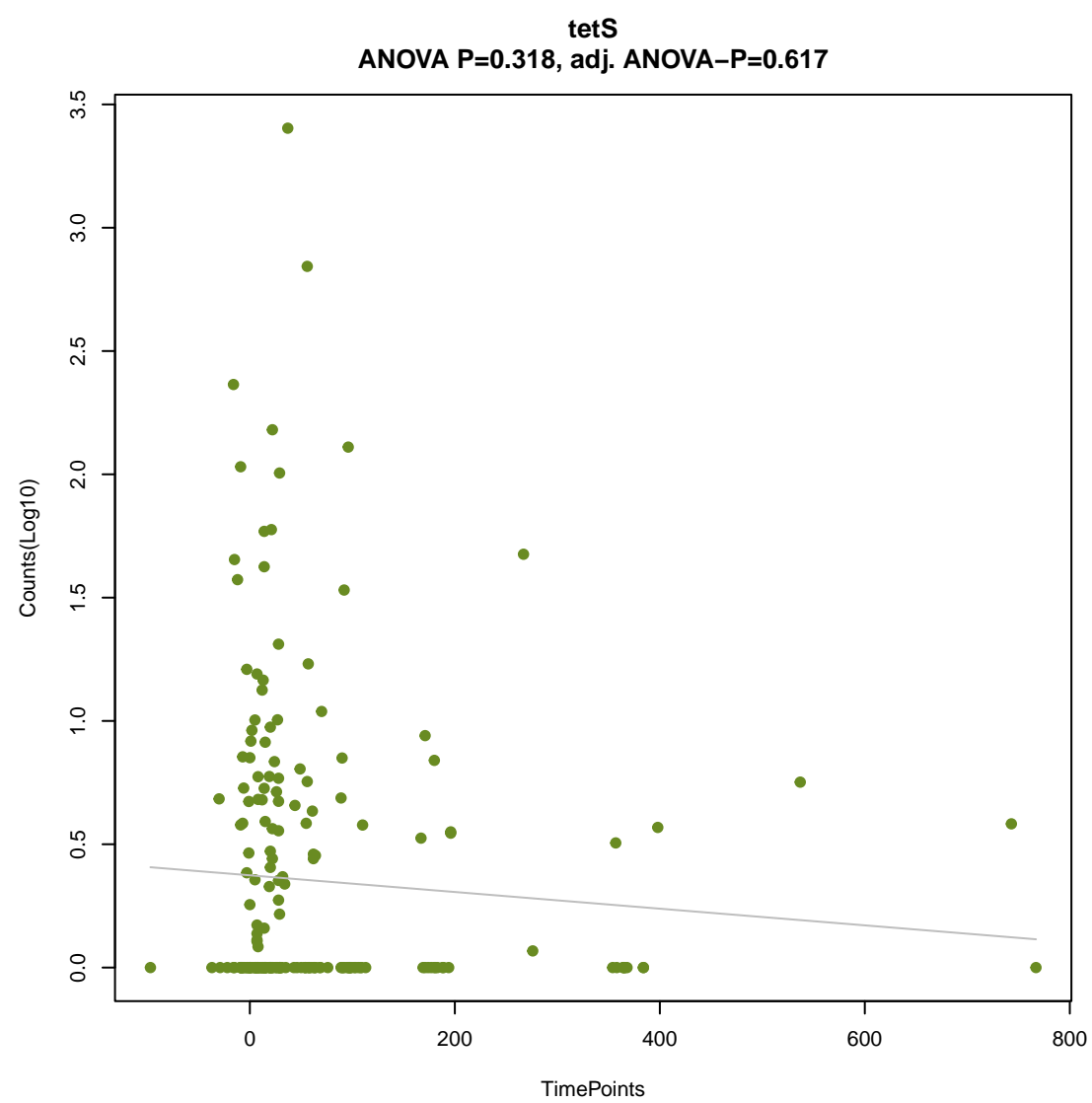
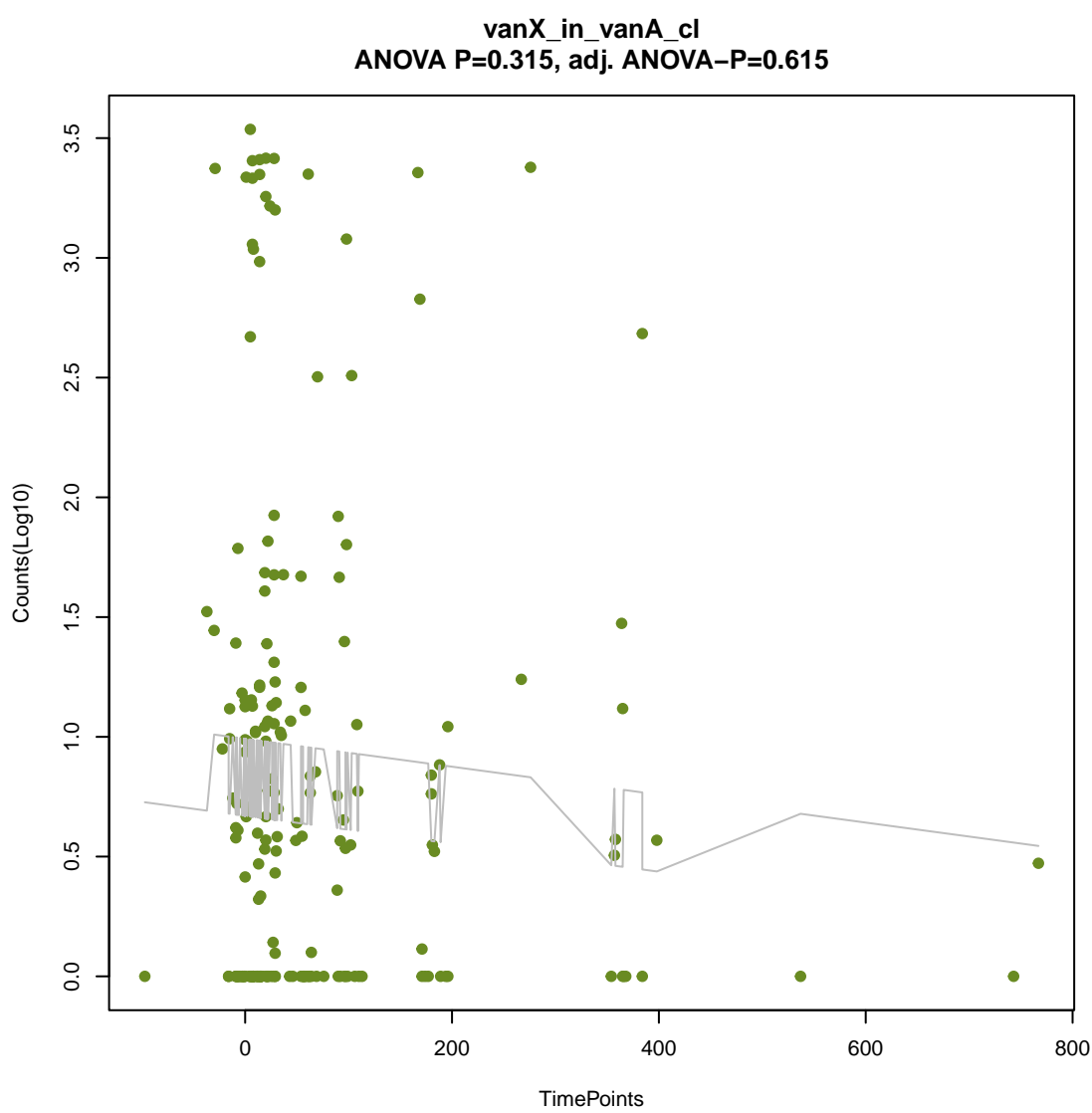
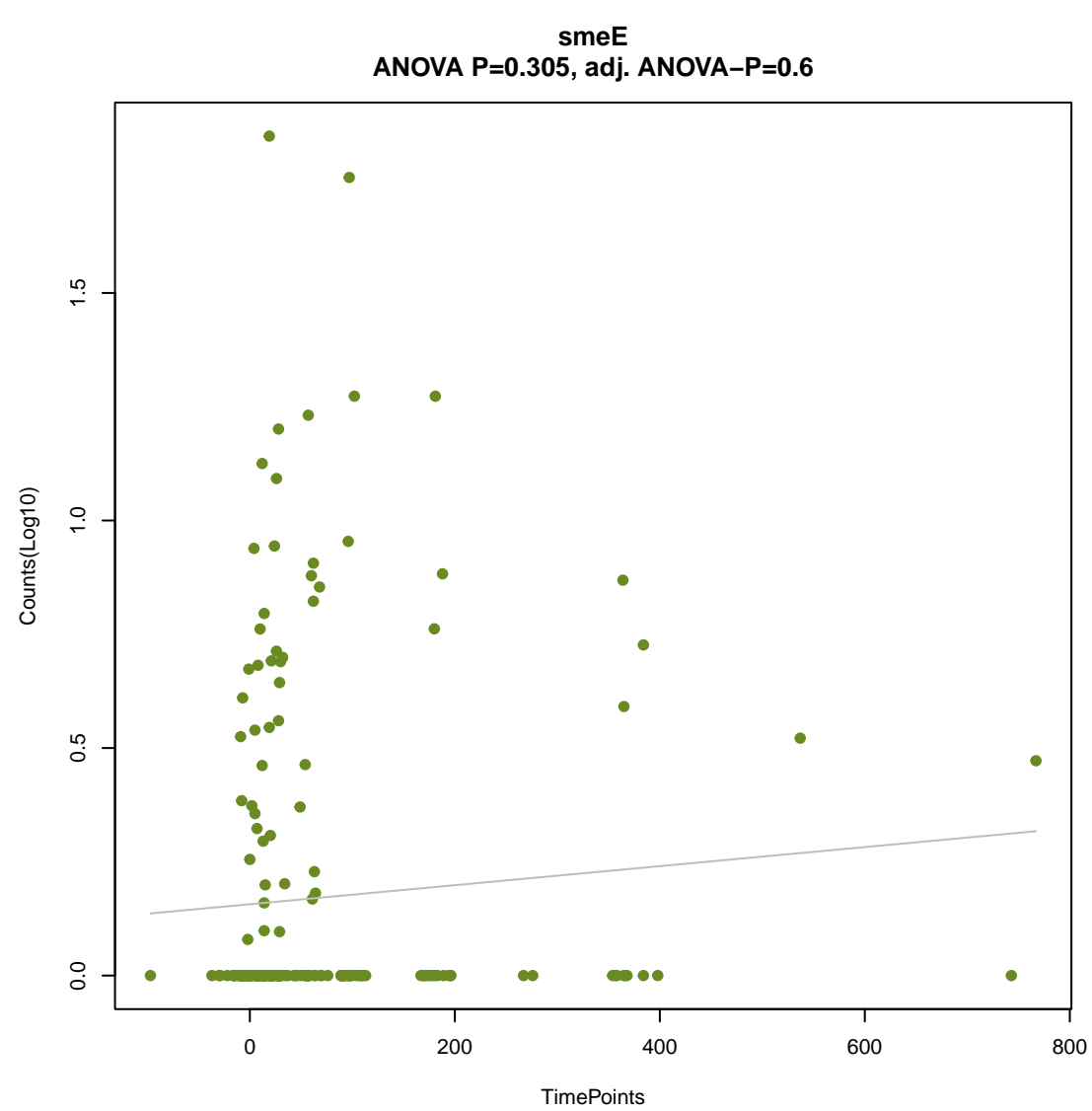
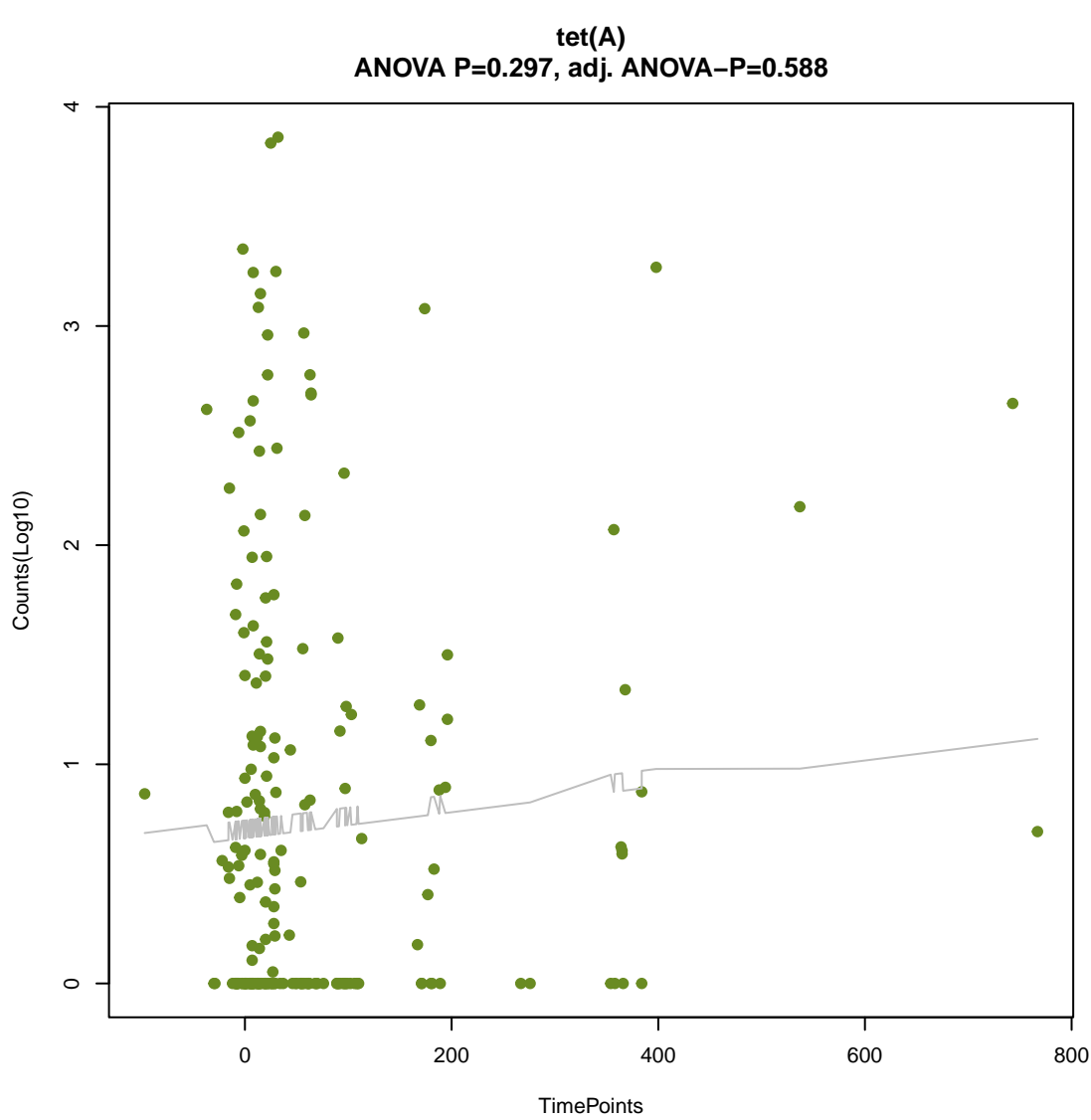


dfrA15
ANOVA P=0.291, adj. ANOVA-P=0.585

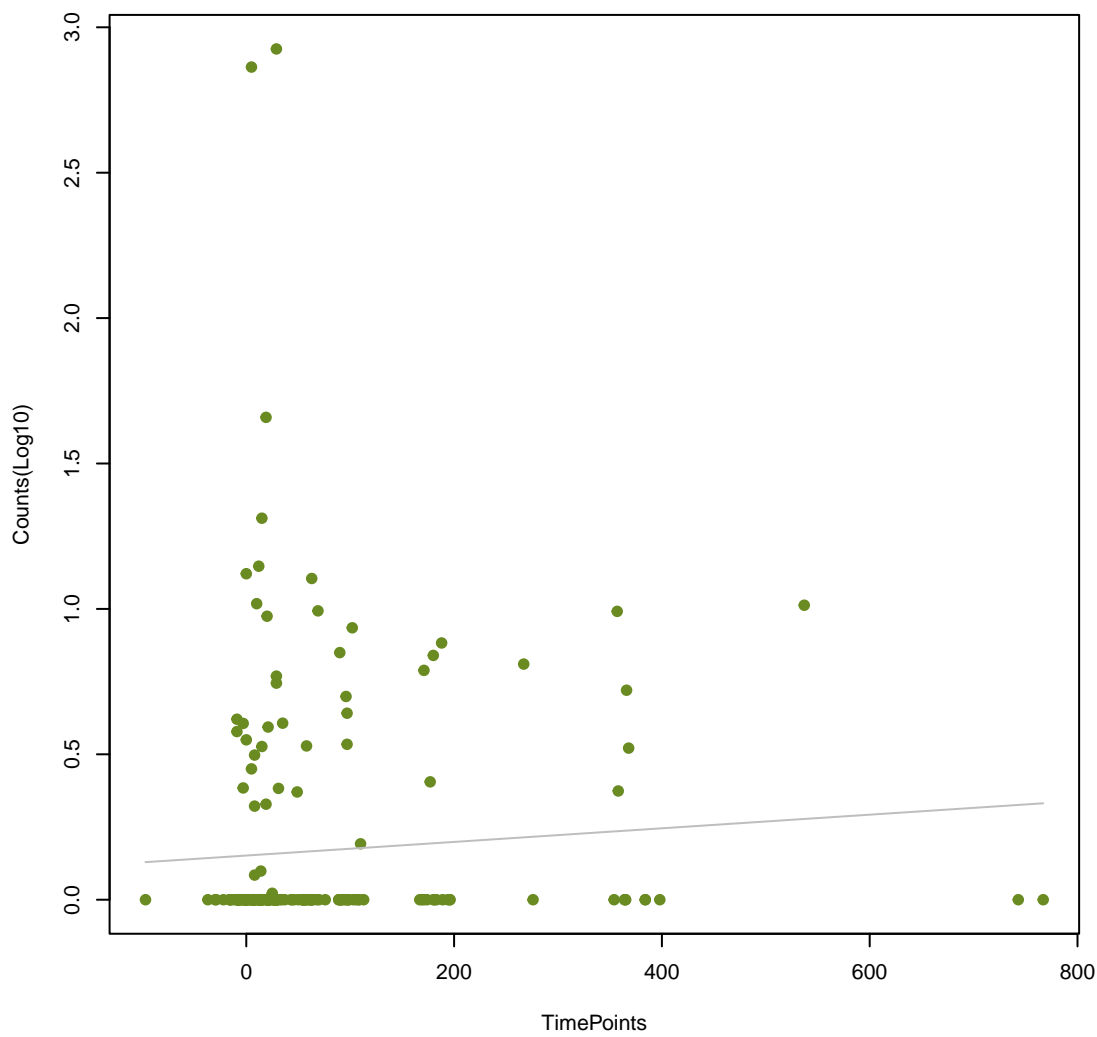


AxyY
ANOVA P=0.295, adj. ANOVA-P=0.588

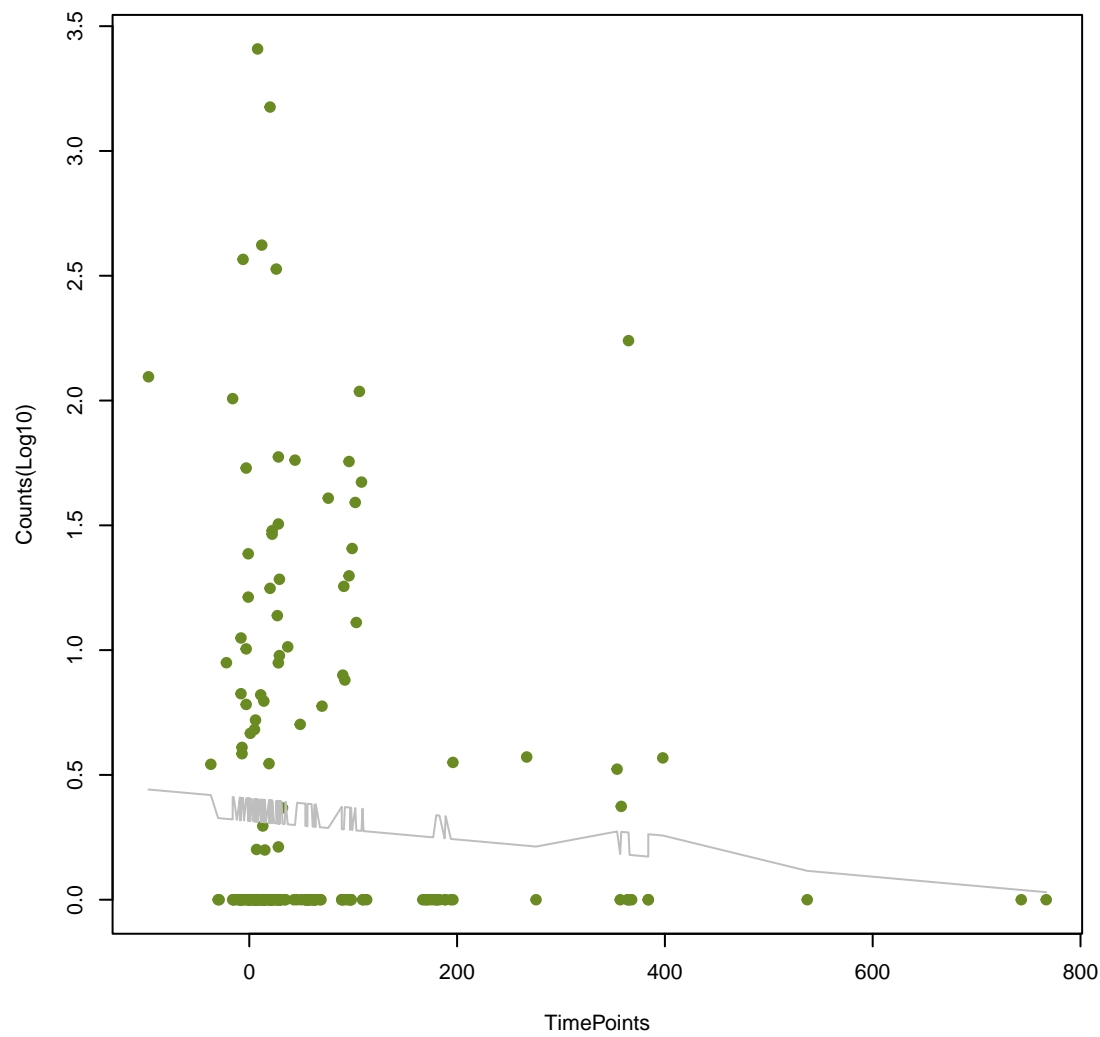




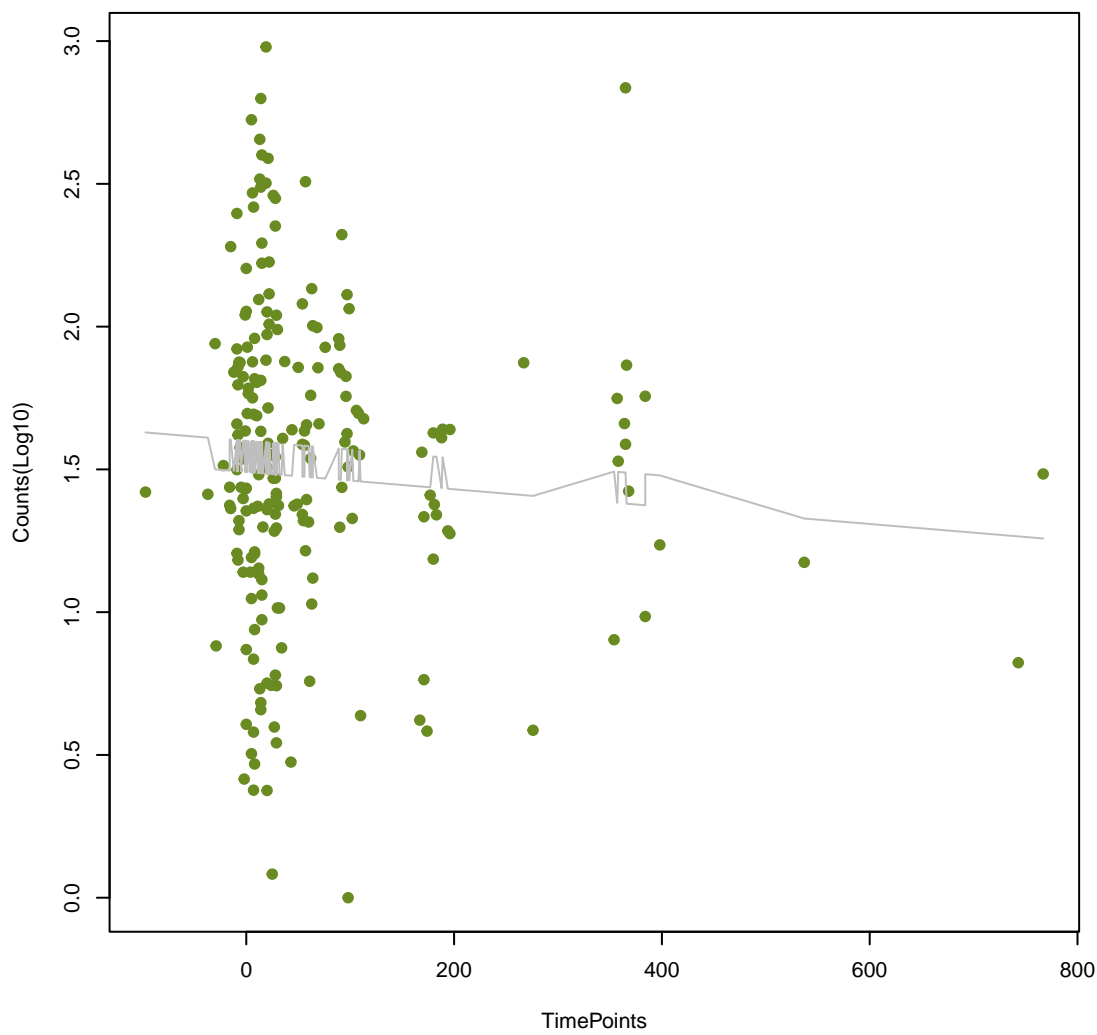
OpmD
ANOVA P=0.329, adj. ANOVA-P=0.626



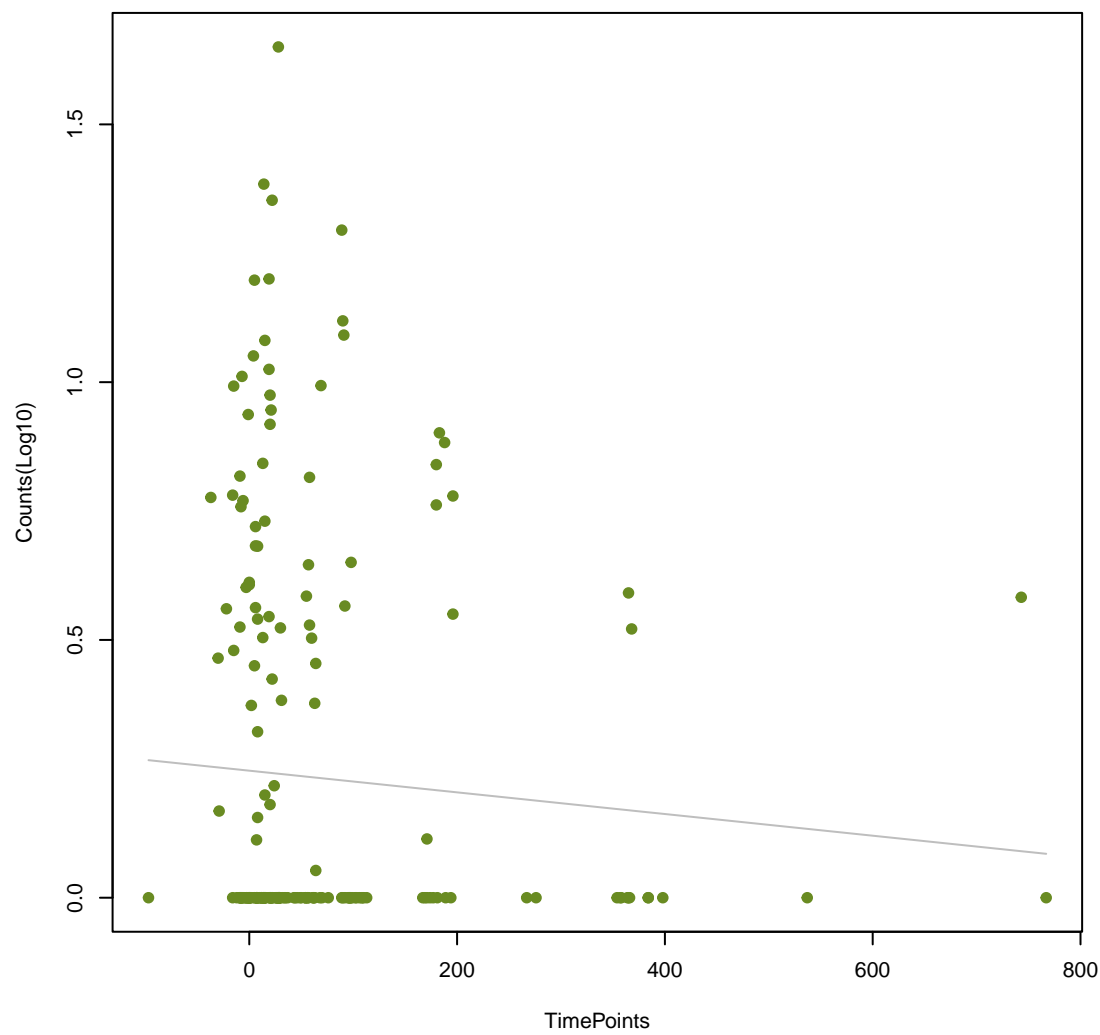
ErmQ
ANOVA P=0.334, adj. ANOVA-P=0.632



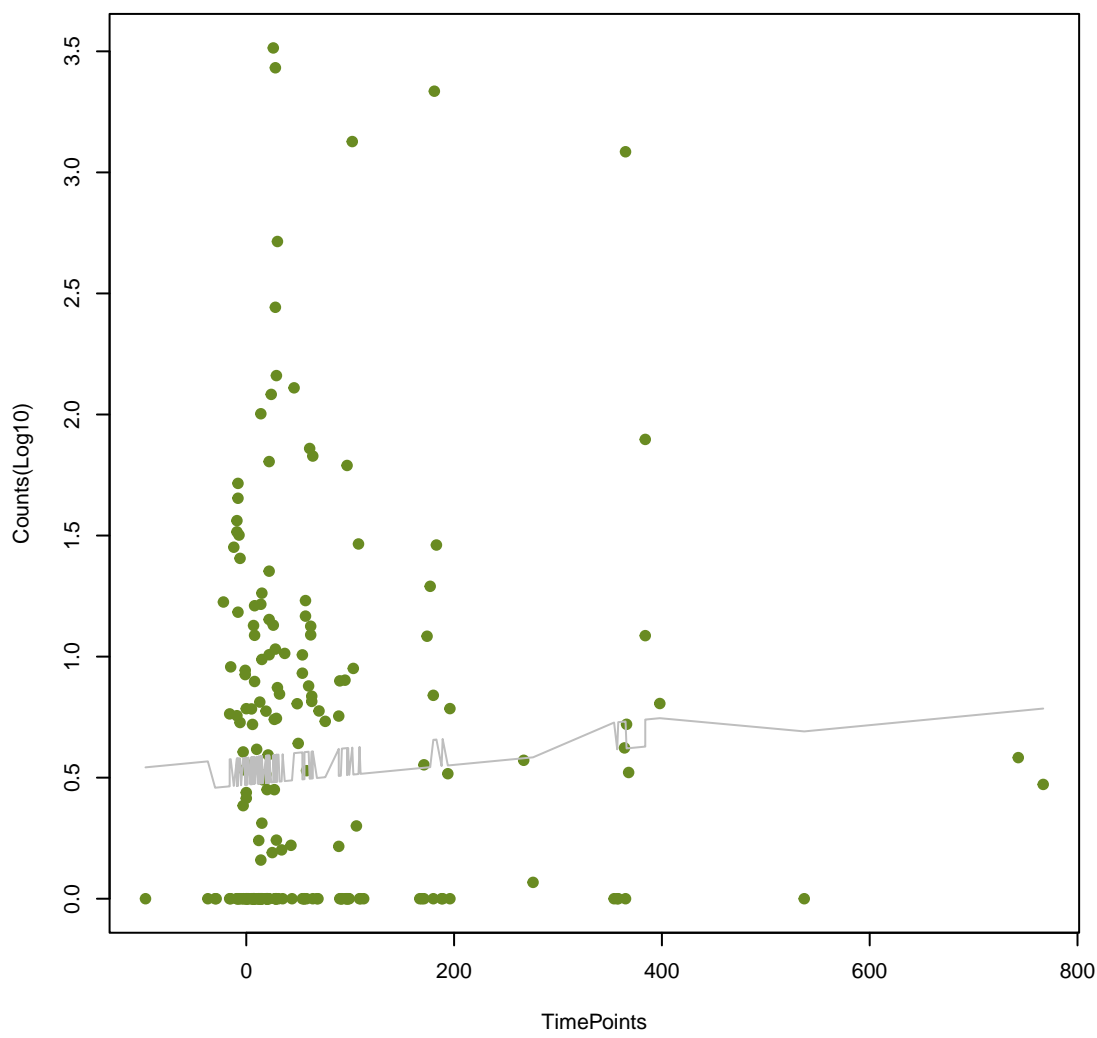
vanV_in_vanB_cl
ANOVA P=0.337, adj. ANOVA-P=0.633



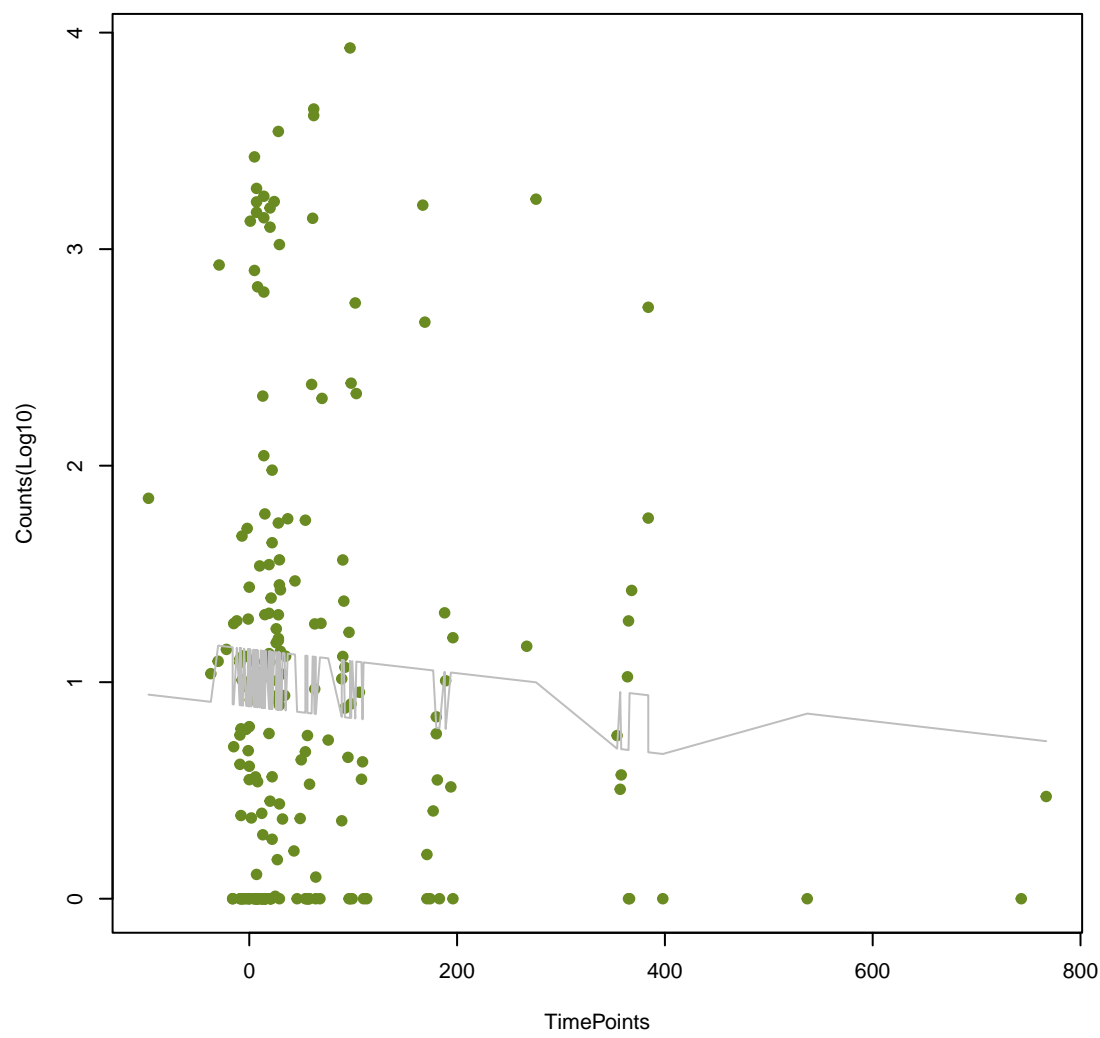
HERA-1
ANOVA P=0.34, adj. ANOVA-P=0.633



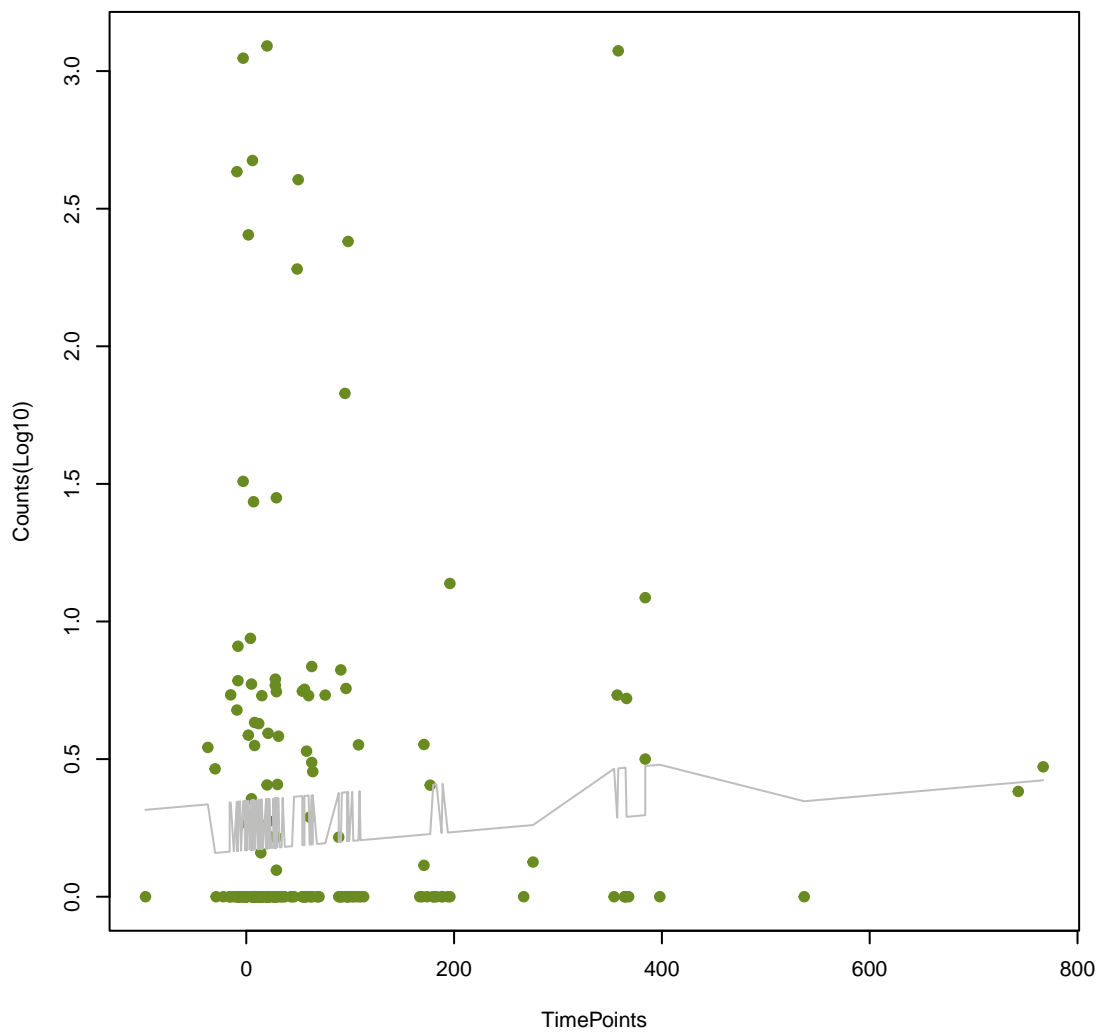
LptD
ANOVA P=0.341, adj. ANOVA-P=0.633



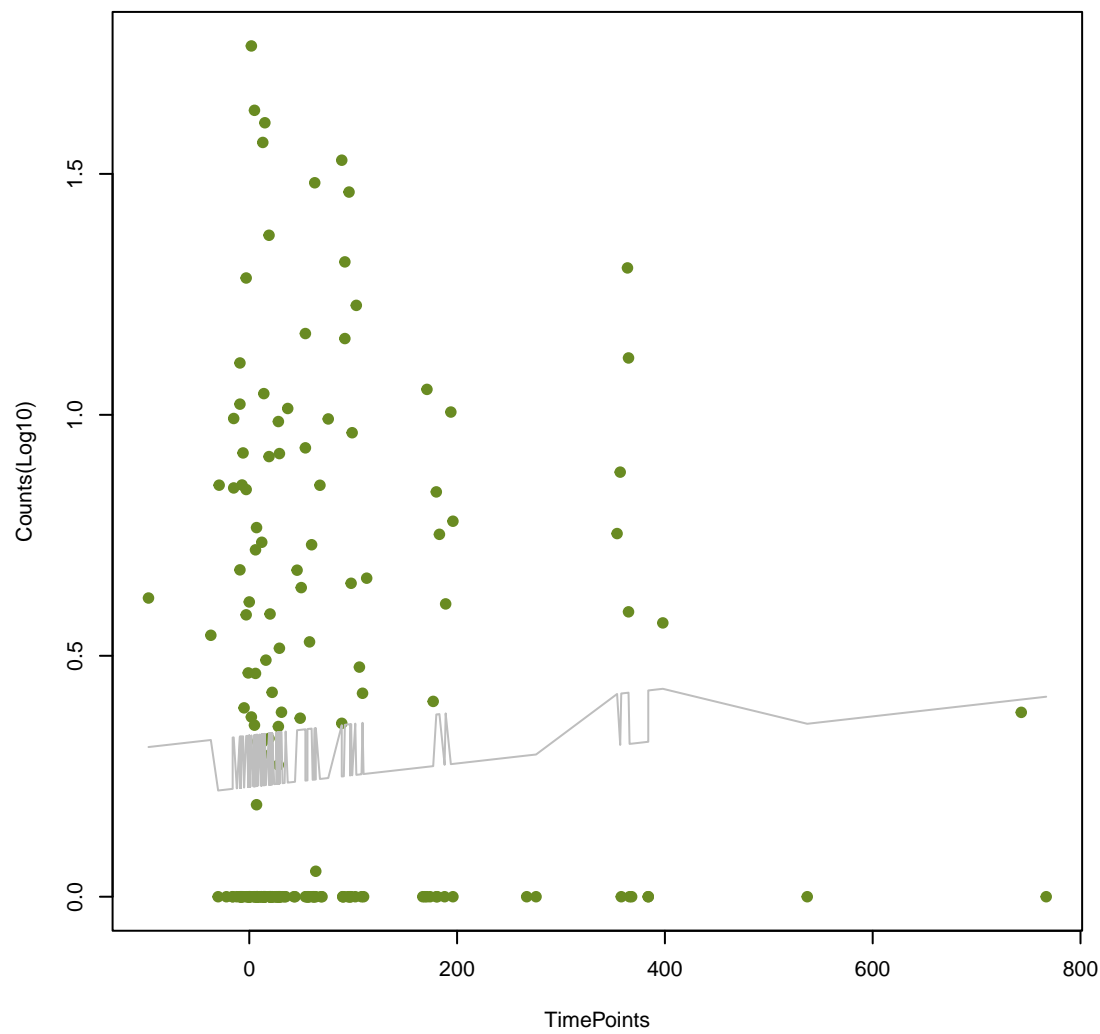
efmA
ANOVA P=0.344, adj. ANOVA-P=0.635



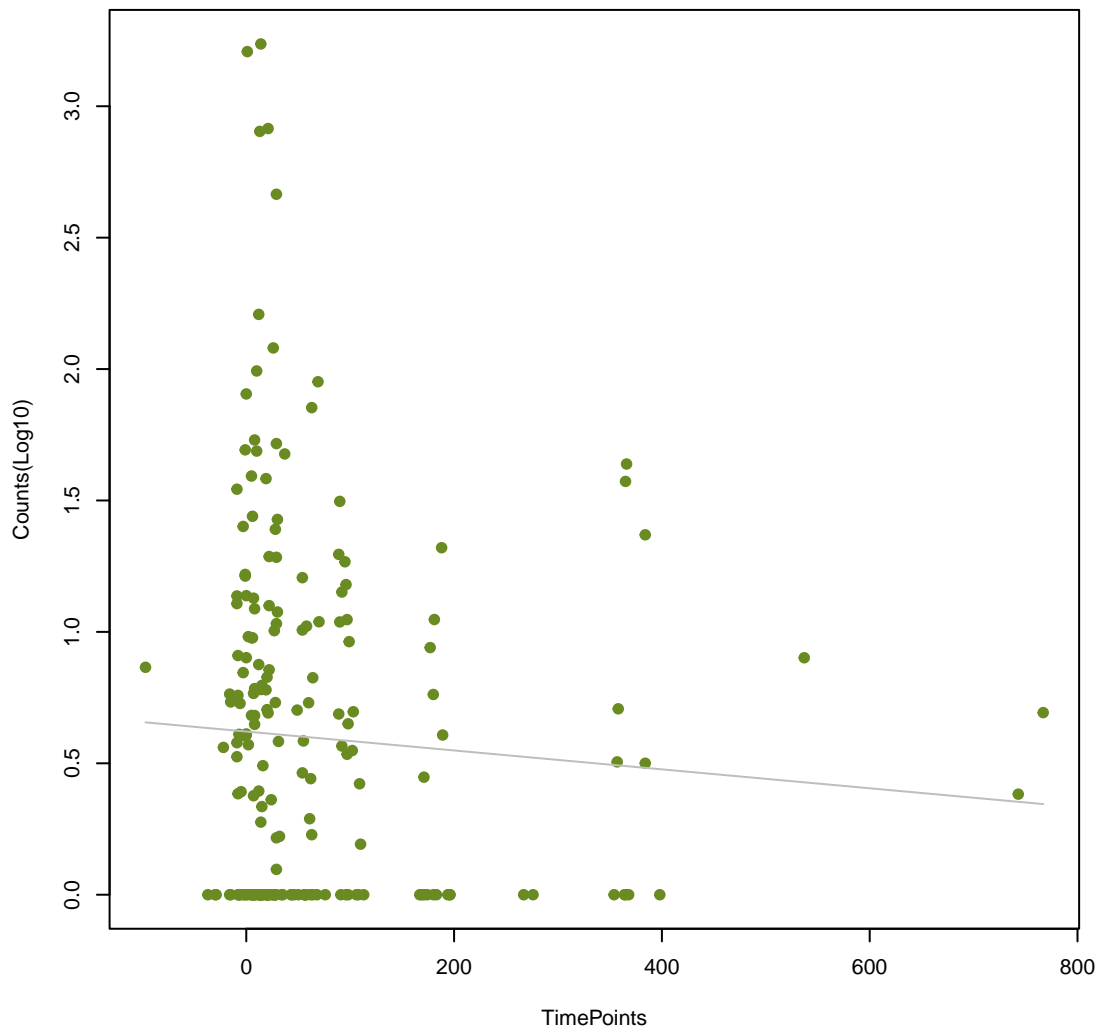
OXA-347
ANOVA P=0.349, adj. ANOVA-P=0.637



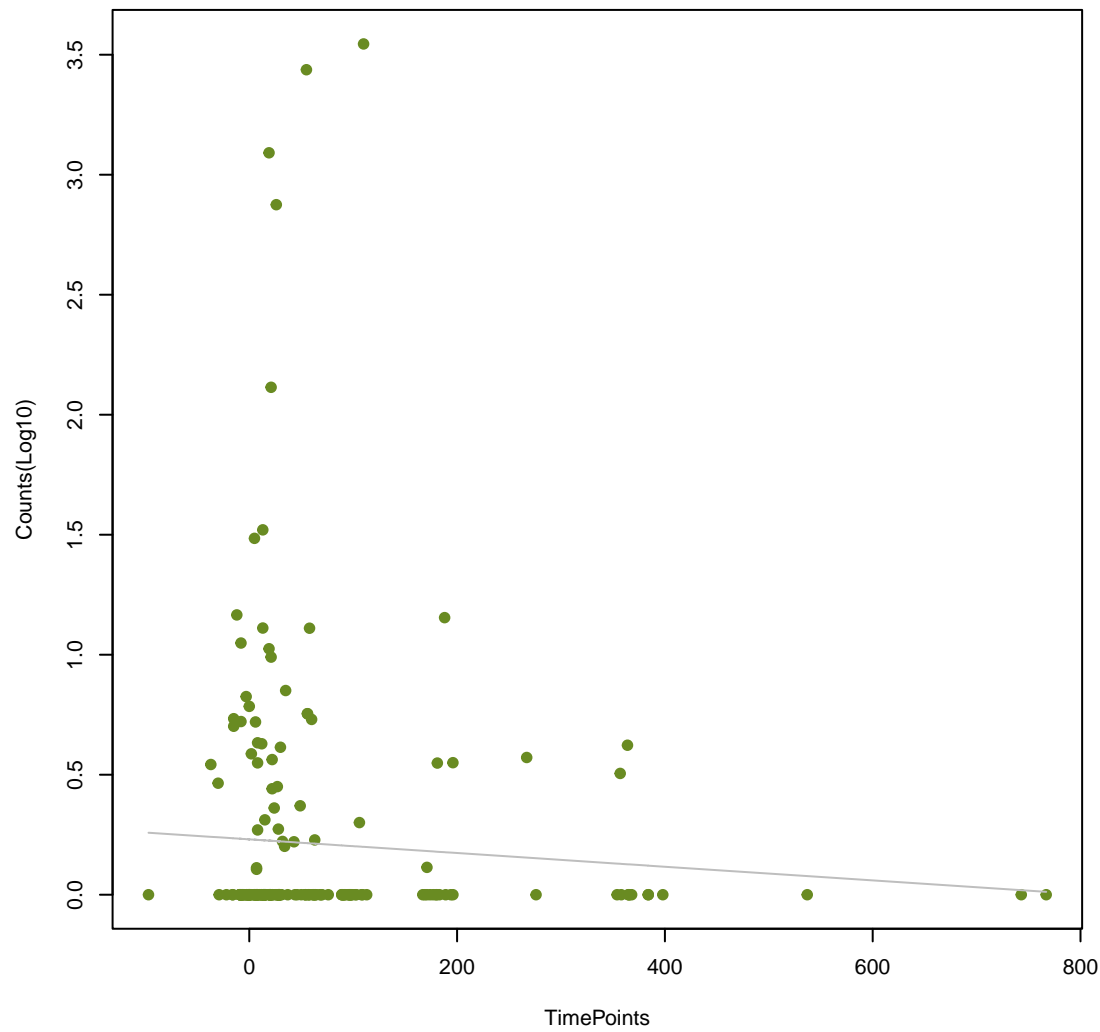
CDD-1
ANOVA P=0.349, adj. ANOVA-P=0.637



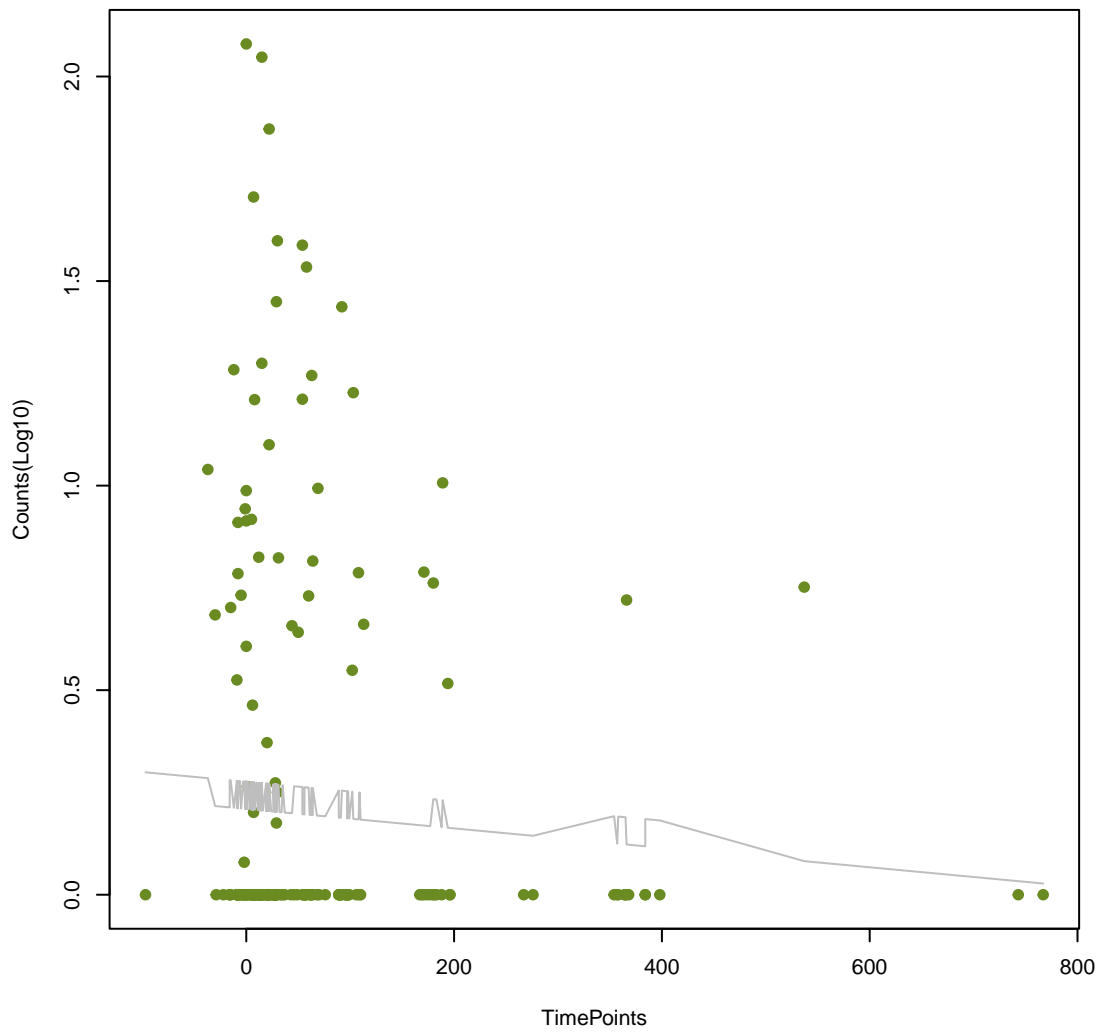
patB
ANOVA P=0.364, adj. ANOVA-P=0.656



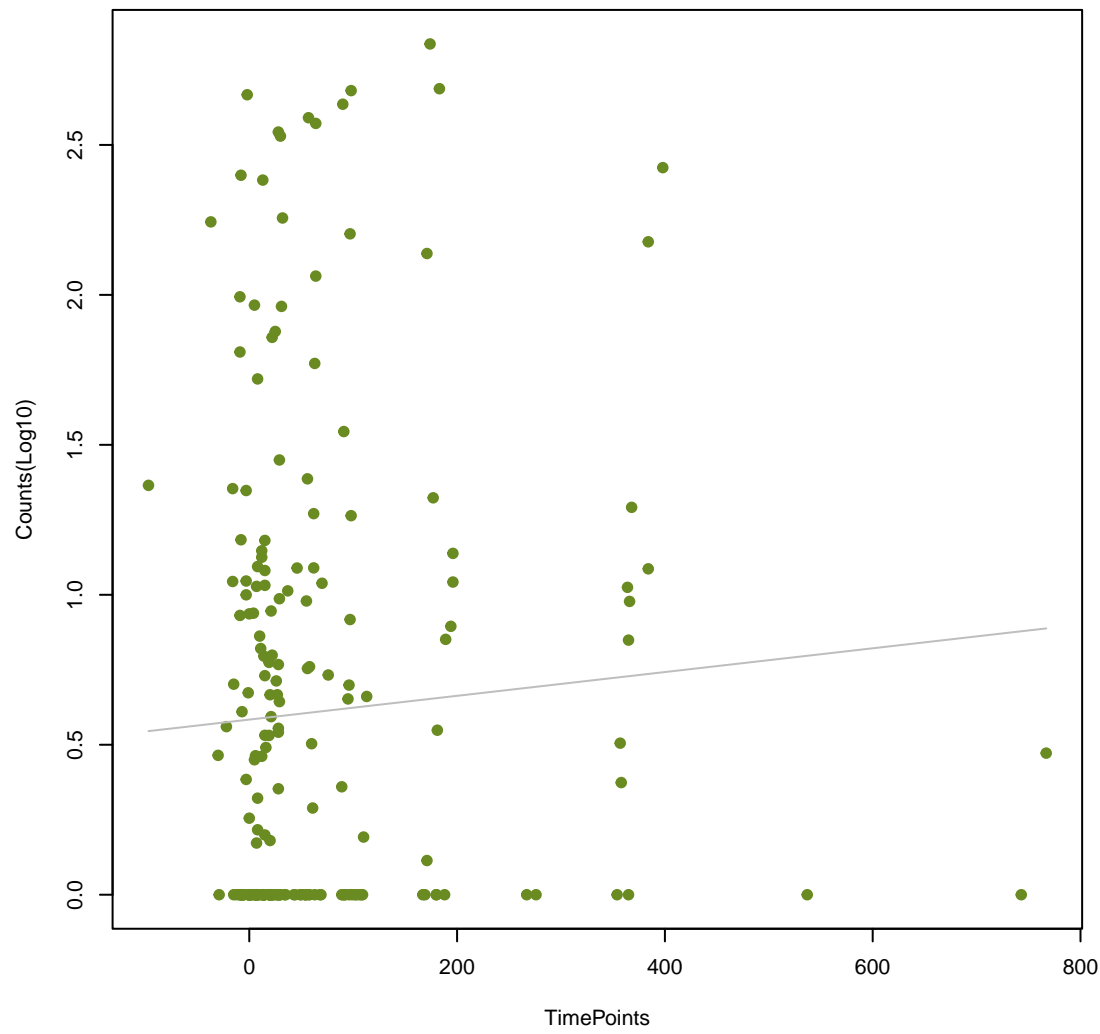
msrA
ANOVA P=0.364, adj. ANOVA-P=0.656



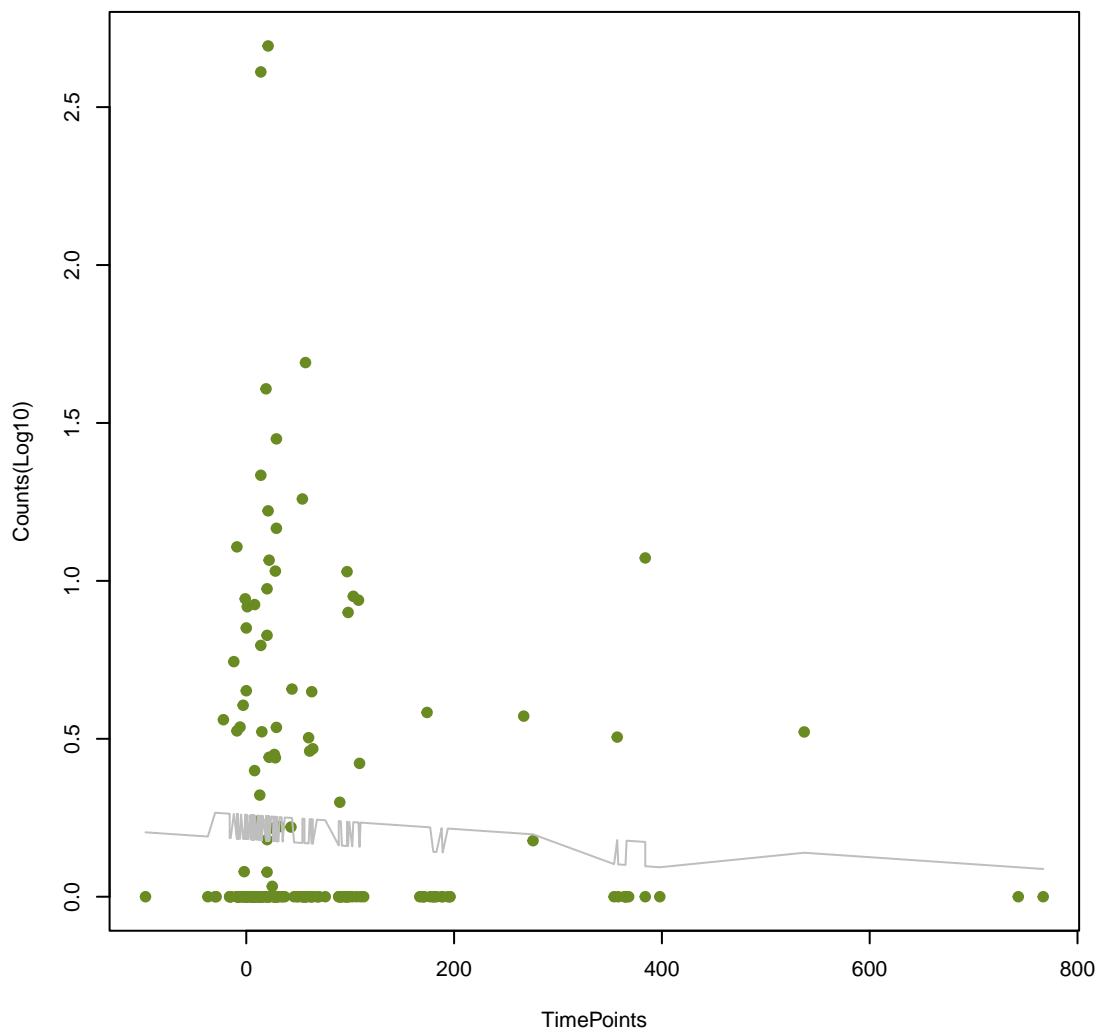
opcM
ANOVA P=0.375, adj. ANOVA-P=0.656



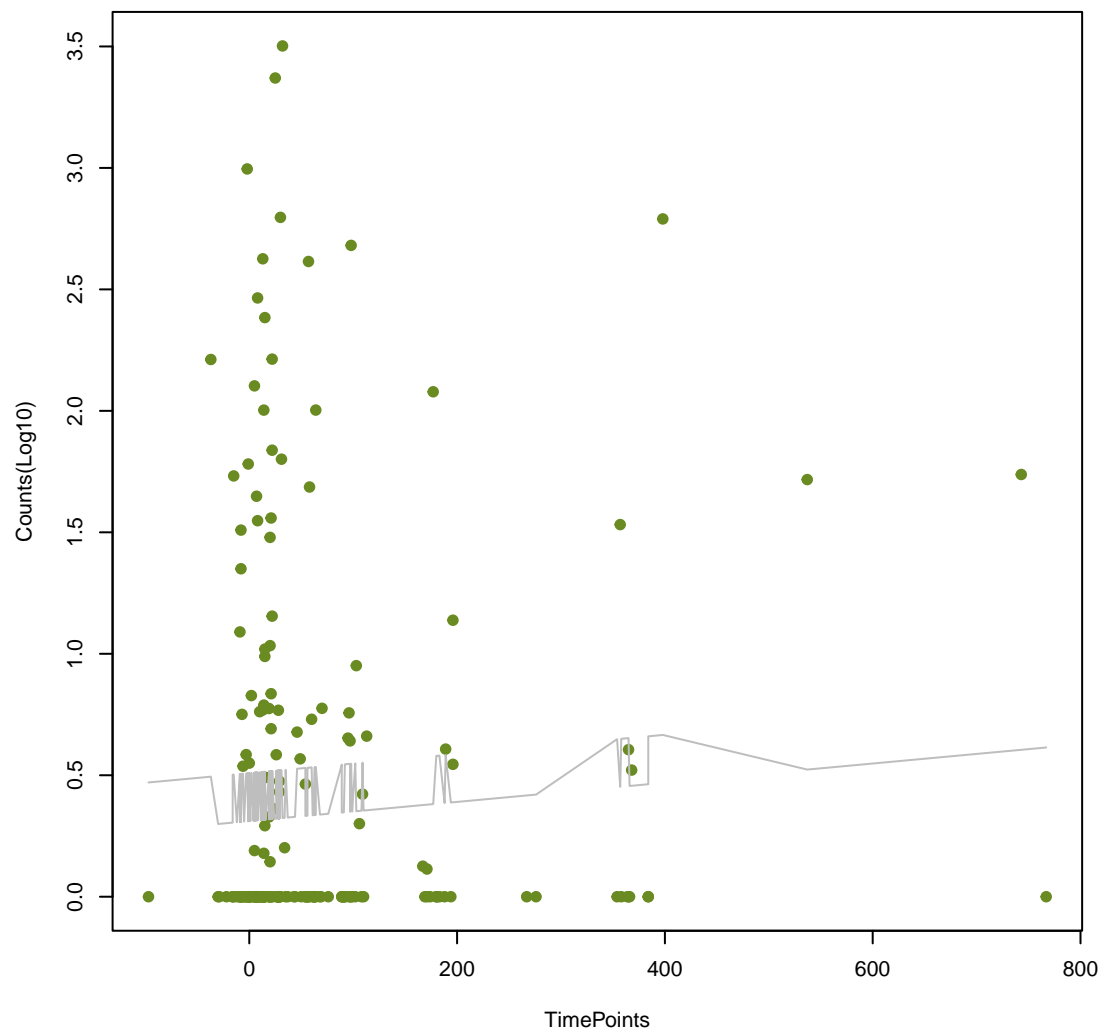
ugd
ANOVA P=0.375, adj. ANOVA-P=0.656



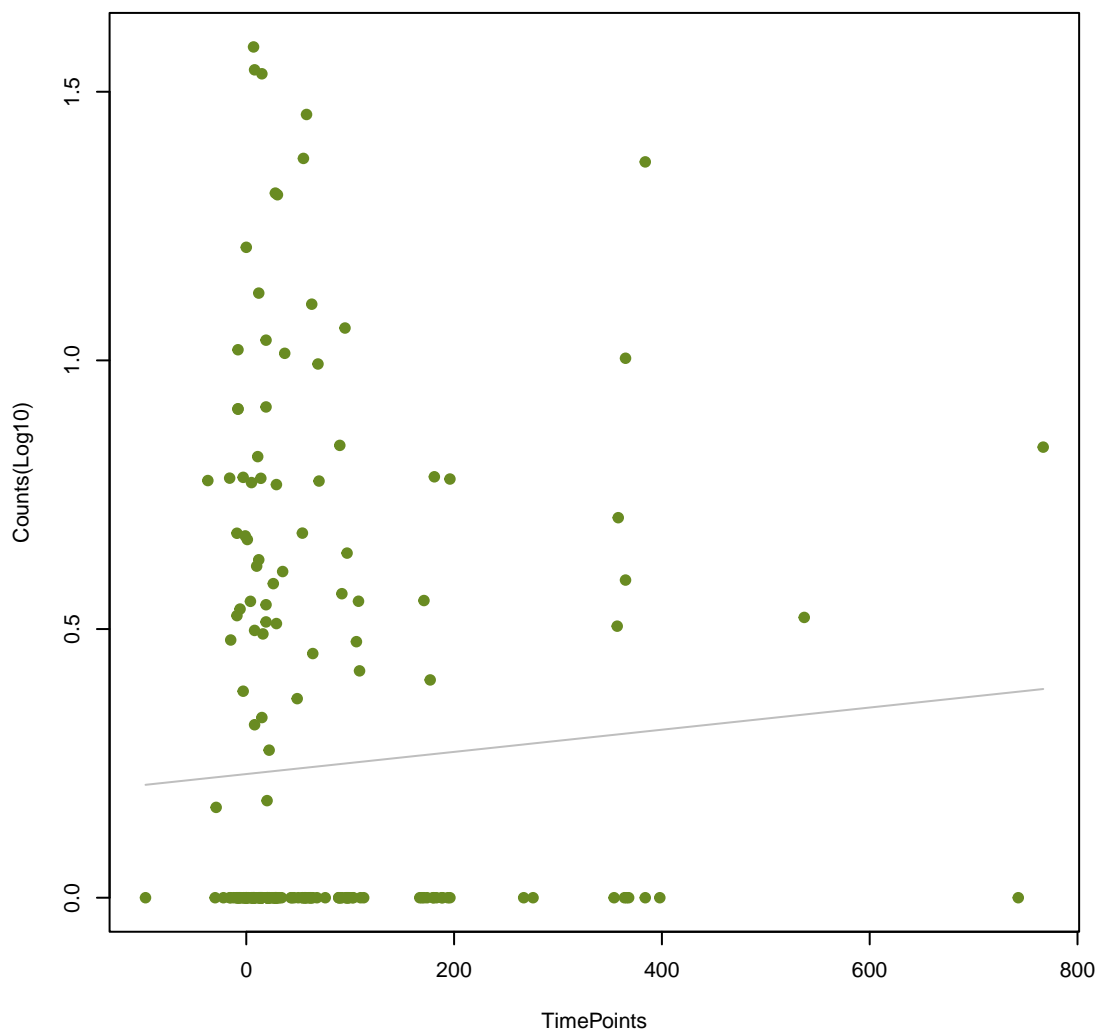
MdtK
ANOVA P=0.377, adj. ANOVA-P=0.656



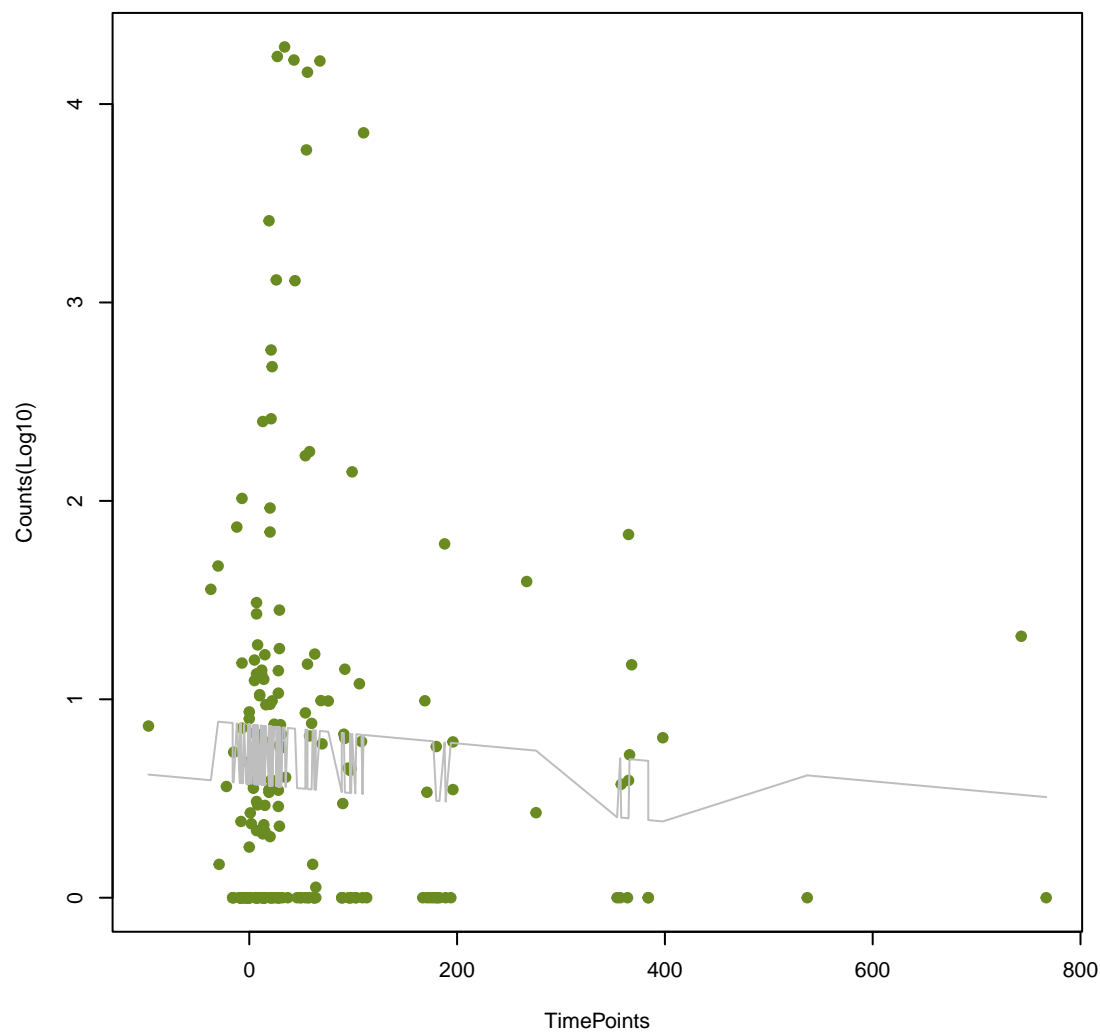
TEM-192
ANOVA P=0.379, adj. ANOVA-P=0.656



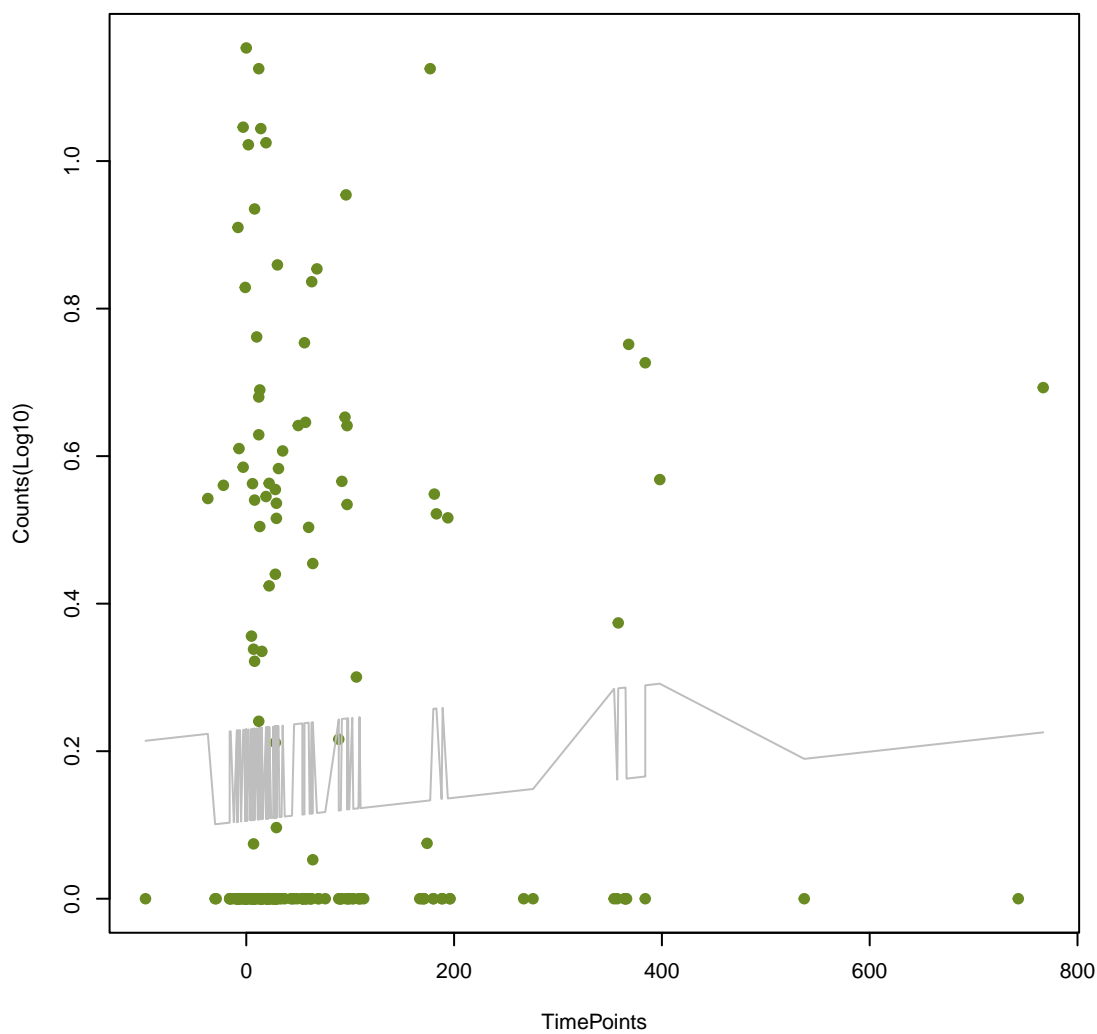
blt
ANOVA P=0.379, adj. ANOVA-P=0.656



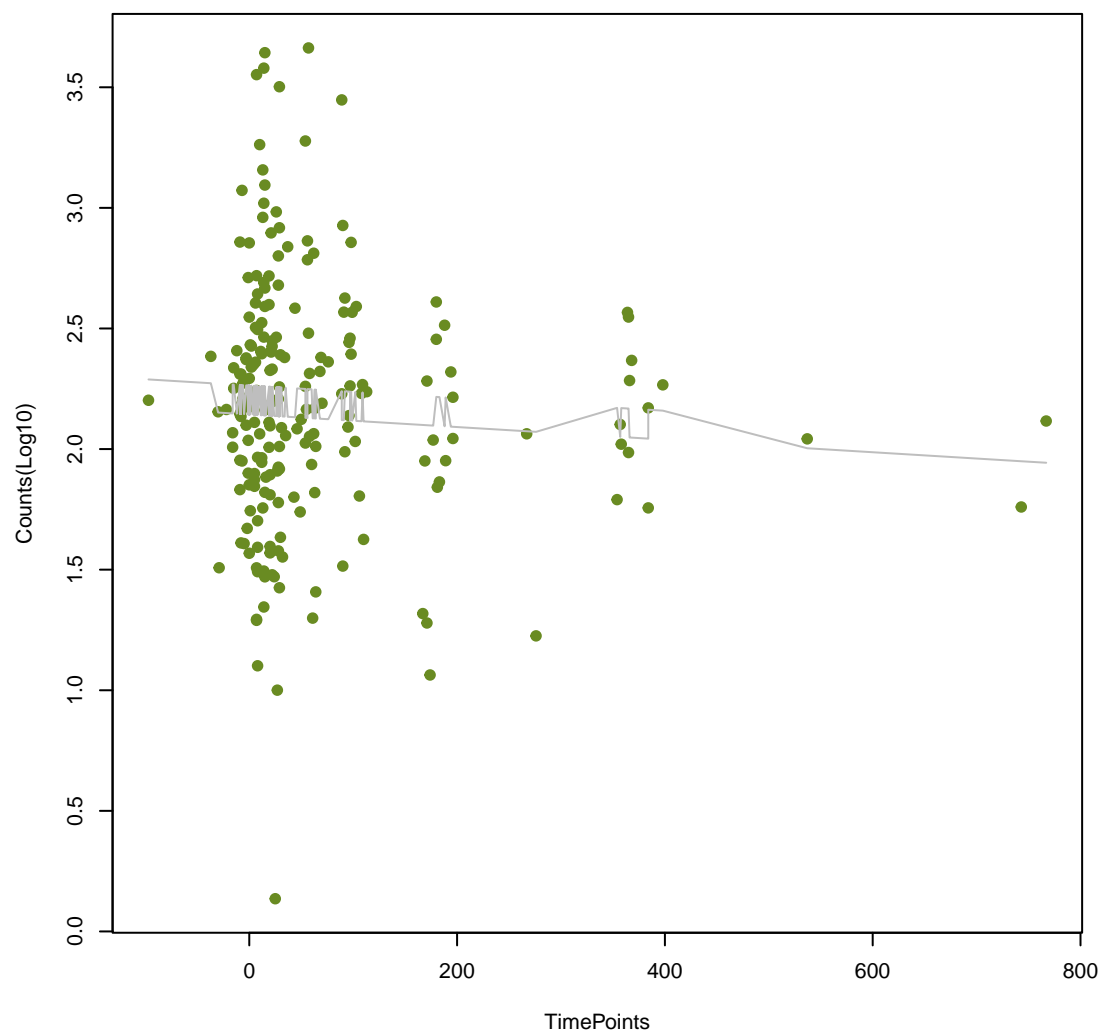
Saur_mupA_MUP
ANOVA P=0.381, adj. ANOVA-P=0.656



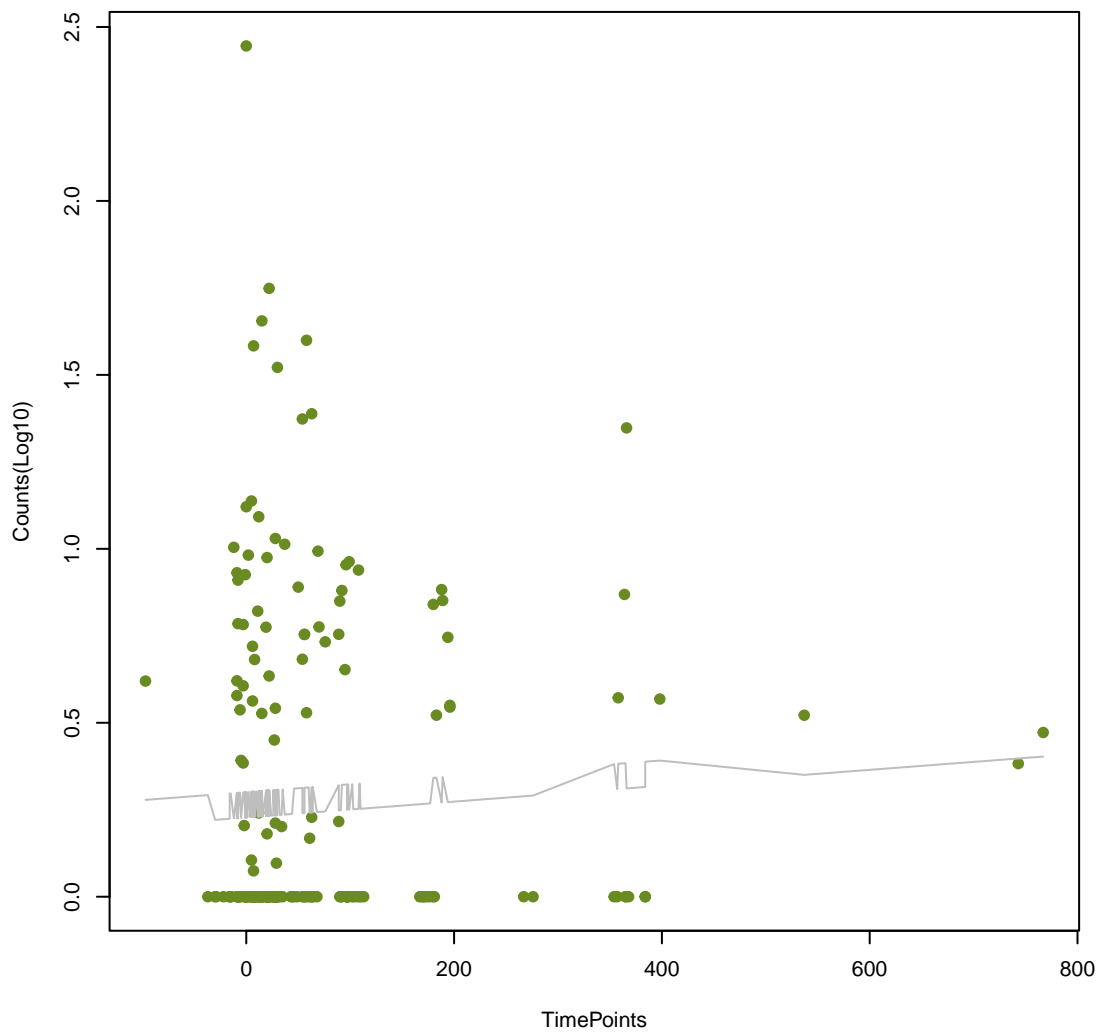
tlrC
ANOVA P=0.381, adj. ANOVA-P=0.656



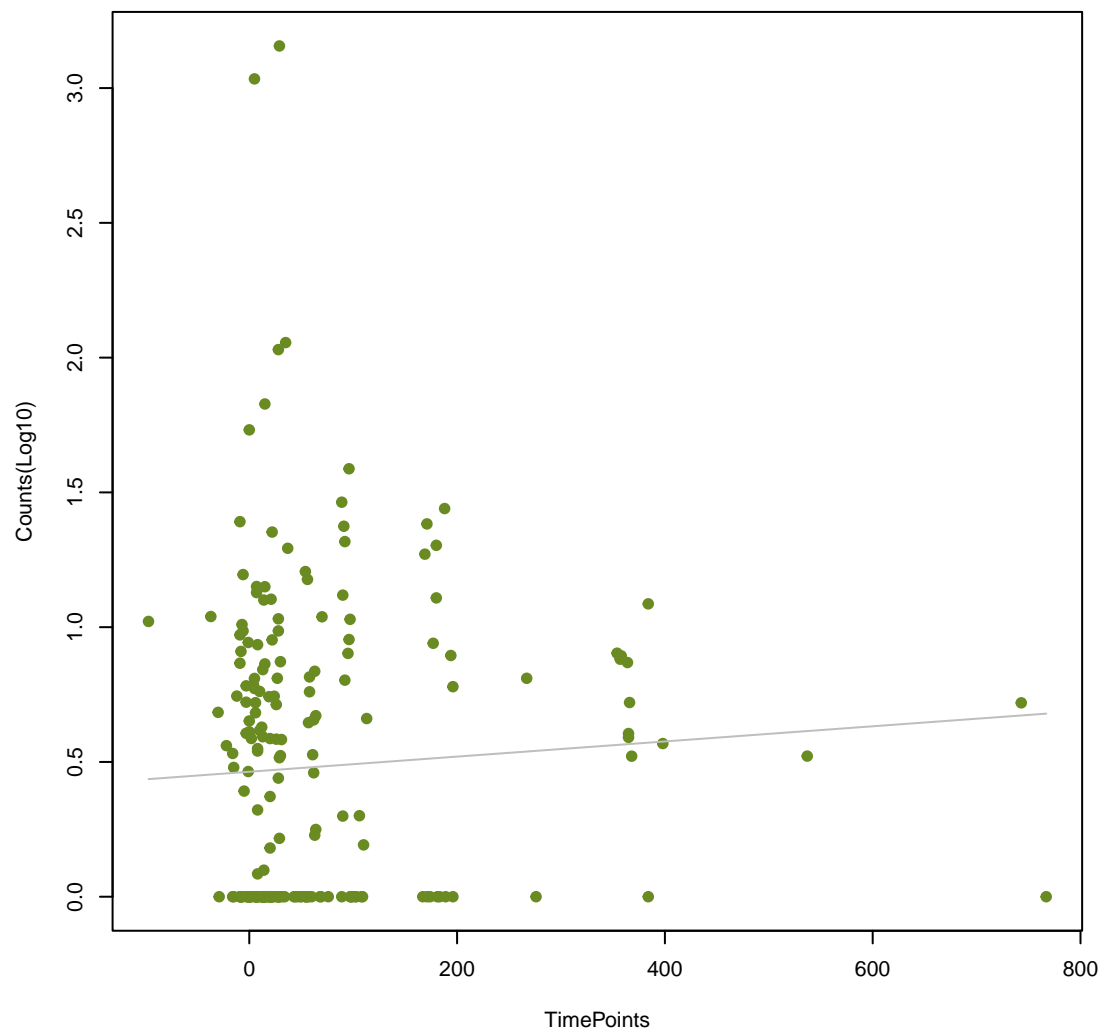
dfrB2
ANOVA P=0.382, adj. ANOVA-P=0.656



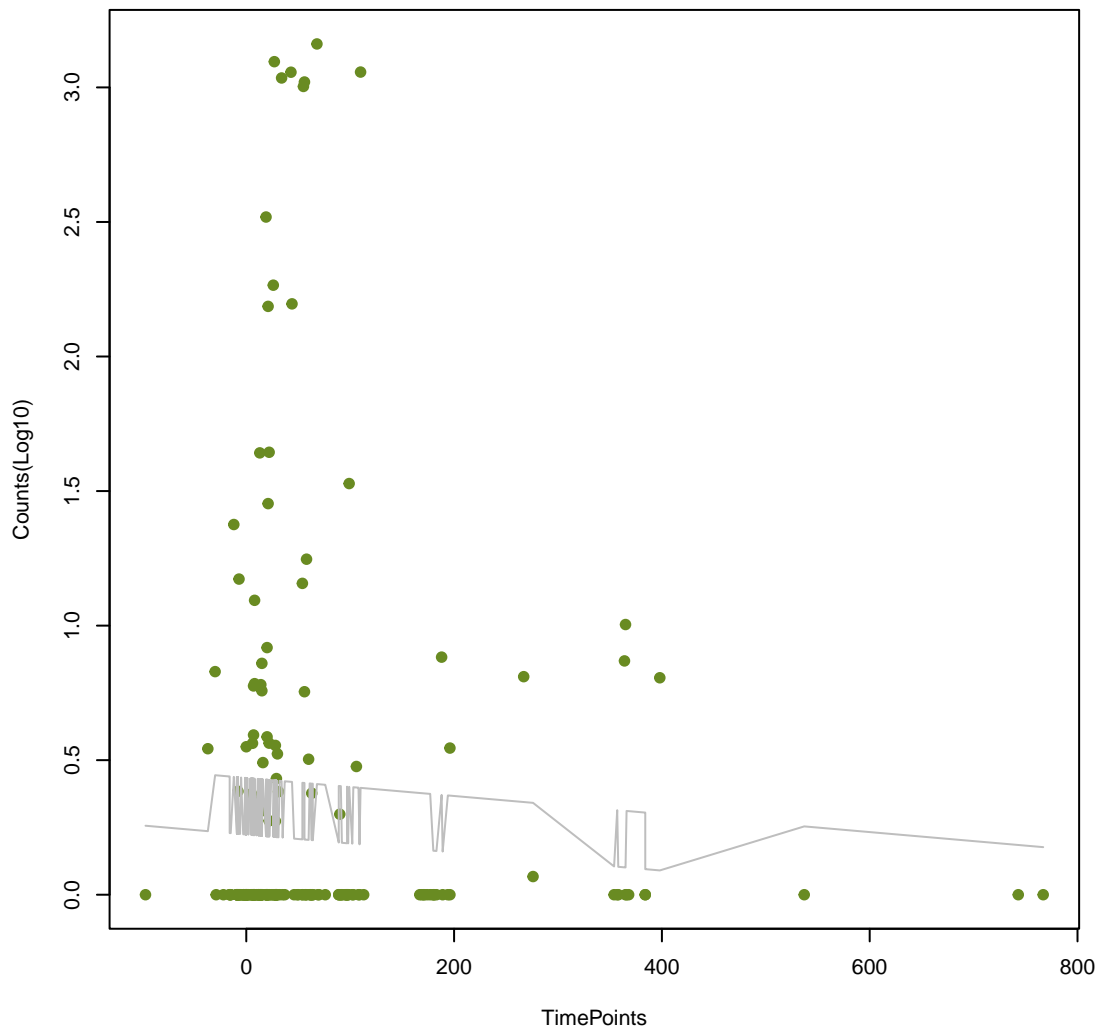
PEDO-2
ANOVA P=0.384, adj. ANOVA-P=0.656



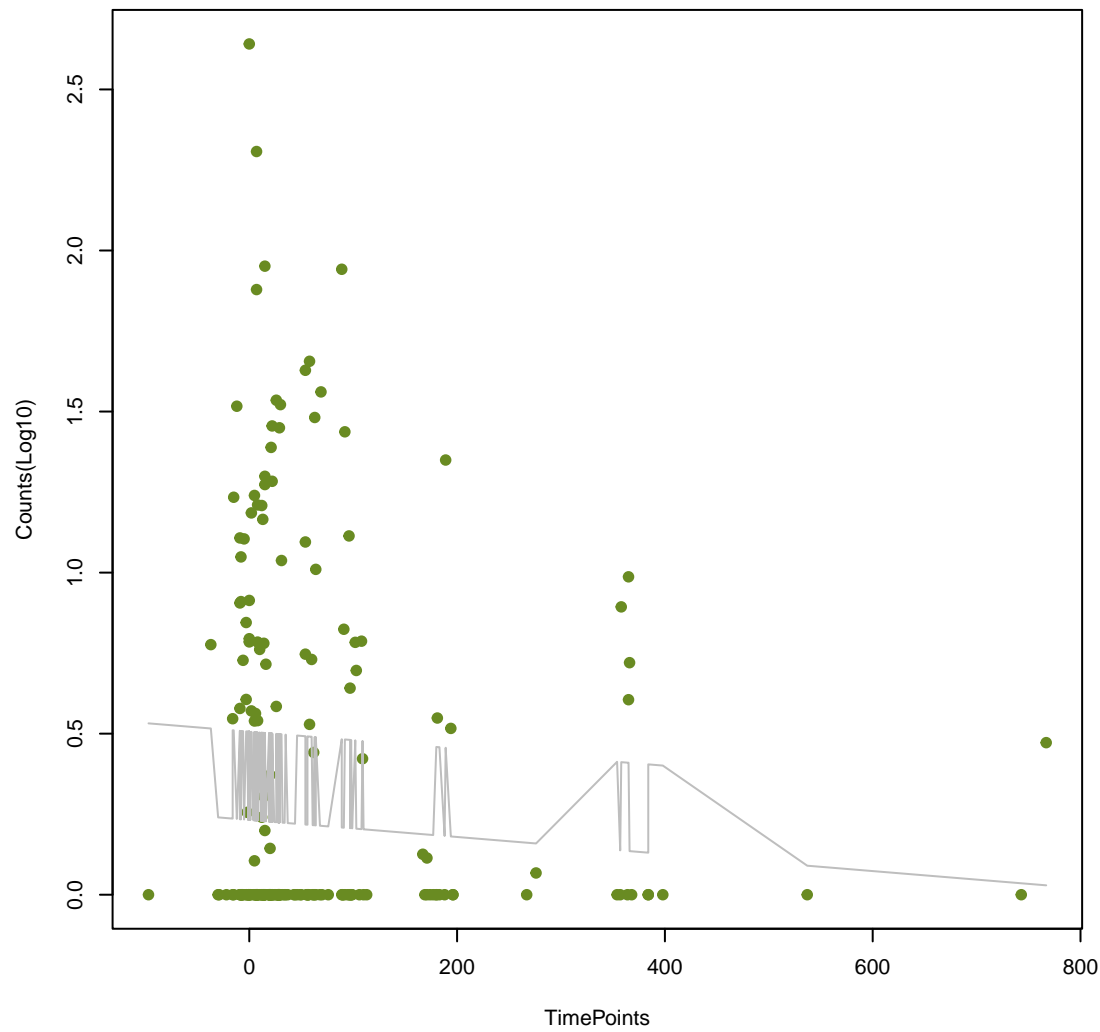
MexF
ANOVA P=0.388, adj. ANOVA-P=0.659



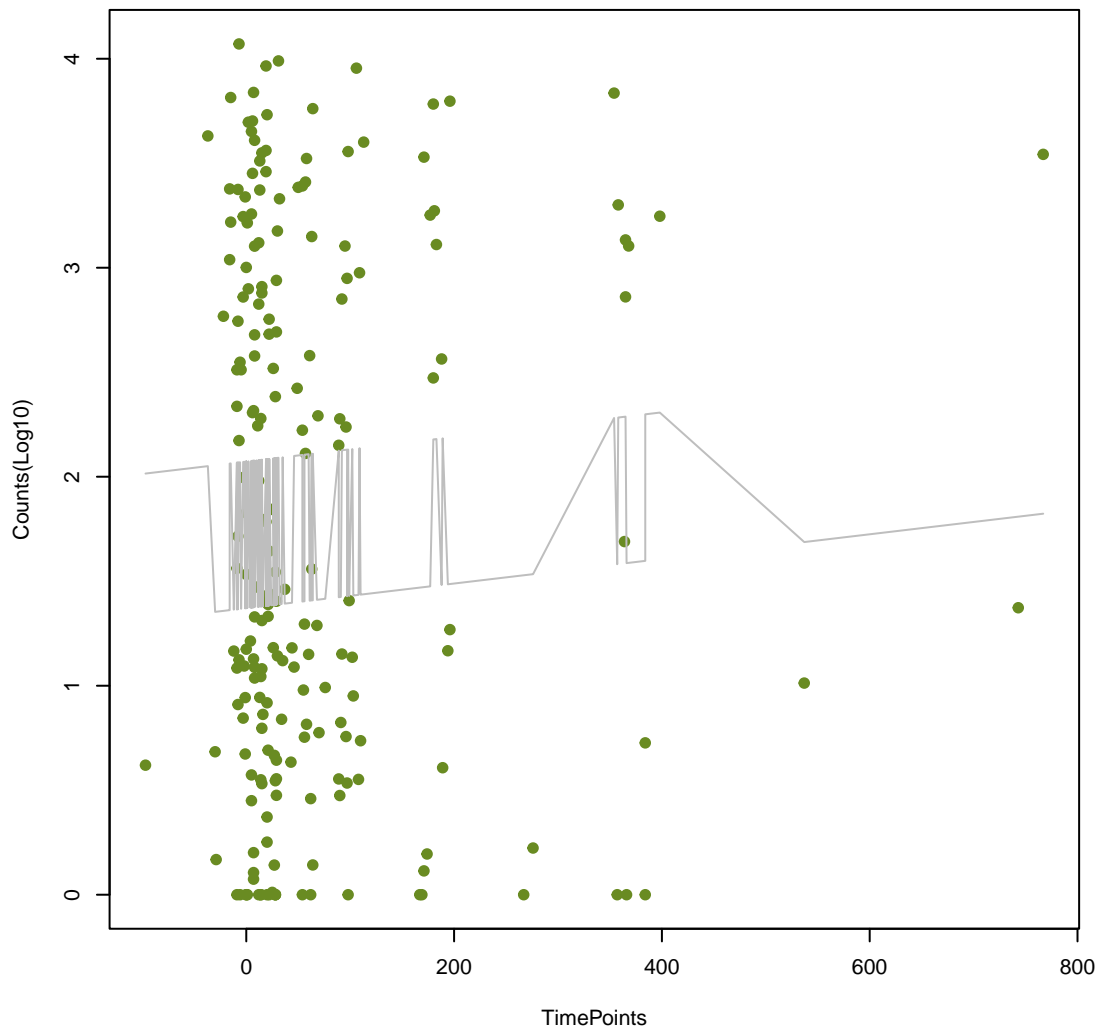
dfrC
ANOVA P=0.397, adj. ANOVA-P=0.67



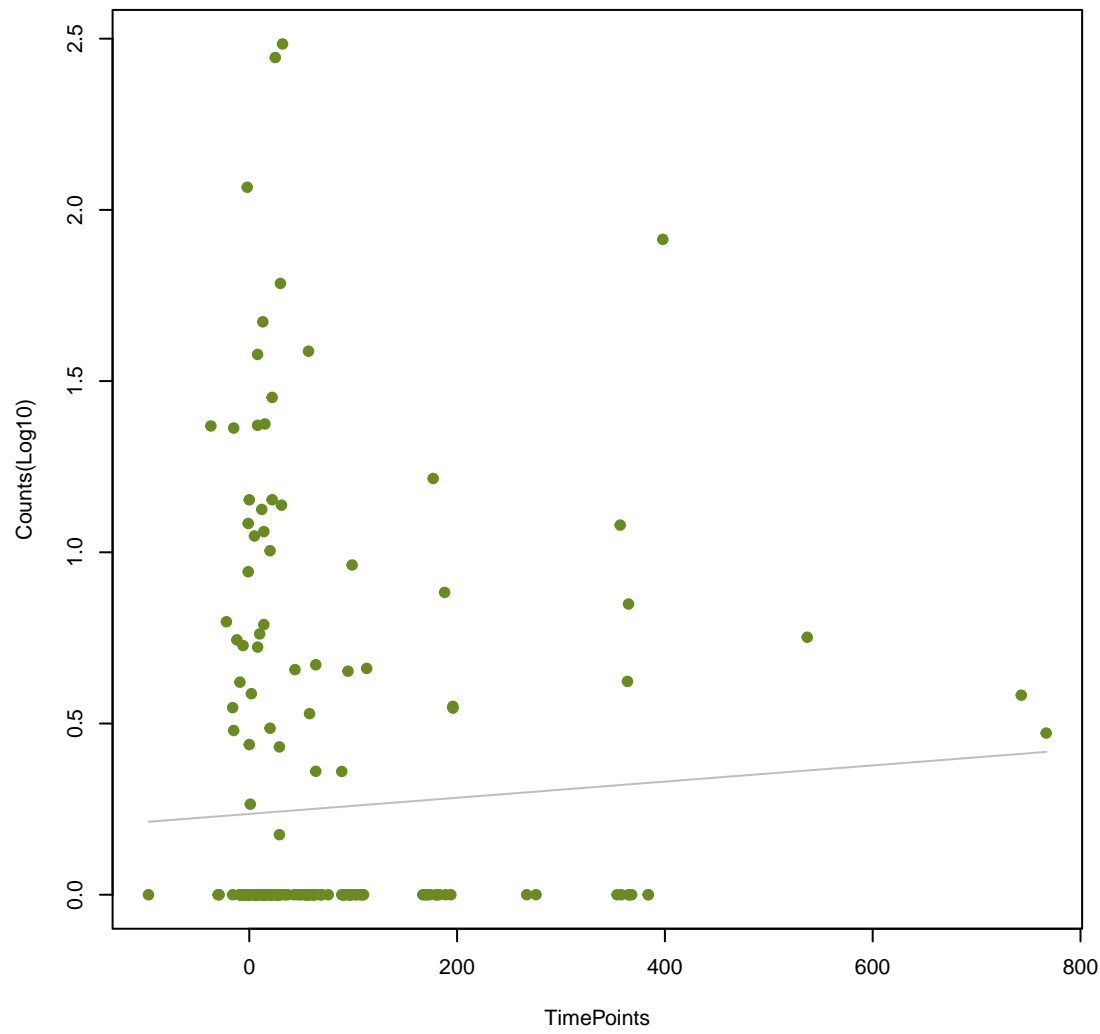
oleI
ANOVA P=0.399, adj. ANOVA-P=0.67



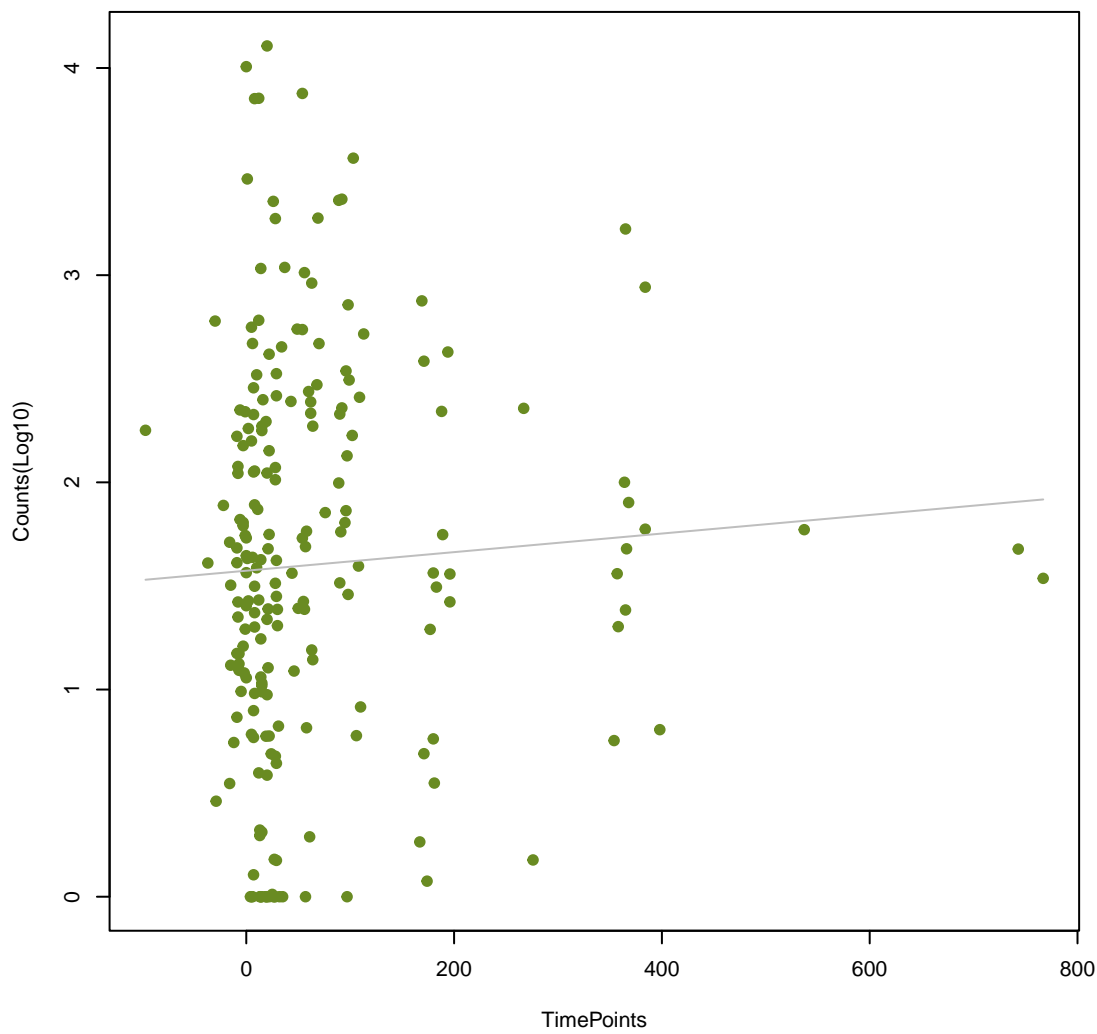
CfxA2
ANOVA P=0.407, adj. ANOVA-P=0.68



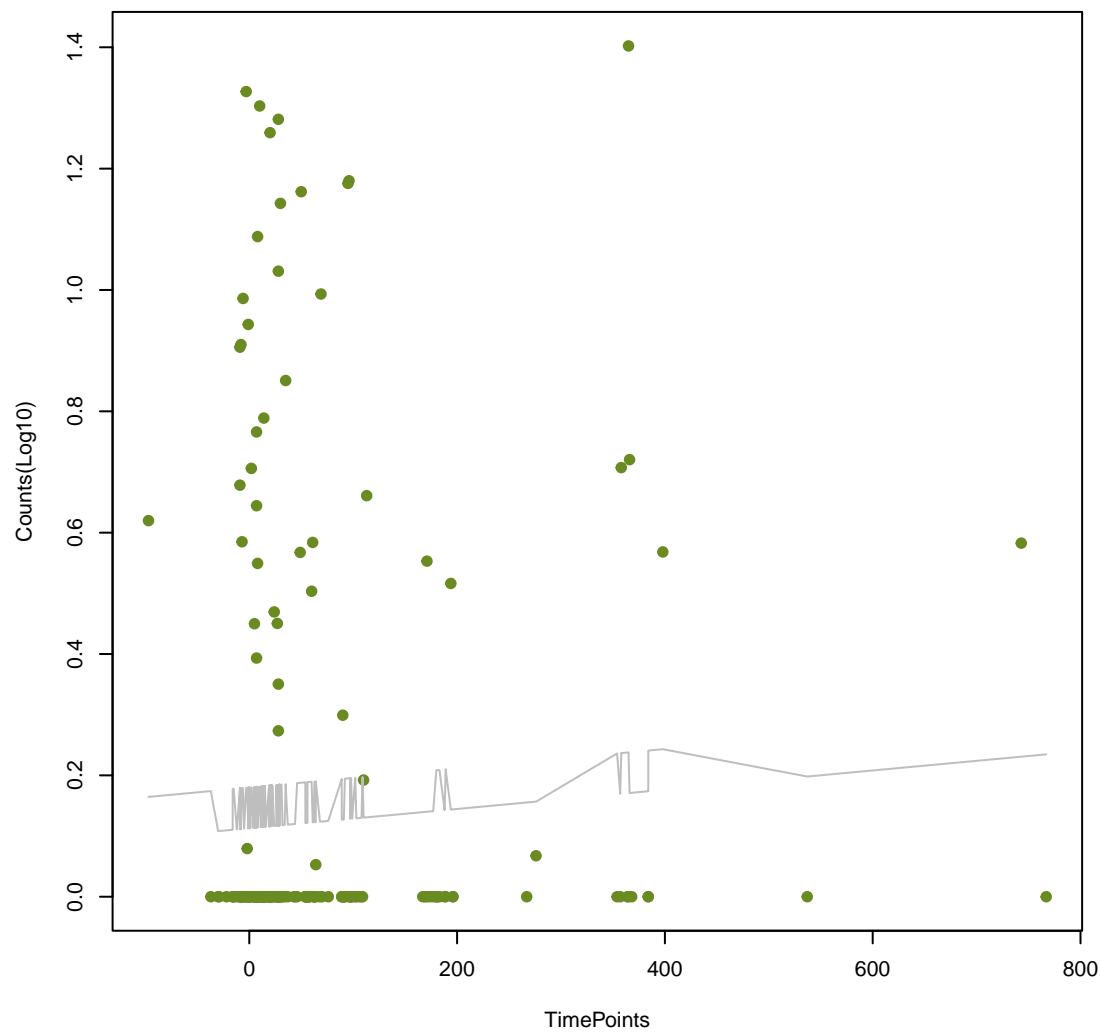
TEM-117
ANOVA P=0.418, adj. ANOVA-P=0.695



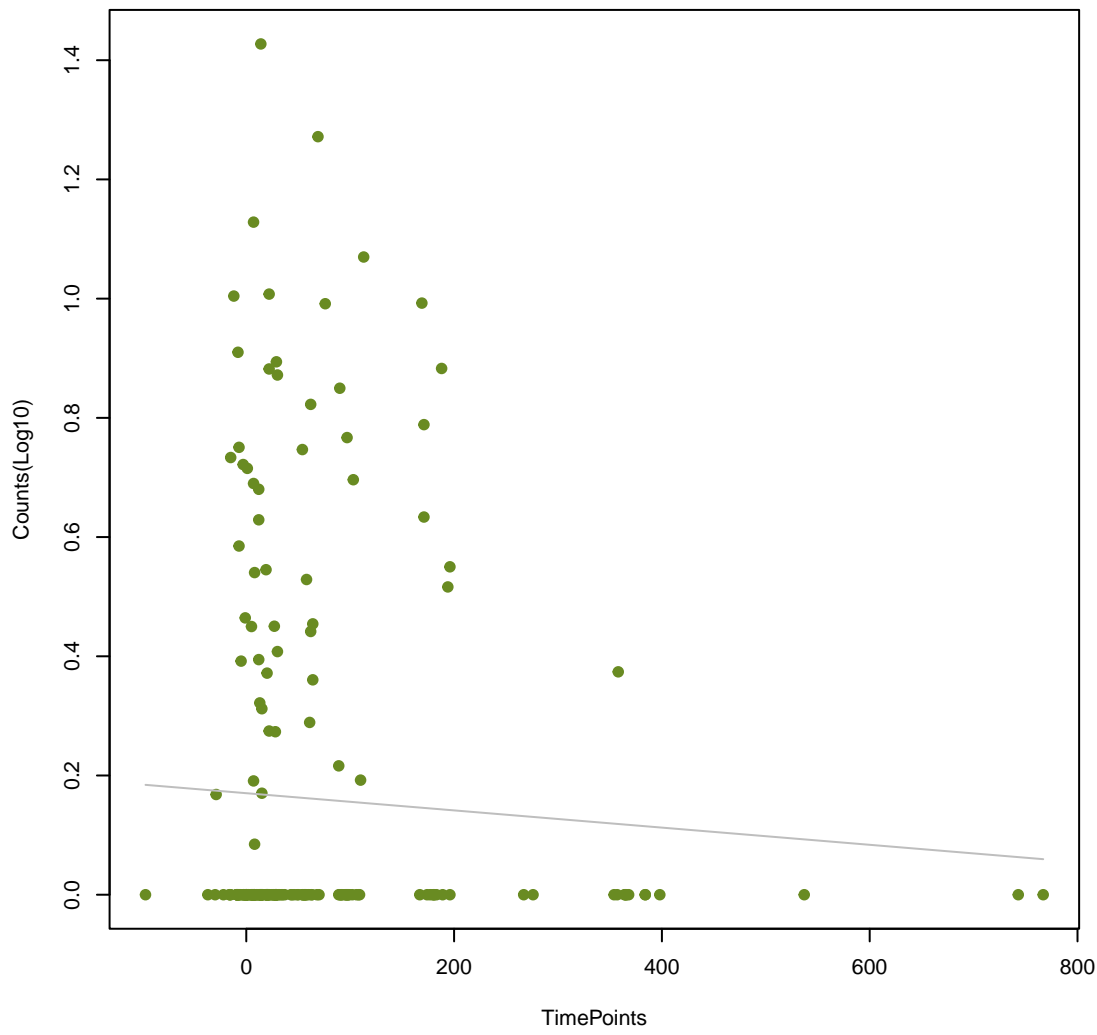
tetA(46)
ANOVA P=0.421, adj. ANOVA-P=0.695



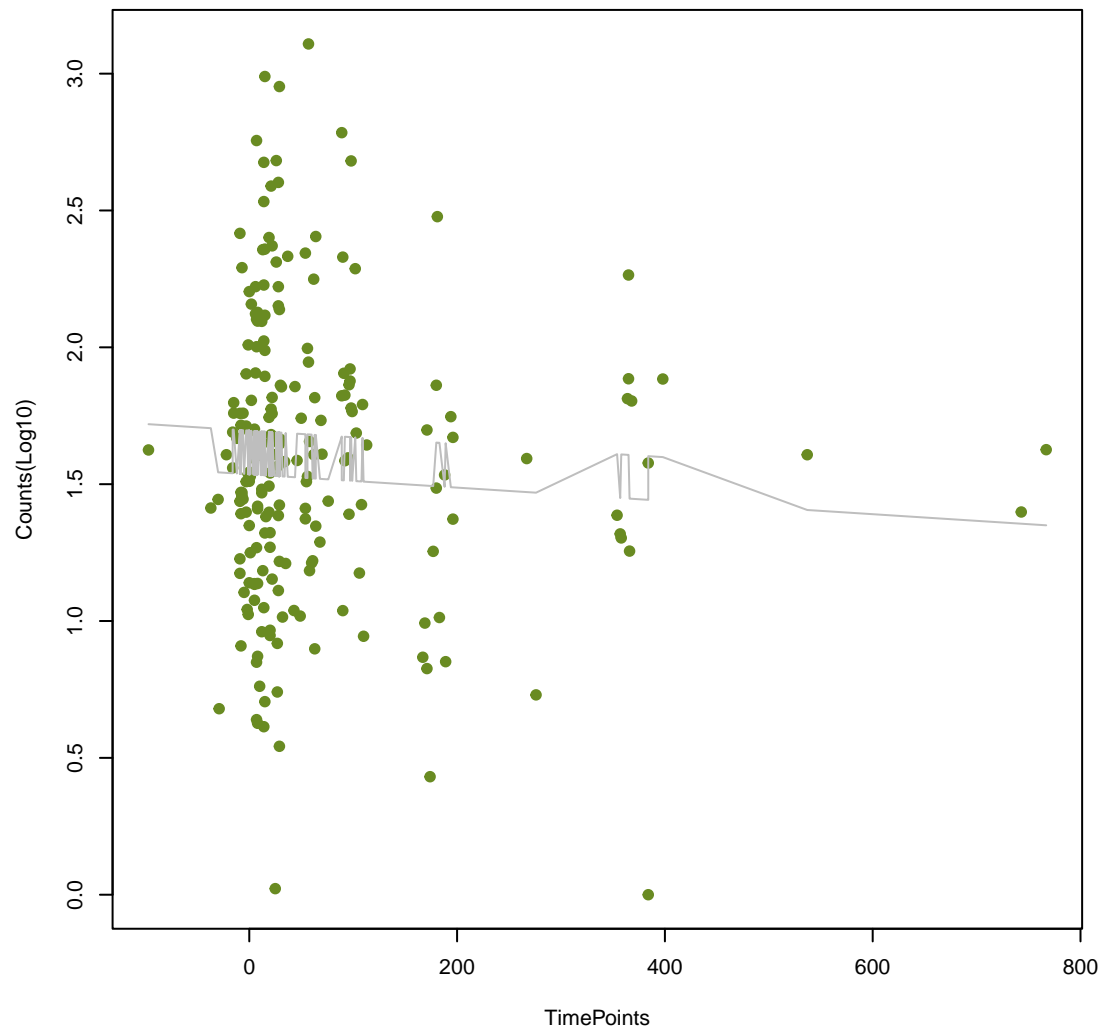
OXA-209
ANOVA P=0.426, adj. ANOVA-P=0.696



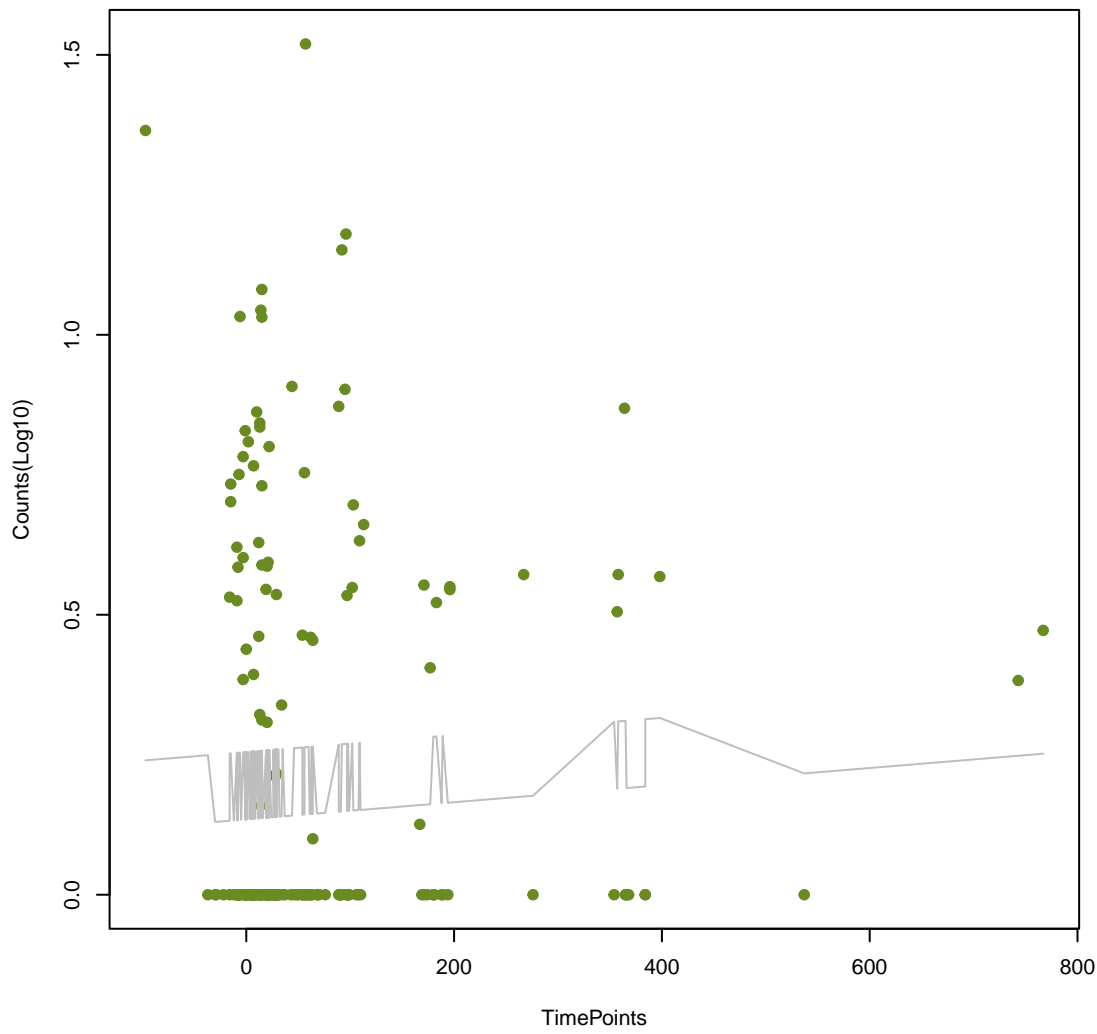
ERP-1
ANOVA P=0.426, adj. ANOVA-P=0.696



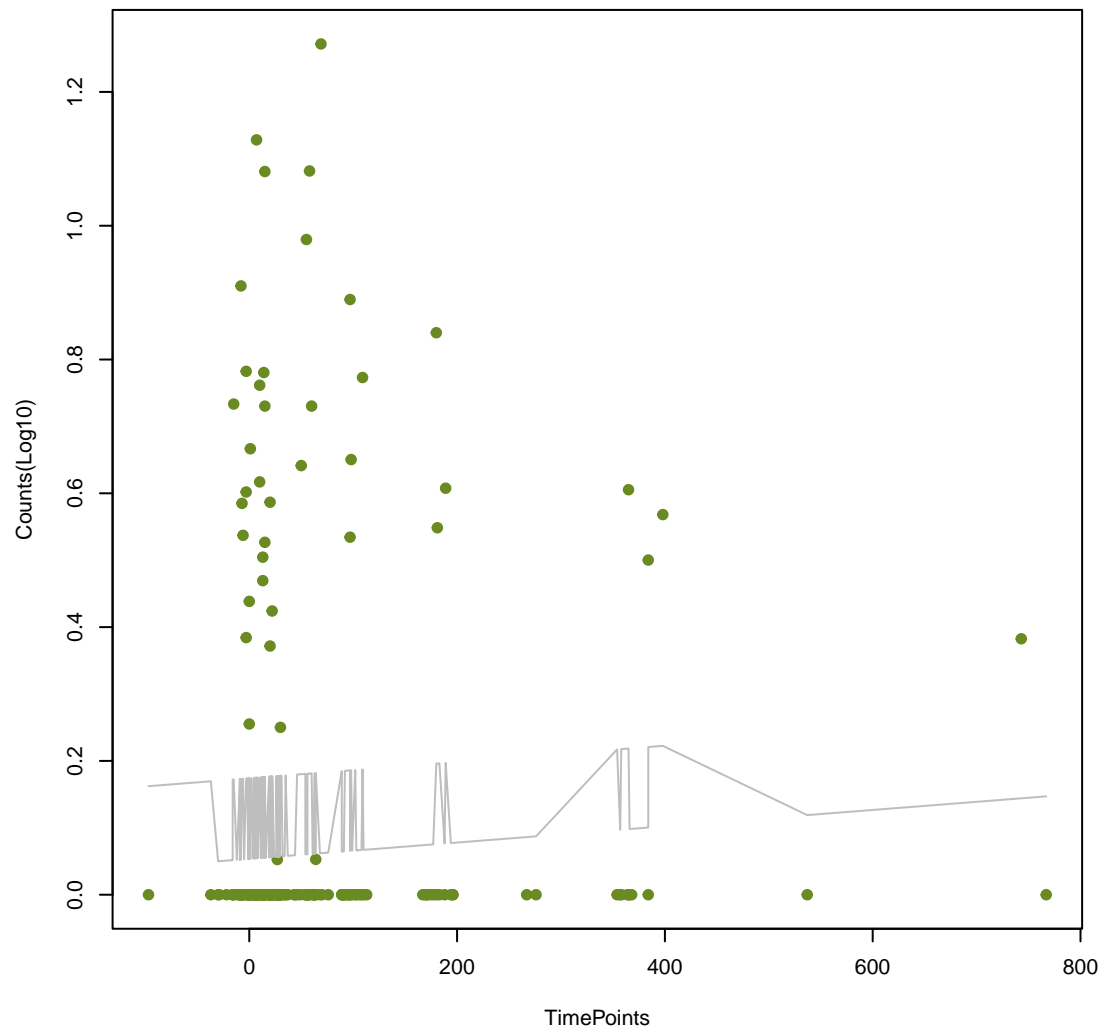
Kpne_KpnF
ANOVA P=0.428, adj. ANOVA-P=0.696



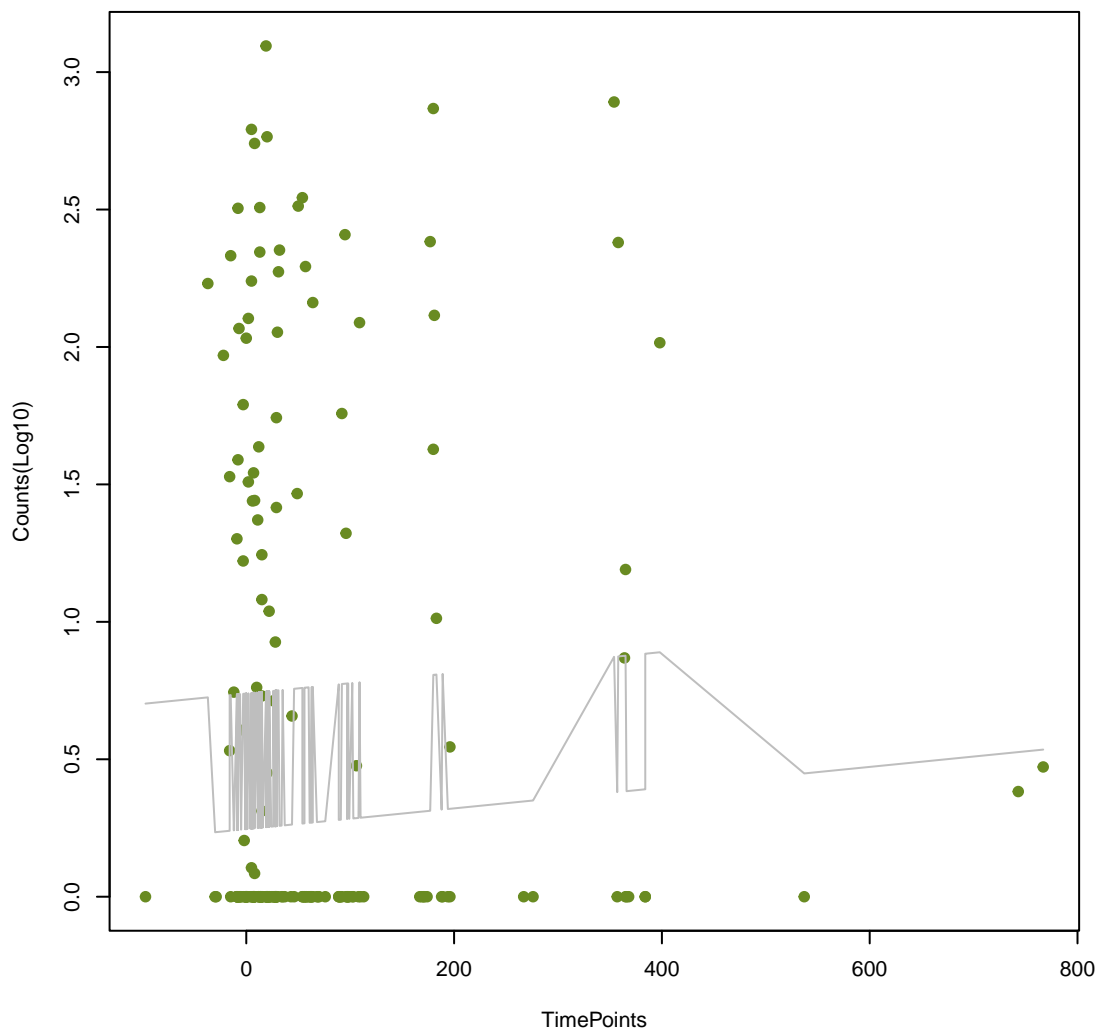
SGM-4
ANOVA P=0.431, adj. ANOVA-P=0.697



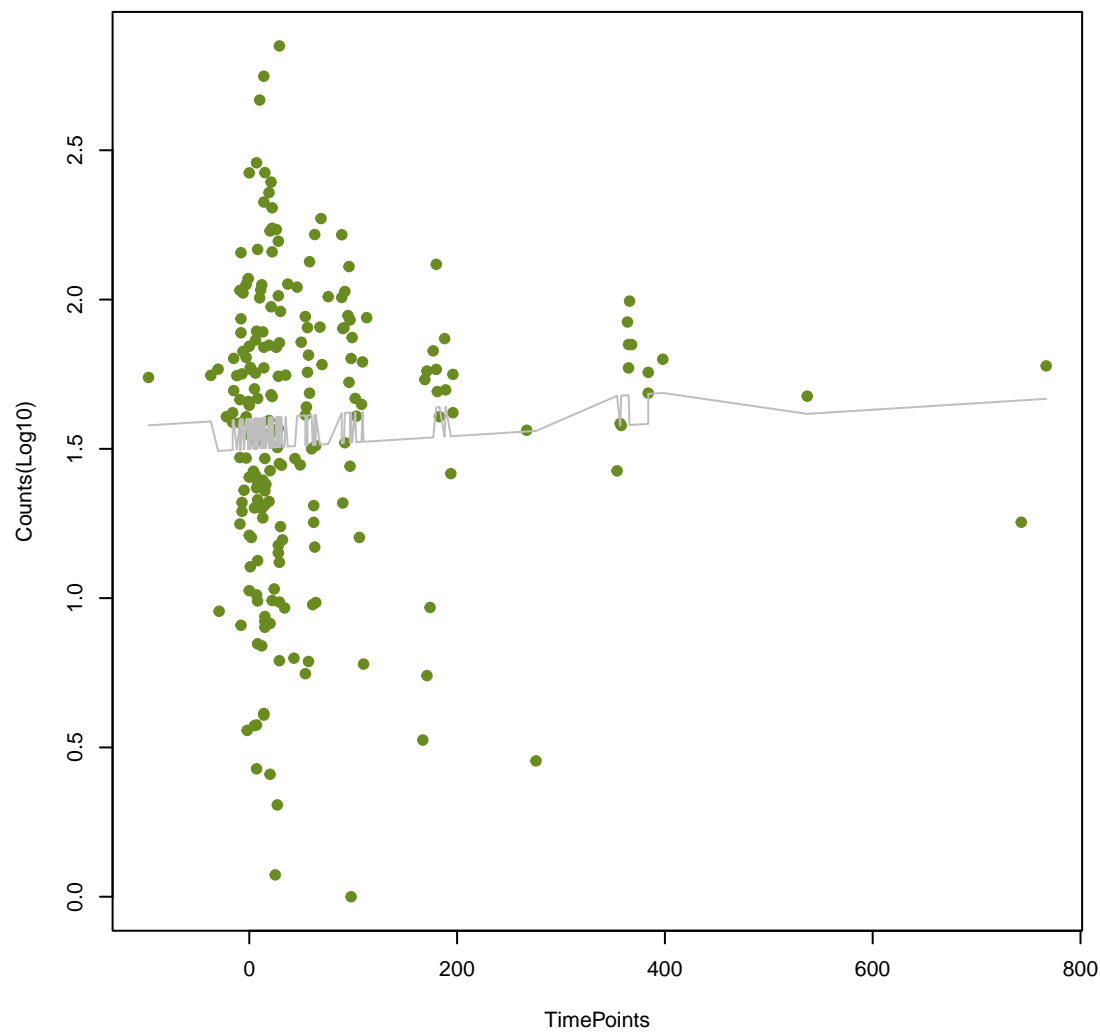
OXA-85
ANOVA P=0.439, adj. ANOVA-P=0.705



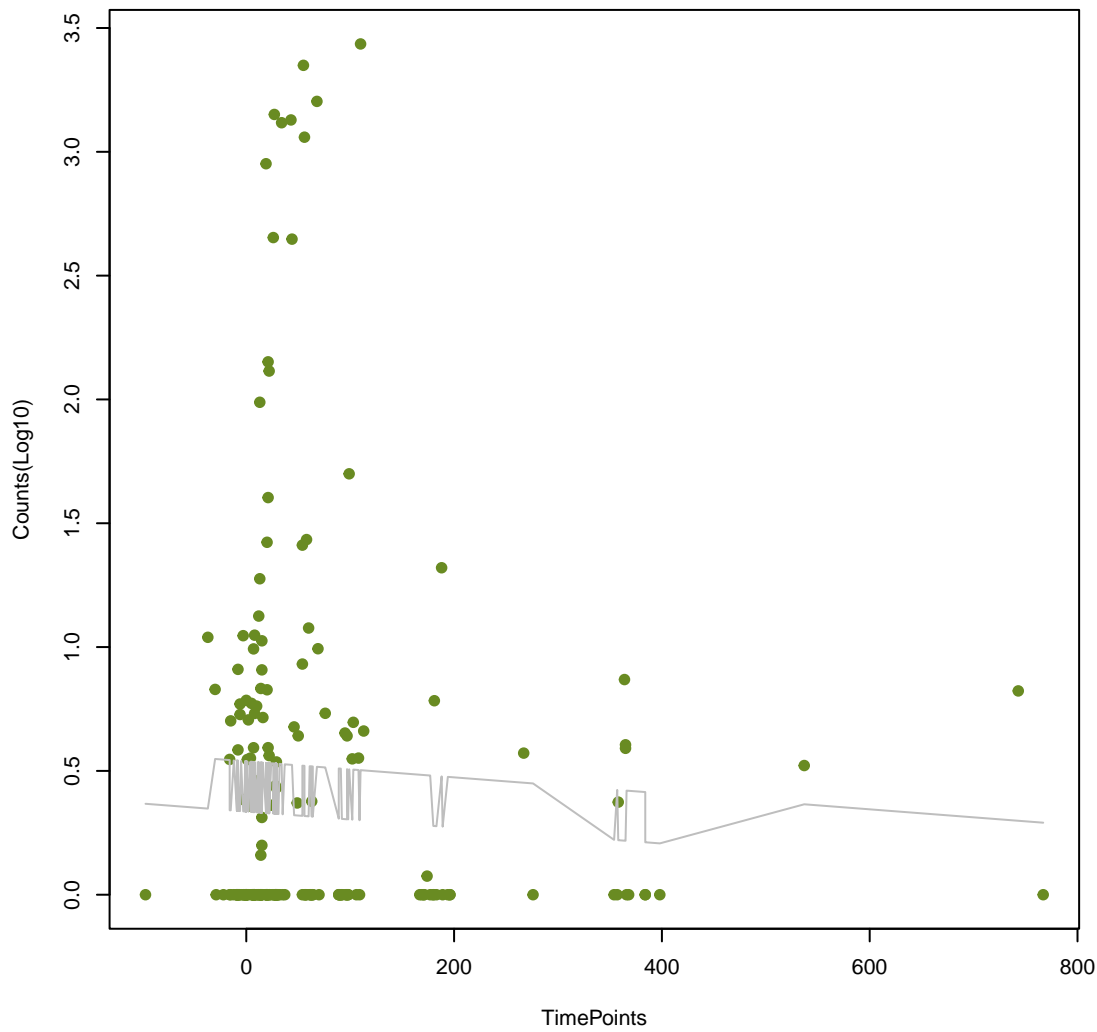
CfxA3
ANOVA P=0.443, adj. ANOVA-P=0.708



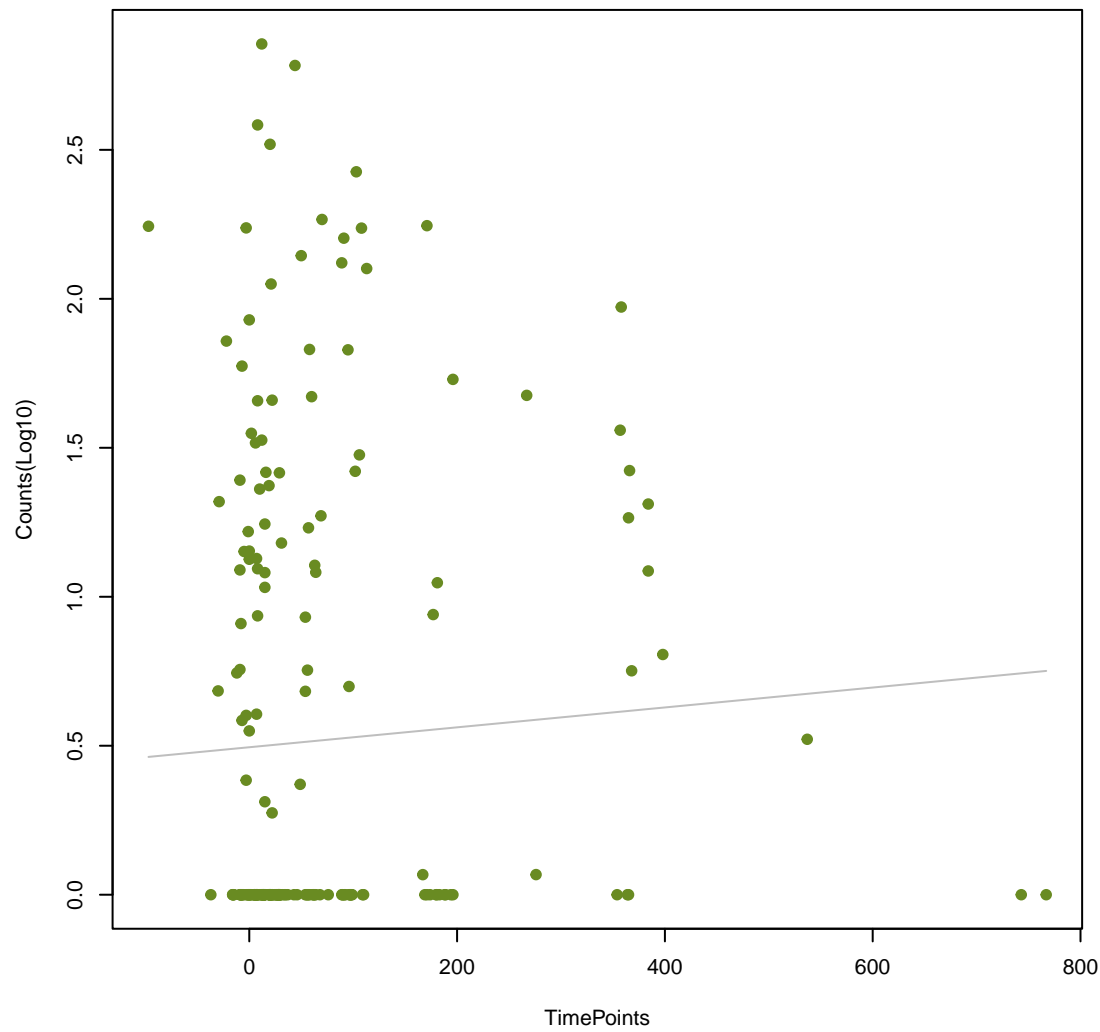
tet37
ANOVA P=0.445, adj. ANOVA-P=0.708



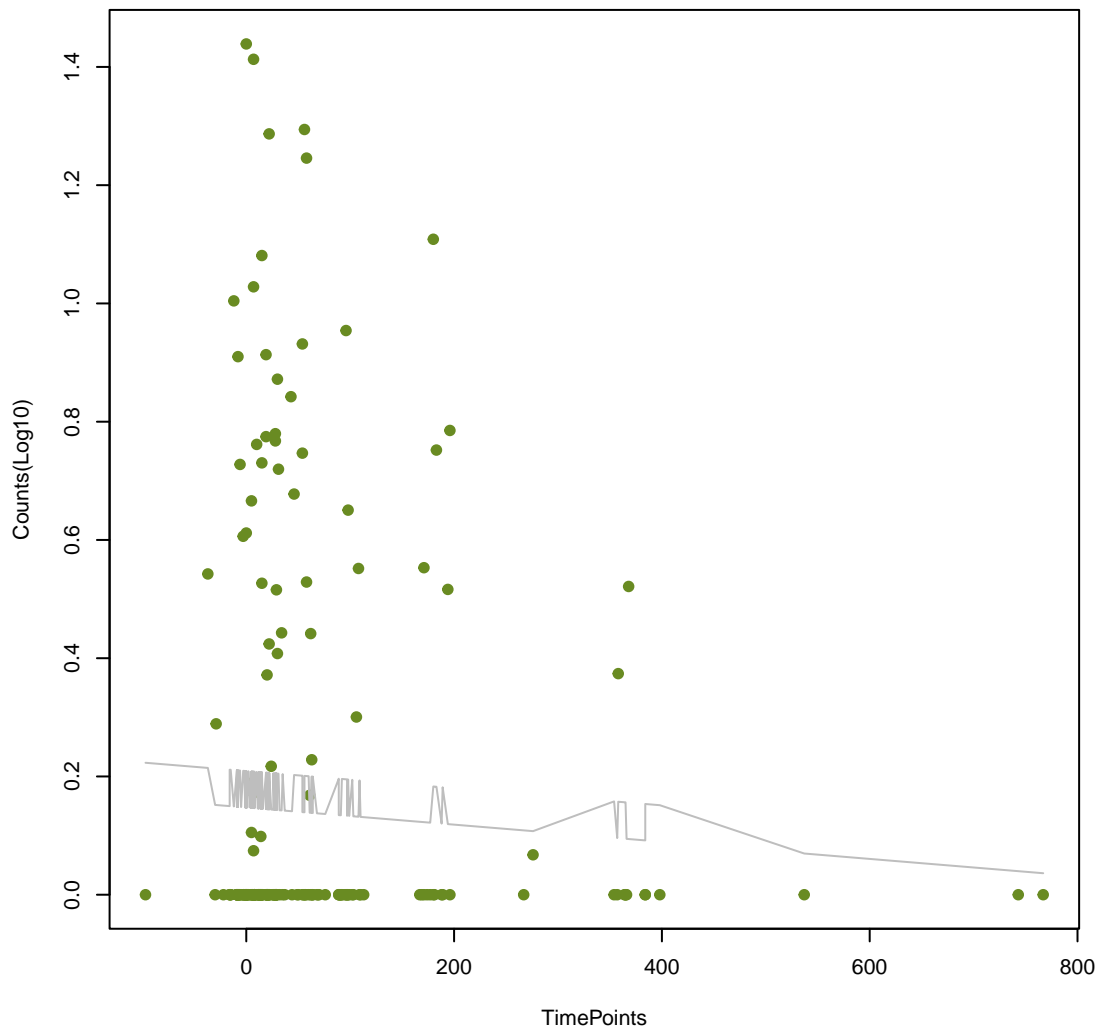
norA
ANOVA P=0.454, adj. ANOVA-P=0.709



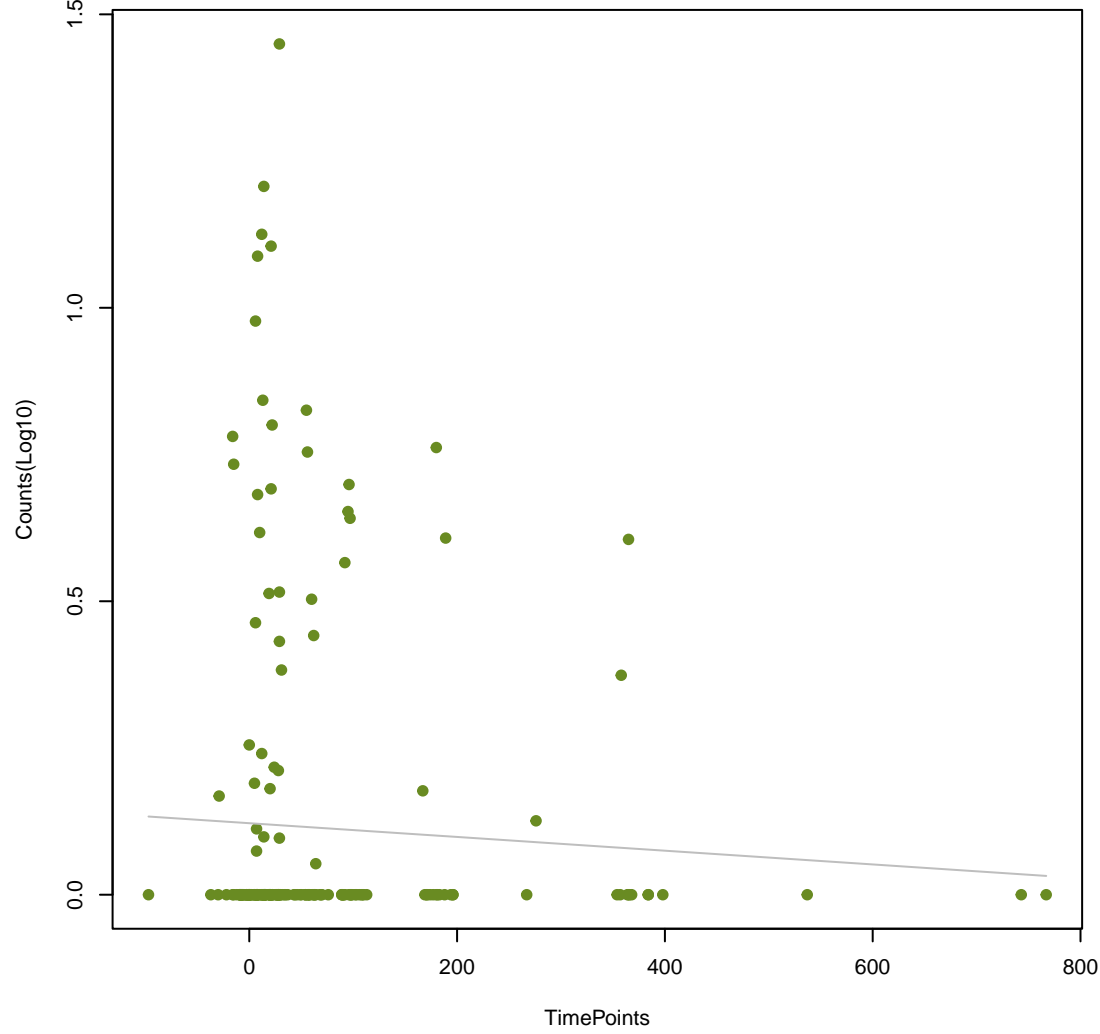
vanD
ANOVA P=0.455, adj. ANOVA-P=0.709



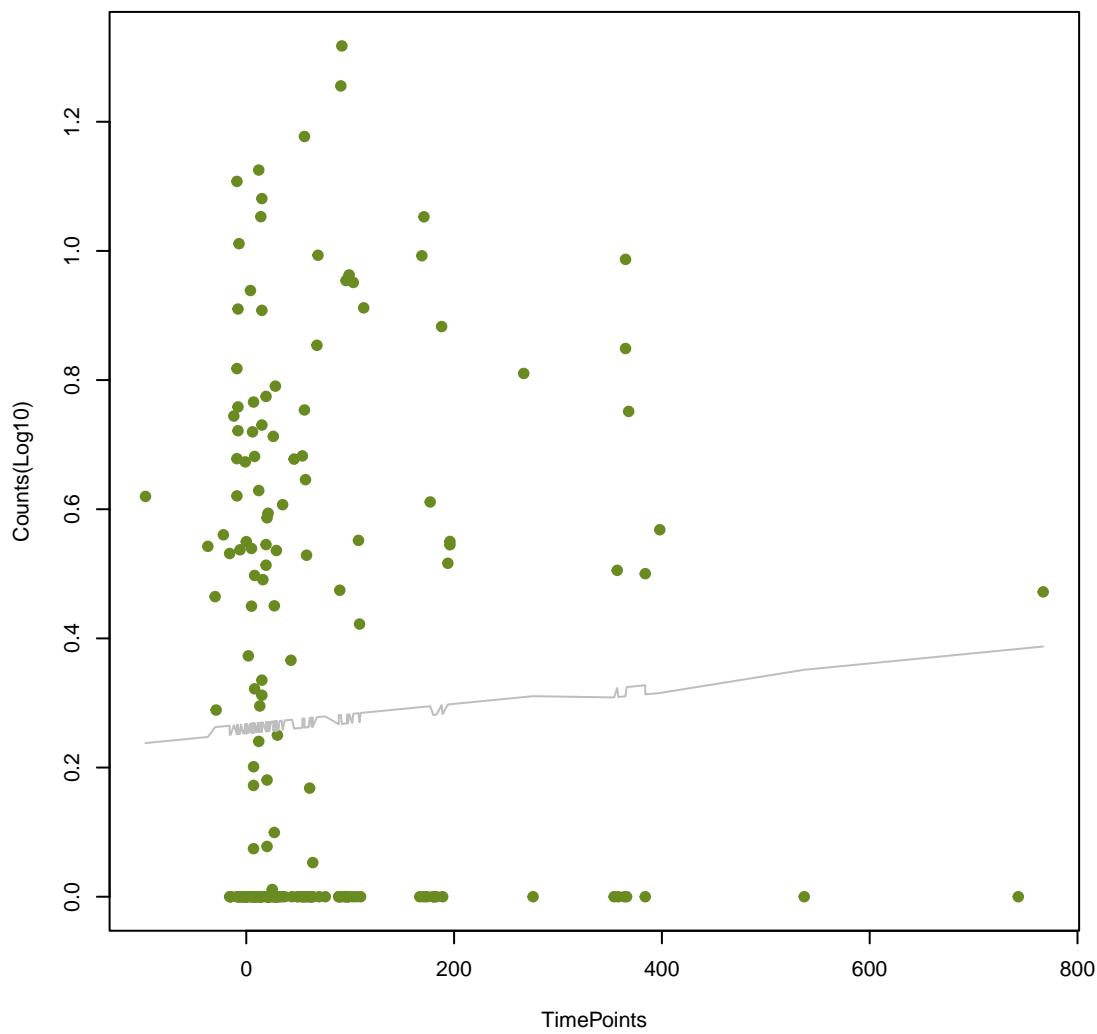
BahA
ANOVA P=0.458, adj. ANOVA-P=0.709



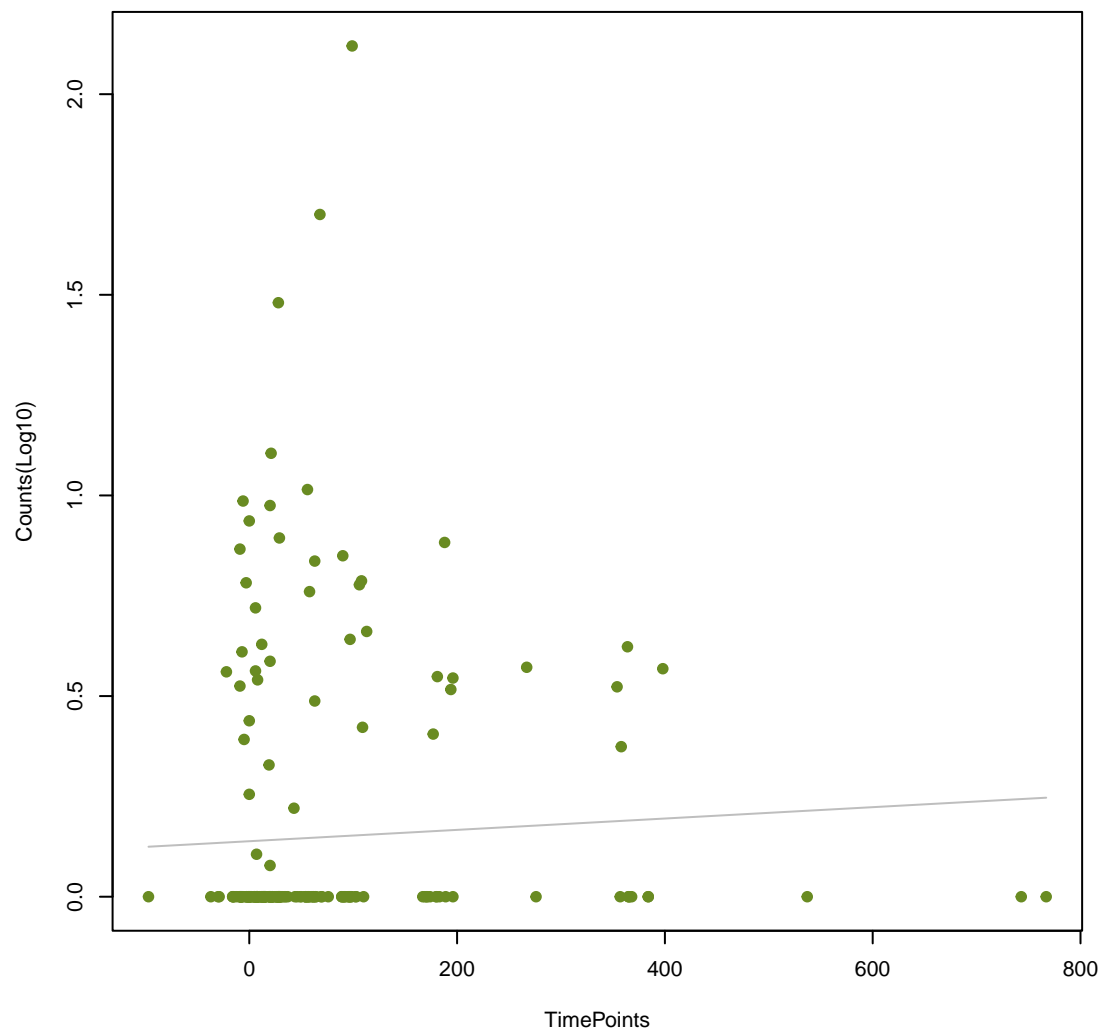
cmeB
ANOVA P=0.46, adj. ANOVA-P=0.709



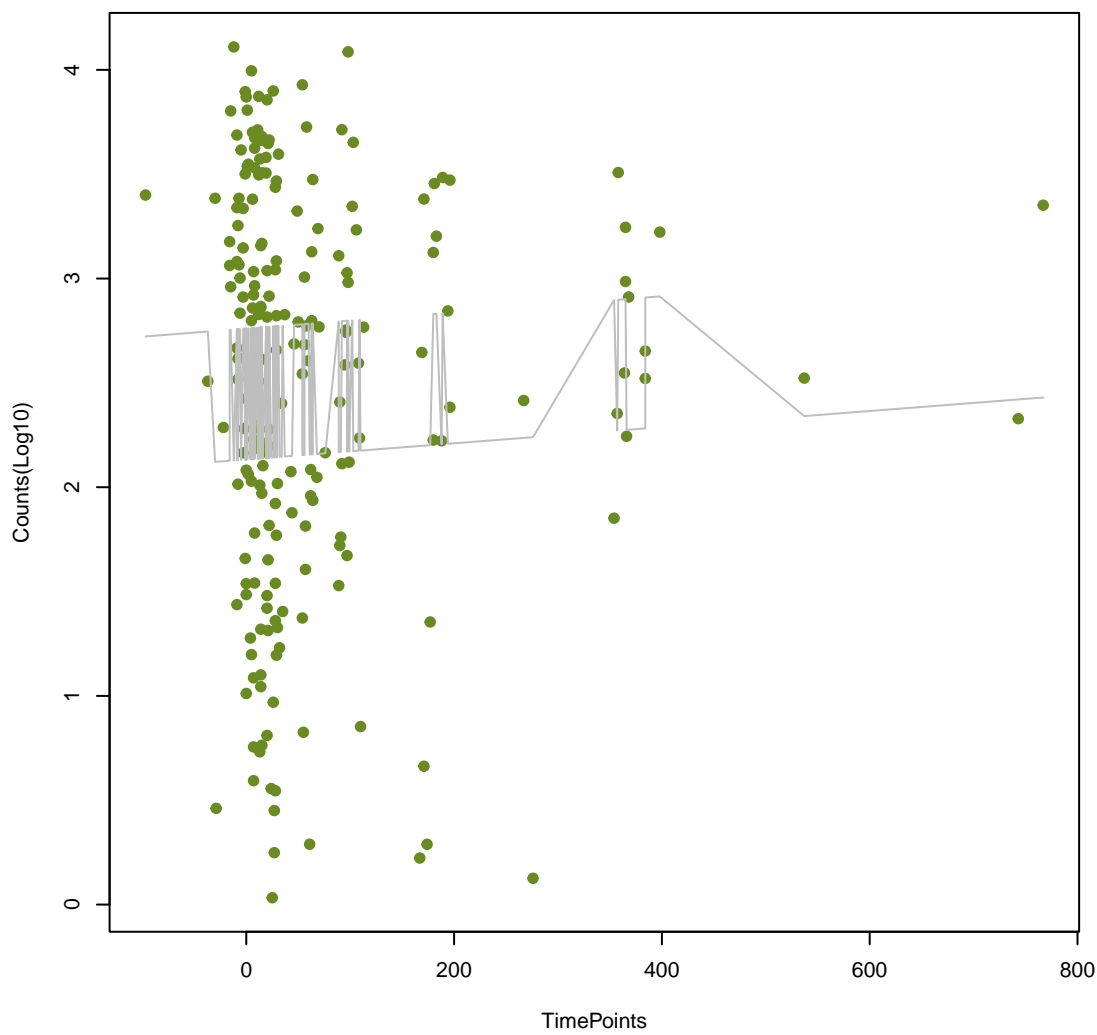
LHK-2
ANOVA P=0.461, adj. ANOVA-P=0.709



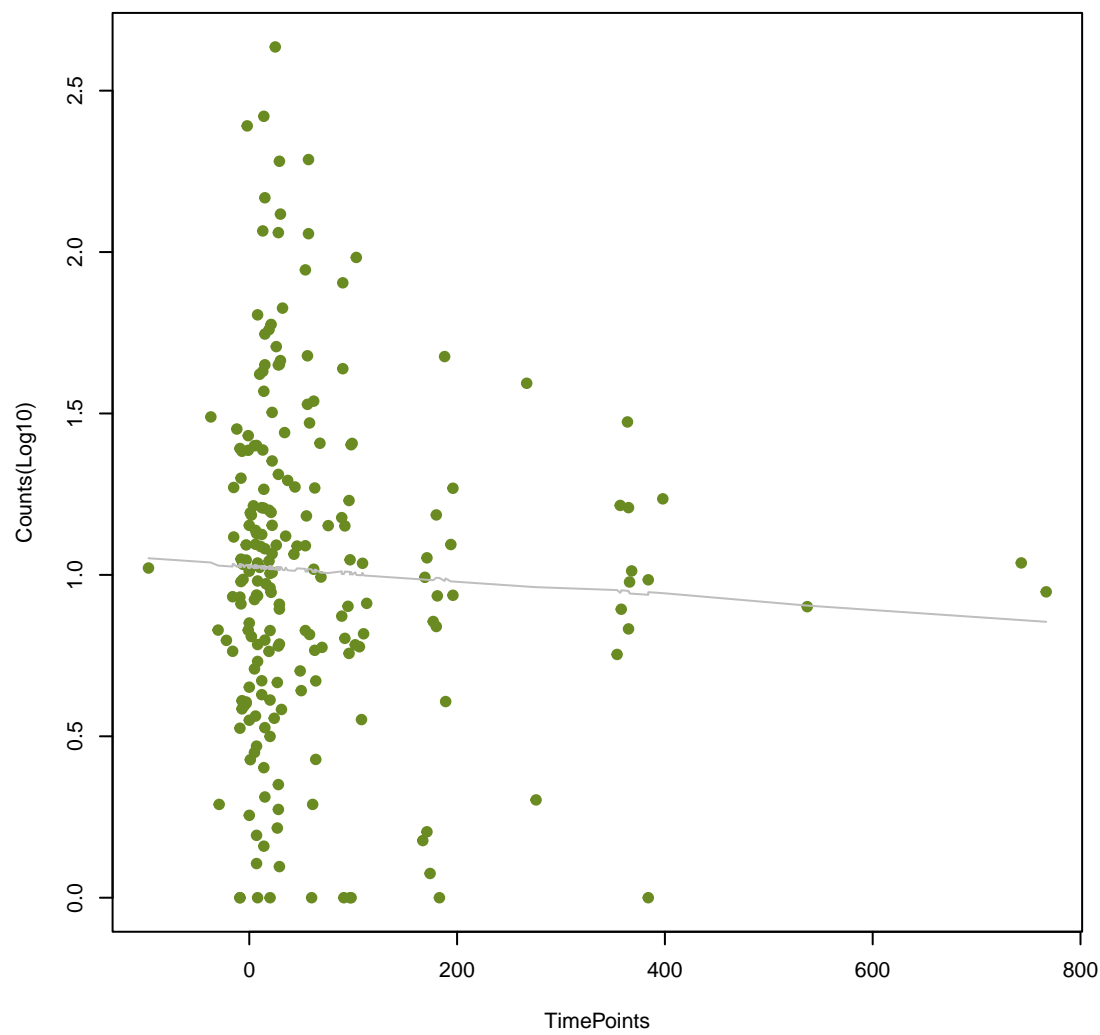
PME-1
ANOVA P=0.466, adj. ANOVA-P=0.709



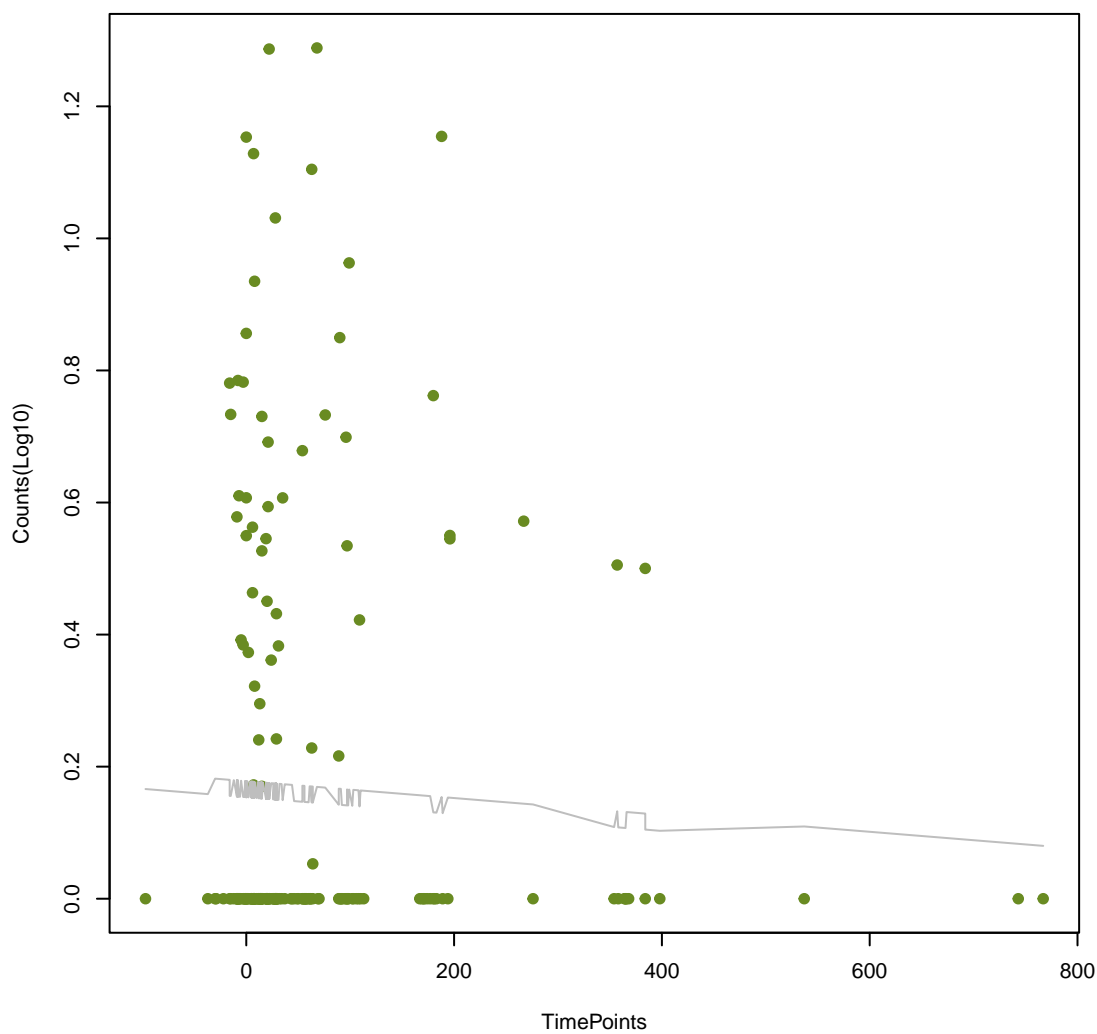
mel
ANOVA P=0.47, adj. ANOVA-P=0.709



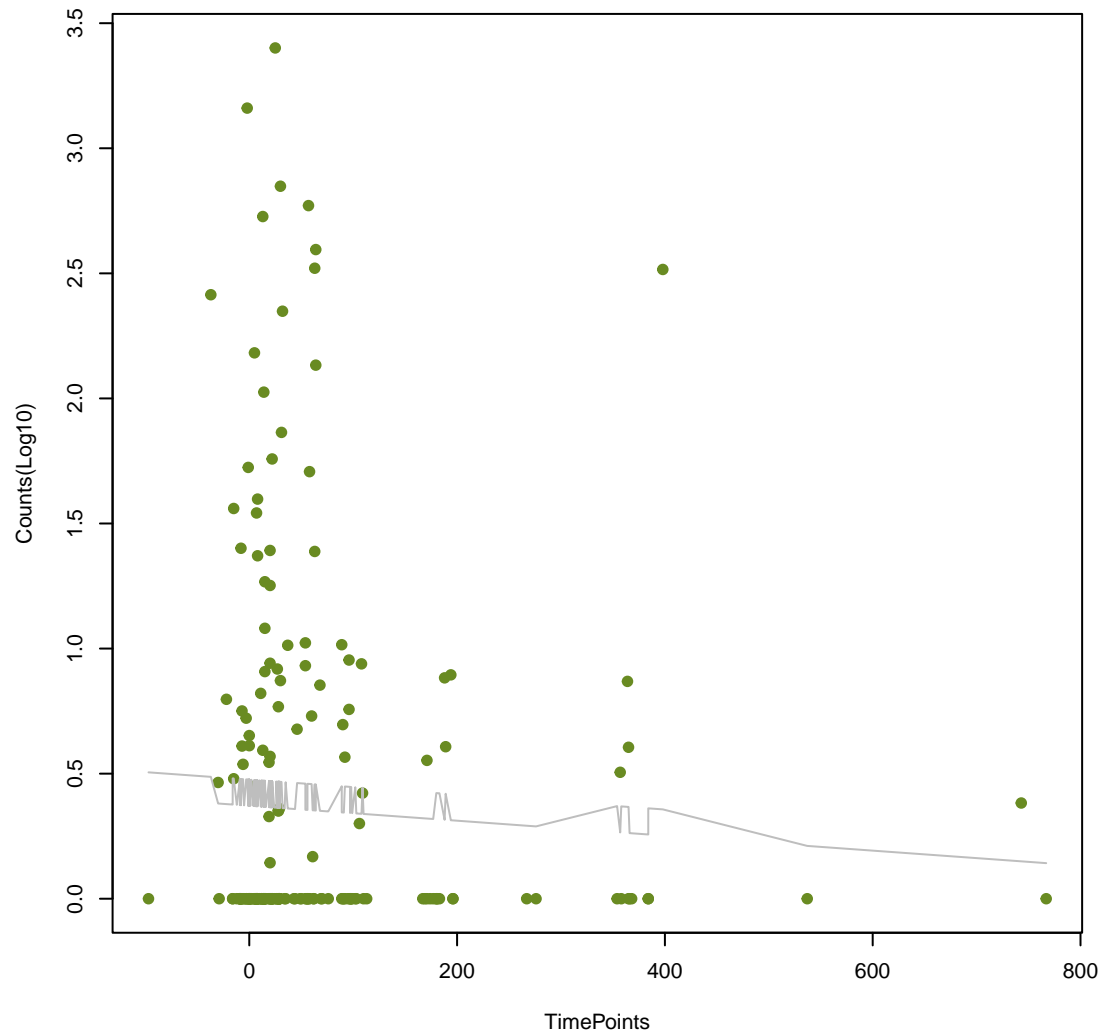
qacE
ANOVA P=0.473, adj. ANOVA-P=0.709



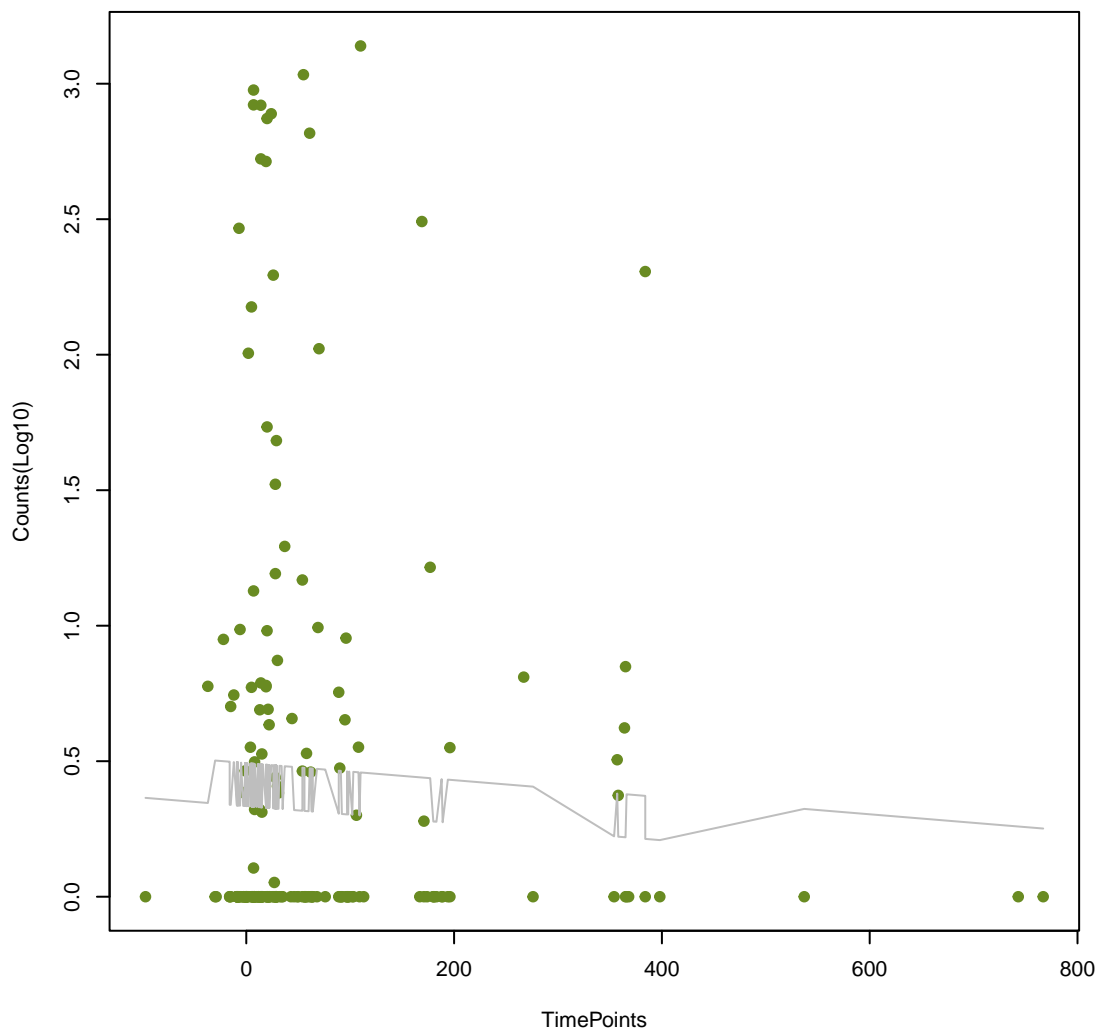
mecB
ANOVA P=0.475, adj. ANOVA-P=0.709



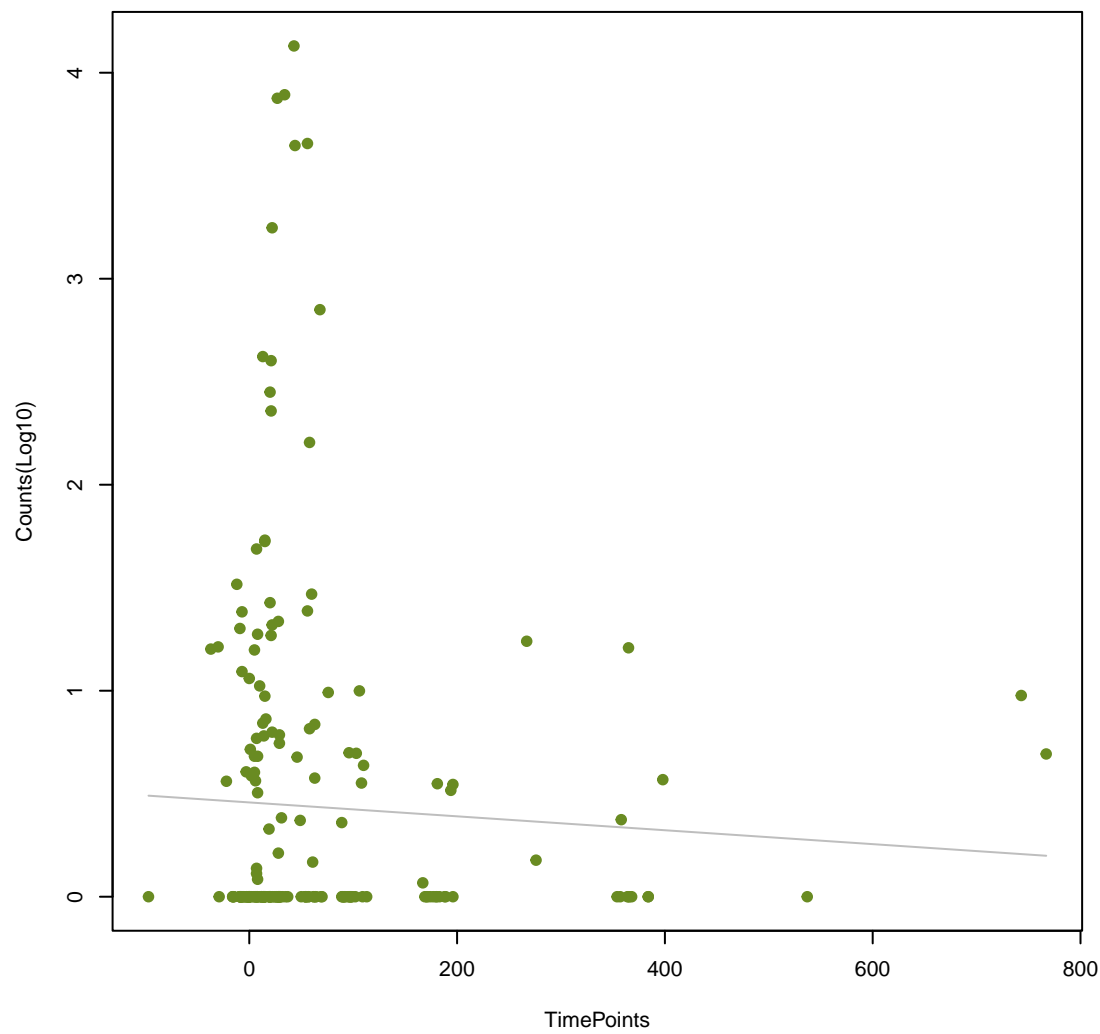
dfrA17
ANOVA P=0.476, adj. ANOVA-P=0.709



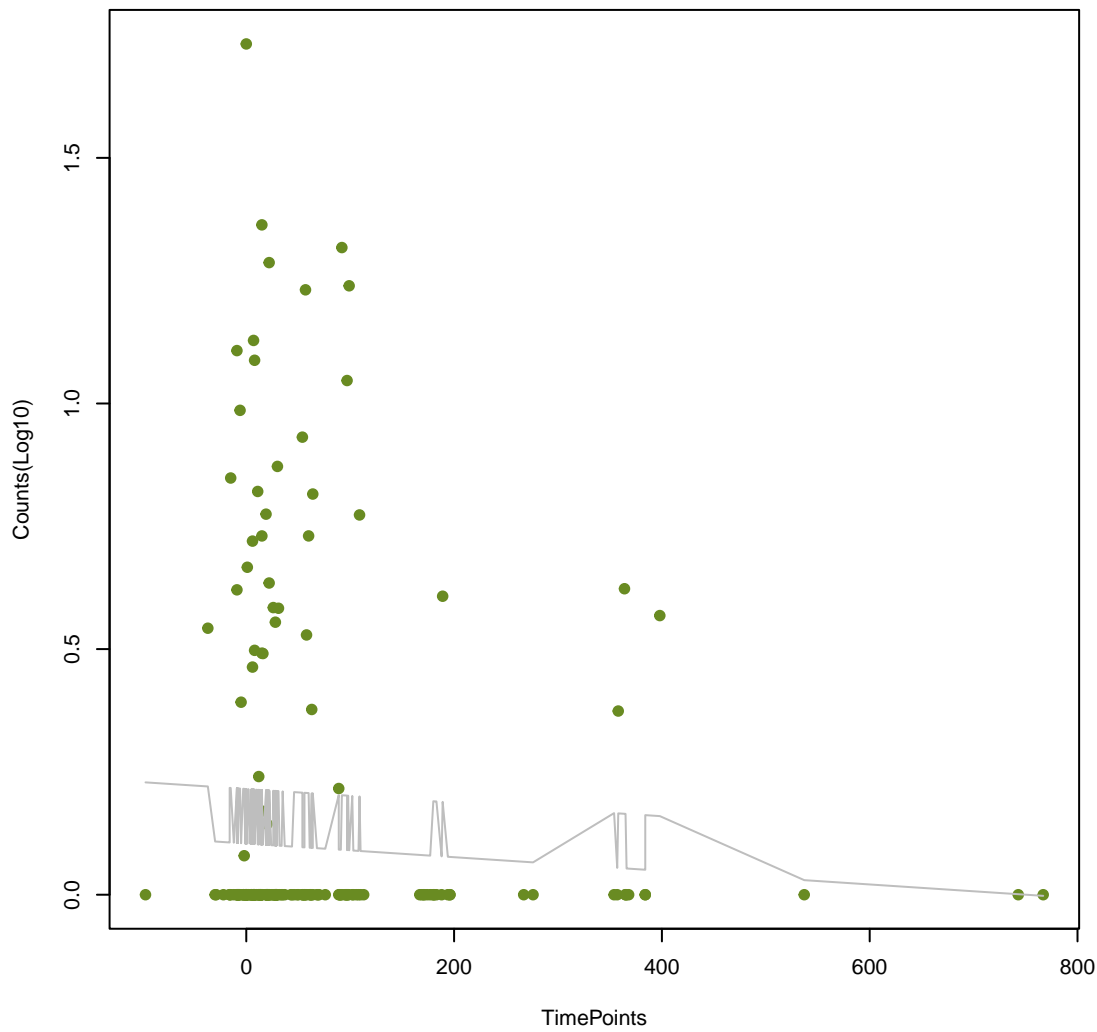
dfrG
ANOVA P=0.476, adj. ANOVA-P=0.709



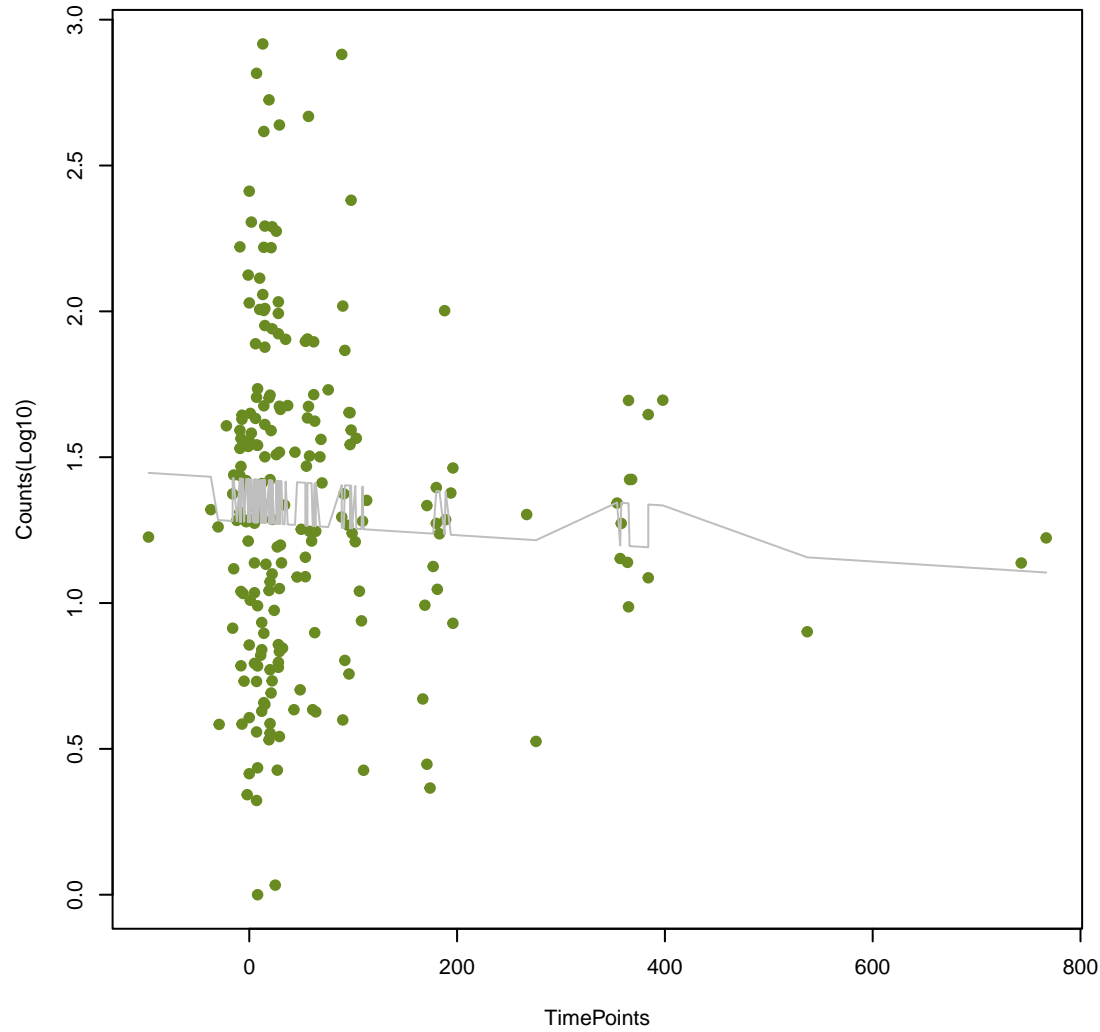
ErmC
ANOVA P=0.476, adj. ANOVA-P=0.709



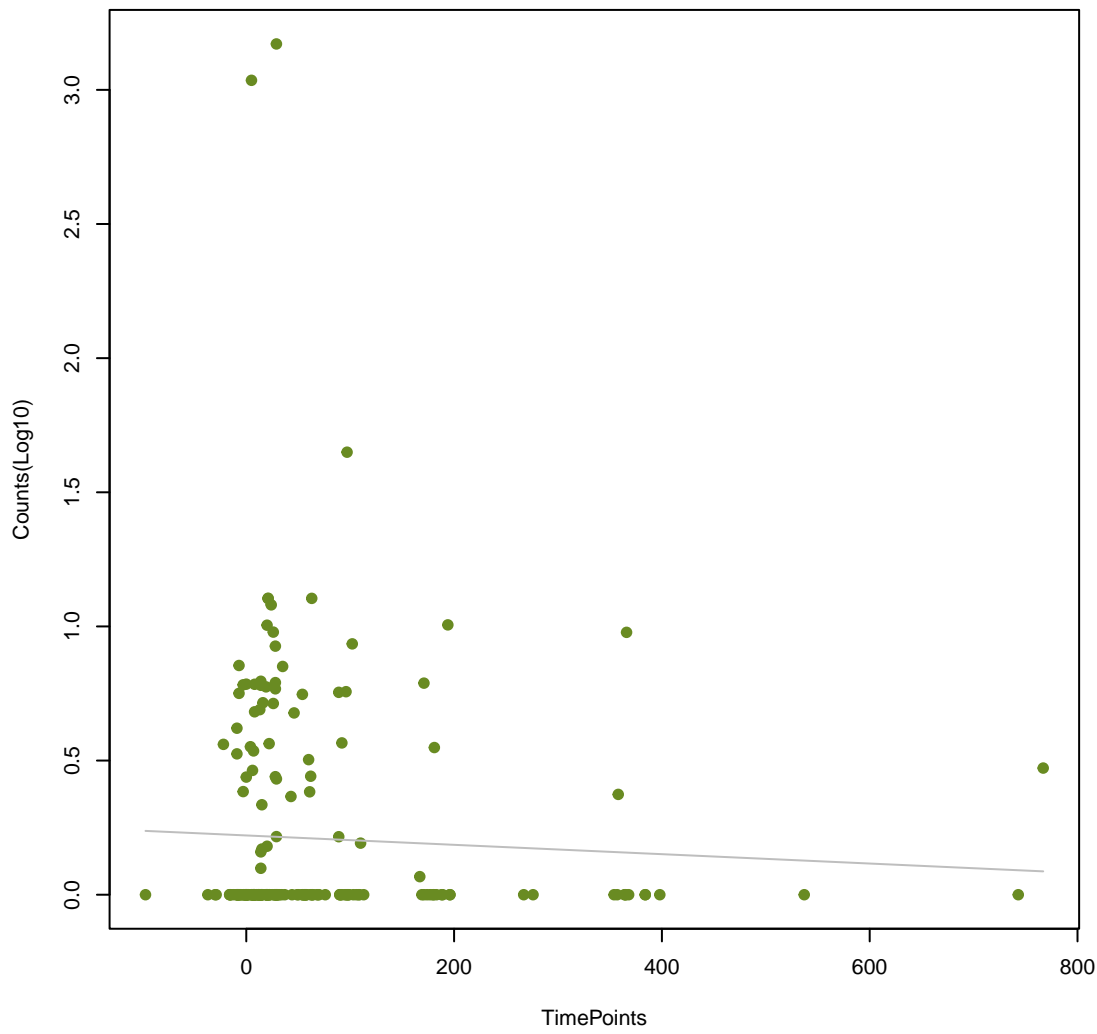
CFE-2
ANOVA P=0.477, adj. ANOVA-P=0.709



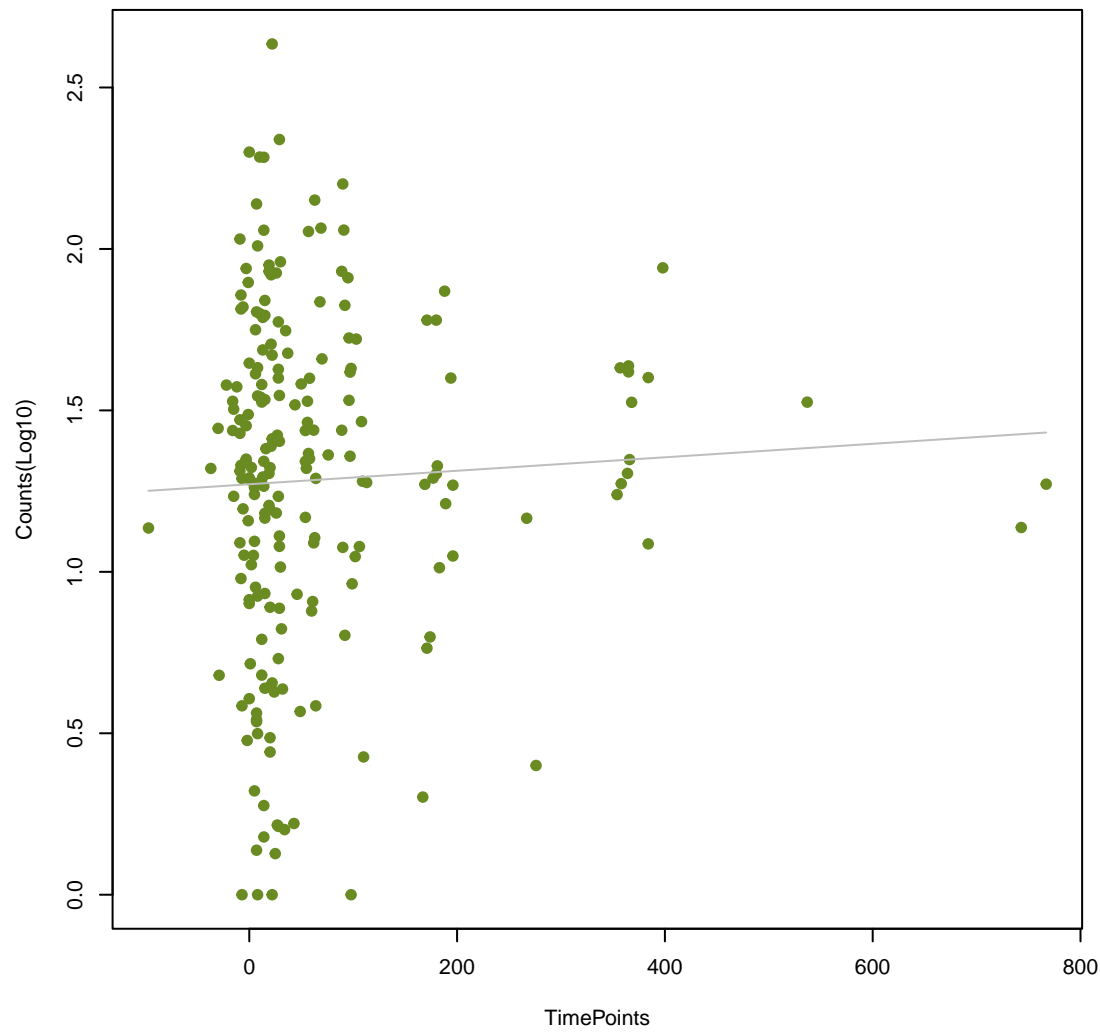
dfrB6
ANOVA P=0.479, adj. ANOVA-P=0.709



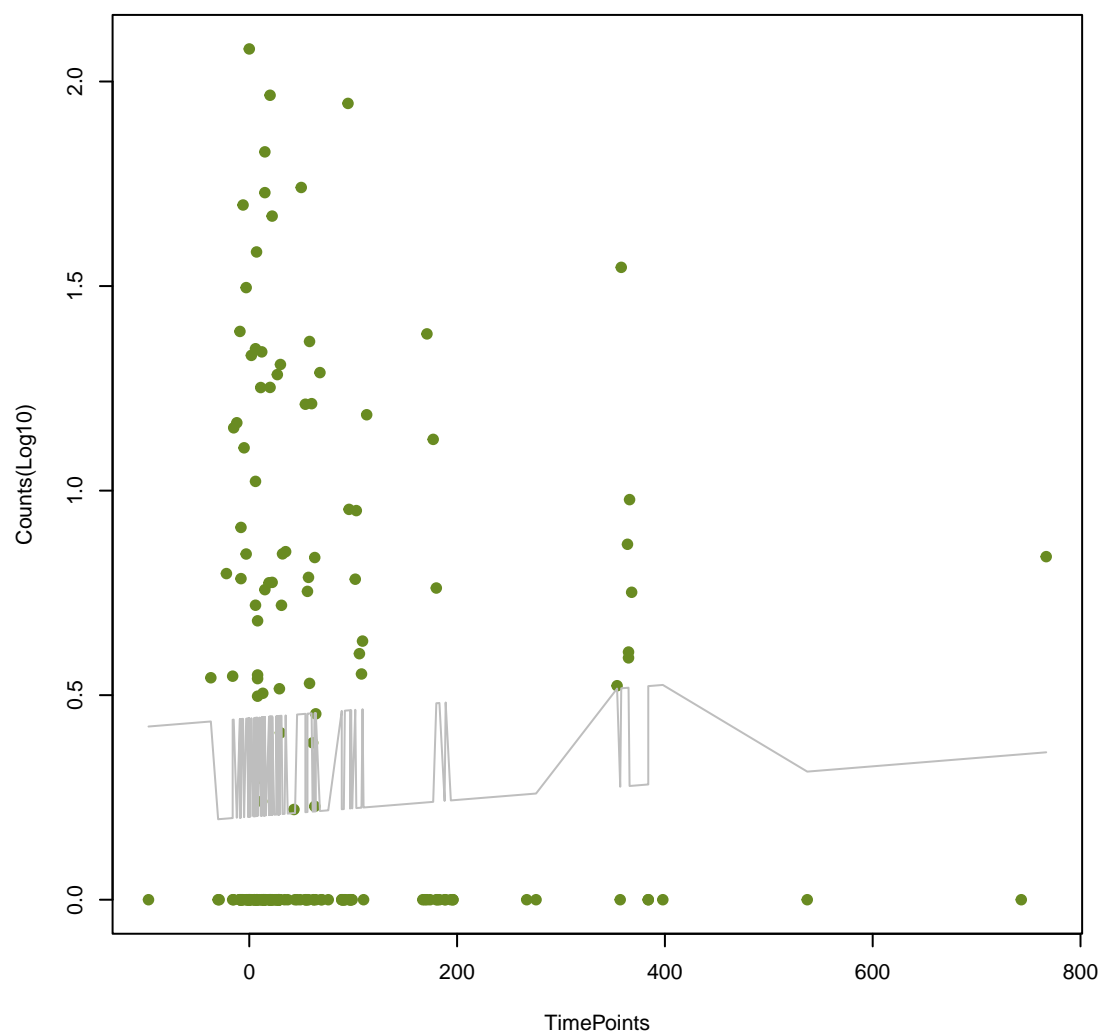
MuxB
ANOVA P=0.491, adj. ANOVA-P=0.722



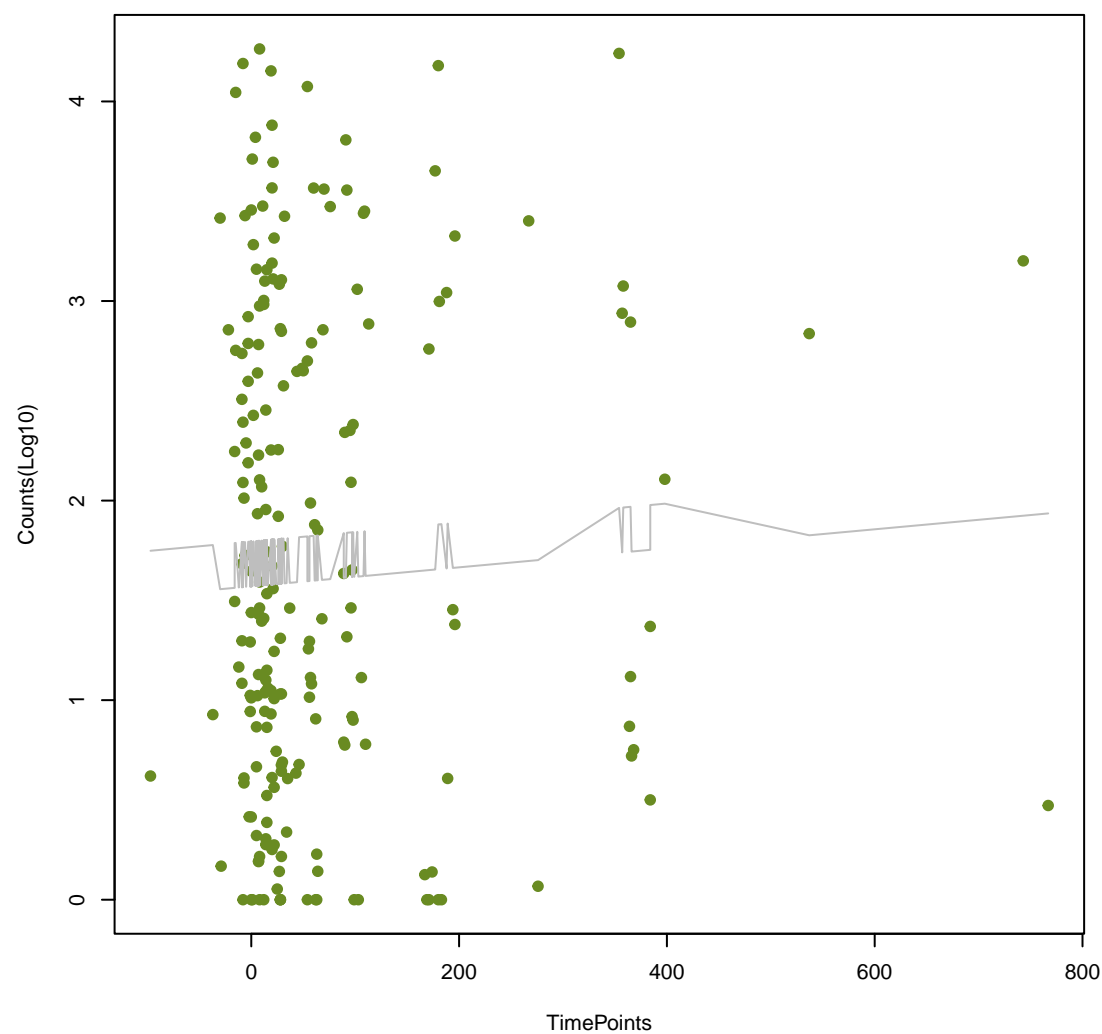
qacG
ANOVA P=0.492, adj. ANOVA-P=0.722



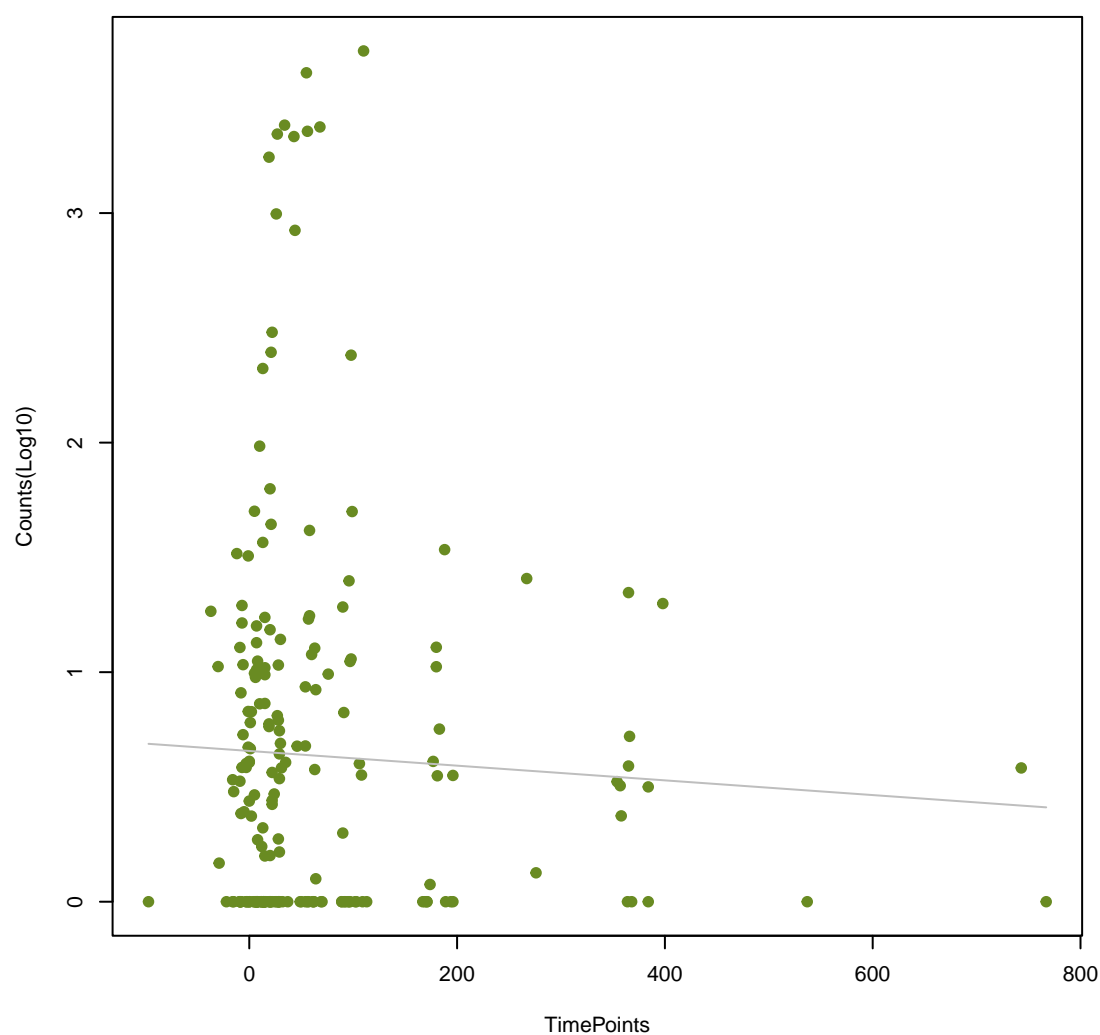
Tet(X3)
ANOVA P=0.501, adj. ANOVA-P=0.73



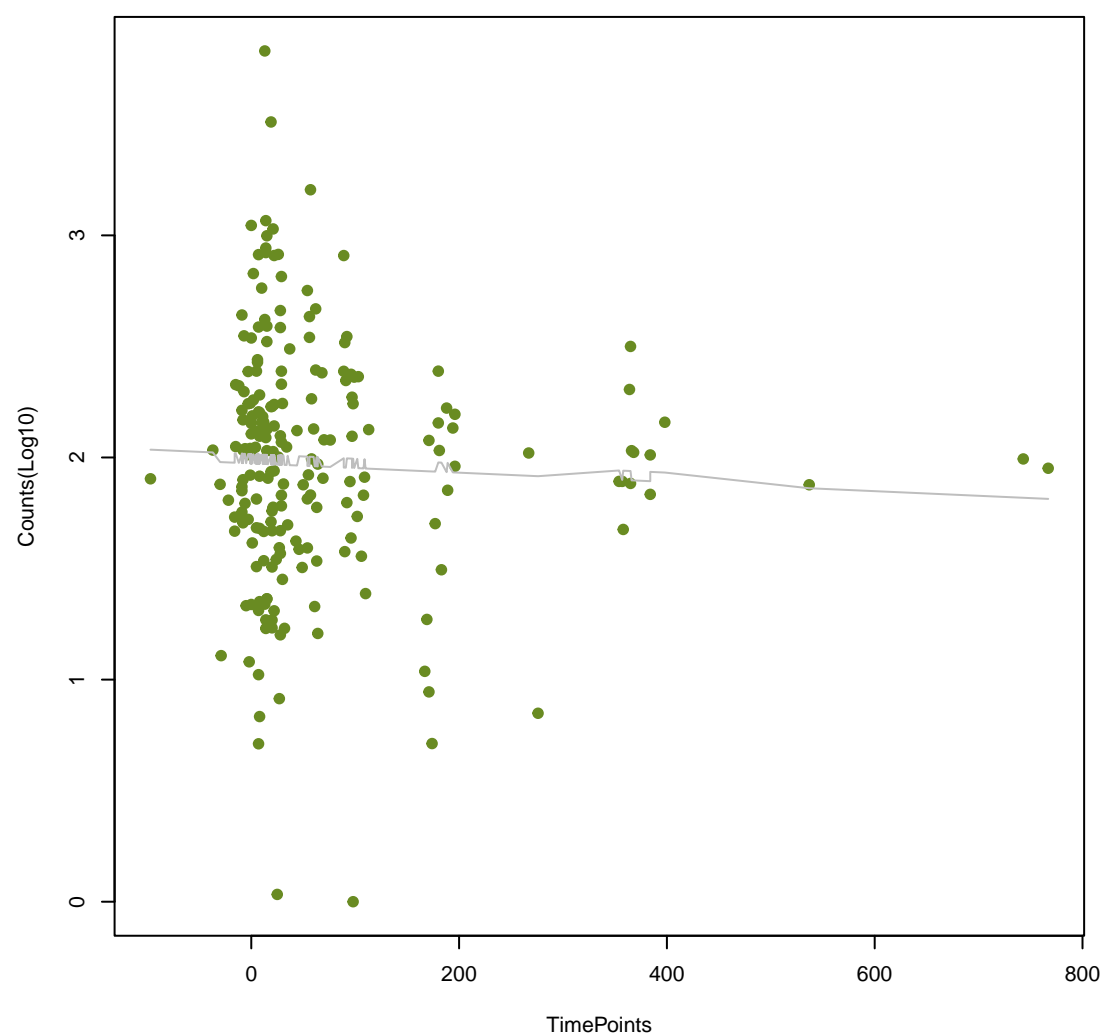
ErmF
ANOVA P=0.503, adj. ANOVA-P=0.73



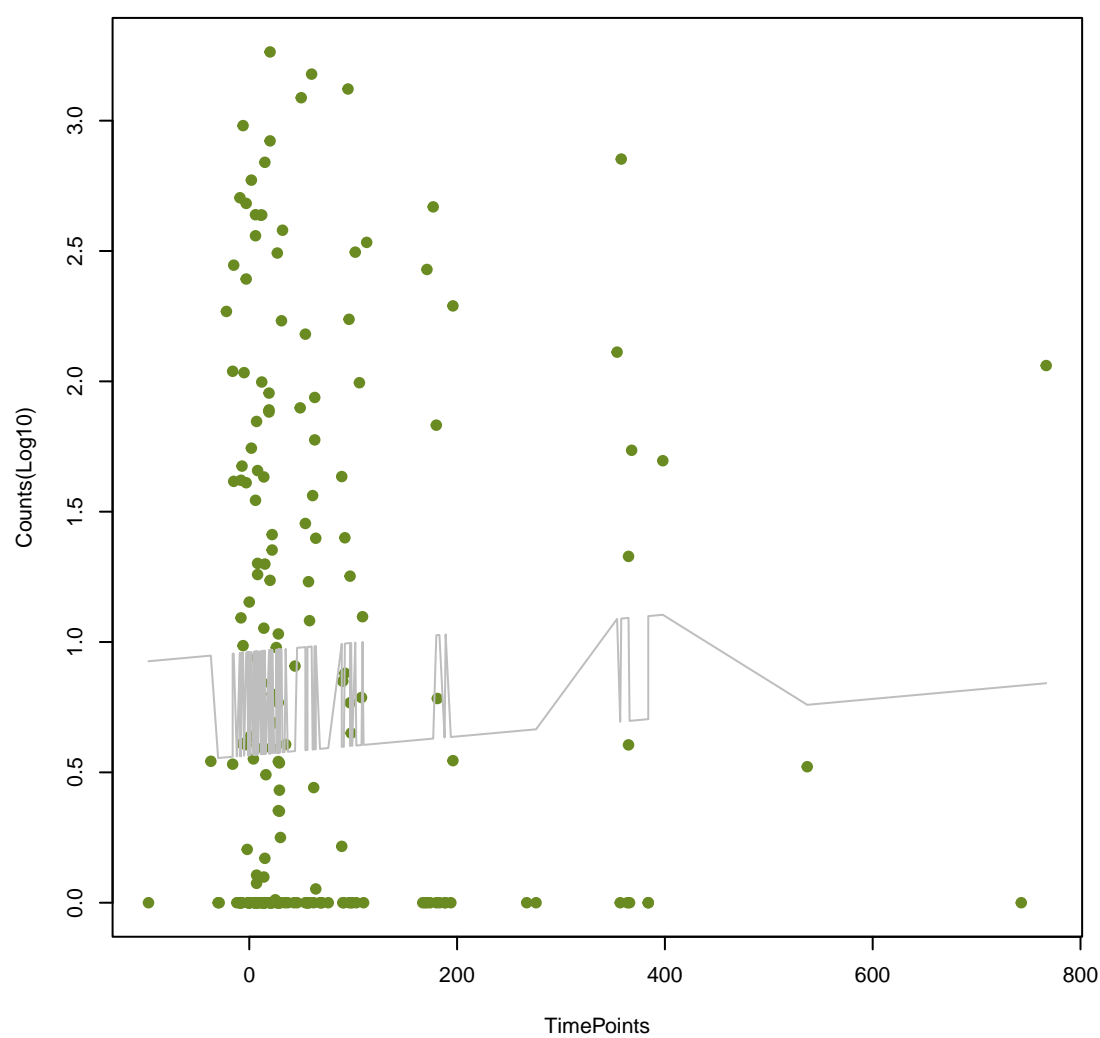
mecA
ANOVA P=0.506, adj. ANOVA-P=0.731



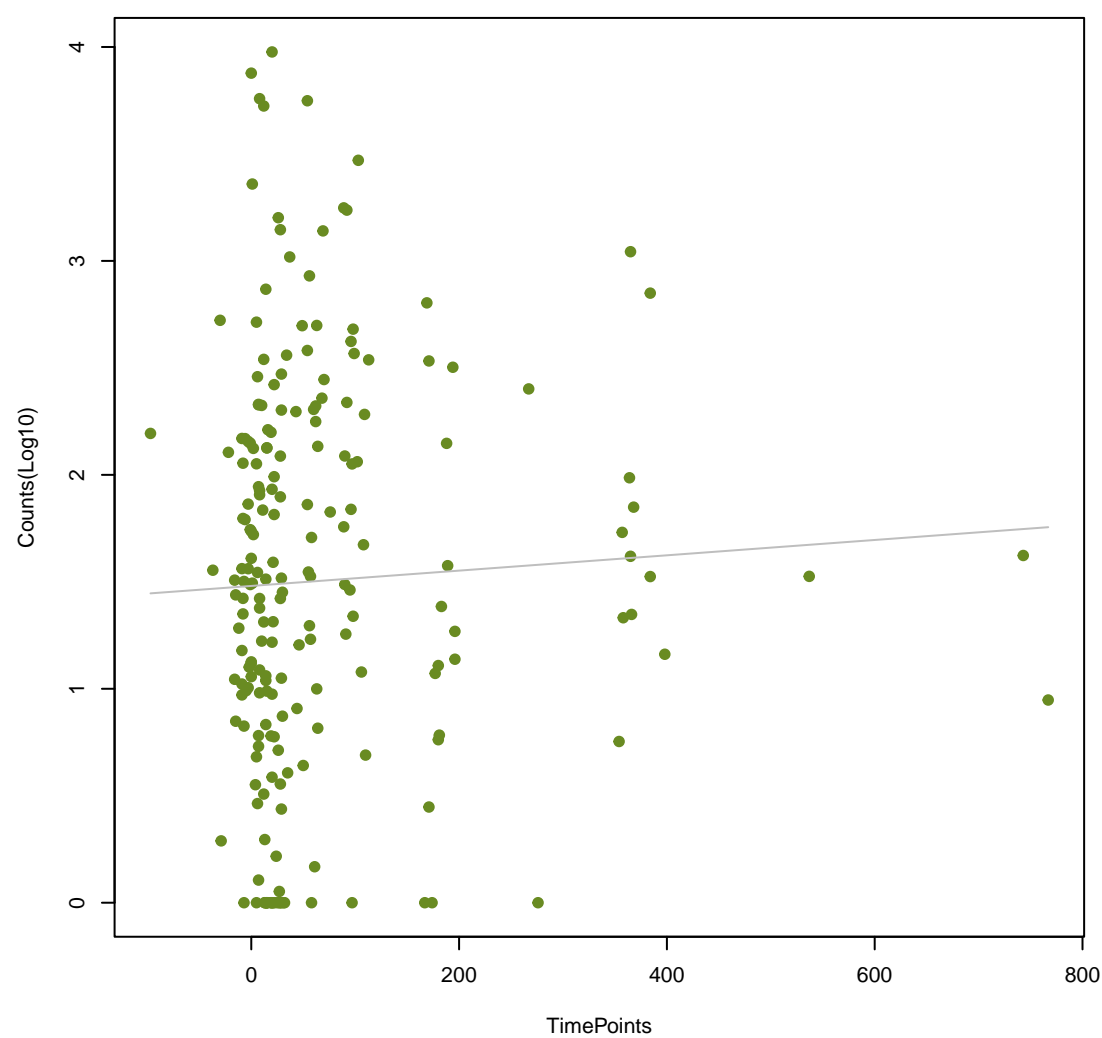
Paer_emrE
ANOVA P=0.512, adj. ANOVA-P=0.734

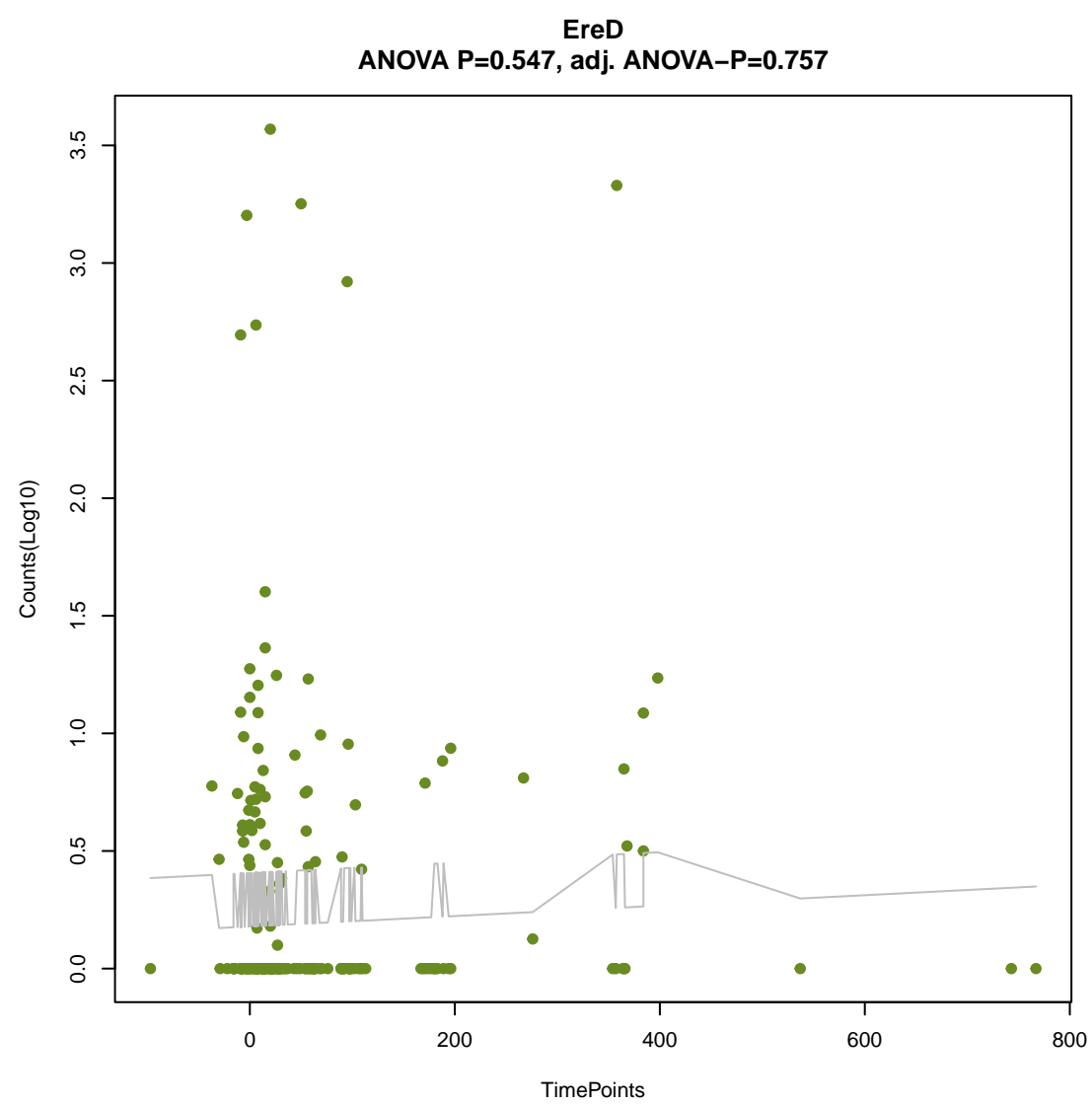
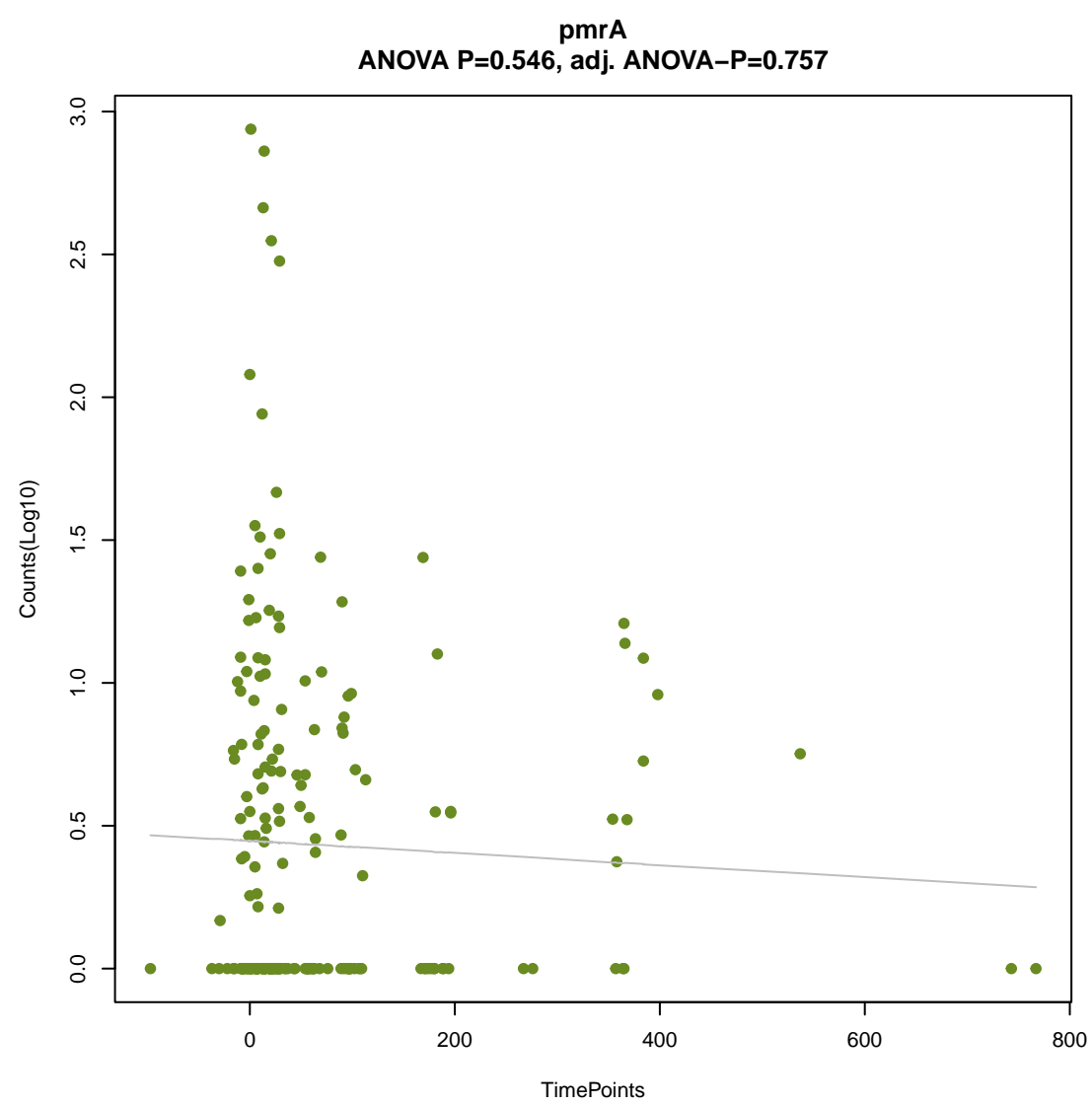
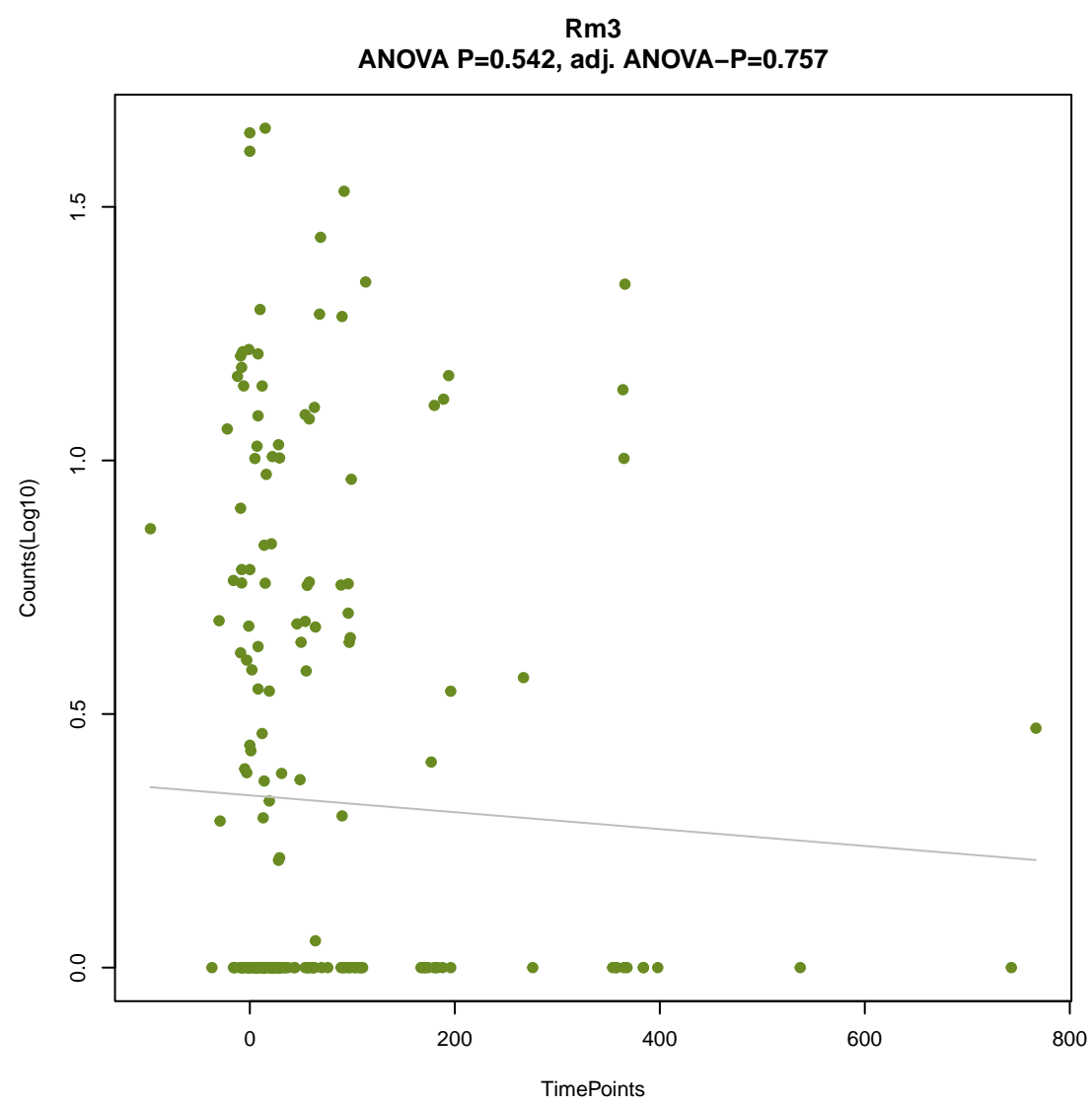
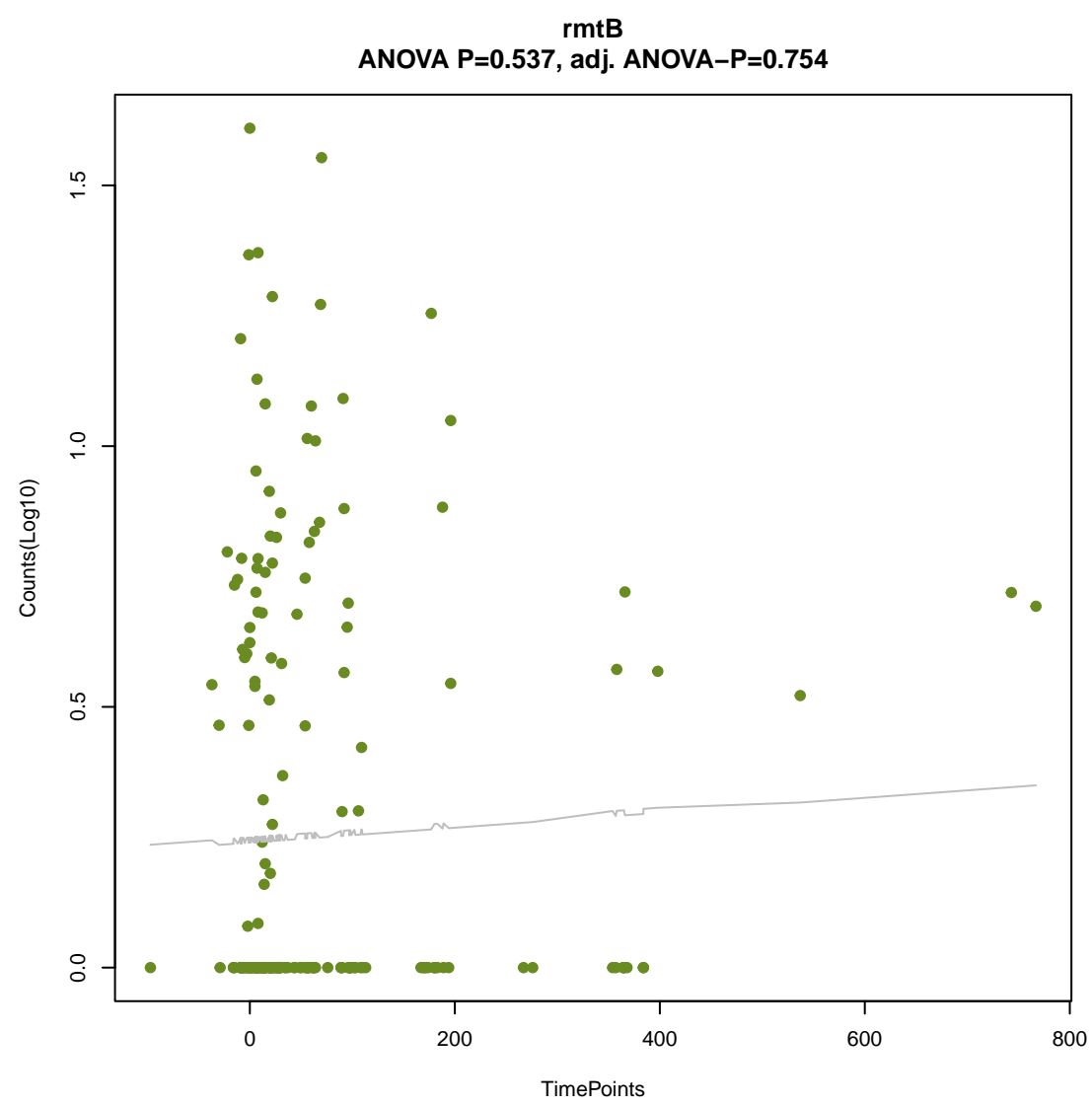
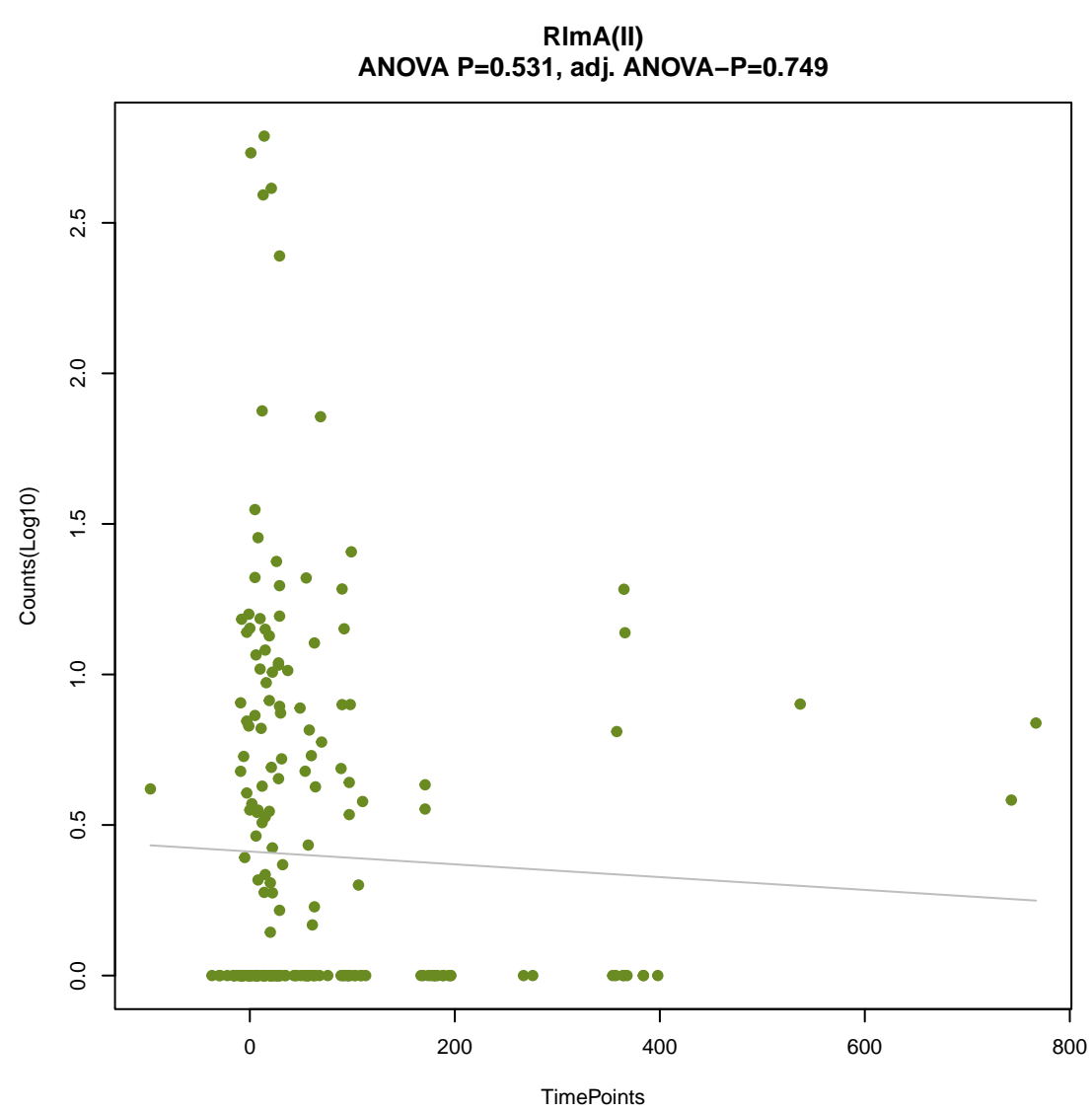
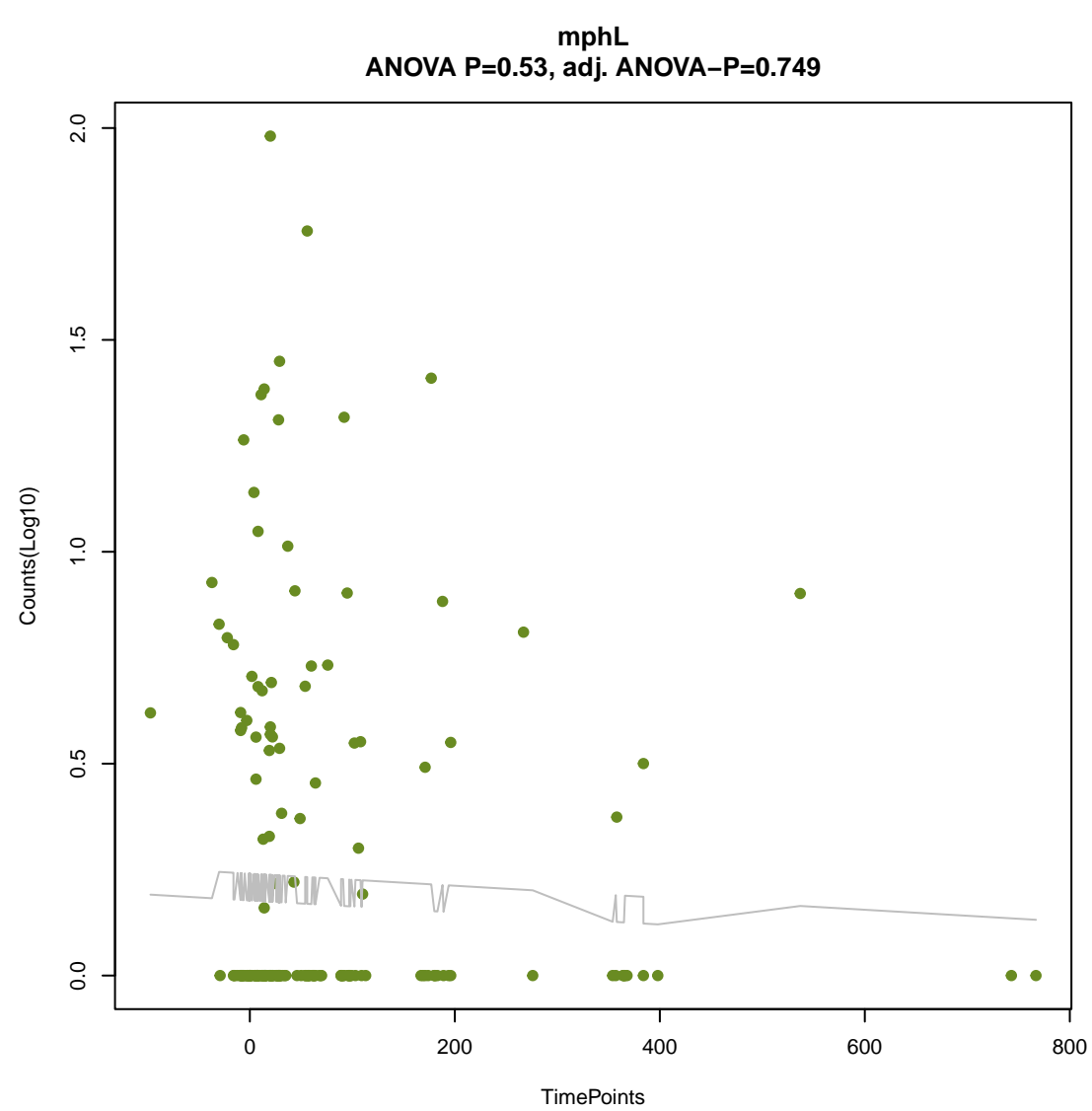


Tet(X4)
ANOVA P=0.516, adj. ANOVA-P=0.734

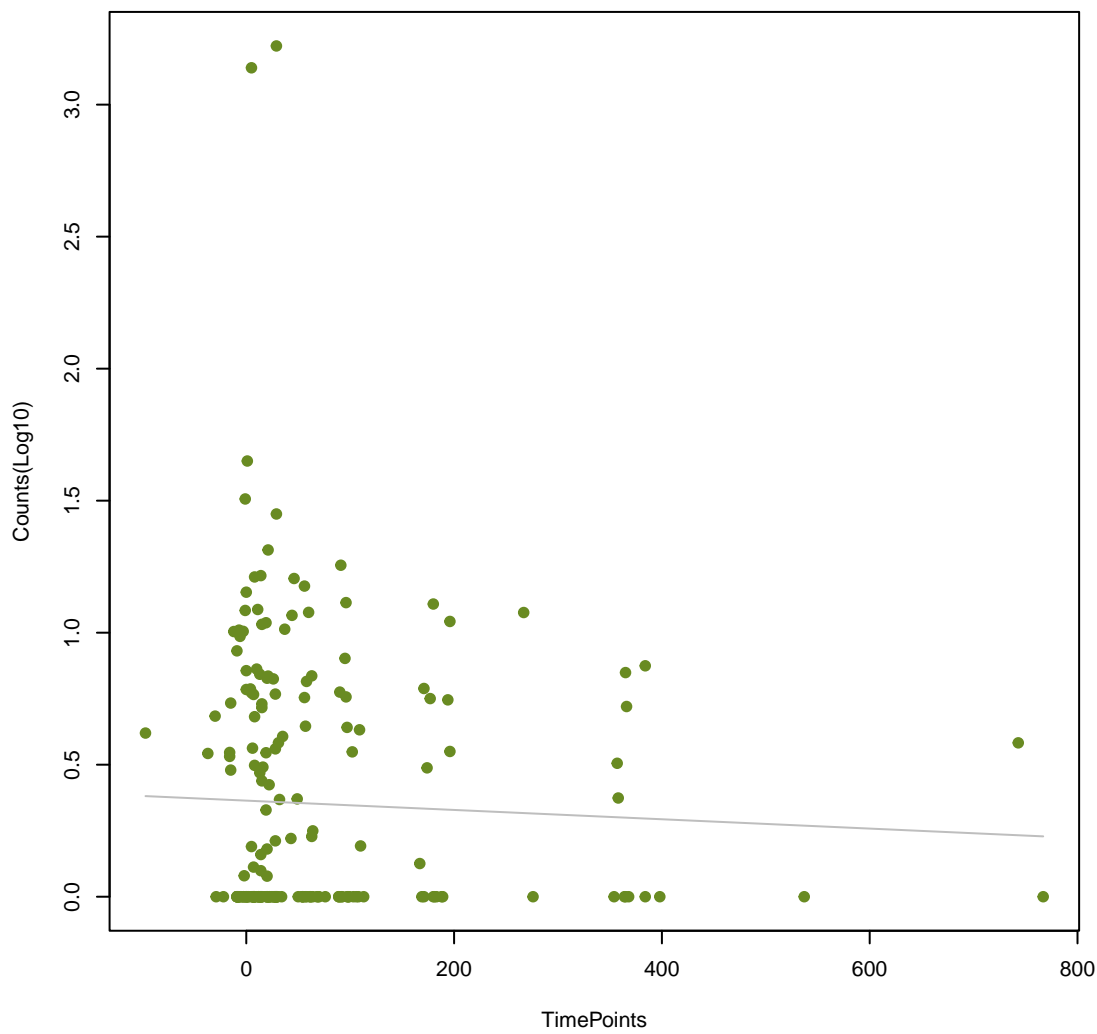


tetB(46)
ANOVA P=0.516, adj. ANOVA-P=0.734

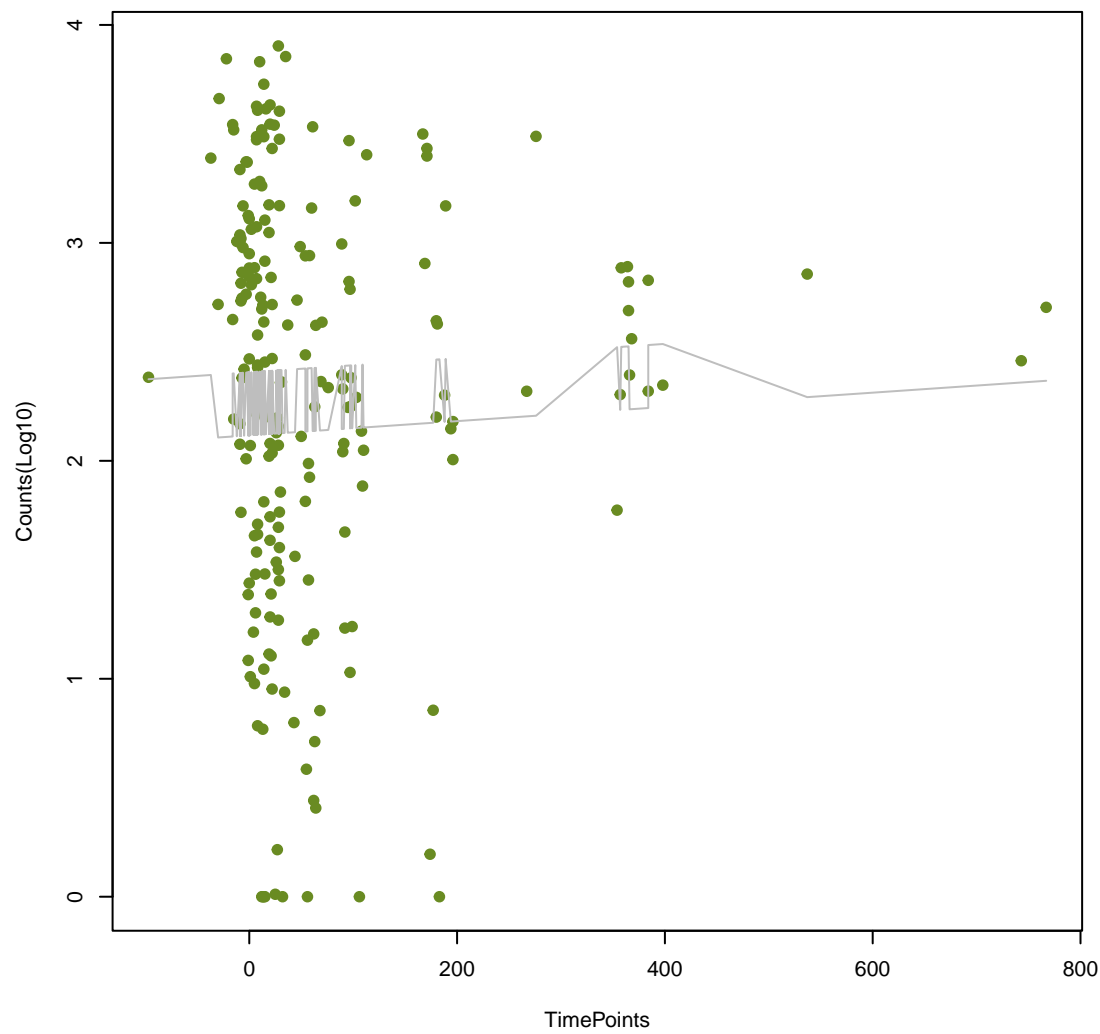




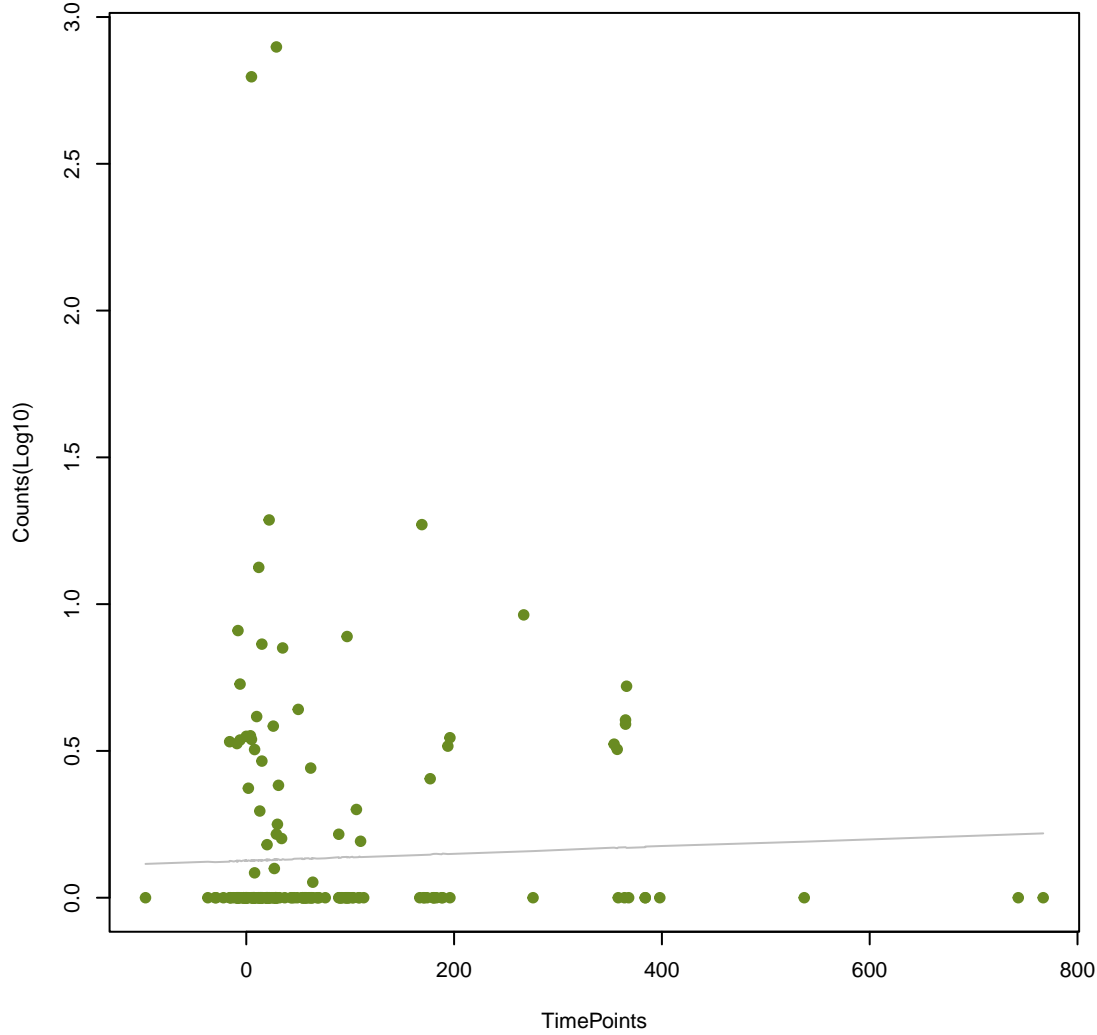
MexD
ANOVA P=0.551, adj. ANOVA-P=0.759



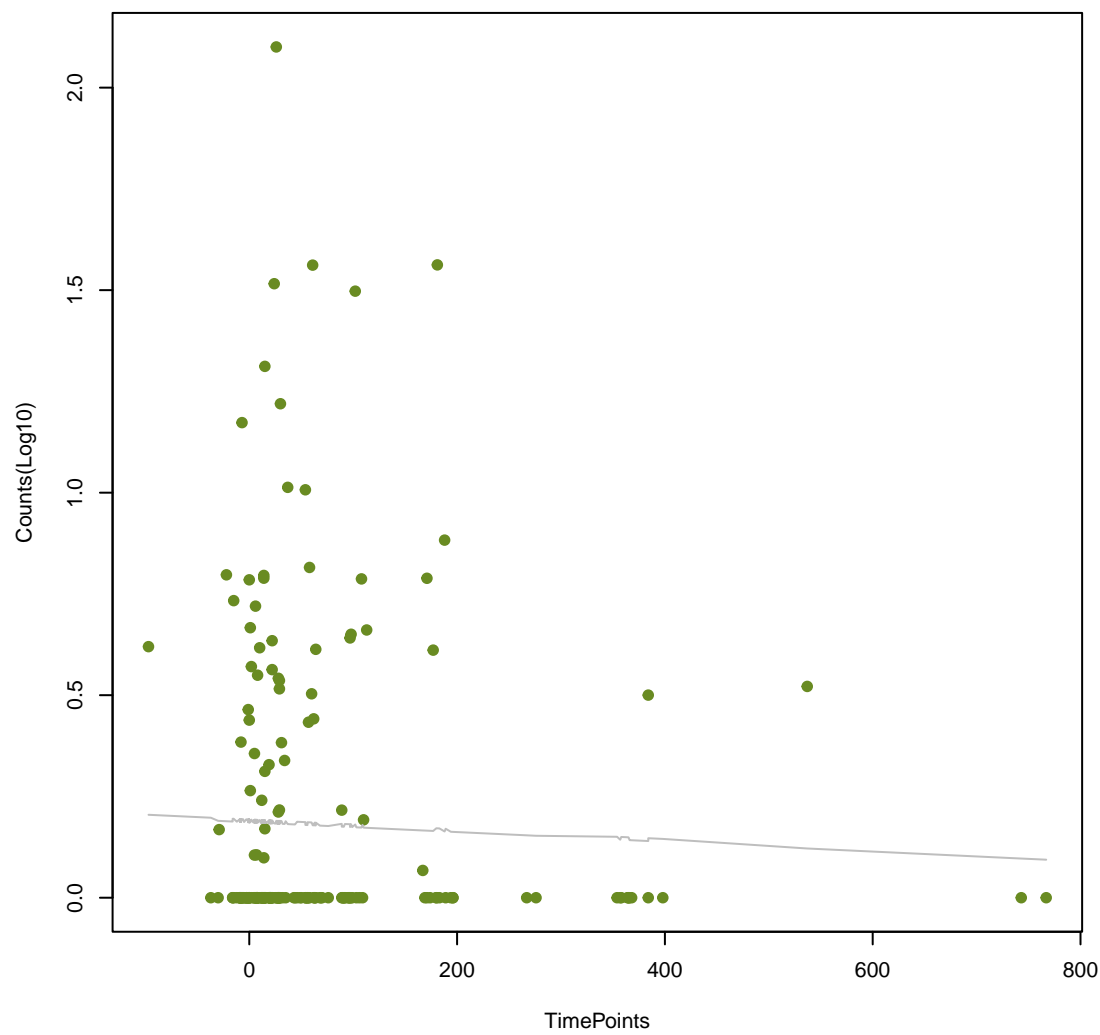
ErmB
ANOVA P=0.555, adj. ANOVA-P=0.761



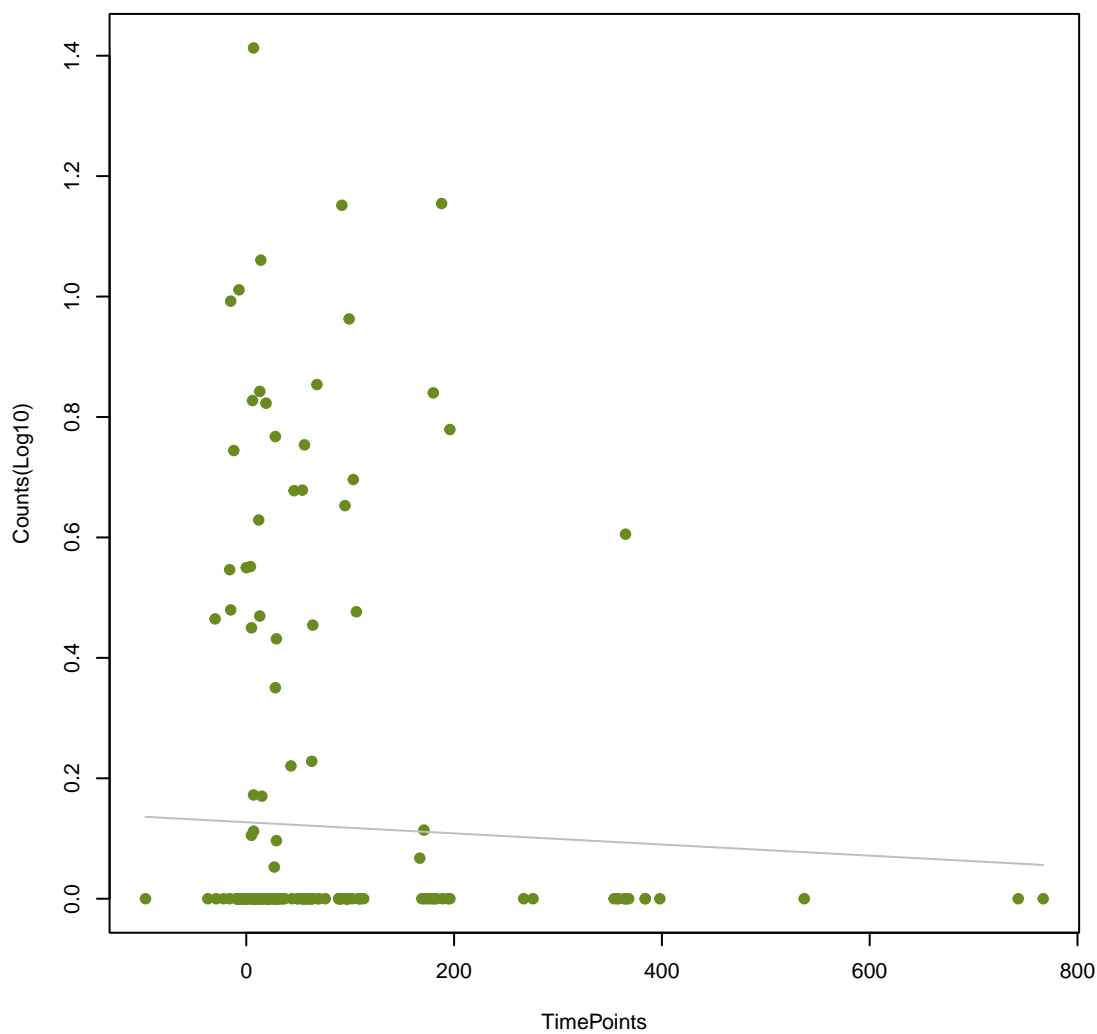
opmE
ANOVA P=0.565, adj. ANOVA-P=0.772



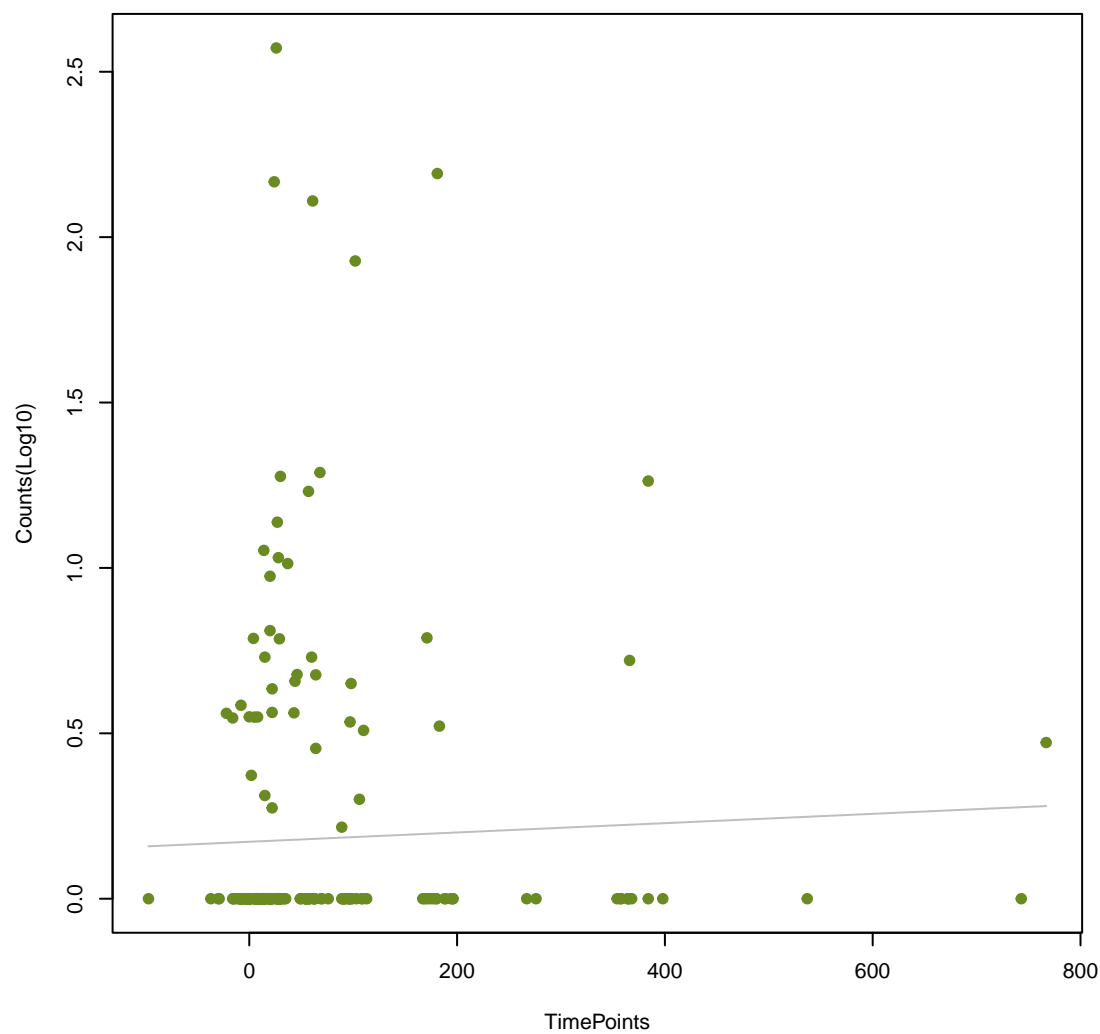
SHV-6
ANOVA P=0.571, adj. ANOVA-P=0.776



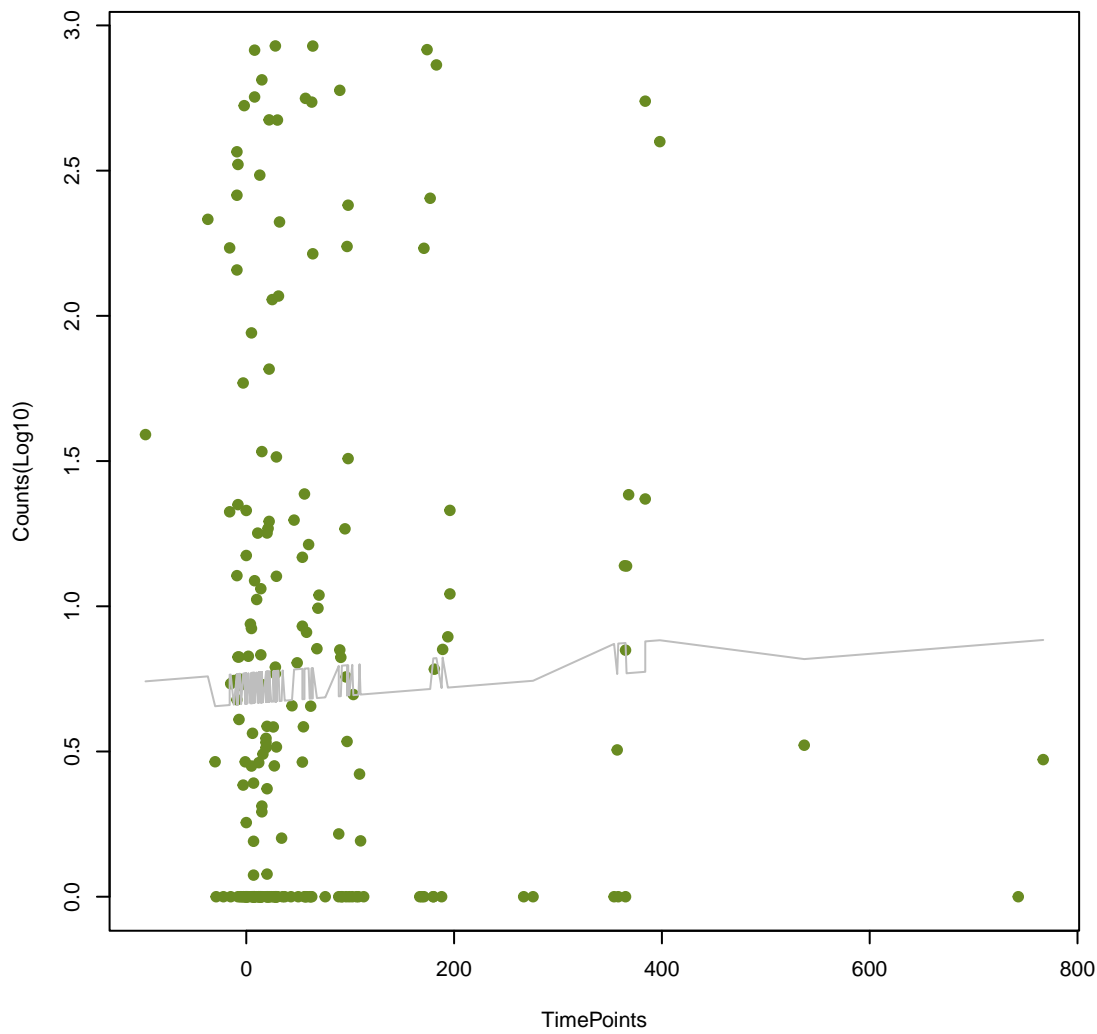
RAHN-1
ANOVA P=0.574, adj. ANOVA-P=0.777



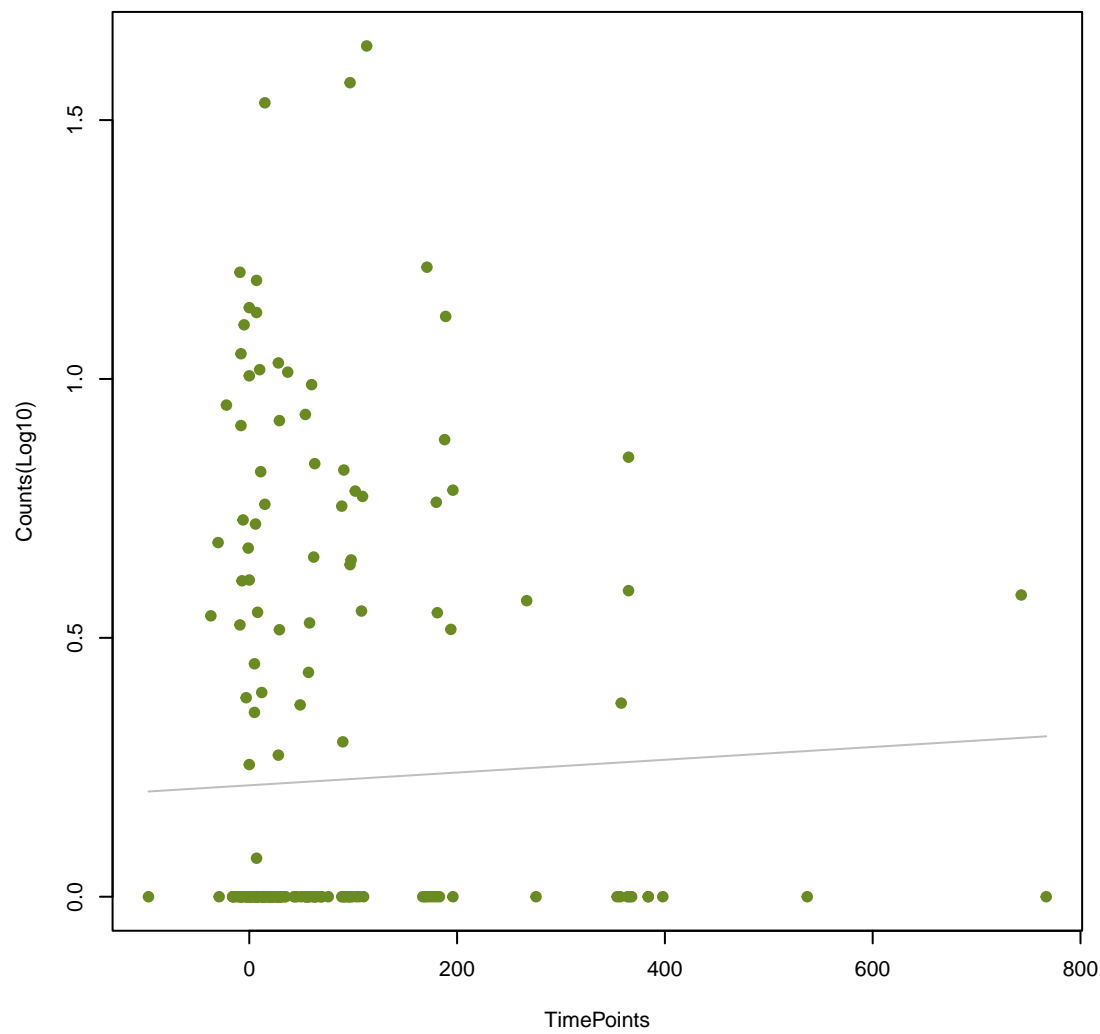
SHV-53
ANOVA P=0.578, adj. ANOVA-P=0.777



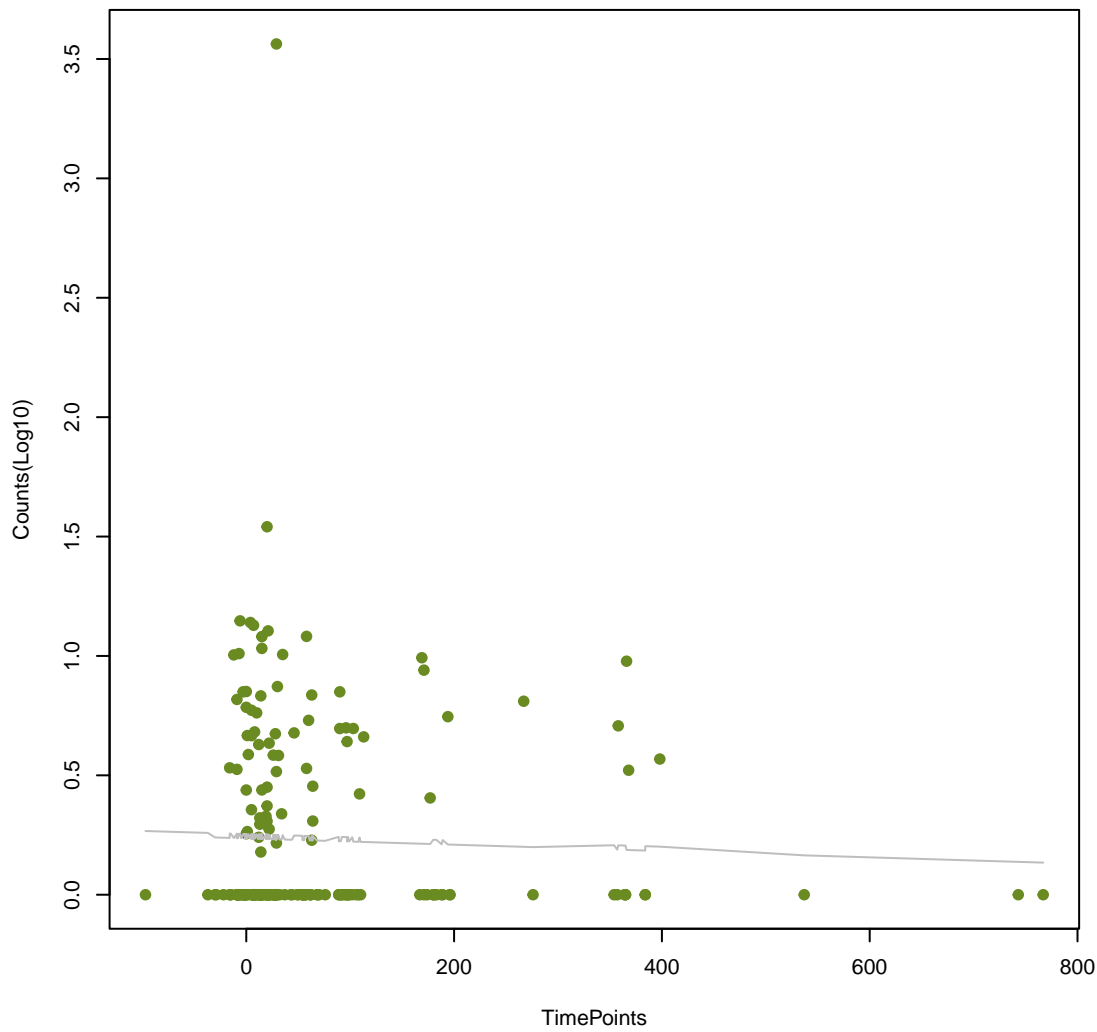
AcrE
ANOVA P=0.579, adj. ANOVA-P=0.777



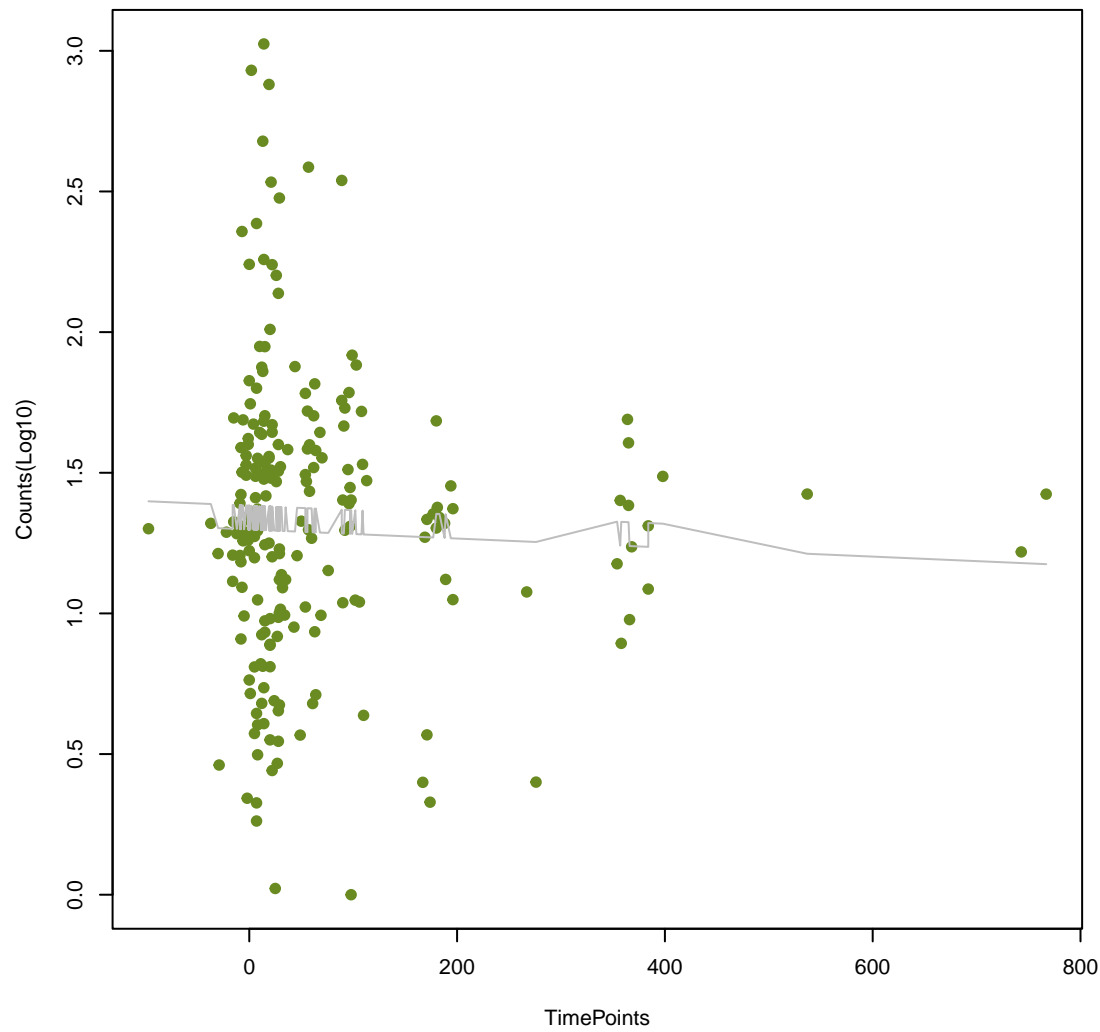
DHA-28
ANOVA P=0.586, adj. ANOVA-P=0.781



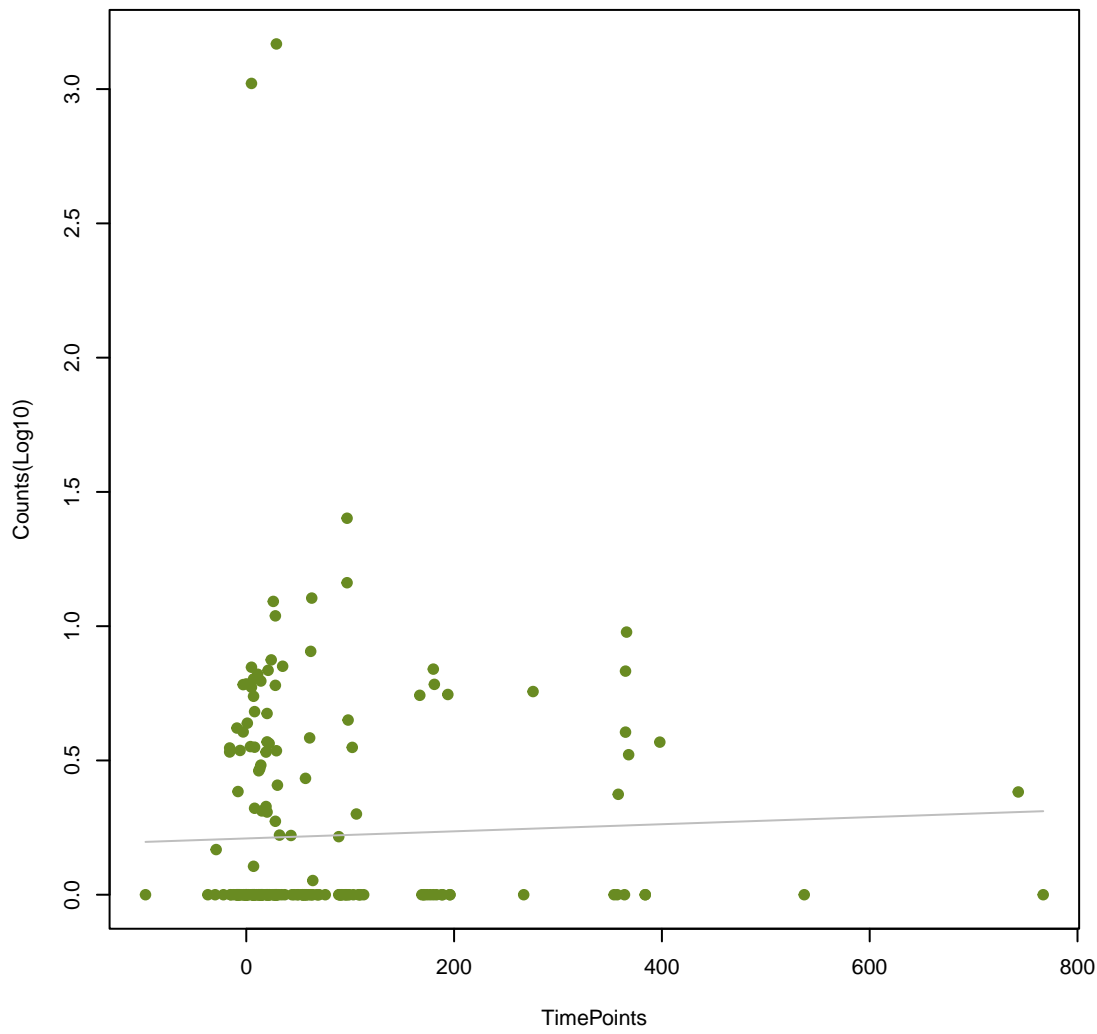
Lmon_mprF
ANOVA P=0.59, adj. ANOVA-P=0.781



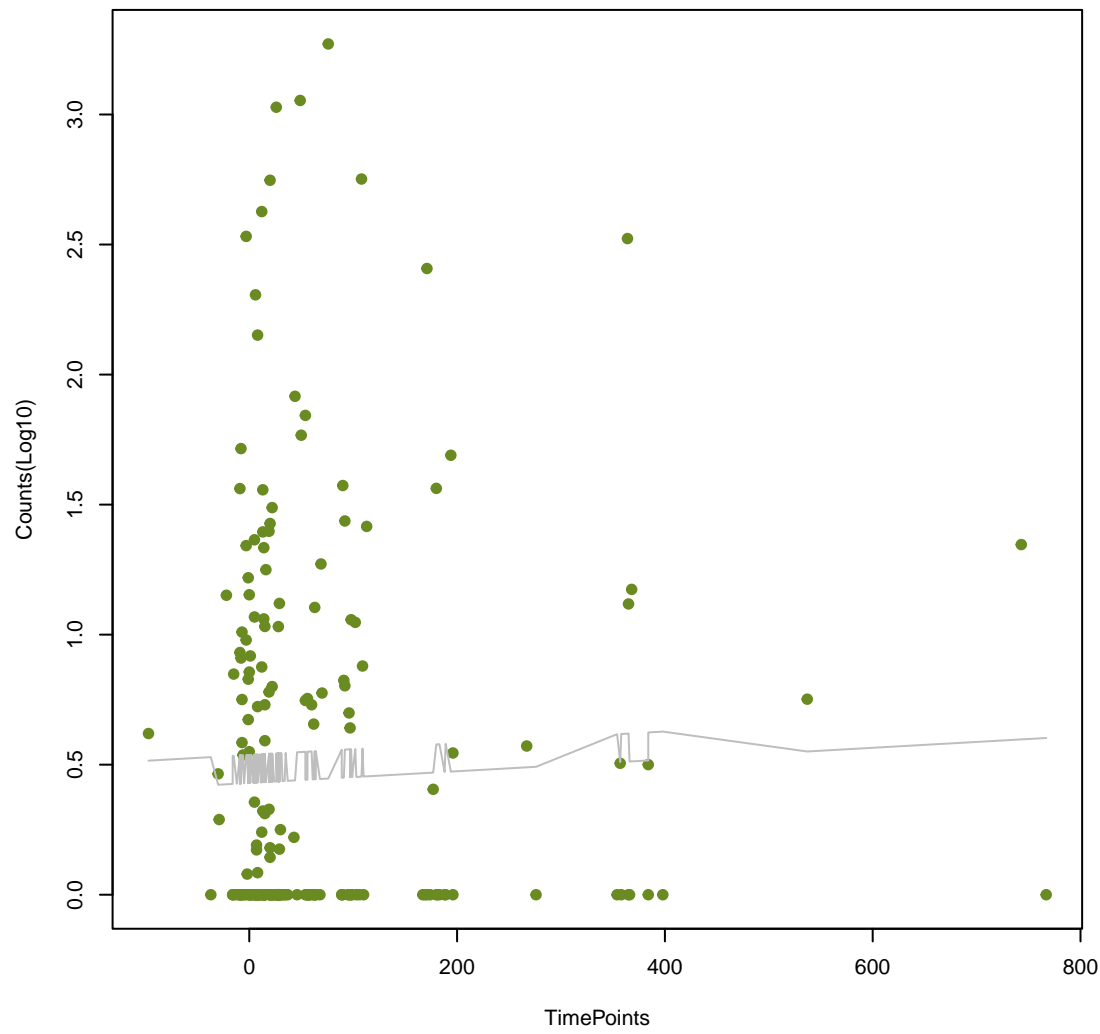
dfrB7
ANOVA P=0.591, adj. ANOVA-P=0.781



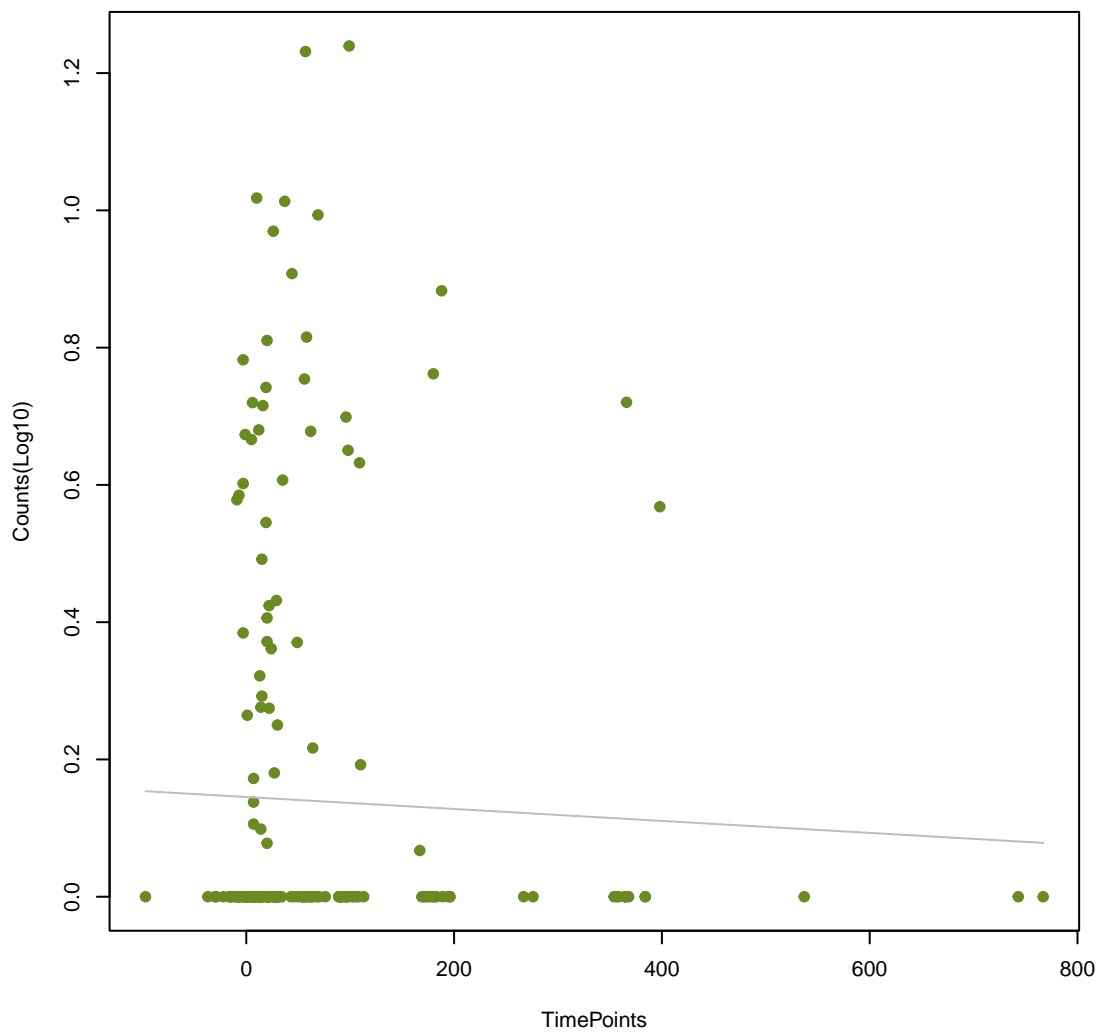
MuxC
ANOVA P=0.594, adj. ANOVA-P=0.781



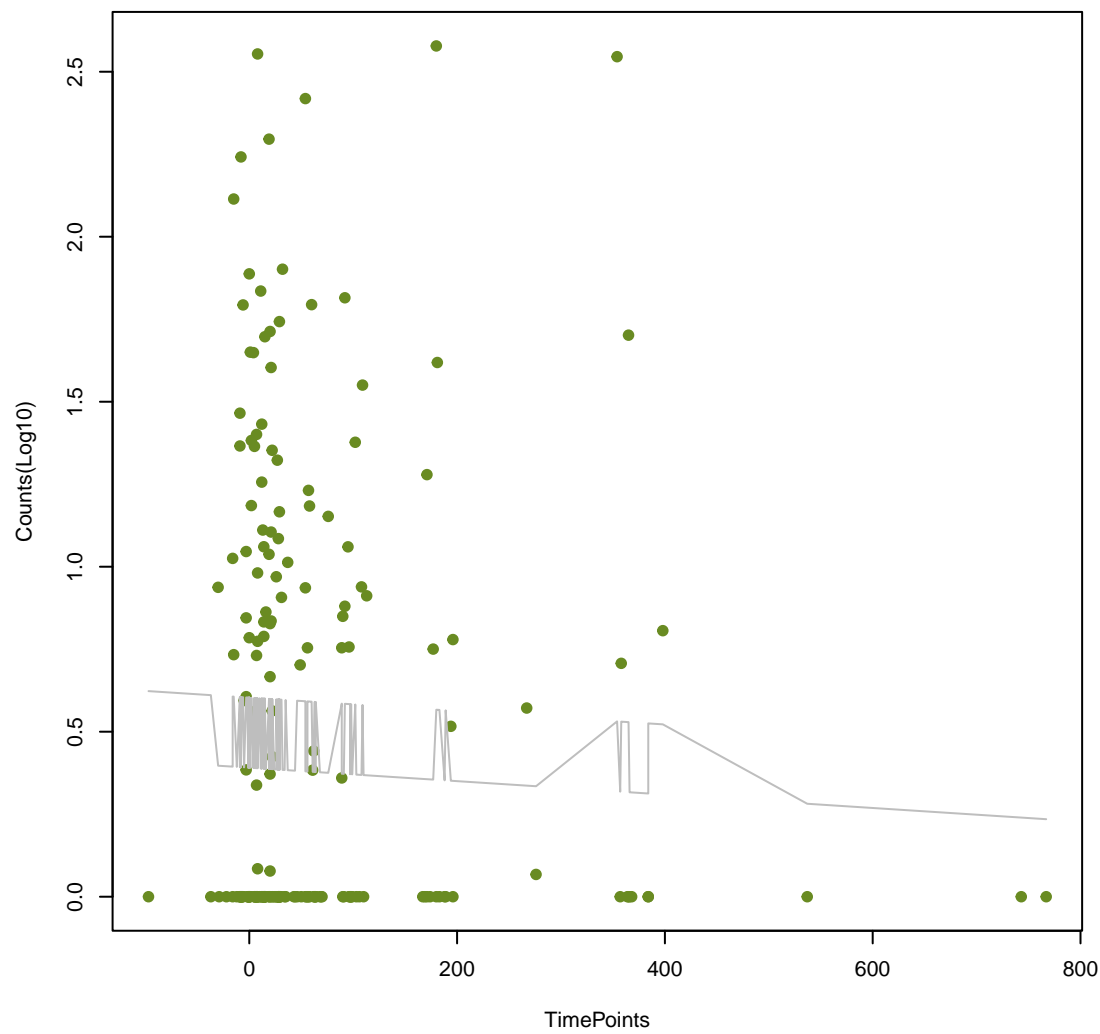
mdeA
ANOVA P=0.596, adj. ANOVA-P=0.781



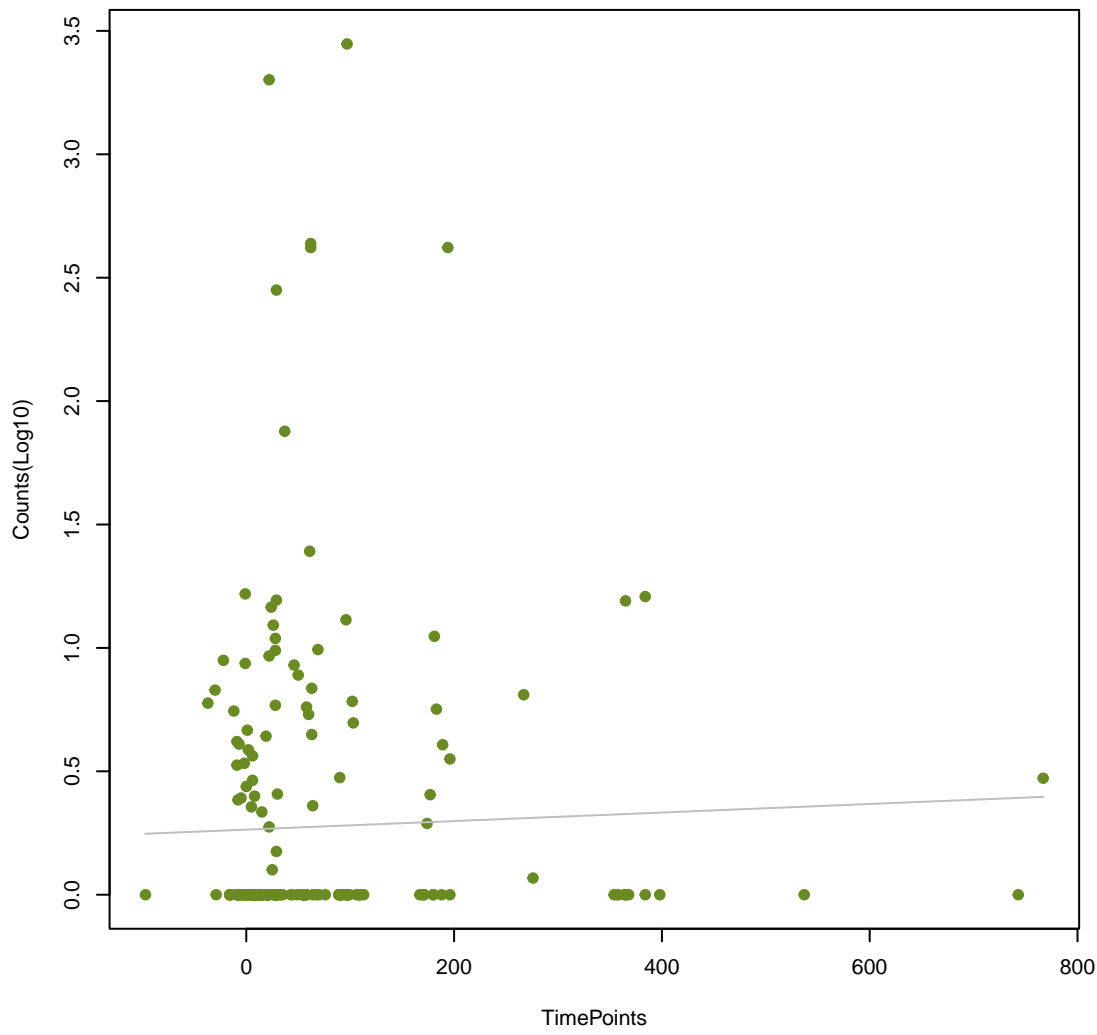
MCR-4.2
ANOVA P=0.598, adj. ANOVA-P=0.781



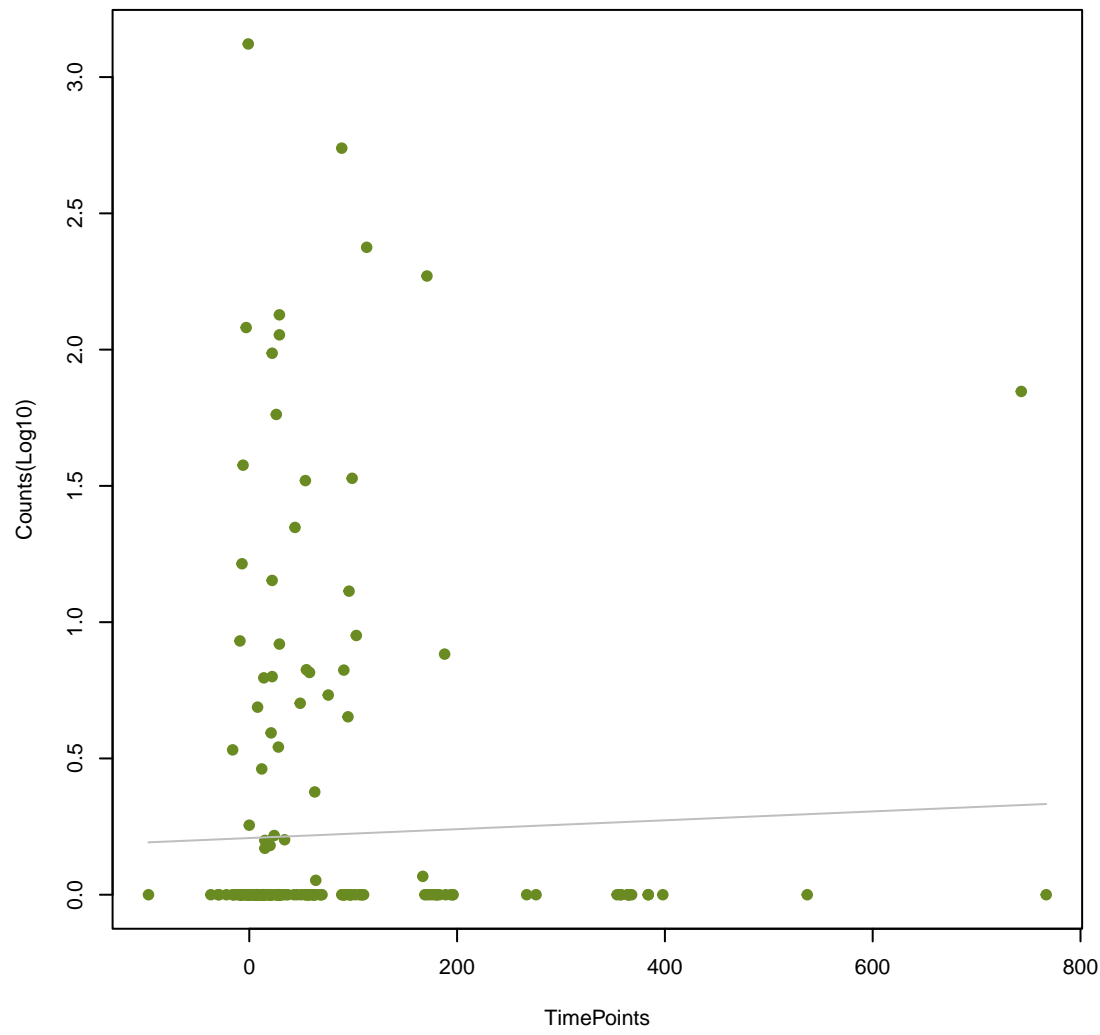
Erm(35)
ANOVA P=0.601, adj. ANOVA-P=0.781



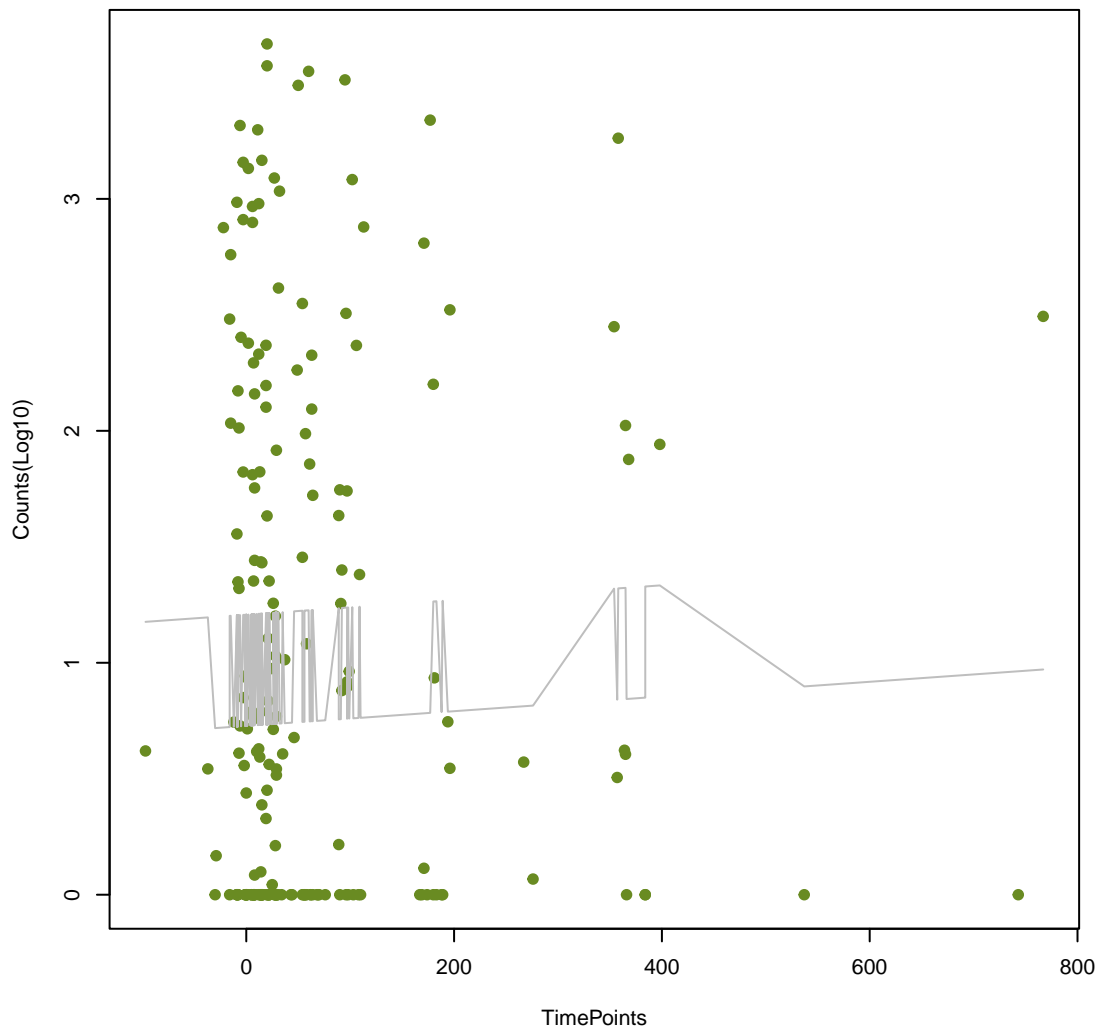
Eclo_acrA
ANOVA P=0.606, adj. ANOVA-P=0.785



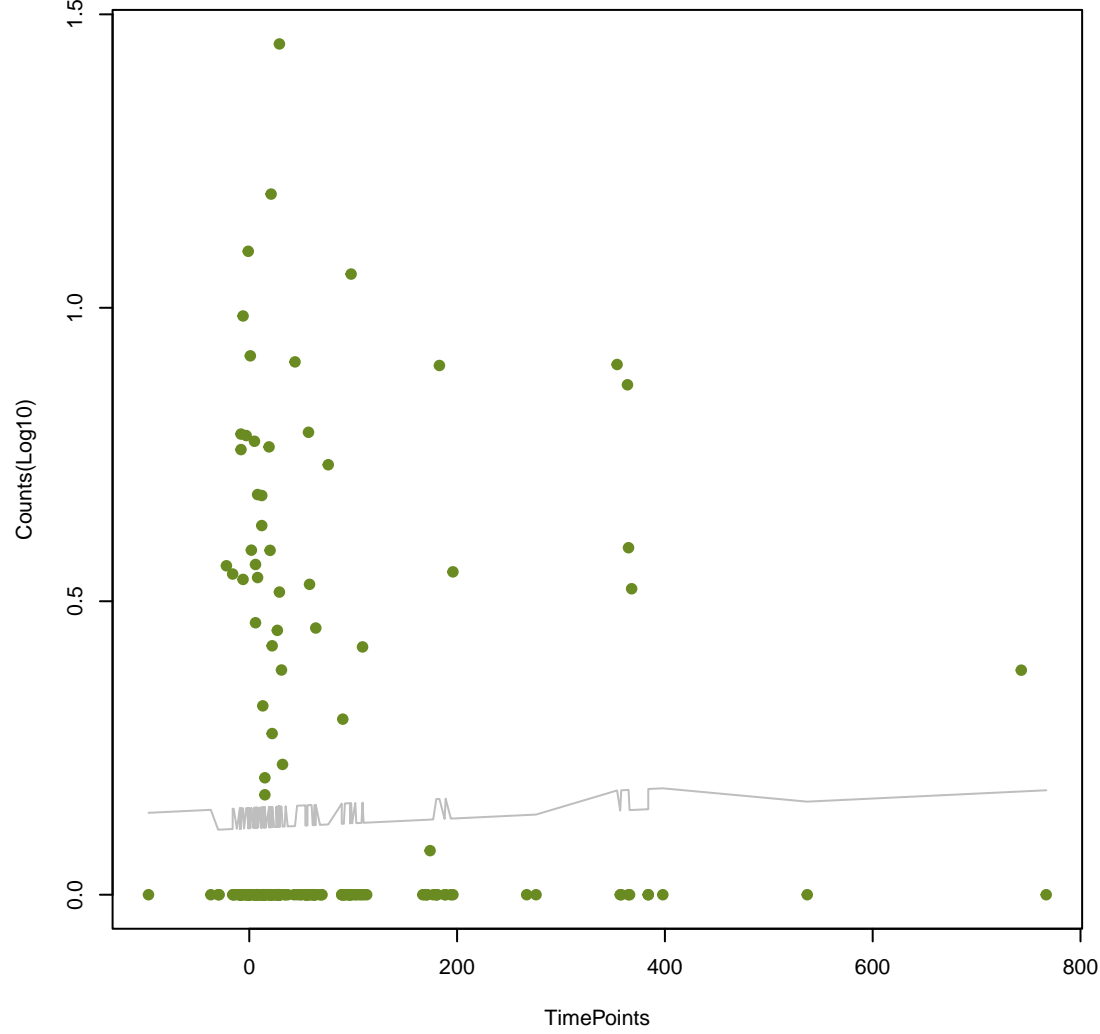
LnuP
ANOVA P=0.614, adj. ANOVA-P=0.791

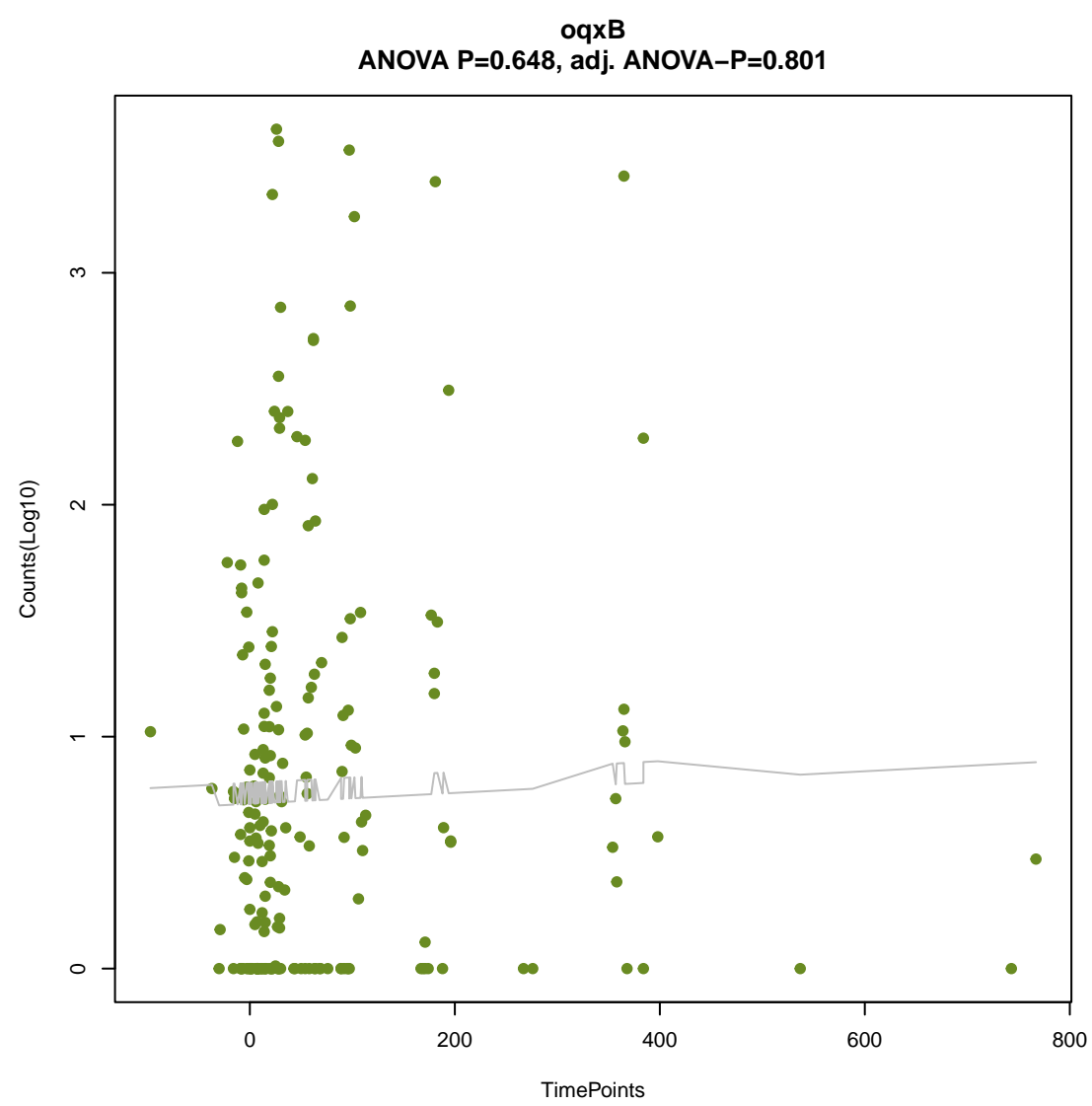
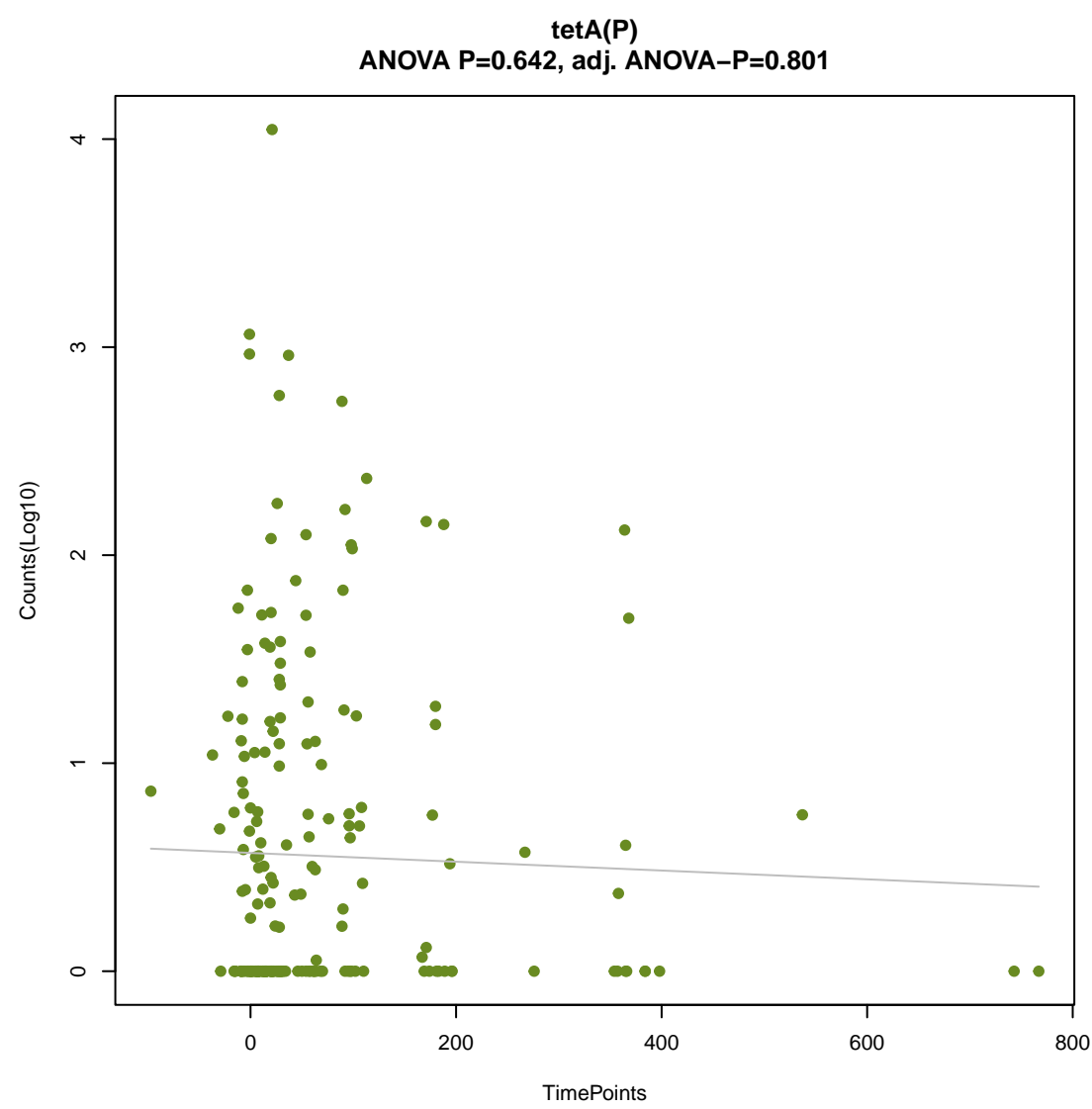
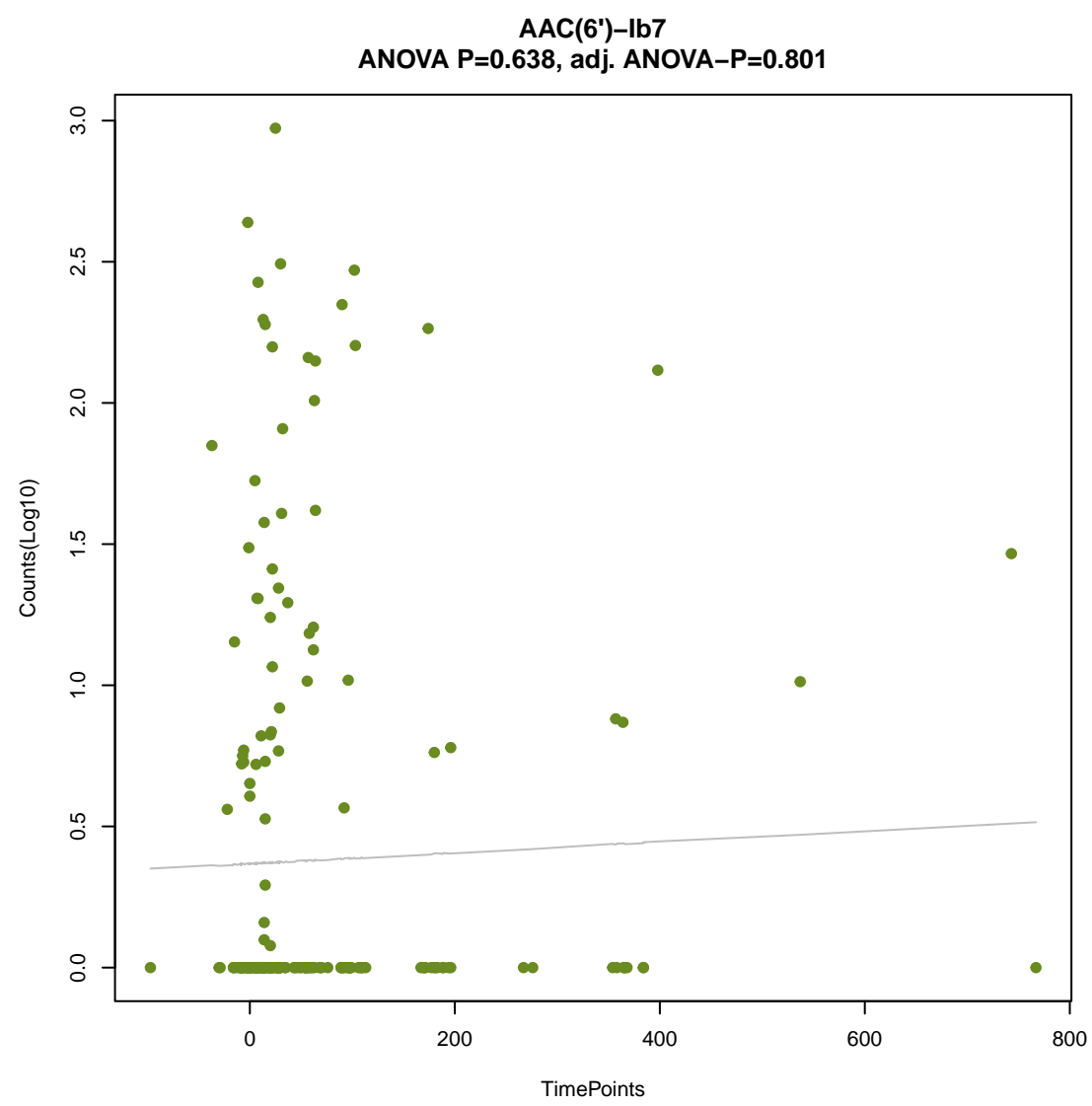
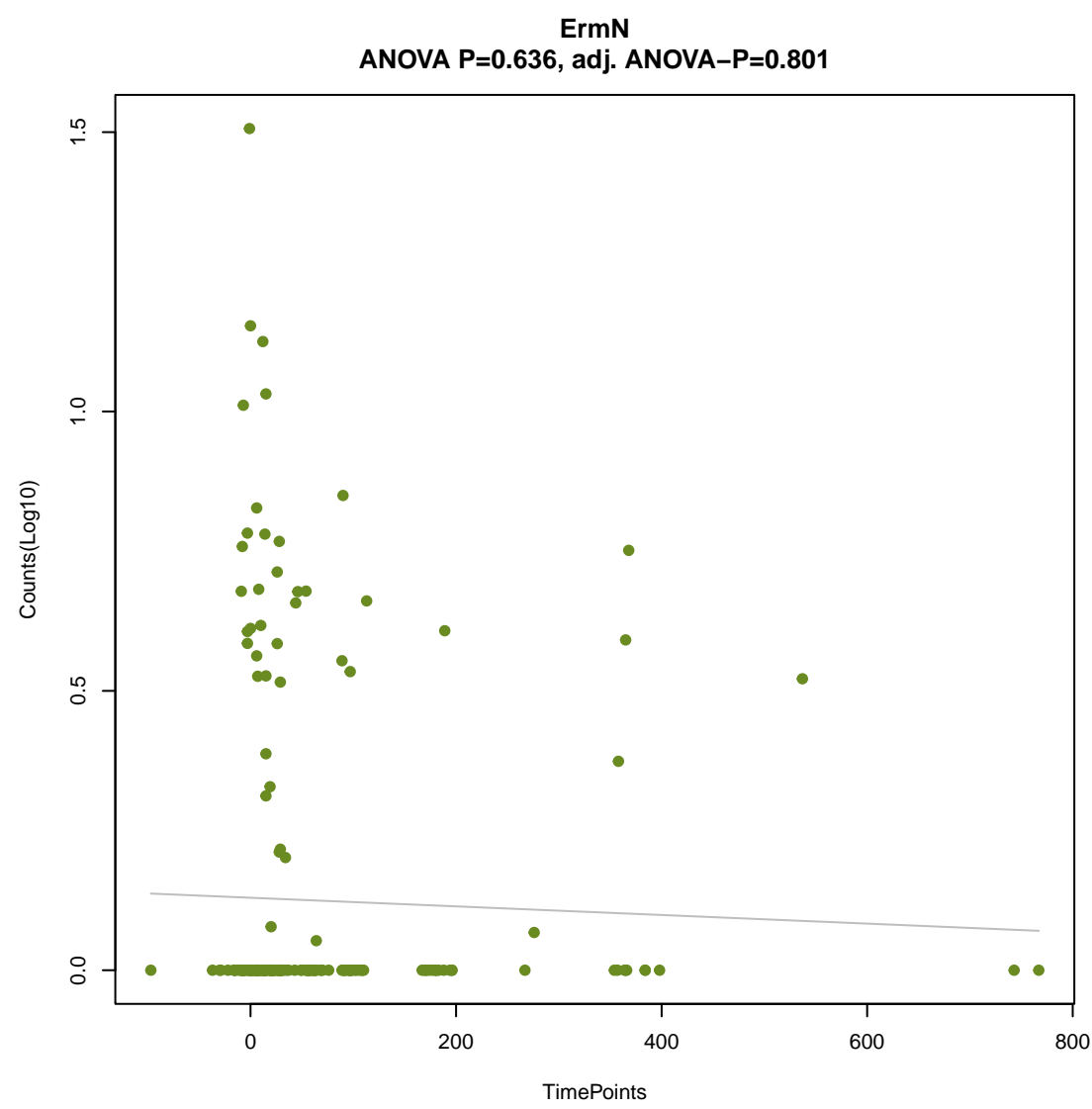
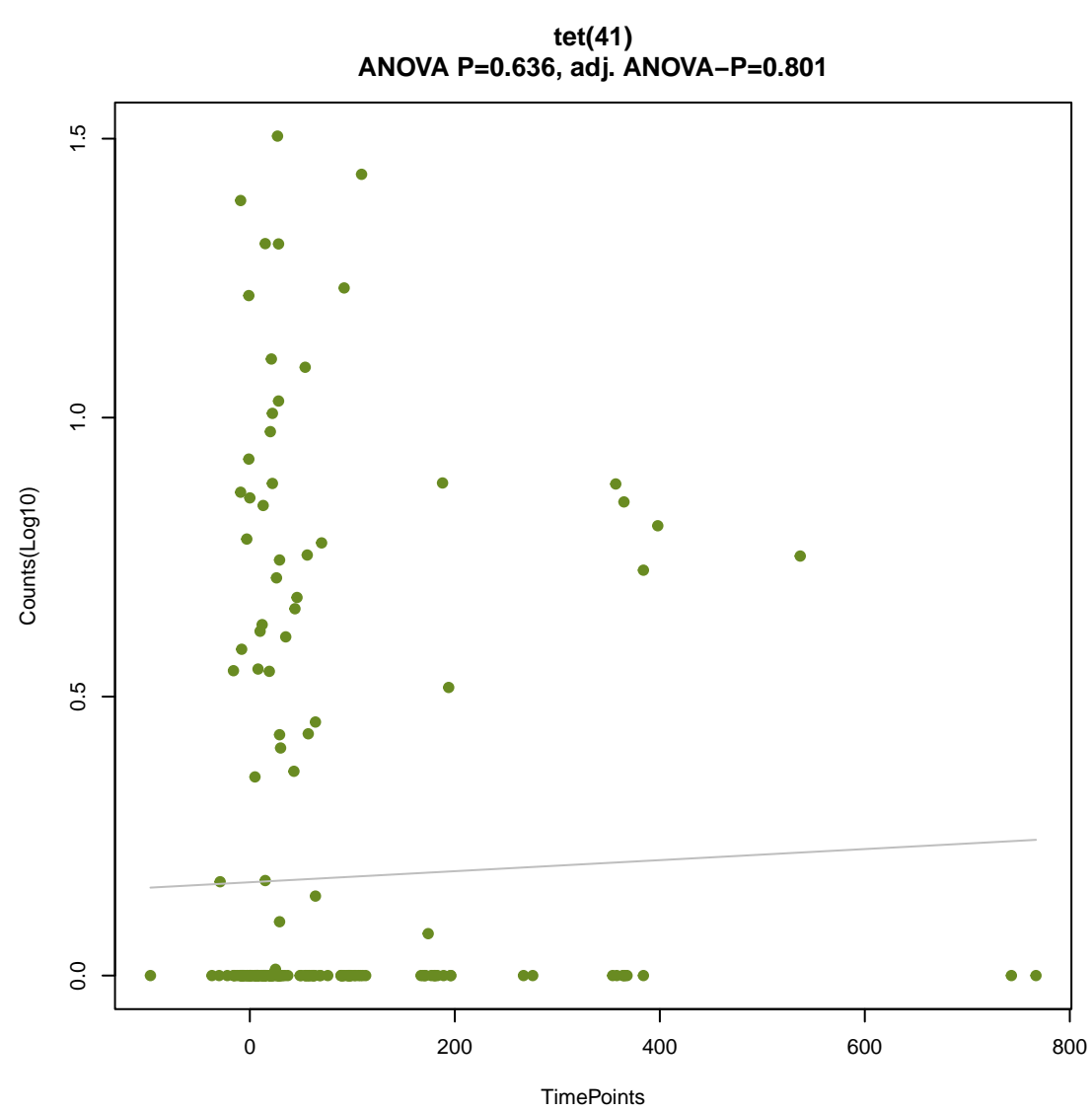
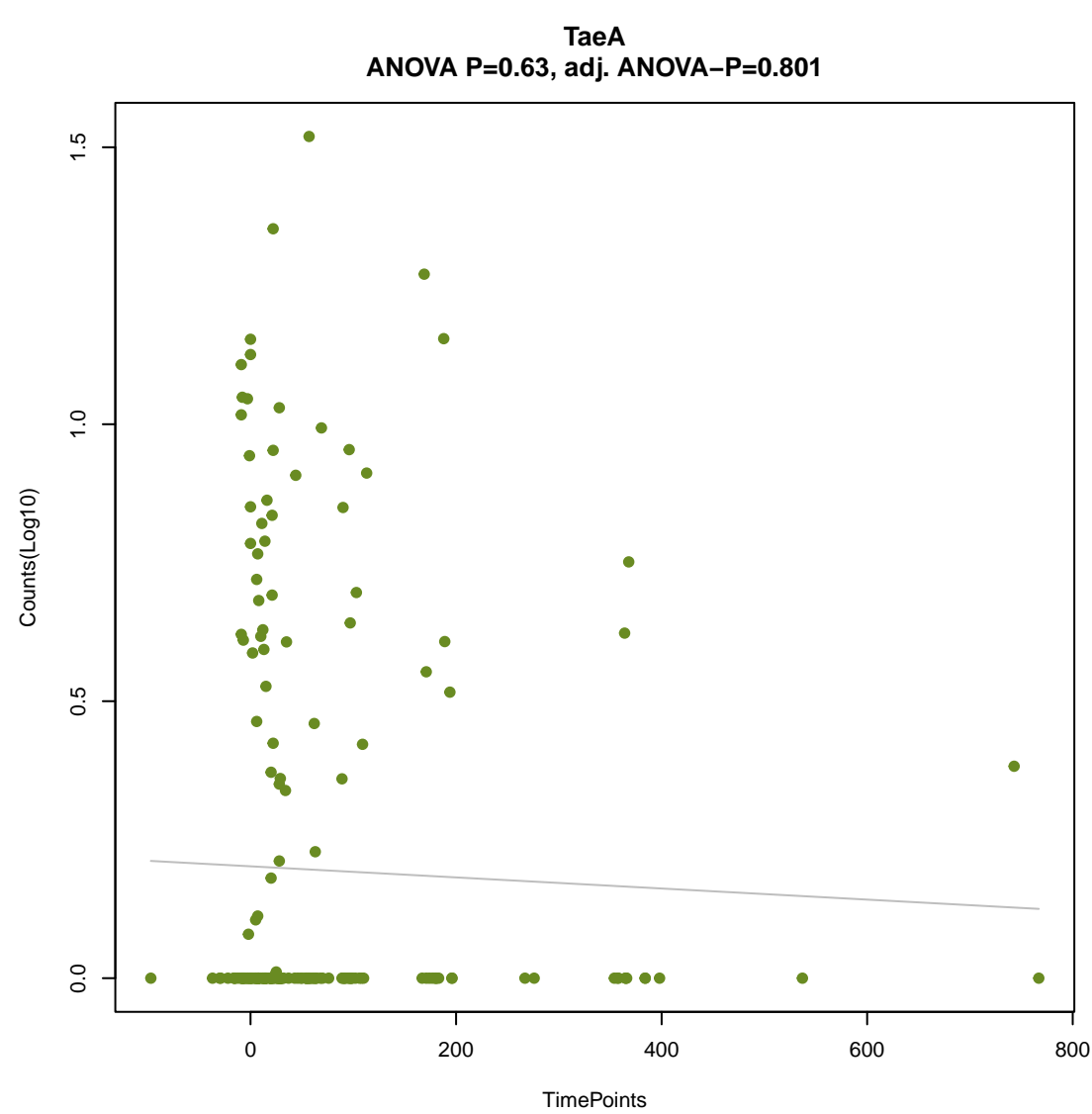


tetX
ANOVA P=0.617, adj. ANOVA-P=0.791

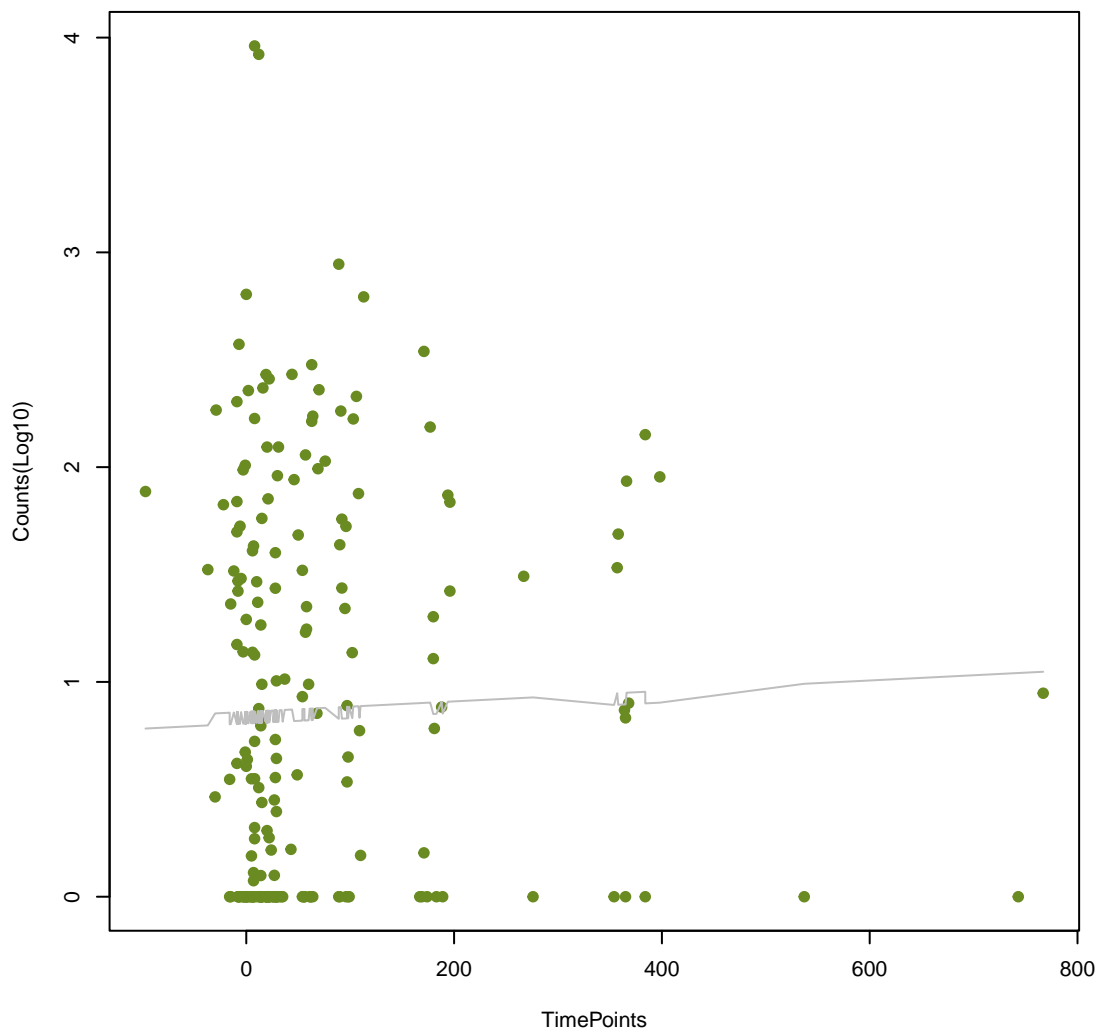


CMY-20
ANOVA P=0.619, adj. ANOVA-P=0.791

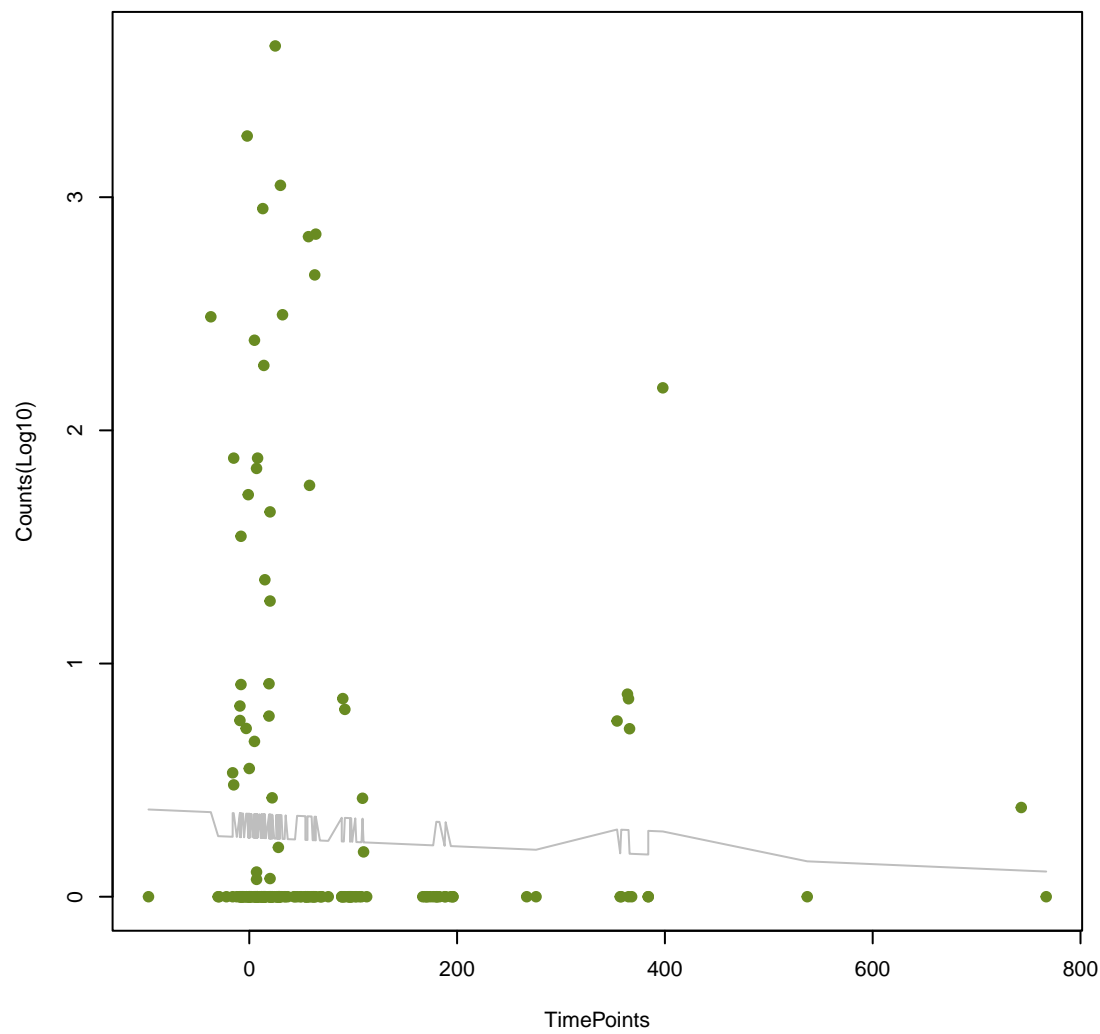




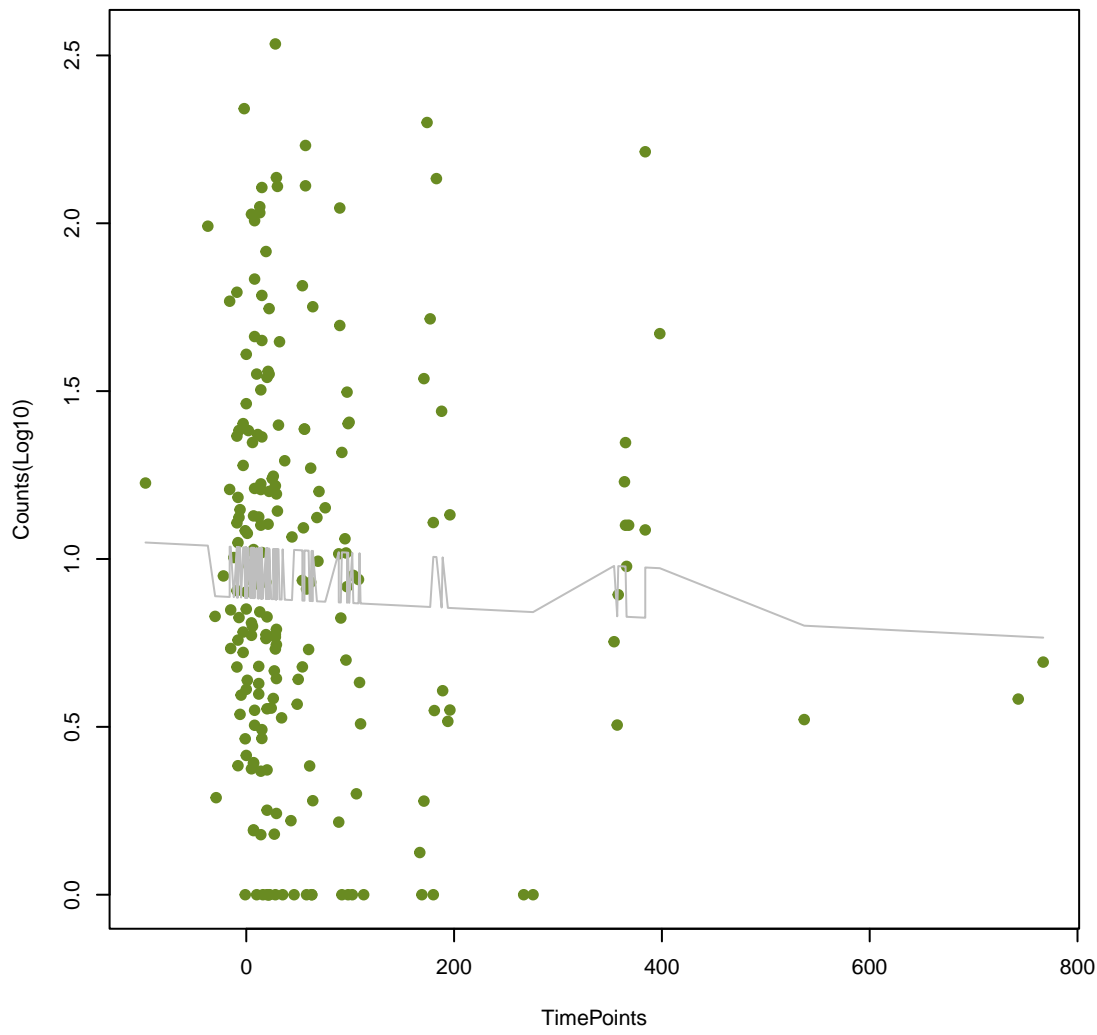
vanS_in_vanD_cl
ANOVA P=0.649, adj. ANOVA-P=0.801



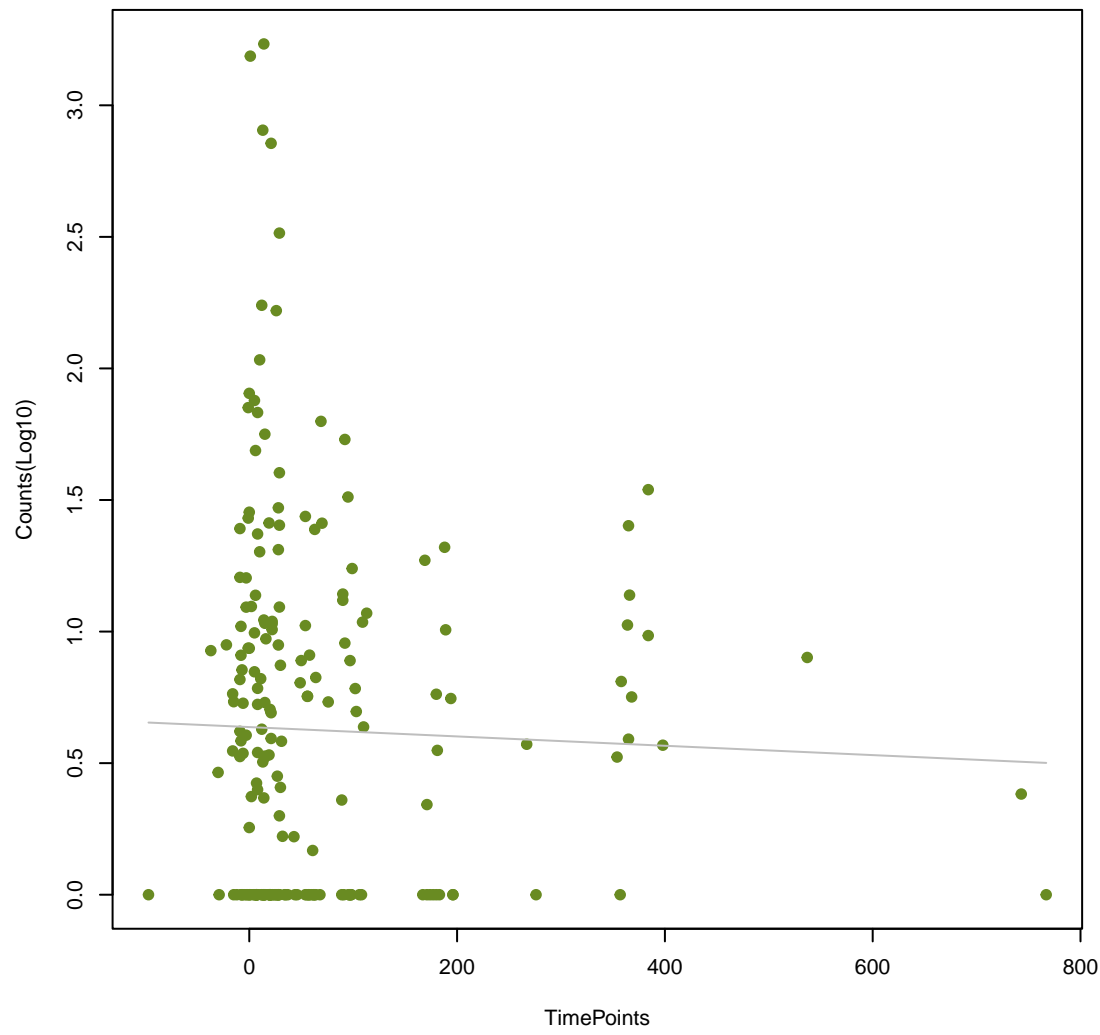
aadA5
ANOVA P=0.652, adj. ANOVA-P=0.801



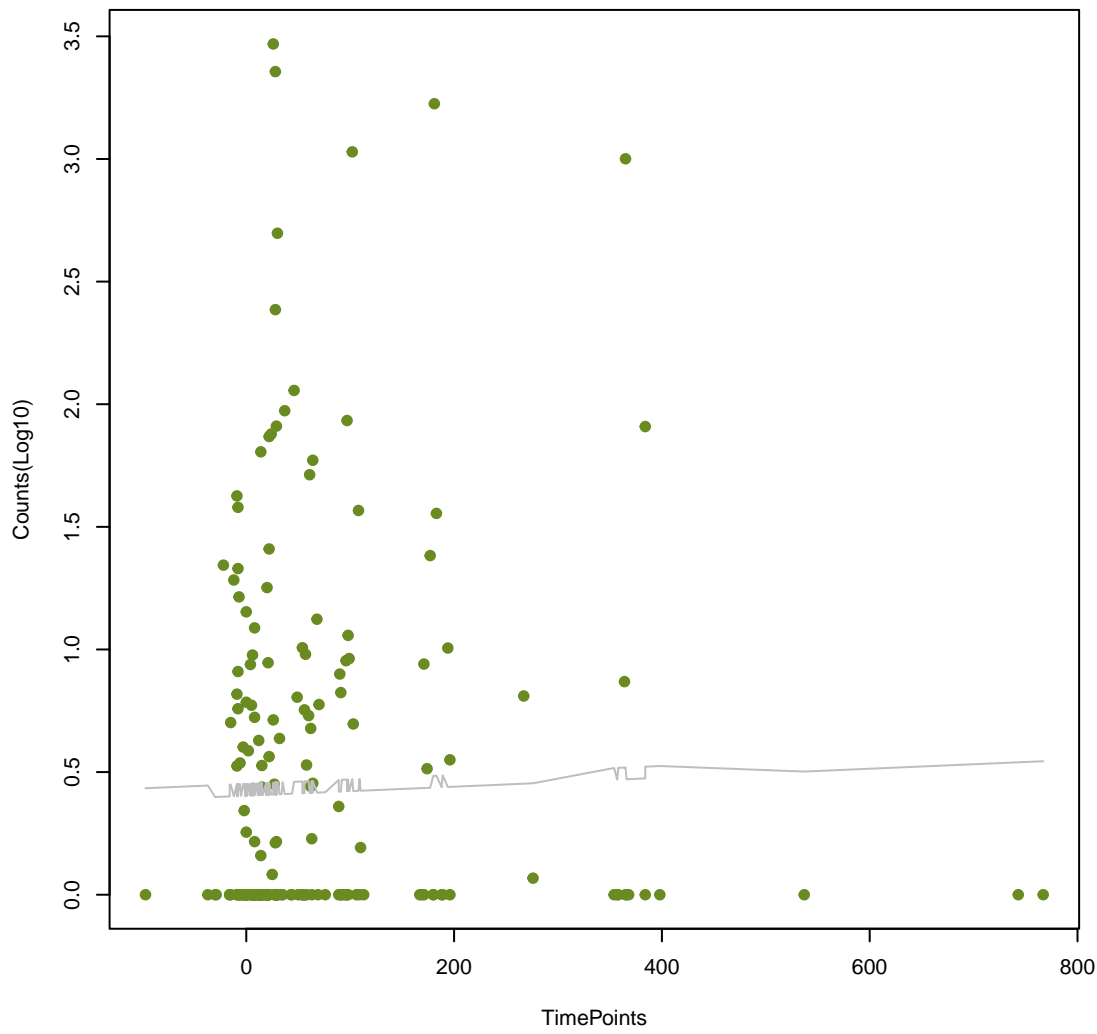
Ecol_emrE
ANOVA P=0.652, adj. ANOVA-P=0.801



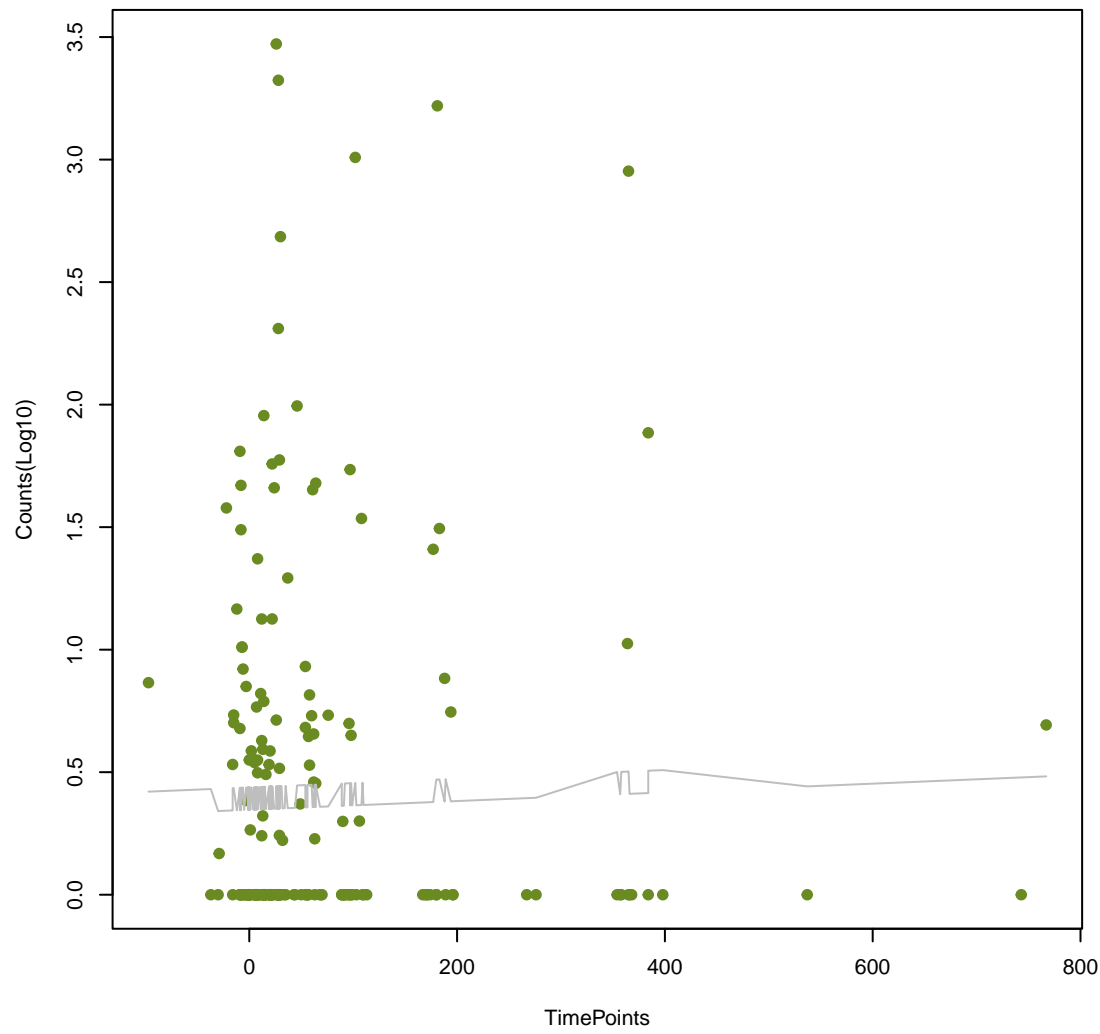
patA
ANOVA P=0.654, adj. ANOVA-P=0.801



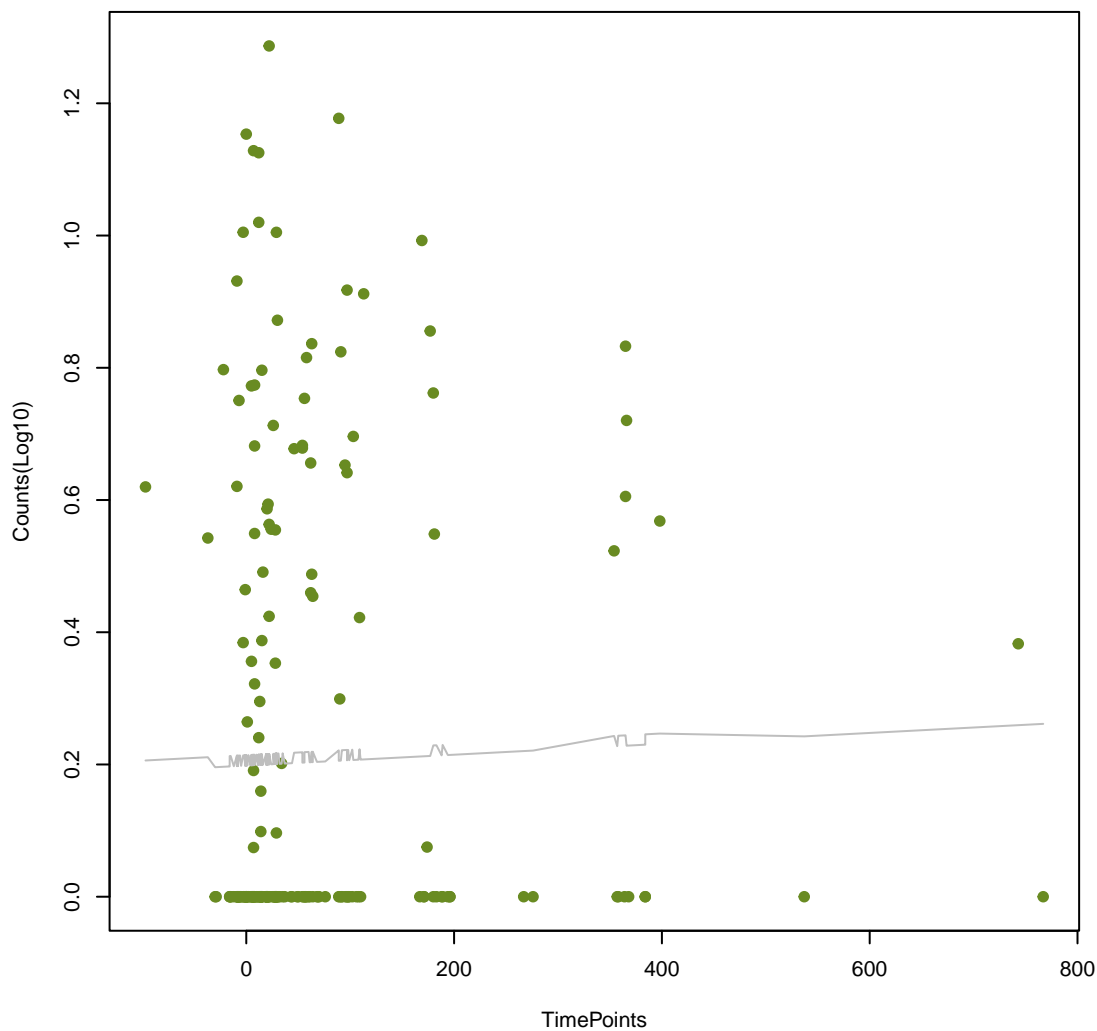
eptB
ANOVA P=0.666, adj. ANOVA-P=0.809



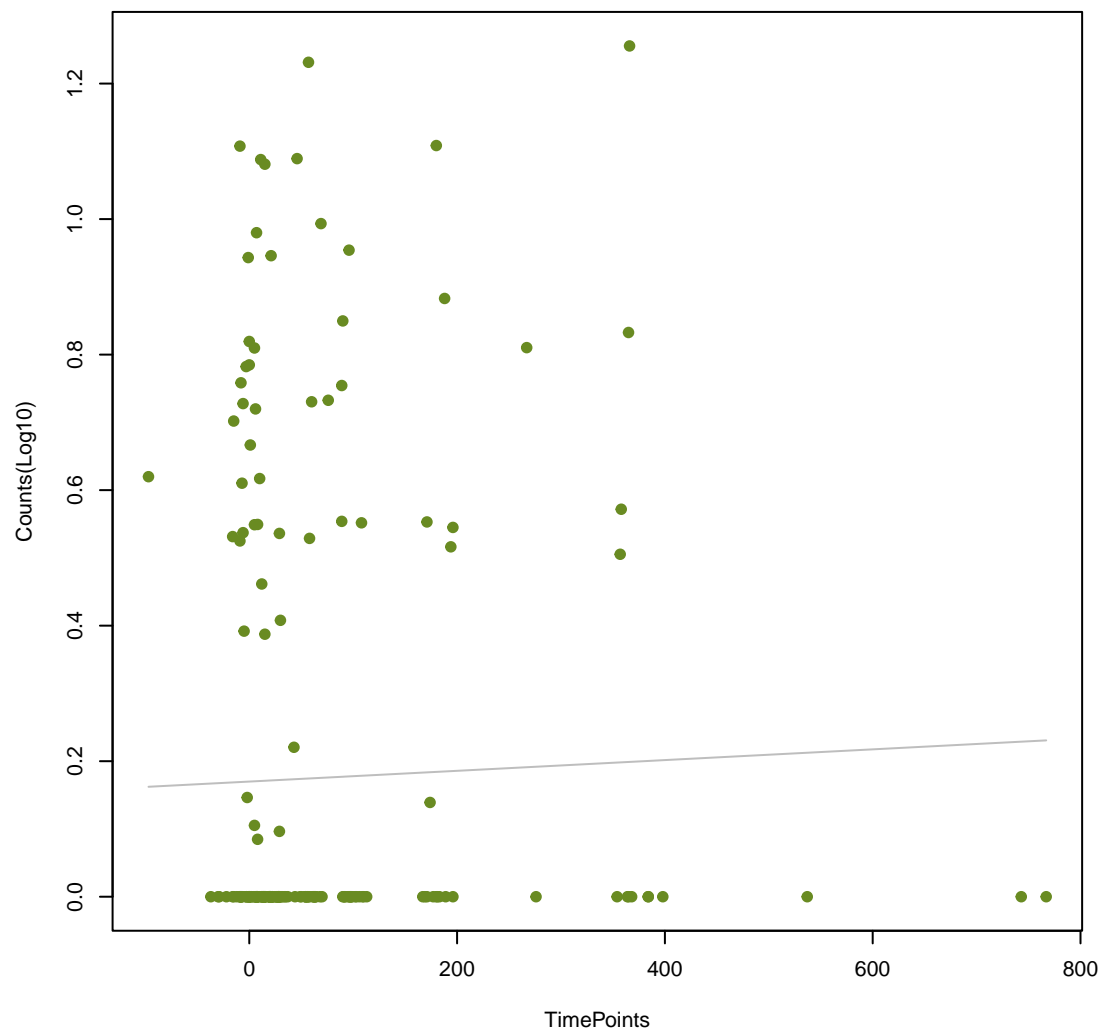
ArnT
ANOVA P=0.666, adj. ANOVA-P=0.809



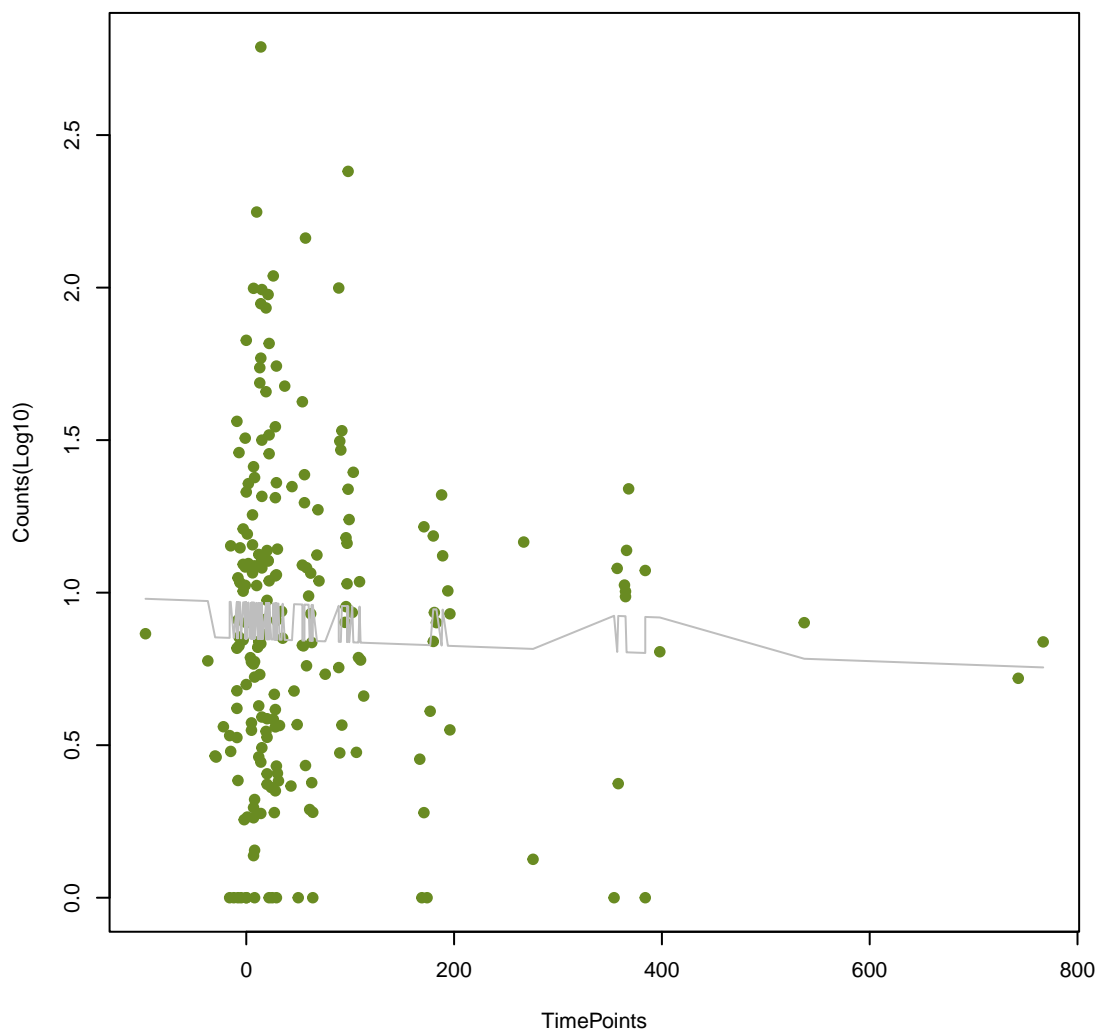
ceoB
ANOVA P=0.677, adj. ANOVA-P=0.819



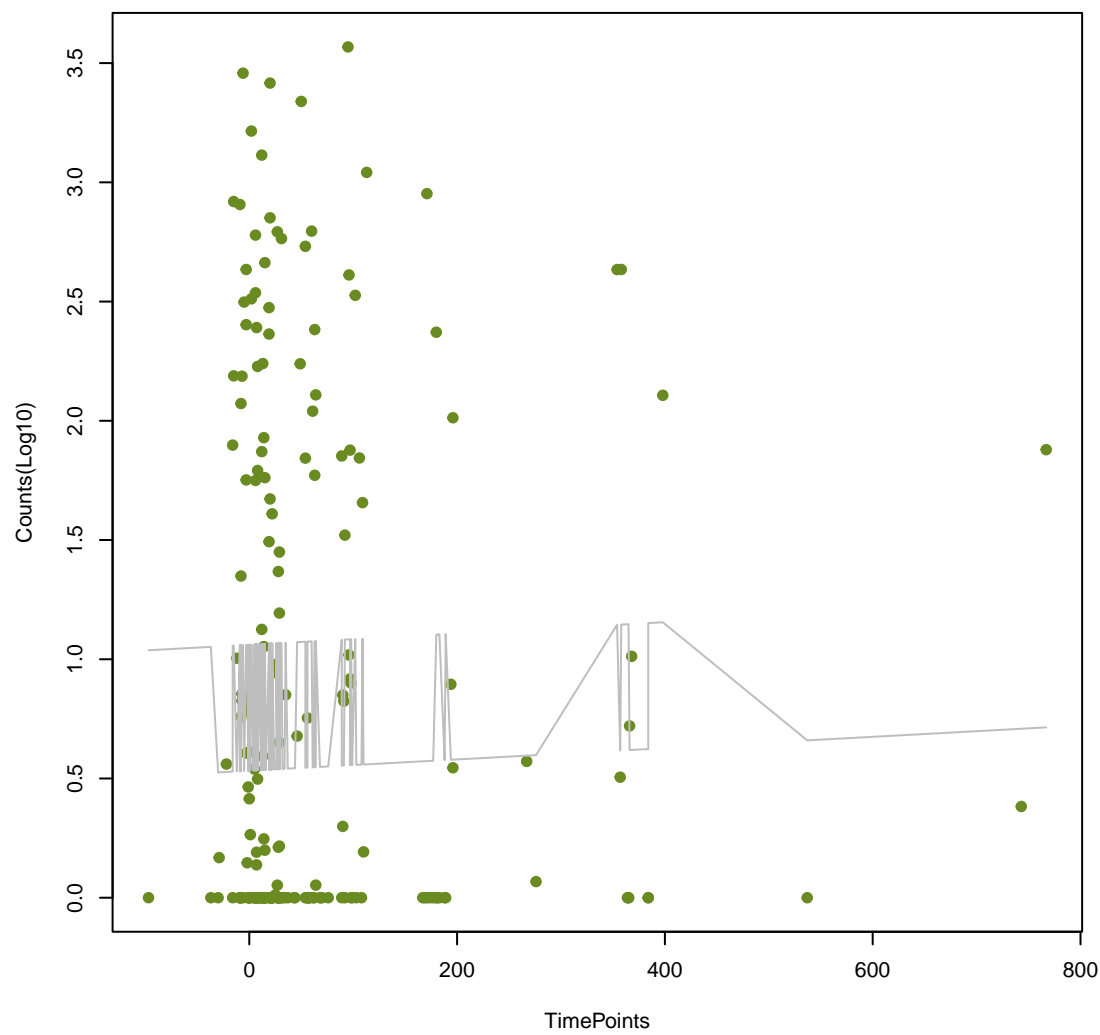
oleB
ANOVA P=0.68, adj. ANOVA-P=0.82



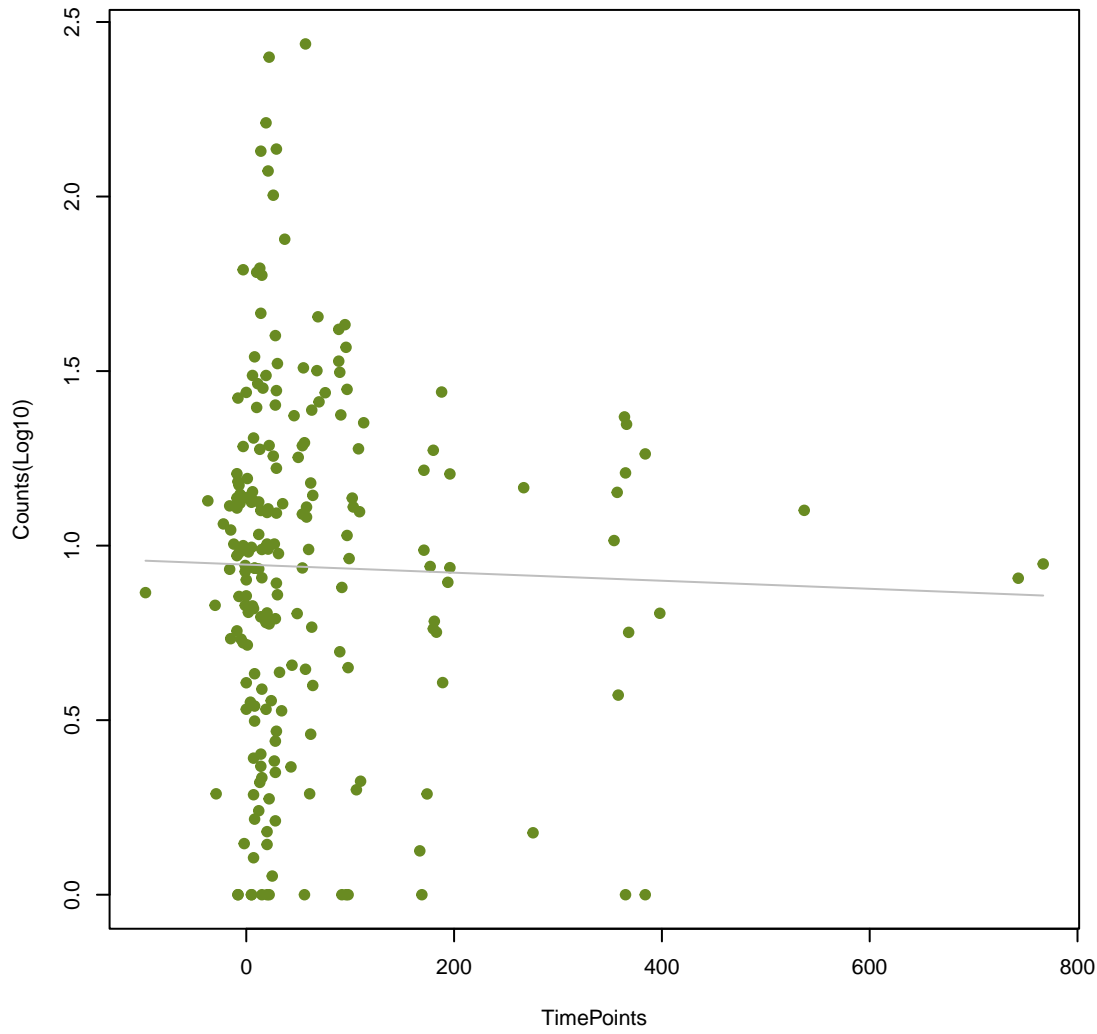
ykkC
ANOVA P=0.686, adj. ANOVA-P=0.824



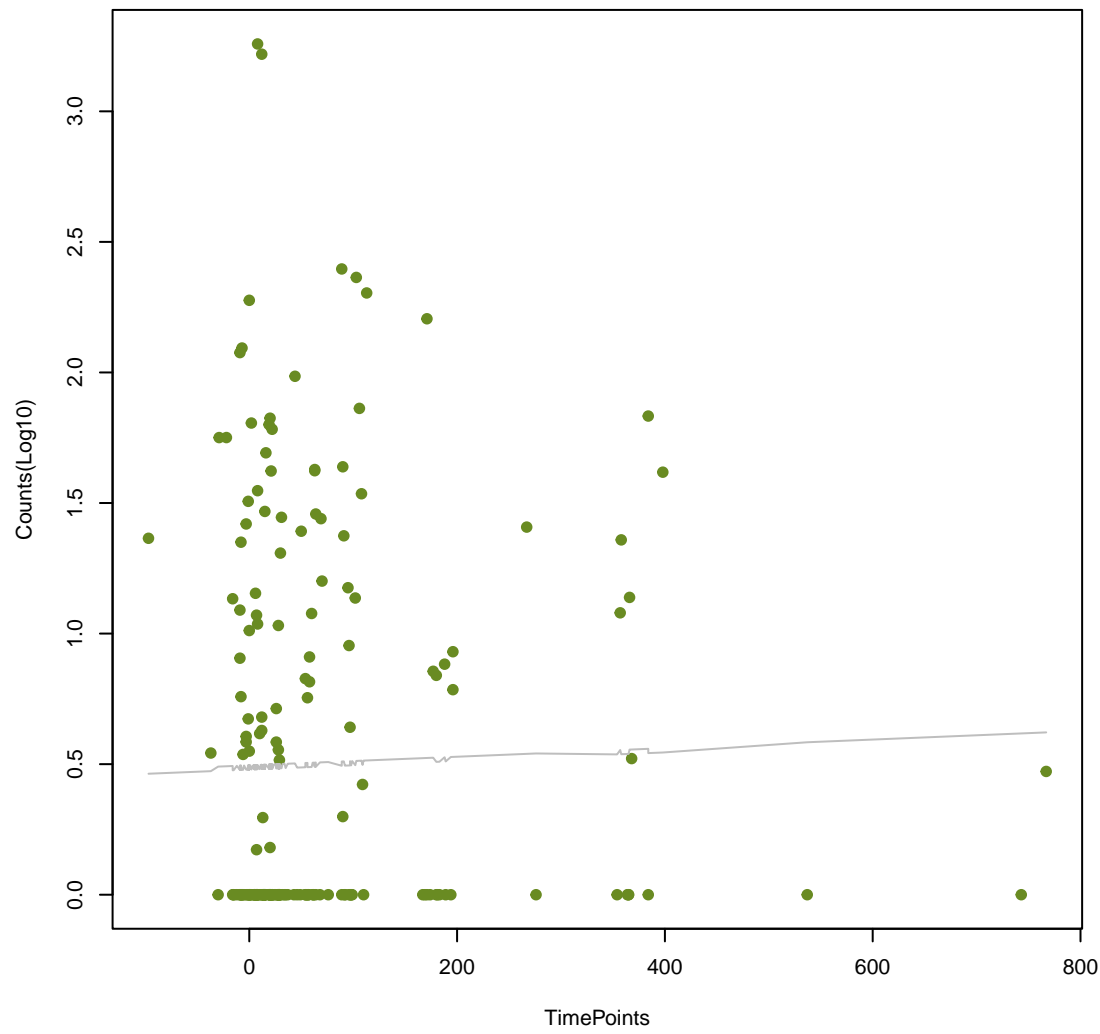
Tet(X1)
ANOVA P=0.691, adj. ANOVA-P=0.827



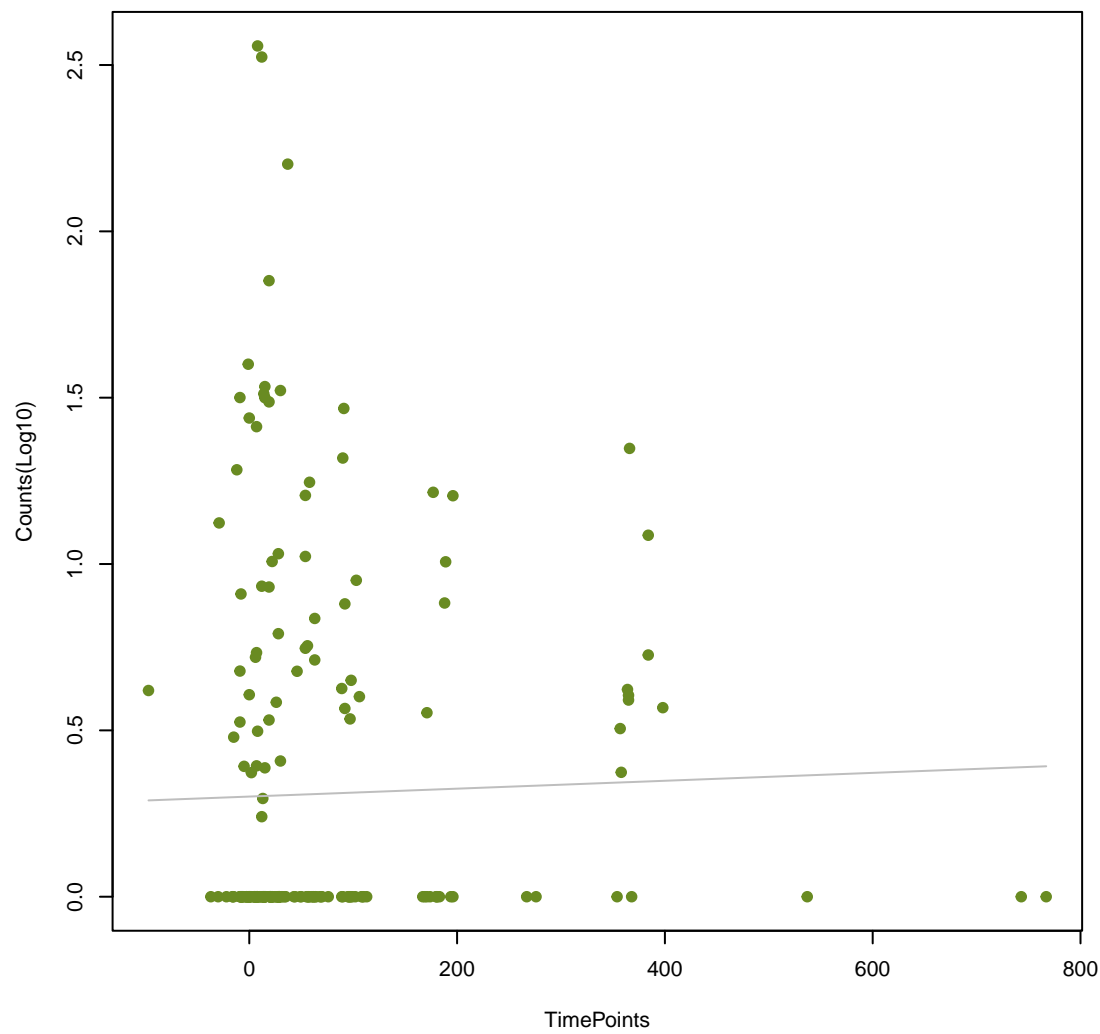
vanU_in_vanG_cl
ANOVA P=0.698, adj. ANOVA-P=0.827



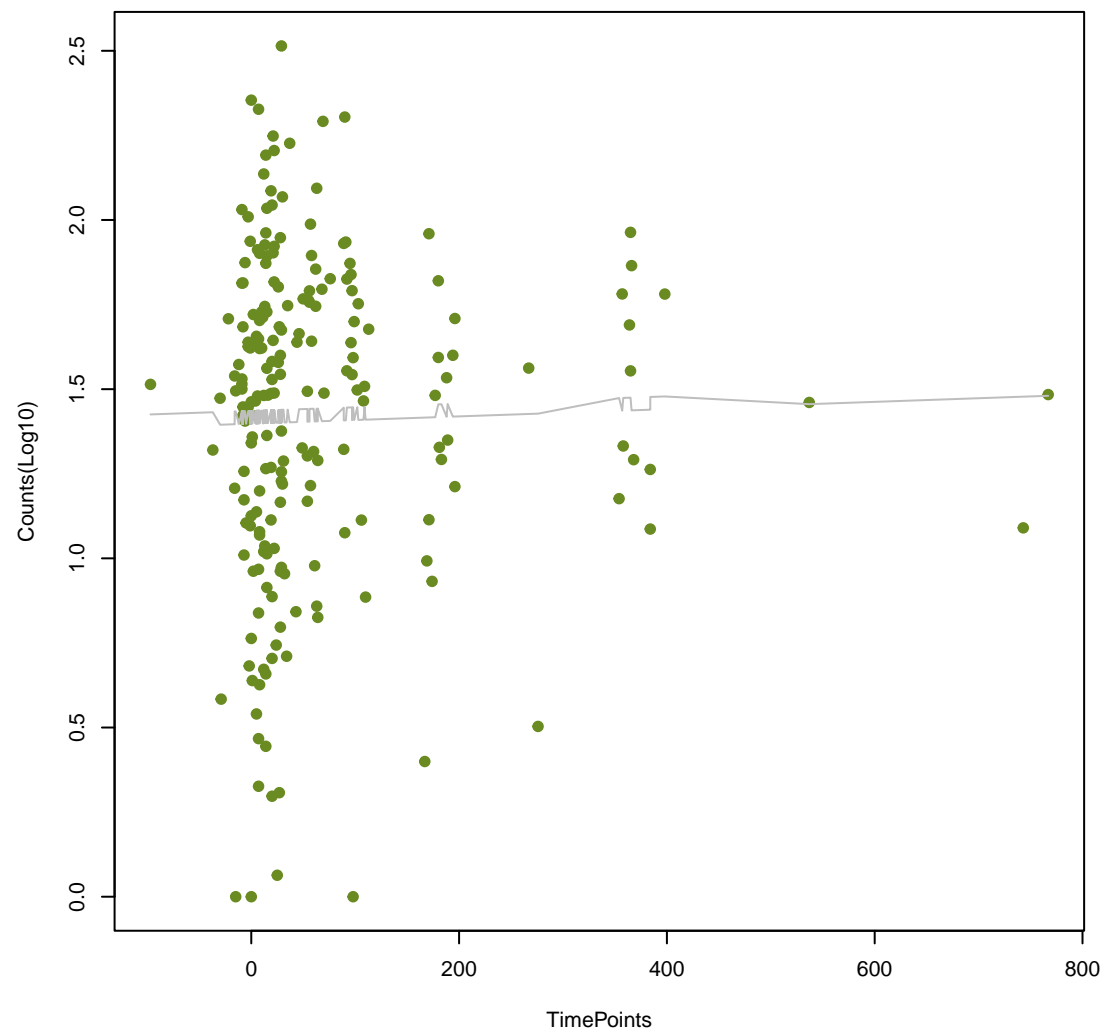
vanX_in_vanD_cl
ANOVA P=0.698, adj. ANOVA-P=0.827



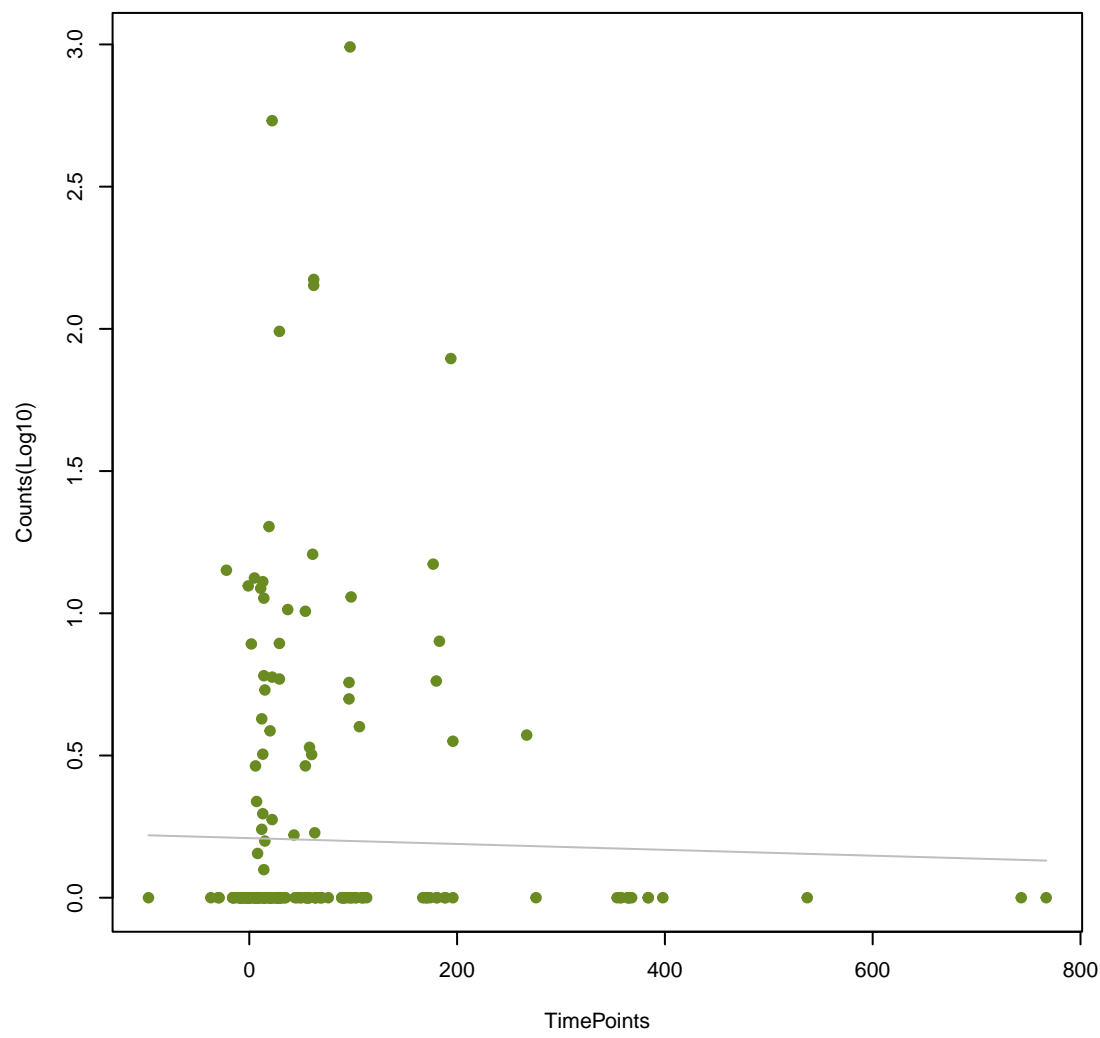
otr(B)
ANOVA P=0.7, adj. ANOVA-P=0.827



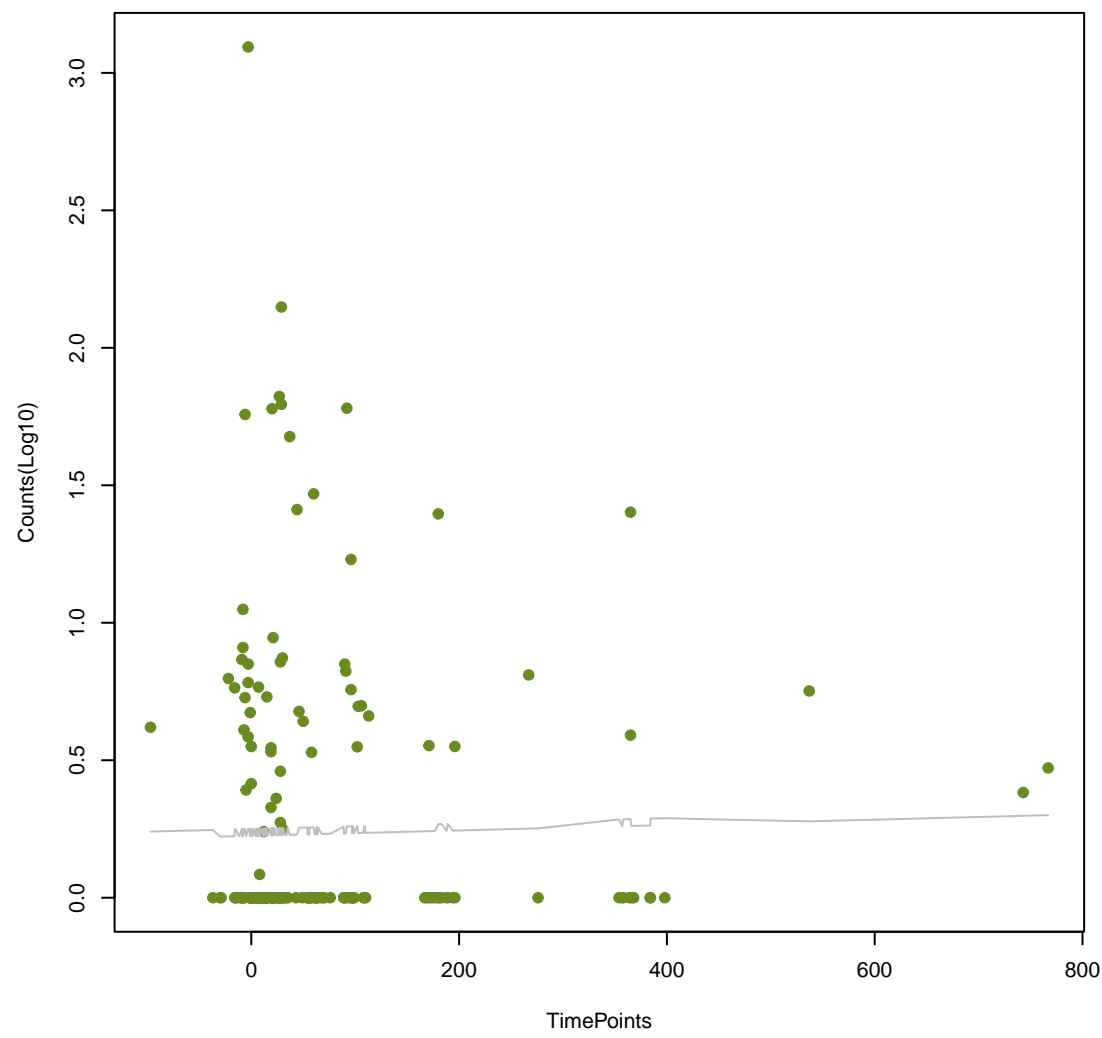
qacJ
ANOVA P=0.702, adj. ANOVA-P=0.827



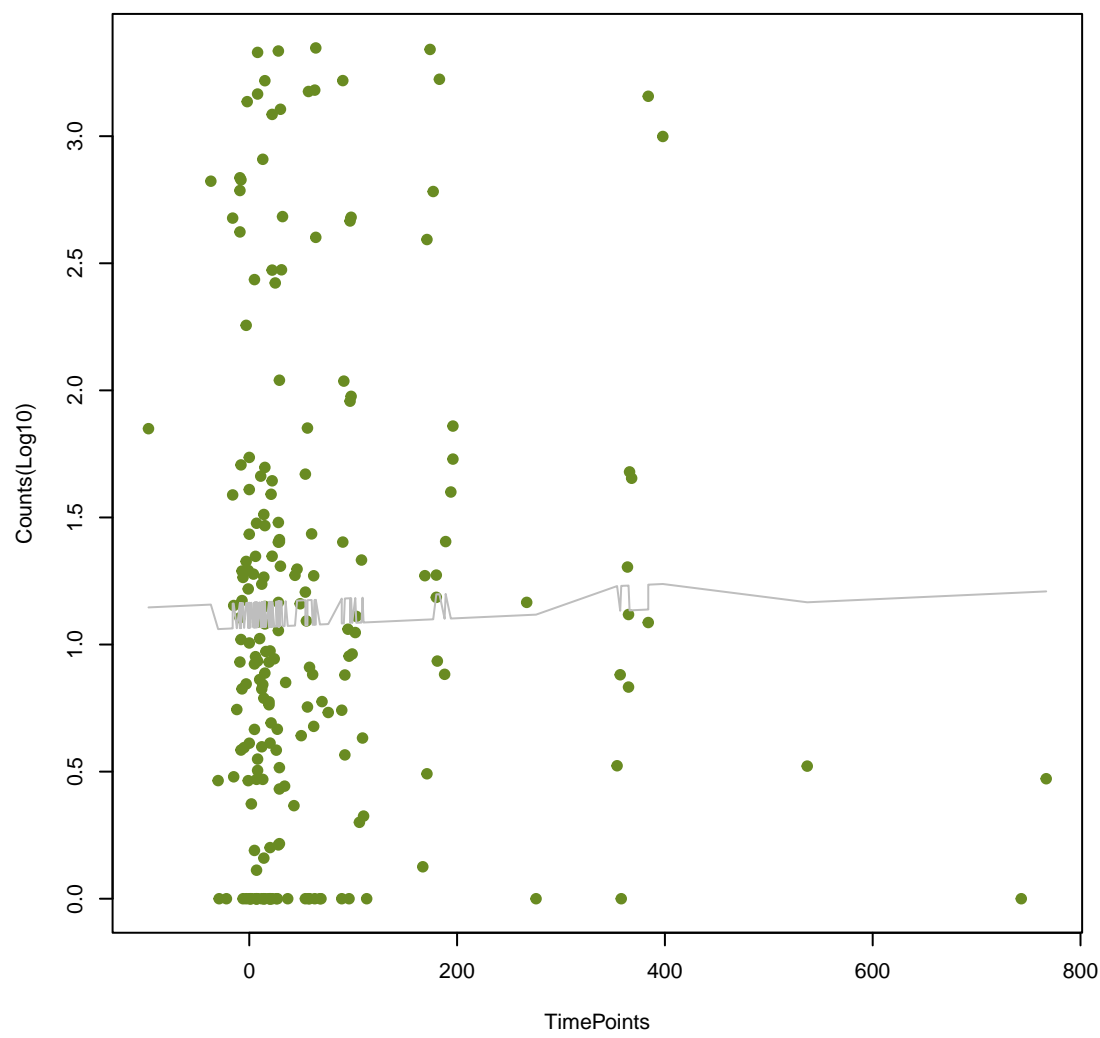
FosA2
ANOVA P=0.716, adj. ANOVA-P=0.84



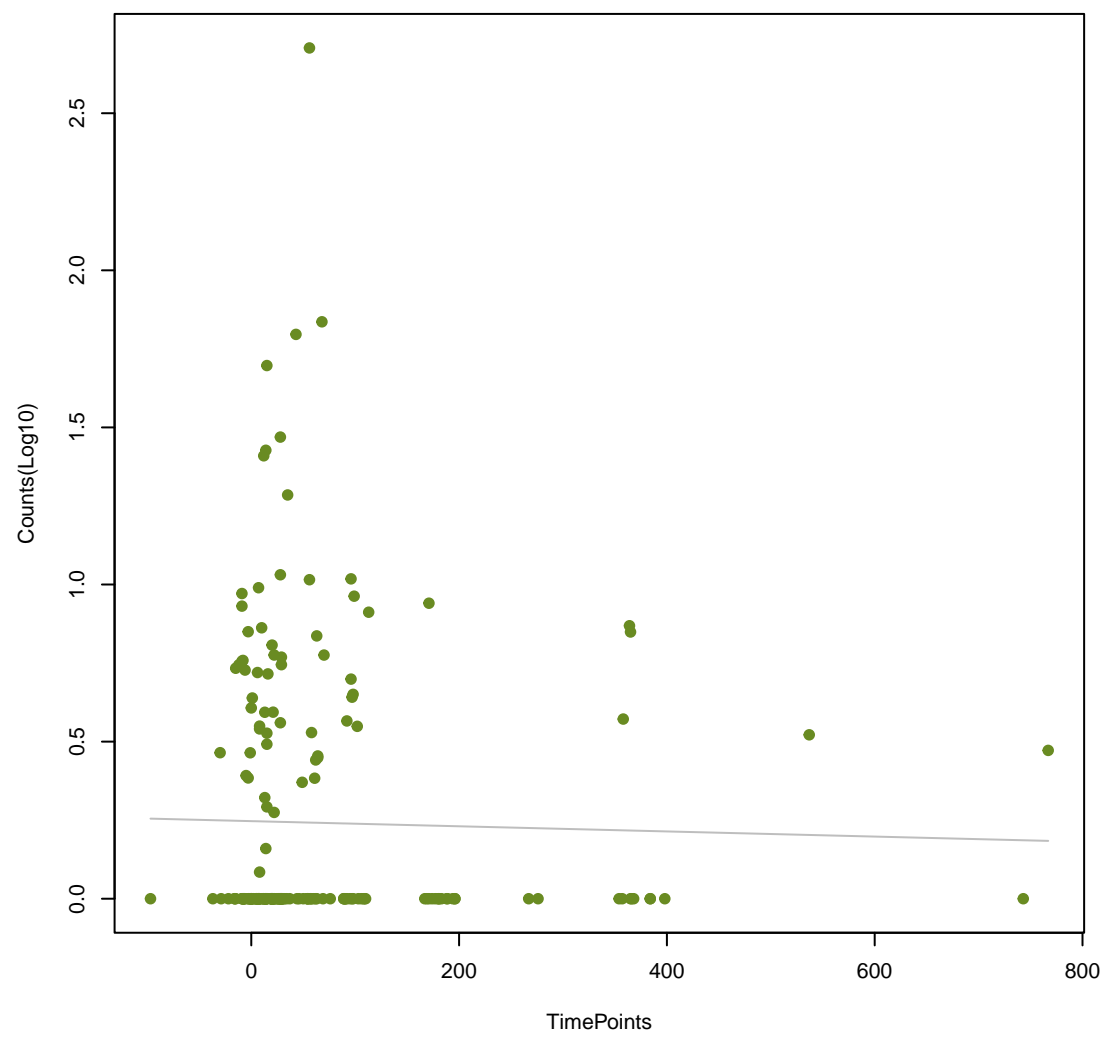
ANT(6)-Ib
ANOVA P=0.731, adj. ANOVA-P=0.854



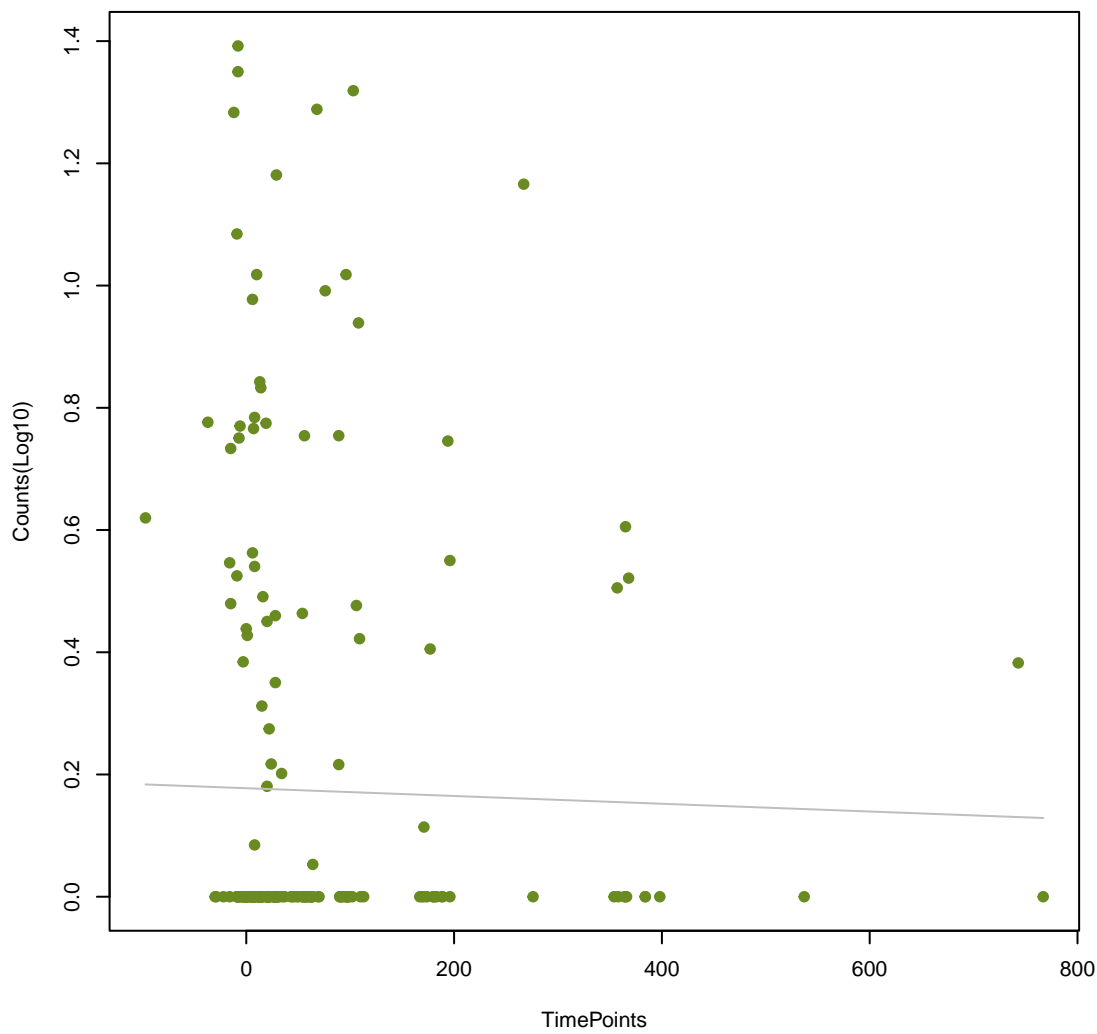
AcrF
ANOVA P=0.734, adj. ANOVA-P=0.854



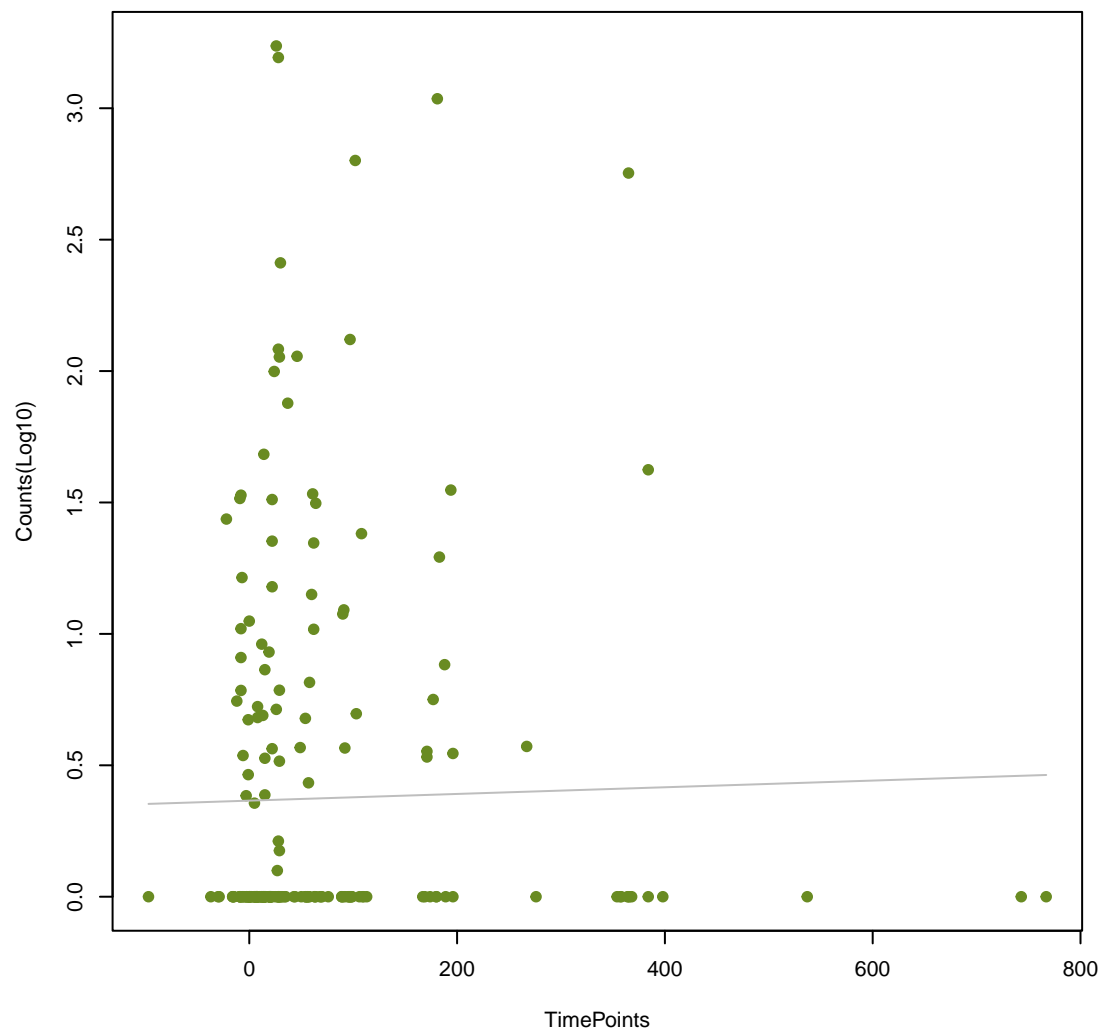
cfrC
ANOVA P=0.745, adj. ANOVA-P=0.863



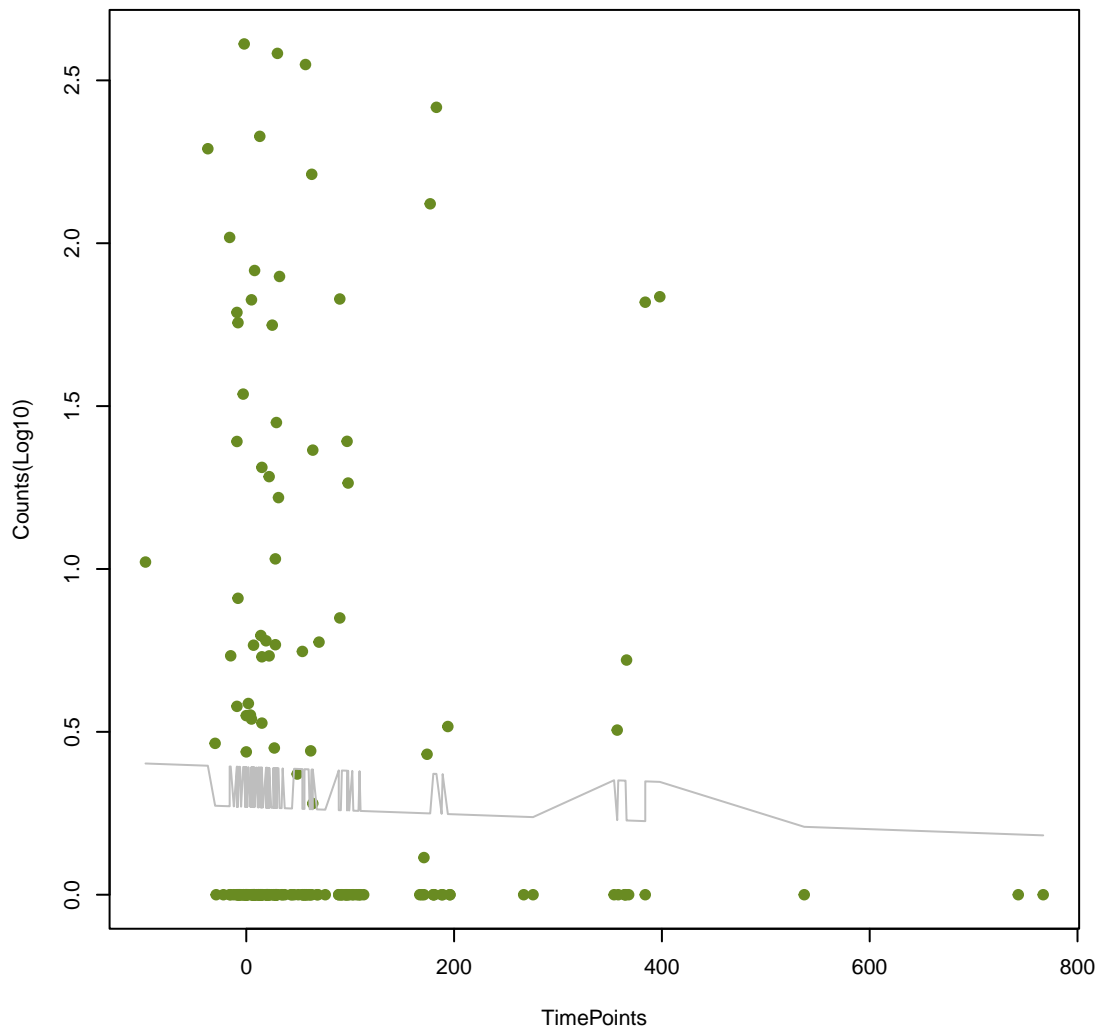
bmr
ANOVA P=0.747, adj. ANOVA-P=0.863



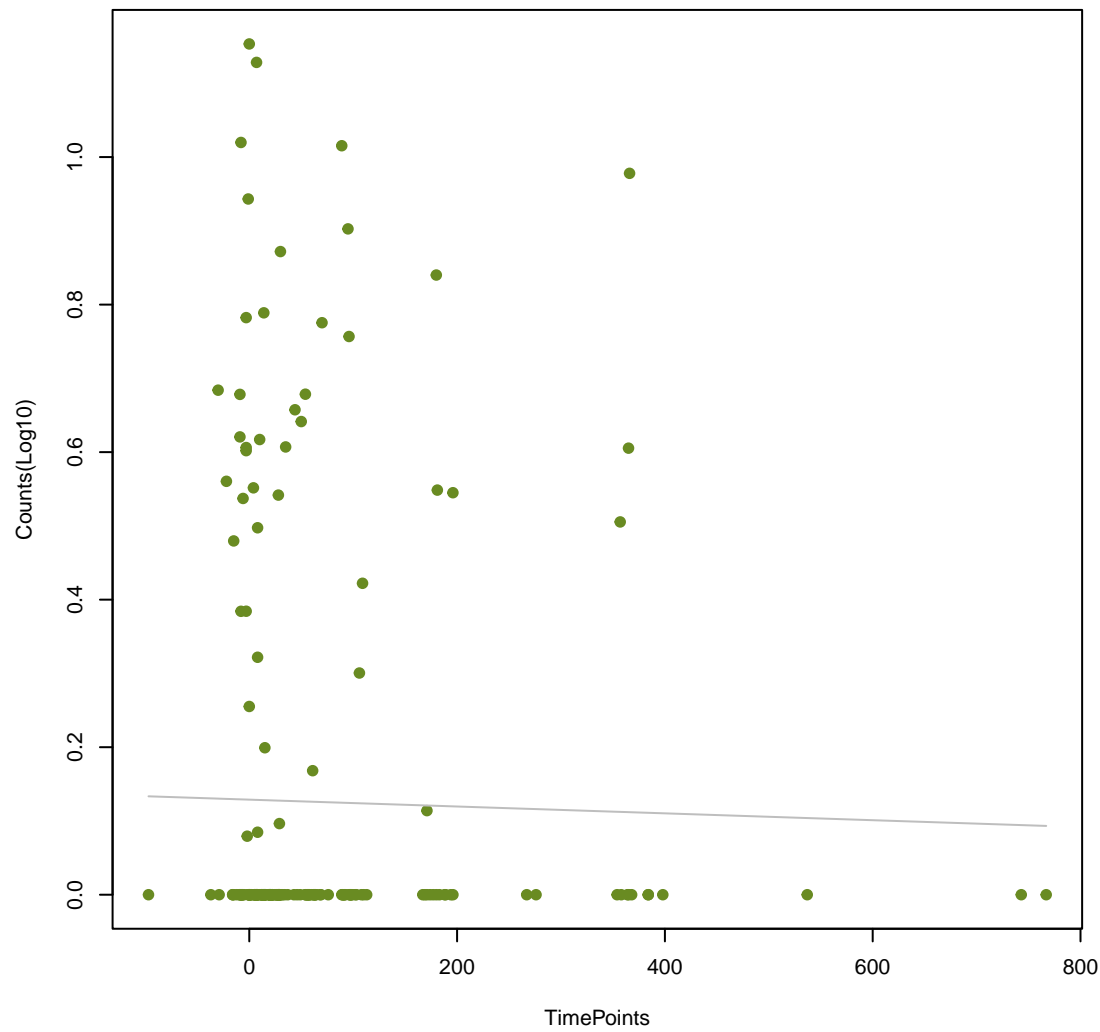
Kpne_KpnG
ANOVA P=0.751, adj. ANOVA-P=0.863



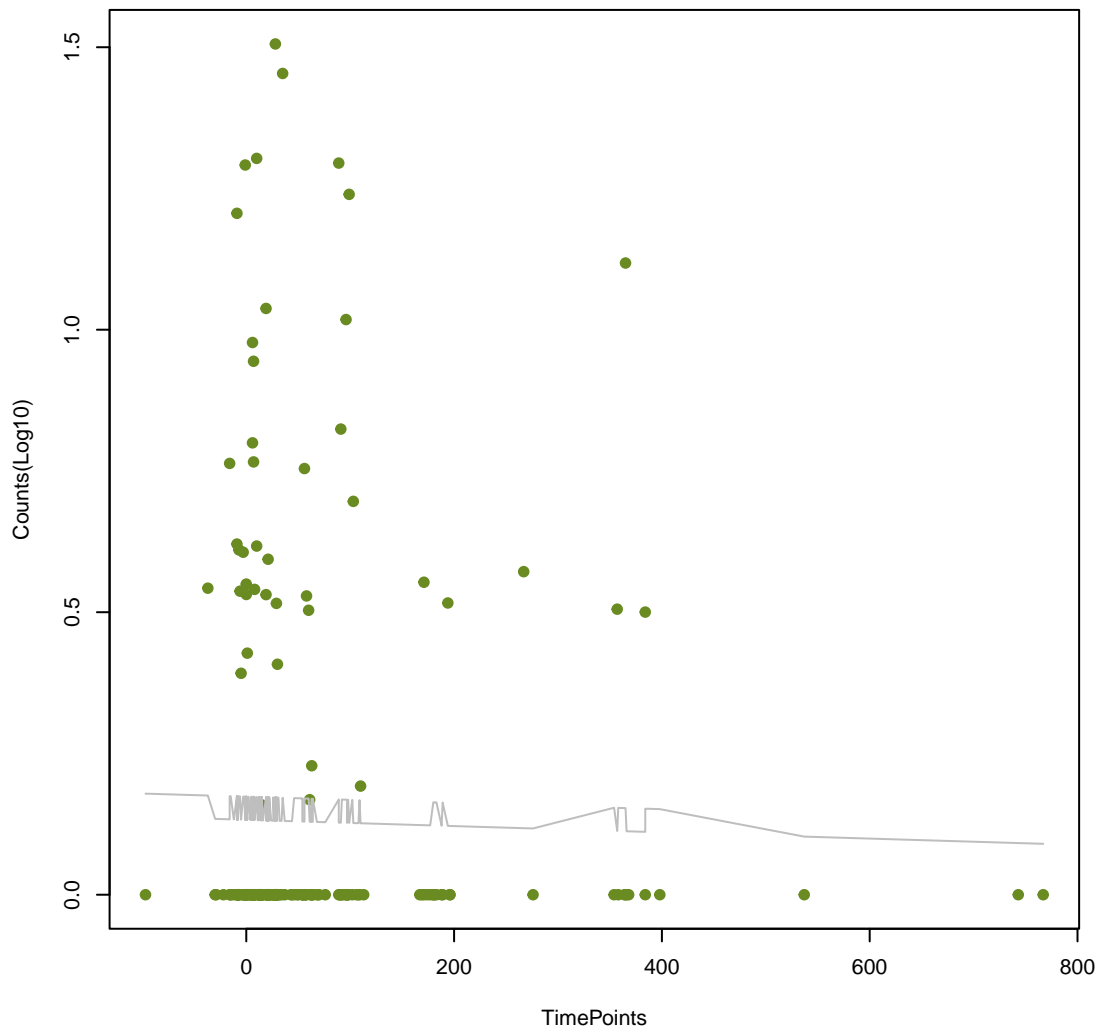
EC-19
ANOVA P=0.761, adj. ANOVA-P=0.872



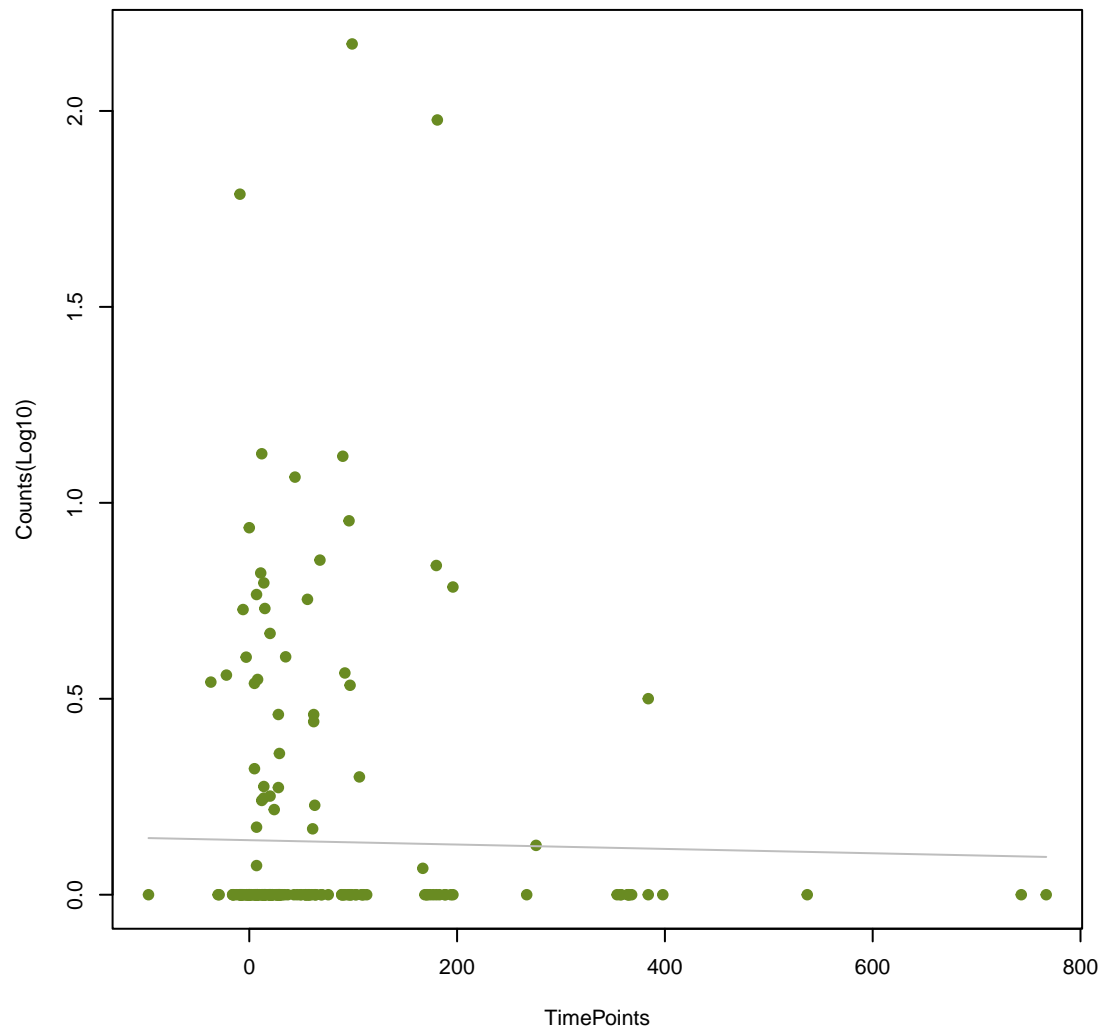
OCH-3
ANOVA P=0.771, adj. ANOVA-P=0.879

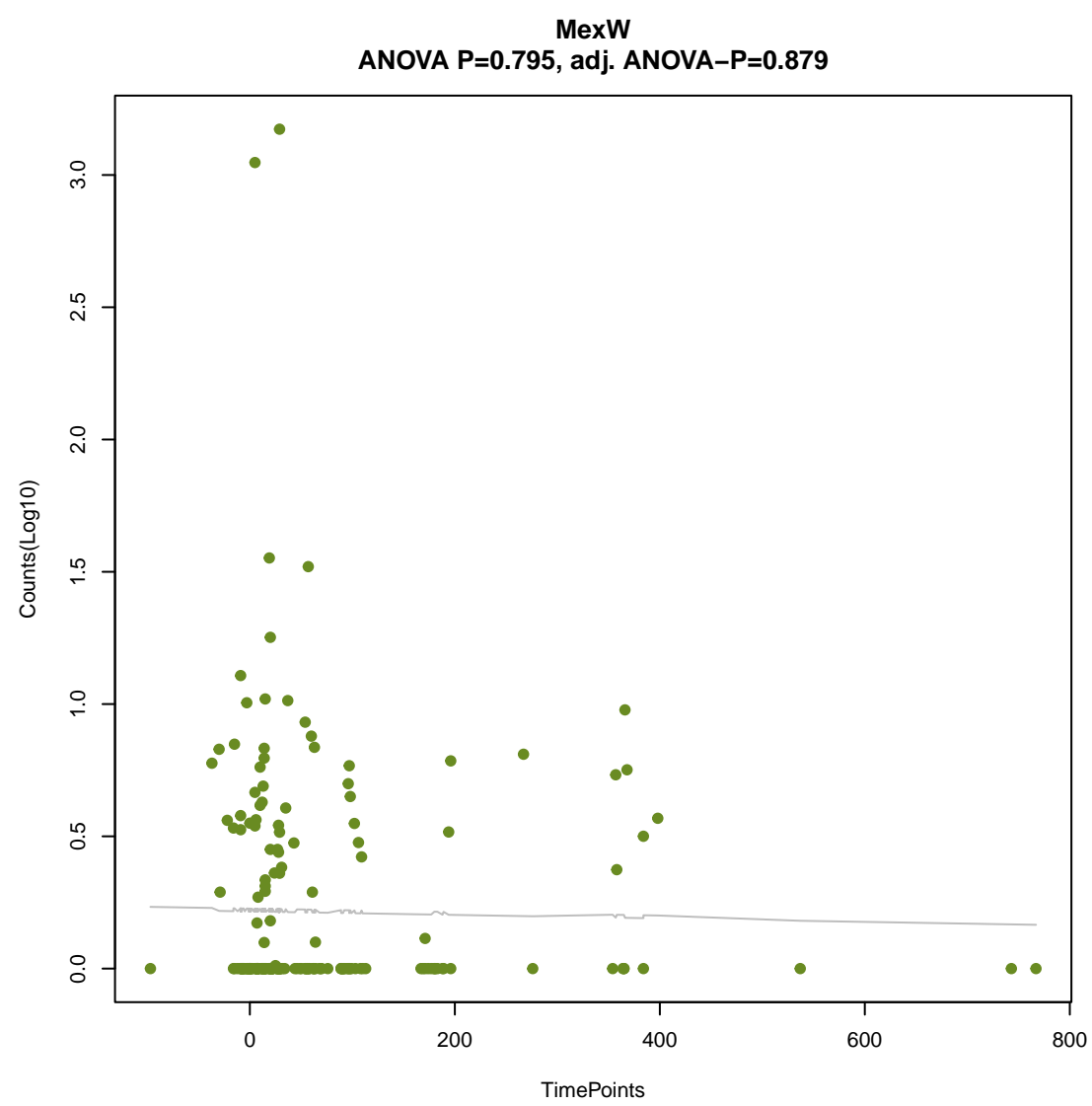
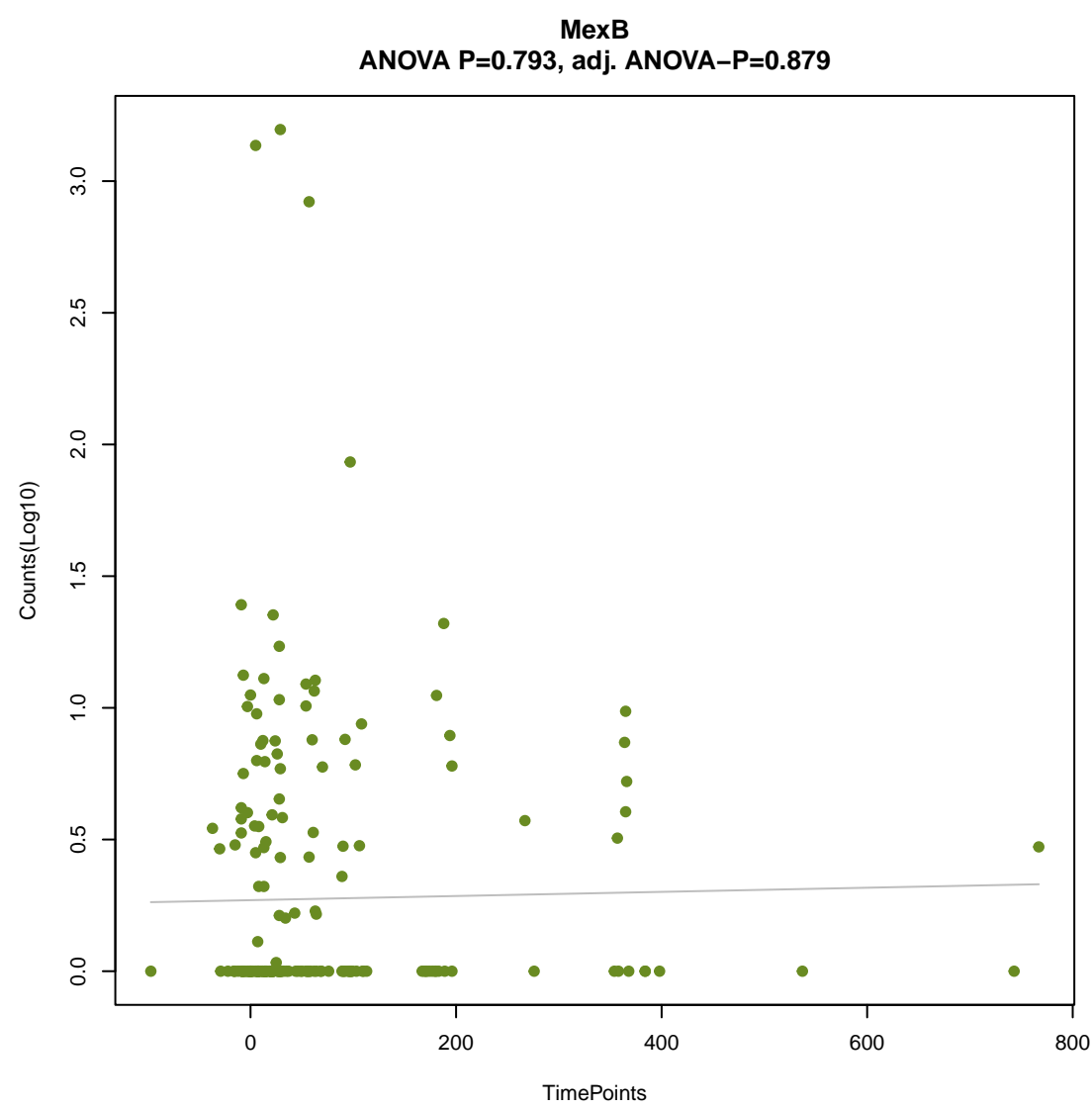
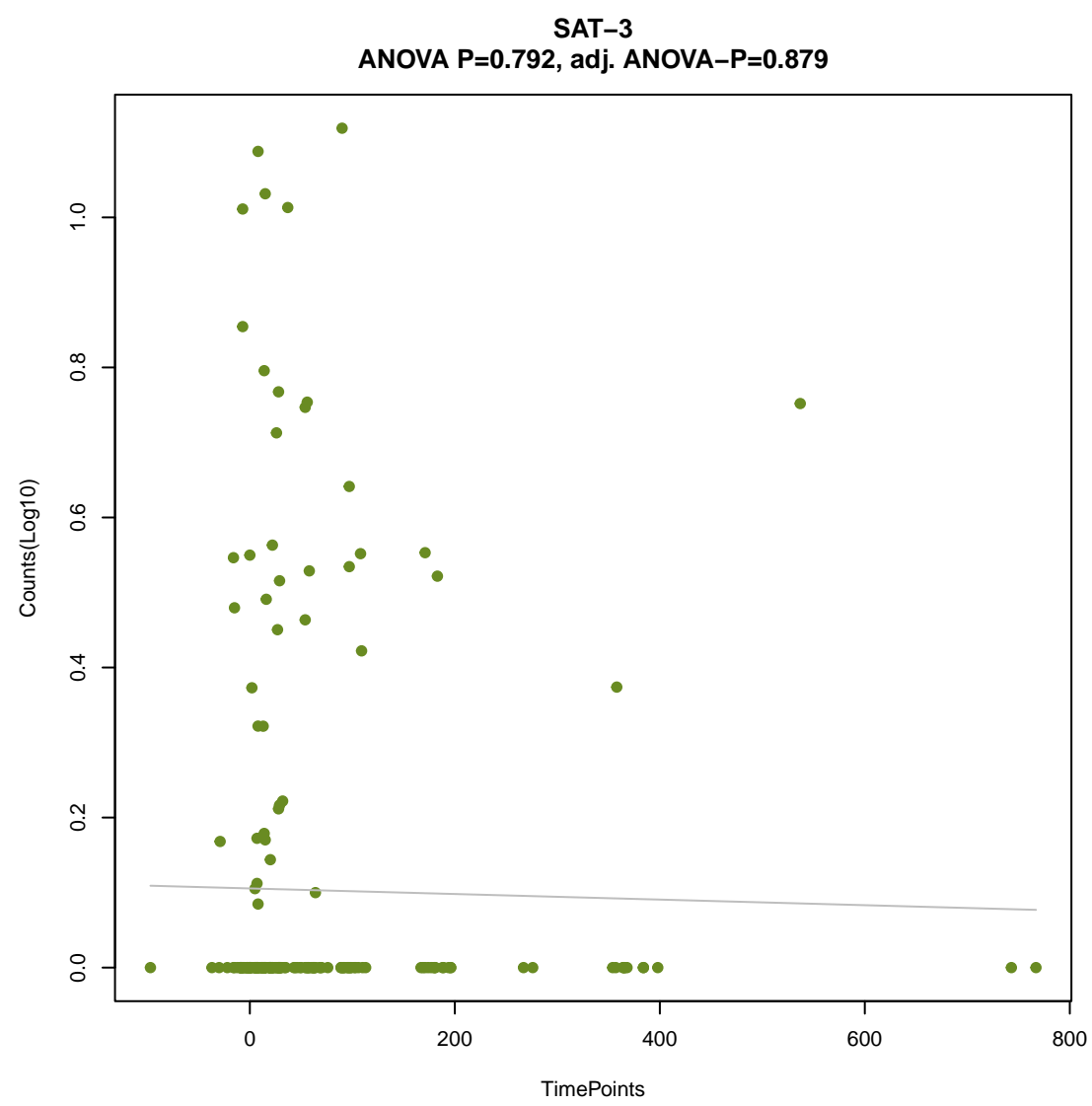
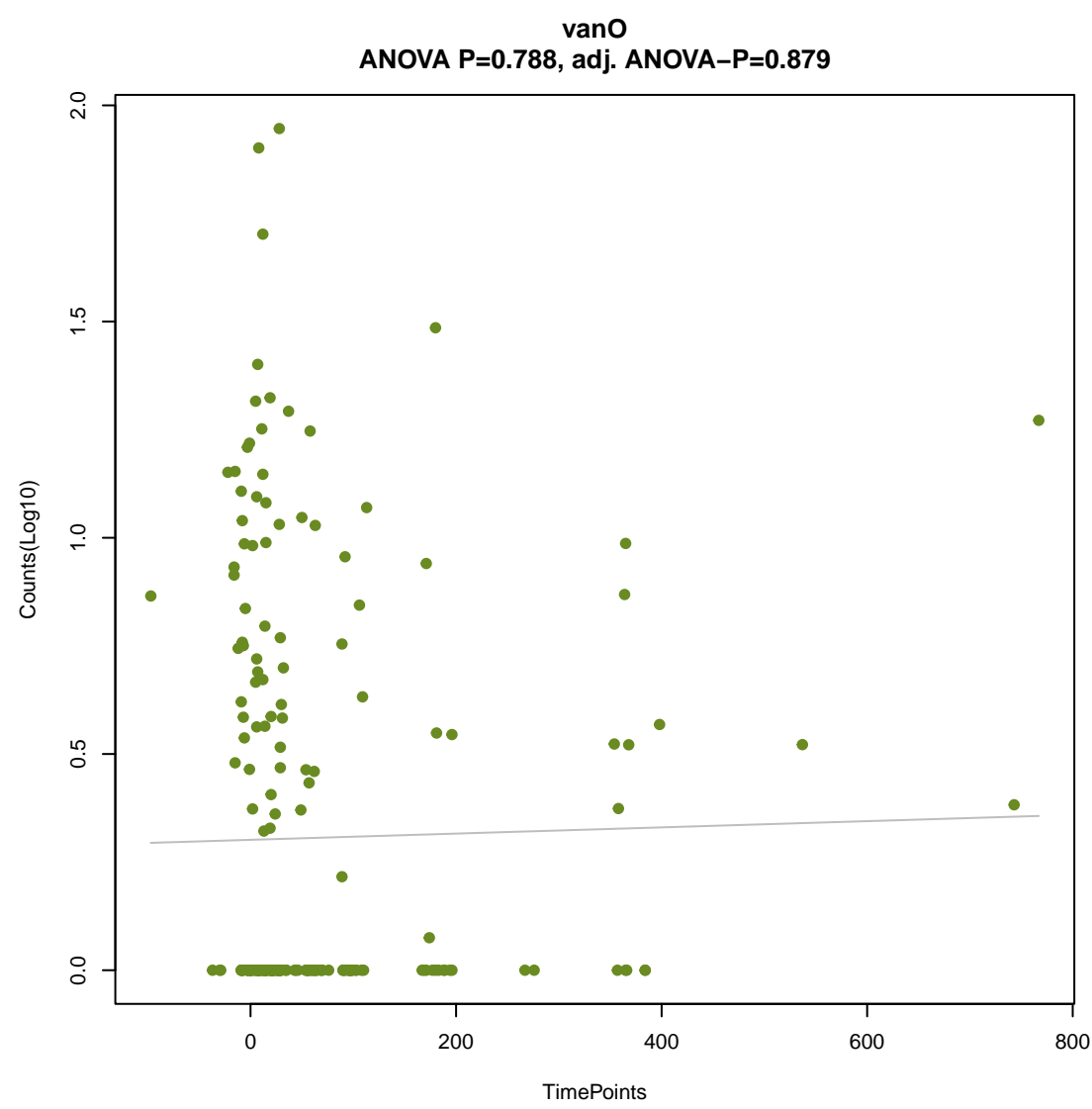
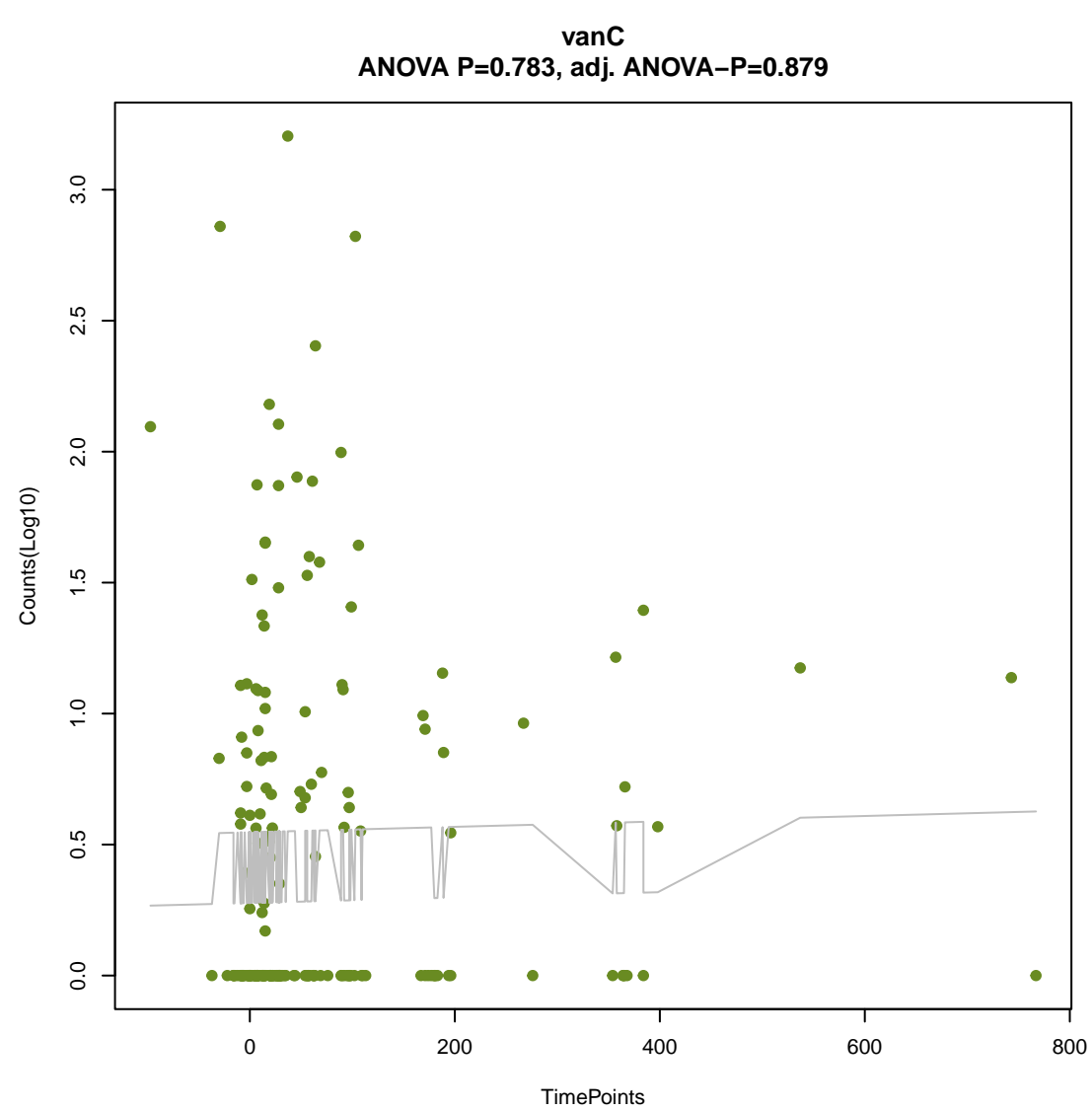
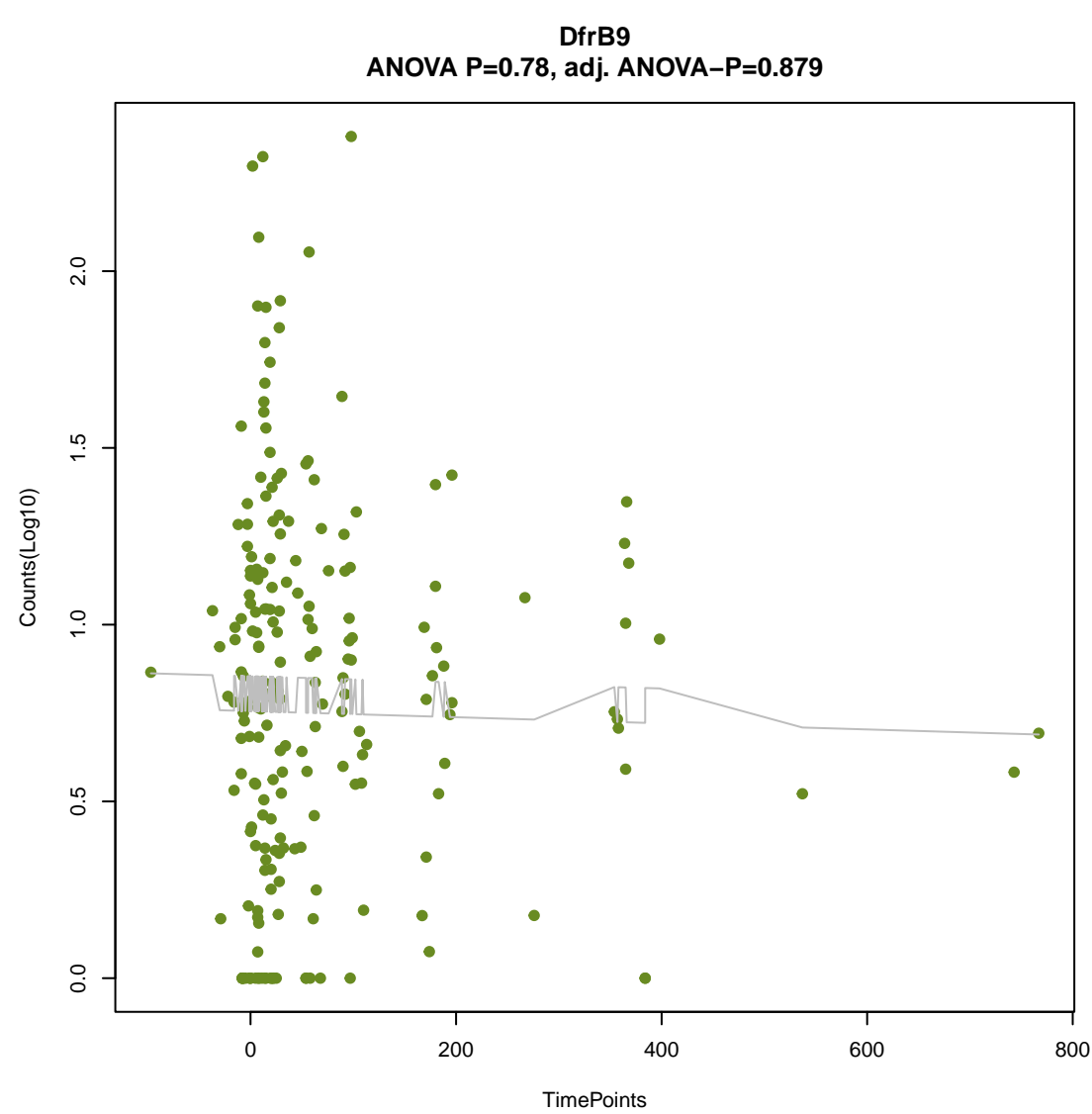


mtrC
ANOVA P=0.774, adj. ANOVA-P=0.879

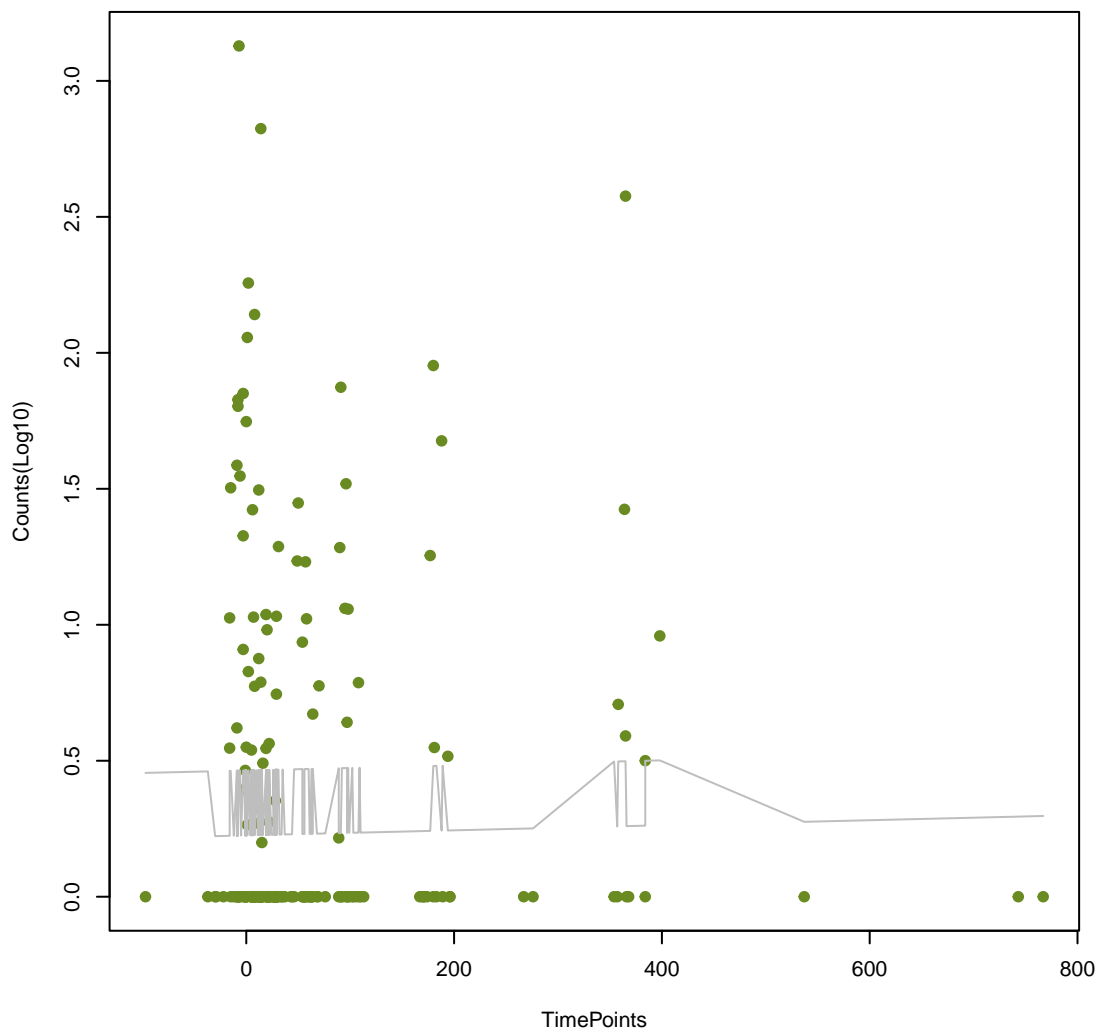


Cper_mprF
ANOVA P=0.776, adj. ANOVA-P=0.879

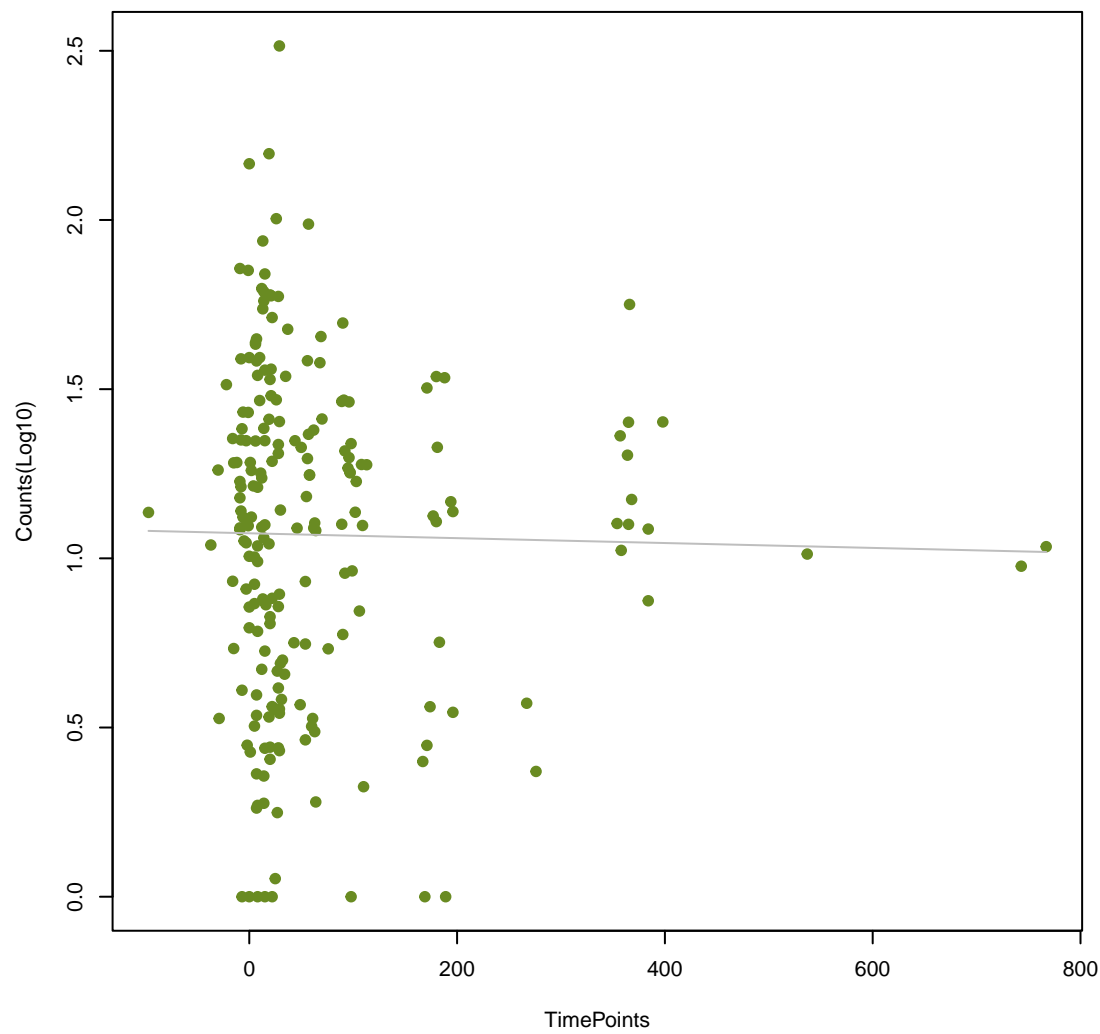




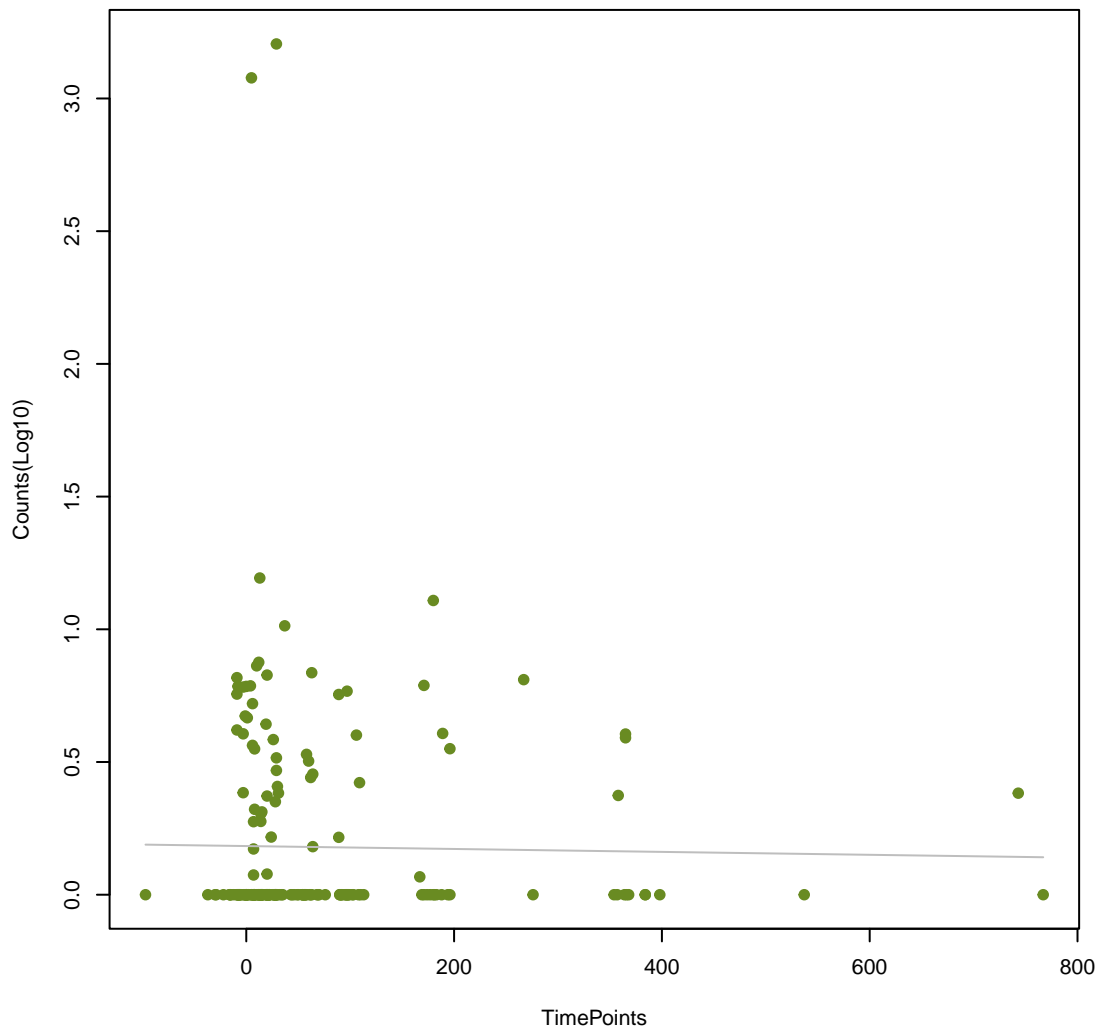
CfxA6
ANOVA P=0.798, adj. ANOVA-P=0.879



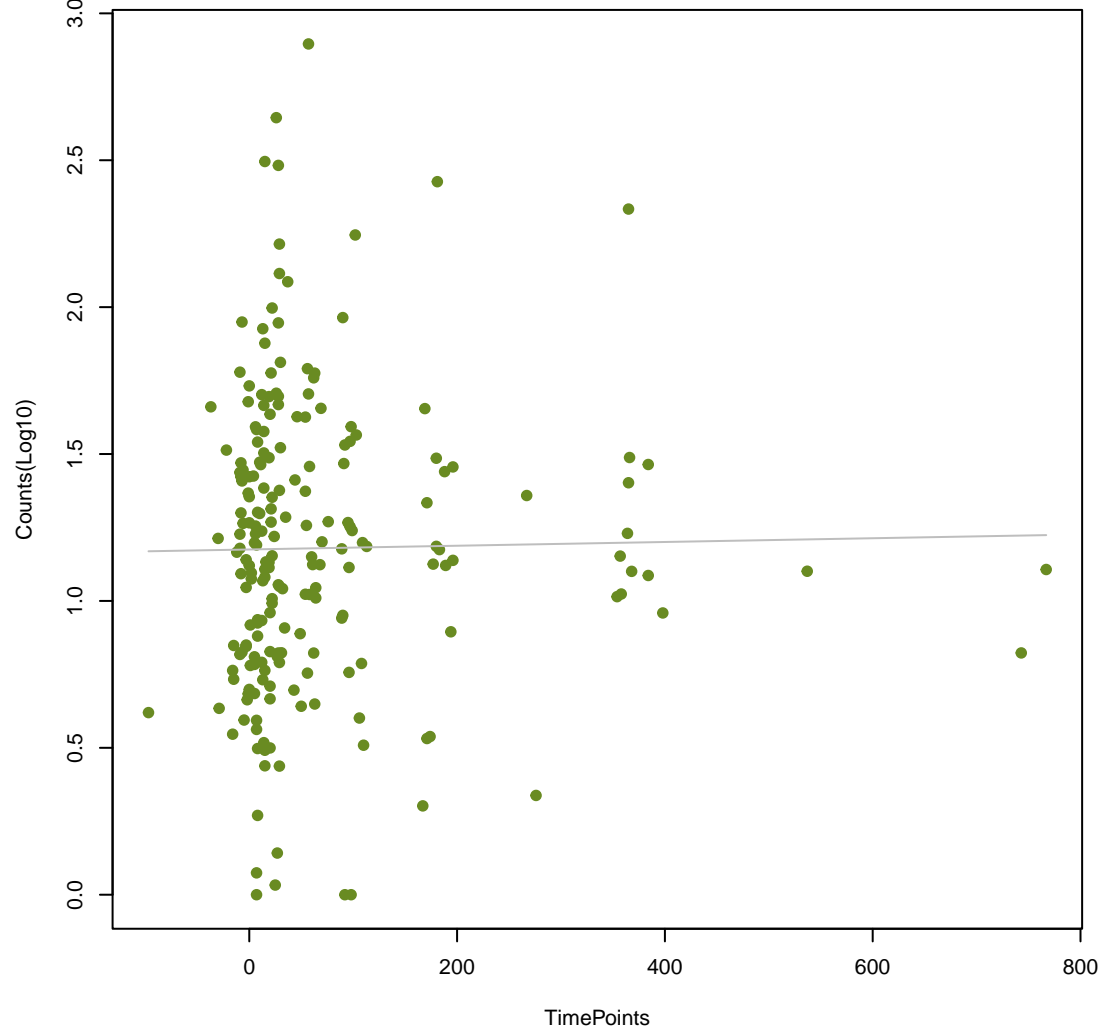
dfrB1
ANOVA P=0.799, adj. ANOVA-P=0.879



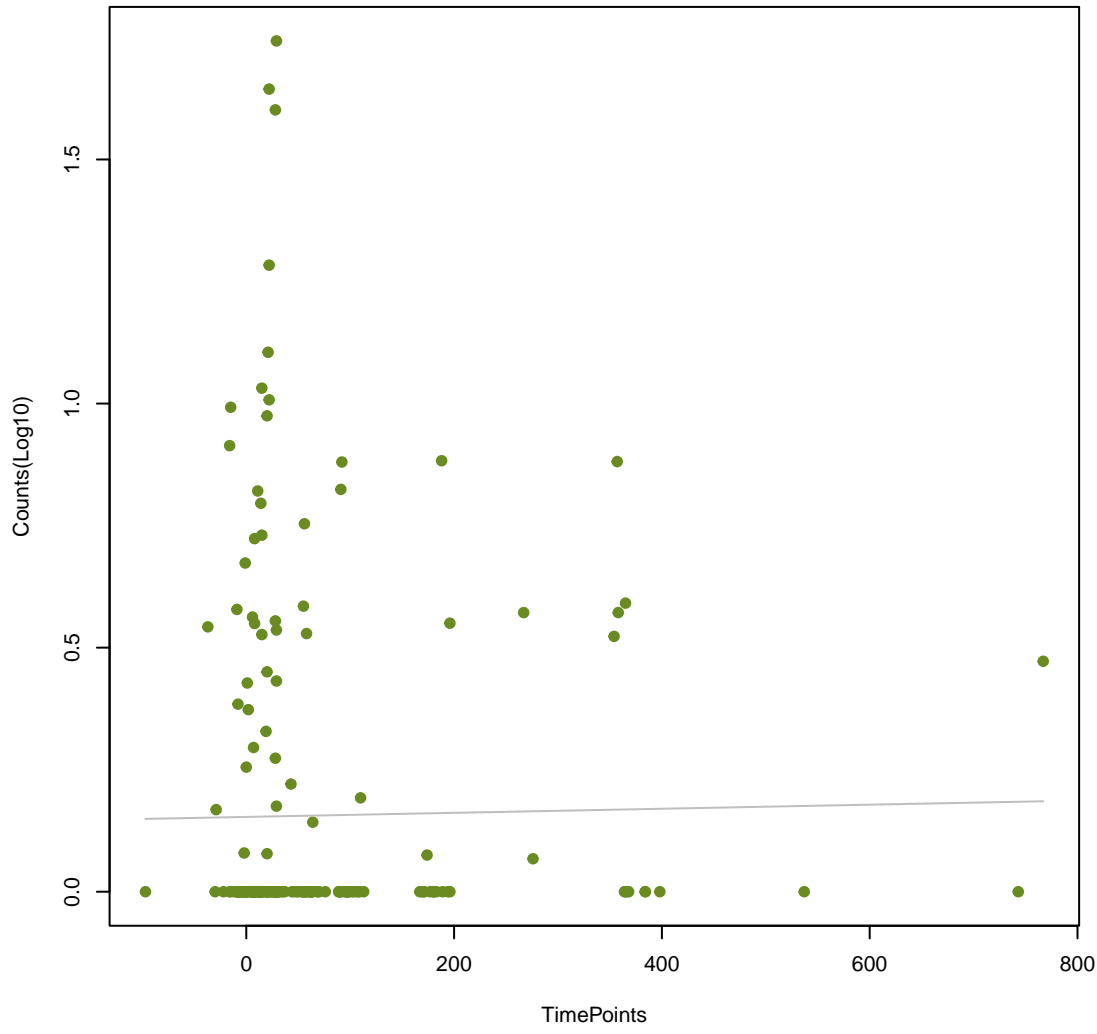
mexQ
ANOVA P=0.815, adj. ANOVA-P=0.893



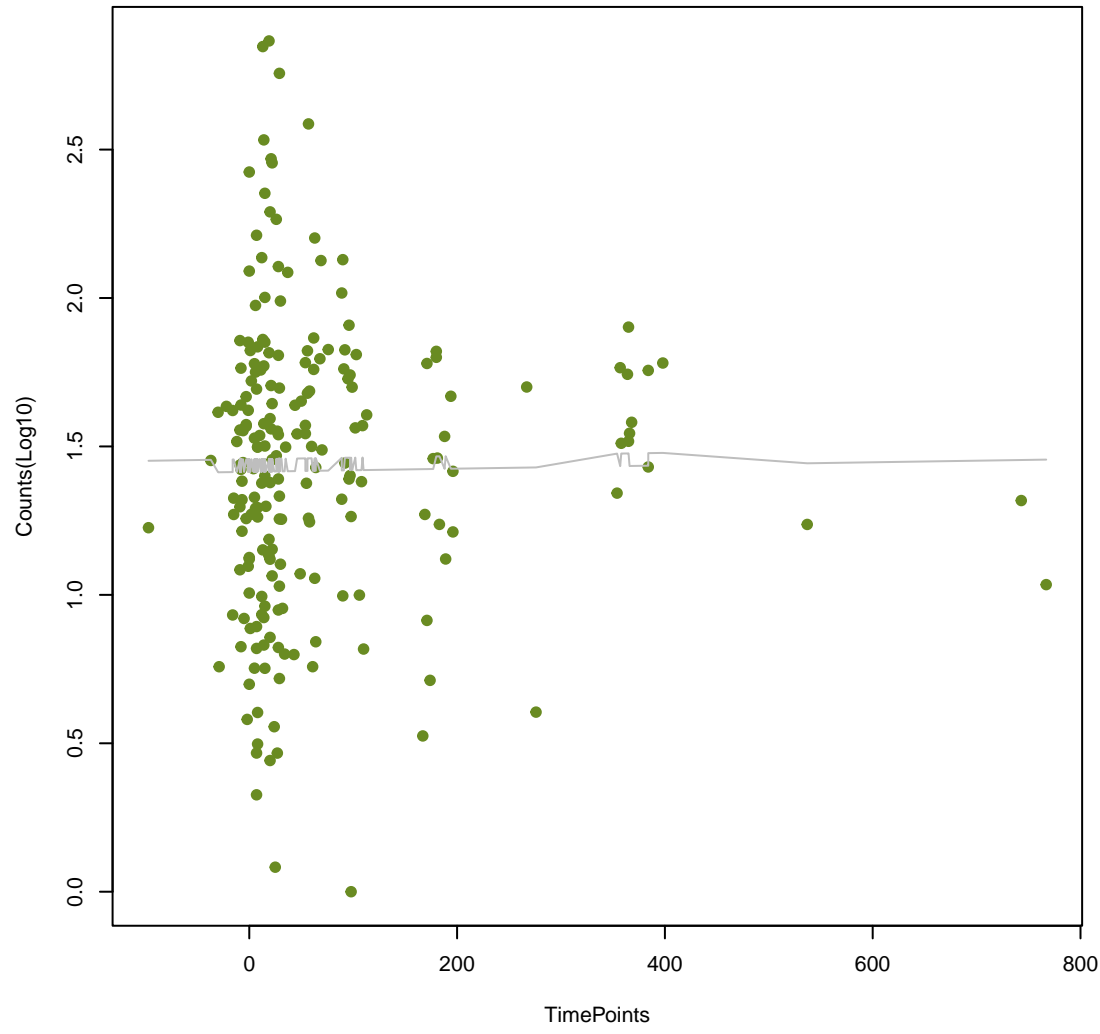
Kpne_KpnE
ANOVA P=0.826, adj. ANOVA-P=0.901



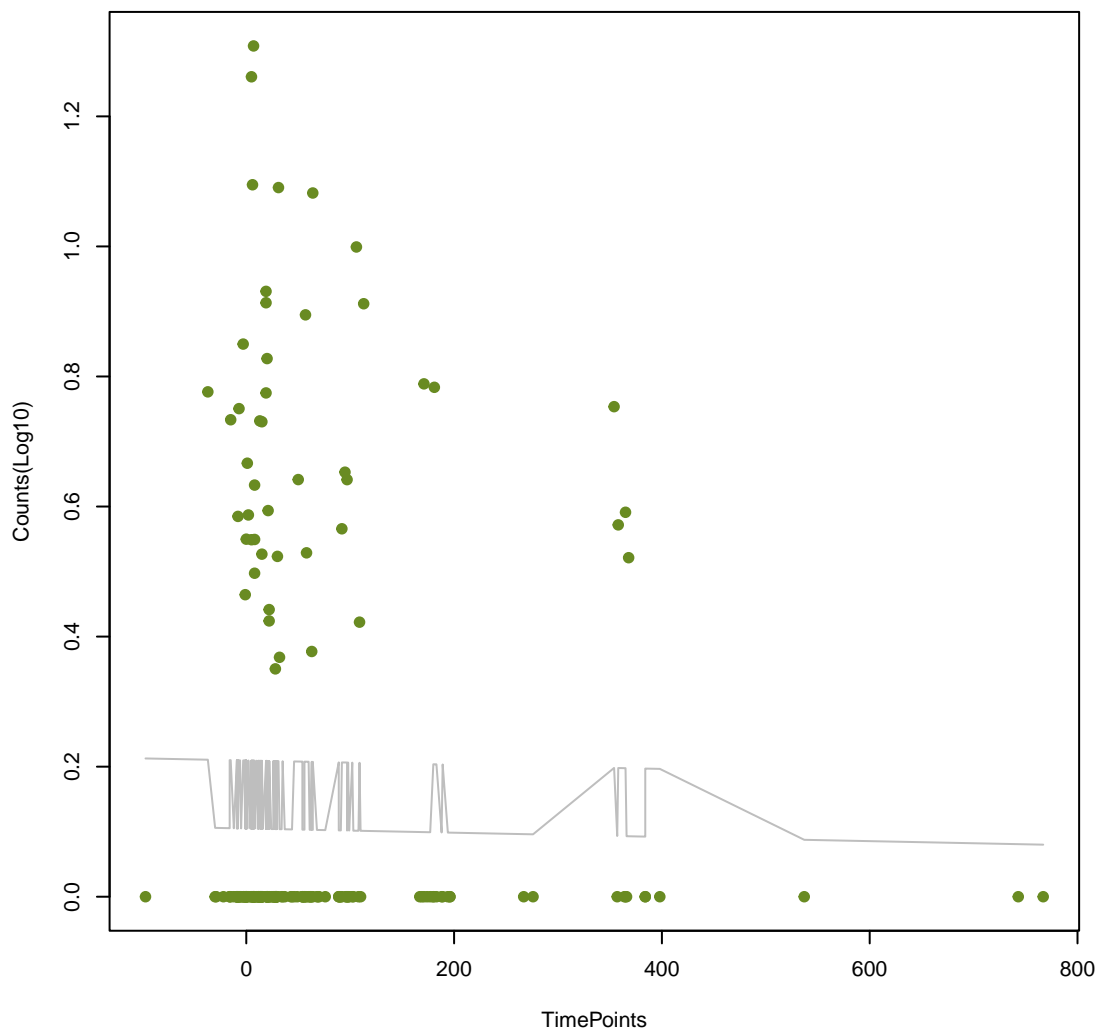
vgaD
ANOVA P=0.829, adj. ANOVA-P=0.902



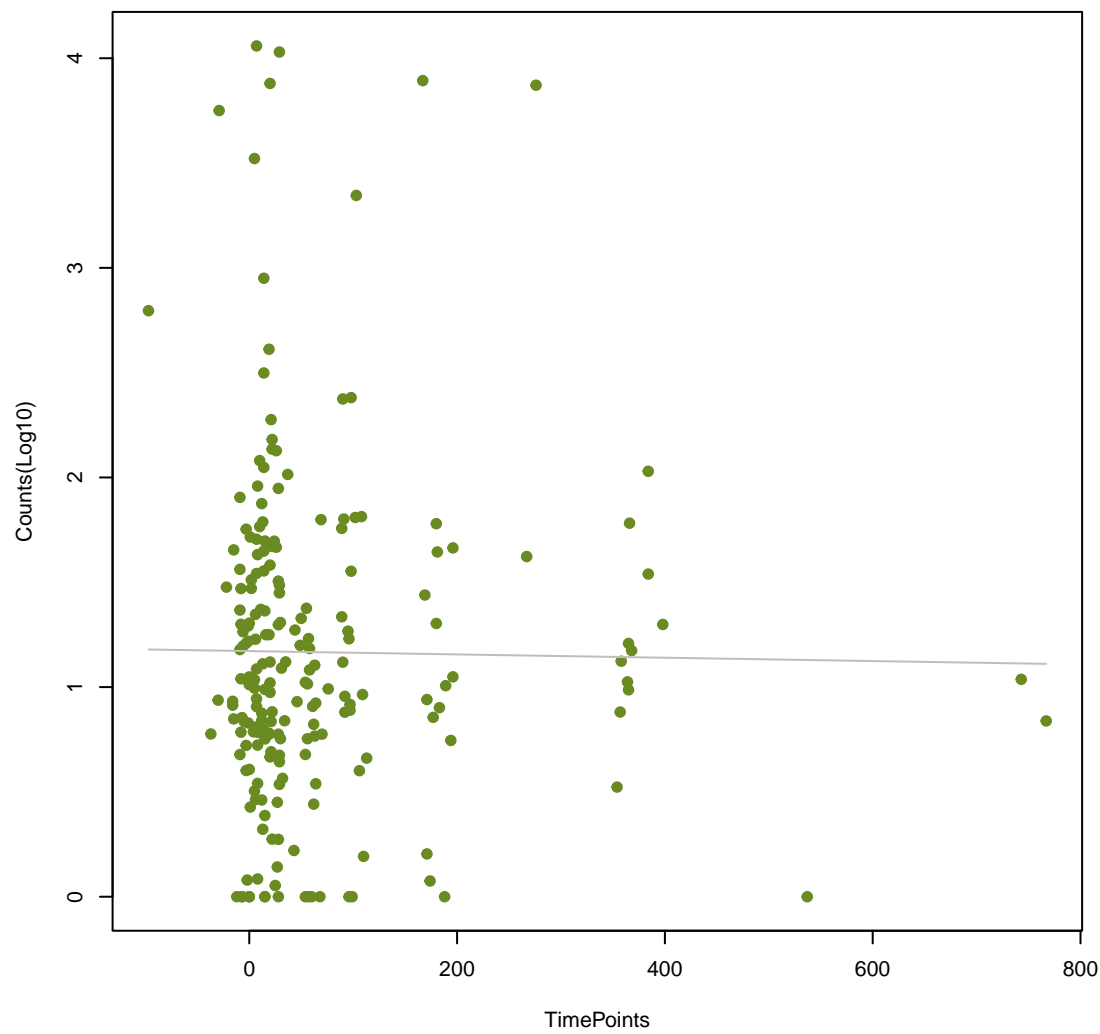
abeS
ANOVA P=0.851, adj. ANOVA-P=0.922



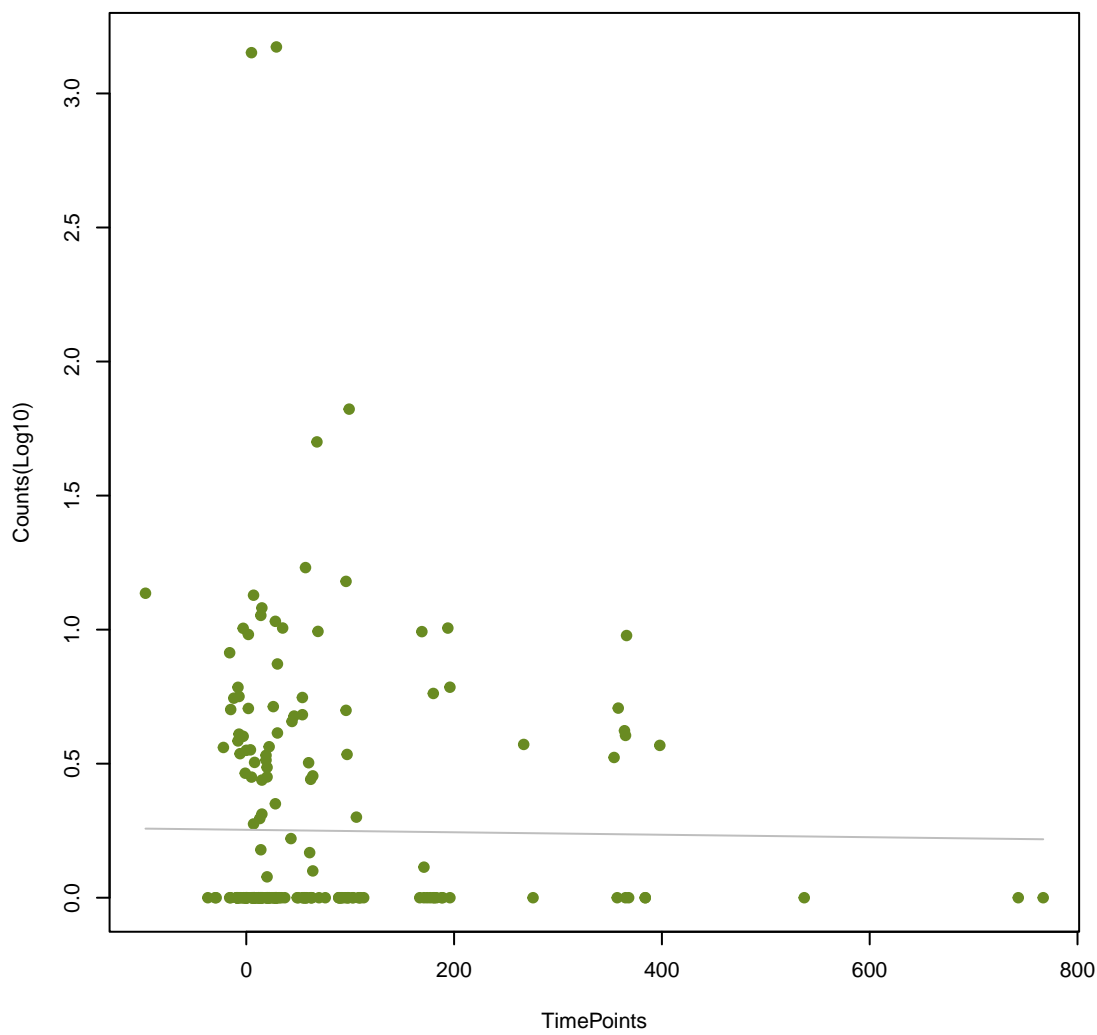
CfxA
ANOVA P=0.856, adj. ANOVA-P=0.924



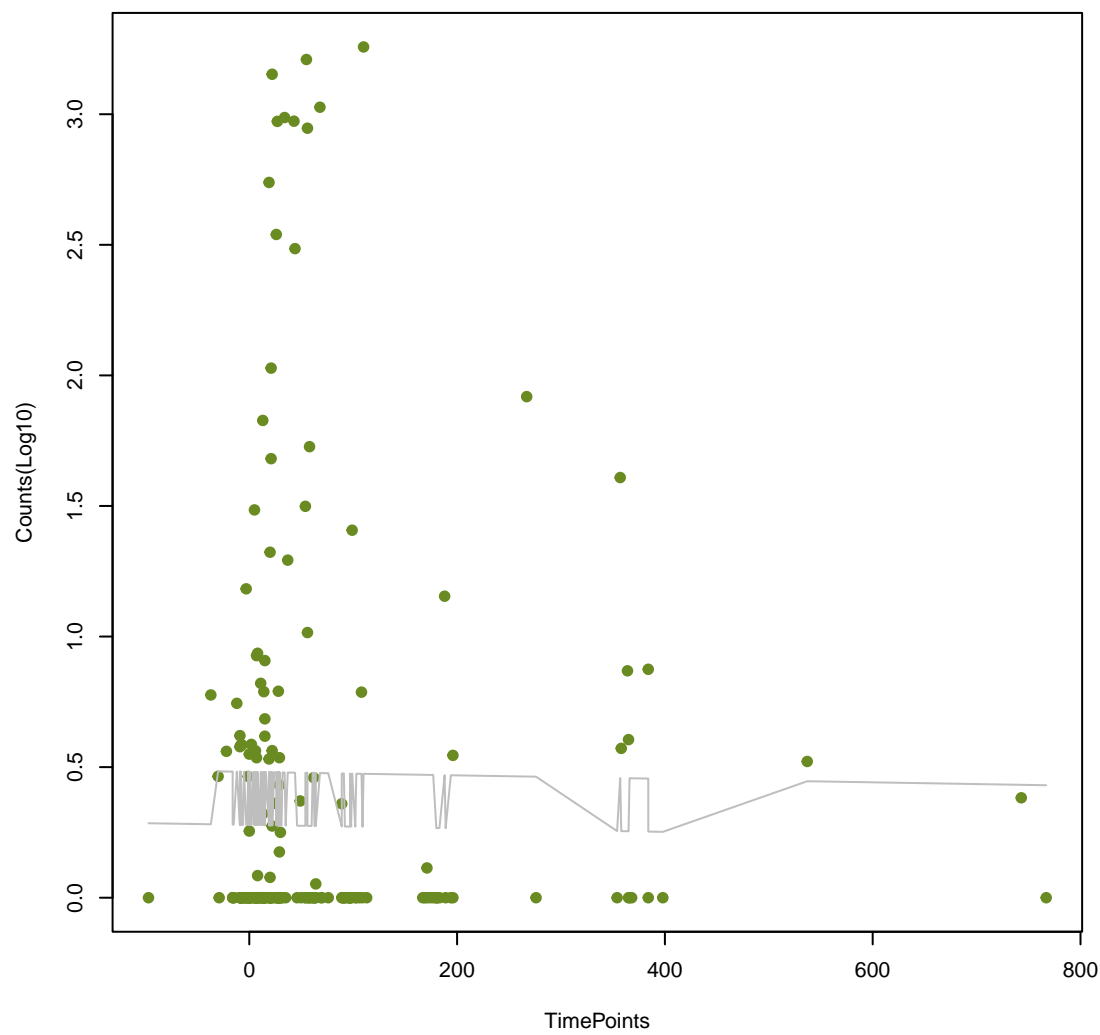
tetU
ANOVA P=0.864, adj. ANOVA-P=0.928



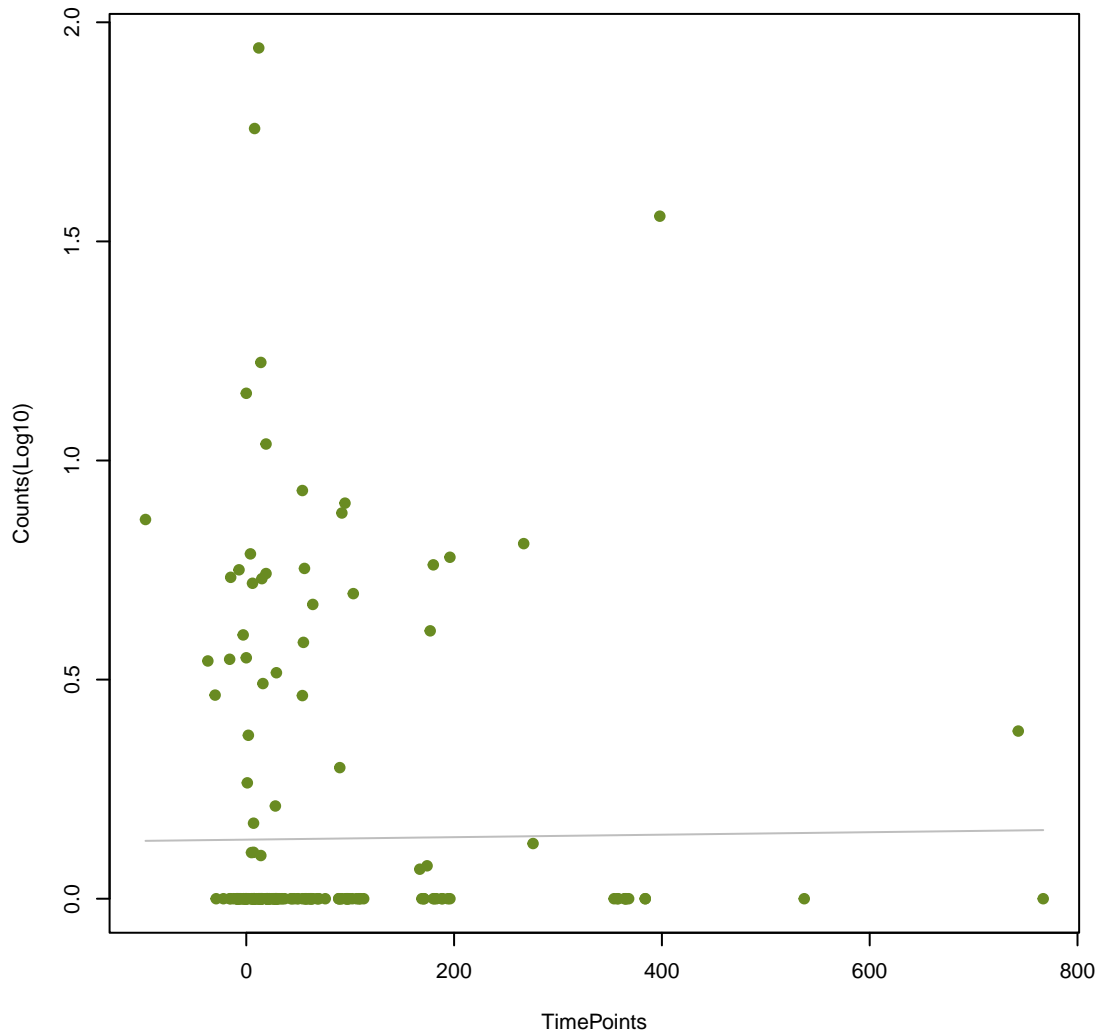
TriC
ANOVA P=0.866, adj. ANOVA-P=0.928



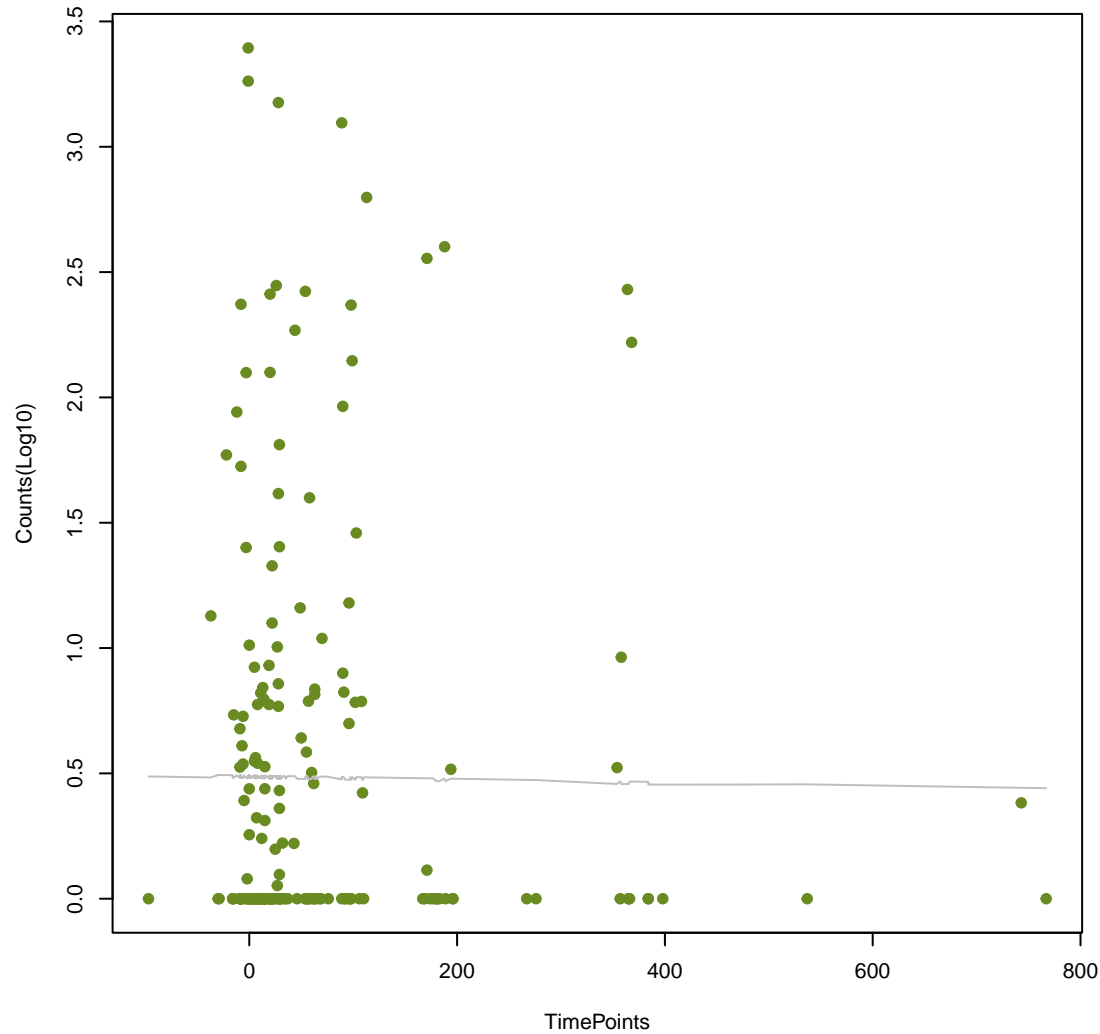
PC1_blaZ
ANOVA P=0.877, adj. ANOVA-P=0.936



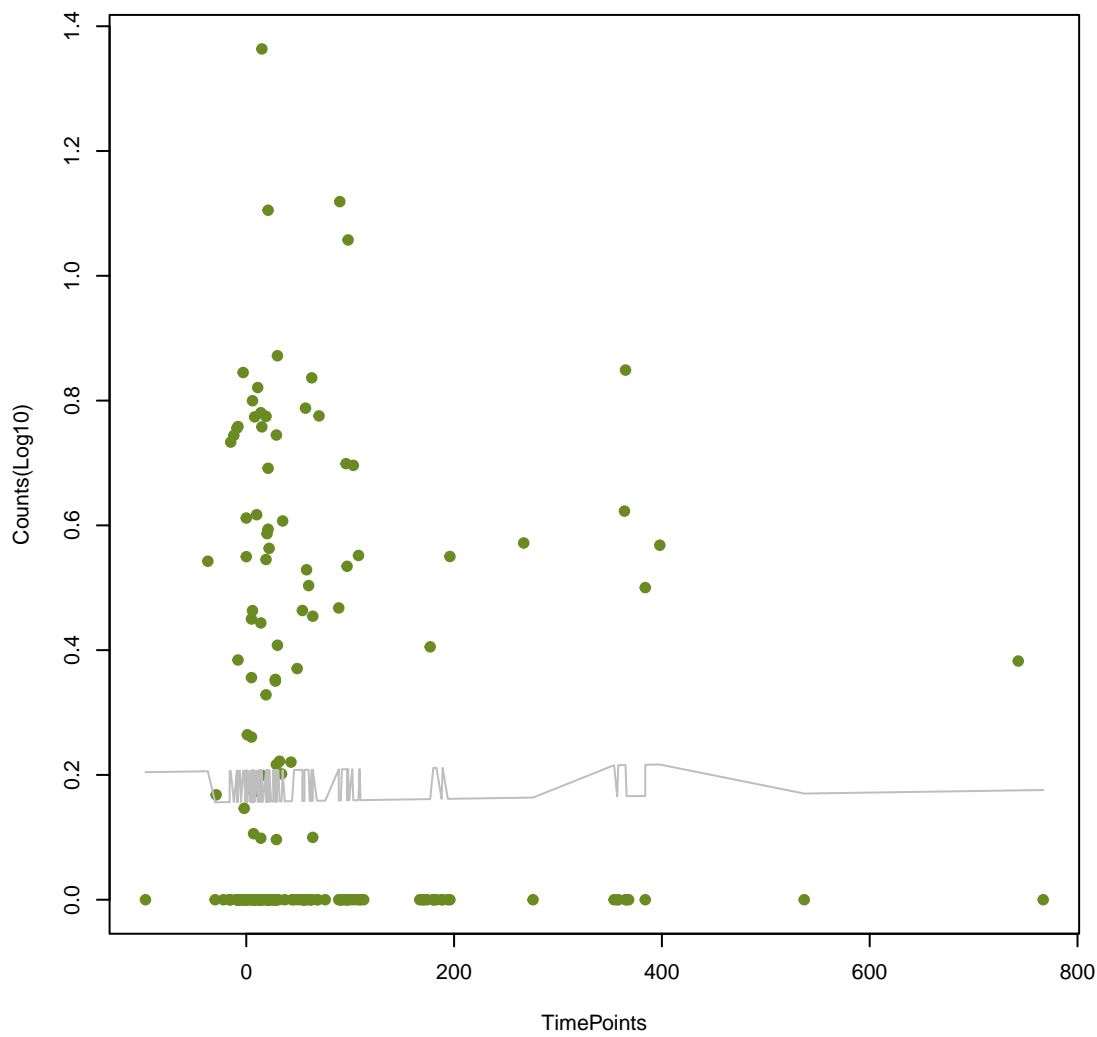
QnrC
ANOVA P=0.882, adj. ANOVA-P=0.938



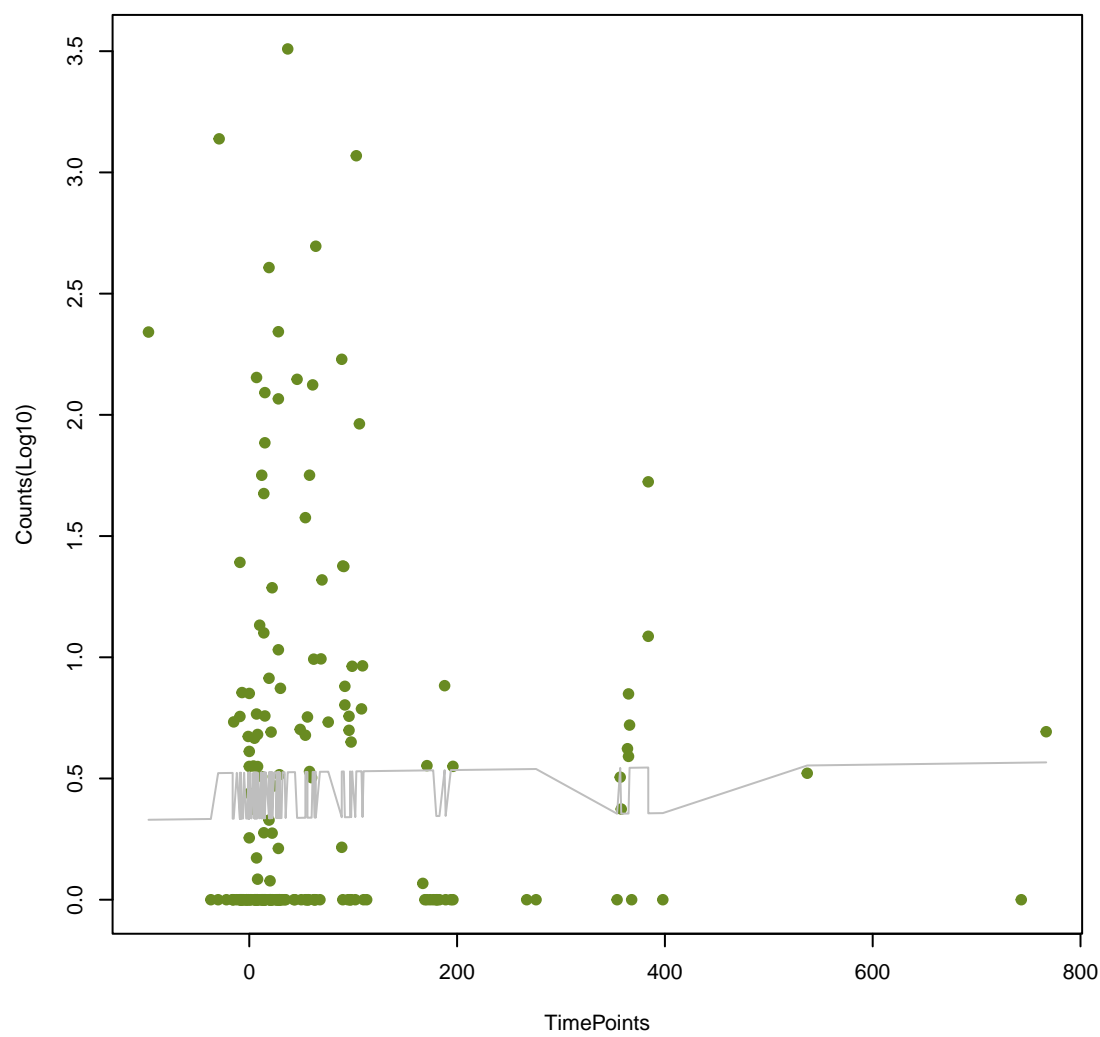
tetB(P)
ANOVA P=0.886, adj. ANOVA-P=0.938



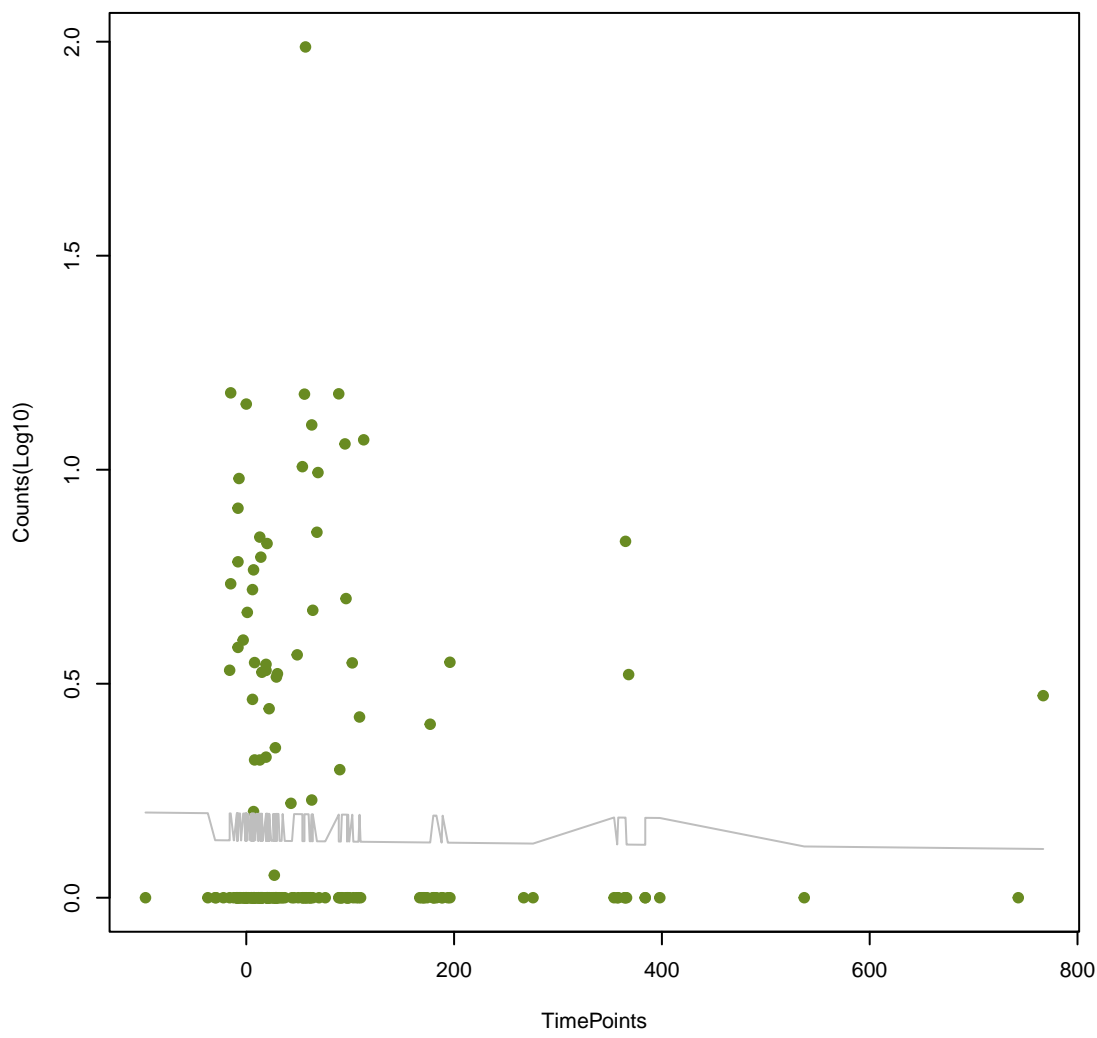
IND-7
ANOVA P=0.888, adj. ANOVA-P=0.938



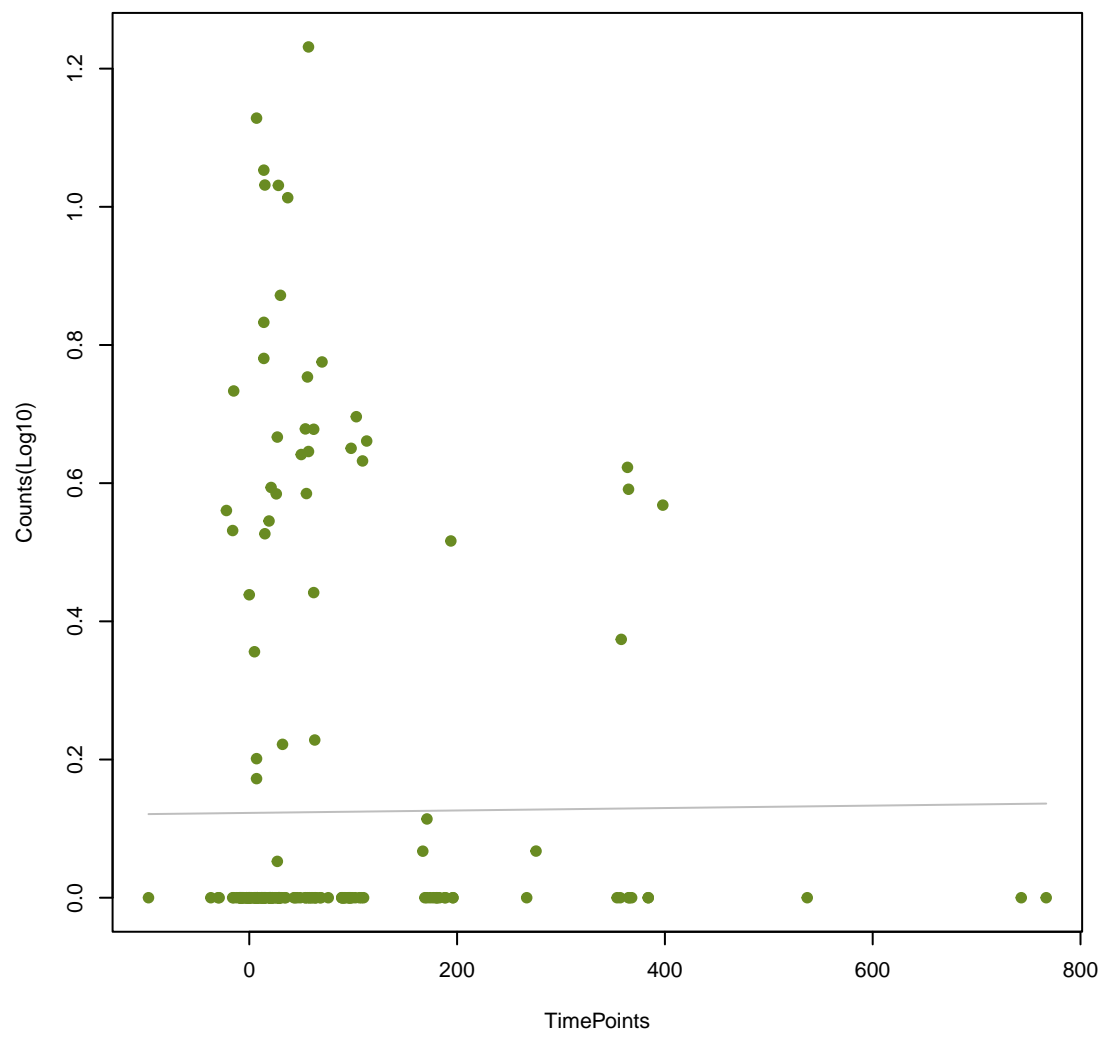
vanT_in_vanC_cl
ANOVA P=0.892, adj. ANOVA-P=0.939



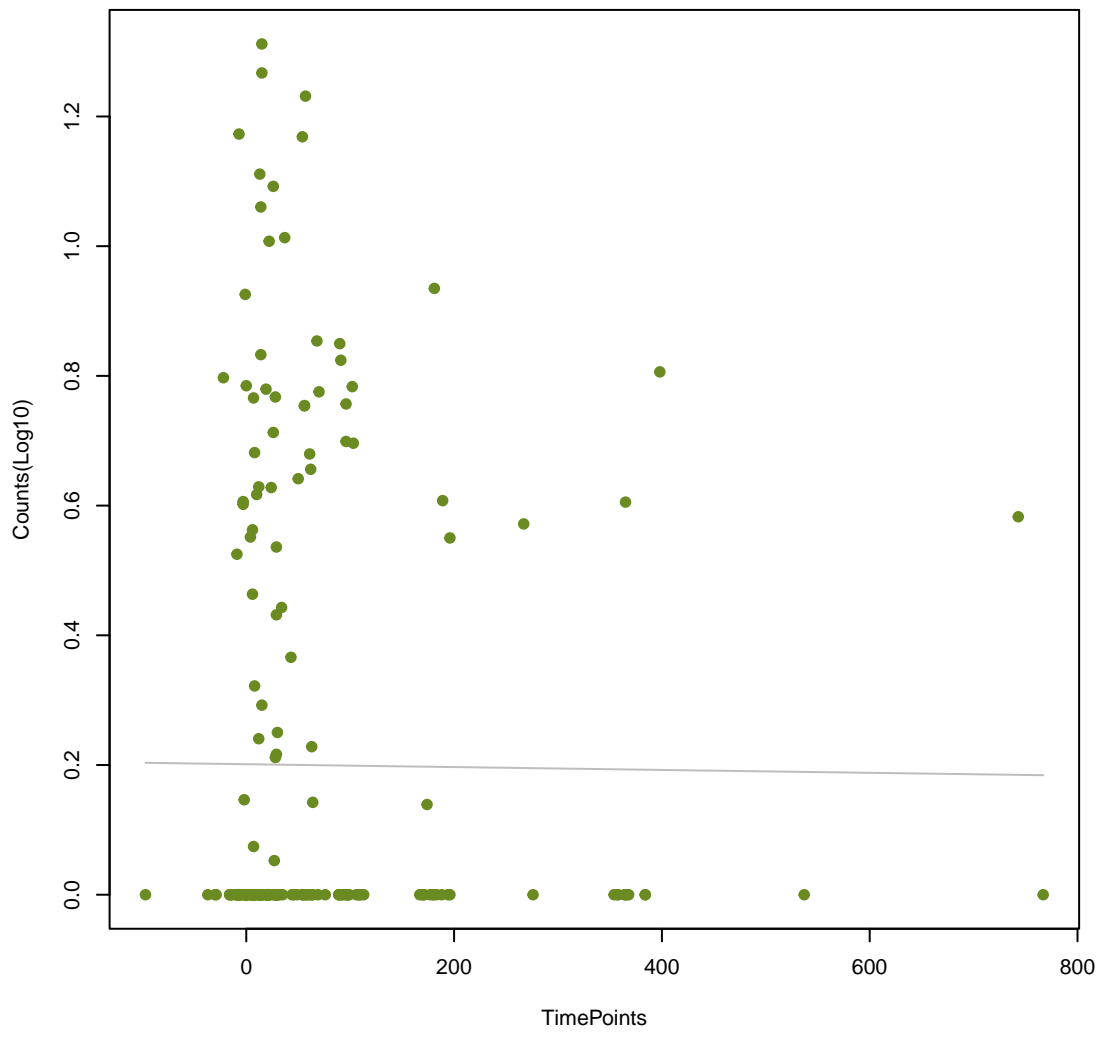
facT
ANOVA P=0.895, adj. ANOVA-P=0.939



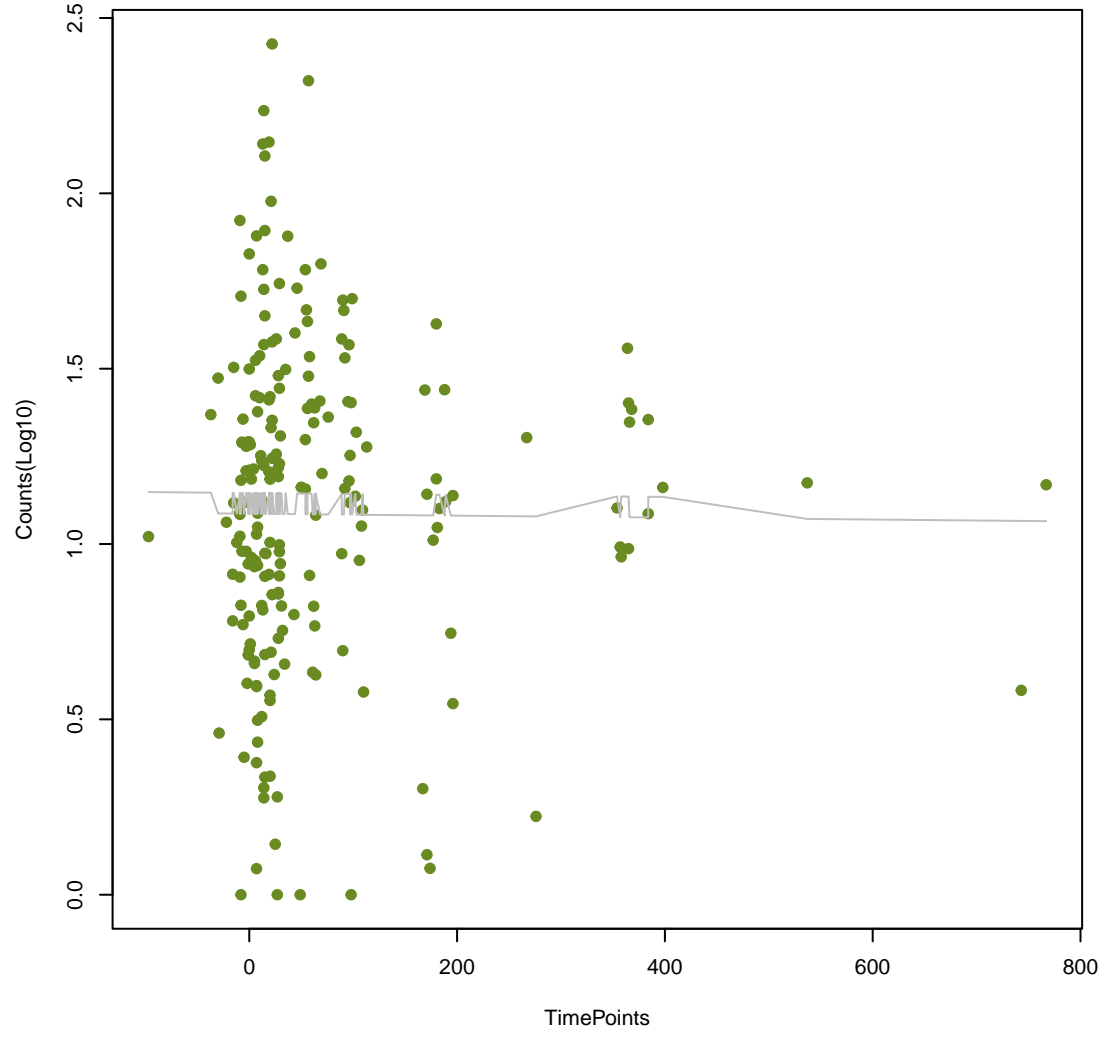
OXA-113
ANOVA P=0.913, adj. ANOVA-P=0.951



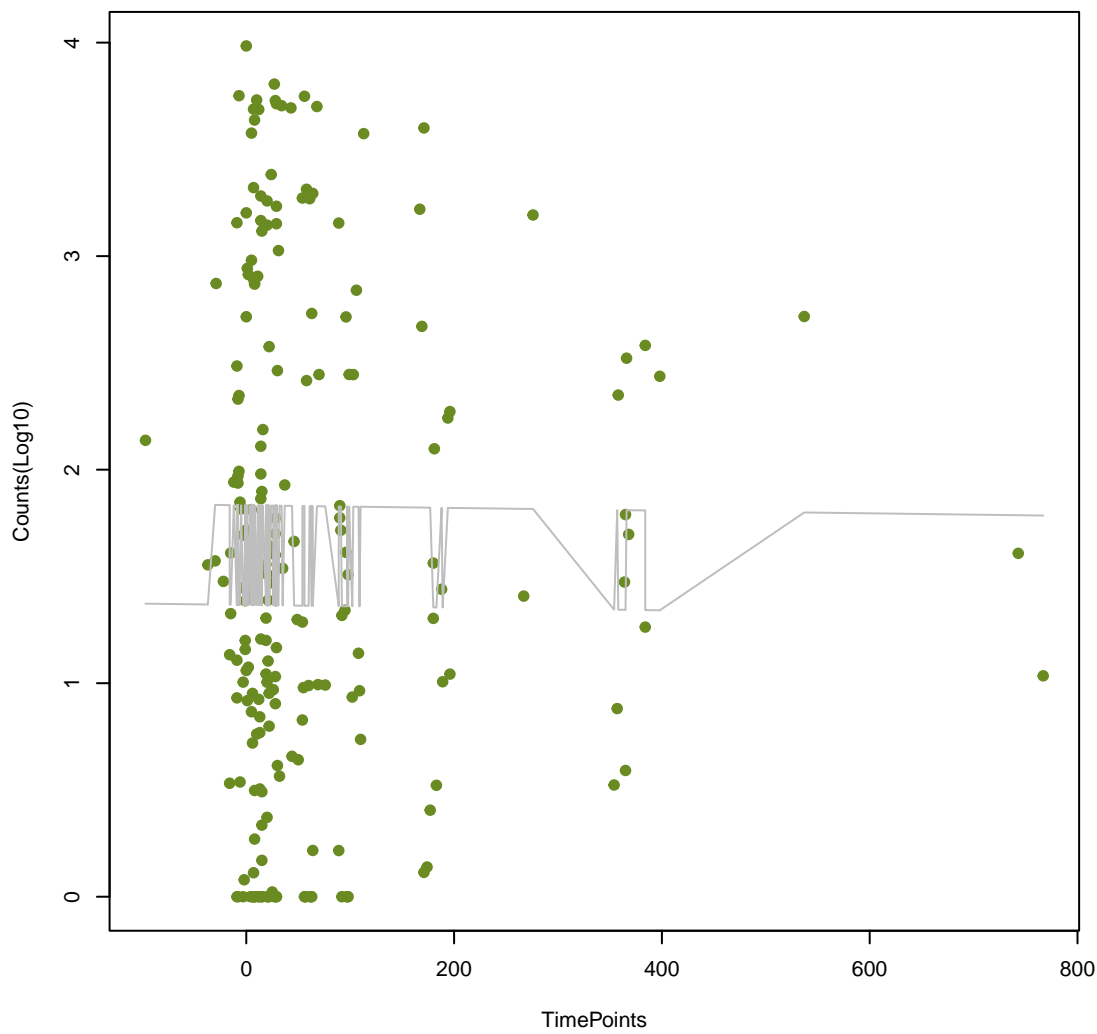
SHV-12
ANOVA P=0.913, adj. ANOVA-P=0.951



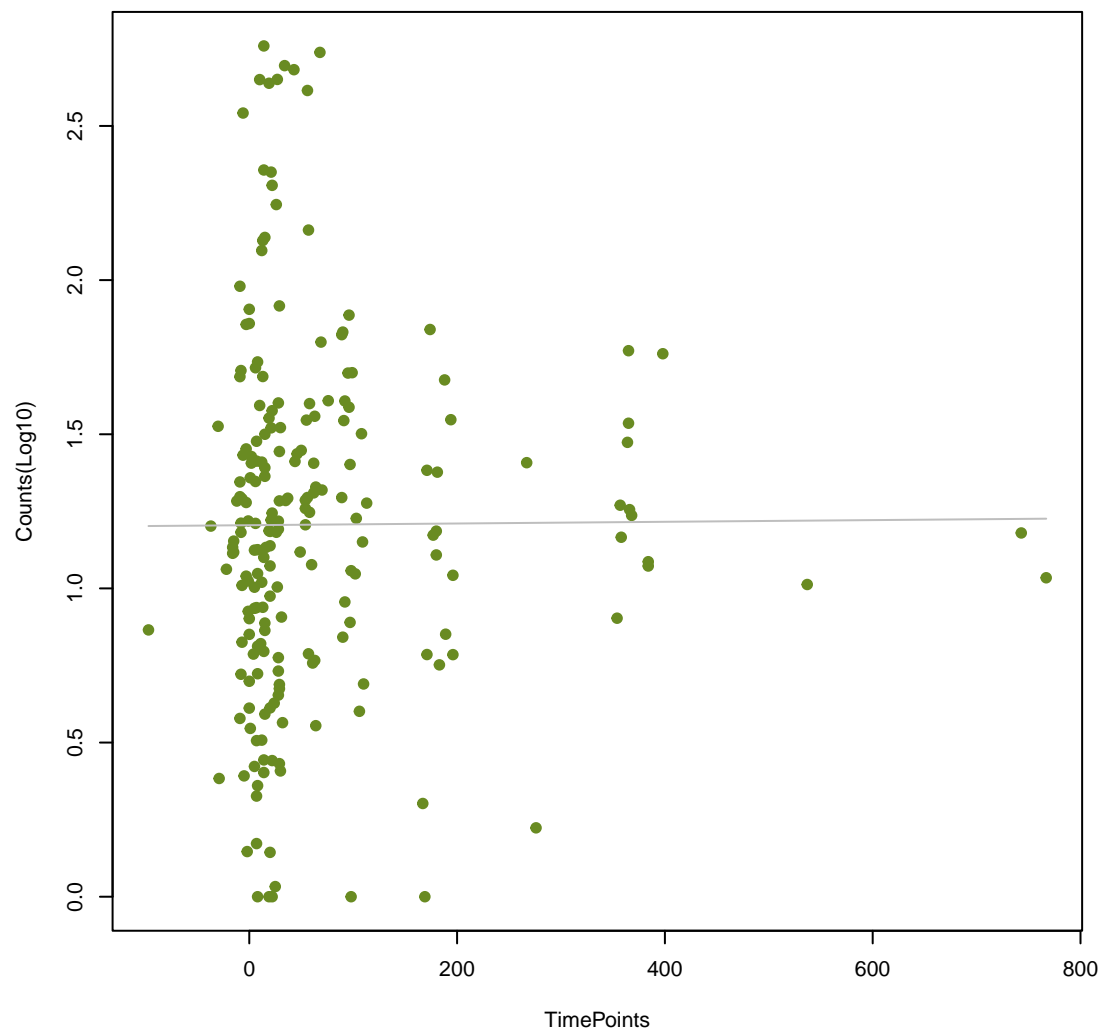
ykkD
ANOVA P=0.918, adj. ANOVA-P=0.954



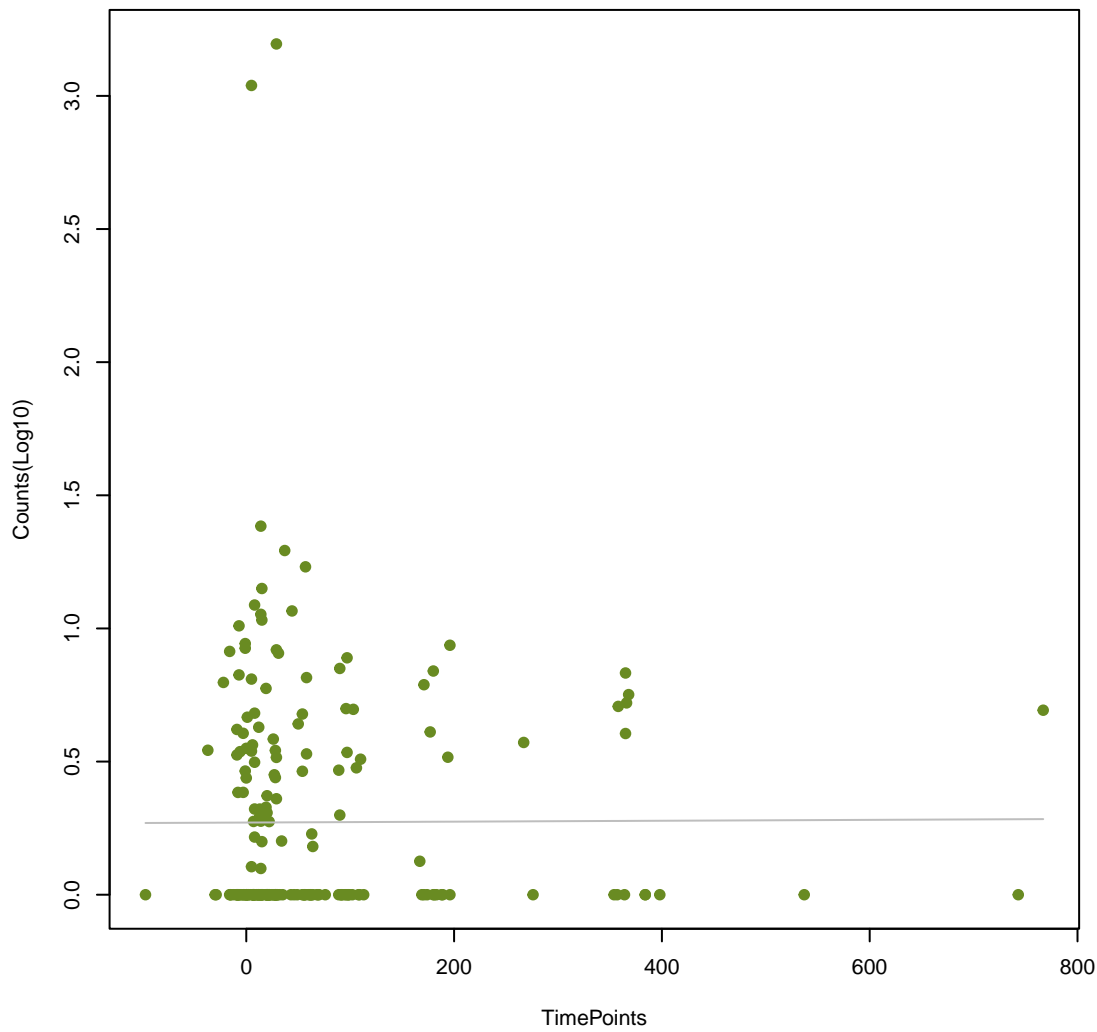
AAC6_le_APH2_la
ANOVA P=0.925, adj. ANOVA-P=0.957



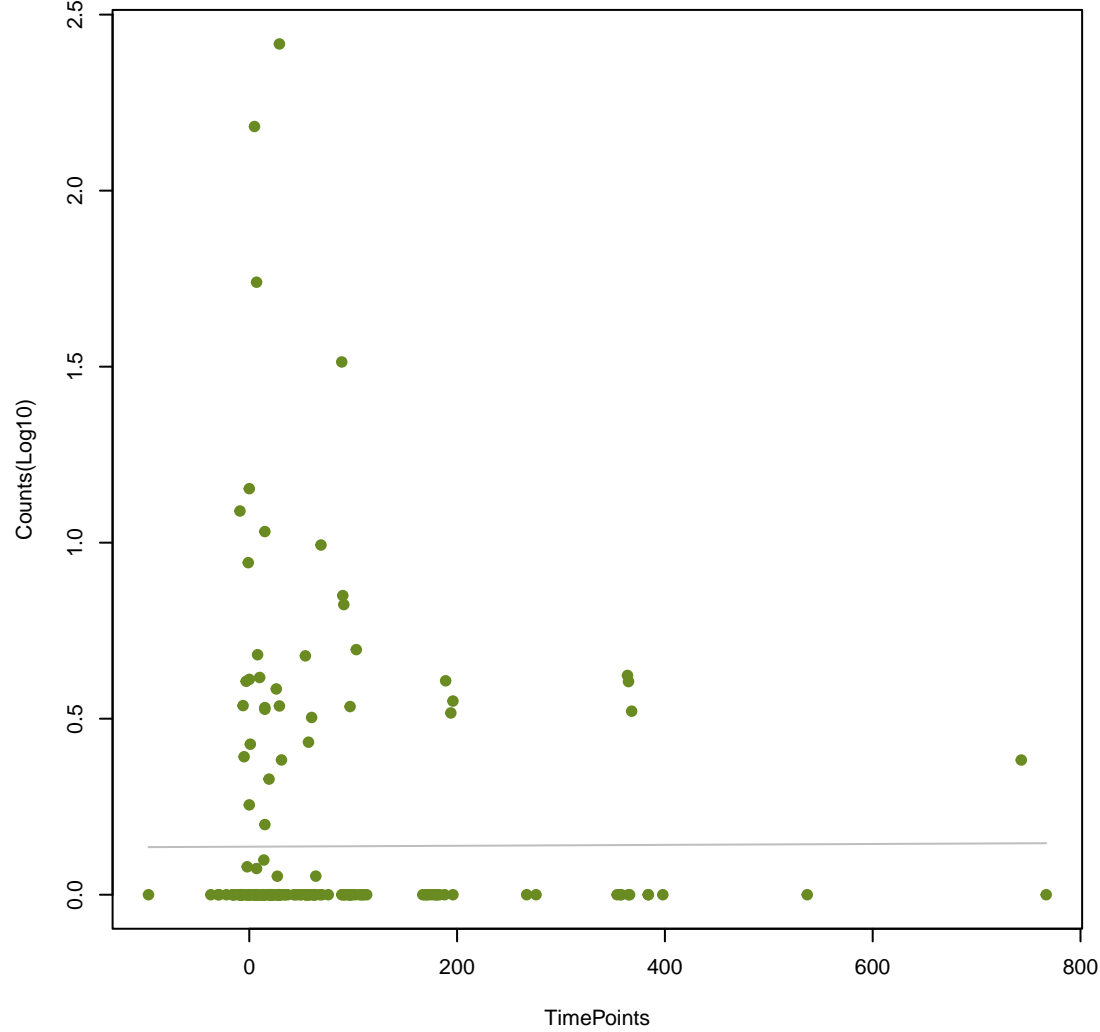
mecI
ANOVA P=0.934, adj. ANOVA-P=0.963



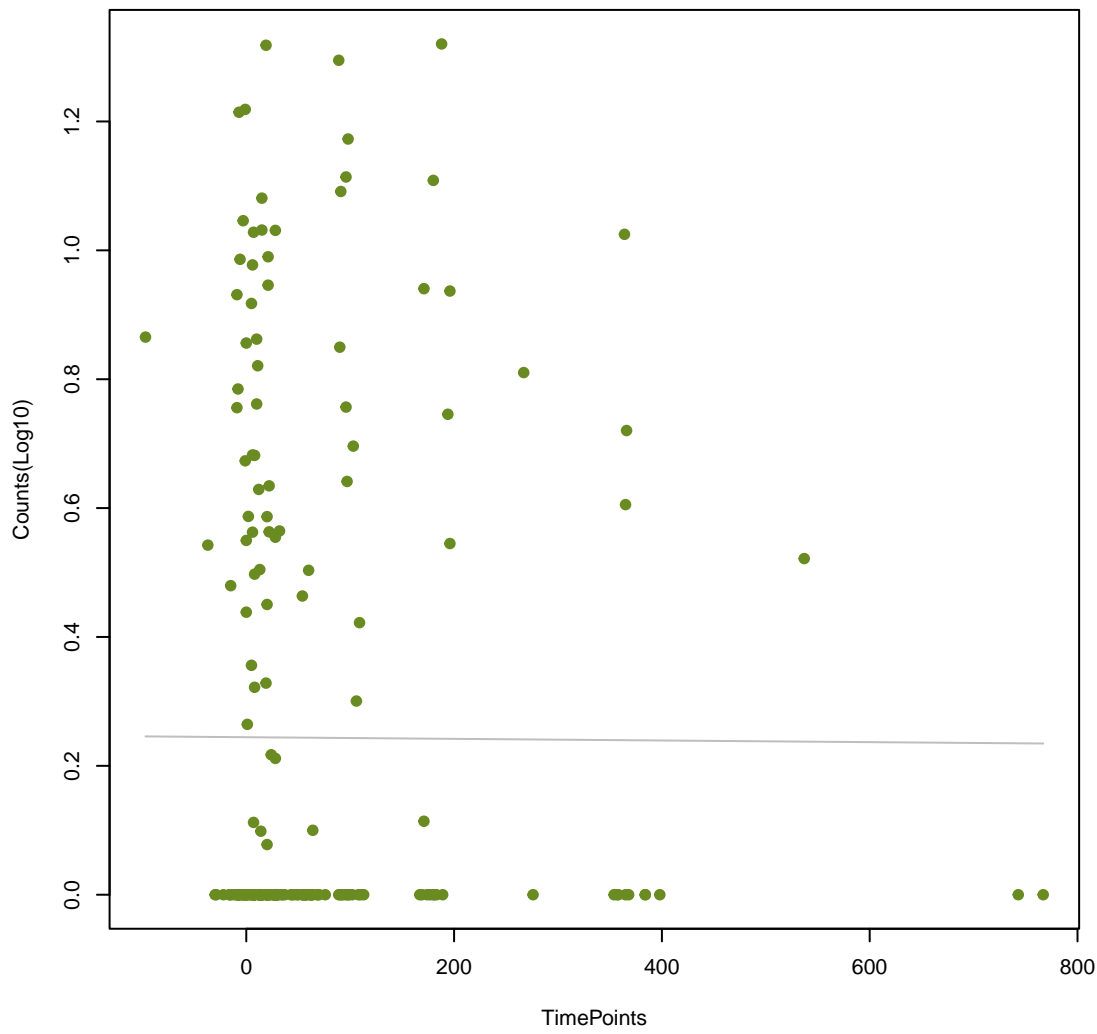
mexY
ANOVA P=0.949, adj. ANOVA-P=0.973



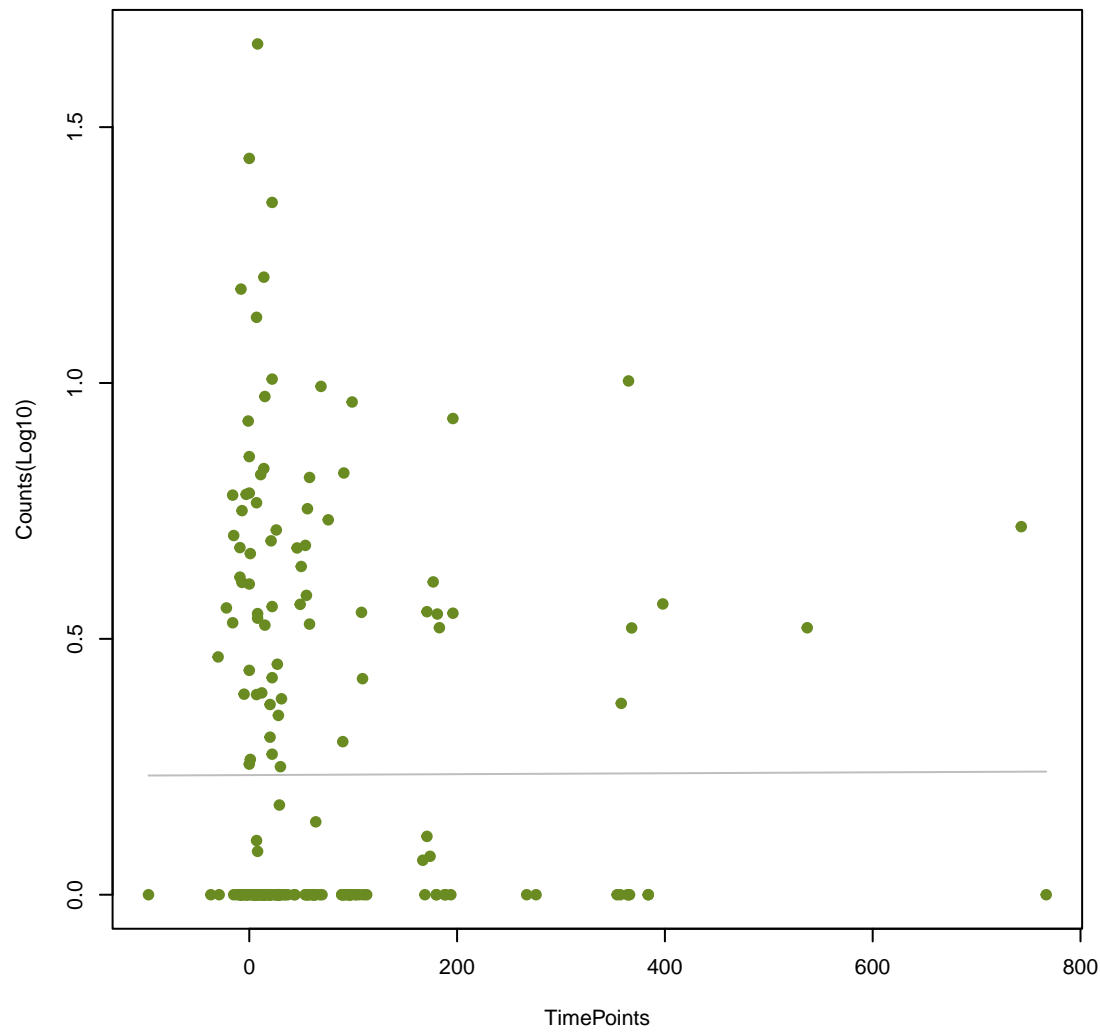
OXA-50
ANOVA P=0.95, adj. ANOVA-P=0.973



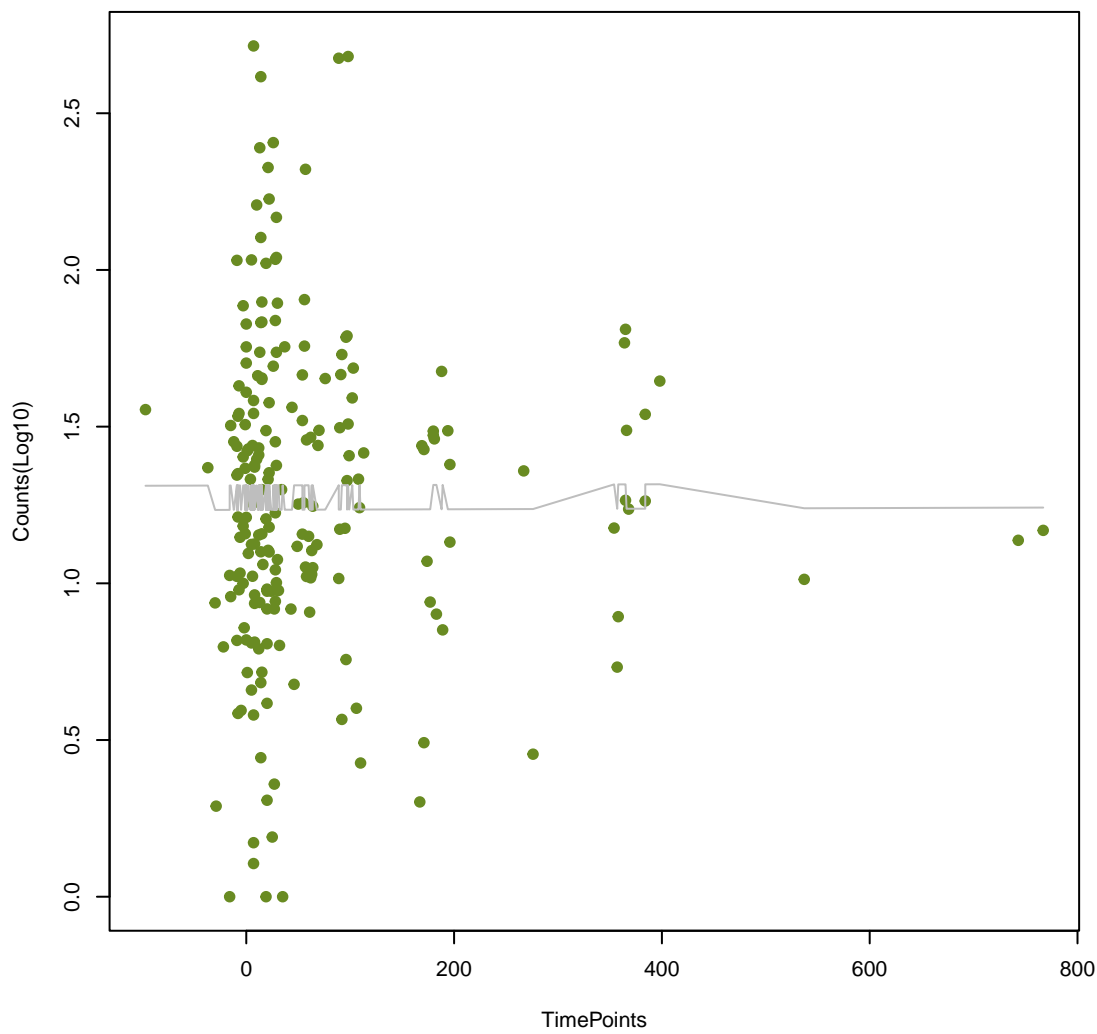
vanL
ANOVA P=0.955, adj. ANOVA-P=0.974



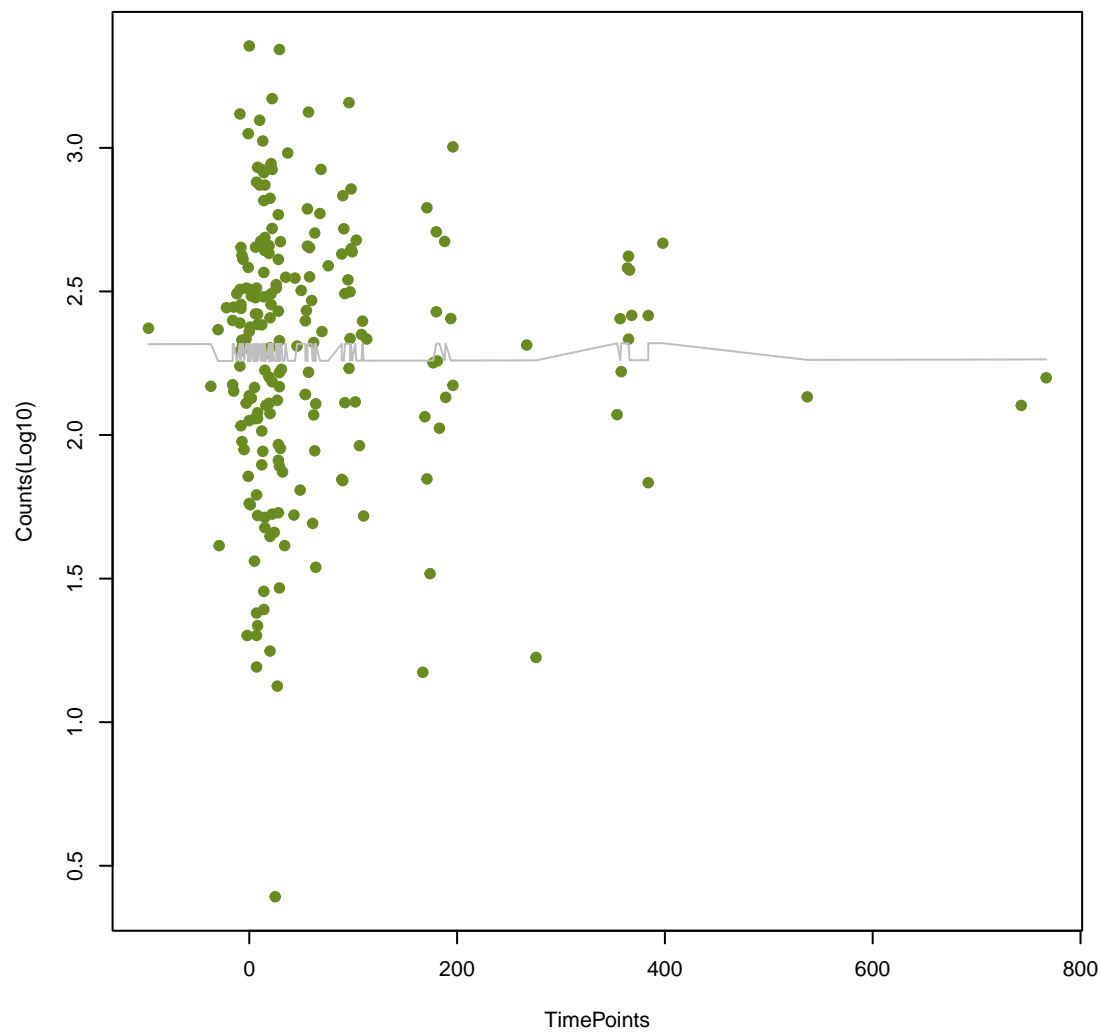
OCH-1
ANOVA P=0.966, adj. ANOVA-P=0.982



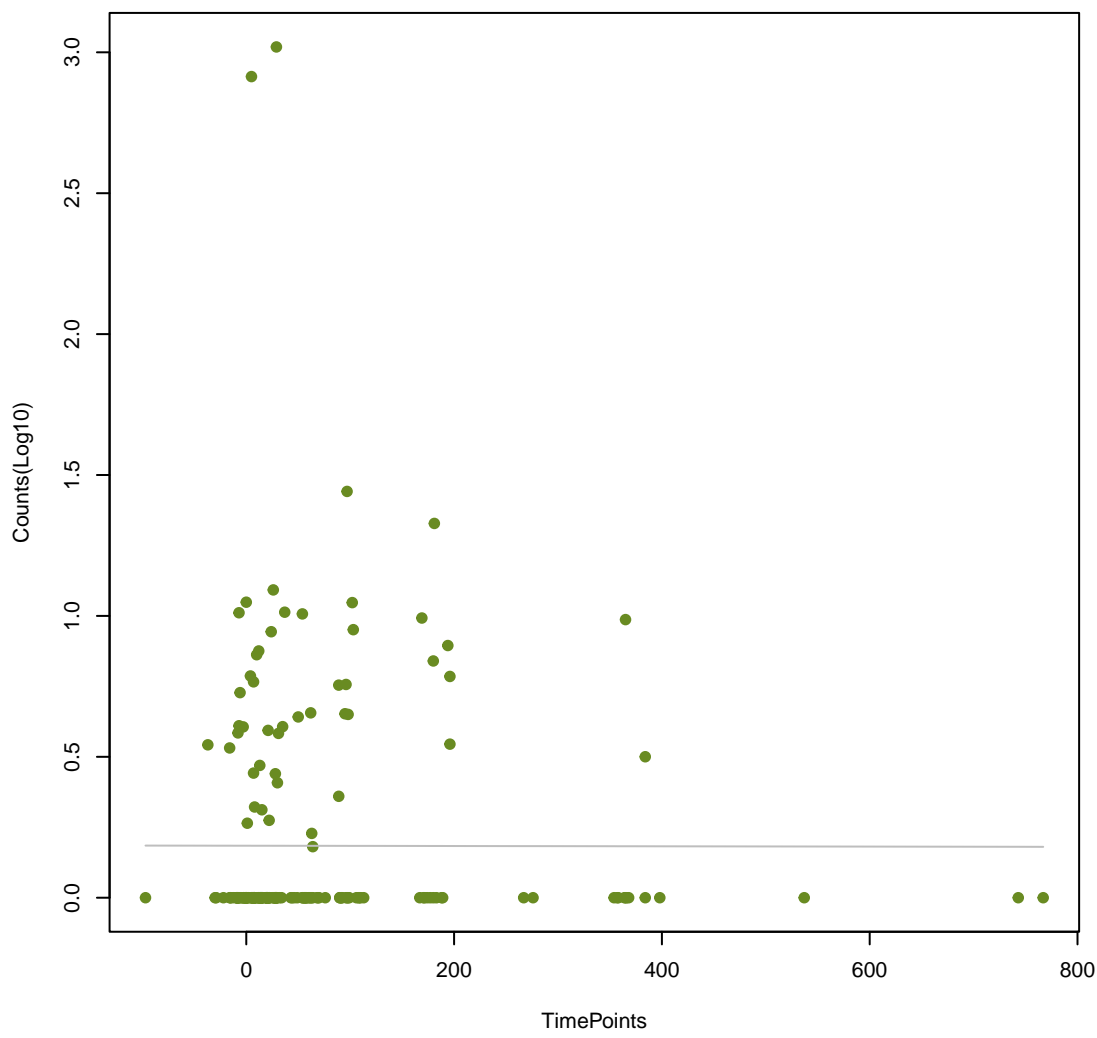
rsmA
ANOVA P=0.974, adj. ANOVA-P=0.987



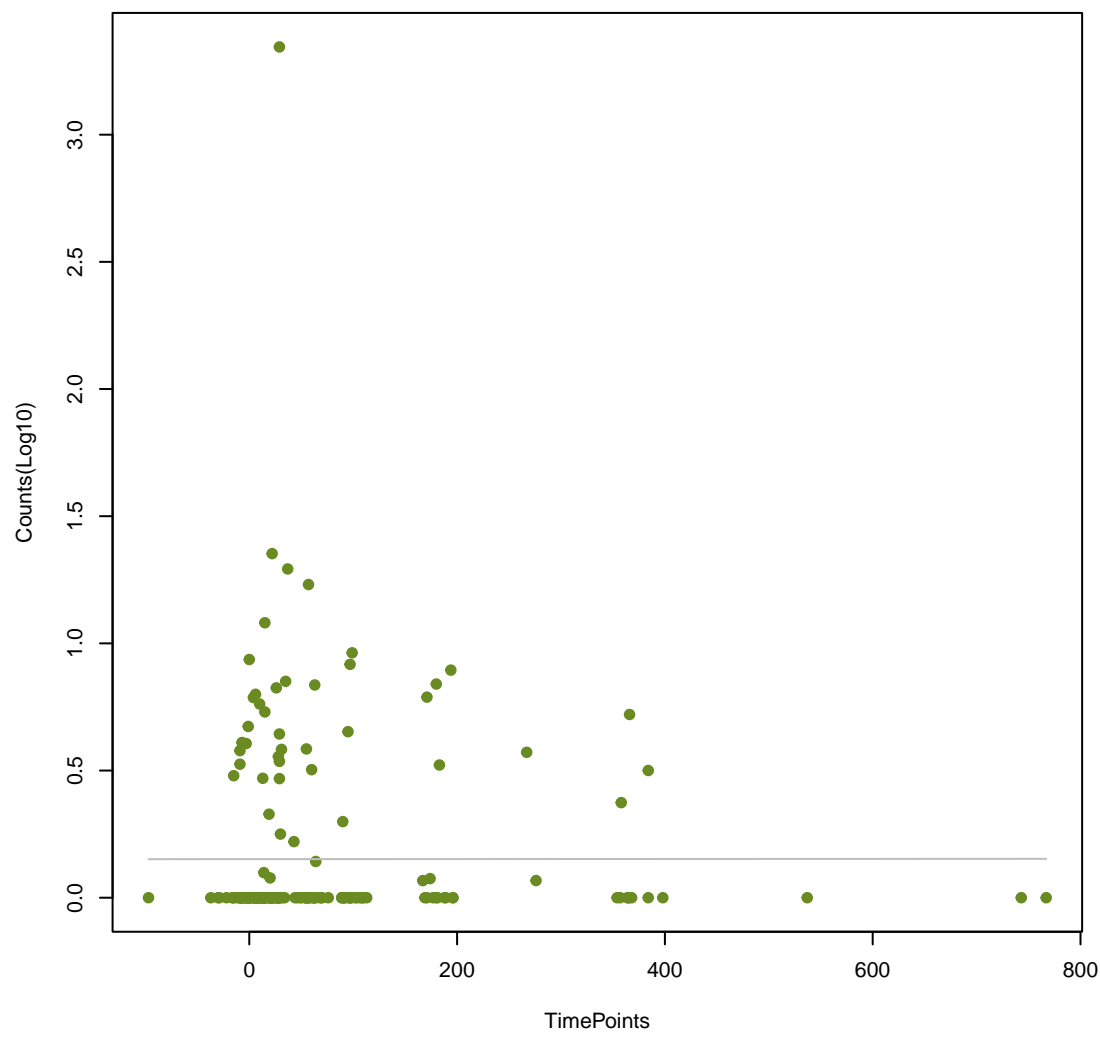
qacH
ANOVA P=0.98, adj. ANOVA-P=0.99



arnA
ANOVA P=0.983, adj. ANOVA-P=0.99



norB
ANOVA P=0.994, adj. ANOVA-P=0.994



dfrB4
ANOVA P=0.994, adj. ANOVA-P=0.994

